



UNIVERSIDADE DE BRASÍLIA
FACULDADE DE AGRONOMIA E MEDICINA VETERINÁRIA
PROGRAMA DE PÓS-GRADUAÇÃO EM AGRONOMIA

**DESENVOLVIMENTO, VALIDAÇÃO, TRANSFERIBILIDADE E
APLICAÇÃO DE MARCADORES MICROSSATÉLITES EM
ESTUDOS GENÉTICOS DAS PASSIFLORAS**

SUSAN ARAYA

**TESE DE DOUTORADO
EM AGRONOMIA**

**BRASÍLIA/DF
NOVEMBRO/2016**



UNIVERSIDADE DE BRASÍLIA
FACULDADE DE AGRONOMIA E MEDICINA VETERINÁRIA
PROGRAMA DE PÓS-GRADUAÇÃO EM AGRONOMIA

**DESENVOLVIMENTO, VALIDAÇÃO, TRANSFERIBILIDADE E
APLICAÇÃO DE MARCADORES MICROSSATÉLITES EM
ESTUDOS GENÉTICOS DAS PASSIFLORAS**

SUSAN ARAYA

ORIENTADOR: FÁBIO GELAPE FALEIRO
CO-ORIENTADOR: MÁRCIO ELIAS FERREIRA

TESE DE DOUTORADO EM AGRONOMIA

PUBLICAÇÃO: 052D/2016

BRASÍLIA/DF
NOVEMBRO/2016

UNIVERSIDADE DE BRASÍLIA
FACULDADE DE AGRONOMIA E MEDICINA VETERINÁRIA
PROGRAMA DE PÓS-GRADUAÇÃO EM AGRONOMIA

**DESENVOLVIMENTO, VALIDAÇÃO, TRANSFERIBILIDADE E
APLICAÇÃO DE MARCADORES MICROSSATÉLITES EM
ESTUDOS GENÉTICOS DAS PASSIFLORAS**

SUSAN ARAYA

TESE DE DOUTORADO SUBMETIDA AO PROGRAMA DE PÓS-GRADUAÇÃO EM AGRONOMIA, COMO PARTE DOS REQUISITOS NECESSÁRIOS À OBTENÇÃO DO GRAU DE DOUTOR EM AGRONOMIA.

APROVADA POR:

**Fábio Gelape Faleiro, D.Sc., Embrapa Cerrados, CPF: 739.634.706-82,
fabio.faleiro@embrapa.br (Orientador)**

**Nilton Tadeu Vilela Junqueira, D.Sc., Embrapa Cerrados, CPF: 309.620.646-53,
nilton.junqueira@embrapa.br (Examinador interno)**

**Jose Ricardo Peixoto, Dr., Universidade de Brasília, CPF: 354.356.236-34,
peixoto@unb.br (Examinador interno)**

**Ana Maria Costa, Dra., Embrapa Cerrados, CPF: 308.371.701-68,
ana-maria.costa@embrapa.br (Examinador externo)**

**Marco Aurélio Caldas de Pinho Pessoa Filho, Dr., Embrapa Cerrados,
CPF: 836.127.693-91, marco.pessoa@embrapa.br (Examinador externo)**

BRASÍLIA/DF, 14 de NOVEMBRO de 2016.

FICHA CATALOGRÁFICA

Araya, Susan

Desenvolvimento, validação, transferibilidade e aplicação de marcadores microssatélites em estudos genéticos das Passifloras.

Susan Araya; orientação de Fábio Gelape Faleiro. – Brasília, 2016.

283 p. : il.

Tese de Doutorado (D) – Universidade de Brasília/Faculdade de Agronomia e Medicina Veterinária, 2016.

1. *Passiflora edulis* Sims. 2. Marcadores microssatélites.

3. Transferibilidade 4. Modo de reprodução.

5. Cruzamentos. 6. Teste de paternidade.

I. Faleiro, F. G. II. Doutor.

CDD ou CDU
Agris / FAO

REFERÊNCIA BIBLIOGRÁFICA

ARAYA, S. Desenvolvimento, validação, transferibilidade e aplicação de marcadores microssatélites em estudos genéticos das Passifloras. Brasília: Faculdade de Agronomia e Medicina Veterinária, Universidade de Brasília, 2016, 283 p. Tese de Doutorado.

CESSÃO DE DIREITOS

NOME DO AUTOR: SUSAN ARAYA

TÍTULO DA TESE: Desenvolvimento, validação, transferibilidade e utilização de marcadores microssatélites em estudos genéticos das Passifloras.

GRAU: Doutor

ANO: 2016

É concedida à Universidade de Brasília de Brasília permissão para reproduzir cópias desta tese de doutorado para única e exclusivamente propósitos acadêmicos e científicos. O autor reserva para si os outros direitos autorais, de publicação. Nenhuma parte desta tese de doutorado pode ser reproduzida sem a autorização por escrito do autor. Citações são estimuladas, desde que citada à fonte.

Nome: SUSAN ARAYA

CPF: 749.345.381-00

Endereço: SGAS 611 L3 Sul, Conjunto D, Parte C, Asa Sul, Brasília CEP 70.200-710

Telefone: (61) 9-8124-0221

E-mail: susan_araya@hotmail.com

SUMÁRIO

	Página
RESUMO GERAL.....	i
GENERAL ABSTRACT.....	iii
INTRODUÇÃO GERAL	01
OBJETIVO GERAL.....	02
OBJETIVOS ESPECÍFICOS.....	02
REVISÃO DE LITERATURA.....	03
Produção de maracujá no Brasil	03
Características de <i>Passiflora edulis</i>	03
Variabilidade genética das Passifloras.....	04
Melhoramento genético do maracujazeiro.....	05
Marcadores moleculares	05
Marcadores microssatélites	06
Desenvolvimento de marcadores microssatélites	07
Uso dos marcadores microssatélites	08
REFERÊNCIAS BIBLIOGRÁFICAS	09
CAPÍTULO 1. DESENVOLVIMENTO DE MARCADORES	
MICROSSATÉLITES POR MEIO DO SEQUENCIAMENTO PARCIAL DO GENOMA DE MARACUJÁ-AMARELO <i>Passiflora edulis</i> Sims E	
TRANSFERIBILIDADE PARA 78 ESPÉCIES DO GÊNERO <i>Passiflora</i>.....	21
RESUMO.....	22
ABSTRACT.....	23
INTRODUÇÃO	24
MATERIAL E MÉTODOS	26
Extração de DNA e sequenciamento do genoma.....	26
Montagem <i>de novo</i> do genoma	26
Identificação de microssatélites e desenvolvimento de marcadores.....	27
Testes de PCR dos marcadores microssatélites	28
Material vegetal e descrição estatística dos marcadores microssatélites	28
Transferibilidade de marcadores microssatélites de <i>P. edulis</i>	32
RESULTADOS E DISCUSSÃO.....	33
Sequenciamento parcial e montagem <i>de novo</i> do genoma de <i>Passiflora edulis</i> Sims para a detecção de microssatélites	33
Estatística descritiva dos marcadores microssatélites	36
Transferibilidade dos marcadores microssatélites em espécies de <i>Passiflora</i>	39
CONCLUSÕES	46

REFERÊNCIAS BIBLIOGRÁFICAS	47
CAPÍTULO 2. ESTIMATIVA DAS TAXAS DE AUTOGAMIA E ALOGAMIA NA CULTIVAR BRS MARACUJÁ JABOTICABA DE <i>Passiflora edulis</i> Sims UTILIZANDO MARCADORES MICROSSATÉLITES	
RESUMO.....	57
ABSTRACT.....	58
INTRODUÇÃO	59
MATERIAL E MÉTODOS	61
Material vegetal	61
Extração de DNA e genotipagem	63
Estatísticas e análises de dados	63
RESULTADOS E DISCUSSÃO.....	64
CONCLUSÕES	74
REFERÊNCIAS BIBLIOGRÁFICAS	75
ANEXO.....	82
CAPÍTULO 3. ANÁLISE DE PATERNIDADE EM GENÓTIPOS DE <i>PASSIFLORA</i> OBTIDOS A PARTIR DE CRUZAMENTOS INTERESPECÍFICOS UTILIZANDO MARCADORES MICROSSATÉLITES	88
RESUMO	89
ABSTRACT.....	90
INTRODUÇÃO	91
MATERIAL E MÉTODOS	92
Material vegetal	92
Extração de DNA e genotipagem	94
Binagem e frequências alélicas.....	95
Análise de paternidade	96
RESULTADOS E DISCUSSÃO.....	97
Genealogia A	98
Genealogia B.....	100
Genealogia C.....	104
Genealogia D	109
CONCLUSÕES	112
REFERÊNCIAS BIBLIOGRÁFICAS	112
ANEXO.....	118
APÊNDICE.....	120

DESENVOLVIMENTO, VALIDAÇÃO, TRANSFERIBILIDADE E APLICAÇÃO DE MARCADORES MICROSSATÉLITES EM ESTUDOS GENÉTICOS DAS PASSIFLORAS

RESUMO GERAL

O gênero *Passiflora* compreende centenas de espécies silvestres e cultivadas de maracujá que possuem diversos usos na alimentação, na indústria, na medicina e também no paisagismo. Esforços para desenvolver ferramentas de análises genéticas em *Passiflora edulis* Sims, a espécie mais importante do gênero *Passiflora*, ainda são incipientes. Nessa pesquisa, é descrito o uso do Sequenciamento de Nova Geração para a montagem parcial do genoma de *P. edulis* com o intuito de desenvolver centenas de novos marcadores microssatélites. Um total de 14,11 Gpb de *reads* de sequências *paired-end* de Illumina foram analisadas para detectar sequências simples repetidas no genoma de maracujá. Uma amostra de 1.300 *contigs* que continham sequências de microssatélites foram selecionadas para o desenvolvimento de *primers* para PCR. Os painéis para os marcadores di- e tri-nucleotídeos selecionados, foram testados em acessos de *P. edulis* para a sua validação. Polimorfismo foi detectado em 74% dos marcadores (PIC=0,16-0,77; número de alelos/loco=2-7). Os marcadores mais polimórficos (PIC=0,46-0,77) foram usados em análises de transferibilidade, modo de reprodução e confirmação de cruzamentos. Os marcadores foram testados em 78 espécies de *Passiflora*, onde aproximadamente 71% da combinação marcador/espécie foi positiva para a amplificação em todas as espécies testadas. No estudo do modo de reprodução da cultivar BRS Maracujá Jaboticaba de *P. edulis*, nas populações de polinização aberta, a taxa de cruzamento multiloco (t_m) variou entre 0,409 e 0,566, evidenciando modo de reprodução misto por meio de autogamia e alogamia. Na confirmação de cruzamentos, foram analisados os genitores de quatro genealogias para a Inclusão ou Exclusão Categóricas para cada loco, e então calculados os Índice de Paternidade (PI) e a Probabilidade de Paternidade (W) para os verdadeiros genitores. Os marcadores microssatélites testados auxiliaram na exclusão de 7 supostos genitores de 6 cruzamentos em 4 genealogias, e confirmaram como genitores verdadeiros 5 dos supostos genitores, onde W variou entre 95,137 e 99,999%. Nossos estudos confirmaram a obtenção dos híbridos sexuais do

cruzamentos interespecífico *P. edulis* GA2 x *P. incarnata*. Os marcadores moleculares microssatélites desenvolvidos, validados e utilizados nesse trabalho serão de grande utilidade para diferentes estudos genéticos das Passifloras por diferentes grupos de pesquisa no Brasil e no mundo.

Palavras-chave: *Passiflora edulis*, montagem do genoma *de novo*, microssatélites, modo de reprodução, cruzamentos interespecíficos

**DEVELOPMENT, VALIDATION, TRANSFERABILITY AND
APPLICATION OF MICROSATELLITE MARKERS IN
GENETIC STUDIES OF PASSIFLORAS**

GENERAL ABSTRACT

The *Passiflora* genus comprises hundreds of wild and cultivated species of passion fruit used for food, industrial, ornamental and medicinal purposes. Efforts to develop genomic tools for genetic analysis of *P. edulis*, the most important of the *Passiflora* species, are still incipient. We describe the use of NGS technology to partially assemble the *P. edulis* genome in order to develop hundreds of new microsatellite markers. A total of 14.11 Mbp of Illumina paired-end sequence reads were analyzed to detect simple sequence repeat sites in the sour passion fruit genome. A sample of 1,300 contigs containing perfect repeat microsatellite sequences was selected for PCR primer development. A panel of di- and tri-nucleotide repeat markers selected were then tested in *P. edulis* germplasm accessions for validation. DNA polymorphism was detected in 74% of the markers (PIC= 0.16 to 0.77; number of alleles/locus= 2 to 7). A core panel of highly polymorphic markers (PIC= 0.46 to 0.77) was used in analysis of cross-amplify, matting system and confirmation crosses in *Passiflora*. The markers tested in 78 species of *Passiflora* resulted in 71% of the marker/species combinations for positive amplicons in all species tested. In the study of matting system in the cultivar BRS Maracujá Jaboticaba of *P. edulis*, in three of the offspring that comes from commercial orchards of *P. edulis* allogamy were confirmed with multilocus outcrossing rate (t_m) 0,409 to 0,566, that is an evidence of the mixed mating system through autogamy and allogamy. For the confirmation of crosses we analyzed the genitors from crosses of four genealogies by Categorical Inclusion or Exclusion for each loci, and then, estimated the Paternity Index (PI) and the Probability of Paternity (W) for the true genitor. Microsatellite markers tested assist for the exclusion of 7 alleged genitors of 6 crossings in 4 genealogies, and confirmed as a true genitors 5 alleged genitors, where W was rated between 95.137 and 99.999%. Our research confirms the achievement of sexual hybrid for interspecific crossing of *P. edulis* GA2 x *P. incarnata*. The new microsatellite markers, validated and used in this research,

will be useful for different genetic studies of *Passiflora* by different research groups in Brazil and worldwide.

Key words: *Passiflora edulis*, *de novo* genome assembly, microsatellite, mating system, interspecific crosses

INTRODUÇÃO GERAL

O maracujazeiro pertence à família *Passifloraceae*, a qual possui mais de 500 espécies distribuídas em regiões tropicais da América, Ásia e África (FEUILLET, 2004; MACDOUGAL; FEUILLET, 2004; VANDERPLANK, 1996). Brasil e Colômbia são os maiores centros de diversidade (FERREIRA, 1994; OCAMPO; D'EECKENBRUGGE; JARVIS, 2010). Dentro dessa família, a espécie mais importante é *Passiflora edulis* Sims ($2n=2x=18$), que representa uma produção mundial de 1.270.000 toneladas (FAO, 2011) onde o destino dos frutos é principalmente para a fabricação de sucos e concentrados, e o consumo *in natura*. Atualmente, o Brasil é o maior produtor e consumidor de maracujá no mundo (FAO, 2011), onde a cultura apresenta uma franca expansão, mas que ainda enfrenta problemas no sistema de produção devido em parte, à uma carência de cultivares adaptadas aos diferentes agroecossistemas e com adequado nível de resistência às principais doenças (MELETTI et al., 2005).

A espécie *P. edulis* apresenta uma ampla variedade de cores de casca nos seus frutos, começando desde o amarelo, passando pelo vermelho e chegando até o roxo. O maracujazeiro-amarelo é considerado como uma mutação do maracujazeiro-roxo ou como um híbrido natural entre o roxo e outras espécies relacionadas (AKAMINE; GIROLAMI, 1959). A diferença tem separado a espécie, tradicionalmente, em duas formas: *flavicarpa* e *edulis* (maracujazeiro-amarelo e maracujazeiro-roxo, respectivamente). Entretanto, em termos taxonômicos, segundo BERNACCI et al. (2008), a maneira correta é utilizar *Passiflora edulis* Sims para toda e qualquer planta e cor de fruto do maracujazeiro-azedo, seguido do nome da cultivar.

Maracujazeiro-amarelo é utilizado principalmente na fabricação de sucos e polpas (SOUZA; MELETTI, 1997). Já maracujazeiro-roxo possui características físicas e organolépticas interessantes para o mercado de frutas exóticas (MELETTI, 1999).

Considerando a importância dessa cultura e seus principais usos, programas de melhoramento genético têm realizado cruzamentos inter e intraespecíficos para obtenção de híbridos utilizando espécies como *Passiflora setacea*, *Passiflora quadrangularis*, *Passiflora incarnata*, entre outras espécies compatíveis com a espécie comercial, para a introdução de características desejáveis (MELETTI et al., 2005). Certamente ainda existem muitas outras espécies que devem ser devidamente

caracterizadas para seu uso em programas de melhoramento (CERQUEIRA-SILVA et al., 2014a).

Marcadores moleculares têm sido utilizados como ferramentas auxiliares nas diferentes etapas do melhoramento genético, desde a caracterização de germoplasma até as etapas finais de desenvolvimento e seleção de plantas melhoradas (FERREIRA; FALEIRO, 2008; FERREIRA; GRATTAPAGLIA, 1998). Dentro da ampla gama de marcadores moleculares utilizados, marcadores microssatélites apresentam grandes vantagens como a alta reprodutibilidade, codominância, alto conteúdo de polimorfismo e alelismo múltiplo (CHEN et al., 1997; LITT; LUTY, 1989).

Dentro da família *Passifloraceae*, algumas pesquisas têm desenvolvido marcadores microssatélites (CERQUEIRA-SILVA et al., 2012, 2014b; OLIVEIRA, 2006; OLIVEIRA et al., 2005; PADUA et al., 2005; PENHA et al., 2013), mas os resultados obtidos para os locos descobertos, têm sido insatisfatórios em relação ao polimorfismo detectado, principalmente em *P. edulis*, que é uma espécie autoincompatível e de grande importância econômica e social.

OBJETIVO GERAL

Desenvolver e validar marcadores microssatélites por meio do sequenciamento parcial do genoma de *Passiflora edulis* Sims, e utilizar esses marcadores em análises da variabilidade genética, do modo de reprodução de uma cultivar de maracujazeiro-roxo e na confirmação de cruzamentos inter e intraespecíficos realizados no programa de melhoramento genético das Passifloras realizado na Embrapa Cerrados.

OBJETIVOS ESPECÍFICOS

- Desenvolver e validar marcadores microssatélites por meio do sequenciamento parcial do genoma de *P. edulis*.
- Analisar a transferibilidade dos marcadores microssatélites desenvolvidos e validados em *P. edulis* para outras espécies do gênero *Passiflora*.
- Analisar a autocompatibilidade e taxas de alogamia e autogamia na cultivar BRS Maracujá Jaboticaba de maracujazeiro-roxo (*P. edulis*) utilizando marcadores microssatélites.

- Realizar análises de paternidade utilizando marcadores microssatélites, para a confirmação de cruzamentos realizados no programa de melhoramento das Passifloras.

REVISÃO DE LITERATURA

Produção de maracujá no Brasil

A produção de maracujá vem ganhando grande importância no Brasil a partir das últimas três décadas, o que coloca o País em uma situação de destaque no ranking mundial. A área plantada de maracujazeiro-azedo no Brasil, segundo o Instituto Brasileiro de Geografia e Estatística, corresponde a 51.187 ha alcançando uma produção de 921.275 t (IBGE, 2015). As maiores regiões produtoras de maracujazeiro no Brasil são o Nordeste e o Sudeste, e o Estado com maior produção é a Bahia, seguido por Ceará e Sergipe (IBGE, 2014). O rendimento nacional de aproximadamente 14 toneladas por hectare é baixo, considerando que o potencial da cultura é superior a 50 toneladas por hectare (MELETTI et al., 2005). Entre as causas da baixa produtividade estão o uso de cultivares inadequadas (JUNQUEIRA et al., 1999), a carência na utilização de tecnologias no sistema de produção, as condições edáficas e climáticas desfavoráveis para a cultura, e a ocorrência de fatores bióticos e abióticos que diminuem a produção e a longevidade das plantas (LIMA; BORGES, 2002). Portanto, o melhoramento genético enfocado no desempenho agronômico torna-se fundamental, assim como para a obtenção de cultivares resistentes a fitopatógenos (FALEIRO; JUNQUEIRA; COSTA, 2015).

Características de *Passiflora edulis*

O maracujazeiro-azedo ou *Passiflora edulis* Sims é uma planta trepadeira sub-lenhosa que apresenta grande vigor vegetativo e que pertence à família *Passifloraceae*. É uma espécie diploide ($2n=2x=18$), onde seu genoma é de tamanho médio entre 3.096 e 3.126 Mpb (SOUZA et al., 2004).

Seu caule é cilíndrico ou subanguloso e estriado. Suas folhas são trilobadas, trinervadas com lóbulos oblongo-ovados ou ovados, com ápice agudo e, às vezes um par de glândulas sésseis nos sinus dos lóbulos. A margem é serreada ou serreado-

glandular. Possui gavinhas axilares, solitárias e bem desenvolvidas e robustas. (CERVI, 1997).

A flor de *P. edulis* é hermafrodita, grande, vistosa e protegida na base por brácteas foliares. O ovário encontra-se sobre o androginóforo. Os três estiletes são livres e conatos na base, com estigmas capitados. O androceu é formado por cinco estames, com filetes livres inseridos abaixo do ovário e anteras dorsifixas e versáteis (BRUCKNER, 1997; VANDERPLANK, 1996). Embora a flor de *P. edulis* seja hermafrodita, ela é incapaz de produzir zigotos após autopolinização, devido à autoincompatibilidade, isto faz que o produtor precise ter um grande número de plantas geneticamente distintas em seu pomar. BRUCKNER et al. (1995) concluíram que a autoincompatibilidade em maracujazeiro-amarelo é do tipo homomórfica esporofítica, de herança monofatorial, entretanto, estudos realizados por SUASSUNA et al. (2003), sugerem a existência de um gene de efeito gametofítico associado ao sistema esporofítico. Por outro lado, na mesma espécie, mas em maracujazeiro-roxo, tem sido observada a autocompatibilidade (CHANG, 1974, 1981; ISHIHATA, 1981; RÊGO, 1997).

Os frutos de *P. edulis* são globosos ou ovoides, que apresentam grande variação de cores como amarelo-pálido, amarelo, amarelo-alaranjado, vermelho-rosado, vermelho, roxo-avermelhado, roxo-esverdeado, roxo e roxo-escuro (CERVI, 1997). Característica de herança complexa e que não apresenta dominância, existindo, portanto, várias cores intermediárias (BERNACCI et al., 2008).

Variabilidade genética das Passifloras

O gênero *Passiflora* está composto por mais de 500 espécies (VANDERPLANK, 1996), sendo que mais de 150 são originárias do Brasil, um dos principais centros de diversidade genética, observando uma ampla diversidade no Centro-Norte do País (FERREIRA, 1994). Segundo CUNHA (1997), dessas espécies, cerca de 70 produzem frutos comestíveis e segundo VIEIRA e CARNEIRO (2004), mais de 50 apresentam potencial comercial. Por exemplo, FALEIRO; JUNQUEIRA e COSTA (2015) e FALEIRO et al. (2013) relatam o potencial agronômico na produção de frutos das espécies *P. alata*, *P. setacea*, *P. nitida*, *P. tenuifila*, *P. cincinnata*, *P. quadrangularis* e *P. maliformis* para o mercado de frutas frescas, na produção de matéria-prima para doces e sorvetes e também substâncias bioativas com propriedades medicinais.

Melhoramento genético do maracujazeiro

As primeiras cultivares híbridas de maracujazeiro-azedo, obtidas a partir do melhoramento genético, foram lançadas em 1999 pelo Instituto Agronômico (IAC) para atender à especialização do mercado que buscava frutos de menor espessura da casca e homogeneidade (MELETTI, 2011). Com o passar do tempo, o foco mudou devido ao aumento da ocorrência de doenças nessa cultura, as quais depreciam a qualidade do fruto, diminuindo seu valor comercial e reduzindo a produtividade e a longevidade do pomar (FALEIRO; JUNQUEIRA; COSTA, 2015). Sendo assim, o melhoramento buscou selecionar genótipos superiores que fossem resistentes às doenças dentro e fora da espécie *P. edulis*, realizando hibridações intra e interespecíficas, e por sua vez retrocruzamentos, os quais têm sido utilizados com sucesso na incorporação de genes de resistência e outros genes de interesse em materiais comerciais (JUNQUEIRA et al., 2005; FALEIRO et al., 2008; FALEIRO; JUNQUEIRA, 2009; FONSECA et al., 2009).

Marcadores moleculares

Marcadores moleculares podem ser definidos como marcadores genéticos baseados na detecção de isoenzimas ou sequências de DNA. Entre as vantagens dos marcadores moleculares, estão a obtenção de um numero praticamente ilimitado de polimorfismos genéticos; a identificação direta do genótipo sem influência do ambiente; a possibilidade de detecção de tais polimorfismos em qualquer estádio do desenvolvimento da planta ou do animal, ou a partir de cultura de células ou tecidos, e a possiblidade de gerar maior quantidade de informação genética por loco no caso de marcadores codominantes (FERREIRA; GRATTAPAGLIA, 1997).

A disponibilidade de marcadores genéticos é fundamental na biologia e no melhoramento de plantas para a caracterização e seleção de plantas, para o mapeamento de genes e para a avaliação e análises de diversidade genética (RUDD et al., 2005).

Marcadores moleculares podem ser separados em dois grupos principais: a) marcadores moleculares loco-específicos codominantes, como RFLP (*Restriction Fragment Length Polymorphism*, GRODZICKER et al., 1974) e SSR ou microssatélites (*Sequências Simples Repetidas*, LITT; LUTY, 1989) e b) marcadores loco não-específicos dominantes, como RAPD (*Random Amplified Polymorphic*

DNA, WELSH; McCLELLAND, 1990) e AFLP (*Amplified Fragment Length Polymorphism*, VOS et al., 1995), ambos baseados na PCR (*Polymerase Chain Reaction*). Há outros marcadores que têm por base a PCR, porém um ou ambos os *primers* são assentados em sequências alvo, como RGA (*Resistance Gene Analogs*, LOPEZ et al., 2003; PFLIEGER et al., 2001; VALLAD et al., 2001; VAN DER LINDEN et al., 2004) e TRAP (*Target Region Amplification Polymorphism*, HU; VICK, 2003).

Para estudos de diversidade genética no gênero *Passiflora* têm sido usados marcadores RAPD (CROCHEMEORE et al., 2003; FAJARDO et al., 1998; VIANA et al., 2003), cpDNA (SÁNCHEZ et al., 1999), Isoenzimas (SEGURA et al., 2003), AFPL (SEGURA, et al., 2002), SSR (OLIVEIRA et al., 2005; PADUA et al., 2005) e ISSR (SANTOS et al., 2011).

Marcadores microssatélites

Microssatélites ou SSR (*Sequências Simples Repetidas*) são sequências de 1 a 6 nucleotídeos, chamados de motivos, repetidos em *tandem* (LITT; LUTY, 1989) e que se encontram presentes em regiões codificadoras e não codificadoras dos genomas eucarióticos e procarióticos (FIELD; WILLS, 1996). Inicialmente, microssatélites foram desenvolvidos em humanos (LITT; LUTY, 1989; WEISSENBACH et al., 1992) e então, estudos realizados em plantas demonstraram que são amplamente distribuídos nos seus genomas (BRUNEL, 1994).

As vantagens do uso de microssatélites sobre outros marcadores moleculares nos estudos genéticos são a reproduzibilidade, simplicidade e rapidez, pequena quantidade de DNA requerida, baixo custo de utilização, grande poder de resolução e altos níveis de polimorfismo (CHEN et al., 1997; LITT; LUTY, 1989). Além disso, os marcadores microssatélites podem ser usados para análises de transferibilidade, pedigrees e populações (BRONDANI et al., 1998).

Sequências que flanqueiam os microssatélites são bastante conservadas e são utilizadas para o desenho de *primers* e a amplificação dos microssatélites. A diferença de tamanho entre os fragmentos amplificados permite detectar o polimorfismo. Essa diferença se deve ao número de repetições dentro dos microssatélites. Além disso, os microssatélites parecem ter uma distribuição frequente e aleatória, permitindo uma cobertura completa do genoma (RALLO et al., 2000). As principais desvantagens são o alto custo requerido no desenvolvimento de *primers* específicos, quando eles não

estão disponíveis para a espécie a ser estudada (LITT; LUTY, 1989; MORGANTE; OLIVIERI, 1993; QUELLER et al., 1993).

Desenvolvimento de marcadores microssatélites

A estratégia de desenvolvimento de microssatélite, inicialmente proposta, envolvia a construção de biblioteca genômica, hibridização com sondas contendo microssatélite, sequenciamento dos clones hibridizados positivamente e desenho dos *primers* flanqueando os microssatélites encontrados (CAIXETA et al., 2006). O número de clones positivos, contendo os microssatélites, que podem ser obtidos com essa técnica, varia entre 12% a menos do que 0,04% do total de clones analisados (ZANE et al., 2002).

Atualmente, a aplicação de tecnologias de sequenciamento de nova geração é capaz de gerar informação sobre milhões de pares de bases em uma única corrida (CARVALHO; SILVA, 2010), o que gera dados sequenciados para a identificação de microssatélites em regiões aleatórias do genoma para o desenho de *primers* (ABDELKRIM et al., 2009; ZHU et al., 2012). Dentro das vantagens da técnica está o maior tamanho das leituras e a grande capacidade de gerar informação, o que torna o projeto de montagem mais fácil e permite trabalhar com coberturas genômicas mais amplas, favorecendo o processo de montagem (CARVALHO; SILVA, 2010).

O impacto no uso desta técnica no desenvolvimento de marcadores microssatélites é evidente: avaliações do genoma parcial utilizando até mesmo fracções de uma corrida de sequenciamento de nova geração permitem a descoberta de milhares de regiões de microssatélites potencialmente amplificáveis, as que podem ser selecionadas para o desenho de *primers* (CASTOE et al., 2010). Esta é uma abordagem promissora para espécies com informação genômica limitada, cujos programas de melhoramento se beneficiariam muito com o uso de ferramentas genômicas (SILVA et al., 2013).

Em *Passiflora*, vários trabalhos têm sido realizados para desenvolver microssatélites usando o método de bibliotecas enriquecidas, mas os microssatélites tem sido, em sua maioria, imperfeitos e compostos, o que tem afetado o nível de polimorfismo observado (CAZÉ et al., 2012; CERQUEIRA-SILVA et al., 2014; OLIVEIRA et al., 2005; PADUA et al., 2005; PENHA et al., 2013).

Uso dos marcadores microssatélites

Em geral, marcadores microssatélites têm sido utilizados para a construção de mapas de ligação (BRONDANI et al., 2002; HAMWIEH et al., 2005; LESPINASSE et al., 2000; PUGH et al., 2004; TEMNYKH et al., 2000), proteção de cultivares (PRIOLLI et al., 2004), *fingerprinting* (MOTILAL et al., 2011), caracterização e conservação de germoplasma (MASON et al., 2005), análise de pedigree (KOTZAMANIDIS et al., 2011) e estudos de diversidade genética (COLLEVATTI et al., 1999).

Já no gênero *Passiflora*, diversos são os trabalhos relacionados ao desenvolvimento e utilização de marcadores microssatélites em diferentes estudos genéticos. Em *P. edulis*, OLIVEIRA et al. (2005a) trabalharam em estudos de diversidade genética no desenvolvimento do primeiro conjunto de locos de microssatélites isolados a partir de uma biblioteca genômica. Em *Passiflora alata*, PADUA et al. (2005) desenvolveram um conjunto de marcadores microssatélites para analisar a estrutura genética da população silvestre e o modo de reprodução da espécie. Em 2009, KRIEDT trabalhou no desenvolvimento de marcadores microssatélites em *Passiflora ovalis*. PEREIRA (2010) utilizou marcadores microssatélites, M-AFLP e SNP visando à integração de mapas genético-moleculares em *P. alata*. FERREIRA et al. (2010) caracterizaram aspectos do sistema reprodutivo da mesma espécie usando RAPD e microssatélites. Em 2011, REIS et al. estimaram a variabilidade genética em dois ciclos de seleção recorrente do maracujazeiro-amarelo (*P. edulis*) e avaliaram o impacto da seleção nas progênies selecionadas via alterações nas frequências alélicas, detectadas com uso de marcadores microssatélites. Em *Passiflora contracta*, CAZÉ et al. (2012) desenvolveram uma biblioteca de microssatélites para estudos mais detalhados da estrutura genética da espécie, para contribuir em estudos de genética populacional. Em 2012, ORTIZ et al. avaliaram a variação intraespecífica do DNA de acessos de *P. edulis* usando marcadores AFLPs e SSR. CASTRO (2012) realizou um trabalho usando marcadores microssatélites para monitorar possíveis perdas de alelos e variações da frequência no ciclo de regeneração do germoplasma em espécies de *Passiflora*. Mais tarde, em 2013, PEREIRA et al., trabalharam para construir e integrar o mapa genético da espécie *P. alata* utilizando marcadores moleculares AFLP, microssatélites-AFLP, SSR, RGA e TRAP. Em um dos últimos trabalhos publicados sobre o assunto, CERQUEIRA-SILVA et al. (2014) desenvolveram os primeiros microssatélites para *Passiflora*.

setacea e caracterizaram novos marcadores para *P. edulis* e *Passiflora cincinnata*, apresentando 42 novos microssatélites polimórficos para as três espécies.

REFERÊNCIAS BIBLIOGRÁFICAS

- ABDELKRIM, J.; ROBERTSON, B. C.; STANTON, J.; GEMMELL, N. Fast, cost-effective development of species-specific microsatellite markers by genomic sequencing. **BioTechniques**, v. 46, n. 3, p. 185–92, 2009.
- AKAMINE, E. K.; GIROLAMI, G. Pollination and fruit set in the yellow passion fruit. **Hawaii Agricultural Experiment Station. Technical Bulletin**, v. 39, p. 44, 1959.
- BERNACCI, L. C.; SOARES-SCOTT, M. D.; JUNQUEIRA, N. T. V.; JUNQUEIRA, N. T. V.; PASSOS, I. R. S.; MELETTI, L. M. M. *Passiflora edulis* Sims: the correct taxonomic way to cite the yellow passion fruit (and other colors). **Revista Brasileira de Fruticultura**, v. 30, n. 2, p. 566–576, 2008.
- BOT. MAG. Self-incompatibility in passion fruit: evidence of gametophytic-sporophytic control. **Theoretical and Applied Genetics**, v. 106, p. 298–302, 2003.
- BRONDANI, R. P. V. BRONDANI, C.; TARCHINI, R.; GRATTAPAGLIA, D. Development, characterization and mapping of microsatellite markers in *Eucalyptus grandis* and *E. urophylla*. **Theoretical and Applied Genetics**, v. 97, n. 5–6, p. 816–827, 1998.
- BRONDANI, R. P. V; BRONDANI, C.; GRATTAPAGLIA, D. Towards a genus-wide reference linkage map for *Eucalyptus* based exclusively on highly informative microsatellite markers. **Molecular Genetics and Genomics**, v. 267, n. 3, p. 338–47, 2002.
- BRUCKNER, C. H.; CASALI, V. W. D.; MORAES, C. F.; REGAZZI, A. J.; SILVA, E. A. M. Self-incompatibility in passion fruit (*Passiflora edulis* Sims). **Acta**

Horticulturae, n. 370, p. 45–57, 1995.

BRUCKNER, C. H. Perspectivas do melhoramento genético do maracujazeiro. In: ABEL, R. S. et al. (Eds.). **Melhoramento, morte prematura, polinização, taxonomia**. Porto Alegre: Cinco Continentes, 1997. p. 70.

BRUNEL, D. A microsatellite marker in *Helianthus annuus* L. **Plant Molecular Biology**, v. 24, p. 397–400, 1994.

CAIXETA, E. T.; OLIVEIRA, A.C.B.; BRITO, G. G.; SAKIYAMA, N. S. Tipos de marcadores moleculares. In: BORÉM, A.; CAIXETA, E. T. (Eds.). **Marcadores moleculares**. Viçosa, MG: Jard, 2006. p. 374.

CARVALHO, M. C.; SILVA, D. Sequenciamento de DNA de nova geração e suas aplicações na genômica de plantas. **Ciência Rural**, v. 3, p. 735–744, 2010.

CASTOE, T. A.; POOLE, A. W.; KONING, A. P. J.; JONES, K.; TOMBACK, D. F.; OYLER-MCCANCE, S. J.; FIKE, J. A.; LANCE, S. L.; STREICHER, J. W.; SMITH, E. N.; POLLOCK, D. D. Rapid identification of thousands of copperhead snake (*Agkistrodon contortrix*) microsatellite loci from modest amounts of 454 shotgun genome sequence. **Molecular Ecology Resources**, v. 10, n. 2, p. 341–7, 2010.

CASTRO, J. **Conservação dos recursos genéticos de Passiflora e seleção de descritores mínimos para caracterização de maracujazeiro**. Universidade Federal do Recôncavo da Bahia, 2012.

CAZÉ, A. L. R.; KRIEDT, R. A.; BEHEREGARAY, L. B.; BONATTO, S. L.; FREITAS, L. B. Isolation and Characterization of Microsatellite Markers for *Passiflora contracta*. **International Journal of Molecular Science**, v. 13, n. 9, p. 11343–8, 2012.

CERQUEIRA-SILVA, C. B.; SANTOS, E. S . L.; SOUZA, A. M.; MORI, G. M.; OLIVEIRA, E. J.; CORRÊA, R. X.; SOUZA, A. P. Development and characterization

of microsatellite markers for the wild South American *Passiflora cincinnata* (Passifloraceae). **American Journal of Botany**, v. 99, n. 4, p. e170-2, 2012.

CERQUEIRA-SILVA, C. B.; JESUS, O. N.; SANTOS, E. S. L.; CORRÊA, R. X.; SOUZA, A. P. Genetic Breeding and Diversity of the Genus *Passiflora*: Progress and Perspectives in Molecular and Genetic Studies. **International Journal of Molecular Sciences**, v. 15, n. 8, p. 14122–14152, 2014a.

CERQUEIRA-SILVA, C. B.; SANTOS, E. S. L.; VIEIRA, J. G. P.; MORI, G. M.; JESUS, O. N.; CORRÊA, R. X.; SOUZA, A. P. New Microsatellite Markers for Wild and Commercial Species of *Passiflora* (Passifloraceae) and Cross-Amplification. **Applications in Plant Sciences**, v. 2, n. 2, p. 1300061, 2014b.

CERVI, A. C. Passifloraceae do Brasil. Estudo do gênero *Passiflora* L., subgênero *Passiflora*. **Fontqueria**, v. 45, p. 1–92, 1997.

CHANG, C. C. Studies on unfruitfulines of the yellow passion fruits growing in Taiwan. **Taiwan Agriculture Quarterly**, v. 10, n. 2, p. 78–89, 1974.

CHANG, C. C. Breeding of passion fruit. **Plant Breeding Abstracts**, v. 51, n. 6, p. 480, 1981.

CHEN, X.; TEMNYKH, S.; XU, Y.; CHO, Y. G.; MCCOUCH, S. R. Development of a microsatellite framework map providing genome-wide coverage in rice (*Oryza sativa* L.). **Theoretical and Applied Genetics**, v. 95, n. 4, p. 553–567, 1997.

COLLEVATTI, R. G.; BRONDANI, R. V; GRATTAPAGLIA, D. Development and characterization of microsatellite markers for genetic analysis of a Brazilian endangered tree species *Caryocar brasiliense*. **Heredity**, v. 83, p. 748–56, 1999.

CROCHEMEORE, M. L.; MOLINARI, H. B. C.; VIEIRA, L. G. E. Genetic Diversity in Passion Fruit (*Passiflora* spp.) Evaluated by RAPD Markers. **Brazilian Archives of Biology and Technology**, v. 46, n. 4, p. 521–527, 2003.

CUNHA, M. A. P. **Prioridades de pesquisa por subárea e objetivo.** Reunião técnica de pesquisa em maracujazeiro no Brasil. Cruz das Almas: EMBRAPA-CNPMF. Anais...Cruz das Almas, BA: EMBRAPA/CNPMF. Documentos 77, 1997

FAJARDO, D.; ANGEL, F.; GRUM, M.; TOHME, J.; LOBO, M.; ROCA, W. M. Genetic variation analysis of the genus *Passiflora* L. using RAPD markers. **Euphytica**, v. 101, p. 341–347, 1998.

FALEIRO, F. G. JUNQUEIRA, N. T. V.; BRAGA, M. F.; PEIXOTO, J. R. Caracterização de germoplasma e melhoramento genético do maracujazeiro assistidos por marcadores moleculares: resultados de pesquisa 2005-2008. **Boletim de Pesquisa e Desenvolvimento, N°207**, p. 59, 2008.

FALEIRO, F. G. JUNQUEIRA, N. T. V.; JESUS, O. N.; COSTA, A. M. **Avances y perspectivas del fitomejoramiento de las pasifloráceas en Brasil.** Congreso Latinoamericano de Passifloras 2. Anais...Neiva: Corporación Cepass Colombia, 2013.

FALEIRO, F. G.; JUNQUEIRA, N. T. V. Passion fruit (*Passiflora* spp.) improvement using wild species. In: MARIANTE, A. S.; SAMPAIO, M. J. S.; INGLIS, M. C. (Eds.). **The state of Brazil's plant genetic resources. Second national report. Conservation and sustainable utilization for food and agriculture.** p. 101–106.

FALEIRO, F. G.; JUNQUEIRA, N. T. V. Recursos genéticos: conservação, caracterização e uso. In: FALEIRO, F. G.; ANDRADE, S. R. M.; REIS JÚNIOR, F. B. (Eds.). **Biotecnologia: estado da arte e aplicações na agropecuária.** Planaltina, DF: Embrapa Cerrados, 2011. p. 513–551.

FALEIRO, F. G.; JUNQUEIRA, N. T. V.; COSTA, A. M. **Ações de Pesquisa e Desenvolvimento para o Uso Diversificado de Espécies Comerciais e Silvestres de Maracujá (*Passiflora* spp.).** Planaltina, DF: Embrapa Cerrados, 2015.

FAO. **Intergovernmental Group on Bananas and Tropical Fruits.** Commitee on Commodity Problems, Fifth Session. **Anais...Yaoundé**, Cameroon: 2011. Disponível

em: <<http://www.fao.org/docrep/meeting/022/am481t.pdf>

FERREIRA, F. R. Germoplasma de Passiflora no Brasil. In: **Maracujá: produção e mercado.** Vitória da Conquista: Universidade Estadual do Sudoeste da Bahia. São Jose, ed. São Jose. 1991. p. 24–26.

FERREIRA, M. E.; FALEIRO, F. G. Biotecnologia: avanços e aplicações no melhoramento genético vegetal. In: FALEIRO, F. G.; FARIA NETO, A. L. (Eds.). **Savanas: desafios e estratégias para o equilíbrio entre sociedade, agronegócio e recursos naturais.** Planaltina, DF: Embrapa Cerrados, 2008. p. 765–792.

FERREIRA, M. E.; GRATTAPAGLIA, D. **Introdução ao uso de marcadores moleculares em análise genética.** 3º ed. Brasília, DF: EMBRAPA-CENARGEN, 1998.

FERREIRA, T. G. T. PENHA, H. A.; ZUCCHI, M. I.; SANTOS, A. A.; HANAI, L. R.; JUNQUEIRA, N.; BRAGA, M. F.; VENCOVSKY, R.; VIEIRA, M. L. C. Outcrossing rate in sweet passion fruit based on molecular markers. **Plant Breeding**, v. 129, n. 6, p. 727–730, 2010.

FEUILLET, C. Passifloraceae (passion flower family). In: SMITH, N.; MORI, S. A.; HENDERSON, A.; STEVENSON, D. W.; HELD, S. V. (Eds.). **Flowering Plants on the Neotropics.** New York: Princeton University Press, 2004. p. 286–287.

FIELD, D.; WILLS, C. Long, polymorphic microsatellites in simple organisms. **Proceedings. Biological sciences / The Royal Society**, v. 263, n. 1367, p. 209–15, 1996.

FONSECA, G. K.; FALEIRO, F. G.; PEIXOTO, J. R.; JUNQUEIRA, N. T. V.; SILVA, M. S.; BELLON, G.; JUNQUEIRA, K. P.; VAZ, C. F. Análise da recuperação do genitor recorrente em maracujazeiro-azedo por meio de marcadores RAPD. **Revista Brasileira de Fruticultura**, v. 31, n. 1, p. 145–153, 2009.

GRODZICKER, T.; WILLIAMS, J.; SHARP, P.; SAMBROOK, J. Physical mapping

of temperature-sensitive mutations of adenoviruses. **Cold Spring Harbor Symposia on Quantitative Biology**, v. 39, p. 439–446, 1974.

HAMWIEH, A.; UDUPA, S. M.; CHOUMANE, W.; SARKER, A.; DREYER, F.; JUNG, C.; BAUM, M. A genetic linkage map of *Lens* sp. based on microsatellite and AFLP markers and the localization of fusarium vascular wilt resistance. **Theoretical and Applied Genetics**, v. 110, n. 4, p. 669–77, 2005.

HU, J.; VICK, B. A. Target Region Amplification Polymorphism: A Novel Marker Technique for Plant Genotyping. **Plant Molecular Biology Reporter**, v. 21, p. 289–294, 2003.

IBGE. **Séries históricas e estatísticas: lavoura permanente – quantidade produzida**. Disponível em:

<<http://www.sidra.ibge.gov.br/bda/tabela/protabl.asp?c=1613&z=p&o=30&i=P>>.

Acesso em: 28 nov. 2016.

ISHIHATA, K. Studies on the morphology of flowering organs and the fruit bearing in purple passion fruit, *Passiflora edulis* Sims. **Bulletin of the Faculty of Agriculture-Kagoshima University**, v. 31, p. 7–11, 1981.

JUNQUEIRA, N. T. V.; ANJOS, J. R. N.; SHARMA, R. D.; SANZONWICZ, C.; ANDRADE, J. R. M. **Doenças do Maracujazeiro**. III Encontro de Fitopatologia: Doenças de fruteiras tropicais. **Anais...** Viçosa: 1999.

JUNQUEIRA, N. T. V.; BRAGA, M. F.; FALEIRO, F. G.; PEIXOTO, J. R.; BERNACCI, J. C. Potencial de espécies silvestres de maracujazeiro como fonte de resistência a doenças. In: FALEIRO, F. G.; JUNQUEIRA, N. T. V.; BRAGA, M. F. (Eds.). **Maracujá: germoplasma e melhoramento genético**. Embrapa Cerrados, 2005. p. 81–108.

KOTZAMANIDIS, S.; IPSILANDIS, C.; MAVROMATIS, A.; KORKOVELOS, A.; LITHOURGIDIS, A.; IRAKLI, M. Prediction of pedigree relationships in durum wheat varieties based on agronomic, morphological and molecular traits. **Australian**

Journal of Crop Science, v. 5, n. 7, p. 809–814, 2011.

KRIEDT, R. **Isolamento de marcadores microsatélites para Petunia integrifolia subesp. depauperata (Solanaceae) e Passiflora ovalis (Passifloraceae)**. Universidade Federal do Rio Grande do Sul, 2009.

LESPINASSE, D.; RODIER-GOUD, M.; GRIVET, L.; LECONTE, G. A.; LEGNATE, H.; SEGUIN, M. A. saturated genetic linkage map of rubber tree (*Hevea* spp.) based on RFLP, AFLP, microsatellite, and isozyme markers. **Theoretical and Applied Genetics**, v. 100, p. 127–138, 2000.

LIMA, A. DE A.; BORGES, A. L. Solo e clima. In: LIMA, A. DE A. (Ed.). **Maracujá: produção, aspectos técnicos**. Brasília: Embrapa-SPI, 2002. p. 25–28.

LITT, M.; LUTY, J. A. A Hypervariable Microsatellite Revealed by In Vitro Amplification of a Dinucleotide Repeat within the Cardiac Muscle Actin Gene. **American Journal of Human Genetics**, v. 44, p. 397–401, 1989.

LÓPEZ, C. E.; ACOSTA, I. F.; JARA, C.; PREZADA, F.; GAITÁN-SOLÍS, E.; GALLEGOS, G.; BEEBE, S.; TOHME, J. Identifying resistance gene analogs associated with resistances to different pathogens in common bean. **Phytopathology**, v. 93, n. 1, p. 88–95, 2003.

MACDOUGAL, J.; FEUILLET, C. Systematics. In: ULMER, T.; MACDOUGAL, J. (Eds.). **Passiflora: Passionflowers of the World**. Portland, OR, USA: Timber Press, 2004. p. 27–31.

MASON, S. L.; STEVENS, M. R.; JELLEN, E. N.; BONAFACIO, A.; FAIRBANKS, D. J.; COLEMAN, C. E.; MCCARTY, R. R.; RASMUSSEN, A. G.; MAUGHAN, P. J. Development and use of microsatellite markers for germplasm characterization in quinoa (*Chenopodium quinoa* Willd.). **Crop Science**, v. 45, n. 4, p. 1618–1630, 2005.

MELETTI, L. M. M. Maracujá-roxo. **Revista Brasileira de Fruticultura**, v. 27, n. 2,

p. 194–348, 1999.

MELETTI, L. M. M.; SOARES-SCOTT, M. D.; BERNACCI, L. C.; PASSOS, I. R. S. Melhoramento genético do maracujá: passado e futuro. In: FALEIRO, F. G.; JUNQUEIRA, N. T. V.; BRAGA, M. F. (Eds.). **Maracujá: germoplasma e melhoramento genético**. Planaltina, DF. p. 55–78.

MELETTI, L. M. M. Avanços na cultura do maracujá no Brasil. **Revista Brasileira de Fruticultura**, v. 33, p. 83–91, 2011.

MORGANTE, M.; OLIVIERI, A. M. PCR-amplified microsatellites as markers in plant genetics. **The Plant Journal**, v. 3, n. 1, p. 175–82, 1993.

MOTILAL, L. A.; LAMBERT, A.; ZHANG, D.; UMAHARAN, P.; MISCHKE, S.; PINNEY, S.; MEINHARDT, L. W. Microsatellite fingerprinting in the International Cocoa Genebank, Trinidad: accession and plot homogeneity information for germplasm management. **Plant Genetic Resources**, v. 9, n. 3, p. 430–438, 2011.

OCAMPO, J.; D'EECKENBRUGGE, G.; JARVIS, A. Distribution of the genus Passiflora L. diversity in Colombia and its potential as an indicator for biodiversity management on the coffee growing zone. **Diversity**, v. 2, p. 1158–1180, 2010.

OLIVEIRA, E. J.; PÁDUA, J. G.; ZUCCHI, M. I.; CAMARGO, L. E. A.; FUNGARO, M. H. P.; VIEIRA, M. L. C. Development and characterization of microsatellite markers from the yellow passion fruit (*Passiflora edulis* f. *flavicarpa*). **Molecular Ecology Notes**, v. 5, n. 2, p. 331–333, 2005.

OLIVEIRA, E. J. **Desenvolvimento e uso de marcadores microssatélites para construção e integração de mapas genéticos de maracujá-amarelo (*Passiflora edulis Sims f. flavicarpa Deg.*)**. Universidade de São Paulo, 2006.

ORTIZ, D. C.; BOHÓRQUEZ, A.; DUQUE, M. C.; TOHME, J.; CUÉLLAR, D.; MOSQUERA, T. Evaluating purple passion fruit (*Passiflora edulis Sims f. edulis*) genetic variability in individuals from commercial plantations in Colombia. **Genetic**

Resources and Crop Evolution, v. 59, n. 6, p. 1089–1099, 2012.

PADUA, J. G.; OLIVEIRA, E. J.; ZUCCHI, M. I.; OLIVEIRA, G. C. X.; CAMARGO, L. E. A.; VIEIRA, M. L. C. Isolation and characterization of microsatellite markers from the sweet passion fruit (*Passiflora alata* Curtis: Passifloraceae). **Molecular Ecology Notes**, v. 5, n. 4, p. 863–865, 2005.

PENHA, H. A.; PEREIRA, G. S.; ZUCCHI, M. I.; DINIZ, A. L.; VIEIRA, M. L. C. Development of microsatellite markers in sweet passion fruit, and identification of length and conformation polymorphisms within repeat sequences. **Plant Breeding**, v. 132, n. 6, p. 731–735, 2013.

PEREIRA, G. S. **Desenvolvimento de marcadores SSR , M-AFLP e SNP visando à integração de mapas genético-moleculares de Passiflora alata Curtis**. Universidade de São Paulo, 2010.

PEREIRA, G. S.; NUNES, E. S.; LAPERUTA, L. D. C.; BRAGA, M. F.; PENHA, H. A.; DINIZ, A. L. MUNHOZ, C. F.; CAZAFFI, R.; GARCIA, A. A. F.; VIEIRA, M. L. C. Molecular polymorphism and linkage analysis in sweet passion fruit, an outcrossing species. **Annals of Applied Biology**, v. 162, n. 3, p. 347–361, 2013.

PFLIEGER, S.; PALLOIX, A.; CARANTA, C.; BLATTES, A.; LEFEBVRE, V. Defense response genes co-localize with quantitative disease resistance loci in pepper. **Theoretical and Applied Genetics**, v. 103, n. 6–7, p. 920–929, 2001.

PRIOLLI, R. H. G.; MENDES-JUNIOR, C. T.; SOUSA, S. M. B.; SOUSA, N. E. A.; CONTEL, E. P. B. Diversidade genética da soja entre períodos e entre programas de melhoramento no Brasil. **Pesquisa Agropecuária Brasileira**, v. 39, n. 10, p. 967–975, 2004.

PUGH, T.; FOUET, O.; RISTERUCCI, A. M.; BROTTIER, P.; ABOULADZE, M.; DELETREZ, C.; COURTOIS, B.; CLEMENT, D.; LARMANDE, P.; N'GORAN, J. A. K.; LANAUD, C. A new cacao linkage map based on codominant markers: development and integration of 201 new microsatellite markers. **Theoretical and**

Applied Genetics, v. 108, n. 6, p. 1151–61, 2004.

QUELLER, D. C.; STRASSMANN, J. E.; HUGHES, C. R. Microsatellites and Kinship. **Trends in Ecology and Evolution**, v. 8, n. 8, p. 285–288, 1993.

RALLO, P.; DORADO, G.; MARTIN, A. Development of simple sequence repeats (SSRs) in olive tree (*Olea europaea* L.). **Theoretical and Applied Genetics**, v. 101, p. 984–989, 2000.

RÊGO, M. M. DO. **Genética, interação pólen-pistilo e expressão de proteínas na auto-incompatibilidade do maracujazeiro (*Passiflora edulis* Sims)**. Universidade Federal de Viçosa, 1997.

REIS, R. V.; OLIVEIRA, E. J.; VIANA, A. P.; PEREIRA, T. N. S.; PEREIRA, M. G.; SILVA, M. G. M. Diversidade genética em seleção recorrente de maracujazeiro - amarelo detectada por marcadores microssatélites. **Pesquisa Agropecuária Brasileira**, v. 46, n. 1, p. 51–57, 2011.

RUDD, S.; SCHOOF, H.; MAYER, K. PlantMarkers--a database of predicted molecular markers from plants. **Nucleic Acids Research**, v. 33, p. 628–632, 2005.

SÁNCHEZ, I.; ANGEL, F.; GRUM, M.; DUQUE, M.; LOBO, M.; TOHME, J.; ROCA, W. Variability of chloroplast DNA in the genus *Passiflora* L. **Euphytica**, v. 106, p. 15–26, 1999.

SANTOS, L. F.; OLIVEIRA, E. J.; SILVA, A. S.; CARVALHO, F. M.; COSTA, J. L.; PÁDUA, J. G. ISSR markers as a tool for the assessment of genetic diversity in *Passiflora*. **Biochemical Genetics**, v. 49, n. 7–8, p. 540–54, 2011.

SEGURA, S.; LOPEZ, L.; GRUM, M.; GUARINO, L. Mapping the potential distribution of five species of *Passiflora* in Andean. **Genetic Resources and Crop Evolution**, v. 50, p. 555–566, 2003.

SEGURA, S. D.; COPPENS, G.; OCAMPO, H. Isozyme variation in *Passiflora*

subgenera Tacsonia and Manicata. Relationships between cultivated and wild species. **Genetic Resources and Crop Evolution**, v. 50, p. 417–427, 2002.

SILVA, P. I.; MARTINS, A. M.; GOUVEA, E. G.; PESSOA-FILHO, M.; FERREIRA, M. E. Development and validation of microsatellite markers for *Brachiaria ruziziensis* obtained by partial genome assembly of Illumina single-end reads. **BMC Genomics**, v. 14, n. 1, p. 17, 2013.

SOUZA, J.; MELETTI, L. **Maracujá: Espécies, Variedades, Cultivo**. Piracicaba, Brasil: Fealq, 1997.

SOUZA, M. M.; PALOMINO, G.; PEREIRA, T. N. S.; PEREIRA, M. G.; VIANA, A. P. Flow cytometric analysis of genome size variation in some Passiflora species. **Hereditas**, v. 141, p. 31–38, 2004.

TEMNYKH, S.; PARK, W. D.; AYRES, N.; CARTINHOUR, S.; HAUCK, N.; LIPOVICH, L.; CHO, Y. G.; ISHII, T.; MCCOUCH, S. R. Mapping and genome organization of microsatellite sequences in rice (*Oryza sativa* L.). **Theoretical and Applied Genetics**, v. 100, n. 5, p. 697–712, 2000.

VALLAD, G.; RIVKIN, M.; VALLEJOS, C.; MCCLEAN, P. Cloning and homology modelling of a Pto-like protein kinase family of common bean (*Phaseolus vulgaris* L.). **Theoretical and Applied Genetics**, v. 103, n. 6–7, p. 1046–1058, 2001.

VAN DER LINDEN, C. G.; WOUTERS, D. C. A. E.; MHALKA, V.; KOCHIEVA, E. Z.; SMULDERS, M. J. M.; VOSMAN, B. Efficient targeting of plant disease resistance loci using NBS profiling. **Theoretical and Applied Genetics**, v. 109, n. 2, p. 384–93, 2004.

VANDERPLANK, J. **Passion flowers**. Massachusetts: MIT Press, 1996. p. 224.

VIANA, A. P.; PEREIRA, T. N. S.; PEREIRA, M. G.; SOUSA, M. M.; MALDONADO, J. F. M.; JUNIOR, A. T. A. Diversidade genética entre genótipos comerciais de maracujazeiro-amarelo (*Passiflora edulis* f. *flavicarpa*) e entre espécies

de Passifloras nativas determinada por marcadores RAPD. **Revista Brasileira de Fruticultura**, v. 25, n. 3, p. 489–493, 2003.

VIEIRA, M. L. C.; CARNEIRO, M. C. **Passifloraceae**. In: LITZ, R. (Ed.). Biotechnology of fruit and nut crops. Oxford, 2004. p. 436–453.

VOS, P.; HOGERS, R.; BLEEKER, M.; REIJANS, M.; LEE, T. V.; FRIJTERS, A.; POT, J.; PELEMAN, J.; KUIPER, M.; ZABEAU, M.; KEYGENE, N. V.; BOX, P. O. AFLP : a new technique for DNA fingerprinting. **Nucleic Acids Research** v. 23, n. 21, p. 4407–4414, 1995.

WEISSENBACH, J.; GYAPAY, G.; DIB, C.; VIGNAL, A.; MORISSETTE, J.; MILLASSEAU, P.; VAYSSEIX, G.; LATHROP, M. A second-generation linkage map of the human genome. **Nature**, v. 359, p. 794–801, 1992.

WELSH, J.; MCCLELLAND, M. Fingerprinting genomes using PCR with arbitrary primers. **Nucleic Acids Research**, v. 18, n. 24, p. 7213–7218, 1990.

ZANE, L.; BARGELONI, L.; PATARNELLO, T. Strategies for microsatellite isolation: a review. **Molecular Ecology**, v. 11, p. 1–16, 2002.

ZHU, H.; SENALIK, D.; MCCOWN, B. H.; ZELDIN, E. L.; HYMAN, J.; BASSIL, N.; HUMMER, K.; SIMON, P. W.; ZALAPA, J. E. Mining and validation of pyrosequenced simple sequence repeats (SSRs) from American cranberry (*Vaccinium macrocarpon* Ait.). **Theoretical and Applied Genetics**, v. 124, n. 1, p. 87–96, 2012.

**CAPÍTULO 1. DESENVOLVIMENTO DE MARCADORES
MICROSSATÉLITES POR MEIO DO SEQUENCIAMENTO PARCIAL DO
GENOMA DE MARACUJÁ-AZEDO (*Passiflora edulis* Sims) E
TRANSFERIBILIDADE PARA 78 ESPÉCIES DO GÊNERO *Passiflora***

**CHAPTER 1. MICROSATELLITE MARKER DEVELOPMENT
BY PARTIAL SEQUENCING OF THE SOUR PASSION FRUIT GENOME
(*Passiflora edulis* Sims) AND TRANSFERABILITY TO 78 SPECIES OF THE
Passiflora GENUS**

RESUMO

O gênero *Passiflora* compreende centenas de espécies silvestres e cultivadas de maracujazeiro utilizadas na alimentação, na indústria, na medicina e também utilizadas como plantas ornamentais. Esforços para desenvolver ferramentas de análise genética em *P. edulis*, a espécie mais importante do gênero *Passiflora*, ainda são incipientes. Marcadores microssatélites em *P. edulis* são, geralmente, limitados em número, apresentando reduzido polimorfismo, onde a maioria está baseada em repetições nucleotídicas compostas ou imperfeitas. Além disso, marcadores microssatélites foram desenvolvidos apenas para algumas espécies de *Passiflora*. Nessa pesquisa, é descrito o uso do sequenciamento de nova geração (NGS) para a montagem parcial do genoma de *P. edulis* com o intuito de desenvolver novos marcadores microssatélites. Um total de 14,11 Gpb de *reads* de sequências paired-end de Illumina foram analisadas para detectar sequências simples repetidas (SSR) que foram selecionadas para o desenvolvimento de combinações de *primers* para PCR. Os painéis para os marcadores di e tri-nucleotídeos foram testados em acessos do germoplasma de *P. edulis* para a sua validação. Polimorfismo foi detectado em 74% dos marcadores (PIC = 0,16-0,77; número de alelos/loco = 2-7). Os marcadores mais polimórficos (PIC = 0,46-0,77) foram usados em análises de transferibilidade em 78 espécies de *Passiflora*, pertencentes a quatro subgêneros (*Astrophea*, *Decaloba*, *Distephana* e *Passiflora*). Aproximadamente 71% da combinação marcador/espécie foi positiva para a amplificação em todas as espécies testadas. Polimorfismo foi detectado nos acessos de seis espécies de *Passiflora* relacionadas entre si (*P. edulis*, *P. alata*, *P. maliformis*, *P. nitida*, *P. quadrangularis* e *P. setacea*), e os dados foram usados para a diferenciação entre acessos e espécies. O novo conjunto de marcadores microssatélites está pronto para seu uso em análises de polimorfismo de *P. edulis* e em outras espécies da família *Passifloraceae*.

Palavras-chave: *Passiflora edulis*, montagem do genoma *de novo*, microssatélites

ABSTRACT

The *Passiflora* genus comprises hundreds of wild and cultivated species of passion fruit used for food, industrial, ornamental and medicinal purposes. Efforts to develop genomic tools for genetic analysis of *P. edulis*, the most important commercial *Passiflora* species, are still incipient. Microsatellite markers in *P. edulis* are usually limited in number, show reduced polymorphism, and are mostly based on compound or imperfect repeats. Furthermore, microsatellite markers are confined to only a few *Passiflora* species. We describe the use of NGS technology to partially assemble the *P. edulis* genome in order to develop new microsatellite markers. A total of 14.11 Gbp of Illumina paired-end sequence reads were analyzed to detect simple sequence repeat sites in the sour passion fruit genome. A sample of 1,300 contigs containing perfect repeat microsatellite sequences was selected for PCR primer development. A panel of di- and tri-nucleotide repeat markers were then tested in *P. edulis* germplasm accessions for validation. DNA polymorphism was detected in 74% of the markers (PIC= 0.16 to 0.77; number of alleles/locus= 2 to 7). A core panel of highly polymorphic markers (PIC= 0.46 to 0.77) was used to cross-amplify PCR products in 78 species of *Passiflora*, belonging to four subgenera (*Astrophea*, *Decaloba*, *Distephana* and *Passiflora*). Approximately 71% of the marker/species combinations resulted in positive amplicons in all species tested. DNA polymorphism was detected in germplasm accessions of six closely related *Passiflora* species (*P. edulis*, *P. alata*, *P. maliformis*, *P. nitida*, *P. quadrangularis* and *P. setacea*) and the data used for accession discrimination and species assignment. The new set of microsatellite markers can be readily used for DNA polymorphism analysis of *P. edulis* and other *Passifloraceae*.

Key words: *Passiflora edulis*, *de novo* genome assembly, microsatellites

INTRODUÇÃO

O gênero *Passiflora* apresenta ampla variabilidade com aproximadamente 500 espécies distribuídas, predominantemente, nas regiões tropicais da América, sendo também encontrados exemplares na Ásia e na África (MACDOUGAL; FEUILLET, 2004). Apesar da incerteza taxonômica, aproximadamente 96% das espécies de *Passiflora* são encontradas na América do Sul e Centro-América (CERQUEIRA-SILVA et al., 2014a). Os maiores centros de diversidade são o Brasil e a Colômbia (FERREIRA; OLIVEIRA, 1991; OCAMPO; D'EECKENBRUGGE; JARVIS, 2010), onde centenas de espécies tem sido catalogadas. Apesar do grande número de espécies, somente algumas são usadas comercialmente, principalmente para a produção de frutos para o mercado *in natura* ou na produção do suco, e de folhas para a produção de fitoterápicos.

O maracujazeiro-azedo (*P. edulis*) é a espécie comercial mais importante dentro das espécies de *Passiflora* a nível mundial. É uma espécie alógama que apresenta variabilidade na forma, cor e morfologia de frutos, flores e plantas. A variabilidade genética em *P. edulis* tem sido estimada por descritores morfológicos (CROCCHMORE; MOLINARI; STENZEL, 2003; PLOTZE et al., 2005; VIANA et al., 2010) e características agronômicas (ABREU et al., 2009; CERQUEIRA-SILVA et al., 2008; MELETTI; SOARES-SCOTT; BERNACCI, 2005). A detecção de polimorfismo do DNA em *P. edulis* tem sido estudada com diferentes tipos de marcadores moleculares, como ISSR (SANTOS et al., 2011), RAPD (BELLON et al., 2007; CROCCHMORE; MOLINARI; VIEIRA, 2003; FAJARDO et al., 1998), AFLP (ORTIZ et al., 2012; SEGURA et al., 2002) e microssatélites (CERQUEIRA-SILVA et al., 2014b; OLIVEIRA et al., 2005). Altos níveis de variabilidade genética têm sido relatados em avaliações morfológicas e agronômicas, como também na maioria dos sistemas de marcadores. No entanto, o uso de marcadores microssatélites em análises genéticas de *P. edulis* tem apresentado baixo nível de polimorfismo (CERQUEIRA-SILVA et al., 2012, 2014b; OLIVEIRA et al., 2005; ORTIZ et al., 2012), o que é contraditório, considerando que a espécie apresenta ampla diversidade.

As vantagens dos marcadores microssatélites quando comparados com outras tecnologias são a alta reprodutibilidade, codominância, alto conteúdo de informação polimórfica (PIC) e alelismo múltiplo (BRONDANI et al., 1998; LITT; LUTY, 1989; POWELL et al., 1996). Menos de 200 marcadores microssatélites foram

desenvolvidos para *P. edulis* (CERQUEIRA-SILVA et al., 2014b; OLIVEIRA, 2006; OLIVEIRA et al., 2005), mas somente uma pequena fração deles foi validada e usada em estudos genéticos (OLIVEIRA, 2006; OLIVEIRA et al., 2013; ORTIZ et al., 2012; REIS et al., 2011). Os poucos marcadores microssatélites polimórficos em *P. edulis* estão baseados, principalmente, em repetições nucleotídicas imperfeitas e compostas, o que dificulta a interpretação da genotipagem de rotina devido às dificuldades da binagem dos alelos (DOMANIÇ, 2007; PREPARATA, 2007; LIM et al., 2013). Isso poderia ser uma limitação para algumas aplicações, especialmente para estudos genéticos populacionais (GOLDSTEIN; CLARK, 1995; MA; RÖDER; SORRELLS, 1996). Microssatélites perfeitos (com repetições nucleotídicas perfeitas, sem interrupção ou variação) são mais adequados, mas eles estão disponíveis em uma pequena fração (aproximadamente 10%) do total dos marcadores disponíveis para *P. edulis* (CERQUEIRA-SILVA et al., 2014b; OLIVEIRA, 2006; OLIVEIRA et al., 2005). O uso de marcadores microssatélites em *Passiflora* tem sido limitado a poucas espécies, tais como *P. edulis* (OLIVEIRA, 2006; OLIVEIRA et al., 2005), *P. alata* (PADUA et al., 2005; PENHA et al., 2013), *P. cincinnata* (CERQUEIRA-SILVA et al., 2012, 2014b), *P. setacea* (CERQUEIRA-SILVA et al., 2014b), e *P. contracta* (CAZÉ et al., 2012). Isso representa uma pequena porção (aproximadamente 1%) das espécies conhecidas de *Passiflora*. Restrições semelhantes à disponibilidade e utilização de marcadores microssatélite também tem sido observadas em outras espécies de *Passiflora*.

Desenvolvimento de marcadores microssatélites em *Passiflora* tem sido baseado na construção de bibliotecas genômicas enriquecidas para sequências simples repetidas (CAZÉ et al., 2012; CERQUEIRA-SILVA et al., 2012, 2014b; OLIVEIRA, 2006; OLIVEIRA et al., 2005; PADUA et al., 2005; PENHA et al., 2013). Esta é uma técnica eficaz, mas requer muito tempo e trabalho para a descoberta e desenvolvimento de marcadores microssatélites. Contudo, novas abordagens tais como o sequenciamento de nova geração (NGS) podem fornecer um grande número de sequências do genoma de alta qualidade, as que podem ser obtidas mais rapidamente e a custos reduzidos, facilitando a detecção de milhares de microssatélites no genoma de uma espécie-alvo (ABDELKRIM et al., 2009; CASTOE et al., 2010; CSENCICS; BRODBECK; HOLDERECKER, 2010; SILVA et al., 2013).

No presente estudo, foi utilizada a técnica NGS para sequenciar o genoma de *P. edulis*. As sequências dos *contigs* que foram obtidas pela montagem parcial *de novo* do genoma foram analisadas para detectar microssatélites perfeitos. Esses dados foram utilizados no desenvolvimento e validação dos marcadores microssatélites utilizados nos acessos de *P. edulis* do Banco de Germoplasma das Passifloras 'Flor da Paixão', da Embrapa Cerrados. Marcadores foram avaliados em qualidade e polimorfismo em *P. edulis* e em cinco espécies próximas de *Passiflora*, e também para transferibilidade em 78 espécies de *Passiflora* pertencentes a quatro subgêneros (*Astrophea*, *Decaloba*, *Distephana* e *Passiflora*), que foram coletadas no Brasil.

MATERIAL E MÉTODOS

Extração de DNA e sequenciamento do genoma

Folhas frescas do acesso *Passiflora edulis* CPGA1 (matriz da cultivar de maracujazeiro-azedo BRS Gigante Amarelo - BRS GA1), foram usadas para a extração de DNA sob o protocolo CTAB (DOYLE; DOYLE, 1987), com modificações descritas por FALEIRO et al. (2003). A construção da biblioteca de fragmentos de DNA genômico e o sequenciamento massivo paralelo *pair-end* foram realizados no sequenciador Illumina GAII seguindo o protocolo Illumina.

Montagem *de novo* do genoma

A presença de sequências de DNA não nuclear e/ou exógeno na base de dados de DNA de maracujazeiro foi verificada com BLASTing para DNA de cloroplasto, mitocôndria e possíveis contaminantes (fungos, bactérias e vírus). Sequências extrínsecas foram removidas das análises. A ferramenta de correção *short-read* de SOAPdenovo (Lançamento 1.05), foi utilizada para corrigir os *reads* de Illumina GA para genomas de plantas e animais (LI et al., 2008), aplicada nos arquivos formatados de FASTQ contendo os *reads* sequenciados de DNA. A função de ajuste CLC (limite padrão=0,05) (software CLC Genomics Workbench v.4.1, CLC Bio, Aarhus, Dinamarca) foi usada para eliminar os adaptadores do sequenciamento Illumina e a baixa qualidade dos *reads*. Rotinas de ErrorCorrection e KmerFreq foram aplicadas com os parâmetros padrão (*seed length* = 17, *quality cutoff* = 5). Arquivos finais de FASTQ foram submetidos à montagem *de novo* utilizando o tamanho *bubble* de 50 pb

no *software* CLC Genomics Workbench (*Assembly Length Fraction*= 0,5; *Similarity*= 0,8). Parâmetros de discordância, supressão e inserção foram fixados em 2, 3 e 3, respectivamente. O tamanho k-mer da montagem CLC Bio foi fixada em 25 pb e o limite da cobertura em 10X. Durante a montagem, o parâmetro do tamanho padrão foi ajustado para 25 usando a informação de sobreposição k-mer (grafo De Bruijn) para assegurar as vias inequívocas dos *contigs* obtidos. Para as análises, foram considerados os *contigs* maiores que 160 pb. Sobreposições entre as sequências foram representadas pelo grafo de estruturas De Bruijn (ZERBINO; BIRNEY, 2008).

Identificação de microssatélites e desenvolvimento de marcadores

A montagem *de novo* do sequenciamento parcial foi utilizada para a identificação dos locos de sequências simples repetidas (SSR) no genoma de maracujazeiro-azedo utilizando o *software* PHOBOS (MAYER, 2006-2011). Foram listados e quantificados os dados de locação e número de di, tri ou tetra-nucleotídeos de SSR obtidos da montagem parcial *de novo*. Sequências repetidas localizadas em regiões de genes putativos foram identificadas com o modelo de gene versão TAIR 9 utilizando os *contigs* de *P. edulis* e comparando-os com os transcritos de *Arabidopsis thaliana* (AtGDB171). A predição *ab initio* das regiões de expressão foram realizadas utilizando o *software* *geneid* (GUIGÓ et al., 1992). Ambas as análises foram consideradas para a seleção dos microssatélites localizados em regiões de genes. Microssatélites localizados exclusivamente em regiões genômicas com um mínimo de 15X de cobertura foram considerados para o desenvolvimento de marcadores. Foi criada uma base de dados com as sequências simples repetidas com quatro ou mais repetições de di, tri ou tetra-nucleotídeos. Locus de microssatélites que apresentaram motivos simples repetidos em tandem (“microssatélites perfeitos”) foram listados e aqueles que foram compostos (mais de um motivo) ou com repetições imperfeitas, foram deixados à parte. O grupo de marcadores selecionados foi formado por microssatélites perfeitos com um mínimo de 3 repetições no motivo e localizados em *contigs* com um mínimo de tamanho de 2,5 Kb e cobertura média de 20X, em uma tentativa de maximizar a independência do loco e a qualidade do marcador. Finalmente, foram desenvolvidos 816 pares de *primers* de microssatélites com o *software* Primer3Plus (UNTERGASSER et al., 2007).

Testes de PCR dos marcadores microssatélites

Foram desenhados painéis multiplex para a avaliação simultânea de marcadores microssatélites mediante o *software* Multiplex Manager (HOLLELEY; GEERTS, 2009). Os testes de PCR foram realizados em um volume final de 5 µL que continham 5 ng de DNA genômico, 1X de QIAGEN Multiplex PCR Kit Master Mix (QIAGEN), 0,5X de Q-Solution (QIAGEN), e 0,2 µM de cada *primer*. Reações de PCR foram realizadas no termocilador Veriti™ (Applied Biosystems, USA) utilizando o seguinte programa de amplificação: 95°C por 15 minutos; 35 ciclos a 94°C por 30 segundos, 55, 57 ou 60°C por 90 segundos, e 72°C por 60 segundos; seguidos por uma extensão final a 60°C por 60 minutos. Foram adicionados 9 µL de formamida Hi-Di™ (Applied Biosystems, USA) mais 1 µL de ROX-labeled de tamanho padrão no produto da PCR, e então desnaturado a 94°C por 5 minutos. O produto desnaturado foi injetado no sequenciador automático ABI3730 (Applied Biosystems, USA). A chamada dos alelos segundo o tamanho, e a genotipagem foram realizadas com o *software* GeneMapper® v.4.1 (Applied Biosystems, USA). A binagem dos alelos foi realizada com o *software* Tandem (MATSCHINER; SALZBURGER, 2009). Foi utilizado o Teste Exato de Fisher para provar a associação entre o nível de polimorfismo do marcador e do tamanho da repetição (di ou tri-nucleotídeo) usando o *software* MedCalc Statistical v.12.7.7 (<http://www.medcalc.org>; 2013).

Material vegetal e descrição estatística dos marcadores microssatélites

Dez acessos de maracujazeiro-azedo (*P. edulis* Sims), mantidos no Banco Ativo de Germoplasma da Embrapa Cerrados, Planaltina, DF, foram usados para avaliar se o novo conjunto de marcadores era adequado para as análises genéticas em maracujazeiro-azedo. Os dados dos acessos de maracujazeiro utilizados no presente estudo estão descritos na Tabela 1 (linhas 1 - 10). Esses acessos representam um grupo diverso de cultivares e variedades coletadas em diferentes regiões do Brasil. A única exceção é o acesso Gulupa procedente da Colômbia. Porém, acredita-se que esse acesso foi originalmente coletado no Brasil e então introduzido na Colômbia (FONSECA-TRUJILLO et al., 2009; RENDÓN; OCAMPO; URREA, 2013) e portanto, foi utilizado nas análises. Os dez acessos de *P. edulis* foram genotipados com uma amostra aleatória de 60 marcadores microssatélites di e tri-nucleotídeos. Foram estimados o polimorfismo, o número de alelos, a heterozigosidade e o

conteúdo de informação polimórfica para os marcadores utilizando o *software* Cervus v.3.0.3 (MARSHALL et al., 1998)

Tabela 1. Acessos do germoplasma de maracujazeiro (*Passiflora* spp.) coletados em diferentes regiões do Brasil e genotipados com os novos marcadores microssatélites.

Nº	Espécie	Subgênero	Origem
1	<i>Passiflora edulis</i> Sims	<i>Passiflora</i>	Seleção Embrapa CPGA1, Distrito Federal
2	<i>Passiflora edulis</i> Sims	<i>Passiflora</i>	Seleção Embrapa CPMSC1, Paraná
3	<i>Passiflora edulis</i> Sims	<i>Passiflora</i>	Seleção Maguary, Minas Gerais
4	<i>Passiflora edulis</i> Sims	<i>Passiflora</i>	Cafuringa, Distrito Federal
5	<i>Passiflora edulis</i> Sims	<i>Passiflora</i>	Niquelândia, Goiás
6	<i>Passiflora edulis</i> Sims	<i>Passiflora</i>	Oliveira, Minas Gerais
7	<i>Passiflora edulis</i> Sims	<i>Passiflora</i>	Búzios, Rio de Janeiro
8	<i>Passiflora edulis</i> Sims	<i>Passiflora</i>	Criciúma, Santa Catarina
9	<i>Passiflora edulis</i> Sims	<i>Passiflora</i>	Jundiaí, São Paulo
10	<i>Passiflora edulis</i> Sims	<i>Passiflora</i>	Gulupa, Colômbia (original do Brasil)
11	<i>Passiflora edulis</i> Sims	<i>Passiflora</i>	BRS Maracujá Jaboticaba, Distrito Federal
12	<i>Passiflora actinia</i> Hook.	<i>Passiflora</i>	Curitiba, Paraná
13	<i>Passiflora acuminata</i> DC.	<i>Passiflora</i>	Manaus, Amazonas
14	<i>Passiflora alata</i> Curtis	<i>Passiflora</i>	Monte Verde, Minas Gerais
15	<i>Passiflora alata</i> Curtis	<i>Passiflora</i>	Seleção Embrapa, Distrito Federal
16	<i>Passiflora alata</i> Curtis	<i>Passiflora</i>	Seleção Embrapa, Distrito Federal
17	<i>Passiflora alata</i> Curtis	<i>Passiflora</i>	Seleção Embrapa, Distrito Federal
18	<i>Passiflora alata</i> Curtis	<i>Passiflora</i>	Trancoso, Bahia
19	<i>Passiflora ambigua</i> Hemsl.	<i>Passiflora</i>	Confresa, Mato Grosso
20	<i>Passiflora amethystina</i> Mikan	<i>Passiflora</i>	Monte Verde, Minas Gerais
21	<i>Passiflora araujoi</i> Sacco	<i>Distephana</i>	Santarém, Pará
22	<i>Passiflora auriculata</i> Kunth	<i>Decaloba</i>	Manaus, Amazonas
23	<i>Passiflora bahiensis</i> Klotzsch	<i>Passiflora</i>	Lençóis, Bahia
24	<i>Passiflora biflora</i> Lam.	<i>Decaloba</i>	Novo Airão, Amazonas
25	<i>Passiflora botucarioana</i> Cervi	<i>Passiflora</i>	Conceição do Mato Dentro, Minas Gerais
26	<i>Passiflora caerulea</i> L.	<i>Passiflora</i>	Bento Gonçalves, Rio Grande do Sul
27	<i>Passiflora capsularis</i> L.	<i>Decaloba</i>	Planaltina, Distrito Federal
28	<i>Passiflora cerasina</i> Annonay & Feuillet	<i>Passiflora</i>	Presidente Figueiredo, Amazonas
29	<i>Passiflora cerradense</i> Sacco	<i>Astrophea</i>	Planaltina, Distrito Federal

Nº	Espécie	Subgênero	Origem
30	<i>Passiflora cervii</i> Milward-de-Azevedo	<i>Decaloba</i>	Caeté, Minas Gerais
31	<i>Passiflora chlorina</i> L. K. Escobar	<i>Astrophea</i>	Caeté, Minas Gerais
32	<i>Passiflora cincinnata</i> Mast.	<i>Passiflora</i>	Rio Pardo de Minas, Minas Gerais
33	<i>Passiflora coccinea</i> Aubl.	<i>Passiflora</i>	Pontes e Lacerda, Mato Grosso
34	<i>Passiflora decaisneana</i> G. Nicholson	<i>Passiflora</i>	Planaltina, Distrito Federal
35	<i>Passiflora edmundoi</i> Sacco	<i>Passiflora</i>	Rio Pardo, Minas Gerais
36	<i>Passiflora eichleriana</i> Mast.	<i>Passiflora</i>	Criciúma, Santa Catarina
37	<i>Passiflora elegans</i> Mast.	<i>Passiflora</i>	Patos de Minas, Minas Gerais
38	<i>Passiflora ferruginea</i> Mast.	<i>Decaloba</i>	Rio Branco, Acre
39	<i>Passiflora foetida</i> L.	<i>Passiflora</i>	Belém, Pará
40	<i>Passiflora galbana</i> Mast.	<i>Passiflora</i>	Ponte Nova, Minas Gerais
41	<i>Passiflora gardneri</i> Mast.	<i>Passiflora</i>	Silvânia, Goiás
42	<i>Passiflora gibertii</i> Brown	<i>Passiflora</i>	Poconé, Mato Grosso
43	<i>Passiflora glandulosa</i> Cav.	<i>Passiflora</i>	Igarapé-açu, Pará
44	<i>Passiflora haematostigma</i> Mart. ex Mast.	<i>Astrophea</i>	Natividade, Tocantins
45	<i>Passiflora hatschbachii</i> Cervi	<i>Passiflora</i>	Jaíba, Minas Gerais
46	<i>Passiflora hypoglaucha</i> Harms	<i>Passiflora</i>	Ouro Preto, Minas Gerais
47	<i>Passiflora incarnata</i> L.	<i>Passiflora</i>	Centroflora, Botucatu, São Paulo
48	<i>Passiflora jilekii</i> Wawra	<i>Passiflora</i>	Manhuaçu, Minas Gerais
49	<i>Passiflora junqueirae</i> Imig & Cervi	<i>Passiflora</i>	Caparaó, Minas Gerais
50	<i>Passiflora kermesina</i> Link & Otto	<i>Passiflora</i>	São José do Laranjal, Minas Gerais
51	<i>Passiflora laurifolia</i> L.	<i>Passiflora</i>	Picos, Piauí
52	<i>Passiflora ligularis</i> Juss.	<i>Passiflora</i>	Pomar comercial
53	<i>Passiflora loefgrenii</i> Vitta	<i>Passiflora</i>	Criciúma, Santa Catarina
54	<i>Passiflora luetzelburgii</i> Harms	<i>Passiflora</i>	Rio Pardo de Minas, Minas Gerais
55	<i>Passiflora malacophylla</i> Spruce ex Mast.	<i>Passiflora</i>	Rio das Ostras, Rio de Janeiro
56	<i>Passiflora maliformis</i> L.	<i>Passiflora</i>	Seleção Embrapa, Distrito Federal
57	<i>Passiflora maliformis</i> L.	<i>Passiflora</i>	Boa Vista, Roraima
58	<i>Passiflora maliformis</i> L.	<i>Passiflora</i>	Guajará Mirim, Rondônia
59	<i>Passiflora mendoncae</i> Harms	<i>Passiflora</i>	Monte Verde, Minas Gerais
60	<i>Passiflora micropetala</i> Mast.	<i>Decaloba</i>	Iranduba, Amazonas
61	<i>Passiflora miersii</i> Mast. in Mart.	<i>Passiflora</i>	Monte Verde, Minas Gerais
62	<i>Passiflora misera</i> Kunth	<i>Decaloba</i>	Trancoso, Bahia
63	<i>Passiflora morifolia</i> Mast. in Mart.	<i>Decaloba</i>	Lavras, Minas Gerais
64	<i>Passiflora mucronata</i> Lam.	<i>Passiflora</i>	Campos dos Goytacazes, Rio de Janeiro

Nº	Espécie	Subgênero	Origem
65	<i>Passiflora nitida</i> Kunth	<i>Passiflora</i>	Presidente Figueiredo, Amazonas
66	<i>Passiflora nitida</i> Kunth	<i>Passiflora</i>	Planaltina, Distrito Federal
67	<i>Passiflora nitida</i> Kunth	<i>Passiflora</i>	Marabá, Pará
68	<i>Passiflora odontophylla</i> Harms ex Glaz.	<i>Passiflora</i>	Caeté, Minas Gerais
69	<i>Passiflora organensis</i> Gardn.	<i>Decaloba</i>	Serra dos Órgãos, Rio de Janeiro
70	<i>Passiflora pedata</i> L.	<i>Passiflora</i>	Manaus, Amazonas
71	<i>Passiflora picturata</i> Ker	<i>Passiflora</i>	Álter do Chão, Pará
72	<i>Passiflora pohlii</i> Mast. in Mart.	<i>Decaloba</i>	Planaltina, Distrito Federal
73	<i>Passiflora porophylla</i> Vell.	<i>Decaloba</i>	Caeté, Minas Gerais
74	<i>Passiflora quadrangularis</i> L.	<i>Passiflora</i>	Silvânia, Goiás
75	<i>Passiflora quadrangularis</i> L.	<i>Passiflora</i>	Pomar comercial
76	<i>Passiflora quadrifaria</i> Vanderpl.	<i>Distephana</i>	Manaus, Amazonas
77	<i>Passiflora quadriglandulosa</i> Rodschied	<i>Distephana</i>	Porto Velho, Rondônia
78	<i>Passiflora racemosa</i> Brot.	<i>Passiflora</i>	Búzios, Rio de Janeiro
79	<i>Passiflora recurva</i> Mast. in Mart.	<i>Passiflora</i>	Rio Pardo de Minas, Minas Gerais
80	<i>Passiflora rhamnifolia</i> Mast.	<i>Astrophea</i>	Caeté, Minas Gerais
81	<i>Passiflora riparia</i> Mart.	<i>Passiflora</i>	Confresa, Mato Grosso
82	<i>Passiflora rubra</i> L.	<i>Decaloba</i>	Monte Verde, Minas Gerais
83	<i>Passiflora saxicola</i> Gontsch.	<i>Decaloba</i>	Porto Seguro, Bahia
84	<i>Passiflora sclerophylla</i> Harms	<i>Astrophea</i>	Manaus, Amazonas
85	<i>Passiflora setacea</i> DC.	<i>Passiflora</i>	Tapiramutá, Bahia
86	<i>Passiflora setacea</i> DC.	<i>Passiflora</i>	Planaltina, Distrito Federal
87	<i>Passiflora setacea</i> DC.	<i>Passiflora</i>	Manhuaçu, Minas Gerais
88	<i>Passiflora setacea</i> DC.	<i>Passiflora</i>	Janaúba, Minas Gerais
89	<i>Passiflora sidaefolia</i> M. Roemer	<i>Passiflora</i>	Caparaó, Minas Gerais
90	<i>Passiflora speciosa</i> Gardn.	<i>Passiflora</i>	Manhuaçu, Minas Gerais
91	<i>Passiflora suberosa</i> L.	<i>Decaloba</i>	Macapá, Amapá
92	<i>Passiflora subrotunda</i> Mast. in Mart.	<i>Passiflora</i>	Natal, Rio Grande do Norte
93	<i>Passiflora tenuifila</i> Killip	<i>Passiflora</i>	Patos de Minas, Minas Gerais
94	<i>Passiflora tholozanii</i> Sacco	<i>Distephana</i>	Girau, Rondônia
95	<i>Passiflora tricuspis</i> Mast. in Mart.	<i>Decaloba</i>	Planaltina, Distrito Federal
96	<i>Passiflora triloba</i> Ruiz & Pav. ex DC.	<i>Passiflora</i>	Cruzeiro do Sul, Acre
97	<i>Passiflora trintae</i> Sacco	<i>Passiflora</i>	Rio Pardo, Minas Gerais
98	<i>Passiflora variolata</i> Poepp. & Endl.	<i>Distephana</i>	Manaus, Amazonas
99	<i>Passiflora vespertilio</i> L.	<i>Decaloba</i>	Manaus, Amazonas

Nº	Espécie	Subgênero	Origem
100	<i>Passiflora villosa</i> Vell.	<i>Passiflora</i>	Alto Paraíso, Goiás
101	<i>Passiflora vitifolia</i> Kunth	<i>Passiflora</i>	Poconé, Mato Grosso

Transferibilidade de marcadores microssatélites de *P. edulis*

Com o intuito de testar a transferibilidade em outras espécies de *Passiflora*, os marcadores microssatélites desenvolvidos para *P. edulis* que apresentaram PIC maior que 0,45 foram genotipados em 90 acessos pertencentes a 78 espécies de *Passiflora* (Tabela 1, filas 12 - 101), mantidos no Banco Ativo de Germoplasma de Passifloras da Embrapa Cerrados, Planaltina, DF. Essas espécies de *Passiflora* fazem parte de quatro subgêneros (*Astrophea*, *Decaloba*, *Distephana* e *Passiflora*). Os acessos foram genotipados com 18 dos marcadores polimórficos dentro do conjunto de 60 marcadores inicialmente selecionados da validação. Quando a amplificação de PCR foi exitosa, foi registrada a presença ou ausência de fragmentos amplificados se o tamanho dos alelos fora detectado no intervalo esperado.

Para a maioria das espécies de *Passiflora*, somente um acesso estava representado no Banco Ativo de Germoplasma. Para as espécies com dois ou mais acessos disponíveis, a amplificação cruzada e o polimorfismo dos marcadores foram computados (Tabela 1). A frequência observada em 27 acessos de seis espécies (*P. edulis*, *P. alata*, *P. maliformis*, *P. nitida*, *P. quadrangularis* e *P. setacea*) mais o acesso 11 (Tabela 1, BRS Maracujá Jaboticaba) foi usado para estimar a distância genética utilizando o coeficiente Band (LYNCH, 1990). BRS Maracujá Jaboticaba é uma cultivar autógama de maracujazeiro-azedo de filogenia desconhecida a que produz pequenos frutos de casca roxa. A similaridade genética detectada pelos marcadores microssatélites foi explorada com Análises de Coordenadas Principais (PCoA) utilizando o software NTSYSpc v.2.10 (ROHLF, 1990). As análises de estrutura da população e ancestralidade dos 28 acessos com base na estatística Bayesiana, sem nenhuma atribuição prévia às espécies, foi realizada utilizando o software Structure v.2.3.4 (PRITCHARD; STEPHENS; DONNELLY, 2000; PRITCHARD; WEN; FALUSH, 2010). Foi considerado o modelo de frequências alélicas correlacionadas e independentes entre os grupos inferidos, com base nos parâmetros do modelo de mistura (*Admixture model*) com 250.000 repetições iniciais (*burnin*) com um tamanho na corrida de 500.000 (*run-length*). Para identificar o

número de grupos na amostra dos acessos de *Passiflora*, o valor de ln P(D) foi obtido por meio do teste de K variando entre 1 a 10 usando 20 corridas independentes para cada valor de K (duração do período de repetições iniciais: 50.000; número de MCMC repetições após as repetições iniciais: 50.000). Os valores mais prováveis de K para cada teste foram detectados pelo Delta K (EVANNO; REGNAUT; GOUDET, 2005). Os acessos de *Passiflora* testados foram divididos em grupos segundo os valores de Q maiores ou iguais a 0,70, ou sendo considerados como intermediários ou misturados. A extração e quantificação de DNA de todos os acessos de *Passiflora* seguiram os procedimentos descritos anteriormente.

RESULTADOS E DISCUSSÃO

Sequenciamento parcial e montagem *de novo* do genoma de *Passiflora edulis* Sims para a detecção de microssatélites

A montagem foi baseada em 225.293.527 *reads* curtos de sequências de DNA (média do tamanho=62,65 pb), compreendendo uma base de dados de 14.113.860.125 pb (Tabela 2), a que correspondeu aproximadamente a 4,4X de cobertura do genoma de maracujá, supondo que o tamanho do genoma é de 3.126 Mpb (SOUZA et al., 2004). O total de 234.239 segmentos de contigs mostrou variação de tamanho de 166 a 45.662 pb, com média de 707 pb e cobertura de 165.702.691 pb. O conjunto dos segmentos foi revisado para identificar a presença de sítios de microssatélites.

Tabela 2. Resumo dos dados dos *reads* das sequências *pair-end* de Illumina, montagem *de novo* e detecção de repetições de microssatélites no genoma de *P. edulis*.

Informação do sequenciamento	Total #	Variação em tamanho (pb)	Média do tamanho (pb)	Total (pb)
Reads de paired-end de Illumina	225.293.527	52-76	62,65	14.113.860.125
Contigs	234.239	166-45.662	707	165.702.691
Sequências de microssatélites	Total #	>5 repetições		
Microssatélites imperfeitos e/o compostos	1.544.549		-	
Di-nucleotídeos perfeitos	360.162	13.391		
Tri-nucleotídeos perfeitos	60.669	1.436		
Tetra-nucleotídeos perfeitos	7.463	186		
Total	1.972.843		-	

O conjunto de 1.972.843 sítios de microssatélites ajustaram-se aos critérios estabelecidos para o descobrimento de sequências simples repetidas na montagem dos segmentos dos *contigs* (Tabela 2). Microssatélites perfeitos incluíram 360.162 repetições de di-nucleotídeos com um número de repetições que variou de 3 até 20 ($13.391 > 5$ repetições). Repetições perfeitas de tri-nucleotídeos incluíram 60.669 sítios de 3 até 14 repetições ($1.436 > 5$ repetições). Para tetra-nucleotídeos as repetições perfeitas incluíram 7.463 sítios com 3 até 13 repetições ($186 > 5$ repetições).

Análises de sequências dos *contigs* de *P. edulis* permitiram 37.761 anotações de genes e identificaram 5.947 sequências repetidas localizadas em regiões de genes putativos, dos quais 2.990 *hits* foram não redundantes. A predição *ab initio* para as regiões de expressão resultou em uma compilação de 101.361 *hits* em regiões de exons dos 47.706 dos *scaffolds* avaliados. Usando o mínimo de 15X de cobertura média como corte, um total de 1.300 sítios de microssatélites perfeitos foram selecionados em regiões genômicas funcionais e estruturais de maracujazeiro-azedo. Nessa amostra de sítios de microssatélites, as repetições de tri-nucleotídeos foram a classe mais abundante (534 sítios), seguida pelos tetra-nucleotídeos (475) e di-nucleotídeos (294) (Figura 1a). Os tipos de sequências de microssatélites mais frequentes em cada classe foram AT/TA, GAA/TCC e AAAT/ATT (Figura 1b). A repetição do motivo de di-nucleotídeo mais frequente (AT) também foi a mais abundante, correspondendo a 5,3% da região de microssatélites perfeitos detectados nos *contigs* com pelo menos 15X de cobertura. Por outro lado, motivos das repetições de tri e tetra-nucleotídeos apresentaram uma distribuição mais balanceada entre as diferentes classes.

A lista de 1.300 sítios de microssatélites foi ainda analisada para o desenvolvimento de *primers* para PCR. Pares de *primers* flanqueando as repetições de DNA puderam ser desenvolvidos para 816 sítios de microssatélites, os que foram adequados para o desenho dentro de cada *contig*, que não apresentaram locos de sequências simples repetidas adjacentes e que atenderam os requisitos previamente descritos (Apêndice). Aos novos marcadores microssatélites lhes foi dado o prefixo “BrPe”. A lista de marcadores incluiu 149 di, 329 tri e 338 tetra-nucleotídeos. Aproximadamente 56% dos marcadores estavam localizados em regiões funcionais do genoma de *P. edulis* (60 repetições de di, 263 de tri e 139 de tetra-nucleotídeos) e o restante em regiões estruturais.

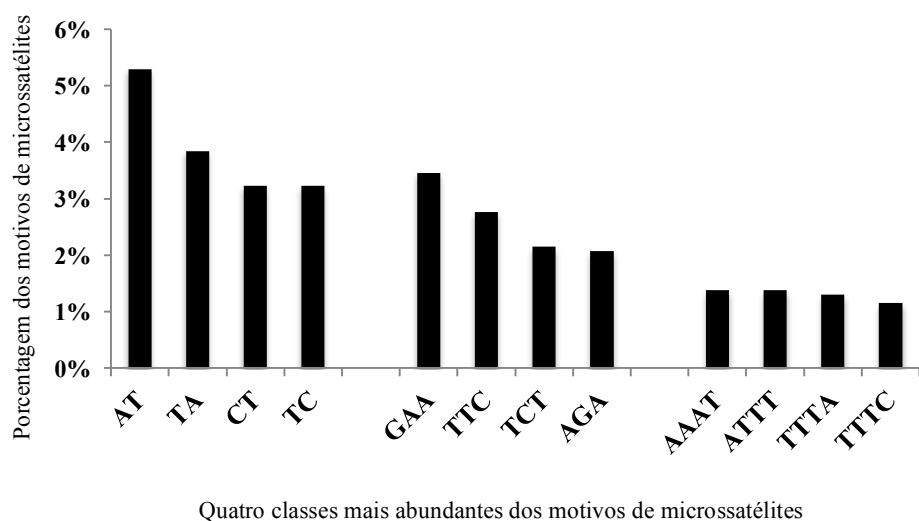
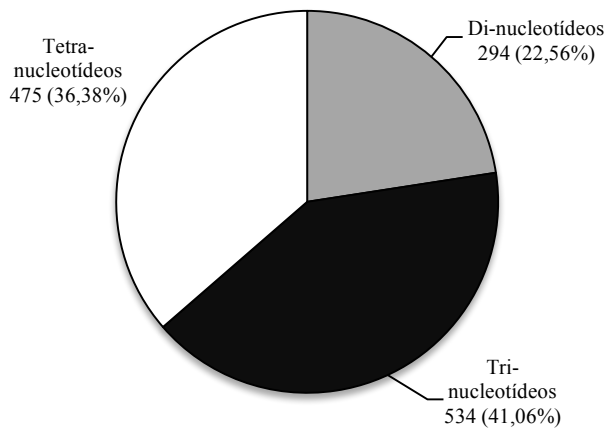


Figura 1. (a) Distribuição dos microssatélites perfeitos de di, tri e tetra-nucleotídeos em *contigs* com um mínimo de 15X de cobertura (b) Distribuição dos motivos mais frequentes com um mínimo de 15X de cobertura.

Foi escolhida uma amostra de 60 marcadores (50 di e 10 tri-nucleotídeos) que foram marcados com pigmentos fluorescentes e combinados para a amplificação simultânea em duplas ou trios para testar a eficiência de genotipagem e o polimorfismo dos marcadores nos acessos de maracujazeiro. Foram testados 25 painéis, que geralmente continham dois marcadores cada um para a amplificação

simultânea dos alelos. Dos 60 marcadores, 52 amplificaram produto em todos os 25 painéis, sem ajuste nas condições de PCR (Figura 2). Cinco marcadores funcionaram melhor na amplificação individual (BrPe0014, BrPe0021, BrPe0033, BrPe0042, BrPe0043). Não foram obtidos fragmentos amplificados de PCR em três marcadores (5%) (BrPe0004, BrPe0005, BrPe0048), embora não tenham sido testados ajustes na PCR. Isto representa uma taxa de sucesso mais elevada na amplificação por PCR de marcadores microssatélites que foram obtidos por qualquer outro método.

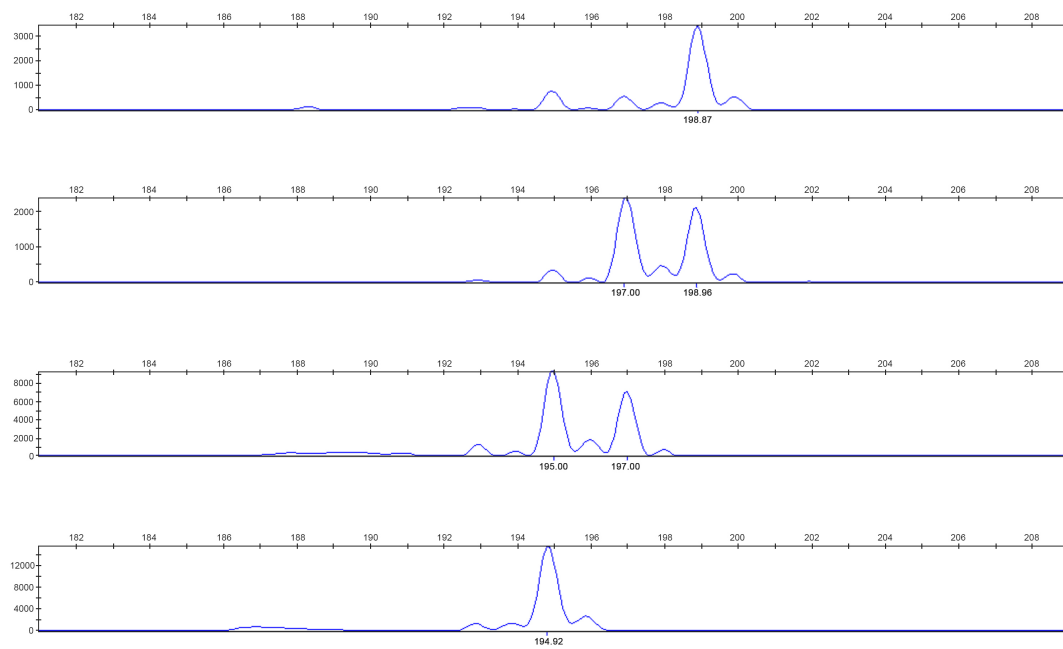


Figura 2. Eletroferograma do marcador BrPe0006 mostrando os padrões de amplificação e o polimorfismo do DNA em quatro acessos de *P. edulis* (1, 3, 4, 5) (Eixo Y = pfu; Eixo X = tamanho do alelo).

Estatística descritiva dos marcadores microssatélites

Dentro dos 57 marcadores que produziram fragmentos amplificados, 42 (aproximadamente 74%) foram polimórficos quando testados em uma amostra de dez acessos do germoplasma de *P. edulis*, que permitiram a detecção de 137 alelos (Tabela 3). Quinze marcadores não foram polimórficos (nove repetições de di-nucleotídeos e seis de tri-nucleotídeos) (Apêndice). O número de alelos observados para todos os marcadores microssatélites polimórficos variou entre 2 a 7, com uma

média de 3,26 alelos por loco (Tabela 3). Os valores para a heterozigosidade esperada (He) foram entre 0,19 e 0,84 com uma média de 0,55. A heterozigosidade observada (Ho) variou entre 0,00 e 1,00 com uma média de 0,45 (Tabela 3).

Foi conferido se o tamanho dos locos polimórficos correspondia ao tamanho esperado dos fragmentos de *P. edulis*. O tamanho esperado para cada marcador microssatélites está baseado na informação de sequenciamento gerada pelo processo da montagem *de novo*. A proporção de marcadores que geraram fragmentos amplificados dentro do 5% do tamanho esperado foi de 100% (42 de 42). Aproximadamente 55% dos marcadores polimórficos geraram fragmentos amplificados com produto exato ao esperado (23 de 42).

Além dos 50 marcadores de di-nucleotídeos testados para polimorfismo, 17 foram localizados nas regiões genômicas estruturais e 53 em sítios funcionais putativos do genoma de *P. edulis* (Apêndice). Não foi achada associação significativa (Teste Exato de Fisher P=0,64) entre o nível de polimorfismo do marcador e o tamanho da repetição (di ou tri-nucleotídeo).

Tabela 3. Estatísticas descritivas dos novos marcadores microssatélites de *Passiflora edulis*

Nº	Marcador	Sequência do primer 5'-3'	Motivo repetido	T _a	N alelos	Faixa tamanho do alelo (pb)	He	Ho	PIC
1	BrPe0032	F:TTGCACAATGACCAATGTTGT R:CTGAGCACCTTGTCAAAATACA	(AT) ₁₃	60°C	7	137-157	0,84	1,00	0,77
2	BrPe0028	F:CAAAGGAACAGGGAAAGA R:GAAAGAGAGAAAGACAGAGA	(TA) ₆	55°C	5	90-110	0,80	0,50	0,72
3	BrPe0024	F:CCCTACCTTCTGCTT R:CATCTCCTCTATCTCCCTC	(TC) ₇	55°C	4	221-231	0,76	0,70	0,68
4	BrPe0031	F:AGGTGGTGGGTGTGTTAG R:CATTCAACTCCCCAAAGGT	(TA) ₉	60°C	5	134-150	0,77	0,67	0,67
5	BrPe0014	F:AATATGGCTGGGAAAC R:TTCTGCTTTGGACCTT	(AG) ₇	57°C	5	215-227	0,75	0,50	0,67
6	BrPe0033	F:GCCATGAGAGACTTGGGAGA R:CGTTGCCAAAAAGAACAGAGA	(AT) ₈	60°C	5	237-249	0,72	0,30	0,65
7	BrPe0038	F:TTTCAACTTTCGTGTGC R:TGTTGTTGCTTGGAAAGATG	(AT) ₆	60°C	5	154-176	0,73	0,60	0,64
8	BrPe0042	F:CATGCATTCTTTCTTG R:GATGCTGGAAAAAGAGTGC	(AT) ₈	60°C	6	142-160	0,71	0,80	0,63
9	BrPe0003	F:CTTCTCCCTATAACCC R:CCCTCCATAATCACATAAC	(TC) ₁₁	55°C	5	277-291	0,70	0,40	0,62
10	BrPe0043	F:TCATACATGGATGTCAAATCGATAC R:GCGGACCAAGAAAATCAAA	(AT) ₈	60°C	4	199-207	0,71	0,50	0,60
11	BrPe0006	F:AAGGAAAAGAACAGCCTCA R:CGCTCTCAAATCAGTCAAA	(TC) ₁₀	55°C	4	193-199	0,68	0,40	0,59
12	BrPe0002	F:AAAGCCCAGATGAAGTGAA R:GGCTCCAATCAGAACAGTGT	(AG) ₁₂	55°C	3	177-185	0,69	0,56	0,58
13	BrPe0021	F:ACTTCCTCATCATCG R:GCTATGCCCTTTTG	(TA) ₇	55°C	3	158-164	0,67	0,25	0,56
14	BrPe0036	F:TCGGACCTTAAACCGAGAA R:CAAGCACCAAAATTGACGAG	(TC) ₆	60°C	4	197-203	0,65	0,10	0,54
15	BrPe0023	F:AGATACCACACCAATAG R:TTGGAGTTGGGGGA	(CT) ₇	55°C	6	118-132	0,57	0,40	0,52

Nº	Marcador	Sequência do primer 5'-3'	Motivo repetido	T _a	N alelos	Faixa tamanho do alelo (pb)	He	Ho	PIC
16	BrPe3011	F:CCGGTCTTCCTGATTGACTC R:CCTCTCTCACCTGGAAGTGC	(TTC) ₄	60°C	3	157-163	0,62	0,30	0,50
17	BrPe0037	F:TGATAATGCAGCGAAAGAGC R:TCACACTCCATTGCTCTGC	(TG) ₆	60°C	3	227-231	0,61	0,20	0,49
18	BrPe0010	F:GAAGAAAAAAGGGCTTG R:GTAGGGTTGGAGGA	(TC) ₉	55°C	3	200-204	0,60	0,40	0,48
19	BrPe0001	F:GTTGAGAGGATTGTGTTTG R:ATGGTAGAGGAGGAGA	(CT) ₁₄	55°C	3	143-157	0,56	0,14	0,46
20	BrPe0012	F:AGAGAGAGAGAGAGAG R:ACATCATACTCCTCATCC	(AG) ₈	55°C	3	214-218	0,58	0,13	0,45
21	BrPe0008	F:TTTCAGCTCCACTCTT R:TACACCACCAACACTCAC	(AG) ₉	55°C	3	264-274	0,57	1,00	0,44
22	BrPe0025	F:CAAGGAACCAGAACAAAGAA R:GAAGAACAAAGCCAGCCCCA	(GA) ₆	55°C	3	114-126	0,57	0,11	0,44
23	BrPe0039	F:GCTGCTCCACTGTGAATGTC R:AACTAGCCCCGTACAGTA	(AT) ₆	60	3	193-203	0,57	0,10	0,44
24	BrPe0050	F:TCAAGGGTATCTTGTGCTG R:AGCTCAGCGAGACAAAACC	(TG) ₇	60°C	3	197-205	0,56	0,20	0,44
25	BrPe0013	F:GATCGAGGTGAGGTACTG R:GGTTGGCTTAATGAGG	(AG) ₈	55°C	2	169-171	0,53	0,00	0,38
26	BrPe0020	F:TAAAGCATCAGGTCA R:TAGATAGATTGACGGG	(GT) ₇	55°C	2	295-297	0,53	0,00	0,38
27	BrPe0034	F:CCTGTGGTAAAATGGAACC R:GAGCCCTGGACTGACACATT	(CT) ₁₅	60°C	2	217-227	0,56	1,00	0,38
28	BrPe0049	F:GGGAATCAAACCATGCA R:CTCCCAGCTTCAACTCACTC	(TA) ₉	60°C	2	189-191	0,53	0,11	0,38
29	BrPe3012	F:CGCCCTTCTGAAGATAATCC R:GCAATGCTAAGAAGGCCAAG	(TCT) ₄	60°C	2	181-183	0,53	0,11	0,38
30	BrPe0018	F:TCCTTCCTCTCCTCC R:ACATTGTCCTCATCT	(CT) ₇	55°C	3	135-149	0,43	0,30	0,37
31	BrPe0022	F:GGCATAGAAGTGGAGGG R:GGAAGGGAAAGTGAAGGGA	(AG) ₇	55°C	2	98-104	0,51	0,20	0,37
32	BrPe0047	F:TGGGCCATTCTCTCT R:GAATCCTGATGAGTTGAGGA	(CT) ₉	60°C	2	186-192	0,48	0,30	0,35
33	BrPe3014	F:CGGAAGCGTGTCAATAAGT R:AAGCCTGTGAGGTTGATTG	(AGA) ₅	60°C	2	218-220	0,48	0,30	0,35
34	BrPe0007	F:AAAGCCCAGATGAAGTGA R:GGCTCCAATCAGAAGTGT	(AG) ₉	55°C	2	177-179	0,40	0,50	0,31
35	BrPe0027	F:TCCAATCTCTCAACC R:CAAACATGATAACCCCC	(TA) ₆	46°C	3	97-101	0,35	0,20	0,30
36	BrPe3027	F:CCAAATGCCAAAATGTCT R:GTCCGTGAGGAGATGTCGAT	(GGT) ₄	60°C	3	178-202	0,35	0,40	0,30
37	BrPe0019	F:AAAGAGAAGGATGGATG R:AAAAAGGACGAGGAAGA	(TC) ₇	55°C	2	210-214	0,36	0,14	0,28
38	BrPe0044	F:GGACGCTAACAGAGACCCATTG R:TAAAAGCCCCACTTGC AATC	(TA) ₆	60°C	2	217-219	0,33	0,38	0,26
39	BrPe0016	F:TGGTTGGTGGGTCTTG R:CTCTTCCCTCTCTCTCT	(AG) ₇	55°C	2	277-279	0,21	0,22	0,18
40	BrPe0045	F:CGCTTCCACTTACCA GCTC R:GACCAACA CAGGC ACAATG	(GT) ₈	60°C	2	183-185	0,21	0,22	0,18
41	BrPe0011	F:GTTCTACTCCCTCATT R:CTTCTTAACATCCCCA	(CT) ₈	53°C	2	74-80	0,19	0,20	0,16
42	BrPe0017	F:TTGTCTCTCGGTTCTCT R:CAAACACAAA CCCCC	(AG) ₇	55°C	2	86-90	0,19	0,00	0,16
MÉDIA						3,26	0,55	0,35	0,45

F: primer forward; R: primer reverse; T_a: temperatura de anelamento; Ho: heterozigosidade observada; He: heterozigosidade esperada; PIC: conteúdo de informação polimórfica.

Transferibilidade dos marcadores microssatélites em espécies de *Passiflora*

Marcadores foram classificados segundo os valores de PIC obtidos para avaliar a amplificação cruzada em 78 espécies de *Passiflora*. A média do PIC para os marcadores selecionados foi de 0,60, variando entre 0,46 e 0,77 (Tabela 3, marcadores 1-16, 18, 19). Foi realizada uma avaliação do potencial da amplificação cruzada desses marcadores microssatélites em espécies de *Passiflora* mostrando que 72% da combinação marcador/espécie resultou em amplificação positiva (Tabela 4), com valores entre 33 a 89% (Tabela 4). Essa alta proporção de transferibilidade dos marcadores não era esperada. Três marcadores amplificaram em todas as 79 espécies de *Passiflora*, incluindo *P. edulis* (BrPe0032, BrPe0038, BrPe3011). BrPe0032 apresentou o mais alto valor do PIC e do número de alelos nos acessos de *P. edulis* testados. Primers BrPe0001, BrPe0034 e BrPe0042 também funcionaram na maioria das espécies testadas, com exceção de *P. porophylla* (BrPe0001), *P. triloba* e *P. vitifolia* (BrPe0034), *P. capsularis* e *P. gibertii* (BrPe0042). Interessante notar que, pelo menos 14 marcadores (BrPe0032, BrPe0038, BrPe3011, BrPe0001, BrPe0034, BrPe0042, BrPe0036, BrPe0006, BrPe0010, BrPe002, BrPe0031, BrPe0021, BrPe0003, BrPe0033) podem amplificar produtos de PCR em *P. alata*, *P. bahiensis*, *P. laurifolia*, *P. ligularis*, *P. luetzelburgii*, *P. maliformis*, *P. mendoncae*, *P. nitida*, *P. odontophylla*, *P. pedata*, *P. racemosa*, *P. recurva*, *P. setacea*, *P. speciosa* e *P. tenuifila*. Cinquenta por cento dos marcadores produziram fragmentos amplificados em todas espécies testadas, exceto *P. pohlia* (*Decaloba*) e *P. sclerophylla* (*Astrophea*).

Tabela 4. Transferibilidade de 18 marcadores microssatélites de *P. edulis* a 78 espécies de *Passiflora*.

Nº	BrPe0043	BrPe0014	BrPe0002	BrPe0024	BrPe0033	BrPe0003	BrPe0021	BrPe0031	BrPe0028	BrPe0006	BrPe0010	BrPe0036	BrPe0034	BrPe0042	BrPe0001	BrPe0032	BrPe0038	BrPe3011	%
72	<i>P. pohlia</i>	-	-	-	-	-	-	-	-	-	-	-	+	+	+	+	+	+	33%
84	<i>P. sclerophylla</i>	-	-	-	-	+	-	-	-	+	-	-	+	+	+	+	+	+	44%
91	<i>P. suberosa</i>	-	-	-	-	-	-	-	+	+	+	-	+	+	+	+	+	+	50%
36	<i>P. eichleriana</i>	-	-	-	-	+	-	+	-	+	+	-	+	+	+	+	+	+	56%
45	<i>P. hatschbachii</i>	-	-	-	-	+	+	-	+	-	-	+	+	+	+	+	+	+	56%
58	<i>P. picturata</i>	-	-	-	-	-	-	-	+	+	+	+	+	+	+	+	+	+	56%
71	<i>P. porophylla</i>	-	+	-	-	-	-	-	+	+	+	-	+	+	+	-	+	+	56%
73	<i>P. saxicola</i>	-	-	-	-	-	-	+	+	-	+	+	+	+	+	+	+	+	56%
83	<i>P. tricuspis</i>	-	-	-	-	-	+	-	+	+	-	+	+	+	+	+	+	+	56%
95	<i>P. araujoi</i>	-	-	-	-	-	+	+	+	+	-	+	+	+	+	+	+	+	61%
21	<i>P. auriculata</i>	-	-	-	-	-	-	+	+	+	+	+	+	+	+	+	+	+	61%
22	<i>P. edmundoi</i>	-	-	-	-	-	+	-	-	+	+	+	+	+	+	+	+	+	61%

Nº	BrPe0043	BrPe014	BrPe002	BrPe024	BrPe033	BrPe003	BrPe021	BrPe031	BrPe028	BrPe006	BrPe010	BrPe036	BrPe034	BrPe042	BrPe001	BrPe032	BrPe038	BrPe3011	%
35 <i>P. ferruginea</i>	-	-	-	+	-	-	+	+	+	-	-	+	+	+	+	+	+	+	61%
38 <i>P. haematostigma</i>	-	-	-	+	+	-	-	-	+	+	-	+	+	+	+	+	+	+	61%
44 <i>P. loefgrenii</i>	-	-	-	+	-	-	+	-	-	+	+	+	+	+	+	+	+	+	61%
53 <i>P. maliformis</i>	-	-	-	+	-	-	-	+	+	+	-	+	+	+	+	+	+	+	61%
60 <i>P. micropetala</i>	-	-	-	+	-	-	-	+	+	-	+	+	+	+	+	+	+	+	61%
62 <i>P. misera</i>	-	-	-	+	-	-	+	-	+	+	+	-	+	+	+	+	+	+	61%
63 <i>P. morifolia</i>	-	-	-	-	-	+	+	-	-	+	+	+	+	+	+	+	+	+	61%
82 <i>P. rubra</i>	-	+	-	+	-	-	-	-	+	+	-	+	+	+	+	+	+	+	61%
99 <i>P. vespertilio</i>	-	-	-	-	-	-	-	+	+	+	+	+	+	+	+	+	+	+	61%
13 <i>P. acuminata</i>	-	-	-	-	-	-	+	+	+	+	+	+	+	+	+	+	+	+	67%
26 <i>P. caerulea</i>	-	-	+	-	-	-	+	-	+	+	+	+	+	+	+	+	+	+	67%
27 <i>P. capsularis</i>	+	-	-	+	-	-	+	+	-	+	+	+	+	+	-	+	+	+	67%
30 <i>P. cervii</i>	-	-	-	+	-	-	-	+	+	+	+	+	+	+	+	+	+	+	67%
48 <i>P. jilekii</i>	-	-	-	+	-	-	+	+	+	+	+	-	+	+	+	+	+	+	67%
80 <i>P. rhamnifolia</i>	-	-	-	-	+	-	-	+	+	+	+	+	+	+	+	+	+	+	67%
94 <i>P. tholozanii</i>	-	-	-	-	-	+	-	+	+	+	+	+	+	+	+	+	+	+	67%
96 <i>P. triloba</i>	-	+	-	-	+	+	+	-	+	+	+	-	-	-	+	+	+	+	67%
101 <i>P. vitifolia</i>	+	-	-	-	+	-	-	+	+	+	+	-	-	-	+	+	+	+	67%
14 <i>P. alata</i>	-	-	-	+	-	-	+	+	+	+	+	+	+	+	+	+	+	+	72%
15 <i>P. alata</i>	-	+	-	-	-	-	+	+	+	+	+	+	+	+	+	+	+	+	72%
19 <i>P. ambiguua</i>	+	-	-	+	-	-	+	-	+	+	+	+	+	+	+	+	+	+	72%
24 <i>P. biflora</i>	-	-	-	-	-	+	+	+	+	+	+	+	+	+	+	+	+	+	72%
25 <i>P. boticarioana</i>	-	-	+	+	+	+	-	-	-	+	+	+	+	+	+	+	+	+	72%
29 <i>P. cerradense</i>	-	-	-	+	+	+	+	-	-	+	+	+	+	+	+	+	+	+	72%
31 <i>P. chlorina</i>	+	-	-	+	+	+	+	-	-	-	+	+	+	+	+	+	+	+	72%
32 <i>P. cincinnata</i>	-	-	-	+	+	+	+	-	-	+	+	+	+	+	+	+	+	+	72%
37 <i>P. elegans</i>	-	-	+	-	+	+	-	+	-	+	+	+	+	+	+	+	+	+	72%
39 <i>P. foetida</i>	-	-	-	-	+	+	+	+	+	-	+	+	+	+	+	+	+	+	72%
41 <i>P. gardneri</i>	-	-	+	+	+	+	+	-	-	-	+	+	+	+	+	+	+	+	72%
42 <i>P. gibertii</i>	-	-	-	+	+	+	-	+	+	+	+	+	+	+	-	+	+	+	72%
47 <i>P. incarnata</i>	+	-	-	-	-	-	-	+	+	+	+	+	+	+	+	+	+	+	72%
49 <i>P. junqueirae</i>	-	-	+	-	+	-	+	+	+	+	-	+	+	+	+	+	+	+	72%
50 <i>P. kermesina</i>	-	+	+	-	-	+	-	+	+	-	+	+	+	+	+	+	+	+	72%
69 <i>P. organensis</i>	-	-	-	-	-	+	+	+	+	+	+	+	+	+	+	+	+	+	72%
74 <i>P. quadrangularis</i>	-	-	-	-	+	+	+	+	+	+	-	+	+	+	+	+	+	+	72%
75 <i>P. quadrangularis</i>	-	-	-	-	+	-	+	+	+	+	+	+	+	+	+	+	+	+	72%
76 <i>P. quadrifarial</i>	-	-	-	-	+	+	-	+	+	+	+	+	+	+	+	+	+	+	72%
86 <i>P. setacea</i>	-	-	-	+	+	+	+	+	+	-	+	-	+	+	+	+	+	+	72%
88 <i>P. setacea</i>	-	-	+	+	+	+	-	-	+	+	+	+	-	+	+	+	+	+	72%
97 <i>P. trintae</i>	-	-	-	+	-	+	+	-	+	+	+	+	+	+	+	+	+	+	72%
100 <i>P. villosa</i>	-	-	+	-	+	+	-	+	-	-	+	+	+	+	+	+	+	+	72%
12 <i>P. actinia</i>	-	-	+	-	+	+	+	+	-	+	+	+	+	+	+	+	+	+	78%
16 <i>P. alata</i>	-	+	-	+	+	+	+	+	+	-	+	+	+	+	+	+	+	+	78%
18 <i>P. alata</i>	-	+	-	+	-	-	+	+	+	+	+	+	+	+	+	+	+	+	78%
20 <i>P. amethystina</i>	-	-	+	+	+	-	+	-	+	+	+	+	+	+	+	+	+	+	78%
28 <i>P. cerasina</i>	-	-	-	-	+	+	+	+	+	+	+	+	+	+	+	+	+	+	78%
33 <i>P. coccinea</i>	-	-	-	-	+	+	+	+	+	+	+	+	+	+	+	+	+	+	78%
34 <i>P. decaisneana</i>	-	-	-	-	+	+	+	+	+	+	+	+	+	+	+	+	+	+	78%
40 <i>P. galbana</i>	-	-	+	+	-	+	+	+	+	-	+	+	+	+	+	+	+	+	78%
46 <i>P. hypoglaucia</i>	-	-	+	-	+	+	-	+	+	+	+	+	+	+	+	+	+	+	78%

Nº		BrPe0043	BrPe0014	BrPe0002	BrPe0024	BrPe0033	BrPe0003	BrPe0021	BrPe0031	BrPe0028	BrPe0006	BrPe0010	BrPe0036	BrPe0034	BrPe0042	BrPe0001	BrPe0032	BrPe0038	BrPe0011	%
55	<i>P. malacophylla</i>	-	-	+	+	+	+	+	-	-	+	+	+	+	+	+	+	+	78%	
56	<i>P. maliformis</i>	-	-	+	-	+	+	-	+	+	+	+	+	+	+	+	+	+	78%	
61	<i>P. miersii</i>	-	-	+	-	+	+	+	+	+	-	+	+	+	+	+	+	+	78%	
64	<i>P. mucronata</i>	-	-	-	+	+	+	+	-	+	+	+	+	+	+	+	+	+	78%	
66	<i>P. nitida</i>	-	-	-	-	+	+	+	+	+	+	+	+	+	+	+	+	+	78%	
67	<i>P. nitida</i>	-	-	-	-	+	+	+	+	+	+	+	+	+	+	+	+	+	78%	
77	<i>P. quadrangularis</i>	+	-	-	-	+	+	+	+	+	+	-	+	+	+	+	+	+	78%	
81	<i>P. riparia</i>	-	-	-	-	+	+	+	+	+	+	+	+	+	+	+	+	+	78%	
85	<i>P. setacea</i>	-	-	-	+	+	+	+	+	-	+	+	+	+	+	+	+	+	78%	
89	<i>P. sidaefolia</i>	-	-	-	+	+	+	+	-	+	+	+	+	+	+	+	+	+	78%	
92	<i>P. subrotunda</i>	-	-	-	+	+	-	+	+	+	+	+	+	+	+	+	+	+	78%	
98	<i>P. variolata</i>	-	-	-	-	+	+	+	+	+	+	+	+	+	+	+	+	+	78%	
17	<i>P. alata</i>	-	+	-	+	+	+	+	-	+	+	+	+	+	+	+	+	+	83%	
23	<i>P. bahiensis</i>	+	-	-	+	-	+	+	+	+	+	+	+	+	+	+	+	+	83%	
54	<i>P. luetzelburgii</i>	-	-	+	+	+	+	+	-	+	+	+	+	+	+	+	+	+	83%	
57	<i>P. maliformis</i>	-	-	+	+	-	+	+	+	+	+	+	+	+	+	+	+	+	83%	
59	<i>P. mendoncae</i>	-	-	+	-	+	+	+	+	+	+	+	+	+	+	+	+	+	83%	
65	<i>P. nitida</i>	-	+	-	-	+	+	+	+	+	+	+	+	+	+	+	+	+	83%	
78	<i>P. racemosa</i>	-	-	+	-	+	+	+	+	+	+	+	+	+	+	+	+	+	83%	
79	<i>P. recurva</i>	-	-	+	-	+	+	+	+	+	+	+	+	+	+	+	+	+	83%	
87	<i>P. setacea</i>	-	+	+	+	+	+	+	-	-	+	+	+	+	+	+	+	+	83%	
90	<i>P. speciosa</i>	+	+	-	-	+	+	+	-	+	+	+	+	+	+	+	+	+	83%	
43	<i>P. glandulosa</i>	+	+	-	+	-	+	+	+	+	+	+	+	+	+	+	+	+	89%	
51	<i>P. laurifolia</i>	+	-	+	+	-	+	+	+	+	+	+	+	+	+	+	+	+	89%	
52	<i>P. ligularis</i>	-	-	+	+	+	+	+	+	+	+	+	+	+	+	+	+	+	89%	
68	<i>P. odontophylla</i>	-	+	-	+	+	+	+	+	+	+	+	+	+	+	+	+	+	89%	
70	<i>P. pedata</i>	-	-	+	+	+	+	+	+	+	+	+	+	+	+	+	+	+	89%	
93	<i>P. tenuifila</i>	-	-	+	+	+	+	+	+	+	+	+	+	+	+	+	+	+	89%	
1	<i>P. edulis</i>	+	+	+	+	+	+	+	+	+	+	+	+	+	+	+	+	+	100%	

Os novos marcadores microssatélites revelaram diversidade genética em *P. edulis* (Figura 2, Tabela 3) e também em outras espécies relacionadas (Figura 3). A análise PCoA baseada no polimorfismo dos 18 marcadores avaliados em 28 acessos de seis espécies (*P. edulis*, *P. alata*, *P. maliformis*, *P. nitida*, *P. quadrangularis* e *P. setacea*) permitiu a separação em quatro grupos principais. A variação detectada pelo valor *eigen* foi para o eixo 1=32,08%, eixo 2=14,20% e eixo 3=11,10%. Curiosamente os acessos de *P. edulis* formaram dois grupos (Figura 3a) e poderiam ser facilmente separados dos acessos de outras espécies de *Passiflora*. A única exceção foi BRS Maracujá Jaboticaba (Tabela 1, acesso 11), que não foi incluído em nenhum dos dois grupos de *P. edulis* e sim no grupo de *P. setacea*. O quarto grupo incluiu acessos de *P. nitida*, *P. quadrangularis*, *P. alata* e *P. maliformis*. Embora os

acessos dessas quatro espécies possam ser discriminados dentro desse conjunto de marcadores microssatélites, todos eles estão incluídos no mesmo grupo. Uma análise de estrutura de população e ancestralidade desses 28 acessos, sem nenhuma atribuição prévia de espécie, também inferiu a existência de quatro grupos principais, estimados pela plotagem dos valores de K versus Delta K, para K variando de 1 para 10 (Figura 3b). Novamente os acessos de *P. edulis* foram colocados em dois grupos, os acessos de *P. setacea* foram separados em um terceiro grupo, enquanto os acessos de *P. nitida*, *P. quadrangularis*, *P. alata* e *P. maliformis* formaram um quarto grupo. Todos os acessos foram colocados em um a quatro grupos com um valor para Q de ≥ 70 , com exceção do BRS Maracujá Jaboticaba (acesso e11), o que apresentou um perfil misturado ou intermediário.

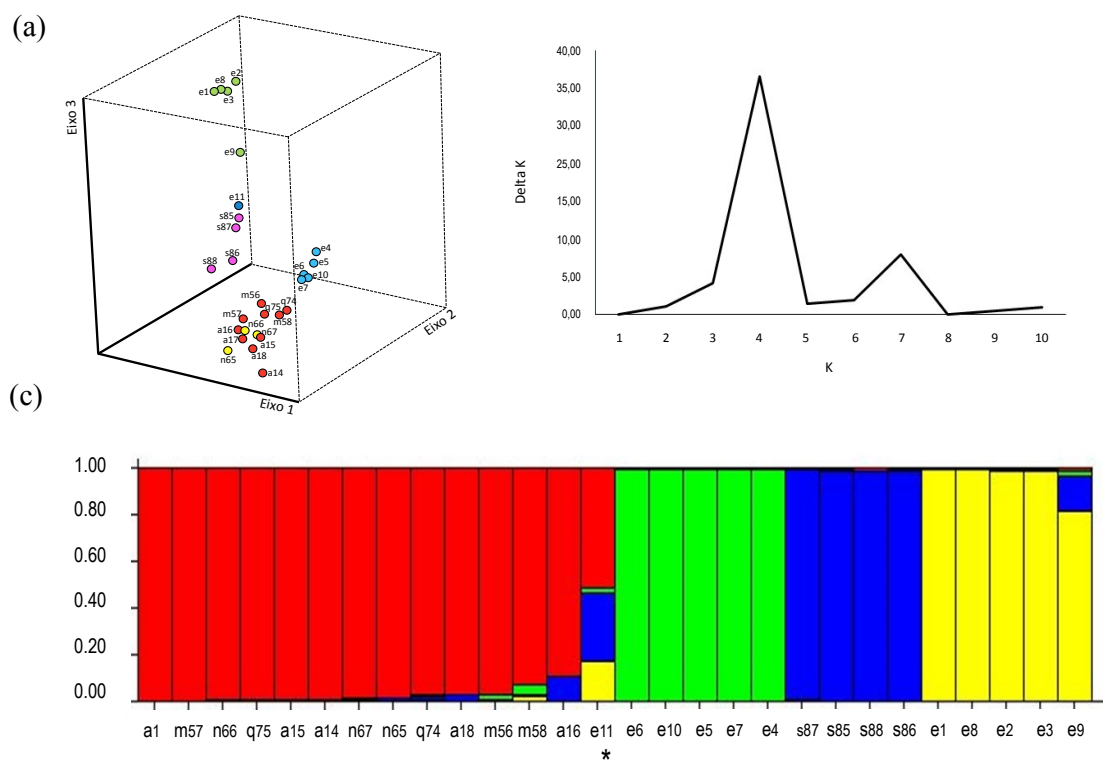


Figura 3. (a) Análises das coordenadas principais de 28 acessos de *Passiflora* pertencentes a seis espécies de maracujazeiro relacionadas com base no polimorfismo de microssatélites. As amostras foram identificadas segundo o número de acesso da Tabela 1, precedido pela inicial: *P. edulis* (amostras e1 até e11); *P. alata* (amostras a14 até a18); *P. maliformis* (amostras m56 até m58); *P. nitida* (amostras n65 até n67) e *P. setacea* (amostras s85 até s88); (b) Plotagem dos valores de K vs Delta K para

definir o número mais provável de grupos nas análises de estrutura da população e ancestralidade de 28 acessos de *Passiflora* sem nenhuma atribuição prévia de espécie; (c) os acessos de *Passiflora* foram separados por grupos com base nos valores de Q ($Q > 0,70$) para K=4. As amostras misturadas ou intermédias foram identificadas com asterisco.

A maioria dos marcadores microssatélites de *P. edulis* e outras espécies de *Passiflora* tem sido obtidas mediante o sequenciamento de bibliotecas enriquecidas com regiões de sequências simples repetidas (CAZÉ et al., 2012; CERQUEIRA-SILVA et al., 2012, 2014b; OLIVEIRA, 2006; OLIVEIRA et al., 2005; PADUA et al., 2005; PENHA et al., 2013). Existem, apenas, aproximadamente 200 marcadores microssatélites di-nucleotídeos disponíveis para *P. edulis* (CERQUEIRA-SILVA et al., 2014b; OLIVEIRA, 2006; OLIVEIRA et al., 2005). Nesse trabalho foi descrito o eficiente uso da tecnologia NGS, que além de obter uma grande quantidade de dados sequenciados mediante a aplicação de ferramentas de bioinformática, permitiu a geração de 816 marcadores microssatélites para a espécie.

A maioria dos marcadores microssatélites desenvolvidos para *P. edulis* detectaram baixo polimorfismo, variando entre 15% (CERQUEIRA-SILVA et al., 2014b) a 24,7% (OLIVEIRA, 2006). Esses resultados tem sido interpretados como evidência de baixa diversidade genética em *P. edulis* (CERQUEIRA-SILVA et al., 2012, 2014b), contrastando com a alta diversidade morfológica (CROCCHMORE; MOLINARI; STENZEL, 2003) e agronômica (CERQUEIRA-SILVA et al., 2008; MELETTI; SOARES-SCOTT; BERNACCI, 2005) observada na espécie. Com o intuito de verificar quão polimórfico era o novo conjunto de marcadores microssatélites, foi testada uma amostra de 60 marcadores em dez acessos de *P. edulis* coletados em diferentes regiões do Brasil e estimados os parâmetros genéticos como Ho, PIC e número de alelos. Aproximadamente 74% dos marcadores de di e tri-nucleotídeos que apresentaram fragmentos amplificados foram polimórficos, onde o PIC, Ho e o número de alelos foram altos. Os valores do PIC para 80,9% (38/47) dos marcadores de di-nucleotídeos variaram entre 0,26 e 0,77, e para o 40% (4/10) dos marcadores de tri-nucleotídeos entre 0,30 e 0,50. Utilizando *fingerprinting* de DNA baseado em somente dois marcadores (BrPe0028 e BrPe0032), poderíamos discriminar todos os acessos de *P. edulis* utilizados no presente estudo. Essas estimativas são similares aos valores encontrados para outras espécies alógamas onde

a tecnologia NGS foi utilizada no desenvolvimento de marcadores microssatélites, como é o caso da forrageira *Brachiaria ruziziensis* (SILVA et al., 2013) ou do rabanete *Raphanus sativus* (ZHAI et al., 2014). Portanto, não foi achada evidência de baixo polimorfismo dos microssatélites em *P. edulis* mediante a avaliação do novo conjunto de marcadores microssatélites. Muito pelo contrário, a maioria dos marcadores testados foi altamente polimórfico. É possível que o baixo polimorfismo encontrado em *P. edulis* nos estudos prévios com marcadores microssatélites deve ter ocorrido por causa de parentesco genético nas amostras de maracujazeiro utilizadas nos testes, ou simplesmente porque os marcadores testados foram localizados em regiões mais conservadas do genoma de maracujazeiro-azedo.

Marcadores microssatélites perfeitos representam somente uma fração (aproximadamente 10%) do número de marcadores disponíveis, até agora, para *P. edulis*. A ampla maioria é de marcadores com motivos compostos ou imperfeitos, os que são difíceis de interpretar em trabalhos de genotipagem de rotina devido à dificuldade na binagem dos alelos (DOMANIĆ; PREPARATA, 2007; LIM et al., 2013). Além disso, na maioria dos estudos em *P. edulis*, marcadores microssatélites tem sido baseados na discriminação alélica em géis de agarose (CASTRO, 2012; PAIVA et al., 2014) ou poliacrilamida (CERQUEIRA-SILVA et al., 2014b, 2015, OLIVEIRA et al., 2005, 2008; ORTIZ et al., 2012), o que adiciona ainda mais desafios na análise de marcadores microssatélites compostos e imperfeitos. Isso pode ser um obstáculo para algumas aplicações, especialmente em estudos genéticos de populações (MA; RÖDER; SORRELLS, 1996). Todos os novos marcadores estão baseados na repetição do mesmo motivo de nucleotídeo sem interrupção ou variação, o que facilita a análise genética.

Foram testados os novos marcadores microssatélites de *P. edulis* em outras 78 espécies. A porcentagem de transferibilidade em outras espécies do subgênero *Passiflora* foi alta (75,4%), similar a *Distephana* (71,11%). Mas, diminuiu nas espécies do gênero *Astrophea* (63,33) e *Decaloba* (59,72%). OLIVEIRA et al. (2013) obtiveram resultados similares para transferibilidade de marcadores microssatélites de *P. edulis* para o subgênero *Passiflora* (>73%) e *Decaloba* (54%). É interessante notar que o produto da amplificação da PCR de *P. edulis* foi obtido para pelo menos 50% dos marcadores testados em todos os 90 acessos de outras espécies de *Passiflora*, com exceção de *P. pohlia* (*Decaloba*) e *P. sclerophylla* (*Astrophea*). Isso indica que uma proporção substancial dos novos marcadores microssatélites de *P. edulis* pode,

potencialmente, ser usada em estudos genéticos de um amplo número de espécies de *Passiflora*.

Uma análise combinada de 28 acessos de seis espécies de *Passiflora* (*P. edulis*, *P. alata*, *P. maliformis*, *P. nitida*, *P. quadrangularis* e *P. setacea*) utilizando os novos marcadores microssatélites demonstrou ser eficiente na descoberta de diversidade genética em maracujazeiro. *P. edulis* formou dois grupos que podem ser facilmente separados dos acessos de outras espécies. Esses acessos de *P. edulis* foram obtidos em diferentes regiões do Brasil, mas não foi achada correlação genética entre os grupos e a origem geográfica (dados não apresentados). Porém, um dos grupos está composto por acessos de maracujazeiro-azedo (Tabela 1, acessos 1-3 e 8), os que têm sido utilizados comercialmente (ex. acessos Maguary, CPGA1 e CPMSC1) e possivelmente derivados de populações de ancestralidade comum (MONTEIRO et al., 2010; OLIVEIRA, 2006). O acesso 8 (Criciúma, Santa Catarina) foi originalmente coletado em uma área próxima de pomares de *Passiflora*, e seus frutos pôdem ter sido derivados de polinização cruzada com cultivares comerciais. Embora o acesso BRS Maracujá Jaboticaba seja classificado como *P. edulis* (Tabela 1, acesso 11) ele não foi agrupado dentro dos dois grupos de *P. edulis*. BRS Maracujá Jaboticaba parece estar associado ao terceiro grupo formado pelos acessos de *P. setacea* (Figura 3a), apesar da probabilidade estimada de inclusão dentro de esse grupo ser baixa ($Q=0,52$) (Figura 3c). Análises do modo de reprodução de BRS Maracujá Jaboticaba no Capítulo 2, indicam que a cultivar é autocompatível apresentando altos níveis de autogamia, enquanto a maioria dos acessos são alógamos, o que poderia explicar a distância genética com os outros acessos de maracujazeiro-azedo. Análises adicionais relacionadas aos diferentes modos de reprodução e à plasticidade do sistema reprodutivo na diversidade genética de *P. edulis* devem ser realizados.

O quarto grupo incluiu acessos de *P. nitida*, *P. quadrangularis*, *P. alata* e *P. maliformis*. Análises moleculares de filogenia em espécies de *Passiflora* utilizando polimorfismo de nrITS, trnL-trnF e rps4 agrupou *P. alata*, *P. quadrangularis*, *P. maliformis*, *P. setacea* e *P. edulis* (MUSCHNER et al., 2003). Análises de DNA plastidial também encontraram que *P. alata*, *P. nitida*, *P. edulis* e *P. maliformis* estão proximamente relacionadas (HANSEN et al., 2006). PAIVA et al. (2014), utilizando os marcadores microssatélites de OLIVEIRA (2006) e PADUA et al. (PADUA et al., 2005) encontraram similaridade molecular entre *P. edulis* e *P. setacea*. De fato, a filogenia em *Passiflora* é muito complexa, com mais de 520 espécies distribuídas em

vários continentes. Marcadores microssatélites podem ajudar a entender os relacionamentos genéticos dentro das espécies e entre os acessos de espécies próximas.

A pressão antrópica em centros de diversidade está contribuindo para a erosão genética de muitas plantas, incluindo *Passiflora* (FERREIRA, 2005; MYERS et al., 2000; RODRIGUES et al., 2009). Conservação *in situ* da flora nativa, assim como os esforços na coleta de espécies silvestres, populações crioulas e variedades locais de maracujazeiro para sua conservação *ex situ* são necessárias para seu uso atual como no futuro.

A viabilidade de sementes a curto prazo segue sendo uma importante limitação na conservação (DOBSON; BRADSHAW; BAKER, 1997; KHURANA, E.; SINGH, 2001) e a maioria das coleções dependem da propagação vegetativa para seu armazenamento. É um desafio manter um grande número de acessos de maracujazeiro mediante propagação vegetativa na coleção de germoplasma com as restrições de recursos humanos e financeiros. Como a propagação vegetativa é a principal maneira de conservação, cada acesso de maracujazeiro é composto por uma ou poucas plantas por espécie ou variedade, colocando limites para a conservação da diversidade genética *ex situ*. Atividades de rotina na conservação do germoplasma e melhoramento requerem aplicação de tecnologia genômica, incluindo marcadores microssatélites, na conservação e uso dos recursos genéticos do maracujazeiro.

CONCLUSÕES

A tecnologia NGS foi utilizada para a obtenção de uma grande quantidade de sequências genômicas, as quais foram aplicadas no desenvolvimento de centenas de marcadores microssatélites para *P. edulis*. Os novos marcadores detectaram altos níveis de polimorfismo em *P. edulis* e podem ser utilizado para avaliar a diversidade genética em acessos de maracujazeiro-azedo e em espécies próximas. A porcentagem de transferibilidade dos marcadores microssatélites desenvolvidos variou entre 33% e 89% para 78 espécies de *Passiflora* pertencentes a quatro subgêneros (*Passiflora*, *Distephana*, *Astrophea* e *Decaloba*). Dessa forma, vários marcadores microssatélites de *P. edulis* podem ser utilizados potencialmente em análises genética em outras espécies do gênero *Passiflora*. Esse novo conjunto de marcadores microssatélites

pode ser prontamente utilizado em muitas aplicações na conservação de germoplasma, programas de melhoramento e estudos genéticos do maracujazeiro.

REFERÊNCIAS BIBLIOGRÁFICAS

- ABDELKRIM, J.; ROBERTSON, B. C.; STANTON, J.; GEMMELL, N. Fast, cost-effective development of species-specific microsatellite markers by genomic sequencing. **BioTechniques**, v. 46, n. 3, p. 185–92, 2009.
- ABREU, S. P. M.; PEIXOTO, J. R.; VILELA, N. T.; FIGUEREIDO, M. A. Características agronômicas de seis genótipos de maracujazeiro-azedo cultivados no Distrito Federal. **Revista Brasileira de Fruticultura**, v. 31, n. 3, p. 920–924, 2009.
- BELLON, G.; FALEIRO, F. G.; JUNQUEIRA, K. P.; JUNQUEIRA, N. T. V.; SANTOS, E. C.; BRAGA, M. F.; GUIMARÃES, C. T. Variabilidade genética de acessos silvestres e comerciais de *Passiflora edulis* Sims. com base em marcadores RAPD. **Revista Brasileira de Fruticultura**, v. 29, n. 1, p. 124–127, 2007.
- BRONDANI, R. P. V. BRONDANI, C.; TARCHINI, R.; GRATTAPAGLIA, D. Development, characterization and mapping of microsatellite markers in *Eucalyptus grandis* and *E. urophylla*. **Theoretical and Applied Genetics**, v. 97, n. 5–6, p. 816–827, 1998.
- CASTOE, T. A.; POOLE, A. W.; KONING, A. P. J.; JONES, K.; TOMBACK, D. F.; OYLER-MCCANCE, S. J.; FIKE, J. A.; LANCE, S. L.; STREICHER, J. W.; SMITH, E. N.; POLLOCK, D. D. Rapid identification of thousands of copperhead snake (*Agkistrodon contortrix*) microsatellite loci from modest amounts of 454 shotgun genome sequence. **Molecular Ecology Resources**, v. 10, n. 2, p. 341–7, 2010.
- CASTRO, J. **Conservação dos recursos genéticos de Passiflora e seleção de descritores mínimos para caracterização de maracujazeiro**. Universidade Federal do Recôncavo da Bahia, 2012.

CAZÉ, A. L. R.; KRIEDT, R. A.; BEHEREGARAY, L. B.; BONATTO, S. L.; FREITAS, L. B. Isolation and Characterization of Microsatellite Markers for Passiflora contracta. **International Journal of Molecular Science**, v. 13, n. 9, p. 11343–8, 2012.

CERQUEIRA-SILVA, C. B.; SANTOS, E. S . L.; SOUZA, A. M.; MORI, G. M.; OLIVEIRA, E. J.; CORRÊA, R. X.; SOUZA, A. P. Development and characterization of microsatellite markers for the wild South American Passiflora cincinnata (Passifloraceae). **American Journal of Botany**, v. 99, n. 4, p. e170-2, 2012.

CERQUEIRA-SILVA, C. B.; JESUS, O. N.; SANTOS, E. S. L.; CORRÊA, R. X.; SOUZA, A. P. Genetic Breeding and Diversity of the Genus Passiflora: Progress and Perspectives in Molecular and Genetic Studies. **International Journal of Molecular Sciences**, v. 15, n. 8, p. 14122–14152, 2014a.

CERQUEIRA-SILVA, C. B.; SANTOS, E. S. L.; VIEIRA, J. G. P.; MORI, G. M.; JESUS, O. N.; CORRÊA, R. X.; SOUZA, A. P. New Microsatellite Markers for Wild and Commercial Species of Passiflora (Passifloraceae) and Cross-Amplification. **Applications in Plant Sciences**, v. 2, n. 2, p. 1300061, 2014b.

CERQUEIRA-SILVA, C. B. M.; MOREIRA, C. N.; FIGUEIRA, A. R.; CORRÊA, R. X.; OLIVEIRA, A. C. Detection of a resistance gradient to Passion fruit woodiness virus and selection of “yellow” passion fruit plants under field conditions. **Genetics and Molecular Research**, v. 7, n. 4, p. 1209–1216, 2008.

CERQUEIRA-SILVA, C. B. M.; JESUS, O. N.; OLIVEIRA, E. J.; SANTOS, E. S. L.; SOUZA, A. P. Characterization and selection of passion fruit (yellow and purple) accessions based on molecular markers and disease reactions for use in breeding programs. **Euphytica**, v. 202, n. 3, p. 345–359, 2015.

CROCHEME, M. L.; MOLINARI, H. B. C.; VIEIRA, L. G. E. Genetic Diversity in Passion Fruit (Passiflora spp.) Evaluated by RAPD Markers. **Brazilian Archives of Biology and Technology**, v. 46, n. 4, p. 521–527, 2003.

CROCHMORE, M. L.; MOLINARI, H. B.; STENZEL, N. M. C. Caracterização agromorfológica do maracujazeiro (*Passiflora* spp.). **Revista Brasileira de Fruticultura**, v. 25, n. 1, p. 5–10, 2003.

CSENCSICS, D.; BRODBECK, S.; HOLDERECKER, R. Cost-Effective, Species-Specific Microsatellite Development for the Endangered Dwarf Bulrush (*Typha minima*) Using Next-Generation Sequencing Technology. **Journal of Heredity**, v. 101, n. 6, p. 789–793, 2010.

DOBSON, A. P.; BRADSHAW, A. D.; BAKER, A. J. M. Hopes for the Future: Restoration Ecology and Conservation Biology. **Scandinavian Journal of Statistics**, v. 277, p. 515–522, 1997.

DOMANIÇ, N. O.; PREPARATA, F. P. A novel approach to the detection of genomic approximate tandem repeats in the levenshtein metric. **Journal of Computational Biology**, v. 14, n. 7, p. 873–891, 2007.

DOYLE, J.; DOYLE, J. L. Genomic plant DNA preparation from fresh tissue-CTAB method. **Phytochem Bull**, v. 19, n. 11, p. 11–15, 1987.

EVANNO, G.; REGNAUT, S.; GOUDET, J. Detecting the number of clusters of individuals using the software STRUCTURE: a simulation study. **Molecular Ecology**, v. 14, n. 8, p. 2611–2620, 2005.

FAJARDO, D.; ANGEL, F.; GRUM, M.; TOHME, J.; LOBO, M.; ROCA, W. M. Genetic variation analysis of the genus *Passiflora* L. using RAPD markers. **Euphytica**, v. 101, p. 341–347, 1998.

FALEIRO, F. G.; FALEIRO, A. S. G.; CORDEIRO, M. C. R.; KARIA, C. T. **Metodologia para operacionalizar a extração de DNA de espécies nativas do cerrado**. Comunicado Técnico. Planaltina, DF: Embrapa Cerrados, 2003.

FERREIRA, F. Recursos genéticos de *Passiflora*. In: FALEIRO, F. G.; JUNQUEIRA, N. T. V.; BRAGA, M. F. (Eds.). **Maracujá: germoplasma e melhoramento**

genético. Planaltina, DF: Embrapa Cerrados, 2005. p. 41–52.

FERREIRA, F. R.; OLIVEIRA, J. C. Germoplasma de Passiflora no Brasil. In: SÃO JOSÉ, A. R. (Ed.). **A cultura do maracujá no Brasil**. Jaboticabal: FUNEP, 1991. p. 187–200.

FONSECA-TRUJILLO, N.; MÁRQUEZ-CARDONA, M. P.; MORENO-OSORIO, J. H.; TERÁN-PÉREZ, W.; SCHULER-GARCÍA, I. Caracterización molecular de materiales cultivados de gulupa (*Passiflora edulis* f. *edulis*). **Universitas Scientiarum**, v. 14, p. 135–140, 2009.

GOLDSTEIN, D. B.; CLARK, A. G. Microsatellite variation in North American populations of *Drosophila melanogaster*. **Nucleic Acids Research**, v. 23, n. 19, p. 3882–3886, 1995.

GUIGÓ, R.; KNUDSEN, S.; DRAKE, N.; SMITH, T. Prediction of gene structure. **Journal of Molecular Biology**, v. 226, n. 1, p. 141–157, 1992.

HANSEN, A. K.; GILBERT, L. E.; SIMPSON, B. B.; DOWNIE, S.; CERVI, A. C.; JANSEN, R. K. Phylogenetic Relationships and Chromosome Number Evolution in *Passiflora*. **Systematic Botany**, v. 31, n. 1, p. 138–150, 2006.

HOLLELEY, C. E.; GEERTS, P. G. Multiplex Manager 1.0: a cross-platform computer program that plans and optimizes multiplex PCR. **BioTechniques**, v. 46, n. 7, p. 511–517, 2009.

KHURANA, E.; SINGH, J. S. Ecology of seed and seedling growth for conservation and restoration of tropical dry forest : a review. **Environmental Conservation**, v. 28, n. 1, p. 39–52, 2001.

LI, R.; LI, Y.; KRISTIANSEN, K.; WANG, J. SOAP: Short oligonucleotide alignment program. **Bioinformatics**, v. 24, n. 5, p. 713–714, 2008.

LIM, K. G.; KWOK, C. K.; HSU, L. Y.; WIRAWAN, A. Review of tandem repeat

search tools: A systematic approach to evaluating algorithmic performance. **Briefings in Bioinformatics**, v. 14, n. 1, p. 67–81, 2013.

LITT, M.; LUTY, J. A. A Hypervariable Microsatellite Revealed by In Vitro Amplification of a Dinucleotide Repeat within the Cardiac Muscle Actin Gene. **American Journal of Human Genetics**, v. 44, p. 397–401, 1989.

LYNCH, M. The similarity index and DNA fingerprinting. **Molecular Biology and Evolution**, v. 7, n. 5, p. 478–84, 1990.

MA, Z. Q.; RÖDER, M.; SORRELLS, M. E. Frequencies and sequence characteristics of di-, tri-, and tetra-nucleotide microsatellites in wheat. **Genome**, v. 39, n. 1, p. 123–30, 1996.

MACDOUGAL, J.; FEUILLET, C. Systematics. In: ULMER, T.; MACDOUGAL, J. (Eds.). **Passiflora: Passionflowers of the World**. Portland, OR, USA: Timber Press, 2004. p. 27–31.

MARSHALL, T. C.; SLATE, J.; KRUUK, L. E. B.; PEMBERTON, J. M. Statistical confidence for likelihood-based paternity inference in natural populations. **Molecular Ecology**, v. 7, p. 639–655, 1998.

MATSCHINER, M.; SALZBURGER, W. TANDEM: Integrating automated allele binning into genetics and genomics workflows. **Bioinformatics**, v. 25, n. 15, p. 1982–1983, 2009.

MAYER, C. **Phobos 3.3.11 edn.**, 2006-2010.

MELETTI, L. M. M.; SOARES-SCOTT, M. D.; BERNACCI, L. C. Caracterização fenotípica de três seleções de maracujazeiro-roxo (*Passiflora edulis* Sims). **Revista Brasileira de Fruticultura**, v. 27, n. 2, p. 268–272, 2005.

MONTEIRO, S. R.; FONSECA, L. P.; SILVA, M. S.; FALEIRO, F. G.; JUNQUEIRA, N. T. V. **Estudos preliminares para o uso de termoterapia ex vitro**

em maracujazeiro-azedo visando à eliminação de vírus-do-endurecimento-dos-frutos. Embrapa Cerrados. Planaltina, DF. 2010. p. 18

MUSCHNER, V. C.; LORENZ, A. P.; CERVI, A. C.; BONATTO, S. C.; SOUZA-CHIES, T. T.; SALZANO, F. M.; FREITAS, L. B. A first molecular phylogenetic analysis of Passiflora (Passifloraceae). **American Journal of Botany**, v. 90, n. 8, p. 1229–1238, 2003.

MYERS, N.; MITTERMEIER, R. A.; MITTERMEIER, C. G.; FONSECA, G. A. B.; KENT, J. Biodiversity hotspots for conservation priorities. **Nature**, v. 403, n. 6772, p. 853–858, 2000.

OCAMPO, J.; D'EECKENBRUGGE, G.; JARVIS, A. Distribution of the genus Passiflora L. diversity in Colombia and its potential as an indicator for biodiversity management on the coffee growing zone. **Diversity**, v. 2, p. 1158–1180, 2010.

OLIVEIRA, E. J.; PÁDUA, J. G.; ZUCCHI, M. I.; CAMARGO, L. E. A.; FUNGARO, M. H. P.; VIEIRA, M. L. C. Development and characterization of microsatellite markers from the yellow passion fruit (*Passiflora edulis* f. *flavicarpa*). **Molecular Ecology Notes**, v. 5, n. 2, p. 331–333, 2005.

OLIVEIRA, E. J. **Desenvolvimento e uso de marcadores microssatélites para construção e integração de mapas genéticos de maracujá-amarelo (*Passiflora edulis Sims f. flavicarpa Deg.*)**. Universidade de São Paulo, 2006.

OLIVEIRA, E. J.; VIEIRA, M. L.; GARCIA, A. A. F.; MUNHOZ, C. F.; MARGARIDO, G. R. A.; CONSOLI, L.; MATTA, F. P.; MORAES, M. C.; BOX, P. O.; ZUCCHI, M. I.; FUNGARO, M. H. P. An Integrated Molecular Map of Yellow Passion Fruit Based on Simultaneous Maximum-likelihood Estimation of Linkage and Linkage Phases. **Journal of the American Society for Horticultural Science**, v. 133, n. 1, p. 35–41, 2008.

OLIVEIRA, G. A. F.; PÁDUA, J. G.; COSTA, J. L.; JESUS, O. N.; CARVALHO, F. M.; OLIVEIRA, E. J. Cross-species Amplification of Microsatellite Loci Developed

for *Passiflora edulis* Sims. in Related *Passiflora* Species. **Brazilian Archives of Biology and Technology**, v. 56, p. 785–792, 2013.

ORTIZ, D. C.; BOHÓRQUEZ, A.; DUQUE, M. C.; TOHME, J.; CUÉLLAR, D.; MOSQUERA, T. Evaluating purple passion fruit (*Passiflora edulis* Sims f. *edulis*) genetic variability in individuals from commercial plantations in Colombia. **Genetic Resources and Crop Evolution**, v. 59, n. 6, p. 1089–1099, 2012.

PADUA, J. G.; OLIVEIRA, E. J.; ZUCCHI, M. I.; OLIVEIRA, G. C. X.; CAMARGO, L. E. A.; VIEIRA, M. L. C. Isolation and characterization of microsatellite markers from the sweet passion fruit (*Passiflora alata* Curtis: Passifloraceae). **Molecular Ecology Notes**, v. 5, n. 4, p. 863–865, 2005.

PAIVA, C., VIANA, A. P.; SANTOS, E. A.; FREITAS, J. C. O.; SILVA, R. N. O.; OLIVEIRA, E. J. Genetic variability assessment in the genus *Passiflora* by SSR marker. **Chilean Journal of Agricultural Research**, v. 74, n. 3, p. 355–360, 2014.

PENHA, H. A.; PEREIRA, G. S.; ZUCCHI, M. I.; DINIZ, A. L.; VIEIRA, M. L. C. Development of microsatellite markers in sweet passion fruit, and identification of length and conformation polymorphisms within repeat sequences. **Plant Breeding**, v. 132, n. 6, p. 731–735, 2013.

PLOTZE, R. O.; FALVO, M.; PÁDUA, J. G.; BERNACCI, L. C.; VIEIRA, M. L. C.; OLIVEIRA, G. C. X.; BRUNO, O. M. Leaf shape analysis using the multiscale Minkowski fractal dimension, a new morphometric method: A study with *Passiflora* (Passifloraceae). **Canadian Journal of Botany**, v. 83, p. 287–301, 2005.

POWELL, W.; MORGANTE, M.; ANDRE, C.; HANAFEY, M.; VOGEL, J.; TINGEY, S.; RAFALSKI, A. The comparision of RFLP, RAPD, AFLP and SSR (microsatellite) markers for germplasm analysis. **Molecular Breeding**, v. 13, p. 391–393, 1996.

PRITCHARD, J. K.; STEPHENS, M.; DONNELLY, P. Inference of Population Structure Using Multilocus Genotype Data. **Genetics**, v. 155, n. 2, p. 945–959, 2000.

PRITCHARD, J. K.; WEN, X.; FALUSH, D. **Documentation for structure software: Version 2.3**, Chicago, IL. University of Chicago, 2010.

REIS, R. V.; OLIVEIRA, E. J.; VIANA, A. P.; PEREIRA, T. B. S.; PEREIRA, M. G.; SILVA, M. G. M. Diversidade genética em seleção recorrente de maracujazeiro - amarelo detectada por marcadores microssatélites. **Pesquisa Agropecuária Brasileira**, v. 46, n. 1, p. 51–57, 2011.

RENDÓN, J. S.; OCAMPO, J.; URREA, R. Estudio sobre polinización y biología floral en *Passiflora edulis* f. *edulis* Sims, como base para el premejoramiento genético. **Acta Agronómica**, v. 62, n. 3, p. 232–241, 2013.

RODRIGUES, R. R.; LIMA, R. A. F.; GANDOLFI, S.; NAVÉ, A. G. On the restoration of high diversity forests: 30 years of experience in the Brazilian Atlantic Forest. **Biological Conservation**, v. 142, n. 6, p. 1242–1251, 2009.

ROHLF, F. **Numerical taxonomy and multivariate analysis system (NTSYS-pc)**. New York, Departament of Ecology and Evolution, 1990.

SANTOS, L. F. et al. ISSR markers as a tool for the assessment of genetic diversity in *Passiflora*. **Biochemical genetics**, v. 49, n. 7–8, p. 540–54, 2011.

SEGURA, S.; D'EECKENBRUGGE, G. C.; BOHORQUEZ, A.; OLLITRAUTL, P.; TOHME, J. An AFLP diversity study of the genus *Passiflora* focusing on subgenus Tacsonia. **Genetic Resources and Crop Evolution**, v. 00, p. 1–10, 2002.

SILVA, P. I.; MARTINS, A. M.; GOUVEA, E. G.; PESSOA-FILHO, M.; FERREIRA, M. E. Development and validation of microsatellite markers for *Brachiaria ruziziensis* obtained by partial genome assembly of Illumina single-end reads. **BMC Genomics**, v. 14, n. 1, p. 17, 2013.

SOUZA, M. M.; PALOMINO, G.; PEREIRA, T. N. S.; PEREIRA, M. G.; VIANA, A. P. Flow cytometric analysis of genome size variation in some *Passiflora* species.

Hereditas, v. 141, p. 31–38, 2004.

UNTERGASSER, A.; NIJVEEN, H.; RAO, X.; BISSELING, T.; GEURTS, R.; LAUNISSEN, J. A. M. Primer3Plus, an enhanced web interface to Primer3. **Nucleic Acids Research**, v. 35, p. W71–W74, 2007.

VIANA, A. J. C.; SOUZA, M. M.; ARAÚJO, I. S.; CORRÊA, R. X.; AHNERT, D. Genetic diversity in Passiflora species determined by morphological and molecular characteristics. **Biologia Plantarum**, v. 54, n. 3, p. 535–538, 2010.

ZERBINO, D. R.; BIRNEY, E. Velvet: Algorithms for de novo short read assembly using de Bruijn graphs. **Genome Research**, v. 18, n. 5, p. 821–829, 2008.

ZHAI, L.; XU, L.; WANG, Y.; CHENG, H.; CHEN, Y.; GONG, Y.; LIU, L. Novel and useful genic-SSR markers from de novo transcriptome sequencing of radish (*Raphanus sativus* L.). **Molecular Breeding**, v. 33, n. 3, p. 611–624, 2014.

**CAPÍTULO 2. ESTIMATIVA DAS TAXAS DE AUTOGAMIA E ALOGAMIA
NA CULTIVAR BRS MARACUJÁ JABOTICABA DE
Passiflora edulis Sims UTILIZANDO MARCADORES MICROSSATÉLITES**

**CHAPTER 2. ESTIMATED RATES OF AUTOGAMY AND ALOGAMY IN
THE CULTIVAR BRS MARACUJÁ JABOTICABA
OF *Passiflora edulis* Sims USING MICROSATELLITE MARKERS**

RESUMO

Maracujazeiro-azedo (*Passiflora edulis* Sims) possui flores hermafroditas, mas, de maneira geral, elas são incapazes de produzir zigotos após autopolinização devido à autoincompatibilidade. Pelo contrário, observações em relação ao modo de reprodução da cultivar BRS Maracujá Jaboticaba (BRS MJ) evidenciaram a autocompatibilidade, mas ainda não foram publicados dados conclusivos sobre o modo de reprodução dessa cultivar. Neste trabalho, foram estimadas as taxas de autogamia e alogamia na cultivar BRS MJ utilizando 16 marcadores microssatélites polimórficos. Frutos provenientes de três plantas com polinização aberta e de uma planta com polinização controlada (autofecundação), deram origem a quatro progêñies de 21 a 23 indivíduos cada uma. Amostras de DNA de cada um dos indivíduos foram extraídas e genotipadas para obtenção de fragmentos amplificados. Autogamia e alogamia foram estimadas com base na taxa de cruzamento multiloco (t_m). Nas três progêñies obtidas a partir da polinização aberta, a taxa de cruzamento multiloco variou entre 0,409 e 0,566, evidenciando o modo de reprodução misto por meio da autogamia e alogamia. Na progênie obtida a partir da autofecundação, a autogamia foi de 99,99% confirmando autocompatibilidade na cultivar BRS MJ. Análises de variabilidade genética da cultivar BRS MJ em relação ao outros acessos da espécie *P. edulis* com base em marcadores microssatélites, mostraram uma clara diferenciação entre elas, corroborando as diferenças fenotípicas e diferentes modos de reprodução.

Palavras-chave: *Passiflora edulis* Sims, maracujá-roxo, modo de reprodução, microssatélites, autocompatibilidade, autofecundação

ABSTRACT

Different cultivars of passion fruit (*Passiflora edulis* Sims) have hermaphrodite flowers, but, in general, cannot produce zygotes after selfing, due to because self-incompatibility. On the other hand, observations regarding the mating system of the cultivar BRS Maracujá Jaboticaba (BRS MJ) evidenced self-compatibility, but conclusive data has not been published. In this research, allogamy and autogamy rates were estimated for *P. edulis* cultivar BRS MJ by 16 polymorphic microsatellite markers. Fruits from three plants with open pollination and one plant with controlled pollination (selfing) have originated four populations with 21 to 23 individuals each. DNA samples from each individual were extracted and genotyped with microsatellite markers. Autogamy and allogamy were estimated based on multilocus outcrossing rates (t_m). All three offspring obtained from open-pollinated, allogamy was confirmed with multilocus rate of 0.409 to 0.566, that is an evidence of the mixed mating system through autogamy and allogamy. The offspring coming from selfing, autogamy was in 99.99% which confirms auto-compatibility on the BRS MJ cultivar. Analysis of genetic variability with BRS MJ and other accessions of the *P. edulis* species based on microsatellite markers showed a clear differentiation between them, corroborating the phenotypic differences and different mating system.

Keywords: *Passiflora edulis*, purple passion fruit, mating system, microsatellite, self-compatibility, selfing

INTRODUÇÃO

Numerosas são as espécies do gênero *Passiflora* que produzem frutos comestíveis, as que no Brasil são chamadas de maracujás. Dentro desse grupo, a espécie mais conhecida e de importância comercial é *Passiflora edulis* Sims (FALEIRO et al., 2011; OCAMPO et al., 2007), a que é chamada de maracujazeiro-azedo. Seus frutos podem ser amarelos, vermelhos e roxos, os quais são utilizados para o processamento industrial e também para consumo *in natura*. O maracujazeiro-amarelo é cultivado principalmente em Brasil, Equador e Colômbia e o maracujazeiro-roxo é mais cultivado na Austrália, África, no Sudeste Asiático e também na Colômbia. Maracujazeiro-roxo e amarelo são nativos da América tropical, onde o maracujazeiro-amarelo tem sido considerado como uma variação do maracujazeiro-roxo, sendo ambas as formas da mesma espécie (OLIVEIRA; RUGGIERO, 2005).

O maracujazeiro-roxo possui características físicas e organolépticas interessantes para o mercado de frutas especiais, mas a baixa produtividade e a falta de cultivares com características agronômicas desejáveis que se adaptem às diferentes áreas de produção vem limitando a produção comercial no Brasil (MELETTI; SOARES-SCOTT; BERNACCI, 2005)

Com o intuito de gerar uma cultivar de maracujazeiro-roxo mais adaptada às condições de produção no Cerrado o programa de melhoramento genético das Passifloras da Embrapa Cerrados, desenvolveu a cultivar BRS Maracujá Jaboticaba (BRS MJ), por meio da seleção massal, visando ao aumento de produtividade e aceitação comercial das características físicas e químicas dos frutos, e menor dependência da polinização manual. O programa de melhoramento começou com os primeiros ciclos de seleção e recombinação em 1999, utilizando acessos e populações silvestres de *Passiflora edulis* Sims. Entre 1999 e 2013, foram realizados seis ciclos de seleção massal e então selecionadas as matrizes superiores para a geração da nova cultivar, a qual apresenta flores pequenas, com diâmetro entre 3 e 5 cm com antese matutina, podendo estender-se durante o período da tarde, dependendo das condições climáticas. Possui comprimento do androgínóforo curto (0,5 a 1,0 cm) o que permite a polinização por pequenos insetos. Os frutos são roxos, arredondados e pequenos (diâmetros transversal de 45 mm e longitudinal de 43 mm), com uma massa média de 40 gramas. Sua polpa é alaranjado clara, levemente ácida, com alto teor de sólidos

solúveis totais (acima de 15 °Brix), especial para consumo *in natura*, o que a faz uma seleção muito atrativa para a diversificação do mercado das Passifloras.

Autocompatibilidade tem sido observada para a espécie *P. edulis*, principalmente para o maracujazeiro-roxo (CHANG, 1974, 1981; ISHIHATA, 1981; RÊGO, 1997), embora existam evidências que a autocompatibilidade também possa ocorrer em alguns acessos de maracujazeiro-amarelo (SHIVANNA, 2012). De maneira geral, considera-se que *P. edulis* é uma espécie autoincompatível (BRUCKNER et al., 1995). O mecanismo da autoincompatibilidade, segundo BRUCKNER et al., (1995), é do tipo homomórfica esporofítica, e de herança monofatorial porém, estudos posteriores de SUASSUNA et al. (2003), sugerem a existência de um gene de efeito gametofítico associado ao sistema esporofítico.

No gênero *Passiflora* a autocompatibilidade também tem sido observada em outras espécies, como *Passiflora elegans*, *Passiflora tenuifila*, *Passiflora vilosa*, *Passiflora suberosa*, *Passiflora foetida* (JUNQUEIRA et al., 2005), *Passiflora capsularis* e *Passiflora rubra* (AMORIM et al., 2011).

Até o momento, observações em relação ao modo de reprodução da cultivar BRS MJ evidenciaram a autocompatibilidade, mas ainda não foram publicados dados conclusivos sobre o modo de reprodução dessa cultivar. Pesquisas sobre o modo de reprodução em populações autocompatíveis são conduzidas por meio de diferentes metodologias, como o cálculo da porcentagem de frutificação obtida por polinização natural, autopolinização natural, autopolinização manual e polinização cruzada (ex. RENDÓN; OCAMPO; URREA, 2013; SHIVANNA, 2012). Segundo BAYE e BECKER (2004), a melhor maneira de calcular a taxa de alogamia, parâmetro fundamental para a estimativa do modo de reprodução, é por meio do uso de marcadores moleculares aplicados em progênies de plantas.

Marcadores moleculares microssatélites têm sido usados amplamente para investigar os modos de reprodução em populações naturais, assim como em análise de paternidade e construção de mapas genéticos (CHASE; KESSELI; BAWA, 1996). Estes marcadores apresentam várias vantagens como a simplicidade, efetividade, abundância no genoma, hipervariabilidade, reprodutibilidade e herança codominante (LITT; LUTY, 1989; POWELL et al., 1996), além de apresentar altos níveis de polimorfismo e heterozigosidade esperada, sendo muito utilizados para entender em detalhe os padrões de composição de parentesco e para a discriminação individual na identificação de clones (COLLEVATTI; BRONDANI; GRATTAPAGLIA, 1999; DE

LORENZIS et al., 2013; SCHUELER et al., 2003; VOUILAMOZ; MAIGRE; MEREDITH, 2003).

Nesse trabalho, o objetivo principal foi estudar o modo de reprodução da cultivar BRS Maracujá Jaboticaba da espécie *P. edulis* utilizando marcadores microssatélites. Neste contexto, os marcadores microssatélites foram utilizados para (a) confirmar ocorrência de autofecundação, (b) determinar as taxas de autogamia e alogamia em diferentes plantas da cultivar e (c) avaliar se existem cruzamentos entre indivíduos aparentados de outras cultivares de maracujazeiro.

MATERIAL E MÉTODOS

Material vegetal

Foram escolhidas quatro plantas da cultivar BRS MJ (Figura 1) para a formação de quatro progêneres. Duas plantas (P1RJ-RC e P2RJ-RC) cultivadas em um pomar comercial de BRS Rubi do Cerrado (*P. edulis*) plantado a 1,5 m x 2 m (Figura 2); uma planta (P3RJ-GA) cultivada em um pomar comercial misto de BRS Rubi do Cerrado, BRS Gigante Amarelo e BRS Sol do Cerrado (1,5 m x 2 m) (Figura 2). Os dois pomares estavam localizados em Planaltina do DF ($15^{\circ} 25' 23''$ S, $47^{\circ} 32' 33''$ W, 1039 m.s.n.m.). A quarta planta (P4RJ-CV) foi cultivada de forma isolada em uma casa de vegetação na Embrapa Cerrados, Planaltina do DF ($5^{\circ} 35' 30''$ S, $47^{\circ} 42' 30''$ W, 1100 m.s.n.m.).

Não foi controlada a polinização nas três plantas que se encontravam nos pomares, permitindo a polinização natural para testar alogamia e autogamia espontâneas. No caso da planta cultivada em casa de vegetação, foi realizada a autopolinização para avaliar a possibilidade de autofecundação. Após a frutificação, foi coletado um fruto por planta. As sementes de cada fruto foram germinadas em bandejas de poliestireno com um substrato de turfa, perlita e solo. Após 8 semanas, foram coletadas folhas para a extração de DNA.

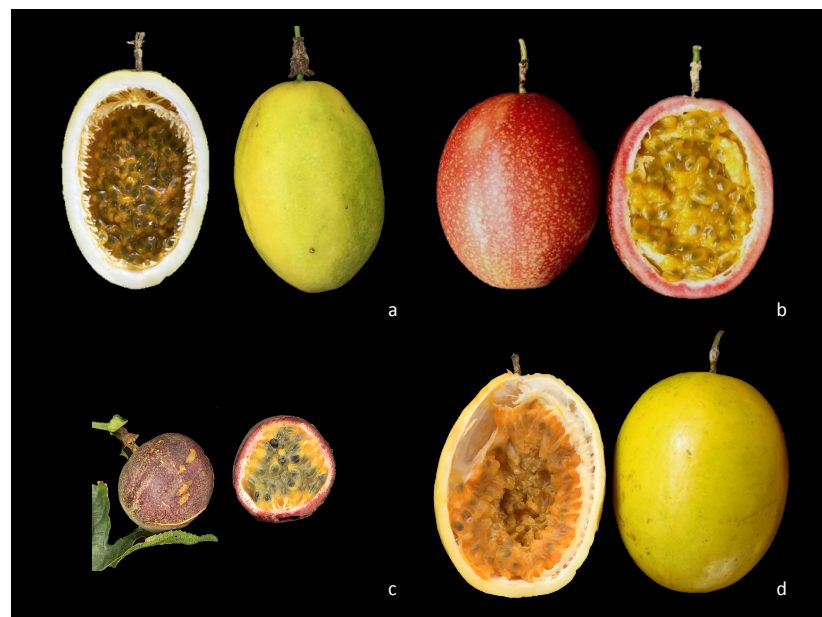


Figura 1. Imagem comparativa do tamanho e da cor dos frutos de três cultivares desenvolvidas pela Embrapa e parceiros, a) e b) BRS Rubi do Cerrado, c) BRS Maracujá Jaboticaba e d) BRS Gigante Amarelo.

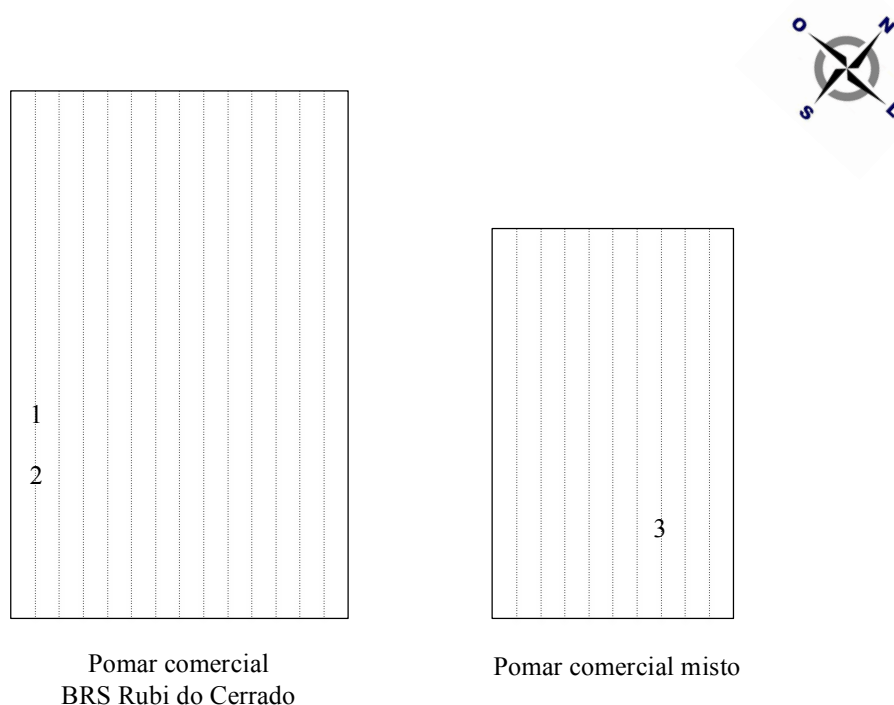


Figura 2. Croqui da distribuição das plantas de BRS Maracujá Jaboticaba (1) P1RJ-RC e (2) P2RJ-RC no pomar comercial de BRS Rubi do Cerrado, e (3) P3RJ-GA no pomar comercial misto de BRS Rubi do Cerrado, BRS Gigante Amarelo e BRS Sol do Cerrado.

Extração de DNA e genotipagem

Amostras de DNA de cada uma das quatro plantas de *P. edulis* cv. BRS MJ e suas respectivas progênies (21 a 23 indivíduos por progénie) foram extraídas utilizando o método CTAB (DOYLE; DOYLE, 1987) com modificações de FALEIRO et al., (2003). A concentração de DNA de cada amostra foi estimada utilizando o espectofotômetro Nanodrop 2000 (Thermo Scientific, USA), e as amostras foram diluídas em TE pH 8,0 para uma concentração final de 5 η g/ μ L. Foram testados 18 pares de primers de microssatélites polimórficos desenhados e validados para *P. edulis* no Capítulo 1 (Tabela 1).

As reações em cadeia da polimerase (PCR) foram realizadas em um volume total de 5 μ L que continham 5 η g de DNA genômico, 1X de QIAGEN Multiplex PCR Kit Master Mix (QIAGEN), 0,5X Q-Solution (QIAGEN), e 0,2 μ M de cada primer. As reações de PCR foram realizadas no termociclador VeritiTM (Applied Biosystems, USA) usando o seguinte programa de amplificação: 95°C por 15 minutos; 35 ciclos a 94°C por 30 segundos, 55, 57 ou 60°C por 90 segundos, e 72°C por 60 segundos; extensão final a 60°C por 60 minutos. Para 1 μ L do produto da amplificação de cada amostra, foram adicionados 9 μ L de Hi-DiTM Formamida (Applied Biosystems, USA) contendo um padrão de tamanho, marcado com o fluoróforo ROX, e então o DNA foi desnaturado a 94°C por 5 minutos. Após a desnaturação, as amostras foram injetadas no sequenciador automático ABI3730 (Applied Biosystems, USA). As análises de genotipagem foram realizadas no software GeneMapper[®] (Applied Biosystems, USA) e os dados foram binados no software Tandem (MATSCHINER; SALZBURGER, 2009).

Estatísticas e análises de dados

Foram estimados o número de alelos, a heterozigosidade esperada (He) e observada (Ho), e o conteúdo de informação polimórfica (PIC) dos marcadores microssatélites em cada uma das quatro progênies utilizando o software Cervus v.3.0.3 (Tristan Marshall 1998-2014) (MARSHALL et al., 1998)

A herança Mendeliana dos locos de microssatélites foi analisada com o Teste Exato de Fisher de 2x3 no software VassarStats (LOWRY, 2001-2016) [<http://vassarstats.net/fisher2x3.html>] que baseia-se no procedimento descrito por FREEMAN e HALTON (1951) para a obtenção da probabilidade da hipótese nula

acontecer. Foi assumido que os locos heterozigotos em uma população autógama segregam em uma proporção 1:2:1.

O modo de reprodução foi analisado sob o modelo misto ou modelo de cruzamentos correlacionados (RITLAND, 1989) utilizando o *software* MLTR v.3.2 (RITLAND, 2002). Foram calculadas a taxa de cruzamento multiloco (t_m), a taxa de cruzamento uniloco (t_s), a taxa de cruzamento entre indivíduos aparentados ($t_p = (t_m - t_s)$), a correlação multiloco de paternidade (r_p), a correlação uniloco de paternidade (r_s), os cruzamentos correlacionados ($t_m \times r_p$), cruzamentos aleatórios ($t_m (1 - r_p)$) e a taxa de autogamia ($1 - t_m$). O Desvio Padrão foi obtido a partir de 100 repetições da reamostragem de indivíduos dentro de cada progênie.

Foi realizada a Análise de Coordenadas Principais (PCoA) utilizando o *software* NTSYSpc v.2.10 (ROHLF, 1990), onde foram considerados 103 indivíduos (10 acessos de *P. edulis* e 93 indivíduos do acesso *P. edulis* cv. BRS MJ. Também foi realizada um análise de estrutura e ancestralidade com base na estatística Bayesiana, sem nenhuma atribuição prévia às espécies, utilizando o *software* Structure v.2.3.4 (PRITCHARD; STEPHENS; DONNELLY, 2000; PRITCHARD; WEN; FALUSH, 2010). Foi considerado o modelo de frequências alélicas correlacionadas e independentes entre os grupos inferidos, com base nos parâmetros do modelo de mistura (*Admixture model*) com 250.000 repetições iniciais (*burnin*) com um tamanho na corrida de 500.000 (*run-length*). Para identificar o número de grupos dos 103 genótipos, o valor de $\ln P(D)$ foi obtido pelo teste de K variando entre 1 a 10, usando 20 corridas independentes para cada valor de K (duração do período de repetições iniciais: 50.000; número de MCMC repetições após as repetições iniciais: 50.000). Os valores mais prováveis de K para cada teste foram detectados pelo Delta K (EVANNO; REGNAUT; GOUDET, 2005). Os acessos testados foram divididos em grupos segundo os valores de Q maiores ou iguais a 0,70, ou sendo considerados como intermediários ou misturados. A extração e quantificação de DNA dos 10 acessos de *P. edulis* seguiram os procedimentos descritos anteriormente.

RESULTADOS E DISCUSSÃO

Dos 18 pares de *primers* de microssatélites testados, 16 amplificaram satisfatoriamente (88,9%) (excluídos BrPe0014 e BrPe0036). Nem todos os locos

foram polimórficos quando avaliados em cada progênie, o que era esperado considerando a menor variabilidade genética dentro das progênies de cada planta e devido à possibilidade de autogamia. Na família P1RJ-RC, dos 16 locos, 12 foram polimórficos, apresentando entre 2 a 4 alelos por loco. As médias da He para esses locos polimórficos foi de 0,16, da Ho de 0,21 e do PIC de 0,13 (Tabela 2). Na família P2RJ-RC, 14 locos foram polimórficos com o mesmo número de alelos por loco que na família P1RJ-RC, e valores similares para a He, Ho e PIC (Tabela 3). Já para a família proveniente da planta P3RJ-GA, a que se encontrava em um pomar misto de BRS Gigante Amarelo, BRS Rubi do Cerrado e BRS Sol do Cerrado, o número de locos polimórficos foi de 15 (93,8%), apresentando 2 a 4 alelos por loco e maiores médias de Ho e He que nas outras progênies, e PIC de 0,33 (Tabela 4). Para a família proveniente da planta que se encontrava isolada na casa de vegetação (P4RJ-CV), os valores caíram para somente 2 locos polimórficos (12,5%) com dois alelos por loco (Tabela 5).

Tabela 1. Estatísticas da seleção de 18 marcadores microssatélites polimórficos que foram validados em *P. edulis* no Capítulo 1.

Painel	Marcador	Dye	Sequência do primer 5'-3'	Motivo	Ta	N	Tamanho alelos bp	He	Ho	PIC
1	BrPe0001	6-Fam	F:GTTGAGAGGATTGTGTTG R: ATGGTAGAGGAGGAGAGA	(CT) ₁₄	55°C	3	143-157	0,56	0,14	0,46
	BrPe0028	Hex	F:CAAAAGGAACAGGGAAGA R: GAAAGAGAGAAAGACAGAGA	(TA) ₆	55°C	5	90-110	0,80	0,50	0,72
2	BrPe0002	Hex	F:AAAGCCCAGATGAAGTGAA R:GGCTCCAATCAGAACAGTGT	(AG) ₁₂	55°C	3	177-185	0,69	0,56	0,58
	BrPe0024	6-Fam	F:CCCTACCTTCTCTGCCTT R:CATCTCCTATCTCCTTC	(TC) ₇	55°C	4	221-231	0,76	0,70	0,68
3	BrPe0003	6-Fam	F:CTTCTCTCCCTATAACCC R:CCCTCCATAATCACATAAC	(TC) ₁₁	55°C	5	277-291	0,70	0,40	0,62
	BrPe0006	6-Fam	F:AAGGAAAAGAACAGCCTCA R:CGCTCTCAAATCAGTCAAA	(TC) ₁₀	55°C	4	193-199	0,68	0,40	0,59
	BrPe0010	Hex	F:GAAGAAAAAAGGGCTTG R:GTTAGGGTTTGGAGGA	(TC) ₉	55°C	4	199-207	0,71	0,50	0,60
4	BrPe0031	6-Fam	F:AGGTCGGTGGGTGTGTTAG R:CATTCAACTCCCCAAAAGGT	(TA) ₉	60°C	5	134-150	0,77	0,67	0,67
	BrPe0036	Hex	F:TCGGACCTTAAAACCGAGAA R:CAGCACCAAAATTGACGAG	(TC) ₆	60°C	4	197-203	0,65	0,10	0,54
5	BrPe0032	6-Fam	F:TTGCACAATGACCAATGTTG R:CTGAGCACCTGTCAAATACA	(AT) ₁₃	60°C	7	137-157	0,84	1,00	0,77
	BrPe0034	Hex	F:CCTGTGGTAAAATGGAACC R:GAGCCCTGGACTGACACATT	(CT) ₁₅	60°C	2	217-227	0,56	1,00	0,38
6	BrPe0038	6-Fam	F:TTTCAACTTTCTGTGTGC R:TGTTGTTGCTTGAAGGATG	(AT) ₆	60°C	5	154-176	0,73	0,60	0,64
	BrPe3011	Hex	F:CCGGTCTTCCTGATTGACTC R:CCTCTCTCACCTGGAACTGC	(TTC) ₄	60°C	3	157-163	0,62	0,30	0,50
	BrPe0014	6-Fam	F:AATATGGCTGGGGAAAC R:TTCCCTGTCTTGGACCTT	(AG) ₇	57°C	5	215-227	0,75	0,50	0,67
NP	BrPe0021	6-Fam	F:ACTTCCTCATCATTG R:GCTATGCCCTTTTG	(TA) ₇	55°C	3	158-164	0,67	0,25	0,56

Painel	Marcador	Dye	Sequência do primer 5'-3'	Motivo	Ta	N	Tamanho alelos bp	He	Ho	PIC
NP	BrPe0033	Hex	F:GCCATGAGAGACTTGGGAGA R:CGGTGCCAAAAAGAAGAGA	(AT) ₈	60°C	5	237-249	0,72	0,30	0,65
	BrPe0042	6-Fam	F:CATGCATTCAATTGTTTCTTG R:GATGCTGGAAAAAGAGTGC	(AT) ₈	60°C	6	142-160	0,71	0,80	0,63
	BrPe0043	Hex	F:TCATACATGGATGTCAAATCGATAC R:GCGGACCAAGAAAATTCAA	(AT) ₈	60°C	4	199-207	0,71	0,50	0,60
Média				4,24			0,70			0,60

F: primer forward; R: primer reverse; T_a: temperatura de anelamento; N: número de alelos; Ho: heterozigosidade observada; He: heterozigosidade esperada; PIC: conteúdo de informação polimórfica, NP: não painel.

Tabela 2. Estatísticas descritivas dos 12 locos de microssatélites polimórficos testados na progênie P1RJ-RC.

Loco	N	Tamanho alelos pb	Ho	He	PIC
BrPe0001	3	154-160	0,57	0,49	0,38
BrPe0002	2	171-187	0,05	0,05	0,04
BrPe0003	2	279-289	0,04	0,04	0,04
BrPe0006	2	193-197	0,04	0,04	0,04
BrPe0021	3	162-172	0,10	0,09	0,09
BrPe0028	2	99-105	0,09	0,09	0,08
BrPe0031	3	143-147	0,29	0,27	0,24
BrPe0032	2	151-153	1,00	0,51	0,38
BrPe0038	2	155-157	0,13	0,12	0,11
BrPe0042	4	148-156	0,13	0,12	0,12
BrPe0043	2	200-206	0,05	0,05	0,04
BrPe3011	2	159-165	0,04	0,04	0,04
Média		2,42			0,21
					0,16
					0,13

N: número de alelos; Ho: heterozigosidade observada; He: heterozigosidade esperada; PIC: conteúdo de informação polimórfica

Tabela 3. Estatísticas descritivas dos 14 locos de microssatélites polimórficos testados na progênie P2RJ-RC.

Loco	N	Tamanho alelos pb	Ho	He	PIC
BrPe0001	4	154-162	0,81	0,55	0,44
BrPe0002	2	175-187	0,05	0,05	0,05
BrPe0003	2	287-289	0,04	0,04	0,04
BrPe0006	2	191-197	0,05	0,05	0,04
BrPe0010	3	197-207	0,09	0,09	0,08

Loco	N	Tamanho alelos pb	Ho	He	PIC
BrPe0024	2	226-232	0,04	0,04	0,04
BrPe0028	2	99-105	0,04	0,04	0,04
BrPe0031	4	135-147	0,48	0,46	0,41
BrPe0032	2	151-153	1,00	0,51	0,38
BrPe0033	2	242-252	0,05	0,05	0,04
BrPe0034	2	213-227	0,05	0,05	0,04
BrPe0038	2	155-157	0,04	0,04	0,04
BrPe0042	2	150-156	0,04	0,04	0,04
BrPe3011	2	159-165	0,04	0,04	0,04
Média	2,36		0,20	0,15	0,12

N: número de alelos; Ho: heterozigosidade observada; He: heterozigosidade esperada; PIC: conteúdo de informação polimórfica

Tabela 4. Estatísticas descritivas dos 15 locos de microssatélites polimórficos testados na progênie P3RJ-GA.

Loco	N	Tamanho alelos pb	Ho	He	PIC
BrPe0001	3	154-162	0,33	0,45	0,36
BrPe0002	2	181-187	0,48	0,37	0,30
BrPe0003	4	279-293	0,42	0,35	0,31
BrPe0006	3	195-199	0,21	0,20	0,18
BrPe0010	3	203-207	0,50	0,41	0,36
BrPe0021	2	164-172	0,50	0,38	0,31
BrPe0024	3	226-232	0,50	0,41	0,35
BrPe0028	3	99-105	0,52	0,43	0,37
BrPe0032	2	151-153	1,00	0,51	0,38
BrPe0033	3	242-252	0,42	0,35	0,29
BrPe0034	3	213-225	0,50	0,41	0,35
BrPe0038	2	155-157	0,50	0,38	0,31
BrPe0042	3	150-156	0,52	0,43	0,37
BrPe0043	5	200-220	0,50	0,42	0,38
BrPe3011	2	159-165	0,50	0,38	0,31
Média	2,87		0,49	0,39	0,33

N: número de alelos; Ho: heterozigosidade observada; He: heterozigosidade esperada; PIC: conteúdo de informação polimórfica

Tabela 5. Estatísticas descritivas dos 2 locos de microssatélites polimórficos testados na progênie P4RJ-CV.

Loco	N	Tamanho alelos pb	Ho	He	PIC
BrPe0001	2	154-156	0,55	0,50	0,37
BrPe0032	2	151-153	1,00	0,51	0,38
Média	2		0,77	0,50	0,37

N: número de alelos; Ho: heterozigosidade observada; He: heterozigosidade esperada; PIC: conteúdo de informação polimórfica

Quando comparados os alelos dos indivíduos de cada progênie com os alelos do genitor feminino, um total de 57 indivíduos (63,3%) apresentaram somente alelos do genitor feminino. Na família P1RJ-RC, 13 indivíduos apresentaram somente alelos do genitor feminino (56,5%); na família P2RJ-RC, 13 indivíduos (59,1%); na família P3RJ-GA, 10 indivíduos (43,4%); e na família P4RJ-CV, todos os 21 indivíduos (100%) tiveram somente alelos do genitor feminino. Segundo a segregação Mendeliana, locos heterozigotos do genitor feminino resultarão em 50% de progênie heterozigota para esse mesmo loco, na ocorrência de autopolinização. Considerando somente os indivíduos com alelos provenientes do genitor feminino, foi calculada a probabilidade de segregação na proporção 1:2:1 utilizando o Teste Exato de Fisher, onde a maioria dos locos apresentaram uma probabilidade maior que $P=0,05$ não existindo diferença significativa entre a segregação esperada e a observada. A exceção foi para o loco BrPe0032 nas progêniest P1RJ-RC e P4RJ-CV, que apresentou diferença significativa ($0,0441 < P=0,05$ e $0,025 < P=0,05$, respectivamente), rejeitando a hipótese nula de 1:2:1 (Tabela 6; Figura 3).

Tabela 6. Probabilidade da segregação independente mediante o Teste Exato de Fisher em quatro progêniest provenientes de autopolinização de quatro plantas da cultivar BRS Maracujá Jaboticaba.

Família	Loco	Fenótipo genitor feminino <i>ab</i>	Segregação F1 <i>aa:ab:bb</i>	Taxa esperada <i>aa:ab:bb</i>	<i>P</i>
P1RJ-RC	BrPe0001	154/156	1 : 5 : 6	1 : 2 : 1	0,7576
	BrPe0032	151/153	0 : 13 : 0	1 : 2 : 1	0,0441

Família	Loco	Fenótipo genitor feminino <i>ab</i>	Segregação F1 <i>aa:ab:bb</i>	Taxa esperada <i>aa:ab:bb</i>	<i>P</i>
P2RJ-RC	BrPe0001	154/156	0 : 10 : 2	1 : 2 : 1	0,2445
	BrPe0031	145/147	10 : 3 : 0	1 : 2 : 1	0,0987
	BrPe0032	151/153	0 : 12 : 0	1 : 2 : 1	0,0500
P3RJ-GA	BrPe0001	154/156	0 : 6 : 4	1 : 2 : 1	0,4406
	BrPe0032	151/153	0 : 10 : 0	1 : 2 : 1	0,0659
P4RJ-CV	BrPe0001	154/156	2 : 12 : 7	1 : 2 : 1	0,5684
	BrPe0032	151/153	0 : 18 : 0	1 : 2 : 1	0,0259

Desvios na segregação Mendeliana podem ocorrer por várias causas como mutações, as que variam entre 10^{-2} a 10^{-6} nucleotídeos por loco por geração (SIA et al., 2000; TACHIDA; IIZUKA, 1992), mudanças no modo de reprodução como apomixia (BRESSAN et al., 2013; NASSAR; COLLEVATTI, 2005), epistasia (MONTAGUTELLI; TURNER; NADEAU, 1996), barreiras reprodutivas (HARUSHIMA et al., 2001), dominância completa e incompleta (DAVIES; COATES; NIELSEN, 1985), entre outros. No presente estudo, considerando que somente um dos dois locos heterozigotos não segregaram de maneira Mendeliana em duas progênies, o desvio poderia ser atribuído ao tamanho pequeno da progénie testada, portanto seria necessário aumentar o número de indivíduos testados, assim como o número de locos heterozigotos.

Nossos resultados foram obtidos a partir da genotipagem com uma seleção de 18 marcadores microssatélites mais informativos que foram validados em 10 acessos de *P. edulis*, que apresentaram PIC entre 0,38 e 0,77, Ho 0,14 a 1,00, e entre 2 a 7 alelos por loco (Tabela 1). Considerando os mesmos marcadores utilizados nas quatro progênies da cultivar BRS MJ, o PIC foi entre 0,04 e 0,44, a Ho de 0,04 a 1,00, e foram observados entre 2 a 5 alelos por loco, afirmando que a técnica é eficiente e os marcadores desenvolvidos são informativos (Tabelas 2-5) (Figuras 3 e 4).

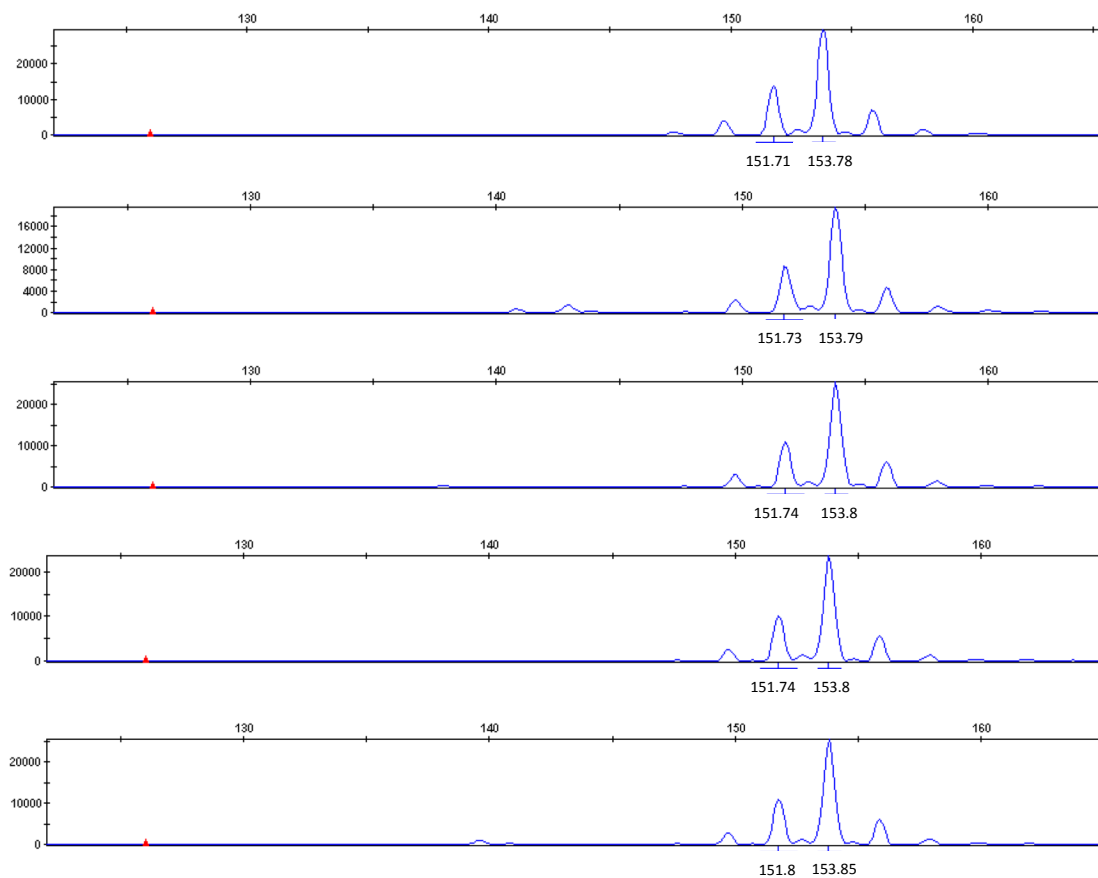


Figura 3. Eletroferograma do loco BrPe0032 nos acessos P4RJ-CV (151/153), P4RJ-CV-2 (151/153), P4RJ-CV-4 (151/153), P4RJ-CV-5 (151/153) e P4RJ-CV-6 (151/153). Alelos em parêntese.

Os resultados das análises do modo de reprodução variaram dependendo do local onde se encontravam as plantas. Para as progênies das plantas P1RJ-RC e P2RJ-RC que estavam no pomar de BRS Rubi do Cerrado, a porcentagem de alogamia foi de 43,5% e 40,9% ($t_m = 0,435$ e $t_m = 0,409$) respectivamente. Na progénie da planta P3RJ-GA que se encontrava em um pomar misto (BRS Gigante Amarelo, BRS Rubi do Cerrado e BRS Sol do Cerrado) a alogamia aumentou para 56,6% ($t_m = 0,566$). Esses resultados indicam que em condições naturais, a cultivar BRS MJ apresenta modo de reprodução misto. Pelo contrário, a progénie da planta P4RJ-CV que se encontrava isolada na casa de vegetação apresentou 0% de alogamia ($t_m = 0,001$) (Tabela 7) o que confirma as observações previamente feitas de que essa cultivar é autocompatível.

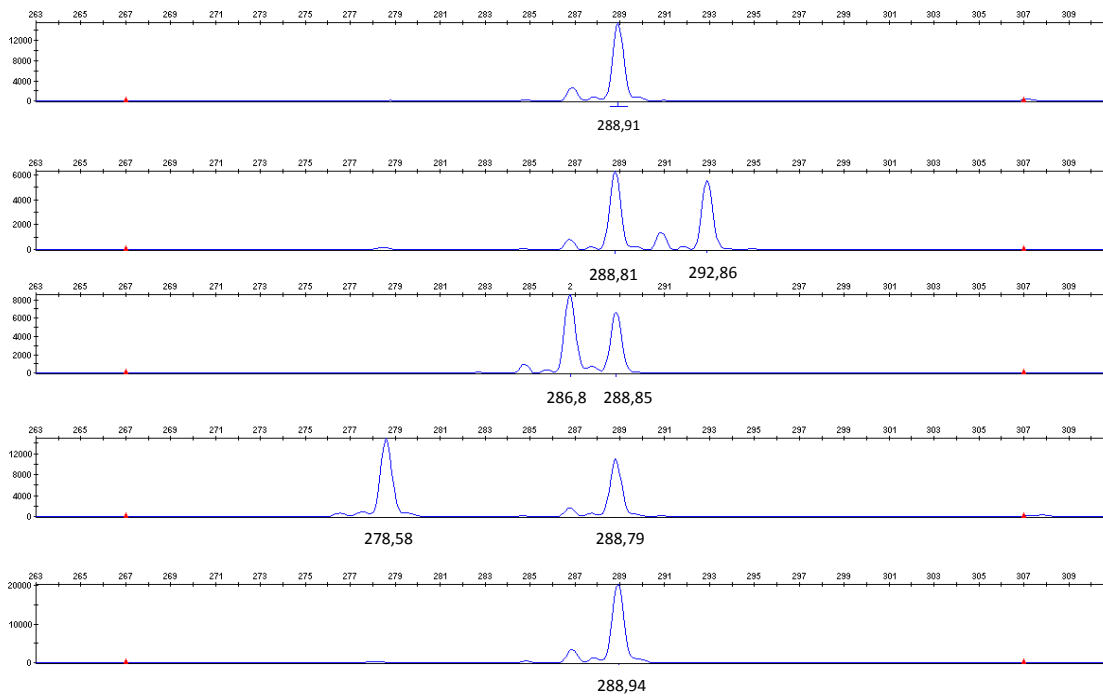


Figura 4. Eletroferograma do loco BrPe0003, acessos P3RJ-GA (289/289), P3RJ-GA-3 (289/293), P3RJ-GA-4 (287/289), P3RJ-GA-7 (279/289), P3RJ-GA-11 (289/289). Alelos em parêntese.

É interessante notar que a maior porcentagem de alogamia foi observada na progénie P3RJ-RC, a que estava no pomar misto. As porcentagens de alogamia foram menores nas progénies das plantas P1RJ-RC e P2RJ-RC localizadas próximas entre si em um pomar da cultivar BRS Rubi do Cerrado.

Os resultados da taxa de cruzamentos entre indivíduos aparentados para as duas progénies P1RJ-RC e P2RJ-RC foi de 26,2% ($t_m-t_s = 0,262$), evidenciando uma baixa ocorrência de cruzamentos entre indivíduos aparentados. A correlação multiloco de paternidade ($r_{p(m)}$) foi muito alta para a progénie P4RJ-RC (0,999) o que confirma que não houve genitores masculinos contribuindo com pólen, e que a progénie está composta por irmãos-completos. Os resultados para a correlação de multiloco de paternidade ($r_{p(m)}$) foi alta para as progénies P2RJ-RC e P3RJ-GA, (0,766 e 0,701) indicando que o número de fontes de pólen foi restrito (RITLAND, 1989).

Tabela 7. Estimação do modo de reprodução de *P. edulis* cultivar BRS MJ em quatro progênies.

Família	t_m	t_s	$(t_m - t_s)$	$r_{p(m)}$	$1 - t_m$
P1RJ-RC	0,435 ± 0,097	0,172 ± 0,058	0,262 ± 0,061	0,314 ± 0,243	0,565
P2RJ-RC	0,409 ± 0,094	0,148 ± 0,069	0,262 ± 0,073	0,766 ± 0,214	0,591
P3RJ-GA	0,566 ± 0,102	1,156 ± 0,114	-0,59 ± 0,086	0,701 ± 0,159	0,434
P4RJ-CV	0,001 ± 0,000	0,001 ± 0,000	0,000 ± 0,000	0,999 ± 0,000	0,999

t_m = taxa de cruzamento multiloco, t_s = taxa de cruzamento uniloco, $(t_m - t_s)$ = taxa de cruzamento entre indivíduos aparentados, $r_{p(m)}$ = correlação multiloco de paternidade, $1 - t_m$ = taxa de autogamia.

Análises similares com marcadores moleculares RAPD em *Passiflora alata* confirmaram, pelo contrário, a ocorrência de autoincompatibilidade, com uma taxa de cruzamento multiloco de $t_m=0,940$ (FERREIRA et al., 2010).

Considerando a frutificação em maracujazeiro-amarelo, em uma cultivar autocompatível, a autogamia resultou em 60% de autopolinização natural mediante insetos, e entre 83% e 92% mediante autopolinização manual (SHIVANNA, 2012). Por outro lado, em maracujazeiro-amarelo autoincompatível, DAS et al. (2013) encontraram que a formação de frutos por autogamia foi de 1,71% a 4,51%, confirmando a autoincompatibilidade.

Na cultivar Gulupa de *P. edulis* RENDÓN et al. (2013) observaram que a formação de frutos por autopolinização natural foi de 28%, e por polinização cruzada, um 68%.

Já em outras espécies, como *P. capsularis* e *P. rubra* foi descrito que ambas as espécies apresentam modo de reprodução misto, mas foi determinado 62,5% e 67,2% de autogamia, respectivamente, utilizando polinização controlada (AMORIM et al., 2011). Em *P. coccinea* foi reportado que não houve frutificação por autogamia (STORTI, 2002).

A análise PCoA mostrou que os 103 indivíduos formaram dois grupos (Figura 5b), o primeiro com os acessos de *P. edulis* utilizados na validação dos marcadores microssatélites (ver Capítulo 1), e o segundo grupo com todos os indivíduos do acesso *P. edulis* cv. BRS MJ (genitores e progênies). Na figura 3c é possível identificar facilmente os indivíduos oriundos de fecundação cruzada de BRS MJ.

Chama a atenção a formação de dois grupos, considerando que todos os acessos pertencem à mesma espécie *P. edulis*. Segundo os resultados dessa pesquisa para o modo de reprodução, a cultivar BRS MJ é autocompatível, podendo apresentar uma taxa de autogamia até de 99,9%. Por outro lado, 9 dos 10 acessos de *P. edulis* utilizados na validação dos marcadores microssatélites apresentam autoincompatibilidade (exceto Gulupa), o que os poderia ter colocado em um grupo diferente. Certamente essas características são importantes na diferenciação dos materiais genéticos, o que levaria a pensar na possibilidade de que a cultivar BRS MJ fosse de uma outra espécie. No gênero *Solanum* seção *Lycopersicum*, por exemplo, em análises filogenéticas com marcadores moleculares tem sido observada uma diferenciação correspondente ao sistema de reprodução (autocompatibilidade *versus* incompatibilidade) e outra à coloração dos frutos (vermelho *versus* verde) (MARSHALL et al., 2001; MILLER; TANKSLEY, 1990)

Por outro lado, a transição de uma espécie alógama para autógama precisa de mutações no sistema de autoincompatibilidade, assim como na morfologia floral (HERMANN; KUHLEMEIER, 2011), cuja herança é controlada por vários genes (CHEN; TANKSLEY, 2004; RICK; DEMPSEY, 1969).

No gênero *Passiflora*, vários estudos taxonômicos foram feitos para atribuir nomes às classes de *P. edulis* que tinham sido observadas segundo a coloração dos frutos (CERVI, 1997; DEGENER, 1932; MASTERS, 1872; SIMS, 1818), mas, finalmente, BERNACCI et al. (2008) concluíram que a nível taxonômico, *P. edulis* é o nome a utilizar para qualquer tipo de planta e cor do maracujazeiro-azedo junto com o nome da cultivar. Entretanto, segundo as evidências obtidas na presente pesquisa, mais estudos são necessários para tentar esclarecer a separação da cultivar BRS MJ do grupo dos acessos de *P. edulis*, considerando que o maracujazeiro-azedo apresenta plantas autocompatíveis quanto autoincompatíveis o que poderia ser uma característica de distinção entre uma espécie para outra.

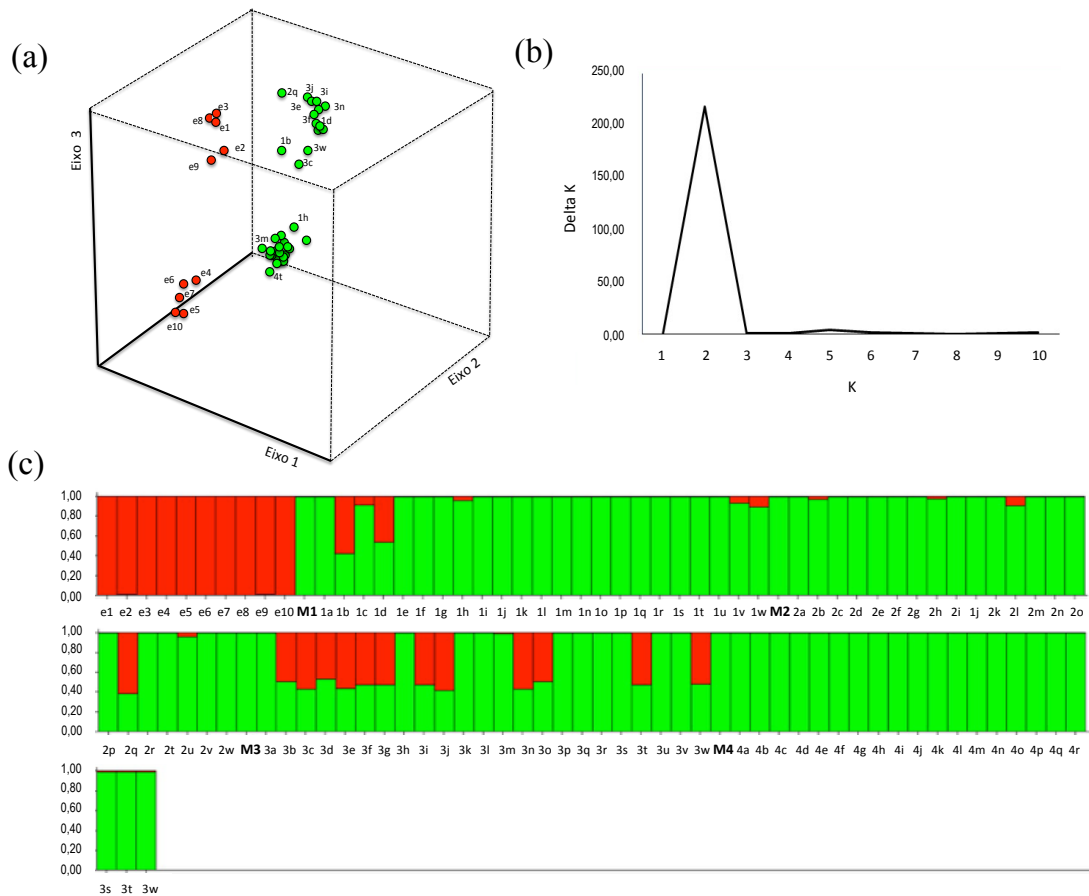


Figura 5. (a) Análise de coordenadas principais de 103 indivíduos (11 acessos) de *P. edulis* baseados no polimorfismo de marcadores microssatélites. Foram avaliados os quatro genitores femininos de BRS MJ (M1, M2, M3, M4) e seus respectivas progêneres identificadas com o número do genitor (1-4) em ordem alfabética; (b) Gráfico dos valores K versus Delta K para definir o número mais provável de grupos (K) na análise da estrutura da população e coeficiente de ancestralidade dos acessos de *P. edulis*; (c) Acessos foram distribuídos por grupos baseados nos valores de Q ($Q>0,70$) para K=2. As amostras misturadas foram identificadas com duas cores (vermelho e verde).

CONCLUSÕES

Os marcadores microssatélites utilizados foram polimórficos, informativos e eficientes no estudo do modo de reprodução da cultivar BRS MJ, confirmando que a cultivar é autocompatível e que o modo de reprodução seria misto, combinando autogamia e alogamia. Também foi observado que em condições naturais, existe

cruzamento entre indivíduos aparentados, mas que o número de fontes de pólen foi pequeno.

A separação de dois grupos dentro de *P. edulis* nas análises de similaridade, evidencia variabilidade genética intraespecífica e poderia estar relacionada também com o modo de reprodução dos acessos testados.

REFERÊNCIAS BIBLIOGRÁFICAS

- AMORIM, J. S.; SOUZA, M. M.; VIANA, A. J. C.; FREITAS, J. C. O. Self-, cross- and interespecific pollinations in *Passiflora capsularis* and *P. rubra*. **Revista Brasileira de Botânica**, v. 34, n. 4, p. 537–544, 2011.
- BAYE, T.; BECKER, H. C. Natural outcrossing rate in *Vernonia galamensis*. **Plant Breeding**, v. 123, n. 4, p. 398–399, 2004.
- BERNACCI, L. C.; SOARES-SCOTT, M. D.; JUNQUEIRA, N. T. V.; JUNQUEIRA, N. T. V.; PASSOS, I. R. S.; MELETTI, L. M. M. *Passiflora edulis* Sims: the correct taxonomic way to cite the yellow passion fruit (and other colors). **Revista Brasileira de Fruticultura**, v. 30, n. 2, p. 566–576, 2008.
- BRESSAN, E. A.; SEBBEN, A. M.; FERREIRA, R. R.; LEE, T. S. G.; FIGUEIRA, A. *Jatropha curcas* L. (Euphorbiaceae) exhibits a mixed mating system, high correlated mating and apomixis. **Tree Genetics and Genomes**, v. 9, n. 4, p. 1089–1097, 2013.
- BRUCKNER, C. H.; CASALI, V. W. D.; MORAES, C. F.; REGAZZI, A. J.; SILVA, E. A. M. Self-incompatibility in passion fruit (*Passiflora edulis* Sims). **Acta Horticulturae**, n. 370, p. 45–57, 1995.
- CERVI, A. C. Passifloraceae do Brasil. Estudo do gênero *Passiflora* L., subgênero *Passiflora*. **Fontqueria**, v. 45, p. 1–92, 1997.
- CHANG, C. C. Studies on unfruitfulness of the yellow passion fruits growing in

Taiwan. **Taiwan Agriculture Quarterly (Tai-Wan nung-yeh)**, v. 10, n. 2, p. 78–89, 1974.

CHANG, C. C. Breeding of passion fruit. **Plant Breeding Abstracts**, v. 51, n. 6, p. 480, 1981.

CHASE, M.; KESSELI, R.; BAWA, K. Microsatellite Markers for Population and Conservation Genetics of Tropical Trees. **American Journal of Botany**, v. 83, p. 51–57, 1996.

CHEN, K.; TANKSLEY, S. D. High-Resolution Mapping and Functional Analysis of se2.1 : A Major Stigma Exsertion Quantitative Trait Locus Associated With the Evolution From Allogamy to Autogamy in the Genus *Lycopersicon*. **Genetics**, v. 168, p. 1563–1573, 2004.

COLLEVATTI, R. G.; BRONDANI, R. V; GRATTAPAGLIA, D. Development and characterization of microsatellite markers for genetic analysis of a Brazilian endangered tree species *Caryocar brasiliense*. **Heredity**, v. 83 n. August, p. 748–56, 1999.

DAS, M. R.; HOSSAIN, T.; MIA, M. A. B.; AHMED, J. U.; KARIMAN, A. J. M. S.; HOSSAIN, M. M. Fruit Setting Behaviour of Passion Fruit. **American Journal of Plant Sciences**, v. 4, n. May, p. 1066–1073, 2013.

DAVIES, C. S.; COATES, J. B.; NIELSEN, N. C. Inheritance and biochemical analysis of four electrophoretic variants of \$β \$-conglycinin from soybean. **Theoretical and Applied Genetics**, v. 71, n. 2, p. 351–358, 1985.

DE LORENZIS, G.; IMAZIO, S.; BIAGINI, B.; FAILLA, O.; SCIENZA, A. Pedigree reconstruction of the Italian grapevine aglianico (*Vitis vinifera* L.) from Campania. **Molecular Biotechnology**, v. 54, n. 2, p. 634–642, 2013.

DEGENER, O. *Passiflora edulis*. **Flora Hawaïensis**. Honolulu, family 250, 1932.

DOYLE, J.; DOYLE, J. L. Genomic plant DNA preparation from fresh tissue-CTAB method. **Phytochemical Bulletin**, v. 19, n. 11, p. 11–15, 1987.

EVANNO, G.; REGNAUT, S.; GOUDET, J. Detecting the number of clusters of individuals using the software STRUCTURE: a simulation study. **Molecular Ecology**, v. 14, n. 8, p. 2611–2620, 2005.

FALEIRO, F. G.; FALEIRO, A. S. G.; CORDEIRO, M. C. R.; KARIA, C. T. **Metodologia para operacionalizar a extração de DNA de espécies nativas do cerrado**. Comunicado Técnico. Planaltina, DF, 2003.

FALEIRO, F. G.; JUNQUEIRA, N. T. V.; BRAGA, M. F.; OLIVEIRA, E. J.; PEIXOTO, J. R.; COSTA, A. M. Germoplasma e melhoramento do maracujazeiro - histórico e perspectivas. Embrapa Cerrados, Planaltina, DF. 2011.

FERREIRA, T. G. T.; PENHA, H. A.; ZUCCHI, M. I.; SANTOS, A. A.; HANAI, L. R.; JUNQUEIRA, N. T. V.; BRAGA, M. F.; VENCOVSKY, R.; VIEIRA, M. L. C. Outcrossing rate in sweet passion fruit based on molecular markers. **Plant Breeding**, v. 129, n. 6, p. 727–730, 2010.

FREEMAN, G. H.; HALTON, J. H. Note on exact treatment of contingency, goodness of fit and other problems of significance. **Biometrika**, v. 34, p. 141–149, 1951.

HARUSHIMA, Y.; NAKAGAHRA, M.; YANO, M.; SASAKI, T.; KURATA, N. A genome-wide survey of reproductive barriers in an intraspecific hybrid. **Genetics**, v. 159, n. 2, p. 883–892, 2001.

HERMANN, K.; KUHLEMEIER, C. The genetic architecture of natural variation in flower morphology. **Current Opinion in Plant Biology**, v. 14, n. 1, p. 60–65, 2011.

ISHIHATA, K. Studies on the morphology of flowering organs and the fruit bearing in purple passion fruit, *Passiflora edulis* Sims. **Japanese Journal of Tropical Agriculture** v. 31, p. 7–11, 1981.

JUNQUEIRA, N. T. V.; BRAGA, M. F.; FALEIRO, F. G.; PEIXOTO, J. R.; BERNACCI, J. C.; Potencial de espécies silvestres de maracujazeiro como fonte de resistência a doenças. In: FALEIRO, F. G.; JUNQUEIRA, N. T. V.; BRAGA, M. F. (Eds.). **Maracujá: germoplasma e melhoramento genético**. Planaltina DF: Embrapa Cerrados, 2005. p. 81–108.

LITT, M.; LUTY, J. A. A Hypervariable Microsatellite Revealed by In Vitro Amplification of a Dinucleotide Repeat within the Cardiac Muscle Actin Gene. **American Journal of Human Genetics**, v. 44, p. 397–401, 1989.

LOWRY, R. **VassarStats: website for statistical computation**. Vassar College, 2004.

MARSHALL, J. A.; KNAPP, S.; DAVEY, M. R.; POWER, J. B.; COCKING, E. C.; BENNETT, M. D.; COX, A. V. Molecular systematics of Solanum section Lycopersicum (Lycopersicon) using nuclear ITS rDNA region. **Theoretical and Applied Genetics**, v. 103, p. 1216–1222, 2001.

MARSHALL, T. C.; SLATE, J.; KRUUK, L. E. B.; PEMBERTON, J. M. Statistical confidence for likelihood-based paternity inference in natural populations. **Molecular Ecology**, v. 7, p. 639–655, 1998.

MASTERS, M. T. Passifloraceae. In: MARTIUS, C. F. P.; EICHLER, A. G.; URBAN, I. (Eds.). **Flora Brasiliensis**. Lipsiae: Fed. p. v.13, 527-628.

MATSCHINER, M.; SALZBURGER, W. TANDEM: Integrating automated allele binning into genetics and genomics workflows. **Bioinformatics**, v. 25, n. 15, p. 1982–1983, 2009.

MELETTI, L. M. M.; SOARES-SCOTT, M. D.; BERNACCI, L. C. Caracterização fenotípica de três seleções de maracujazeiro-roxo (*Passiflora edulis* Sims). **Revista Brasileira de Fruticultura**, v. 27, n. 2, p. 268–272, 2005.

MILLER, J. C.; TANKSLEY, S. D. RFLP analysis of phylogenetic relationships and

genetic variation in the genus *Lycopersicon*. **Theoretical and Applied Genetics**, v. 80, n. 4, p. 437–448, 1990.

MONTAGUTELLI, X.; TURNER, R.; NADEAU, J. H. Epistatic control of non-Mendelian inheritance in mouse interspecific crosses. **Genetics**, v. 143, n. 4, p. 1739–1752, 1996.

NASSAR, N. M. A.; COLLEVATTI, R. G. Microsatellite markers confirm high apomixis level in cassava bred clones. **Hereditas**, v. 142, n. 33–37, 2005.

OCAMPO, J. D'EECKENRUGGE, J. C.; RESTREPO, M.; JARVIS, A.; SALAZAR, M.; CAETANO, C. Diversity of Colombian Passifloraceae: biogeography and updated list for conservation. **Biota Colombiana**, v. 8, n. 1, p. 1–45, 2007.

OLIVEIRA, J. C.; RUGGIERO, C. Espécies de maracujá com potencial agronômico. In: FALEIRO, F. G.; JUNQUEIRA, N. T. V.; BRAGA, M. F. (Eds.). **Maracujá: germoplasma e melhoramento genético**. Planaltina, DF: Embrapa Cerrados, 2005. p. 143–158.

POWELL, W.; MORGANTE, M.; ANDRE, C.; HANAFEY, M.; VOGEL, J.; TINGEY, S.; RAFALSKI, A. The comparision of RFLP, RAPD, AFLP and SSR (microsatellite) markers for germplasm analysis. **Molecular Breeding**, v. 13, p. 391–393, 1996.

PRITCHARD, J. K.; STEPHENS, M.; DONNELLY, P. Inference of Population Structure Using Multilocus Genotype Data. **Genetics**, v. 155, n. 2, p. 945–959, 2000.

PRITCHARD, J. K.; WEN, X.; FALUSH, D. **Documentation for structure software: Version 2.3**. Chicago, IL. University of Chicago, 2010. Disponível em: <http://pritch.bsd.uchicago.edu/software/readme_structure2.pdf>

RÊGO, M. M. **Genética, interação pólen-pistilo e expressão de proteínas na auto-incompatibilidade do maracujazeiro (*Passiflora edulis Sims*)**. Universidade Federal de Viçosa, 1997.

RENDÓN, J. S.; OCAMPO, J.; URREA, R. Estudio sobre polinización y biología floral en *Passiflora edulis* f. *edulis* Sims, como base para el premejoramiento genético. **Acta Agronómica**, v. 62, n. 3, p. 232–241, 2013.

RICK, C. M.; DEMPSEY, W. H. Position of the stigma in relation to fruit setting of tomato. **Botanical Gazette**, v. 130, p. 180–186, 1969.

RITLAND, K. Correlated mating in the partial selfer *Mimulus guttatus*. **Evolution**, v. 43, n. 4, p. 848–859, 1989.

RITLAND, K. Systems Using N Independent Loci. **Heredity**, v. 88, p. 221–228, 2002.

ROHLF, F. **Numerical taxonomy and multivariate analysis system (NTSYS-pc)**. New York Departament of Ecology and Evolution, 1990.

SCHUELER, S.; TUSCH, A.; SCHUSTER, M.; ZIEGENHAGEN, B. Characterization of microsatellites in wild and sweet cherry (*Prunus avium* L.)--markers for individual identification and reproductive processes. **Genome**, v. 46, p. 95–102, 2003.

SHIVANNA, K. R. Reproductive assurance through unusual autogamy in the absence of pollinators in *Passiflora edulis* (passion fruit). **Current Science**, v. 103, p. 1091–1096, 2012.

SIA, E. A. BUTLER, C. A.; DOMINSKA, M.; GREENWELL, P.; FOX, T. D.; PETES, T. D. Analysis of microsatellite mutations in the mitochondrial DNA of *Saccharomyces cerevisiae*. **Proceedings of the National Academy of Sciences**, v. 97, n. 1, p. 250–255, 2000.

SIMS, J. *Passiflora edulis*. **Botanical Magazine**, Londres, v. 45, 1818.

STORTI, E. F. Biologia da polinização e sistema reprodutivo de *Passiflora coccinea* Aubl. em Manaus, Amazonas, Brasil. **Acta Amazonica**, v. 32, n. 3, p. 421–429, 2002.

SUASSUNA, T. M. F.; BRUCKNER, C. H.; CARVALHO, C. R.; BORÉM, A. Self-incompatibility in passion fruit: evidence of gametophytic-sporophytic control. **Theoretical and Applied Genetics**, v. 106, p. 298–302, 2003.

TACHIDA, H.; IIZUKA, M. Persistence of repeated sequences that evolve by replication slippage. **Genetics**, v. 131, n. 2, p. 471–478, 1992.

VOUILLAMOZ, J.; MAIGRE, D.; MEREDITH, C. P. Microsatellite analysis of ancient alpine grape cultivars: Pedigree reconstruction of *Vitis vinifera* L. “Cornalin du Valais”. **Theoretical and Applied Genetics**, v. 107, n. 3, p. 448–454, 2003.

ANEXO

Alelos dos 16 locos de microssatélites utilizados na análise do modo de reprodução da cultivar BRS Maracujá Jaboticaba de *P. edulis*. Alelos em pb.

Indivíduo	BrPe0001	BrPe0002	BrPe0003	BrPe0006	BrPe0010	BrPe0021	BrPe0024	BrPe0028	BrPe0031	BrPe0032	BrPe0033	BrPe0034	BrPe0038	BrPe0042	BrPe0043	BrPe3011
P1RJ-RC	154/156	187/187	289/289	197/197	205/205	172/172	226/226	99/99	145/145	151/153	252/252	213/213	155/155	156/156	206/206	165/165
P1RJ-RC-1	156/156	187/187	289/289	197/197	205/205	172/172	226/226	99/99	145/145	151/153	252/252	213/213	155/155	156/156	206/206	165/165
P1RJ-RC-2	154/154	0/0	279/289	193/197	0/0	0/0	0/0	99/105	145/145	0/0	0/0	0/0	155/157	148/156	0/0	159/165
P1RJ-RC-3	154/156	187/187	289/289	197/197	205/205	172/172	226/226	99/99	145/145	151/153	252/252	213/213	155/155	154/156	206/206	165/165
P1RJ-RC-4	156/156	0/0	0/0	0/0	0/0	0/0	0/0	99/105	145/147	0/0	0/0	0/0	155/157	150/156	0/0	165/165
P1RJ-RC-5	154/156	187/187	289/289	197/197	205/205	172/172	226/226	99/99	145/145	151/153	252/252	213/213	155/155	156/156	206/206	165/165
P1RJ-RC-6	154/156	187/187	289/289	197/197	205/205	172/172	226/226	99/99	145/145	151/153	252/252	213/213	155/155	156/156	206/206	165/165
P1RJ-RC-7	154/156	187/187	289/289	197/197	205/205	172/172	226/226	99/99	145/147	151/153	252/252	213/213	155/155	156/156	206/206	165/165
P1RJ-RC-8	154/156	187/187	289/289	197/197	205/205	0/0	226/226	99/99	145/147	151/153	252/252	213/213	155/157	156/156	206/206	165/165
P1RJ-RC-9	154/156	187/187	289/289	197/197	205/205	172/172	226/226	99/99	145/145	151/153	252/252	213/213	155/155	156/156	206/206	165/165
P1RJ-RC-10	154/154	187/187	289/289	197/197	205/205	172/172	226/226	99/99	145/145	151/153	252/252	213/213	155/155	156/156	206/206	165/165
P1RJ-RC-11	0/0	187/187	289/289	197/197	205/205	172/172	226/226	99/99	145/145	151/153	0/0	213/213	155/155	156/156	206/206	165/165
P1RJ-RC-12	156/156	187/187	289/289	197/197	205/205	172/172	226/226	99/99	145/145	151/153	252/252	213/213	155/155	156/156	206/206	165/165
P1RJ-RC-13	154/156	187/187	289/289	197/197	205/205	172/172	226/226	99/99	145/145	151/153	252/252	213/213	155/155	156/156	206/206	165/165

Indivíduo	BrPe0001	BrPe0002	BrPe0003	BrPe0006	BrPe0010	BrPe0021	BrPe0024	BrPe0028	BrPe0031	BrPe0032	BrPe0033	BrPe0034	BrPe0038	BrPe0042	BrPe0043	BrPe3011
P1RJ-RC-14	154/156	187/187	289/289	197/197	205/205	172/172	226/226	99/99	143/145	151/153	252/252	213/213	155/155	156/156	206/206	165/165
P1RJ-RC-15	156/156	187/187	289/289	197/197	205/205	172/172	226/226	99/99	145/145	151/153	252/252	213/213	155/155	156/156	206/206	165/165
P1RJ-RC-16	154/156	187/187	289/289	197/197	205/205	172/172	226/226	99/99	145/145	151/153	252/252	213/213	155/155	156/156	206/206	165/165
P1RJ-RC-17	156/156	187/187	289/289	197/197	205/205	172/172	226/226	99/99	145/147	151/153	252/252	213/213	155/155	156/156	206/206	165/165
P1RJ-RC-18	154/156	187/187	289/289	197/197	205/205	172/172	226/226	99/99	143/145	151/153	252/252	213/213	155/155	156/156	206/206	165/165
P1RJ-RC-19	156/156	187/187	289/289	197/197	205/205	172/172	226/226	99/99	145/145	151/153	252/252	213/213	155/155	156/156	206/206	165/165
P1RJ-RC-20	156/156	187/187	289/289	197/197	205/205	172/172	226/226	99/99	145/145	151/153	252/252	213/213	155/155	156/156	206/206	165/165
P1RJ-RC-21	156/156	187/187	289/289	197/197	205/205	172/172	226/226	99/99	145/145	151/153	252/252	213/213	155/155	156/156	206/206	165/165
P1RJ-RC-22	156/160	187/187	289/289	197/197	205/205	172/172	226/226	0/0	145/145	151/153	252/252	213/213	155/155	156/156	200/206	165/165
P1RJ-RC-23	154/156	171/187	289/289	197/197	205/205	162/172	226/226	99/99	143/145	0/0	0/0	213/213	155/155	156/156	206/206	165/165
P2RJ-RC	154/156	187/187	289/289	197/197	205/205	172/172	226/226	99/99	145/147	151/153	252/252	213/213	155/155	156/156	206/206	165/165
P2RJ-RC-1	154/156	187/187	289/289	197/197	205/205	172/172	226/226	99/99	145/145	151/153	252/252	213/213	155/155	156/156	206/206	165/165
P2RJ-RC-2	154/160	187/187	289/289	197/197	205/205	172/172	226/226	99/99	145/145	151/153	252/252	213/213	155/155	156/156	206/206	165/165
P2RJ-RC-3	154/156	187/187	289/289	197/197	205/205	172/172	226/226	99/99	135/145	151/153	252/252	213/213	155/155	156/156	206/206	165/165
P2RJ-RC-4	154/156	187/187	289/289	197/197	205/205	172/172	226/226	99/99	145/145	151/153	252/252	213/213	155/155	156/156	206/206	165/165
P2RJ-RC-5	154/156	187/187	289/289	197/197	205/205	172/172	226/226	99/99	145/145	151/153	252/252	213/213	155/155	156/156	206/206	165/165
P2RJ-RC-6	154/156	187/187	289/289	197/197	205/205	172/172	226/226	99/99	135/145	151/153	252/252	213/213	155/155	156/156	206/206	165/165

Indivíduo	BrPe0001	BrPe0002	BrPe0003	BrPe0006	BrPe0010	BrPe0021	BrPe0024	BrPe0028	BrPe0031	BrPe0032	BrPe0033	BrPe0034	BrPe0038	BrPe0042	BrPe0043	BrPe3011
P2RJ-RC-7	156/156	187/187	289/289	197/197	205/205	172/172	226/226	99/99	145/145	151/153	252/252	213/213	155/155	156/156	206/206	165/165
P2RJ-RC-8	156/162	187/187	289/289	197/197	205/205	172/172	226/226	99/99	135/145	151/153	252/252	213/213	155/155	156/156	206/206	165/165
P2RJ-RC-9	154/156	187/187	289/289	197/197	205/205	172/172	226/226	99/99	145/145	151/153	252/252	213/213	155/155	156/156	206/206	165/165
P2RJ-RC-10	154/156	187/187	289/289	197/197	205/205	172/172	226/226	99/99	145/147	151/153	252/252	213/213	155/155	156/156	0/0	165/165
P2RJ-RC-11	154/156	187/187	289/289	197/197	205/205	172/172	226/226	99/99	145/145	151/153	252/252	213/213	155/155	156/156	206/206	165/165
P2RJ-RC-12	154/156	187/187	289/289	191/197	197/205	172/172	226/226	99/99	145/147	151/153	252/252	213/213	155/155	156/156	206/206	165/165
P2RJ-RC-13	154/156	187/187	289/289	197/197	205/205	172/172	226/226	99/99	143/145	151/153	252/252	213/213	155/155	156/156	206/206	165/165
P2RJ-RC-14	0/0	187/187	289/289	197/197	205/205	172/172	226/226	99/99	145/145	151/153	252/252	213/213	155/155	156/156	206/206	165/165
P2RJ-RC-15	154/156	187/187	289/289	197/197	205/205	172/172	226/226	99/99	145/145	151/153	252/252	213/213	155/155	156/156	206/206	165/165
P2RJ-RC-16	0/0	0/0	289/289	197/197	205/205	172/172	226/226	99/99	143/145	0/0	252/252	0/0	155/155	156/156	206/206	165/165
P2RJ-RC-17	154/154	0/0	287/289	0/0	205/207	0/0	226/232	99/105	147/147	0/0	242/252	213/227	155/157	150/156	0/0	159/165
P2RJ-RC-18	154/156	187/187	289/289	197/197	205/205	172/172	226/226	99/99	145/147	0/0	252/252	213/213	155/155	156/156	206/206	165/165
P2RJ-RC-20	154/156	187/187	289/289	197/197	205/205	172/172	226/226	99/99	145/145	151/153	252/252	213/213	155/155	156/156	206/206	165/165
P2RJ-RC-21	156/156	175/187	289/289	197/197	205/205	172/172	226/226	99/99	145/147	151/153	252/252	213/213	155/155	156/156	206/206	165/165
P2RJ-RC-22	156/156	187/187	289/289	197/197	205/205	172/172	226/226	99/99	145/145	151/153	252/252	213/213	155/155	156/156	206/206	165/165
P2RJ-RC-23	154/156	187/187	289/289	197/197	205/205	172/172	226/226	99/99	145/147	151/153	0/0	213/213	155/155	156/156	206/206	165/165
P3RJ-GA	154/156	187/187	289/289	197/197	205/205	172/172	226/226	99/99	0/0	151/153	252/252	213/213	155/155	156/156	206/206	165/165

Indivíduo	BrPe0001	BrPe0002	BrPe0003	BrPe0006	BrPe0010	BrPe0021	BrPe0024	BrPe0028	BrPe0031	BrPe0032	BrPe0033	BrPe0034	BrPe0038	BrPe0042	BrPe0043	BrPe3011
P3RJ-GA-1	154/156	187/187	289/289	197/197	205/205	172/172	226/226	99/99	0/0	151/153	252/252	213/213	155/155	0/0	206/206	165/165
P3RJ-GA-2	156/156	181/187	289/289	197/197	205/207	164/172	226/232	99/105	0/0	151/153	242/252	213/217	155/157	152/156	200/206	159/165
P3RJ-GA-3	156/156	181/187	289/293	195/197	203/205	164/172	226/232	99/103	0/0	151/153	244/252	213/225	155/157	152/156	206/220	159/165
P3RJ-GA-4	154/154	181/187	287/289	197/197	203/205	164/172	226/230	99/105	0/0	151/153	252/252	213/217	155/157	152/156	200/206	159/165
P3RJ-GA-5	154/154	181/187	287/289	197/199	205/207	164/172	226/230	99/105	0/0	151/153	242/252	213/217	155/157	150/156	200/206	159/165
P3RJ-GA-6	156/156	181/187	287/289	197/197	203/205	164/172	226/230	99/103	0/0	151/153	242/252	213/217	155/157	152/156	206/214	159/165
P3RJ-GA-7	156/156	181/187	279/289	197/197	203/205	164/172	226/230	99/105	0/0	151/153	242/252	213/225	155/157	150/156	200/206	159/165
P3RJ-GA-8	156/156	187/187	289/289	197/197	205/205	172/172	226/226	99/99	0/0	151/153	252/252	213/213	155/155	156/156	206/206	165/165
P3RJ-GA-9	156/156	181/187	287/289	197/197	205/207	164/172	226/230	99/105	0/0	151/153	242/252	213/217	155/157	150/156	200/206	159/165
P3RJ-GA-10	154/154	181/187	287/289	197/199	205/207	164/172	226/230	99/105	0/0	0/0	242/252	213/217	155/157	150/156	200/206	159/165
P3RJ-GA-11	154/156	187/187	289/289	197/197	205/205	172/172	226/226	99/99	0/0	151/153	252/252	213/213	155/155	156/156	206/206	165/165
P3RJ-GA-12	156/156	187/187	289/289	197/197	205/205	172/172	226/226	99/99	0/0	151/153	252/252	213/213	155/155	156/156	206/206	165/165
P3RJ-GA-13	154/162	187/187	289/289	197/197	205/205	172/172	226/226	0/0	0/0	151/153	252/252	213/213	155/155	156/156	206/206	165/165
P3RJ-GA-14	156/156	181/187	287/289	197/199	203/205	164/172	226/230	99/105	0/0	151/153	242/252	213/217	155/157	152/156	200/206	159/165
P3RJ-GA-15	156/156	181/187	289/289	197/197	203/205	164/172	226/230	99/105	0/0	151/153	242/252	213/225	155/157	152/156	206/208	159/165
P3RJ-GA-16	154/156	187/187	289/289	197/197	205/205	172/172	226/226	99/99	0/0	151/153	252/252	213/213	155/155	156/156	206/206	165/165
P3RJ-GA-17	154/156	187/187	289/289	197/197	205/205	172/172	226/226	99/99	0/0	151/153	252/252	213/213	155/155	156/156	206/206	165/165

Indivíduo	BrPe0001	BrPe0002	BrPe0003	BrPe0006	BrPe0010	BrPe0021	BrPe0024	BrPe0028	BrPe0031	BrPe0032	BrPe0033	BrPe0034	BrPe0038	BrPe0042	BrPe0043	BrPe3011
P3RJ-GA-18	154/156	187/187	289/289	197/197	205/205	172/172	226/226	99/99	0/0	151/153	252/252	213/213	155/155	156/156	206/206	165/165
P3RJ-GA-19	154/156	187/187	289/289	197/197	205/205	172/172	226/226	99/99	0/0	151/153	252/252	213/213	155/155	156/156	206/206	165/165
P3RJ-GA-20	156/156	181/187	287/289	197/197	203/205	164/172	226/230	99/103	0/0	151/153	242/252	213/217	155/157	152/156	206/214	159/165
P3RJ-GA-21	156/156	187/187	289/289	197/197	205/205	172/172	226/226	99/99	0/0	151/153	252/252	213/213	155/155	156/156	206/206	165/165
P3RJ-GA-22	156/156	187/187	289/289	197/197	205/205	172/172	226/226	99/99	0/0	151/153	252/252	213/213	155/155	156/156	206/206	165/165
P3RJ-GA-23	156/156	0/0	287/289	195/197	203/205	164/172	226/232	99/103	0/0	151/153	252/252	213/217	155/157	152/156	206/214	159/165
P4RJ-CV	154/156	187/187	289/289	197/197	205/205	172/172	226/226	99/99	145/145	151/153	252/252	213/213	155/155	156/156	206/206	165/165
P4RJ-CV-1	154/156	187/187	289/289	197/197	205/205	172/172	226/226	99/99	145/145	151/153	252/252	213/213	155/155	156/156	206/206	165/165
P4RJ-CV-2	154/156	187/187	289/289	197/197	205/205	172/172	226/226	99/99	145/145	151/153	252/252	213/213	155/155	156/156	206/206	165/165
P4RJ-CV-3	154/156	187/187	289/289	197/197	205/205	172/172	226/226	99/99	145/145	151/153	252/252	213/213	155/155	156/156	206/206	165/165
P4RJ-CV-4	154/156	187/187	289/289	197/197	205/205	172/172	226/226	99/99	145/145	151/153	252/252	213/213	155/155	156/156	200/206	165/165
P4RJ-CV-5	156/156	187/187	289/289	197/197	205/205	172/172	226/226	99/99	145/145	151/153	252/252	213/213	155/155	156/156	206/206	165/165
P4RJ-CV-6	154/156	187/187	289/289	197/197	205/205	172/172	226/226	99/99	145/145	151/153	252/252	213/213	155/155	156/156	206/206	165/165
P4RJ-CV-7	156/156	187/187	289/289	197/197	205/205	172/172	226/226	99/99	145/145	151/153	252/252	213/213	155/155	156/156	206/206	165/165
P4RJ-CV-8	154/156	187/187	289/289	197/197	205/205	172/172	226/226	99/99	145/145	151/153	252/252	213/213	155/155	156/156	206/206	165/165
P4RJ-CV-9	154/156	187/187	289/289	197/197	205/205	172/172	226/226	99/99	145/145	151/153	252/252	213/213	155/155	156/156	206/206	165/165
P4RJ-CV-10	156/156	187/187	289/289	197/197	205/205	172/172	226/226	99/99	145/145	151/153	252/252	213/213	155/155	156/156	206/206	165/165

Indivíduo	BrPe0001	BrPe0002	BrPe0003	BrPe0006	BrPe0010	BrPe0021	BrPe0024	BrPe0028	BrPe0031	BrPe0032	BrPe0033	BrPe0034	BrPe0038	BrPe0042	BrPe0043	BrPe3011
P4RJ-CV-11	156/156	187/187	289/289	197/197	205/205	172/172	226/226	99/99	145/145	151/153	252/252	213/213	155/155	156/156	206/206	165/165
P4RJ-CV-12	154/156	187/187	289/289	197/197	205/205	172/172	226/226	99/99	145/145	151/153	252/252	213/213	155/155	156/156	206/206	165/165
P4RJ-CV-13	154/154	187/187	289/289	197/197	205/205	172/172	226/226	99/99	145/145	151/153	252/252	213/213	155/155	156/156	206/206	165/165
P4RJ-CV-14	154/156	187/187	289/289	197/197	205/205	172/172	226/226	99/99	145/145	151/153	252/252	213/213	155/155	156/156	206/206	165/165
P4RJ-CV-15	154/156	187/187	289/289	197/197	205/205	172/172	226/226	99/99	145/145	151/153	252/252	213/213	155/155	156/156	206/206	165/165
P4RJ-CV-16	154/156	187/187	289/289	197/197	205/205	172/172	226/226	99/99	145/145	151/153	252/252	213/213	155/155	156/156	206/206	165/165
P4RJ-CV-17	156/156	187/187	289/289	197/197	205/205	172/172	226/226	99/99	143/145	0/0	252/252	213/213	155/155	156/156	206/206	165/165
P4RJ-CV-18	156/156	187/187	289/289	197/197	205/205	172/172	226/226	99/99	145/145	151/153	252/252	213/213	155/155	156/156	206/206	165/165
P4RJ-CV-19	156/156	187/187	289/289	197/197	205/205	172/172	226/226	99/99	145/145	0/0	252/252	213/213	155/155	156/156	206/206	165/165
P4RJ-CV-20	154/154	187/187	289/289	197/197	205/205	172/172	226/226	99/99	145/145	0/0	0/0	213/213	155/155	156/156	206/206	165/165
P4RJ-CV-23	154/154	187/187	289/289	197/197	205/205	172/172	226/226	99/99	145/145	151/153	252/252	213/213	155/155	156/156	206/206	165/165

**CAPÍTULO 3. ANÁLISE DE PATERNIDADE EM GENÓTIPOS DE
PASSIFLORA OBTIDOS A PARTIR DE CRUZAMENTOS
INTERESPECÍFICOS UTILIZANDO MARCADORES MICROSSATÉLITES**

**CHAPTER 3. PATERNITY ANALYSIS OF *PASSIFLORA* GENOTYPES
OBTAINED FROM INTERSPECIFIC CROSSES USING MICROSATELLITE
MARKERS**

RESUMO

Espécies silvestres de *Passiflora* têm um grande potencial na utilização de cruzamentos interespecíficos para a introdução de características desejáveis nas cultivares comerciais. Considerando que a confirmação de cruzamentos é parte importante de um programa de melhoramento, o objetivo desse trabalho foi comprovar as genealogias de cruzamentos interespecíficos em *Passifloras* realizando análises de paternidade com o auxílio de marcadores microssatélites. Foram analisados os genitores de cruzamentos de quatro genealogias (A, B, C e D) segundo a Inclusão ou Exclusão Categóricas para cada loco, e então calculados os Índice de Paternidade (PI) e a Probabilidade de Paternidade (W) para os verdadeiros genitores segundo o trio *genitor feminino, progénie e suposto genitor masculino*, e na ausência de um dos genitores, os mesmos índices foram calculados segundo o duo *genitor e progénie*. Os marcadores microssatélites testados auxiliaram na exclusão de 7 supostos genitores de 6 cruzamentos em 4 genealogias, e confirmaram como genitores verdadeiros a 5 dos supostos genitores, onde W foi entre 95,137 e 99,999%. Neste estudo foi confirmada a obtenção do híbrido *P. edulis* GA2 x *P. incarnata*.

Palavras-chave: *Passiflora*, microssatélites, paternidade, cruzamentos interespecíficos, melhoramento de plantas

ABSTRACT

Wild species of *Passiflora* have great potential for use in interspecific crosses to introduce desirable traits in commercial cultivars. Considering that the verification of crossing is essential in a breeding program, the target of this work was to confirm the genealogies of interspecific crosses in *Passiflora*, making paternity tests using SSR markers. We analyzed the genitors from interspecific crosses of four genealogies (A, B, C and D) by Categorical Inclusion or Exclusion for each loci, and then, estimated the Paternity Index (PI) and the Probability of Paternity (W) for the true genitor, according to the trio *female genitor, progeny and alleged masculine genitor*, and in the absence of one of the parents, the same values were calculated according to the duo *genitor and progeny*. Microsatellite markers tested assisted for the exclusion of 7 alleged genitors of 6 crossings in 4 genealogies, and confirmed as true genitors 5 alleged genitors, where W was rated between 95.137 and 99.999%. This research confirms the achievement of sexual hybrids for interspecific crossing of *P. edulis* GA2 x *P. incarnata*.

Key words: *Passiflora*, microsatellites, paternity, interspecific crosses, plant breeding.

INTRODUÇÃO

O gênero *Passiflora*, amplamente distribuído no mundo, tem sido encontrado nas Américas, na Índia, nas Ilhas Galápagos, na Austrália, nas Filipinas e em muitas outras ilhas do Oceano Pacífico. Entretanto, 95% das espécies endêmicas encontram-se na América do Sul (VANDERPLANK, 2000). No total, estima-se que o número de espécies do gênero *Passiflora* seja maior do que 500 (FEUILLET, 2004), mas ainda novas espécies continuam sendo identificadas (CERVI, 2005; CERVI; LINSINGEN, 2010; IMIG; CERVI, 2014).

Dentro das muitas espécies de *Passiflora*, a que possui maior destaque é *Passiflora edulis* Sims, devido a seu uso na produção de frutos, tanto para consumo *in natura*, quanto para a indústria alimentar na fabricação de sucos e polpas (SOUZA; MELETTI, 1997). As passifloras também tem sido usadas para propósitos ornamentais (PEIXOTO, 2005), medicinais (COSTA; TUPINAMBÁ, 2005) e como fonte de óleos para a indústria cosmética (ZERAIK et al., 2010).

Considerando a importância dessa cultura e seus principais usos, programas de melhoramento genético tem realizado cruzamentos inter e intraespecíficos utilizando espécies como *P. setacea*, *P. quadrifaria*, *P. incarnata*, entre outras, para a introdução de características desejáveis nas cultivares comerciais (MELETTI et al., 2005). Alguns dos híbridos interespecíficos obtidos tem apresentado problemas de desenvolvimento, esterilidade masculina, baixa viabilidade polínica ou dificuldade em florescer, o que dificulta a realização de ciclos de retrocruzamento para recompor o vigor natural das plantas e as características interessantes para comercialização, o que no fim torna o programa de melhoramento mais demorado (MELETTI; BRUCKNER, 2001).

No melhoramento genético, marcadores moleculares têm sido uma excelente ferramenta para auxiliar na seleção de genótipos, na redução de ciclos de melhoramento, na caracterização do germoplasma, na análise de diversidade, na confirmação de cruzamentos e nos testes de paternidade. Por exemplo, no programa de melhoramento das Passifloras, FALEIRO et al., (2005) utilizaram marcadores moleculares RAPD para confirmar o sucesso da fecundação cruzada e a recuperação do genoma recorrente em sucessivos retrocruzamentos com *P. edulis* após a geração de

híbridos. Também, RAPD tem sido usado na confirmação de hibridações interespécificas entre várias espécies de *Passifloras* (JUNQUEIRA et al., 2008).

Contudo, marcadores microssatélites ou SSR (Sequências Simples Repetidas) são os marcadores mais utilizados em testes de paternidade (LEE et al., 2000; YAMAMOTO et al., 2003), reconstituição de pedigree (VOUILLAMOZ; MAIGRE; MEREDITH, 2003), mapeamento físico e genético de genomas (PUGH et al., 2004), como também em análises de variabilidade genética de populações (SIMIC et al., 2009), devido a que microssatélites encontram-se localizados em diferentes cromossomo, o que permite assegurar a distribuição aleatória e a herança Mendeliana (Lei da Segregação Independente) (BUCKLETON; CLAYTON; TRIGSS, 2005).

Microssatélites são sequências de 1 a 6 nucleotídeos, chamados de motivos, repetidos em tandem (LITT; LUTY, 1989) e estão presentes em regiões codificadoras e não codificadoras dos genomas eucarióticos e procarióticos (FIELD; WILLS, 1996). Inicialmente, marcadores microssatélites foram desenvolvidos em humanos (LITT; LUTY, 1989) e então, vários estudos foram realizados em plantas que demonstraram que são amplamente distribuídos nos seus genomas (BRUNEL, 1994). As vantagens do uso de microssatélites sobre outros marcadores moleculares nas análises de paternidade é que estes são codominantes, têm alta reprodutibilidade, a PCR é simples e rápida, é preciso uma pequena quantidade de DNA, têm baixo custo de utilização, grande poder de resolução e altos níveis de polimorfismo onde, por exemplo, um loco pode apresentar vários alelos, e na maioria dos casos, um indivíduo pode ser excluído como genitor verdadeiro usando poucos locos (BUCKLETON; CLAYTON; TRIGSS, 2005).

O objetivo principal desse trabalho foi confirmar as genealogias de cruzamentos interespécíficos em *Passifloras* realizando análises de paternidade com auxílio de marcadores microssatélites.

MATERIAL E MÉTODOS

Material vegetal

Os cruzamentos foram realizados no Banco Ativo de Germoplasma ‘Flor da Paixão’ da Embrapa Cerrados e as análises moleculares no Laboratório de Genética

Vegetal da Embrapa Recursos Genéticos e Biotecnologia, Cenargen. Foram analisadas quatro genealogias (A, B, C e D), com seus respectivos cruzamentos (Tabela 1) e seus prováveis genitores.

Nos casos em que não se encontrava disponível algum dos acessos, se fez uma reconstituição dos genótipos segundo herança Mendeliana, para determinar o genótipo esperado.

Os genitores iniciais das genealogias foram: o híbrido interespecífico BRS Rósea Púrpura proveniente de cruzamentos entre as espécies *P. setacea*, *P. quadrifaria* e *P. incarnata*, o híbrido interespecífico BRS Céu do Cerrado, proveniente de cruzamentos entre as espécies *P. incarnata* e *P. edulis* GA2, os acessos de *P. edulis* GA2 e *P. edulis* MA provenientes de seleção massal, um acesso da espécie *P. incarnata* e um acesso de *Passiflora* aff. *amethystina* "macrocarpa", ambos silvestres (Tabela 1).

Tabela 1. Cruzamentos e prováveis genitores de quatro genealogias.

G	C	CA	Genitor Feminino		Genitor Masculino		Progênie
A	1º		BRS Rósea púrpura	x	<i>P. edulis</i> GA2	=	F1RPGA2_R
	2º	*	F1RPGA2_R	x	<i>P. edulis</i> MA	=	F1RPGA2MA
	1º		<i>P. edulis</i> GA2	x	<i>P. incarnata</i>	=	F1GA2Pi_R
B	2º	*	F1GA2Pi_R	x	<i>P. edulis</i> GA2	=	F1GA2PiRC1
	3º	*	F1GA2PiRC1	x	<i>P. edulis</i> GA2	=	F1GA2PiRC2
	1º		<i>P. aff. amethystina</i>	x	<i>P. edulis</i> GA2	=	F1PAGA2_R
C	2º	*	F1PAGA2_R	x	<i>P. edulis</i> GA2	=	F1PAGA2RC1
	3º	*	F1PAGA2RC1	x	<i>P. edulis</i> GA2	=	F1PAGA2RC2
D	1º	*	BRS Céu Do Cerrado	x	<i>P. edulis</i> MA	=	F1CCMA

G: genealogia; C: cruzamento; CA: cruzamentos analisados para teste de paternidade; R: reconstituído

Os cruzamentos foram realizados no BAG da Embrapa Cerrados. Os botões florais das plantas que foram escolhidas como genitores femininos, foram protegidos com sacos de papel branco antes da antese, e então emasculados. Na manhã seguinte foi coletado o pólen do genitor masculino e realizada a hibridação artificial. As flores foram novamente protegidas até o desenvolvimento completo do fruto. Assim que os

frutos ficaram amadurecidos, eles foram coletados e retiradas as sementes para serem semeadas em bandejas de poliestireno. Foi selecionada somente uma planta por cruzamento com as características desejáveis para a continuação da etapa de melhoramento. As plantas foram clonadas para a manutenção dos acessos.

Extração de DNA e genotipagem

Folhas em estágio intermediário de maturação de cada genótipo foram coletadas para a extração de DNA utilizando o método CTAB (DOYLE; DOYLE, 1987) com modificações de FALEIRO et al. (2003). As concentrações de DNA foram medidas no espectrofotômetro Nanodrop 2000 (Thermo Scientific, USA), e as amostras de DNA foram diluídas em TE pH 8,0 para uma concentração final de 5 μ g/ μ L. Para os testes de paternidade, foram utilizados 18 marcadores microssatélites polimórficos que foram previamente desenhados e validados para *P. edulis* no Capítulo 1(Tabela 2).

As reações de PCR foram realizadas em um volume total de 5 μ L que continham 5 μ g de DNA genômico, 1X de QIAGEN Multiplex PCR Kit Master Mix (QIAGEN), 0,5X Q-Solution (QIAGEN), e 0,2 μ M de cada primer. As reações de PCR foram realizadas no termociclador VeritiTM (Applied Biosystems, USA) usando o seguinte programa de amplificação: 95°C por 15 minutos; 35 ciclos a 94°C por 30 segundos, 55, 57 ou 60°C por 90 segundos, e 72°C por 60 segundos; e uma extensão final a 60°C por 60 minutos.

Foram adicionados 9 μ L de Hi-DiTM Formamida (Applied Biosystems, USA) mais um padrão de tamanho marcado com o fluoróforo ROX, para 1 μ L do produto da PCR, e então desnaturado a 94°C por 5 minutos, para logo ser injetado no sequenciador automático ABI3730 (Applied Biosystems, USA). As análises da genotipagem foram realizadas no software GeneMapper® (Applied Biosystems, USA).

Tabela 2. Estatísticas da seleção de 18 marcadores microssatélites polimórficos que foram validados em *P. edulis* no Capítulo 1.

Painel	Marcador	Dye	Sequência do primer 5'-3'	Motivo	Ta	N	Tamanho alelos bp	He	Ho	PIC
1	BrPe0001	6-Fam	F: GTTGAGAGGATTGTGTTG R: ATGGTAGAGGGAGAGA	(CT) ₁₄	55°C	3	143-157	0,56	0,14	0,46
	BrPe0028	Hex	F: CAAAAGGAACAGGGAAGA R: GAAAGAGAGAAAGACAGAGA	(TA) ₆	55°C	5	90-110	0,80	0,50	0,72

Painel	Marcador	Dye	Sequência do primer 5'-3'	Motivo	Ta	N	Tamanho alelos bp	He	Ho	PIC
2	BrPe0002	Hex	F:AAAGCCCAGATGAAGTCAA R:GGCTCCAATCAGAAGTGT	(AG) ₁₂	55°C	3	177-185	0,69	0,56	0,58
	BrPe0024	6-Fam	F:CCCTACCTTCTCTGCTT R:CATCTCTCTATCTCCTTC	(TC) ₇	55°C	4	221-231	0,76	0,70	0,68
3	BrPe0003	6-Fam	F:CTTTCTCTCCCTATAACCC R:CCCTCCATAATCACATAAC	(TC) ₁₁	55°C	5	277-291	0,70	0,40	0,62
	BrPe0006	6-Fam	F:AAGGAAAAGAACAGCCTCA R:CGCTCTCAAATCAGTCAAA	(TC) ₁₀	55°C	4	193-199	0,68	0,40	0,59
	BrPe0010	Hex	F:GAAGAAAAAAGGGCTTG R:GTTAGGGTTGGAGGA	(TC) ₉	55°C	4	199-207	0,71	0,50	0,60
4	BrPe0031	6-Fam	F:AGGTGGTGGGTGTTAG R:CATTCAACTCCCCAAAAGGT	(TA) ₉	60°C	5	134-150	0,77	0,67	0,67
	BrPe0036	Hex	F:TCGGACCTTAAACCGGAA R:CAGCACCAAAATTGAGCAG	(TC) ₆	60°C	4	197-203	0,65	0,10	0,54
5	BrPe0032	6-Fam	F:TTGCACAATGACCAATGTTGT R:CTGAGCACCTTGTCAAATACA	(AT) ₁₃	60°C	7	137-157	0,84	1,00	0,77
	BrPe0034	Hex	F:CCTGTGGTGAATGGAAACC R:GAGCCCTGGACTGACACATT	(CT) ₁₅	60°C	2	217-227	0,56	1,00	0,38
6	BrPe0038	6-Fam	F:TTTCAACTTTCTGTGTGC R:TGTGTTGCTTGGAAAGATG	(AT) ₆	60°C	5	154-176	0,73	0,60	0,64
	BrPe3011	Hex	F:CCGGTCTTCCTGATTGACTC R:CCTCTCTCACCTGGAAGTGC	(TTC) ₄	60°C	3	157-163	0,62	0,30	0,50
NP	BrPe0014	6-Fam	F:AATATGGCTGGGAAAC R:TTCTGTCTTGGACCTT	(AG) ₇	57°C	5	215-227	0,75	0,50	0,67
	BrPe0021	6-Fam	F:ACTTCCTCATCATTG R:GCTATGCCCTTTTG	(TA) ₇	55°C	3	158-164	0,67	0,25	0,56
NP	BrPe0033	Hex	F:GCCATGAGAGACTTGGGAGA R:CGTTGCCAAAAAGAAGAGA	(AT) ₈	60°C	5	237-249	0,72	0,30	0,65
	BrPe0042	6-Fam	F:CATGCATTTCATTGTTTTCTTG R:GATGCTGGAAAAAGAGTG	(AT) ₈	60°C	6	142-160	0,71	0,80	0,63
	BrPe0043	Hex	F:TCATACATGGATGTCAAATCGATAC R:GCGGACCAAGAAAATTCAAA	(AT) ₈	60°C	4	199-207	0,71	0,50	0,60
	Média				4,24		0,70		0,51	

F: primer forward; R: primer reverse; T_a: temperatura de anelamento; N: número de alelos; Ho: heterozigosidade observada; He: heterozigosidade esperada; PIC: conteúdo de informação polimórfica, NP: não painel.

Binagem e frequências alélicas

Para a binagem e o cálculo de frequências alélicas foram utilizados 22 acessos (10 de *P. edulis* utilizados na validação dos marcadores microssatélites no Capítulo 1, e 12 indivíduos dos cruzamentos que foram analisados nesse Capítulo). Os alelos foram binados no software Tandem (MATSCHINER; SALZBURGER, 2009) e as frequências alélicas dos locos foram obtidas mediante o software Cervus (Tristan Marshall 1998-2014) (MARSHALL et al., 1998)

Análise de paternidade

Alelos de todos os locos analisados foram comparados entre o suposto genitor feminino e a progênie, e entre o suposto genitor masculino e a progênie para cada cruzamento, segundo herança Mendeliana, determinando-se a sua Inclusão ou Exclusão Categóricas. Quando houve duas ou mais Exclusões Categóricas, o suposto genitor foi eliminado como o verdadeiro genitor segundo protocolo da AMERICAN ASSOCIATION OF BLOOD BANKS (AABB, 2004). Quando houve uma ou nenhuma Exclusão Categórica, isto é, quando tivemos Inclusões Categóricas para todos os locos ou todos os locos menos um, foram calculados: o Índice de Paternidade (PI) e a Probabilidade de Paternidade (W) para o genitor masculino segundo o trio *genitor feminino, progênie e suposto genitor masculino* (Tabela 3). Na ausência de um dos genitores, foi calculado o PI e a W segundo o duo *genitor e progênie* (Tabela 4).

Tabela 3. Distribuição do Índice de Paternidade (PI) para todas as combinações que não excluem os genótipos maternos e paternos (LEE et al., 2000).

Genótipo genitor feminino	Genótipo progênie	Genótipo do suposto genitor masculino	PI
<i>aa</i>	<i>aa</i>		
<i>ab</i>		<i>aa</i>	$1/P_a$
<i>bb</i>			
<i>cb</i>	<i>ab</i>		
<i>aa</i>			
<i>ab</i>	<i>aa</i>		
<i>ac</i>		<i>ab</i>	$1/2P_a$
<i>bb</i>			
<i>bc</i>	<i>ab</i>		
<i>bc</i>	<i>ac</i>		
<i>cc</i>			
<i>cd</i>			
		<i>aa</i>	
<i>ab</i>	<i>ab</i>	<i>ab</i>	$1/(P_a+P_b)$
		<i>ac</i>	$1/2(P_a+P_b)$

* P é a frequência do alelo *a* ou *b* de um específico loco calculado em uma população aleatória.

O Índice de Paternidade é usado para descrever a taxa de probabilidade baseada em duas hipóteses, a que o suposto genitor é o verdadeiro genitor, e que o suposto genitor não é o verdadeiro genitor. Após o cálculo do Índice de Paternidade, foi calculado o Índice de Paternidade Combinada, que é o produto das probabilidades obtidas para cada loco ($CPI = PI_i \times PI_j \times \dots \times PI_n$). Também foi calculada a Probabilidade de Paternidade ($W = CPI/(CPI+1)$) (LEE et al., 2000) .

Tabela 4. Formulas do Índice de Paternidade (PI) para situações onde o genótipo de um dos genitores encontra-se disponível como amostra de referência (LEE et al., 2000)

Genitor	Progênie	PI
<i>aa</i>	<i>aa</i>	$1/P_a$
	<i>ab</i>	$1/2P_a$
<i>ab</i>	<i>aa</i>	$1/2P_a$
	<i>ab</i>	$P_a + P_b / 4P_a P_b$
	<i>ac</i>	$1/4P_a$

* P é a frequência do alelo *a* ou *b* de um específico loco calculado em uma população aleatória.

RESULTADOS E DISCUSSÃO

Os marcadores microssatélites foram boas ferramentas para confirmar a ocorrência ou não dos cruzamentos testados. Os números de locos analisados para cada genealogia variou entre 14 e 18, dependendo da obtenção de fragmentos amplificados. Dos 18 locos testados, 13 foram utilizados em todos os cruzamentos (BrPe0001, BrPe0003, BrPe0006, BrPe0010, BrPe0014, BrPe0031, BrPe0032, BrPe0033, BrPe0034, BrPe0036, BrPe0038, BrPe0042, BrPe3011).

Genealogia A

Para a confirmação da Genealogia A (Figura 1), foi reconstituída a progênie F1RPGA2_R do 1º Cruzamento entre BRS Rósea Púrpura x *P. edulis* GA2, e foi utilizada como genitor feminino no 2º Cruzamento (F1RPGA2_R x *P. edulis* MA) onde a progênie foi denominada F1RPGA2MA. Considerando nenhuma Exclusão Categórica nos 16 locos analisados (Tabela 5), o suposto genitor feminino F1RPGA2_R é o verdadeiro genitor feminino do acesso F1RPGA2MA com 99,442% de Probabilidade de Paternidade (Tabela 5.1). Já para na análise de Inclusão ou Exclusão Categóricas, considerando 3 Exclusões Categóricas nos locos considerados, o suposto genitor masculino *P. edulis* MA é, portanto, excluído como o verdadeiro genitor masculino do acesso F1RPGA2MA (Tabela 5).

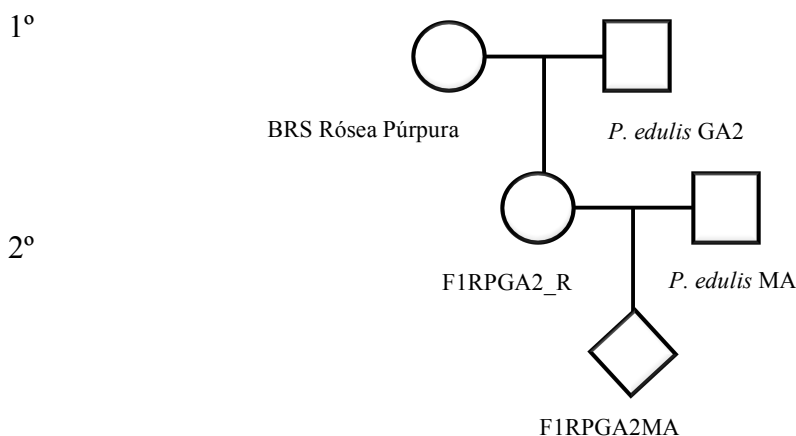


Figura 1. Genealogia A com dois cruzamentos: 1º BRS Rósea Púrpura x *P. edulis* GA2; 2º F1RPGA2_R x *P. edulis* MA.

Tabela 5. Análise de Inclusão ou Exclusão Categóricas do 2º Cruzamento da Genealogia A.

Locos	Genitor	Genitor	Progênie/	Genitor	Genitor	Progênie	Inclusão/	
	Fem.	Masc.	Genitor Fem.	Masc.	Masc.	Fem.	G. Fem	G. Masc
	BRS Rósea Púrpura	x <i>P. edulis</i> GA2	=	F1RPGA2 (R)	x <i>P. edulis</i> MA	=	F1RPGA2MA	
BrPe0001	156/156	156/158	156/158	156/158	156/158	156/158	I	I
BrPe0003	275/275	287/289	275/287	279/287	287/287	287/287	I	I
BrPe0006	196/196	188/192	192/196	200/200	196/196	196/196	I	E

Locos	Genitor	Genitor	Progénie/	Genitor	Genitor	Progénie	Inclusão/		
	Fem.	Masc.	Genitor Fem.	Masc.	Masc.		Exclusão		
	BRS Rósea Púrpura	x <i>P. edulis</i> GA2	=	F1RPGA2 (R)	x <i>P. edulis</i> MA	=	F1RPGA2MA	G. Fem	G. Masc
BrPe0010	196/198	202/204	196/204	202/204	202/204	204/204	I	I	
BrPe0014	216/216	216/216	216/216	216/216	216/216	216/216	I	I	
BrPe0021	152/152	164/164	152/164	164/164	164/164	164/164	I	I	
BrPe0024	231/231	233/233	231/233	231/233	231/233	231/233	I	I	
BrPe0028	99/99	105/105	99/105	105/105	105/105	105/105	I	I	
BrPe0031	149/149	149/151	149/151	151/151	151/153	151/153	I	E	
BrPe0032	139/139	149/149	139/149	149/149	149/149	149/149	I	I	
BrPe0033	243/243	245/251	243/251	243/251	251/263	251/263	I	E	
BrPe0034	223/237	219/231	219/223	219/231	219/231	219/231	I	I	
BrPe0036	198/204	198/200	198/200	200/200	200/200	200/200	I	I	
BrPe0038	156/156	158/158	156/158	158/158	158/158	158/158	I	I	
BrPe0042	134/140	156/156	134/156	154/156	154/156	154/156	I	I	
BrPe3011	163/165	159/165	159/163	159/165	159/165	159/165	I	I	
						Exclusões		0	3

Tabela 5.1. Cálculo do Índice de Paternidade (PI), do Índice de Probabilidade Combinado (CPI) e da Probabilidade de Paternidade (W) considerando o duo *genitor e progénie* para o 2º Cruzamento da Genealogia A.

Loco	Genitor Feminino F1RPGA2 (R)	Progénie F1RPGA2MA	Frequência dos alelos* (P_a e/ou P_b)	PI (fórmula)	PI
BrPe0001	156/158 <i>a/b</i>	156/158 <i>a/b</i>	$P_a = 0,500$ $P_b = 0,300$	$P_a + P_b / 4 P_a P_b$	1,333
BrPe0003	275/287 <i>b/a</i>	287/287 <i>a/a</i>	$P_a = 0,273$	$1 / (2 P_a)$	1,832
BrPe0006	192/196 <i>b/a</i>	196/196 <i>a/a</i>	$P_a = 0,318$	$1 / (2 P_a)$	1,572
BrPe0010	196/204 <i>b/a</i>	204/204 <i>a/a</i>	$P_a = 0,159$	$1 / (2 P_a)$	3,145
BrPe0014	216/216 <i>a/a</i>	216/216 <i>a/a</i>	$P_a = 0,546$	$1 / P_a$	1,832
BrPe0021	152/164 <i>b/a</i>	164/164 <i>a/a</i>	$P_a = 0,611$	$1 / (2 P_a)$	0,818
BrPe0024	231/233 <i>a/b</i>	231/233 <i>a/b</i>	$P_a = 0,325$ $P_b = 0,300$	$P_a + P_b / 4 P_a P_b$	1,603
BrPe0028	99/105 <i>b/a</i>	105/105 <i>a/a</i>	$P_a = 0,381$	$1 / (2 P_a)$	1,312

Loco	Genitor Feminino F1RPGA2 (R)	Progênie F1RPGA2MA	Frequência dos alelos* (P_a e/ou P_b)	PI (fórmula)	PI
BrPe0031	149/151 <i>b/a</i>	151/153 <i>a/c</i>	$P_a = 0,333$	$1/(4 P_a)$	0,751
BrPe0032	139/149 <i>b/a</i>	149/149 <i>a/c</i>	$P_a = 0,591$	$1/(4 P_a)$	0,423
BrPe0033	243/251 <i>b/a</i>	251/263 <i>a/c</i>	$P_a = 0,182$	$1/(4 P_a)$	1,374
BrPe0034	219/223 <i>a/b</i>	219/231 <i>a/c</i>	$P_a = 0,125$	$1/(4 P_a)$	2,000
BrPe0036	198/200 <i>b/a</i>	200/200 <i>a/a</i>	$P_a = 0,182$	$1/(2 P_a)$	2,747
BrPe0038	156/158 <i>b/a</i>	158/158 <i>a/a</i>	$P_a = 0,432$	$1/(2 P_a)$	1,157
BrPe0042	134/156 <i>b/a</i>	154/156 <i>c/a</i>	$P_a = 0,296$	$1/(4 P_a)$	0,845
BrPe3001	159/165 <i>a/b</i>	159/165 <i>a/b</i>	$P_a = 0,250$ $P_b = 0,250$	$P_a + P_b / 4 P_a P_b$	2,000
			CPI	$PI_i \times PI_j \times \dots \times PI_n$	178,348
			W	$CPI / (CPI + 1)$	99,442%

*Ver frequência dos alelos para cada loco no Anexo.

Genealogia B

Na Genealogia B (Figura 2), foi reconstituída a progênie do 1º Cruzamento *P. edulis* GA2 x *P. incarnata*, F1GA2Pi_R que foi utilizada como genitor feminino no 2º Cruzamento entre F1GA2Pi_R x *P. edulis* GA2, ou primeiro retrocruzamento com o genitor recorrente *P. edulis* GA2, onde a progênie desse cruzamento foi denominada F1GA2PiRC1.

Para as análises de paternidade para o 2º Cruzamento da Genealogia B, considerando somente uma Exclusão Categórica, o que não excluiu o suposto genitor masculino (Tabela 6), e após o cálculo da Probabilidade de Paternidade dos 14 locos que apresentaram Inclusões Categóricas, foi confirmado que o suposto genitor masculino *P. edulis* GA2, é o verdadeiro genitor masculino de F1GA2PiRC1 com uma Probabilidade de Paternidade de 99,997% (Tabela 6.1).

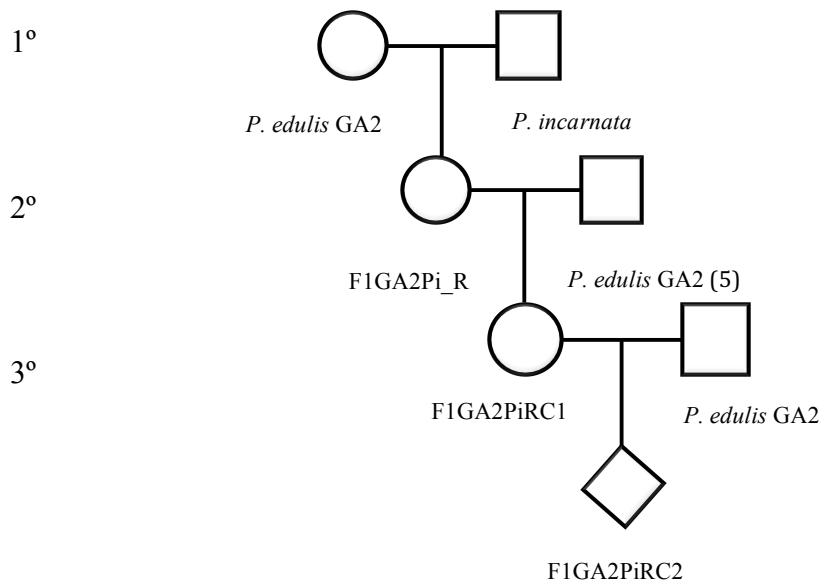


Figura 2. Genealogia B com três cruzamentos: 1º *P. edulis* GA2 x *P. incarnata*; 2º F1GA2Pi_R x *P. edulis* GA2; 3º F1GA2PiRC1 x *P. edulis* GA2.

Para as análises de paternidade para o 2º Cruzamento da Genealogia B, considerando somente uma Exclusão Categórica, o que não excluiu o suposto genitor masculino (Tabela 6), e após o cálculo da Probabilidade de Paternidade dos 14 locos que apresentaram Inclusões Categóricas, foi confirmado que o suposto genitor masculino *P. edulis* GA2, é o verdadeiro genitor masculino de F1GA2PiRC1 com uma Probabilidade de Paternidade de 99,997% (Tabela 6.1).

Tabela 6. Análise de Inclusão e Exclusão Categóricas do 2º Cruzamento na Genealogia B.

Locos	Genitor	Genitor	Genitor	Genitor	Progénie	Inclusão/					
	Fem.	Masc.	Fem.	Masc.		G. Fem	G. Masc				
	<i>P. edulis</i> GA2	x	<i>P. incarnata</i>	=	F1GA2Pi_R	x	<i>P. edulis</i> GA2	=	F1GA2PiRC1	G. Fem	G. Masc
BrPe0001	156/158		146/156		156/159		156/158		156/158	I	I
BrPe0003	287/289		279/279		279/289		287/289		287/289	I	I
BrPe0006	188/192		194/194		188/194		188/192		188/188	I	I
BrPe0010	202/204		192/196		196/202		202/204		202/204	I	I
BrPe0014	216/216		216/216		216/216		216/216		216/216	I	I

	BrPe0028	105/105	101/101	101/105	105/105	105/105	I	I
Locos	Genitor	Genitor	Genitor	Genitor	Progénie		Inclusão/	
	Fem.	Masc.	Fem.	Masc.			Exclusão	
	<i>P. edulis</i> GA2	x <i>P. incarnata</i>	=	F1GA2Pi_R	<i>P. edulis</i> GA2	=	F1GA2PiRC1	G. Fem
BrPe0031	149/151	149/151	149/151	149/151	137/149	I	E	
BrPe0032	149/149	135/149	135/149	149/149	149/149	I	I	
BrPe0033	245/251	243/243	243/251	245/251	251/251	I	I	
BrPe0034	219/231	223/223	223/231	219/231	219/231	I	I	
BrPe0036	198/200	198/204	198/204	198/200	198/204	I	I	
BrPe0038	158/158	156/158	156/158	158/158	158/158	I	I	
BrPe0042	156/156	154/164	156/164	156/156	156/156	I	I	
BrPe3011	159/165	163/165	159/165	159/165	159/165	I	I	
					Exclusões	0	1	

Tabela 6.1. Cálculo do Índice de Probabilidade (PI), do Índice de Probabilidade Combinado (CPI), e da Probabilidade de Paternidade (W) considerando o trio *genitor feminino, progénie e suposto genitor masculino* do 2º Cruzamento na Genealogia B.

Loco	Genitor Feminino F1GA2Pi_R	Progénie F1GA2PiRC1	Genitor Masculino <i>P. edulis</i> GA2	Frequência dos alelos* (P_a e/ou P_b)	PI (fórmula)	PI
BrPe0001	156/159 <i>a/b</i>	156/158 <i>a/b</i>	156/158 <i>a/b</i>	$P_a=0,500$ $P_b=0,300$	$1/(P_a + P_b)$	1,250
BrPe0003	279/289 <i>c/b</i>	287/289 <i>a/b</i>	287/289 <i>a/b</i>	$P_a=0,273$	$1/(2 P_a)$	1,832
BrPe0006	188/194 <i>a/c</i>	188/188 <i>a/a</i>	188/192 <i>a/b</i>	$P_a=0,205$	$1/(2 P_a)$	2,439
BrPe0010	196/202 <i>c/b</i>	202/204 <i>b/a</i>	202/204 <i>b/a</i>	$P_a=0,159$	$1/(2 P_a)$	3,145
BrPe0014	216/216 <i>a/a</i>	216/216 <i>a/a</i>	216/216 <i>a/a</i>	$P_a=0,546$	$1/P_a$	1,832
BrPe0028	101/105 <i>b/a</i>	105/105 <i>a/a</i>	105/105 <i>a/a</i>	$P_a=0,381$	$1/P_a$	2,625
BrPe0032	135/149 <i>b/a</i>	149/149 <i>a/a</i>	149/149 <i>a/a</i>	$P_a=0,591$	$1/P_a$	1,692
BrPe0033	243/251 <i>c/a</i>	251/251 <i>a/a</i>	245/251 <i>b/a</i>	$P_a=0,182$	$1/(2 P_a)$	2,747

Loco	Genitor Feminino F1GA2Pi_R	Progénie F1GA2PiRC1	Genitor Masculino <i>P. edulis</i> GA2	Frequência dos alelos* (P_a e/ou P_b)	PI (fórmula)	PI
BrPe0034	223/231 <i>c/b</i>	219/231 <i>a/b</i>	219/231 <i>a/b</i>	$P_a = 0,125$	$1/(2 P_a)$	4,000
BrPe0036	198/204 <i>a/b</i>	198/204 <i>a/b</i>	198/200 <i>a/c</i>	$P_a = 0,273$ $P_b = 0,136$	$1/[2(P_a + P_b)]$	1,222
BrPe0038	156/158 <i>b/a</i>	158/158 <i>a/a</i>	158/158 <i>a/a</i>	$P_a = 0,432$	$1/P_a$	2,315
BrPe0042	156/164 <i>a/b</i>	156/156 <i>a/a</i>	156/156 <i>a/a</i>	$P_a = 0,296$	$1/P_a$	3,378
BrPe3001	159/165 <i>a/b</i>	159/165 <i>a/b</i>	159/165 <i>a/b</i>	$P_a = 0,250$ $P_b = 0,250$	$1/(P_a + P_b)$	2,000
				CPI	$PI_i \times PI_j \times \dots \times PI_n$	30009,664
				W	$CPI/(CPI+1)$	99,997%

*Ver frequência dos alelos para cada loco no Anexo.

No 3º Cruzamento da Genealogia B (Figura 3), que corresponderia no segundo ciclo de retrocruzamento (F1GA2PiRC1 x *P. edulis* GA2), e considerando 4 Exclusões Categóricas em 17 locos testados, o suposto genitor feminino F1GA2PiRC1 foi excluído como o verdadeiro genitor feminino do acesso F1GA2PiRC2 (Tabela 7). Da mesma maneira, e considerando 5 Exclusões Categóricas, o suposto genitor masculino *P. edulis* GA2 também foi excluído como o verdadeiro genitor masculino do mesmo acesso (Tabela 7).

Tabela 7. Análise de Inclusão e Exclusão Categóricas do 3º Cruzamento da Genealogia B.

Locos	Genitor Feminino		Genitor Masculino		Progénie	Inclusão/ Exclusão	
	F1GA2PiRC1	x	<i>P. edulis</i> GA2	=		G. Fem	G. Masc
BrPe0001	156/158		156/158		158/158	I	I
BrPe0002	181/181		181/181		181/181	I	I
BrPe0003	287/289		287/289		287/287	I	I
BrPe0006	188/188		188/192		200/200	E	E

Locos	Genitor Feminino		Genitor Masculino		Progênie		Inclusão/ Exclusão	
	F1GA2PiRC1	x	P. edulis GA2	=	F1GA2PiRC2	G. Fem	G. Masc	
BrPe0010	202/204		202/204		202/204	I	I	
BrPe0014	216/216		216/216		216/216	I	I	
BrPe0021	164/164		164/164		164/164	I	I	
BrPe0024	233/233		233/233		231/231	E	E	
BrPe0028	105/105		105/105		103/105	I	E	
BrPe0031	137/149		149/151		151/153	E	I	
BrPe0032	149/149		149/149		149/149	I	I	
BrPe0033	251/251		245/251		241/251	I	E	
BrPe0034	219/231		219/231		231/231	I	I	
BrPe0036	198/204		198/200		200/200	E	I	
BrPe0038	158/158		158/158		158/158	I	I	
BrPe0042	156/156		156/156		150/156	I	E	
BrPe3011	159/165		159/165		159/165	I	I	
Exclusões						4	5	

Genealogia C

Para a Genealogia C (Figura 3), o 1º Cruzamento (cruzamento interespecífico) entre *P. aff. amethystina* x *P. edulis* GA2, onde a progênie F1PaGA2_R foi reconstituída, e que teria sido utilizada como genitor feminino no 2º Cruzamento (retrocruzamento) com *P. edulis* GA2, considerando 14 locos, o suposto genitor masculino *P. edulis* GA2 foi excluído como o verdadeiro genitor masculino com 2 Exclusões Categóricas (Tabela 8). Pelo contrário, considerando nenhuma Exclusão Categórica em 14 locos, o suposto genitor feminino F1PaGA2_R seria o verdadeiro genitor feminino do acesso F1PaGA2RC1, e na análise do duo *genitor e progênie* a probabilidade de paternidade seria de um 95,137% (Tabela 8.1).

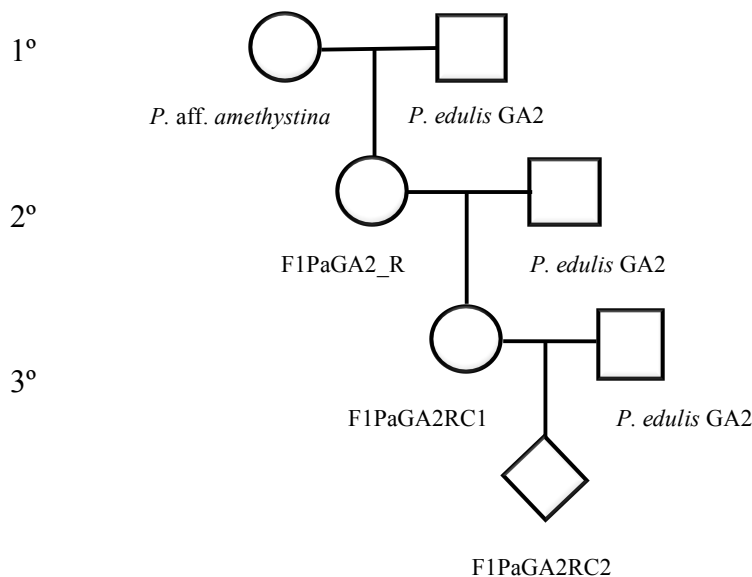


Figura 3. Genealogia C com três cruzamentos: 1º *P. aff. amethystina* x *P. edulis* GA2; 2º F1PaGA2_R x *P. edulis* GA2; 3º F1PaGA2RC1 x *P. edulis* GA2.

Tabela 8. Análise de Inclusão e Exclusão Categóricas do 2º Cruzamento da Genealogia C.

Locos	Genitor	Genitor	Progênie/		Genitor	Genitor	Inclusão/				
	Feminino	Masculino	Genitor	Feminino	Masc.	Feminino	Masc.	Exclusão			
	<i>P. aff.</i> <i>amethystina</i>	x	<i>P. edulis</i> GA2	=	F1PaGA2_R	x	<i>P. edulis</i> GA2	=	F1PaGA2RC1	G. Fem	G. Masc
BrPe0001	162/164		156/158		156/162		156/158		156/158	I	I
BrPe0002	171/175		181/181		171/181		181/181		181/181	I	I
BrPe0003	279/287		287/289		279/289		287/289		289/289	I	I
BrPe0006	188/188		188/192		188/192		188/192		188/202	I	E
BrPe0010	190/190		202/204		190/202		202/204		202/202	I	I
BrPe0014	216/216		216/216		216/216		216/216		216/216	I	I
BrPe0031	137/149		149/151		149/151		149/151		151/151	I	I
BrPe0032	149/151		149/149		149/151		149/149		149/149	I	I
BrPe0033	235/235		245/251		235/245		245/251		245/245	I	I
BrPe0034	235/247		219/231		235/231		219/231		231/231	I	I
BrPe0036	204/204		198/200		198/204		198/200		198/202	I	E
BrPe0038	156/156		158/158		156/158		158/158		158/158	I	I
BrPe0042	176/180		156/156		156/176		156/156		156/156	I	I
BrPe3011	165/165		159/165		159/165		159/165		159/159	I	I
										Exclusões	0 2

Tabela 8.1. Cálculo do Índice de Probabilidade (PI), do Índice de Probabilidade Combinado (CPI) e da Probabilidade de Paternidade (W) considerando o duo *genitor e progénie* para o 2º Cruzamento da Genealogia C.

Loco	Gen. Fem. F1PaGA2 (R)	Progênie F1PaGA2RC1	Frequência dos alelos* (P_a e/ou P_b)	IP (fórmula)	IP
BrPe0001	156/162 <i>a/b</i>	156/158 <i>a/b</i>	$P_a = 0,500$	$1/(4 P_a)$	0,500
BrPe0002	171/181 <i>b/a</i>	181/181 <i>a/a</i>	$P_a = 0,474$	$1/(2 P_a)$	1,055
BrPe0003	279/289 <i>b/a</i>	289/289 <i>a/a</i>	$P_a = 0,364$	$1/(2 P_a)$	1,374
BrPe0006	188/192 <i>a/b</i>	188/202 <i>a/c</i>	$P_a = 0,205$	$1/(4 P_a)$	1,220
BrPe0010	190/202 <i>b/a</i>	202/202 <i>a/a</i>	$P_a = 0,364$	$1/(2 P_a)$	1,374
BrPe0014	216/216 <i>a/a</i>	216/216 <i>a/a</i>	$P_a = 0,546$	$1/P_a$	1,832
BrPe0031	149/151 <i>b/a</i>	151/151 <i>a/a</i>	$P_a = 0,333$	$1/(2 P_a)$	1,502
BrPe0032	149/151 <i>a/b</i>	149/149 <i>a/a</i>	$P_a = 0,591$	$1/(2 P_a)$	0,846
BrPe0033	235/245 <i>b/a</i>	245/245 <i>a/a</i>	$P_a = 0,318$	$1/(2 P_a)$	1,572
BrPe0034	235/231 <i>a/b</i>	231/231 <i>a/a</i>	$P_a = 0,406$	$1/(2 P_a)$	1,231
BrPe0036	198/204 <i>a/b</i>	198/202 <i>a/c</i>	$P_a = 0,273$	$1/(4 P_a)$	0,916
BrPe0038	156/158 <i>b/a</i>	158/158 <i>a/a</i>	$P_a = 0,432$	$1/(2 P_a)$	1,157
BrPe0042	156/176 <i>a/b</i>	156/156 <i>a/a</i>	$P_a = 0,296$	$1/(2 P_a)$	1,689
BrPe3001	159/165 <i>a/b</i>	159/159 <i>a/a</i>	$P_a = 0,250$	$1/(2 P_a)$	2,000
				CPI	$\text{PI}_i \times \text{PI}_j \times \dots \times \text{PI}_n$
				W	$\text{CPI}/(\text{CPI}+1)$
					19,563
					95,137%

*Ver frequência dos alelos para cada loco no Anexo.

No 3º Cruzamento da Genealogia C, que correspondente no segundo ciclo de retrocruzamento, F1PaGA2RC1 x *P. edulis* GA2, o suposto genitor feminino

F1PaGA2RC1 do acesso F1PaGA2RC2 seria o verdadeiro genitor feminino considerando somente 1 Exclusão Categórica em 17 locos (Tabela 9) e com uma probabilidade de paternidade de 99,999% (Tabela 9.1). Pelo contrário, o suposto genitor masculino *P. edulis* GA2 não corresponderia ao verdadeiro genitor masculino observando 4 Exclusões Categóricas (Tabela 9).

Tabela 9. Análise de Inclusão e Exclusão Categóricas do 3º Cruzamento da Genealogia C.

Locos	Genitor Feminino		Genitor Masculino		Progênie		Inclusão/ Exclusão	
	F1PaGA2RC1	x	<i>P. edulis</i> GA2	=	F1PaGA2RC2	G. Fem	G. Masc	
BrPe0001	156/158		156/158		158/158	I	I	
BrPe0002	181/181		181/181		181/181	I	I	
BrPe0003	289/289		287/289		287/287	E	I	
BrPe0006	188/202		188/192		188/202	I	I	
BrPe0010	202/202		202/204		202/202	I	I	
BrPe0014	216/216		216/216		216/216	I	I	
BrPe0021	164/164		164/164		164/164	I	I	
BrPe0024	233/233		233/233		231/233	I	E	
BrPe0028	105/105		105/105		105/105	I	I	
BrPe0031	151/151		149/151		151/151	I	I	
BrPe0032	149/149		149/149		149/149	I	I	
BrPe0033	245/245		245/251		243/245	I	E	
BrPe0034	231/231		219/231		231/231	I	E	
BrPe0036	198/202		198/200		198/202	I	I	
BrPe0038	158/158		158/158		158/158	I	I	
BrPe0042	156/156		156/156		154/156	I	E	
BrPe3011	159/159		159/165		159/165	I	I	
Exclusões							1	4

Tabela 9.1 Cálculo do Índice de Probabilidade (PI), do Índice de Probabilidade Combinado (CPI) e da Probabilidade de Paternidade (W) considerando o duo *genitor e progénie* para o 3º Cruzamento da Genealogia C

Loco	Gen. Fem. F1PaGA2RC1	Progênie F1PaGA2RC2	Frequência dos alelos* (P_a e/ou P_b)	PI (fórmula)	PI
BrPe0001	156/158 <i>b/a</i>	158/158 <i>a/a</i>	$P_a=0,300$	$1/2P_a$	1,667
BrPe0002	181/181 <i>a/a</i>	181/181 <i>a/a</i>	$P_a=0,474$	$1/P_a$	2,110
BrPe0006	188/202 <i>a/b</i>	188/202 <i>a/b</i>	$P_a=0,205$ $P_b=0,091$	$P_a+P_b/4P_aP_b$	3,967
BrPe0010	202/202 <i>a/a</i>	202/202 <i>a/a</i>	$P_a=0,364$	$1/P_a$	2,747
BrPe0014	216/216 <i>a/a</i>	216/216 <i>a/a</i>	$P_a=0,546$	$1/P_a$	1,832
BrPe0021	164/164 <i>a/a</i>	164/164 <i>a/a</i>	$P_a=0,611$	$1/P_a$	1,637
BrPe0024	233/233 <i>a/a</i>	231/233 <i>b/a</i>	$P_a=0,300$	$1/2P_a$	1,667
BrPe0028	105/105 <i>a/a</i>	105/105 <i>a/a</i>	$P_a=0,381$	$1/P_a$	2,625
BrPe0031	151/151 <i>a/a</i>	151/151 <i>a/a</i>	$P_a=0,333$	$1/P_a$	3,003
BrPe0032	149/149 <i>a/a</i>	149/149 <i>a/b</i>	$P_a=0,591$	$1/2P_a$	0,846
BrPe0033	245/245 <i>a/a</i>	243/245 <i>b/a</i>	$P_a=0,318$	$1/2P_a$	1,572
BrPe0034	231/231 <i>a/a</i>	231/231 <i>a/a</i>	$P_a=0,406$	$1/P_a$	2,463
BrPe0036	198/202 <i>a/b</i>	198/202 <i>a/b</i>	$P_a=0,273$ $P_b=0,296$	$P_a+P_b/4P_aP_b$	1,760
BrPe0038	158/158 <i>a/a</i>	158/158 <i>a/a</i>	$P_a=0,432$	$1/P_a$	2,315
BrPe0042	156/156 <i>a/a</i>	154/156 <i>b/a</i>	$P_a=0,296$	$1/2P_a$	1,689
BrPe3001	159/159 <i>a/a</i>	159/165 <i>a/b</i>	$P_a=0,250$	$1/2P_a$	2,000
				CPI	$PI_i \times PI_j \times \dots \times PI_n$
					68057,033
				W	$CPI/(CPI+1)$
					99,999%

*Ver frequência dos alelos para cada loco no Anexo.

Genealogia D

Para a Genealogia D (Figura 4), o cruzamento entre o híbrido interespecífico BRS Céu do Cerrado x *P. edulis* MA, o suposto genitor masculino foi eliminado como o verdadeiro genitor masculino do acesso F1CCMA com 5 Exclusões Categóricas nos 14 locos considerados. Da mesma maneira, o genitor feminino para o mesmo acesso também foi eliminado como o verdadeiro genitor feminino, mas agora com 2 Exclusões Categóricas (Tabela 10).

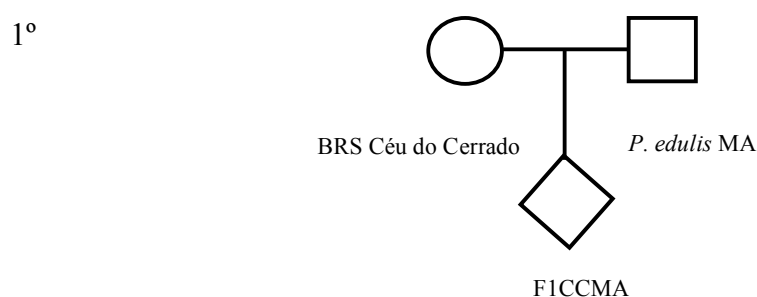


Figura 4. Genealogia D, cruzamento entre BRS Céu do Cerrado x *P. edulis* MA.

Tabela 9. Análise de Inclusão e Exclusão Categóricas do 1º Cruzamento da Genealogia D.

Locos	Genitor Fem.		Genitor Masc.		Progênie	Inclusão/ Exclusão	
	BRS Céu Do Cerrado	x	<i>P. edulis</i> MA	=		G. Fem	G. Masc
BrPe0001	156/158		156/158		158/158	I	I
BrPe0002	181/181		181/181		181/181	I	I
BrPe0003	287/293		279/287		289/289	E	E
BrPe0006	188/202		200/200		188/202	I	E
BrPe0010	202/202		202/204		202/204	I	I
BrPe0014	216/216		216/216		216/216	I	I
BrPe0021	164/164		164/164		164/164	I	I
BrPe0024	231/233		231/233		233/233	I	I
BrPe0028	105/105		105/105		103/105	I	E
BrPe0031	149/151		151/151		151/151	I	I
BrPe0032	147/149		149/149		149/149	I	I
BrPe0033	243/243		243/251		251/251	E	I
BrPe0034	229/231		219/231		231/231	I	I

Locos	Genitor Fem.		Genitor Masc.		Progênie		Inclusão/ Exclusão	
	BRS Céu Do Cerrado	x	<i>P. edulis</i> MA	=	F1CCMA	G. Fem	G. Masc	
BrPe0036	198/202		200/200		198/198	I	E	
BrPe0038	158/158		158/158		158/158	I	I	
BrPe0042	152/156		154/156		156/156	I	I	
BrPe0043	202/222		196/202		222/222	I	E	
BrPe3011	159/165		159/165		159/159	I	I	
					Exclusões	2	5	

Considerando o grande potencial do uso das espécies silvestres no melhoramento genético e devido à compatibilidade existente entre muitas das espécies de Passiflora, o que tem permitido a obtenção de híbridos interespecíficos (MELETTI et al., 2005), se faz fundamental a utilização de marcadores moleculares para auxiliar na detecção de cruzamentos, análise de paternidade, reconstrução de pedigree e identificação de cultivares, de tal modo que seja possível encurtar os tempos do programa de melhoramento para a obtenção de novas cultivares.

Marcadores microssatélites demonstraram ser uma excelente ferramenta no esclarecimento de alguns cruzamentos e a paternidade dos acessos, seja confirmando os genitores como verdadeiros genitores ou excluindo-os como os verdadeiros genitores.

Na análise de Inclusão e Exclusão Categóricas realizada nos 12 genitores de 6 cruzamentos analisados, os resultados confirmaram como genitores verdadeiros a 5 deles, onde a Probabilidade de Paternidade (W) calculada para o único genitor masculino foi de 99,997%. As análises também demonstraram que 7 dos supostos genitores foram excluídos como os genitores verdadeiros das progênies, apresentando Exclusões Categóricas em 2, 3, 4 e 5 locos.

Dois dos 5 genitores que foram confirmados como genitores verdadeiros, apresentaram somente uma Exclusão Categórica em um dos locos testados, o que não os excluiu como genitores verdadeiros. Para o genitor masculino *P. edulis* GA2 do 2º Cruzamento da Genealogia B, a única exclusão categórica foi no loco BrPe0031, que apresentou uma discrepância de 12 pares de bases ou 6 repetições a mais do motivo do microssatélite TA entre o genitor *P. edulis* GA2 (149 pb) e a progénie F1GA2PiRC1 (137 pb) (Tabela 5). E para o 3º Cruzamento da Genealogia C, a única Exclusão Categórica foi no loco BrPe0003, com uma discrepância de 2 pares de bases ou uma

repetição a mais do motivo TC, entre o genitor feminino *P. edulis* GA2 (289 pb) e a progênie F1PaGA2RC2 (287 pb) (Tabela 9).

Diferença no número de repetições dentro do microssatélite entre uma geração e outra pode ser atribuída ao fenômeno de *slippage* do DNA durante a replicação (TACHIDA; IIZUKA, 1992) ou à recombinação entre as fitas de DNA causada por um *crossing-over* desigual (BROHEDE; ELLEGREN, 1999; HARDING; BOYCE; CLEGG, 1992).

No caso da diferença entre 2 pares de base no loco BrPe0003, entre o genitor feminino *P. edulis* GA2 (289 pb) e a progênie F1PaGA2RC2 (287 pb) seria um exemplo de *slippage* na variação de um número pequeno de pares de base, seja por inserção ou deleção, causado pela pausa da DNA polimerase durante a dissociação da polimerase do DNA, onde em esse momento somente a parte terminal da nova fita sintetizada é separada da fita original, emparelhando-se a outra unidade de repetição do microssatélite (HILE; ECKERT, 2004). Esse fenômeno tem sido previamente documentado em algumas espécies como *Arabidopsis* (SYMONDS; LLOYD, 2003), grão-de-bico (SETHY et al., 2006) e soja (PEAKALL et al., 1998).

No caso da diferença de 12 pares de base no loco BrPe0031, entre o genitor masculino *P. edulis* GA2 (149 pb) e a progênie F1GA2PiRC1 (137 pb), poderia ser causada pela recombinação das fitas de DNA na meiose, onde se tem observado sequências maiores de adição ou perda devido a um *crossing-over* desigual (BERG et al., 2003).

Na Genealogia B, o genitor feminino F1GA2Pi_R foi confirmado como o genitor feminino verdadeiro do acesso F1GA2PiRC1, da mesma maneira para o genitor masculino *P. edulis* GA2. Isso demonstra que é possível obter híbridos interespecíficos sexuados entre *P. edulis* GA2 x *P. incarnata* e que tem sido reportado anteriormente por FALEIRO et al. (2015). Em estudos anteriores feitos por KNIGHT (1991) e OTONI et al. (1995) foi observado que quando *P. edulis* era cruzada sexualmente com *P. incarnata* os híbridos F1 eram macho-estéreis e não conseguiam frutificar, portanto a obtenção de plantas férteis deveria ser através da duplicação cromossômica, mediante o uso de colchicina, ou bem pela fusão de protoplastos. No cruzamento entre *P. edulis* GA2 e *P. incarnata* realizado neste estudo, o vingamento foi exitoso na maioria dos casos (dados não apresentados).

Os marcadores microssatélites testados auxiliaram na exclusão de 7 supostos genitores de 6 cruzamentos em 4 genealogias. Erros na identificação dos acessos, polinização tardia das flores, contaminação do pólen, problemas mecânicos na hora de ensacar as flores polinizadas, poderiam ter sido algumas das razões pelas quais 7 dos supostos genitores foram excluídos como os verdadeiros genitores dos cruzamentos analisados.

CONCLUSÕES

Os novos marcadores microssatélites polimórficos foram eficientes na análise de paternidade dos cruzamentos testados, confirmando a obtenção do híbrido interespecífico entre *P. edulis* GA2 x *P. incarnata*.

REFERÊNCIAS BIBLIOGRÁFICAS

AMERICAN ASSOCIATION OF BLOOD BANKS. **Guidance for Standards for Parentage Testing Laboratories**. 6th. ed. Bethesda, MD, 2004. p.144.

BERG, I.; NEUMANN, R.; CEDERBERG, H.; RANNUNG, U.; JEFFREYS, A.J. Two modes of germline instability at human minisatellite MS1 (locus D1S7): complex rearrangements and paradoxical hyperdeletion. **American Journal of Human Genetics**, v. 72, p. 1436–47, 2003.

BROHEDE, J.; ELLEGREN, H. Microsatellite evolution: polarity of substitutions within repeats and neutrality of flanking sequences. **Proceedings: Biological Sciences**, v. 266, n. 1421, p. 825–833, 1999.

BRUNEL, D. A microsatellite marker in *Helianthus annuus* L. **Plant Molecular Biology**, v. 24, p. 397–400, 1994.

BUCKLETON, J.; CLAYTON, T.; TRIGSS, C. Parentage Testing. In: BUCKLETON, J.; TRIGSS, C.; WALSH, S. J. (Eds.). **Forensic DNA Evidence Interpretation**. Washington, DC: CRC Press, 2005. p. 531.

CERVI, A. C. Espécies de Passiflora L. (Passifloraceae) publicadas e descritas nos últimos 55 anos (1950-2005) na América do Sul e principais publicações brasileiras. **Estudos de Biologia**, v. 27, n. 61, p. 19–24, 2005.

CERVI, A. C.; LINSINGEN, L. VON. *Passiflora kikiana*, a new species of Passifloraceae from the Brazilian Amazon. **Acta Botanica Brasilica**, v. 24, n. 4, p. 1062–1064, 2010.

COSTA, A. M.; TUPINAMBÁ, D. D. O maracujá e suas propriedades medicinais - estado da arte. In: FALEIRO, F. G.; JUNQUEIRA, N. T. V. (Eds.). **Maracujá: germoplasma e melhoramento genético**. Planaltina, DF: Embrapa Cerrados, 2005. p. 475–506.

DOYLE, J.; DOYLE, J. L. Genomic plant DNA preparation from fresh tissue-CTAB method. **Phytochemical Bulletin**, v. 19, n. 11, p. 11–15, 1987.

FALEIRO, F. G.; FALEIRO, A. S. G.; CORDEIRO, M. C. R.; KARIA, C. T. **Metodologia para operacionalizar a extração de DNA de espécies nativas do cerrado**. Comunicado Técnico. Planaltina, DF, 2003.

FALEIRO, F. G.; JUNQUEIRA, N. T. V.; BRAGA, M. F.; BELLON, G.; PEIXOTO, J. R.; BARROS, A. M.; BORGES, T. A.; ALMEIDA, D. A.; COSTA, B. **Obtenção de populações de retrocruzamentos e confirmação da fecundação cruzada no maracujazeiro com base em marcadores moleculares**. Congresso Brasileiro de Melhoramento de Plantas. Embrapa Trigo, Gramado, RS. 2005.

FALEIRO, F. G.; JUNQUEIRA, N. T. V.; COSTA, A. M. **Ações de Pesquisa e Desenvolvimento para o Uso Diversificado de Espécies Comerciais e Silvestres de**

Maracujá (Passiflora spp.). Embrapa Cerrados, Planaltina, DF. 2105.

FEUILLET, C. Passifloraceae (passion flower family). In: SMITH, N.; MORI, S. A.; HENDERSON, A.; STEVENSON, D. W.; HELD, S. V. (Eds.). **Flowering Plants on the Neotropics**. New York: Princeton University Press, 2004. p. 286–287.

FIELD, D.; WILLS, C. Long, polymorphic microsatellites in simple organisms. **Proceedings. Biological sciences / The Royal Society**, v. 263, n. 1367, p. 209–15, 1996.

HARDING, R. M.; BOYCE, A. J.; CLEGG, J. B. The evolution of tandemly repetitive DNA: Recombination rules. **Genetics**, v. 132, n. 3, p. 847–859, 1992.

HILE, S. E.; ECKERT, K. A. Positive Correlation Between DNA Polymerase α -Primase Pausing and Mutagenesis within Polypyrimidine/Polypurine Microsatellite Sequences. **Journal of Molecular Biology**, v. 335, p. 745–759, 2004.

IMIG, D. C.; CERVI, A. C. A new species of Passiflora (Passifloraceae) from Minas Gerais, Brazil. **Phytotaxa**, v. 186, n. 5, p. 292–296, 2014.

JUNQUEIRA, K. P.; JUNQUEIRA, N. T.; BELLON, G.; BRAGA, M. F.; SOUZA, L. S. D. E. Confirmação de híbridos interespecíficos artificiais no gênero Passiflora por meio de marcadores RAPD. **Revista Brasileira de Fruticultura**, v. 30, n. 1, p. 191–196, 2008.

KNIGHT, R. J. Development of Tetraploid Hybrid Passion Fruit Clones with Potential for the North Temperate Zone. **HortScience**, v. 26, n. 12, p. 1541–1543, 1991.

LEE, H. S.; LEE, J. W.; HAN, G. R.; HWANG, J. J. Motherless case in paternity testing. **Forensic Science International**, v. 114, p. 57–65, 2000.

LITT, M.; LUTY, J. A. A. Hypervariable Microsatellite Revealed by In Vitro

Amplification of a Dinucleotide Repeat within the Cardiac Muscle Actin Gene. **American Journal of Human Genetics**, v. 44, p. 397–401, 1989.

MARSHALL, T. C.; SLATE, J.; KRUUK, L. E. B.; PEMBERTON, J. M. Statistical confidence for likelihood-based paternity inference in natural populations. **Molecular Ecology**, v. 7, p. 639–655, 1998.

MATSCHINER, M.; SALZBURGER, W. TANDEM: Integrating automated allele binning into genetics and genomics workflows. **Bioinformatics**, v. 25, n. 15, p. 1982–1983, 2009.

MELETTI, L. M. M.; SOARES-SCOTT, M. D.; BERNACCI, L. C.; BERNACCI, L. C.; PASSOS, I. R. S. Melhoramento genético do maracujá: passado e futuro. In: FALEIRO, F. G.; JUNQUEIRA, N. T. V.; BRAGA, M. F. (Eds.). **Maracujá: germoplasma e melhoramento genético**. Planaltina, DF: Embrapa Cerrados, 2005. p. 55–78.

MELETTI, L. M. M.; BRUCKNER, C. H. Melhoramento genético. In: BRUCKNER, C. H.; PICANÇO, M. C. (Eds.). **Maracujá: tecnologia de produção, pós-colheita, agroindústria, mercado**. Porto Alegre: Cinco Continentes, 2001. p. 345–385.

OTONI, W. C.; BLACKHALL, N.W.; D'ULTRA VAZ, F. B.; CASALI, V. W.; POWER, J. B.; DAVEY, M. R. Somatic hybridization of the Passiflora species, *P. edulis* f. *flavicarpa* Degener and *P. incarnata* L. **Journal of Experimental Botany**, v. 46, n. 7, p. 777–785, 1995.

PEAKALL, R.; GILMORE, S.; KEYS, W.; MORGANTE, M.; RAFALSKI, A. Cross-species amplification of soybean (*Glycine max*) simple sequence repeats (SSRs) within the genus and other legume genera: implications for the transferability of SSRs in plants. **Molecular Biology and Evolution**, v. 15, n. 10, p. 1275–87, 1998.

PEIXOTO, M. Problemas e perspectivas do maracujá ornamental. In: FALEIRO, F. G.;

JUNQUEIRA, N. T. V.; BRAGA, M. F. (Eds.). **Maracujá: germoplasma e melhoramento genético**. Planaltina, DF: Embrapa Cerrados, 2005. p. 457–463.

PUGH, T.; FOUET, O.; RISTERUCCI, A. M.; BROTTIER, P.; ABOULADZE, M.; DELETREZ, C.; COURTOIS, B.; CLEMENT, D.; LARMANDE, P.; N'GORAN, J. A. K.; LANAUD, C. A new cacao linkage map based on codominant markers: development and integration of 201 new microsatellite markers. **Theoretical and Applied Genetics**, v. 108, n. 6, p. 1151–61, 2004.

SETHY, N. K.; SHOKEEN, B.; EDWARDS, K. J.; BAHATIA, S. Development of microsatellite markers and analysis of intraspecific genetic variability in chickpea (*Cicer arietinum* L.). **Theoretical and Applied Genetics**, v. 112, n. 8, p. 1416–1428, 2006.

SIMIC, D.; LEDENCAR, T.; JAMBROVIC, A.; ZDUNIC, Z.; BRKIC, J.; BRKIC, A.; MLADENOVIC-DRINIC, S.; BRKIC, I. SNP and SSR marker analysis and mapping of a maize population. **Genetika**, v. 41, n. 3, p. 237–246, 2009.

SOUZA, J.; MELETTI, L. **Maracujá: Espécies, Variedades, Cultivo**. Piracicaba, Brasil: Fealq, 1997.

SYMONDS, V. V.; LLOYD, A. M. An Analysis of Microsatellite Loci in *Arabidopsis thaliana*: Mutational Dynamics and Application. **Genetics**, v. 165, n. 3, p. 1475–1488, 2003.

TACHIDA, H.; IIZUKA, M. Persistence of repeated sequences that evolve by replication slippage. **Genetics**, v. 131, n. 2, p. 471–478, 1992.

VANDERPLANK, J. **Passion flowers**. Cambridge: The MIT Press, 2000.

VOUILAMOZ, J.; MAIGRE, D.; MEREDITH, C. P. Microsatellite analysis of ancient alpine grape cultivars: Pedigree reconstruction of *Vitis vinifera* L. “Cornalin du

Valais". **Theoretical and Applied Genetics**, v. 107, n. 3, p. 448–454, 2003.

WEBER, J. L.; WONG, C. Mutation of human short tandem repeats. **Human Molecular Genetics**, v. 2, n. 8, p. 1123–8, 1993.

WEISSENBACH, J.; GYAPAY, G; DIB, C.; VIGNAL, A.; MORISSETTE, J.; MILLASSEU, P.; VAYSSEIX, G.; LATHROP, M. A second-generation linkage map of the human genome. **Nature**, v. 359, p. 794–801, 1992.

YAMAMOTO, T.; MOCHIDA, K.; IMAII, T.; HAJII, T.; YAEGAKII, H.; MATSUTAI, N.; HAYASHIT, T. Parentage Analysis in Japanese Peaches using SSR Markers. **Breeding Science**, v. 53, p. 35–40, 2003.

ZERAIK, M. L.; PEREIRA, C. A. M.; ZUIN, V. G.; Maracujá: Um alimento funcional? **Revista Brasileira de Farmacognosia**, v. 20, p. 459–471, 2010.

ANEXO

Frequências alélicas dos 18 locos testados em 22 acessos do gênero *Passiflora* (A: alelo, F: frequência alélica)

Loco	A	F	Loco	A	F	Loco	A	F
BrPe0001	144	0,050	BrPe0002	171	0,026	BrPe0003	275	0,046
	146	0,025		175	0,026		277	0,046
	154	0,075		179	0,211		279	0,091
	156	0,500		181	0,474		285	0,114
	158	0,300		183	0,105		287	0,273
	162	0,025		187	0,158		289	0,364
	164	0,025					291	0,046
							293	0,023
Loco	A	F	Loco	A	F	Loco	A	F
BrPe0006	188	0,205	BrPe0010	190	0,046	BrPe0014	214	0,182
	192	0,023		192	0,023		216	0,546
	194	0,068		196	0,046		218	0,068
	196	0,318		198	0,023		220	0,046
	198	0,114		200	0,341		224	0,136
	200	0,182		202	0,364		226	0,023
	202	0,091		204	0,159			
Loco	A	F	Loco	A	F	Loco	A	F
BrPe0021	152	0,056	BrPe0024	221	0,175	BrPe0028	89	0,048
	158	0,111		223	0,075		99	0,048
	162	0,222		229	0,125		101	0,238
	164	0,611		231	0,325		103	0,167
				233	0,300		105	0,381
				233	0,308		107	0,071
							109	0,048
Loco	A	F	Loco	A	F	Loco	A	F
BrPe0031	135	0,095	BrPe0032	135	0,023	BrPe0033	235	0,046
	137	0,048		137	0,068		237	0,068
	143	0,024		139	0,046		241	0,091
	147	0,143		145	0,023		243	0,227
	149	0,310		147	0,114		245	0,318
	151	0,333		149	0,591		249	0,046
	153	0,048		151	0,046		251	0,182
				153	0,091		263	0,023

Loco	A	F	Loco	A	F	Loco	A	F
BrPe0034	217	0,125	BrPe0036	196	0,114	BrPe0038	154	0,023
	219	0,125		198	0,273		156	0,318
	223	0,094		200	0,182		158	0,432
	229	0,156		202	0,296		168	0,023
	231	0,406		204	0,136		178	0,091
	235	0,031					180	0,114
	237	0,031						
	247	0,031						
Loco	A	F	Loco	A	F	Loco	A	F
BrPe0042	134	0,023	BrPe0043	194	0,063	BrPe3011	157	0,205
	140	0,023		196	0,031		159	0,250
	142	0,023		200	0,188		163	0,296
	150	0,046		202	0,219		165	0,250
	152	0,068		204	0,063			
	154	0,296		206	0,031			
	156	0,296		210	0,063			
	160	0,023		212	0,031			
	162	0,136		222	0,313			
	164	0,023						
	176	0,023						
	180	0,023						

APÉNDICE

Marcadores microssatélites desenhados a partir do sequenciamento parcial e da montagem *de novo* do genoma de *P. edulis*

Nº	Primer	Contig	Motivo	Inicio	Fim	pb	Nº Repet	Score	Sequência do contig	Unidade	G/S	Cobertura	pb	Sequência Forward	T °C Fwd	Sequência Reverse	T °C Rev	% GC Fwd	% GC Rev	P/M
1	BrPe0001	Maracuja_NoIndex_L	2	1881	1908	28	14	26	GCTACAAGCTGTAATCCTTGGAGAATTTCCTTAGCTGTTGAGAGGA TTGTGTTGGTTAAGGAGTTCAATCTAACCTACCCAGTTGGTGGACC TAAACACCTCTAAACCTCTCCAGAACATCACCAAGCATCATCT TCCTCTCCACTCTCTCTCTCTCTCTCTCTGTTCTCTCCCTC CTCTACCATGGAAGGCTGGCTGCTGAATATCCAATAAGC ATATTCTCCTCTTTGTTCTGAAATCTTTCTCGTA TTATTCTAATAATACAATTACTATTATTATTGCAGG	CT	G	18,34	162	GTTGAGAGGATTGTG TTTG	53,84	ATGGTAGAGGAGGA GAGA	53,89	44	41	P
2	BrPe0002	Maracuja_NoIndex_L	2	6549	6572	24	12	22	GCGCAAGGAGAATTGTCAGCAATTGGTTCAATGCCATCTAC CATGGGAGCAATAGTGCATAACCTGCAAAGATGAATTGTATAAA GCCAGATGAAGTGAATAAAAATGAACAGCAAAGCATGACATCTG GAGCTTAAAAGAGAGAGAGAGAGAGAGAGAGAGAGAGAGAGA TATGAAGAACCAATGATAGTGTCAACAATTACTAATACTGAATAA TTATGCTGCCAACAACTATTACACTTGATTGGAGCCCAAG TCCTTAAACGATGCCACTAGTGTGACTTGGCTCAGATATTCA	AG	G	18,49	183	AAAGCCCAGATGAAG TGAA	56,56	GGCTCCAATCAGAA GTGT	56,43	42	50	P
3	BrPe0003	Maracuja_NoIndex_L	2	2214	2235	22	11	20	CAAGAGCCTCCATGCTTCTCCCTAACCCCTTCCCCAAATGCC AACCTCTTGCAATTCAAGAACTCCGCTGTTCAACCACCGTCC TGGATTTCATGCCAGCAGGCTCTCATCAGACGTAGTATCAAC CACCTCGTTCTCTCTCTCTCTCTCTCTCTCTCTCTCTCT TTTACTCTTATTCAACACATGAGATGGATGGTCAGTATCTTG GGCGTTGAGTGAAGAGAGCTAGTCTAAAGTGTCTATTGTT ATGTGATTAGGAGGGCGAAAGAATTAAATTGCTATG	TC	G	20,52	287	CTTCTCTCCCTATAC CC	51,64	CCCTCCATAATCAC ATAAC	51,58	50	42	P
4	BrPe0004	Maracuja_NoIndex_L	2	3256	3277	22	11	20	TCCTCCCTCTCCTCTTGATATAATCCCTCCCCGAATTTC CATTCCCACCTCTCTCCGTGACCGTACACCGACTACCACTGTC ACTCTTATTTCCTCTCTCTCTCTCTCTCTCTCTCTCTCT CTCTCGCTCTCTCTCTCTCTCTCTCTCTCTCTCTCT CCCTCTCATCGCTCCCTCTGTCTCCCATCTTCAGTTCTCA AGTGTAACTCGTCTCCGTGCCATCTCCGCTTTGGCGGAG TCCTCTTGTCTTGTAAATTACTGCTT	CT	G	16,08	192	TCTCTCTCTATTCC CACC	55,34	AACAAAGAAGAACT CGCC	54,77	50	44	NA
5	BrPe0005	Maracuja_NoIndex_L	2	1950	1969	20	10	18	ATTAATTCTTCTCTCTCTCTCAAACCTCTCGTGTGCTGCAC TCTACAAGTCCTCTCTCGTATCAGAACAGAACAGAACAG CACCATGAGAGCACGCGCAGGAACCTGAGAGTGGGTGGATGAAGAA GAAGCACAGTAGAGAGAGAGAGAGAGAGAGTGTGCGTGTGCTT GTGGTGGTAAGTGTAAATGAAGCCTGAGGGGGTCTGTGATTATT T	AG	G	11,35	192	CCTCTCTCTCTCAA C	50,36	CATTACACTTACC ACC	50,35	41	44	NA

G: genoma funcional

S: genoma estrutural

P: polimórfico

M: monomórfico

APÉNDICE

Marcadores microssatélites desenhados a partir do sequenciamento parcial e da montagem *de novo* do genoma de *P. edulis*

Nº	Primer	Contig	Motivo	Inicio	Fim	pb	Nº Repet	Score	Sequência do contig	Unidade	G/S	Cobertura	pb	Sequência Forward	T °C Fwd	Sequência Reverse	T °C Rev	% GC Fwd	% GC Rev	P/M
6	BrPe0006	Maracuja_NoIndex_L	2	1512	1531	20	10	18	AACCCATTCTTTAAGCTTGAGATGAGCCCAGATAGGGAAAATCC ACAAGGAAAAGAACAGCCTCAGAGATAAGTAGAGTAGATACCGA AAAGGGTCAATTAACTACTGGATTAAATATCTGAAGAGCATCGGC CATCTACGTCTCTCTCTCTCTCTCTCTCAATTCTGAGA GTCAGAAGCTAGTAGTATATAGCGAATGCCGTATTTCTTGACT GATTGAGAGCGATGCCAACCGAGGATTTAGACGAGATATGG GTCGGCTGGTCGAGAATGCGGAGCTATGACTGGGATTA	TC	G	13,3	196	AAGGAAAAGAACAG CCTCA	55,14	CGCTCTCAAATCAG TCAAA	55,18	42	42	P
7	BrPe0007	Maracuja_NoIndex_L	2	11920	11937	18	9	16	CTTTAAGGATCTTAGGTTTGATTGATCCATTCCATATGGATTGA CAATGCCACTCTCTTTGACATCAGATTCTCATAAACCTGTAAAT GGAAATACTCAGTATAACAATTGAGAGCAAGGACAGGGCATATA TATATACAGAGAGAGAGAGAGAGAGCAAGACACTGTGTTACA AGAACCGGGACGTTCTATGGCACTAGATGTCAGAAAAGGGCGTTC TGAAACATTCAAACATAACAGAAAAGCGAACGAGACCTGT GACCAACCCCCAACAGCTCGGAATAGTCCTATGGAAA	AG	S	18,69	183	AAAGCCCAGATGAAG TGAA	56,56	GGCTCCAATCAGAA GTGT	56,43	42	50	P
8	BrPe0008	Maracuja_NoIndex_L	2	2100	2117	18	9	16	GCCTTTTCAGCCTCACTCTTATAGTTCTGGCTTGACACCTGG AACCTTCCCTGGTGTGAGTGGCACATGACCATGCCACCAGCCA GCCAACCTTGGGAAAAACTCTTCCTCTTGTAAAGAAAATTA TGTGTGAGAGAGAGAGAGAGAGAGAGTTGAGAGCTTTGTGAG CTTGAGTGTGTTTGACCTTGAGACTTGCTAGAGCTGAGATTG GAGTGGTAGGAGAGTAACCTAACGCTCGTGTGAGTGTGGTGG GTAGTGCATGCATGTTTATGTTTATCATTTGATT	AG	G	22,55	278	TTTCAGCCTCCACTC TT	54,88	TACACCACCAACAC TCAC	54,89	44	50	P
9	BrPe0009	Maracuja_NoIndex_L	2	4237	4254	18	9	16	ATTGCTGAGTTCTGCTCTTCAGCAATCAAGAAGGATCTGCTTT GATTGGGGAGCTAGAACGCAATTGACTCAAGGAGTTAAGA TTAGGAATGATGAAGCCAAAGCACGTATGATCCCTCTCTCC TTCTCTCCCTCTCTCTCTCTACTCATTCTGTTCTGACG TTGACAAGTATAACCAACTCTCCAAAGCAAAGGGTGTGAAAGGT TTGAATATGCTGATGAGGGTACAACAGAGAGGGGGTACCATTT CAATACAGTAATCATGCTGAGCATCAGAATTGAAT	CT	G	17,89	113	CTCTCCTCTCTCT TC	54,05	TTCAAACCTTCAC ACCC	53,39	56	44	M
10	BrPe0010	Maracuja_NoIndex_L	2	1693	1710	18	9	16	ACAAAAACCCAGAACATTACGGCTGGAACAGCGAGTGTACCAAG CTAGTATAAGAAGAAAAAGGGCTGTATGAAAGATAGATACTCC TTGTCTACATCTGTGACGAAATGATTCTCTCAAGGAAAAGA GCTCCTATCGATCTCTCTCTCTCCATTCAATGCCGTTTTCT TTCTTCTCTTTGTTGATCTGTAGCTTTAACAGTGTGTC TGATCTTCTCTAACCTAACATGTCCTGAAAGGGATAGTA TGTGTTTATCCTCTCTATGTTTATCTCCC	TC	G	15,3	204	GAAGAAAAAGGGCT TG	51,56	GTTAGGGTTGGAG GA	51,06	41	50	P

G: genoma funcional

S: genoma estructural

P: polimórfico

M: monomórfico

APÉNDICE

Marcadores microssatélites desenhados a partir do sequenciamento parcial e da montagem *de novo* do genoma de *P. edulis*

Nº	Primer	Contig	Motivo	Inicio	Fim	pb	Nº Repet	Score	Sequência do contig	Unidade	G/S	Cobertura	pb	Sequência Forward	T °C Fwd	Sequência Reverse	T °C Rev	% GC Fwd	% GC Rev	P/M
11	BrPe0011	Maracuja_NoIndex_L	2	1767	1782	16	8	14	TTATGTAACCCACTACATGTCGTATTGCGAGGATAACCCCTTCTTATT CGACTACAATGTCGAGAAATCGAGATTAATGATTTGTTAATGCAGCTA TGATCCAAGTAAACTCTGAGATCAACTGTTACTCCCTCATTTTT CTGATTCCCTCTCTCTCTCTGTGCTTAAATCTGGTTCTGGGG ATGTTAAGAAGACAACATCAAAACTTTGGAAAGAATCTATATGC AAATGACGCTGCTCTTACAGTAATGTGACAAGGACAAACC ATGTGATGTGGACCATGGGTATGTTCAAGTA	CT	G	16,92	79	GTTCTACTCCCTCATT	49,2	CTTCTTAACATCCCC A	49,24	44	44	P
12	BrPe0012	Maracuja_NoIndex_L	2	1717	1732	16	8	14	TCAACGGAAAGAAGGCCACTGAGAACATGCATTCTTGAGGCCAGTCC CAAGAACATGACATCATACTCCTCATCCATGGCTTACGTACAGTG ATGAGAGAGAACCCAAGGTTGAAGAGATCAGTTGATCGGTGGAG AAAGTGTGACAGAGAGAGAGAGAGAGGGATGGAGAGGAATG GACAGAGTCAGGATTTATGTTCTGTGAGCTGTGGAGCAGGTCT TTAGCGGGGGCTAAGTAAACGATAAAACGAGCACAACACAGA CTAATTGCCATATACCATTCTAAACGATGAACGTAATTGTA	AG	G	16,72	222	ACATCATACTCCTCA TCC	52,42	TTAGTCTGTGTTGTG CTC	52,67	44	44	P
13	BrPe0013	Maracuja_NoIndex_L	2	2068	2083	16	8	14	TAAAAAAACCAAACCTTGAGGCGTCCAAAGGCAACATTTTAAAT GCTTTGGCTCTGTGAGGTGAGGTACTGATCATTACTCGTGTGAGA AAATGCACAGAACATCCAGAACATCTCCATCATACAAGTTATTATG CATGCAGGTGAGAGAGAGAGAGAGAGTGTGAGCTCACGATCA TCAACAAAATTCTGAGGGCTACCCGATTCTCATTAAAGGCAA CCCAGATTGGATTGTTCTCTCACACAAGGATATGTAATCTA TTTATGGACAATAAAATTGATGTTGATTTGA	AG	G	12,69	174	GATCGAGGTGAGGTA CTG	56,1	GGTTGGCTTAATG GAGG	55,62	56	47	P
14	BrPe0014	Maracuja_NoIndex_L	2	2151	2164	14	7	12	ACAATCGATAGATGAGACATCAAATGGCTGGGAAACAGTAAC CATACAAACAGGGAAATCTACAAGGAAACAATCCATTCTATGAC ACATCCAATTGATGAGGTGTTAATCAATTCTCATCAGATCATGTT TTCATGAAAAAGAGAGAGAGAGAGGGAGACAAAGGTAATCAA AGATACCACATCATAAGTTCATGTTACATAATATAAAAGGTCC AAAGACAGGAAACTCTAAAAGCATCTCAAAACTAAACAC AAAGCCAGAAGAATCATAACTGAGAAAATTGTTCATC	AG	G	16,3	220	AATATGGCTGGGAA AAC	54,76	TTCCTGTCTTGGAC CTT	54,96	44	44	P
15	BrPe0015	Maracuja_NoIndex_L	2	2273	2286	14	7	12	AAACCTGGAAACTCCATTCTGAGGAAACCCATCTCAGT CAGATTCTGAGGGAAATGCAAACAGGCTTACCATGAGTTGGAG GGAAGAGAAAACCAAGTGTCCAGAAACCAAAGGCCACGTCAA AGAAAACCAAAAAAGAGAGAGAGAGAGGCCAGAACAGAAAAAGC AAACAAAAGAGGCTCAAGGAAAGAAGTGCATTATTAGGAAACG GGACGTATATGACCTACTACGCTCGTGTATGAAATGCGAAC CAACGAACAAACAGCATGAGTCCAGGAGCAAAGCCCTACGGG	AG	G	16,44	203	AAGTTGGAGGGAAAGA G	51,93	CTGTTGTCGTTGGT T	51,76	50	44	M

G: genoma funcional

S: genoma estructural

P: polimórfico

M: monomórfico

APÉNDICE

Marcadores microssatélites desenhados a partir do sequenciamento parcial e da montagem *de novo* do genoma de *P. edulis*

Nº	Primer	Contig	Motivo	Inicio	Fim	pb	Nº Repet	Score	Sequência do contig	Unidade	G/S	Cobertura	pb	Sequência Forward	T °C Fwd	Sequência Reverse	T °C Rev	% GC Fwd	% GC Rev	P/M
16	BrPe0016	Maracuja_NoIndex_L	2	2784	2797	14	7	12	AAATAAAGGCAGAGAAAAGGTAAAATGGTTGGTGGGTCTTGTGAGTA TGTGGAAAGTGGAGAGGGACAGAGACAGAGAGAGAGGGACCTTC AAAAACCTGGAAAGGAAGCTTGTGCAATGGAGGAAACCACAGT GAGGAAAACAAAAGAGAGAGAGAGAGAGCAGTCAGGGAAAGCAA GAATTAAGTGCACGGATAGGCCAGGACTCATACTATGTAAGTA AAGAAAACACACATAATGAGAACCAACATAAAGCAAGCACAAA AAACTGGACACAGAGAGAGAGAGAGAGAGAGAGAGTCGTA	AG	G	16,99	284	TGGTTGGTGGGTCTT	56,29	CTCTTCCTCTCTCT	56,47	53	48	P
		003_R1_00							GT					CTCTCT						
		1_contig_1																		
		4816																		
17	BrPe0017	Maracuja_NoIndex_L	2	1170	1183	14	7	12	CCAACAACTCAGTCGATTGAGAGCGAAACTAGCATTGATCTGC AACGGATGCTCCCATTTATAGCAGGACACGAACTGAGTATTGTCT CTCGGTTCTCTTGATAGCTATAAAGAGGAACATATAGAGAGA AAGAGATATAGAGAGAGAGAGAGAGGGGGTTTGTGTTGGAGA GTGAAACCCAGATGGCTATCCAGATAGAGAATCTAGTGCAGTCCAT TAAATCGAAGGTTAGACCCCTGAAGAAGTCGAAGAACCGTACATC AAAATGGACAAGAGTGCAGCGTCAAGTCGAGATCC	AG	G	15,07	94	TTGTCCTCGGTTCTC	52,47	CAAACACAAAACCC CC	52,44	47	50	P
		003_R1_00							T											
		1_contig_1																		
		8007																		
18	BrPe0018	Maracuja_NoIndex_L	2	3884	3897	14	7	12	CCTCGAACACATCTTTCTATGCAGTAAAGCCTATGACTCTTT GGTGCAGAACATCTGCTGCTGGTGTGTTGCTTGCCTTGCCATCGAA ATTGCATCTGGAAAAAAATCACTTGTCTCTCTCTCTCTCCGAACCTC ACTCACTAACTCTCTCTCTCTCTCTCCCTCCATAATAAAAGAT TGAAACTTCATGTGATCCTCTCTCTCTCTCTCTCTCTCTCTCT CCAATGAGATGACATAGATGAGAGACAAAGTGTGTTGAGTCACAT TACTTTGATTCGCTGCCACCTCTCTCTCTCTCTCTCTCTCTCTCTCT	CT	G	17,3	150	TCCTTCCTTCCTCC	51,16	ACACTTGCTCTCAT CT	51,47	56	41	P
		003_R1_00																		
		1_contig_2																		
		5472																		
19	BrPe0019	Maracuja_NoIndex_L	2	3671	3684	14	7	12	GAACAAACGGGCCAAATGAGAACCAATTAAAGAGAGAGATGGA TGCTTACCTCTCTGCCACAAGGTGACTGAAAAAACGGCATCACAGT TTAGTAACCTCCCTCTCACGTACCATGTTGTCTCACCTAACACT CTCTCCCTCTCTCTCTCTCTCTCTCTCTCTCTCTCTCTCTCTCT CCTTGCTTCTCTCCATGCATCAGCACATTGACTCTCTCTCTCT CTTTTGCTTGTGTTGACTGTTAGTGTGCTTTGGCCTCC TTTCGAAAATTCACTGCTGAGTCTG	TC	G	17,47	212	AAAGAGAAGGATGG ATG	50,59	AAAAAGGACGAGG AAGA	51,08	41	41	P
		003_R1_00																		
		1_contig_2																		
		9060																		
20	BrPe0020	Maracuja_NoIndex_L	2	6276	6289	14	7	12	CGGACGAATAAGCATCAGGTAGATGAGGTGACATCAAAGGACCT ACATAGGAACCTTTTGCTTACAATCCAGATATCCACGGTGGTGA TGGGGCTGTACCAATGCATGGTCACGGCAGTAATGTGACGACCA CCATTAGTGGAGTGTGTGTGTATTCAAAGCTGAAACCAAATT GGAGCAGTATTAAAGTGGAGGAAAACAACAGATATAAATTGGA TTGCAGAGTGGCTCAGAACAGCTGACTGTCTGAAGTGTGACTGGAG GGCAAATGTCCTGCCGTCAAATCTATCTAAGTCCT	GT	G	16,19	300	TAAAGCATCAGGTCA G	48,17	TAGATAGATTGAC GGG	48,99	44	41	P
		003_R1_00																		
		1_contig_4																		
		0022																		

G: genoma funcional

S: genoma estructural

P: polimórfico

M: monomórfico

APÉNDICE

Marcadores microssatélites desenhados a partir do sequenciamento parcial e da montagem *de novo* do genoma de *P. edulis*

Nº	Primer	Contig	Motivo	Inicio	Fim	pb	Nº Repet	Score	Sequência do contig	Unidade	G/S	Cobertura	pb	Sequência Forward	T °C Fwd	Sequência Reverse	T °C Rev	% GC Fwd	% GC Rev	P/M
21	BrPe0021	Maracuja_NoIndex_L	2	1667	1680	14	7	12	CGAGAGATACTGAGAGAGGCCAGCATGCATCAGTCAGACTTCCTCA TCATTGAAATGGATAAGACGTGCAAGAGCTGGAAAGTGCAGGCCAA CTGTTAGGCATACATAAAGGACAACCTAAAGATTGTGCAACAC AAACTATATATGTATATATATACCAACAAAGATTCTAAAGAA AAATGCAAAAGAGGCATAGCTCTACGAAGGTAATTCTTCCCA TAATTAATTAAGGAGTGCTTAACAGGTAGGCCACAA ACCGGTGATCATATTCTCATCAAAGTTAACACTACA	TA	G	16,28	168	ACTTCCTCATCATTG	50,06	GCTATGCCTTTTTG	49,96	44	44	P
		003_R1_00																		
		1_contig_4																		
		5867																		
22	BrPe0022	Maracuja_NoIndex_L	2	1309	1322	14	7	12	AAGTTAAAAGAATCCCATTAAACATTATTGTTTCAGTTAAATT TCAGAATTGCAATTTCAGCATATATTCTCTCAATTTCATGTGG GCAGAATGTTGGATCTTGTAGATGTCATAAGTGGCATAGAAGT GGAAGGGCTAGAGAGAGAGAGGGACAGATGAGGCCGTAAATT GTTCCAAGATTACCATTTCTCTATTCCCTCACTCCCTTCCA AAAGAAAGCCAACAAAAGCACGAACAGAGGATTCTCCCAAATA TTCCCTGATACTTCTGATAGTGTAGCCCTCTC	AG	G	15,08	103	GGCATAGAAGTGGAA GGG	57,09	GGAAGGGAAAGTGA GGGA	57,09	56	56	P
		003_R1_00																		
		1_contig_5																		
		2201																		
23	BrPe0023	Maracuja_NoIndex_L	2	3993	4006	14	7	12	GGAAAATCCCTCGCATTGTTAACCTATTGTAATCATGTATCCA CGGTGAGATACCACACCAATAGGCCAATAGCACAGGACTGGACA GAACCATAAGAGGCATAATAACCTAGATCTGAAACCTGAGAGC AAGATAACCCCCCTCTCTCTCTCTCTCCACAACCTCAAGCTCT CTAACCGCCATACCAAGCGGGTAGCTCCATGCACAAACACCAG AGCCCTTGACCCCTCTTGTCATGATTAACAGACTCTCATGA GCATGCAACACATAACAAATTACTAAACAAAGTAT	CT	G	16,93	129	AGATACCACACCAA TAG	52,38	TTGGAGTTGGGG GA	51,95	44	50	P
		003_R1_00																		
		1_contig_7																		
		76																		
24	BrPe0024	Maracuja_NoIndex_L	2	1857	1870	14	7	12	CTCGCTGACTATGTTATTGATACTGTCCTGGCTACCCCTTG GCCCTACCTTCTGTTAAACTCGAGCGCAAGCTGATTTGATGG GTGTTATCAATACACCACTGAGCTCTTACACCTATGGTTATGATT GGTCAGATCTCTCTCTCTACTCTCTCTCGTTAGTCTTAA CAGGAGTACAGTAGTCTGATGCAATTGTCAGGGAGAAGAC GATCACCGGGAGCTCATAGGGAGCATGAAGGGAGATAGAGGAGAT GCTTCAGTTCTGCAAGGAAAAGGGATAACCTC	TC	G	14,63	233	CCCTACCTTCTCTG TT	54,82	CATCTCTCTATCTC CTTC	52,22	50	47	P
		003_R1_00																		
		1_contig_8																		
		8799																		
25	BrPe0025	Maracuja_NoIndex_L	2	1683	1694	12	6	10	TGCTCAGGTTCTGGAGACTCTCGGATCTGGGTCAGCTTACCTT GGCTCCCGAAGGTTCAACTTAATCTGGCAGCAAAGAACAG ATTGCAATCAACAAGCATATACTGAGACATGCCAGAACAGAAC AGAAGAAGAAGGGAGAGAGAGAGAAAGAAAGAGACCTGGG ATAGGTACAGCCGGTAGTTGGGGCAGACAGAGGAAGCTCAGGTGG GCTGGCTTGTCTTGTGACCATCCATGTAACGCTAAGGAAAGGT CACAGAGGTTTCGTTGAGGTCGTTGCTGTTGTC	GA	G	17,74	119	CAAGGAACCAGAAC AGAAGAA	56,52	GAAGAACAAAGCCAG CCCA	56,87	41	56	P
		003_R1_00																		
		1_contig_1																		
		0103																		

G: genoma funcional

S: genoma estructural

P: polimórfico

M: monomórfico

APÉNDICE

Marcadores microssatélites desenhados a partir do sequenciamento parcial e da montagem *de novo* do genoma de *P. edulis*

Nº	Primer	Contig	Motivo	Inicio	Fim	pb	Nº Repet	Score	Sequência do contig	Unidade	G/S	Cobertura	pb	Sequência Forward	T °C Fwd	Sequência Reverse	T °C Rev	% GC Fwd	% GC Rev	P/M
26	BrPe0026	Maracuja_NoIndex_L	2	1793	1804	12	6	10	TCCATTGCTCAGAATAGAAAACAGAAAAGAGATAAGGGTTGC AATGCTCTATCACACATTCTATTCGTAGTTCCCTCGTTT TCCTGTAGTGCTACACAACCAAACGGGCATGTTCCCTCCATTGA GAAAGGAAAGAGAGAGAGCGGGCGAAAGAACTAATATCAGAG AAATTGACGGATTCACCCAAAAAAATATGAATACTGACATTG GTGGAAGCATGAAAAGATAACTTACAGCGAATAGAAGATGGATAA ATTGGCAACGCACTGAGAAGCAGAACAAAC	AG	G	19,39	217	CCTTCGTTTTTCCTG	53,16	CTTCTTCAGTCGT	52,29	41	41	M
		003_R1_00												T	TT					
		1_contig_1																		
		1032																		
27	BrPe0027	Maracuja_NoIndex_L	2	1635	1646	12	6	10	TACATATCTGATTTACGACCAGTGTGCTCGGAAAGAATCACTTG TGCAGAGTGAGAATCACTGGTGTCTGGAAATAGGATGGCTCATTATA CATATAGCACGAGCAACTTCCAATCTCACCTGTTGCATTAG ACCATATATGTATATATATAGCTGTATGATCATTTCAGCATATC AATTCTATGTCAAAGGGTTTACTAGTTGATAGAAGTTACTTTGTCT GGCAAATATGATGGATCGCAGACAACCTTCTGCATTGGCGTTTC TCCTTCAGAGGTCACACCGATGGCCTTCCA	TA	G	17,17	103	TCCAATCTCTCAACC	049	CAAACAGTAGAAACC CC	49,12	44	44	P
		003_R1_00																		
		1_contig_1																		
		21386																		
28	BrPe0028	Maracuja_NoIndex_L	2	1325	1336	12	6	10	TACGCTTCGCTCACACACTACCAGAACAAAACAACAGCACCC TCATGACCCAAGTGTATTTCCTCTGCCCAACAGCATTGGG AGCTACCTTATCTGAGCAATATCCAAGAACAAAAGGAACAGGGAA GATACGGTGCTATATATATAATATGATGGCTTAGATGAGC CCTCAACAAGAAAATGCAAGTATATCTCTCTCTCTCTGT CGGTTTCACTGTTGACTCTCGCAAGAAAATGCAATGTTATTGT TTGAGGCCAAAGCCAAGTATATAAGCAGT	TA	G	14,16	107	CAAAGGAACAGGG AAGA	53,67	GAAAGAGAGAAAG ACAGAGA	53,42	44	40	P
		003_R1_00																		
		1_contig_1																		
		65927																		
29	BrPe0029	Maracuja_NoIndex_L	2	5660	5671	12	6	10	ATTCTTATTTTATGGTTGGAAATTTCGATCGAAAACATGT CGGTAGAACCTCTACTGAGAATATCAGTATGGTGGAGTCGACC CGAGACTTGAATAAAATAAAATGAATATGATTCGAATTAAATT CCATCCTTACTCTCTCTCTCTGCACCCCTCTCCCGTCG ATTCTCTCATCGGATTCACTCCCTCCCTCTGAACCCCTT CTTCTCTCCCCCTCTCTCTCTCTCTCTCTCTCTCTCTCT	CT	G	17,88	187	ATATCAGTATGGTCG GAGT	54,82	AGAGAAGGGAAAG GAGAA	54,85	42	50	M
		003_R1_00																		
		1_contig_1																		
		885																		
30	BrPe0030	Maracuja_NoIndex_L	2	2640	2651	12	6	10	ACCTGTTGTATGGTTGATATTCTAGGGCTGTGCAGTGGGCCA TGTCCCTCATGTGCCTGCATGTGCTGTCTTCCCGAGAGGCCA CCTCTTGCTTCCCAGAGCAAATAATGGCAGGCACATTCTCTCT CTTCATTCTGCTCTCTCTCAACTGATCTAAGATTCTAAACACT TTCTTGATCTGCGGAAGACTTTGAACTACTGCACTCTGCAGCT TGTCTTGTAAATTCTCATCAGGATATGTTCTTACTACATTACT AATTCACTGTTTGCCTGCAATGATT	TC	G	14,58	91	GCACATTCTCTCTC TTCA	54,75	AGTTCAAAGTCTC CGCA	55,21	40	44	M
		003_R1_00																		
		1_contig_7																		
		592																		

G: genoma funcional

S: genoma estructural

P: polimórfico

M: monomórfico

APÉNDICE

Marcadores microssatélites desenhados a partir do sequenciamento parcial e da montagem *de novo* do genoma de *P. edulis*

Nº	Primer	Contig	Motivo	Inicio	Fim	pb	Nº Repet	Score	Sequência do contig	Unidade	G/S	Cobertura	pb	Sequência Forward	T °C Fwd	Sequência Reverse	T °C Rev	% GC Fwd	% GC Rev	P/M
31	BrPe0031	Maracuja_NoIndex_L	2	3664	3681	18	9	16	AGTATTTGGTACACTGACAACATCCTGGGTGAGTCCTAGCATTT GATTGGATTTGACGATTTATGGTATTAGAGGTGGTGGGTT GTGTTAGTAGTAAATTATCGGAATTAGAATTGGTTGAAGATA AAAATAAATTATATATATATATAAAAGGATGTACAGTCAA AGACCAAGTATAGAGAGTCGCCGATAACCTTTGGGAGTTGAAT GTTCTAGTTACTCCAAACTAATTCAAAGTAATCATTTGATGTTGT GACTTTGAGAACTAATGGGATTCACCTAACTAATGAG	TA	G	22,84	152	AGGTCGGTGGGTGTG TTTAG	59,9	CATTCAACTCCCCA AAAGGT	58,9	55	45	P
32	BrPe0032	Maracuja_NoIndex_L	2	1940	1965	26	13	24	TTCGATTGATTCAACCTAACACACCTCTTATCTCTTAA GTTTAATTATCTTATAGACAGCTGATTGACAATGACCAATGTTGT CCATCAGGAGTGGTAGAGACAATAATTGGAAAAAGAAATCCT GAATCAGTCAATATATATATATATATATTGTACGTC GAAGCTACTTGCTCTAGTTGATTTGACAAGGTGCTCAGCTCT CCTTCTCCAAGCAAGCAGTGACCATGGAAGTG	AT	G	20,44	156	TTGCACAATGACCAA TGTGT	59,9	CTGAGCACCTGTC AAAATACA	58	38	41	P
33	BrPe0033	Maracuja_NoIndex_L	2	691	706	16	8	14	TTTGGTCTTTGGAACCTTGTACATATCTCACATAAGAACATG TTTGATGCCATGAGAGACTGGGAGATAGAGCAATAACTCAGCAT CTGGATCTGTTAACGTTAATTGTTATAAGACATATACGAAAGCTG AGTTAGTAGATATATATATATCACTGTAATTAAAGCTTTA TTCAAGAACAAATGTATCAACACAAATAAAAAGAGAGATA GTATAATGAGCATGGTAAATTACCTGGTGTCTGGTAAATTCT CTTCTTTGGCAACGGATTGCTGTATGTTAG	AT	G	18,35	244	GCCATGAGAGACTTG GGAGA	60,3	CGGTTGCCAAAAAG AAGAGA	60,4	55	45	P
34	BrPe0034	Maracuja_NoIndex_L	2	1319	1348	30	15	28	CATTGCTACAAAGCTGGAGCCATATGGATTAACAAACACCTGTGG TGAAAATGGAACCCACAATATCTACCAAGCAAGGGTGTGTTCC CCTCCTTTTGCTCTTAAATGAAAGATTGCTTGGCCTTCAG ATATTAACCTCTCTCTCTCTCTCTCTCTCTTACCATGAA GAATACACTCTTGAATATGTTGACTAAGTCGGAAAATTGAGAAA CCAACATAAGCAGCAATGTCAGTCAGGGCTCAGCATTGATA ACAATTGACAGTGTGTGAAAGCAGAGCTCGAAACTCCATCTGAT	CT	S	17,2	230	CCTGTGGTAAAATG GAACC	60,2	GAGCCCTGGACTGA CACATT	60,1	50	55	P
35	BrPe0035	Maracuja_NoIndex_L	2	838	849	12	6	10	TCAGGGGAAAGTGAATGGAGCCATGGGGCAATTGAGAACATGCGCAT CAAGAACAAAGAACAGTACAAGCCAACGCTGTTATAAAAGGAG ATTATGTCCTCACGATGAAGGGTTATTTGGGCTGGATGGTGGC ACCACATCCACTGTGTGTGTCATCCTTCTCCCTCCTCACT ACCCACCTCCCCGATCTCTCCCGTTAGTCGTGCTGGTGGT TGTTCAATACAATAGCGTTGGAGGTACAGCGACCATCACAC TCTTTGTGTTGATCCTGATTGGTGT	TG	G	17,1	172	AGGGGTTATTTGGG TCTGG	60,0	GAGTGGTGTGGTC GCTGTA	59,7	50	55	M

G: genoma funcional

S: genoma estructural

P: polimórfico

M: monomórfico

APÉNDICE

Marcadores microssatélites desenhados a partir do sequenciamento parcial e da montagem *de novo* do genoma de *P. edulis*

Nº	Primer	Contig	Motivo	Inicio	Fim	pb	Nº Repet	Score	Sequência do contig	Unidade	G/S	Cobertura	pb	Sequência Forward	T °C Fwd	Sequência Reverse	T °C Rev	% GC Fwd	% GC Rev	P/M
36	BrPe0036	Maracuja_NoIndex_L	2	1713	1724	12	6	10	TTGGCTTACCGAATATCATTTAGCTTATTGAAATTGTATTT TATTTCATGGATTCTCTCTCGCCAATTTTGAAATTGGTCTC GGACCTTAAACCGAGAAATTGAAAATTGAAAATTATCATTCTCA GGCTTCATCTCTCTCATCCAATTTAAATTGACATATTCCCT CCAAACTCAACCAATTAAAGAATTCTTACATAGAACATATCTC TTTGTATCGCTCTTCAACTAGACTCGCGTATCTGTC TTGGTGTGGTGGAGTATTTTTAT	TC	S	19,1	202	TCGGACCTTAAACC GAGAA	59,7	CAGCACCAAAATT GACGAG	59,3	45	45	P
37	BrPe0037	Maracuja_NoIndex_L	2	2106	2117	12	6	10	CCGGAAGAATTAAATCATGATTCTAATGGTGACACATGTTGT CATTATTTAAAGAGACATAGAAGGTTCTGATAATGCAGCGAAAGAG CTTAAAAAAAGGAAGCATGATCTTCTACATGATCACTAATTCTGC AAAGTCATGTCGTGAGACAGACATGCAAATTCTCCC CTTGTCTAATAGAAAAGTAGACAAGATTGCTCTCATGATCAATG TGGCTACGAGCGCATTCTTGGAACGGCTTAATTACCCAA GTTGCAGAGCAAATGGAGTGTGATCTTATT	TG	S	16,55	230	TGATAATGCAGCGAA AGAGC	59,2	TCACACTCCATTGC TCTGC	60	45	50	P
38	BrPe0038	Maracuja_NoIndex_L	2	6095	6106	12	6	10	TTATCTAATTGAAAGGAATTCTCTTGTATATTGATATTAC CATTAATCATTTGATACCTCTAAATCATATTGAAATATGATAT CCATTATCTAAAGTTCTCTAAATATCGTATATTCAACTTTCG TGTGTGATATATATATTGTTGATGTC AGAATTACAAGCCACAACTCCAAAACAAGAAAACGTGAACCACT GTTTTGAAAACATCAAGCTCTGGAAAATTCAAGTTCATCCTTCAA GCAACACAGCATGTTATGTTGTTG	AT	S	16,1	162	TTTCAACTTTCTGT GTGC	57,4	TGTTGTTGCTGGAA GGATG	59,7	40	45	P
39	BrPe0039	Maracuja_NoIndex_L	2	1362	1373	12	6	10	GTAAAGATCTCTGGTTTCATTCTCCAATTGTTCCCACGCATTG GTCCCTACTTCTGTTGATATATGCAAGTGTGATCGGCTGCTCAC TGTGAATGTC GCAGAGATATATATATGCAATATCGCTCATACAGAGCCAT GCTTCCTGCAAGGACATCAGAGTACATAATAATTGCAATGCAGG CTCTGACGGTTGCTACGTAATTCTACTGTGACGGGGCTAGGTT TTGAAGATACTATACCGCATGCTTTACA	AT	S	20,23	198	GCTGCTCCACTGTGA ATGTC	59,4	AACCTAGCCCCGTC ACAGTA	59,6	55	55	P
40	BrPe0040	Maracuja_NoIndex_L	2	5670	5681	12	6	10	CAGATGAAAGAGAAGTACAATCAGATGCCCATCCACTGAG AAAAACAAATTGATCACTAATTACACAAAATAACATTCTGCA CAAAATGTTCTGAAACAAAAGATTGAATATTGAGAATTAAAG AAAAGTTGTTGATATATACATAGTAGTGGATAATGGGT CATGAATCATCTACTTGTGTAACACCATATGTCAGTATAGATTCT CCATGCAAAGCACACCGTAATTATAAGGAGAAAACGGGATACAA AAATCACAACGATCGAGTTGAACAATATGCAAC	TA	S	17,12	229	GCCCCATCCATCAAC TGTAG	60,3	TTACGGTGTGCTT TGCAT	60,2	55	45	M

G: genoma funcional

S: genoma estructural

P: polimórfico

M: monomórfico

APÉNDICE

Marcadores microssatélites desenhados a partir do sequenciamento parcial e da montagem *de novo* do genoma de *P. edulis*

Nº	Primer	Contig	Motivo	Inicio	Fim	pb	Nº Repet	Score	Sequência do contig	Unidade	G/S	Cobertura	pb	Sequência Forward	T °C Fwd	Sequência Reverse	T °C Rev	% GC Fwd	% GC Rev	P/M
41	BrPe0041	Maracuja_NoIndex_L	2	2068	2079	12	6	10	ACTTTCAAAATGTTGGATGCTGAACATACCATCATTCTCGCG TACAGACCATCAAATTATAGCAGCTGAAGATCAATAGATCATTG ATTCTTTATCTGTGCATCTTACCCCTTCTGIAACATATCCC AAGAACAAAGAGAGAGAGCGGACCAGAACAGCATAGATGAA AAGAAATGCTGACAGCTATAGATATTGACATGGAGGAAATATGGT TGGACTTAAAGCAGTGTGGGGCAAGAAAGTTGAGTGAAAAG GAAAGGTCTGCTTGGATGAGGGTAGAGGGTCA	AG	S	14,57	194	CGCGTACCAAGACCAT CAAAT CCTCCA	60,9	GTCCAACCATATTTC	59,6	50	50	M
42	BrPe0042	Maracuja_NoIndex_L	2	951	966	16	8	14	TGTGTTCTATGTTACTCGCATCGGTATTCGGTCAAACCTTATCAACA GGAATCAGTGTAAATCGCTTCTATCCGAAGTTTAATTAAATT ATTATAGTCTCTCACACATGCATTGTTCTTGAAGGTTACA TCATACGGATATATATATATATCTACATGTCTACAGGTTAAA GCCGAGGAAGGCTAGAGATGGGAGAGCCAACCAGCTGTATATGC ATTAGCAAGTACTGCACCTTTTCCCAGCATCGATGGAAACCCCT TTTGTGTGCTACCATGTATGATATGACTGAACA	AT	S	20,92	157	CATGCATTCTTGT TTTCTTG	59,5	GATGCTGGGAAAAA GAGTGC	59,8	30	50	P
43	BrPe0043	Maracuja_NoIndex_L	2	655	670	16	8	14	AATCATGTTTACTTATCTAAATAAAATATTATCATGGTC ATCATATTCTAACATGGAAAAATTATAATTATTACATACATGGATGT CAAATCGATACTGAATTAAATTTATAAAATAAAATAATTATCAT ATTGGTATAATATATATATATATCCGGTAAAGTATATGAAGC ACGTGAGTACTGGCCTACTAGGGTATTAGTACATGTGAATTCTAT AATAAAAGGTGACAACCGTAATGAGGTTGAATTTCCTGGTCCGC TTGTGCTGATGCTTGAACATTGACTTCCAGGTTC	AT	S	15,05	202	TCATACATGGATGTC AAATCGATAC	60,0	GCGGACCAAGAAAA TTCAA	60,1	36	40	P
44	BrPe0044	Maracuja_NoIndex_L	2	637	648	12	6	10	CAACTGTAATGCAACAAAGTATACCTGAGGAGCTAACAGAGACCAT TGCAAACAAACAGCAAAAGAAGAGGGTAGCCTCATGGTTAATGT TTCAGGATTGAAACGATTATGCCACTGTGTATAGAGATGTAAGT AAGCTTTATGTATATATACATCCAGAGAGGGATATTAGAC AAAATCCACCAACATCGGTGGTCCATATAGTGCCAAAGAAAG ATTGCAAGTGGGCTTACTTCATCATGCACTACCTCTACAAAT CTGGAAACCCGTGCGGGTTTAGTCTTTT	TA	S	15,74	223	GGACGCTAACAGAC CATTG	59,7	TAAAAGCCCCACTT GCAATC	60,1	55	45	P
45	BrPe0045	Maracuja_NoIndex_L	2	5675	5690	16	8	14	ATGAATTGTGCTATCCGCTTCACTTACCAAGCTTCCGGACCTCA AACAAATTGGTCCCTGTGAGAGATTCACTAGTGGTGCAGAACTATG ACGAAGATTAGAAATTACCAAGAGATCTTGCCTGGATAAA TAGAGAACAGTGTGTGTGTATGTTACACACATTGT GCCTGTGTTGGTCTCTAGTTTCAGTTAGCTGATCTGTGGCTT TGCATGAAAGTATGTAAGGTTGCTTACGGCAACTTTAG ATTAATATGCAATTATCTAGGCAACTTTAG	GT	S	18,41	187	CGCTTCCACTTACCA GCTC	60,0	GACCAACAAACAGGC ACAATG	60	55	50	P

G: genoma funcional

S: genoma estructural

P: polimórfico

M: monomórfico

APÉNDICE

Marcadores microssatélites desenhados a partir do sequenciamento parcial e da montagem *de novo* do genoma de *P. edulis*

Nº	Primer	Contig	Motivo	Inicio	Fim	pb	Nº Repet	Score	Sequência do contig	Unidade	G/S	Cobertura	pb	Sequência Forward	T °C Fwd	Sequência Reverse	T °C Rev	% GC Fwd	% GC Rev	P/M
46	BrPe0046	Maracuja_NoIndex_L	2	1996	2009	14	7	12	CTATATGCATTAACAAATTTATTCATCCATTAAACACACATGATTAA CTTGTATTAAACATATAATTAAATTCAAAACATGTGACACAATA GTGAGTTAACGAACTAAATGCAAACATTCAATATACACTTCAATA TGTGAACAGGCCACACACACATCATGCACAAGCATGCTCAACAA AGCAAGATTAACATACAACTCCACCTCACATATTTAATTGAACAA AGATCAAACCTCAACCAAAAAATTAAACACAAGAAGAACACCACATA AACCATCCCATAAGATCAACCAAACACAATAAC	CA	S	21,95	185	CGAACTAAATGCAA ACATTCAA	59,2	TGGGATGGTTTATG TGGTGTT	60,0	30	43	M
47	BrPe0047	Maracuja_NoIndex_L	2	1868	1885	18	9	16	CAACTCAAATGGGCCATTCTTCATTTGACTGACTCTGGC ATATTAATCTGCAGTCAGTACAGAAAAGCTGAAGATATGAATTACT CAGTTGCTTGCATGTTCTGCGGATTCCATTCTGAGTTGCTCCAC CACCCCTCTCTCTCTCTCTCGCTGCCAGCAGCATTCTCAAC TCATGCAGGATTCTGTTGGTTGATTTATGATGCTGTTAAGTT GGTGTGCTGTTGTTCTCAGTGCAGGCTGATATTGGCTCCTGG TTTTGTCCTGGTATTTGCTGCAATT	CT	S	18,22	195	TGGGCCATTCTTTTC TCTC	59,2	GAATCCTGCATGAG TTGAGGA	60,0	45	48	P
48	BrPe0048	Maracuja_NoIndex_L	2	1160	1181	22	11	20	TGTTTAGAATGAACCAAGATTTAACTACTTAAACTAAACTCTACATC ATTAATTCTTACGTATCTCGAAACACTCAAAAGTGAAGATTATA ATTGATGATTATAATCATTGTTCAAATTGAGAGACCTTAATTATA TACTTCTTATATATATATATATACAAAACCTGGGTTGCTT AAAATAATTGACCTCTTAAACGAAATTTCACAAATGTAGTT GGTGTGTTAGAAAAAATTCAAACGTAACAGTAAAGGATTAAGTGG AGGCCATGAGATGACCTGTTGCAGGATTGCAACC	TA	S	16,83	150	ACATCATTAATTCTTT ACGTTATCTCG	58,3	TTAAGCAACCCGAG TTTGG	60,1	30	45	NA
49	BrPe0049	Maracuja_NoIndex_L	2	1496	1513	18	9	16	AAAACCTGCAGTACTGATCAAAGCTTACTGTTCATTTGAAAAGC TTGATGACTCTGGTGGAGCAAATTGCGTATGGTGGACTATCTGA GTAATCTGGGAATCAAACCATGCAGTGTGCGTCAAGCCACTGGG GGAGTACTGTTATATATATATATAAGGATATCCGATTCTTTG CCTCTTCTTAACCTTTTATGTAACGATGTTATTAAAAATATA TGTGACGATGTCGCAAGTGCCTGGTCTCTAACCTAGGAGTGAGT GGAAGCTGGAGTTGCTTCTGCTGCAATATGA	TA	S	16,88	193	GGGAATCAAAACCAT GCAGT	59,8	CTCCCAGCTCCACT CACTC	60,0	45	60	P
50	BrPe0050	Maracuja_NoIndex_L	2	930	943	14	7	12	AAGCTCTGCTCAGGGTGCACCTGCAGCAAAGGTGTTGCATCGATAGT ATTTGGTTTCTAACCATAGATTCAAGGGTATCTTGGTGTGTTCT AGTCTGCTTCTGACAAGATTATGGTGCATTCTGGTGTGAGTGT TCAGTTGGCTGTGTGTGTGGACTCATTGGTCACTACATTGCT AATCTTTATCATGACTGCCAAACTGTATACTTTATCTAGATGAGT ATAGCTTTCTGGTTGTCTCGTGAAGCTTATGTTAGAATACC GTTGGCTTAAAGATTGATTGATGCAATGAAATAA	TG	S	14,59	199	TCAAGGGTATCTTG GTGCTG	60,1	AGCTTCAGCGAGAC AAAACC	59,6	48	50	P

G: genoma funcional

S: genoma estructural

P: polimórfico

M: monomórfico

APÉNDICE

Marcadores microssatélites desenhados a partir do sequenciamento parcial e da montagem *de novo* do genoma de *P. edulis*

Nº	Primer	Contig	Motivo	Inicio	Fim	pb	Nº Repet	Score	Sequência do contig	Unidade	G/S	Cobertura	pb	Sequência Forward	T °C Fwd	Sequência Reverse	T °C Rev	% GC Fwd	% GC Rev	P/M
51	BrPe0051	Maracuja_NoIndex_L	2	2628	2639	12	6	10	TATCAAATGCTGATTAAGTGTGGAGGATATAGGTTAGAAGAAGA GAAAATCGTTGGTCCCTTATAGTCATTCTCTTCCTATCGTACAAAC TCTTGTTCTGTTCCCCACCTTTAGCGTTCTGGGGCCTACTTCAC TATATAACTATATATATAATCACTATACCTTCTACCTTCG AAGGATGGAGGGGTTACAGCGAAAAAGCGCTGAAGGGGTAC CCTGGGTTACTGAAAAGTCGTCGACTGCTCGGTGACCAAATCAGA GAGGTTTGACCGCTTCTCTCAGC	AT	G	3.892,26	198	GTCTTGTCCCCCACC TTTT	60,2	AGCGGTAAACACCT CTCTGA	60,0	50	50	
52	BrPe0052	Maracuja_NoIndex_L	2	393	406	14	7	12	GAAATGGGAATGAATATGATGAAGCCATTCAAGGTCTACAGAAC TCCTCAGGTAATATCGCTGCTAAATGTAACAGTAGCTAGCCTT TTGTTTCTTAATCTCGGACCCGACCTCTTCAGACATATGTGGCTT GAACCTGAAATATATATATATGACTCAAGTACCGCTGTACGT TATTAACACTGCTGCTCTAGCTAGGTTCATCAGACTGTACTTTGAA TGATGTGTTGCAGTGAGAAGACAGAGTTGAGGCCAGTGCCGC TGCTAAAGTGTCCAAGGTTACTGCTGAGTAA	AT	S	16,44	182	TGATGAAGCCATTCA AGGTC	58,6	GCAGTTAATAACG TAGCAGACG	58,2	45	45	
53	BrPe0053	Maracuja_NoIndex_L	2	10514	10525	12	6	10	CCTTGAACACTTCATAGCATAAACCTTAGCGACTCTACTTATTCC ACCTGGGTACAGAGCTCAGTCGGAAGTAACGGAACCTCTCTT TGCTCCAACAGTTAAGTCAGGGCTACGAAAAACCTCTCCGTA AGTCCCTTACTCTCTCTCTAGAGCTTCAGGTGAAATGACCA ATTACCAATTGAGTTGATTGAACTAGTTCAAAGGCTGGATTCC CTTAGGGAACTAGAACCTATCCTATCTCTTCCCTTATGTCA TTTGAGACAAAAAGAAGTAGGGATTGAA	CT	S	288,74	197	TTCCTACCTGGGTCA CGAG	60,1	TAAGGGAAATCCAG CCTTG	59,2	55	45	
54	BrPe0054	Maracuja_NoIndex_L	2	1431	1444	14	7	12	GCCTGGAAATTCTGCATGGGATCAGACGGGTTAGATTTCCACA CCAACCATGCCCACTTCAGTTACCTTTCTTAATATGGTAGCGTGT TAAGAACGATATGCAATGGGATTGATAGTTAAAAGATGAATATAT TACATTACAAGAGAGAGAGAGCAGACCTGCACAGTTGATGGAT TATAGAGTTGAAACTCTATTGTAAGCAAGAAATGATATGCTCCGT TTGACATTCTGCAACTGACGTATAATTGCATGCTGCTTCCCTTA TCAATTATACTGCATAAAGTATCTTTTCTT	AG	S	15,97	230	CATGGGATCAGACGG GTTAG	60,3	CAGAATGTCAAAAC GGAGCA	59,8	55	45	
55	BrPe0055	Maracuja_NoIndex_L	2	4214	4229	16	8	14	ATTATACATATGTGACAGATAAACTTTCCAGTAGAAAATA CAAAGATGGATTTGAAAAAGATAAGAGTACGTGGATATAAA ATAATTATATTTAGCATTATAATTAAAGATCTAATTAGTATATA TAGATATATGTTGTTGTTGTTGATCCAGCACCGATTAGGTTC CCCTCCGTTGGATTATTTATCGCTTGTGCTGTGATGTTATATGC TTTCAGCCAAGAAAACCTGACTTCAGTTGACTTTATATTAG ATCCATCTCACAAAGCAATCGGTTTCTCTA	TG	S	16,03	172	TTTCCAGTAGAAAAT ACAAAGATGGA	59,5	ATAATCCAACGGAG GGGAAC	60,0	30,8	50	

G: genoma funcional

S: genoma estructural

P: polimórfico

M: monomórfico

APÉNDICE

Marcadores microssatélites desenhados a partir do sequenciamento parcial e da montagem *de novo* do genoma de *P. edulis*

Nº	Primer	Contig	Motivo	Inicio	Fim	pb	Nº Repet	Score	Sequência do contig	Unidade	G/S	Cobertura	pb	Sequência Forward	T °C Fwd	Sequência Reverse	T °C Rev	% GC Fwd	% GC Rev	P/M
56	BrPe0056	Maracuja_NoIndex_L	2	4588	4599	12	6	10	CTTCTCCTGTGTTCATGTGAAGGATTGGGACACTTCATGGTCACTGCTGTTGGAGAAGGAGAACGTCAGACCTTGTCAAAATACAAC	AT	G	442,47	204	GTTTCGCAGACGTTC AACAA	59,9	ACCAAGGGATTGGG TTTTC	58,7	45	47,4	
		003_R1_00							TAGAGCATACAAGTAGTTCGCAGACGTTCAACAAATATATATTAG											
		1_contig_7							GAGATTAATCATATATATATTGGAAAATTGTATAAGTCACGTCA											
		60							TCTGACTGTGTTACCCCTGTCATTTATTTGCTGTTAGAAAAAAATTATCA											
									CCAAACCTAATAAAATTATTTCTTCCAAAATCATAAAAAGATTCC											
									TTCTCATTTTCGAAAACCCAATCCCTTGGT											
57	BrPe0057	Maracuja_NoIndex_L	2	581	596	16	8	14	TTTTTTAATGCAATGTGAAAGGTAATATGTCCTACCAAGCTCGAGTC CTGATTGCCAGCTTACAAGAGTTGGAGCAAACATGGGTCGGAC	TA	S	48,01	179	ACCAGCTCGAGTCCT GATTG	60,4	CGGAGACCAAGTCA TTCTTTT	59,6	55	40	
		003_R1_00							ATAATTATGATATTGATAAAATTCTCTAAAAGTCGCGGATGGAA											
		1_contig_1							ACTTCATCCTTATATATATATAAAAGAAAGTAAATATGTTAAT											
		372							TAACAAAAAGAATGACTTGGTCTCCGTCCTTATGTTAAAATTATA											
									TGAAAAAAACAACAAACCGTAAATGACATGACTAACAGCAGAGT											
									ATGAGATGGGTTAGAATATTCAACCCAGTATCCAAAT											
58	BrPe0058	Maracuja_NoIndex_L	2	3899	3922	24	12	22	TTAAAAATAAAGCTAAAAATGAGAAATCCACACACAGGCTAACTCT AGATGACAGTAAACCGATCGAGTAATGAGGGGATTGTACCTTATA	TA	G	16,13	186	GATCGAGTAAATGAG GGGATTG	59,8	TGGAATTGGGTTA ACTTGTG	59,8	45,5	42,9	
		003_R1_00							TTCTGATGATATCGAAGTTGGTGCAGAAGACACTGATAGTTCTCT											
		1_contig_2							GAGGCAGATTTATATATATATATATACACACATACATA											
		177							TATATTTATCTGAATTAAATTACTGCATAGTGGGTACAAGT											
									TAACCGAATTCCAAGTTCTTATCATAATTGACCAAAATGCTGGA											
									TACACATACCCATATGAGCCATGCTAATTGGTATGCTCCGG											
59	BrPe0059	Maracuja_NoIndex_L	2	3583	3598	16	8	14	AAAAAGGTATATGGTAGAGGAAACAGCTCACACACAGGAGAGGA TGACACAGTTCATATATACCGATAAACATGGAATGGCAAGCTAT	TA	S	16,62	153	TGGAATGGCCAAGCT ATACTG	60,1	TGCTGGAAAGGTAA ATTCTTACTC	59,3	47,6	36	
		003_R1_00							ACTGTAATGTGCACTGATTTGACGAACCGATCCAAAATTAA											
		1_contig_3							AGATATCTCGTTATATATATATAAACTAAATCTGCTTTG											
		888							ATTAAAAAAATAAAAGAGTAAGAAATTACCTTCCAGCATATT											
									TAATTTAAATGGAGATTCCAATTACGGCCATACTGTAGTGAAG											
									ATGAATCTGTAGCCTAGCCAGCAACCGTGTCTTAC											
60	BrPe0060	Maracuja_NoIndex_L	2	2250	2273	24	12	22	AGGTGTGAAGTTGCCTTTAATTCTGGTCAGGTAGTTGGTCC ATCTAACGCTGCAACTTTGCTGCATCTAACACCCCTTTGCGA	AT	G	16,49	173	GGTCCATCTAACGCT GCAAC	59,7	TCAGTGCCTACCAA CACTGG	59,7	55	55	
		003_R1_00							CAGAAACAAATAGATTGATCAATTGAACAAAGAGTAATTATGATT											
		1_contig_3							CATATTGAACATATATATATATATATATGTTCTGAG											
		995							AGTTTTACCAAGTGTGGTAGGCACTGATCTCCAGTTCTGGACCA											
									TGTTCTGGATGTAAGACACTAGGATGATGTCCTCCTCAGGGGTCA											
									TGGACCTTCTTGACGCCACTTGTGCGAACAGGAGGTCTT											

G: genoma funcional

S: genoma estructural

P: polimórfico

M: monomórfico

APÉNDICE

Marcadores microssatélites desenhados a partir do sequenciamento parcial e da montagem *de novo* do genoma de *P. edulis*

Nº	Primer	Contig	Motivo	Inicio	Fim	pb	Nº Repet	Score	Sequência do contig	Unidade	G/S	Cobertura	pb	Sequência Forward	T °C Fwd	Sequência Reverse	T °C Rev	% GC Fwd	% GC Rev	P/M
61	BrPe0061	Maracuja_NoIndex_L	2	2561	2572	12	6	10	AAAGCAGCCAAGGACTCTCAAAAATTAAACAGCATGATCATTT GCCGGTGTACATATATTTTTCTAGTAAGAACATTATACTTCAG GTTGATGCAACTTAAATTATTTAGTCATGCCGCAGAATGTA TTAGTTTCATATATATATTTCTATTAAATTATTGGTTCTA GGATGAGTAATCCATCAGATAATATTAGTCATATCATATTAA GCACGCTATTACAGGAAGTCACAGAAGAACACTCATCAGCATCC CATACAAGCTTCCATGTGAACTAACCTTCC	AT	S	16,64	171	CCCGCAGAATGTACT GCTTA	58,9	GGAAGCTTGATGG GATGCT	59,2	50	50	
62	BrPe0062	Maracuja_NoIndex_L	2	3141	3158	18	9	16	GCCTTCTATATATACATATGGGTTTGTAGGTGTTGCTACA ACGGGTCTTCGCTTGAATCACTAGGAACCTATATCATTAAATATA TTGTTGGAACATTGAACCATGTA GAAATTAGCTCTCTCTCTCTTTAAATTATGTCTTATAAAAT TATATATTAACATACCGATTACACAGGTCGATCCAAGTAATGC CAACTAGGGCTTGCTATTTCTTGTATAAGAAGGGTCTTCCAAT TCTAAACATGCAGGTCTCATAATGGTTAGAAG	CT	G	15,28	216	GTTGTGCTTACAACG GGTCA	59,6	GCAAGACCCTAGTT GGCATT	59,2	50	50	
63	BrPe0063	Maracuja_NoIndex_L	2	610	627	18	9	16	AAACAGTTGCTGAAAGAGCTAGAACGCTTAGAACATTGGCTCTCA ATGAACTGAGAGGTTTGACCAGGCAAAGGGTAGAAAAATTCAAG TATAATTGACCTCCATTGACCTCCAAGGGCATTGGATCGTCACTTG TTCTCAAGAGATCTCTCTCTCTCTCTCTCTCTCTCTCTCTCTCT TGGTTAAAGTCGTTGTTGGTAATTATTAGTTAGTTTTA AAATGATCGATTAGAATTGTTGGATATAGAATCTTACTTCCA TCAGGAAGGAAAAAATCATCCAGTTGATCATCGTA	TC	S	16,09	183	TTGCTGAAAGAGCTA GAAGACC	60,2	CATGCGGTATCAGT GGAAAA	59,5	50	45	
64	BrPe0064	Maracuja_NoIndex_L	2	162	173	12	6	10	ATATATACAGACTGCTCCAGATTCAAGGAGCTAGTTTCATCGGT TAAGTACAGAGAACCTGATTACGAAGTAGGAGTTCTCAGGTAC TATATATATATCTACAAATACAAGCATCATTATTTCTTATTCT ATCATATATTATATATATAATGGACTTAATGCAGCTGATGGGA AGAAGCTACTGCACAAAGCGATCTCAGGACAGATCGCTGTC CAGCCACGAGATGGCGTTACACAAAAGTATGGTACTATACGGG GAGTCTGTCATCACAGTTAATTATGAAAT	TA	G	24,54	179	CAAGCATCATTCT TTCTTATTCA	058	TGATGAGACAGACT CCCCGTA	60,7	23,1	52,4	
65	BrPe0065	Maracuja_NoIndex_L	2	2009	2020	12	6	10	AATACATTACATGAAATTGTAACCTGCTGATAAAGACATCTGCA GCAAACCACTCAGCTCTGGAAAGAGACCTGGCCCATGCCACGTGG AATTCAACTGCTGGCTAGAACCTGCTGGCTGAAGAGTCTGAA GAGAAAAGGGTCTCTCTCAGATTGCTTTCGGCTAGTACAAGA TTGATAATGGCATTGCTGCTGCTGACA AACATGGTTATGCACAACCACTATGCAGTAATCCTGTGCTATCAG GGGAAAAAGGTTAACAAATTAAATAATGGAA	TC	G	17,23	152	GACATCTCTGCAGCA AACCA	60,0	TCTTGACTAGCCG AAAAGCAA	59,2	50	40,9	

G: genoma funcional

S: genoma estructural

P: polimórfico

M: monomórfico

APÉNDICE

Marcadores microssatélites desenhados a partir do sequenciamento parcial e da montagem *de novo* do genoma de *P. edulis*

Nº	Primer	Contig	Motivo	Inicio	Fim	pb	Nº Repet	Score	Sequência do contig	Unidade	G/S	Cobertura	pb	Sequência Forward	T °C Fwd	Sequência Reverse	T °C Rev	% GC Fwd	% GC Rev	P/M
66	BrPe0066	Maracuja_NoIndex_L	2	4428	4445	18	9	16	CAAAAGGTTATCGATCTTAAATCTTGATAAAGAAATAGATTAAATT CAACAAAACACAACATTGATTCCCCCTACCACCTTGGCATATCAAAG CAAACATCGAGCTGAAATCCAACCTTAATGAGGAAATTGAAGTA TTCTTGAAAGCACACACACACACATCTTAAATCTTCCTTGC ACTAAATCCGTCAATAGATCCTCAATTAGCTATATCCTGATATCAA AGGACACAAAAATTCTCTGCTGCTCTGCAACTGAGAAGAGAACT AACATGAAAATAGCAATCAAGTTAGACTCATAAAGGAC	CA	S	18,55	206	CTTGATTCCCCCTACC ACCT	60,2	TTGCAGAACAGCA GAAGAA	60,0	55	45	
67	BrPe0067	Maracuja_NoIndex_L	2	757	770	14	7	12	GTTGGTGCCTATCCTTATAGTAAACAGAAAAGAAATAGA ATTAGAACAAAATGTAATAGAAGGTGACCATTAAATATGTA GCCTTGATATAAGTGTAACTTAATGATATAATGTCTTTAAATT GATAGTTGCATTATATATATAATATTGTTATGAATAATGTA ATTTGTTATGTGATACAACTTGAATATAAGAATATAATACATGG TAAGAATAAAAATTAGAATGTGGAGTGTGGGATTGAAACCCAC GCCCTTCGGA	TA	G	15,83	224	GAACAAAATGTAATA GAAGGTGACCA	59,7	TTCAAATCCCACAC TCCACA	59,9	34,6	45	
68	BrPe0068	Maracuja_NoIndex_L	2	829	846	18	9	16	AGCGAAATTACCGGTTGAACTGCCCTCAATTAAATGGTGCCTA CTTATCACAAGAGTGACGGATTCTCCCTAATATTGCCAATGCATA ACTTGAAATTCAATTCAATATCAATAATGAAATTACTTAGTGTG GTTAATATATGTGTGTGTGTGTGGAAAGAGATGCGGCTAGTC AATTATTAAGAATTCTGTATAGCATAAATAATATGGGAA AAAATAGAATAAGATAAAACAGTACAGATAAAATGTAGGGTTCA ATTTTCTTACGATGCCATTATTGTGCTACTATTG	TG	S	21,3	190	AGCCGAAATTATCAC GGTTG	60,0	TTGAACTAGCCGCA TCTCTT	59,1	45	42,9	
69	BrPe0069	Maracuja_NoIndex_L	2	414	429	16	8	14	CGAAAGGTTCGTTACATTGTCGAATCCTGATATTGATTAAGAAA AAATGAGCCCTAGTCACCCACCATTCTTGATACAACATT TTATTCTAAATTGACTAAATATTGTAGGAAAGGAACCCGTCTT CATAAATGATATATATATATATCCAGCATCTCCATTAAACG GCATAATCAAGGTTAAATTAGAGCTACATCATTCTACTTAATGT CCAAAAGTTATTAAAGTAGGCTGATGTATTGGACTTGTGTC TTGAATACAACCTTACACAGTTCACTAAAA	AT	S	13,24	153	GAGCCCTAGTCACTC CACCA	60,3	AAACCTTGATTAT GCCGTTT	59	60,0	31,8	
70	BrPe0070	Maracuja_NoIndex_L	2	508	519	12	6	10	ATCAGTTCAGGCAAAGTTACAATCAACTCATCCATGAACACAAGG ACCCCTGAATGACAAACATGACTTATTGGAAAATAAAAGAA TCAAGGAAACCACTCACCTTTATTCTTACCGAGAATGAAAGAG AAAAAGGGAACAGAGAGAGAGAGCTAGCTTACGGCTCACCTGT ATTTTCACGTCAGGATGGCTTAAAGCTCAAGCAGACACATAATC CAAGAAAATGAAATACAAAGGTAATCAAAGACAAAACAATGAGC CATCCATGATATAAGGGGGCAATCAGAGGCAGC	AG	G	017	166	CAAGGACCCCTGAAT AGCAA	60,1	AGACCATCCTGGAC GTGAAA	60,5	50,0	50	

G: genoma funcional

S: genoma estructural

P: polimórfico

M: monomórfico

APÉNDICE

Marcadores microssatélites desenhados a partir do sequenciamento parcial e da montagem *de novo* do genoma de *P. edulis*

Nº	Primer	Contig	Motivo	Inicio	Fim	pb	Nº Repet	Score	Sequência do contig	Unidade	G/S	Cobertura	pb	Sequência Forward	T °C Fwd	Sequência Reverse	T °C Rev	% GC Fwd	% GC Rev	P/M
71	BrPe0071	Maracuja_NoIndex_L	2	745	760	16	8	14	TTTTTCTTTAAATTTGGCAGCTGCATGCAATAAAGCACGTCT ACCCAGAAAAAGAAGAATTAAATGAAGAAATAGCATATTGAATTCTA CAATAGTTATAATTGTTGGAAAGGGATCAATGATGGAAAGACTT TGGTTCTTGATATATATATATTATTCATGTTAACATGAGTACA AAATCAAGGGTCGAATTAAATCATTCTTAAACAGTGATTGATT GATTGATTAGCCCTCCGCATGCCAAGTTGCGTGGTAGAT GACTACCAAATTTCATGCAATTAAACAGGTTTATCA	AT	S	18,82	107	ATTGTGGAAAGCG ATCA	61,4	GAAATGATTAAATTC GACCCTTGA	59,3	47,4	34,8	
		003_R1_00																		
		1_contig_1																		
		4006																		
72	BrPe0072	Maracuja_NoIndex_L	2	640	655	16	8	14	CTCGAAATCAATGGTTCTCTATATATCATCAATCCTCATGGCT AATAATACATATTGGTTGTTGTCATCTACGGTTCTGAGACT CAAGCTTCAATTCTGATGCTGCTGGGGTTAGATTAGTTAGGT TTCTTGGTAATATATATATATCGTAATCTCATTTCGTGG AGTCTTCAGGTAAATTCGACTTCAGATAATTGCTGCCAGAGAT ACTTTTAAAGCTGCATCTATAATATGATAATGACGACCAAAT CCTGCTGCAGAGATACTAGGATATCAAGGAAA	AT	S	12,19	179	CAGTGTATGCTTCGG GGTTT	60,0	AGGATTGGTCGTG CATTGT	60,4	50	45	
		003_R1_00																		
		1_contig_1																		
		4239																		
73	BrPe0073	Maracuja_NoIndex_L	2	3113	3134	8	4	6	ATGAATTGAATAGAAAGCTGGTGTATAGCTACTATAAGAGA ACAGCTGTGTCAGATATACTACTAGATCCCAATCTCATCAC CCTCCTGATATTTCATTACTCGATCTCTACCATAATTCTGGTA TCATATCATGAGAGAGAGAGAGAGAGATCAACCAATAAAGA ACTTTCTAGCTAATTATCTTAACTGGATGCCAAATCATGGCT ACAGCTGTTACCCATGGAAACAAGTCCATCAAGTGTGTTTATAT ATATGAGCAAGCAACTCTAGGTCAGGATCATAAAATTAA	TA	S	14,54	111	AACTGGTATCGCCA AAATC	59,9	TTTATGATCCTGC AAGCTAGA	58,2	45	34,8	
		003_R1_00																		
		1_contig_1																		
		5030																		
74	BrPe0074	Maracuja_NoIndex_L	2	3503	3520	18	9	16	AATAAAATTATGGTATCTGAAAAAAATGATCAAGCTGTATCTGC CAGTTTTCTCTCAACCATAAAAATAAAGGAGCAATCTCGAGTCCA TTCATATAATTCTCTGAGCGCTGATTCTCGTGTGAGCAGCTT ATAAACGGAATATATATATATATATCATACCTCTCAAGAGAA ATAAGATTCCATCAGGAAATAATTGCCATGTTAATATTATA CAGTAACAACACCCACTACATAGATGCACTCTCATATCGACC CGTTATATTGCGTGTCCAACCATATAACATCAGGAT	AT	S	16,17	209	AAGGAGCAATCTGA GTCCA	60,0	CGGGTCGGATATGA AAGATG	60,3	50	50	
		003_R1_00																		
		1_contig_1																		
		6503																		
75	BrPe0075	Maracuja_NoIndex_L	2	5152	5163	12	6	10	ATTTGGTATTTCTGGTACCAATGGCACACATCATGAAAAGGAA AAAAAAATCCCTTTGGGGATAGTTTACAAGTCTGAGTGTAACTTG AACAAAGTACCTCATTTCTGACTGATAAACATTATGGAGAAGC TTCAATTAGTATATATACACAGACTCAAACATACATATTAC AGAATTATGTCCAGTTGATAGGATGAAACAAAATTGAGAAAGTC TTCAGTATGATGATCCTACAAAGTATTGATAGTAATCTAGCAGT TATATCTGAGTACATTATTAAGATAGTTAA	TA	S	15,73	164	TCCCTTTGGGGATA GTTTACA	59,7	TTCCATCTTCAA ACTGGACA	59,4	40,9	40,9	
		003_R1_00																		
		1_contig_1																		
		6622																		

G: genoma funcional

S: genoma estructural

P: polimórfico

M: monomórfico

APÉNDICE

Marcadores microssatélites desenhados a partir do sequenciamento parcial e da montagem *de novo* do genoma de *P. edulis*

Nº	Primer	Contig	Motivo	Inicio	Fim	pb	Nº Repet	Score	Sequência do contig	Unidade	G/S	Cobertura	pb	Sequência Forward	T °C Fwd	Sequência Reverse	T °C Rev	% GC Fwd	% GC Rev	P/M
76	BrPe0076	Maracuja_NoIndex_L	2	717	728	12	6	10	CGATCGAGTAGCTATGTCTTCCTTCGACTGTAAAGAAATGGAC AGGGTAAAGGATACAAAAACGGCGCCGTTTATGGTCTCCTCGA GAAACCCATCGTTTACGTTCTTACGGCTCACTCGAAGGATT AAGCTTAATCCACACACACAGAGCTCTGTACAGCAGATTGATAG AATCATCTGTCTTCAGTGAACATTCTGGTAATAAACCGT TCCTACTCTCTGGTGGTCCCTTATTCACTCAGGTTAACCGCTGCGA AACCTTGTAATTGAGGTTTTATGAAAACA	CA	G	14,78	167	TCTCCTTCGAGAAC CCATC	59,2	CCACCAAGGAGAGTA GGAACG	59,7	50,0	60,0	
77	BrPe0077	Maracuja_NoIndex_L	2	6105	6116	12	6	10	GAACACCCCTTCCAATGCAATTACTAGTAAACTGTTTCAGATTCA ACAGCATCAACCATAAATTTTTTTTGTATGTACCAATTAAAGT TGAATTGCTTCAAACAAGGCTCAACAAAGATCACACTCTGTCAAAA GCAAATCTGTGTGTGTGGCTCTTATTTCTTGTGATTAACC ATTGAGAGTAATATGACCAATTACCAACCAACAATCAATAAAA TATTATAAAAATAGACCTGCAGCTGGAATGATTGTGTTAACATG GAAAGAGAACTCTTGTGTTCAAAACTTC	TG	S	18,45	169	TTGCTTCAAACAAGG CTCAA	59,6	ATCATTCCAGCTGC AGGTCT	59,8	40,0	50,0	
78	BrPe0078	Maracuja_NoIndex_L	2	2256	2269	14	7	12	GGAAAAGATAGCTGCCCTACAATAGATTAGTACTAGTAAAGAA AGTACACCAAGTCAAAAAAGCAAATATTCACTTAGAAGTAGGGAT ACGGCAATTGATCAATTCAACACATCCATTCAATTGGACCA GGATGAATGACGAGAGAGAGAGATTTAAAGCTAGATTAG TTAAAGAATTCTTGAGAATATCGAGTTGAATCCTTGACCCCTCGGT TGCTAAATGACCCACCATTCATGGCATCTCTCTGGCAGTTAGC TCAAACTTGATCGCCGATATCATGTCATAATCTC	GA	S	16,13	179	TCCATTCAATTGGAC CAGGA	60,1	GATATCGCGATGC AAGTTT	60,1	42,9	45	
79	BrPe0079	Maracuja_NoIndex_L	2	2529	2548	20	10	18	AAAAAAAAAAAAACTACTATACATTCTGGTTCTCATCTTACAA GATGTGCTTCACATATAAGAAAGCAATGATTACTTGTAGCATTTCA TAAAGACCATTATCCTGCAACGTAAGTGAATATAATGAT CTTACTAAAAGAGAGAGAGAGAGAGAGTTACTGTTTATTGC CTTGTTCTCTTACATTTTTTAAACTGTGTGCAAGTGTGATG AAAGTAACAAACATGGCAAGACCACACCTGAAATTTCAGGT TCATTGTGCTAATCTATTGATTTCAGTGTGTTACTG	AG	S	19,28	176	CATTCTGGCTTCTC ATCTTACA	59,8	GAGGAAACAAGGC AAATGAAA	59,2	37,5	38,1	
80	BrPe0080	Maracuja_NoIndex_L	2	6147	6164	18	9	16	AACAAAAGCAAAGCCAAACATTAAACAAAATGGAAGATGCTT CATCTACAAAATAATGAGATACATCTCGCAACCTGCACTCATC AACTCACGGCATATGAGGAATGCCAAGAGAAATGTCACCAACT TATGTAACTCAAGTGTGTGTGTGTAACTATAACAAACAACT ATTCTCCATATATTCAAGCTATACACAGGCAGGAAGCATAGAGA AGTTGTGGCTTAAACTACAGGCTAACCAAGTCAGACAAAAGAGT AATCTGGTCACTAATACTCCCTCTTAATCCTTGACTTCAA	GT	S	17,61	163	TACATCTGGCAACC TGTCA	60,3	TCTATGCTCCTGCC TGTGA	59,5	50	50	

G: genoma funcional

S: genoma estructural

P: polimórfico

M: monomórfico

APÉNDICE

Marcadores microssatélites desenhados a partir do sequenciamento parcial e da montagem *de novo* do genoma de *P. edulis*

Nº	Primer	Contig	Motivo	Inicio	Fim	pb	Nº Repet	Score	Sequência do contig	Unidade	G/S	Cobertura	pb	Sequência Forward	T °C Fwd	Sequência Reverse	T °C Rev	% GC Fwd	% GC Rev	P/M
81	BrPe0081	Maracuja_NoIndex_L	2	1484	1501	18	9	16	CCGGAGTTGGTATTCTTGTCAAAGAAATGCAAGCACATGGTTGA ATTATACAGGAAAAAAGATTGCGTGAATTCCATTTCGAGCAGGC CAGAAAGGTCAAAGCTCCTGTAGAGGGAAAAATAAGCCCTGTG AACAAAAAGTCCTCTCTCTCTCTGCGTGGTGGATGATCTA TGATGCTGCGTGGC	CT	S	16,93	181	TTGCAAAGAAATGCA AGCAC	60,0	CCACGCAGCATCAT AGATCA	60,8	40	50	
		003_R1_00																		
		1_contig_1																		
		8583																		
82	BrPe0082	Maracuja_NoIndex_L	2	338	349	12	6	10	GCCAAAGATTAGGCTGCCCTATCCACCTGATGATTTTTGTCTTC CTGTGTGAAACAGGGATCTACATGTATAGTTAATGAGCAAGTGA AAGAGACATGGCTGTATTTCTGTGAGAATGATTAAGGCATTGTATC TCCCTTTGTGTGTGTGCGTGTCTGTTATGGTTCTTAGT TAATCTGTATATGTTCTTTCTATAAGCGTGTGCTTATGACAG GCAGAATGAAGGGAAAGTCTTCTATGCCGTACGGCTGCAAGCTT TGTTCTGCCGAATCGGAATTATCCT	TG	S	17,27	151	TGGCTGTATTTCTGC TGGA	59,4	CCCCCTCAATTCTGC CTGT	60,1	45	52,6	
		003_R1_00																		
		1_contig_2																		
		0215																		
83	BrPe0083	Maracuja_NoIndex_L	2	1497	1512	16	8	14	GTAAAGAAGGATCATATCAGATCTATCAAGGTTAAACAATCAA ACATTATTCTAAATTAATCTAAAACATGGATATATTTGATTAAT TTACTTAAATATGAAAAATATAAAGTTCAAGATAAATTGATA AGTTTGTAATATATATATATTAGTATTAAGAATTCTCAACG AAATCCAGTCTACATTACATAATCCAATATAAACATTAATCAA ATATAAACCATATAGACTAGCGGGCTAAACTATCTCCGTGTTCC GTGAAAAGGAGAGATTTAATTAAACACTTT	AT	S	18,91	137	TTCAAGATAAATTG ATAAGTTTG	57,3	GCCCGCTAGTCTAT ATGGTT	57,4	22,2	47,6	
		003_R1_00																		
		1_contig_2																		
		0604																		
84	BrPe0084	Maracuja_NoIndex_L	2	1936	1947	12	6	10	TGATAGAAATTGACATATGTTCAAACCCCTGATTGATCGACAATCCA ATTAGTTGCTGCTTTGGTGAGTTGATGATCTTGACCTTGTAGT GTCACTCTCTAGTGTGTATTTTGTTCTGTATTCCTCAC TCCTCACTCTCTCTGTATGATGATGTTCTCTTGTTGCGGTGTT GCTTGGCTTATATACTCTGTATGCGCTGACCAGTCGGCTGGAAACC AAAATCGATTACCATGATTGACCCAGTCTCACATTGACAGAC ATACTCGACCAATTACCTACATACATC	CT	G	24,09	161	TTTCTCTGTATTCTCC ACTCCTCA	59,4	GTCGTGCAATGTGA AGAACG	59,5	41,7	50	
		003_R1_00																		
		1_contig_2																		
		1285																		
85	BrPe0085	Maracuja_NoIndex_L	2	266	279	14	7	12	AAGATCTAACAGAGAAAAGCACCTTGGAGGAATTGGATTGACAT GAAGTTATTGGAGAGATAGGCACGTTCAAGATCATGATCCCTCTC GTGAGGAAAGAGTAGAAACCATTACAGAGTTGTAGAGGGAGGA TCCATACTGTATGGAGAGAGAGAGAGAGAGAGAGCAGACGCTATAAG GCTAAAAAGAAATAAGTGAACCGATGTAATATAAGAAGAGT GAAGGTAGACAAGAGAAGAGAAGGGTGGGGAGAGAAAAGGTT AGAAAGATGGGTATTTAATTGAGAGAAGAGAAGCATAG	GA	S	17,54	170	AAAGCACCTTGG GGAAT	59,9	AGCCTTATAGCGTC TGCTTCT	57,6	45	47,6	
		003_R1_00																		
		1434																		

G: genoma funcional

S: genoma estructural

P: polimórfico

M: monomórfico

APÉNDICE

Marcadores microssatélites desenhados a partir do sequenciamento parcial e da montagem *de novo* do genoma de *P. edulis*

Nº	Primer	Contig	Motivo	Inicio	Fim	pb	Nº Repet	Score	Sequência do contig	Unidade	G/S	Cobertura	pb	Sequência Forward	T °C Fwd	Sequência Reverse	T °C Rev	% GC Fwd	% GC Rev	P/M
86	BrPe0086	Maracuja_NoIndex_L	2	2356	2375	20	10	18	TTGGATATCTACCCCATCGATCTGGATCTATGCTGAGGACCAAGT CAATTTCCTAAATTCAATGGCTCGTAACTAATTTCTATGACA AATAGGTCAATTACGTGCCAAAATTCTGTAATTCTATTATC ATTAACCTTTATATATATATATAAGATCCTATAGGTTATA TTTACTGTGCCTGTCCTCGGGTGCTCGTCAACTATTATAATC AAATCTTGCCTTAAACATATACACGATACAGAACATGCTT AAAACCTTAAATAGTTAACTAGAATTAAACCGAATTAG	TA	S	11,1	153	CAAATTCAATGGCT CCGTAAC GTAAAAA	60,0	CGGAGACAGGCACA	58,9	38,1	50	
87	BrPe0087	Maracuja_NoIndex_L	2	2769	2782	14	7	12	TGCATTTGCAATTGCTTAAGTGGACATGCAATACATCTTAA CACATACTTTGCTTGCGAGGGAAAATGGATGCTGCGTTGAGCATG ATTGAGAAAGCTATAATTGCAATCCACATGCGGAAGCTTATA ACAACCTAGGTCTCTCTCTCACTCTGAACAAAGATTAC CTCTAGTGTATCAGATTGTTTAATGTTAGAGATTCAAGGTCT AATGTGTTTAGTTATAGAATTACTATTGATTGCTTATGATTGGCT CACTGATATTCAATGAAGCAACTATCTTATC	TC	S	17,89	206	GCGTTGAGCATGATT GAGAA	60,0	TCAGTGAGCCAAT CATAAGC	60,2	45	47,6	
88	BrPe0088	Maracuja_NoIndex_L	2	1616	1631	16	8	14	TTGATGCAACAGGAGGCCATCGTTATTGATGATTGCTGATTCTGCT TTATTTATTGACTTATTCTCTTGTCATATTATTCTCTTCTC TCAGGGTTGGCTATTGGGTGGCAAAAGAAGCAATTGGACATT TTAACTGCTCTCTCTCTGTGAAATTGGACTTCAAAGTAT TAACAAGCATTCCATTTGCTAAGTATGTTATGAGCTTCT CAAAGATTCTAAATTCTCACACTCCATTACAGCATTGACAG ATCTTATCATGCTTGTATTATCATTGATT	CT	S	18,91	180	GCTATTGGTGGCAA AAGAA	60,1	CTGTGCAAATGCTG TAAATGG	59,2	45	42,9	
89	BrPe0089	Maracuja_NoIndex_L	2	1482	1495	14	7	12	CACTGAATTTCCTTGCAGATATGCAATGTAATGAAGACTG CAAGTAAGCGGGGTGCTTCAGCAGTTAATTGAAGCTTCTGCT AACGAACACTGTTGGTCCAAAGTATAGTAATTGCTCCCTCA TAATCTTTCTCTCTCTCATGCGAATTGCTATGGTATACT GCAGTGAATGTTTTAAAGTTTGATGCTTATGCACATATT GCTACCACTATACTGCAGAGCAATGTTGGATTCTTGTATGAC TGCAGGGTATAACTTTGGTTACCGTTG	TC	S	17,32	150	AAGTAAGCGGGGTGC TCTTC	60,8	TTTCACTGCAGTATC ACCATAGC	59,3	55	43,5	
90	BrPe0090	Maracuja_NoIndex_L	2	545	556	12	6	10	AGAGTAGTACCAACCAACAGTTGAATGATTGAACATTGAAAA ATATATCAGAAAATCTGATTACGCTCAGCTAGTGGAGATCAAGA ACATGCCAGTATTAGAGGAAAGAGGACCAATCATACTTAGGA TTCAAGTTATAGAGAGAGAGTCACACAGAGAGAAGGCTGA AGAAATCAAGTGGTTTACGCAAATTAAAGCTGCTCTTGTAC TGGACTGGATTGGCTTAAAGATATCTGCTGCAATAGATATCGA TGAAGAGCAATTAAATGTGCGAAAAAACAAACTGT	AG	S	14,92	185	TGCATTACGCTCAG CTAGT	59,8	AGACCAATCCAGTC CAATGC	59,9	50	50	

G: genoma funcional

S: genoma estructural

P: polimórfico

M: monomórfico

APÉNDICE

Marcadores microssatélites desenhados a partir do sequenciamento parcial e da montagem *de novo* do genoma de *P. edulis*

Nº	Primer	Contig	Motivo	Inicio	Fim	pb	Nº Repet	Score	Sequência do contig	Unidade	G/S	Cobertura	pb	Sequência Forward	T °C Fwd	Sequência Reverse	T °C Rev	% GC Fwd	% GC Rev	P/M
91	BrPe0091	Maracuja_NoIndex_L	2	1454	1473	20	10	18	ATTAAGATCGAGTTATGATCCCTAGGGAAACACTCAAATCAAGGAG CAAAAAGTATTGAGCTTACATAATGATGCCCTTCACATAATCTTAT TTCTTCTGGTTCTGGATATAGATATACTACATACATTCTCTGGATATT TGTGAGTTCATATATATATATATGGAGATTAGAAAAAGAC GAGGGAGACAAAATAATGGAAGAATTTGGTGGTTCAAGTAATT TGCACCAGGAGACAATTCTTAGCTTAAACTATATAATTCTG ATAGGTTGTGCTAACCATGAGCGACTTGAGAGAAAATAT	AT	S	15,91	186	ATGATGGCCCTTCCA CATAA	60,2	GGAATTGTCCTCG GTGCAT	59,9	45	50	
92	BrPe0092	Maracuja_NoIndex_L	2	2283	2296	14	7	12	CTTTTGGAAATCTTATACCAGAAAGTGGAAACCTGATACCGAGT GGATTATAGTTTTTATTACCACTACGTACAATAATGTAATGGAAGC GTCATTAGTGGAGTACTTTATGATTGATATCTACGACCTCAAG ATCTGGAATCTATATATATACATGGTCGGAAAAATATATC TCCCCTATAATTCTCACTGCAACTGGTATATTTCAACCTTATT TCTCTATGCTCGTAAATTGAAAGCTGAATCGAACTGATATACTTGT TTGAAGGAACCAGAGAAATCCAGGTTGATGGA	TA	S	16,49	219	TGGAAGCGTCATTAG TGGAG	58,9	CCTGGATTCTCTGGT TCCTTC	60,1	50	52,4	
93	BrPe0093	Maracuja_NoIndex_L	2	249	262	14	7	12	CAGTTCTATTTAACCTTTCTGTGACTTGTCTTTGCTAGT TTAAGTGGAAATTGAGAAGAAGCTGCACAAGTGTATTGCA TTTGCCTGAAGAACGAGCAATTGTCGAGGAGATTCAAG CAGGAACAGGTGTGTGTGTCTGAAAAGTGAAGATGTTAAC TCGTTATGTTGAGCATTACTGCTGCTGGCAATGTTGGTTTG ATGTATCTCGTGGACATTATTATATAAGGTTAAGAATGGCT TCAAAATCTAGGAATAGGAGATCATGCACCGA	GT	G	17,9	163	TGGAGAAGAAAGCTG CACAA	59,7	CATTGCCAACGAGC AGTAAA	60,0	45	45	
94	BrPe0094	Maracuja_NoIndex_L	2	2305	2318	14	7	12	GCACCTTGGAAATGCCCTGAAGATTCAATTGAAGAACCAAG AAAAACACCGTCACCTATTCCCATTAACATTTTAAACTTTTCATT CGTGTGTTCTCGTGGAGCAGGCAAAAGCGTGTGAGATTGTTG TCAGTTGCCCTCTCTCTCTCTTACAGTGAACTAAAT ATAAGTGGCTTTTACTAATTGTTCTTCTCCTTGGTGT GCTACCTAGCTAGAGCTGCCCTCTCAAGTTCTAGAACCCACGTG CTTCTGCGACCTCTCTCCCTTTAT	CT	S	17,58	158	CCAAGAAAACACCG TCACC	60,4	GCCCCACTTATATT AGTCATCTGAG	58,8	50	38,5	
95	BrPe0095	Maracuja_NoIndex_L	2	630	643	14	7	12	AACTTCCCTGTAGAGAGTCATAAACATGGCACCTACAACACAGAC AAGTGTACCAAGTACTTCGCTTCCGCTGTGAGATTGTCAA CAGTCTCAATCTGAAATGTGATGAACCCACATTATAAAGAAGCTC AAATTCAAACATATATATATAACCGCATCTAGATAAACGCAT CCATACCCCATGGCGAGTGCCTACAGAAGGTGATCACAGGCACGA TGTTGATGAAGGCGCAAGTGTAGCAGATGTATTGAATGCC AAGCAGGAAAGAAGTATTGCGTAACGATGCCCTGC	TA	S	16,01	234	TACTTTCGCTTCCG CTGT	60,2	CTTCTTCCTGCTTGG CATTC	60,0	50	50	

G: genoma funcional

S: genoma estructural

P: polimórfico

M: monomórfico

APÉNDICE

Marcadores microssatélites desenhados a partir do sequenciamento parcial e da montagem *de novo* do genoma de *P. edulis*

Nº	Primer	Contig	Motivo	Inicio	Fim	pb	Nº Repet	Score	Sequência do contig	Unidade	G/S	Cobertura	pb	Sequência Forward	T °C Fwd	Sequência Reverse	T °C Rev	% GC Fwd	% GC Rev	P/M
96	BrPe0096	Maracuja_NoIndex_L	2	731	754	24	12	22	ATGGAACCTCAAGATCATGACAACATAAAGGAACAGTCACAAAA CAAACAAAACCTCCATTCTATAAGCAAACAAAGGTAGGTAACCAACAA GAAGGTAAAAGCACAAATGGACGGGGAGGCTCTTACGGTGA TTCATTTCATGCAGAGAGAGAGAGAGAGAGAGCGGTGTA CAAGAGGGATGGAGAGGGATCATCGGACATTTGGGAATGG GAGAGCACAGGAAAGGGACGGCTCGAACACAGAACAG CTTGGATGCCAGGTCCGTATGACTTACACGCAAACATATGGCATT	AG	S	14,41	182	GAGGCTCCTTTACG GTGA	59,3	AGTCATACGGACCT GGCATC	60,0	50	55	
97	BrPe0097	Maracuja_NoIndex_L	2	377	396	20	10	18	TCATTTAATATATAATCGCTTATAACTATTTCTTCCATTGT TTAGACTGTTGCTACTAAGGAGAACACTGAATTATTATGGCTGATTG TGATTGCGGTACCTCTCCATCCTGGCTCTCACTCCAACTTGC TTCTTGATATATATATATATATTACATCCCCGACTGGACTTT TTAACCGTAGGCATGACAGAAATTTCGGTGTCAAGTGATACTAATGAT GCCTAAATATAGAATGCTCTCGTAGATGATTGAGCCAAAGTTACA ACGGCGTCTGGAAACCAAACCAATACATACAA	AT	G	14,86	155	GCTCTCACTTCCAA GTTGC	60,0	TTGGCTGAATCGAT CTACGA	59,4	55	45	
98	BrPe0098	Maracuja_NoIndex_L	2	947	960	14	7	12	GAAATCGCGCTAGCTGGGGGCTCAAATGATGTTTATCGTATT GAAAAGGTTAGACAATTAATGTATTAACTTATTGGITGTT GATGTGCCCTAATCATGGACATTGGCTCCACATCTCC ACGCCAACCTCTCTCTCTCTCATGGCACAAACATTGGGC CTTAGCTCTCTCTCACAATTACCTACACGACAGGGAC CTCTGCAAACAAAAATTGGTAGTCTGCTGACTTGTATT TTATCTCTGTGTTTCGTTGCAAA	CT	G	14,97	176	GGGGGCTTCAAATGA TGTGTT	61,1	TAAAGGCCAATGT TTGTGG	60,7	45	45	
99	BrPe0099	Maracuja_NoIndex_L	2	1293	1314	22	11	20	TAACCAGGAATTCAAATGGCCGCCAGTTGGAGCCATGTAG TTTGTGTTCCACTCTCATCTGCTGAGTAGCCATTACGACTA AGGTGAAAGCCATGGCTTTATTCAGTACTGCTGATTG TTCTTAATCCTCTCTCTCTCTCTGATGATGTTATA GGAGAGCAAGTCCAGATGACATAATGCTCTAAACATCAA TGAAAAGGAGGAGGGAGAAGTAATGCAGTAACATCAA CCCATGAAGGAAGAACATTACGTGATTGAGCAACTATATT	CT	G	16,32	182	CCAGTTGGAGCCAT GTAGT	60,0	TGTCATCTGGACTTG CTCTCC	60,4	55	52,4	
100	BrPe0100	Maracuja_NoIndex_L	2	158	181	24	12	22	CTATGAATAGATCTGACTTCGGTAAGGAAACATATCTATATGCC TTGATATAGCTTAGGTGTAGAGAATCTGAAAATTATTGAAATAA ATTTTTTAGATAAGTAAATATCTACGTGGTCTGATCAA TCGAATTAAATATATATATATATATATAACAGAAATTGAT GAAATTAAAGAAAAATTATACTACAAAGACGATATTGAAAGAAA CAGATAGATAGGGCTGCGCATCAGTCAGAACCGTAATTCTGA CCGATAATTCTGATAGTTTCTGATAGTTTATTGAA	AT	S	18,22	155	TTCGATCAACCAC AATT	058	TCGGTCAGAAAATT ACCGTTC	59,1	35	42,9	

G: genoma funcional

S: genoma estructural

P: polimórfico

M: monomórfico

APÉNDICE

Marcadores microssatélites desenhados a partir do sequenciamento parcial e da montagem *de novo* do genoma de *P. edulis*

Nº	Primer	Contig	Motivo	Inicio	Fim	pb	Nº Repet	Score	Sequência do contig	Unidade	G/S	Cobertura	pb	Sequência Forward	T °C Fwd	Sequência Reverse	T °C Rev	% GC Fwd	% GC Rev	P/M
101	BrPe0101	Maracuja_NoIndex_L	2	1225	1240	16	8	14	GACGCTTTAAGGCAGCACTCTGAAAGTGATAATCCTATGATAATG ATTAGTACCAATCCTTATTAGCTTCATGGCAGAGTGGGTT TAATTAAGTGATAACTAAAAGTGGTGGATTTGATCTTCATCCTTC CACAAACGACACACACACACATTACAGAAATTGGTGGCATGTT TCATTGGGTCCCTGTATAGATGAAAGGAGTCAAAGACAGCGTG GATAAACATAACCCTCGATCTACCCCCAAAAGAAGATCTTATT GCTTTTTCTATAAATAATGTAAGAACATTG	CA	S	14,66	189	TCTTTGCACGAGTG GGTTT	60,7	TTGGGGTAGATCGA GAGTGG	60,1	45	55	
102	BrPe0102	Maracuja_NoIndex_L	2	1707	1724	18	9	16	ATTAATTAAATGAGGGTGGGCTGTAATAGAGATAGTGATTTATGAT CATATAGATTAAGTAATAAACCACTGACTACGTTTCACATTCAA ACCGTCGTGGTTTCAGGACCCATAATAGTTATTTAAACATTAAAT TTCTCCATCTATATATATATAGGTATTTACCAATGTCGGTGT CATTAGGACATTGGACGTTGTTATTTACTGAGTTTACTTATT TGAGGTTGGGGTTAGTCATTAGGACATCTAACATGAGATGT GGTAATTCTGAATCAAAGTGAAATCTGAATAA	TA	S	17,25	168	TTCACATTCAAACCG TCGTG	60,6	CCCCAACCTCCAA AATAAG	60,5	45	50	
103	BrPe0103	Maracuja_NoIndex_L	2	226	237	12	6	10	AAGGACTCATGCATGACAACACCATAACCATACTAAACATGCATGG ATAACACTCTCTTCATACCTCCTCACAATTCTTCTTAAACAC TTAACATAGCTACTAGAAGGTTGAAGGTTAGTCTGAAGCTAAAGAA AAAGCTAGTTCTCTCTCAATGCTCTCCCTCTCTATCTTT TTCTCTCACTCAAATGCAAAATGAATTAAAAATGAAAGAAGG CTTATAAAGGGTGGCTGATGTCAGAGGTCGTGGGTGCTGCCA GGTATCTGTTAAGTGGCAATGAGGTTGCAAA	TC	S	40,34	201	GAAGGTTGAAGGTTAG TCTGAAGC	58,6	TTGACACCTCATTG CCACTT	59,1	47,8	45	
104	BrPe0104	Maracuja_NoIndex_L	2	2709	2720	12	6	10	CACCAACTTCTCACCATCAGATGGGAGCTTCACTTGAGGAACCT GGCAGCAAGGAAAATAGCACCTGCCAATATGATGGGCTTAAAT TGCAGGCAGAGCGATGCTCTCAGCCTGCAAAGCCGTTCTGTATG TAAAGAAAATAGAGAGAGAGAGGGAAACCACAGAGCTGAAACT TAAAAGTTGAGGAAACATAGTAAATGCATACCCATCATTAAC AAAATTCCATGCAACTTGAGCAAGGCATTCTGTGCAACCTTAAATT TCTTTATTGCTTCGACAAGTGGCTTGTAAAGGGTG	AG	G	16,69	219	GGCTTAAATTGCAGG CAGAG	60,0	AAGCCACTTGTGCA AGCAAT	59,9	50	45	
105	BrPe0105	Maracuja_NoIndex_L	2	612	627	16	8	14	TTTCCCATGCATTAACAAATCTAATCATGGCCTGAACTGGTATCA TAGCTAGTTCTAGGGTCAACTAATTCACATCACAAACACTCACAG AAAATAGTAAAGCACATTAGAATTATGCTAAAAATGGCTCAAAGC ACTCGCAATGGTGTGTGTGTAAATATGACCTCAAGTAAATCA AAATCTGACTGTCAACATAACTTACATTATCATGGTACAAAAGAAAA ATCATGAAATTCTACAAATCAAAGTCATACAACTGGAAAAATAA TCGTGACAAAGTGGGAGAAATCATCAATATTAGCATA	GT	S	60,6	214	CATGGCCTCGAACTG GTATC	60,5	TCATGATTTCTTT TGTACCATGAA	59,8	55	28	

G: genoma funcional

S: genoma estructural

P: polimórfico

M: monomórfico

APÉNDICE

Marcadores microssatélites desenhados a partir do sequenciamento parcial e da montagem *de novo* do genoma de *P. edulis*

Nº	Primer	Contig	Motivo	Inicio	Fim	pb	Nº Repet	Score	Sequência do contig	Unidade	G/S	Cobertura	pb	Sequência Forward	T °C Fwd	Sequência Reverse	T °C Rev	% GC Fwd	% GC Rev	P/M
106	BrPe0106	Maracuja_NoIndex_L	2	1501	1516	16	8	14	CAAAATTCTCTGACCATTGTCTCCTATTGTAAACAAAGATGAA CTTGATCTCCGTTGCGACTGTTACTCTTCTGTACCTGTATC CCTATCCATTCTACCAAGAGATATTTAGGCTACTGGGTTCCC TCTCTGGATATATATATATATTTGCACTTAGACACTCAACTTACTT TCAAGTGGAAAAGGCCTTCGTGTTGCTGTTGTTAGCGGTTG TTATATTGACTTTTGTGCAATTATACTCTTCAGGAAGAGATTCT GGCCTGAGCAAAGGACTATCTAGGTATAGT	AT	S	15,87	179	CCCGTTGCGACTGTT ACTT	60,2	CCGCTACACAAAAA CAGCAA	59,9	50	45	
107	BrPe0107	Maracuja_NoIndex_L	2	860	873	14	7	12	TTCTTCTACCGTTCCAGATCAATGATTTACCTCCTTCAAGACT CCATATCTGCTTATGGGTCGCTGGGTAAGCCTGCTCCGGCATT AATAAACAAACCGAAGGATTATTACATTCTGAATTCAAAGAGTCAG AGCAATTACATATATATATATTCTGTATAAACACATACCTAAAA CTCATGACATCGAAAAGGACACTGTGTTGGTAGGGAGTTTGAA GCTTCTTGATTTGGAGAAAATGTGTTGCCGTTAACAAAGAGCTC CCAAAACAAGTCTCCCAATGACCTCTCTGAA	AT	S	12,1	208	TATGGTTCTCGCTGG GGTAA	60,5	ACGGCAAACACATT TTCTCC	60,0	50	45	
108	BrPe0108	Maracuja_NoIndex_L	2	2522	2533	12	6	10	AGTTTCTGGGTATAAGTTAGATCTGCTCAACAATGCTAAATAAGT TTATAGATCTGCAAGAATTAGGCCATTGAAACAGATGAGAAAGACT AGCAAATAACAGGTGAAATACGGTACTGCTAGTTACACTGTGAC ATTGCGTCAGGATATATATATCACATATTGGTGGCTACTTTA GTGGGTGTGCTTATAATGAGTCCACTGAACAGGATGACATATC AAACCCCTCCCAGAAGAAGCAATTGCAATTAGCAAGTACTCAC AACCAACAAAATCTTTAAGTGAAAGTTGAA	AT	S	17,99	190	GCAAGAATTAGGCCA TTGGA	60,0	TCTGGGAGGGTT GATATG	59,7	45	50	
109	BrPe0109	Maracuja_NoIndex_L	2	5769	5784	16	8	14	ACAAGTTTCACACTGGACACTAAGGGACAGCAAAGGTGAAGA TGCAAAAATAAGGAAATCCACATCATCTGTCCAGAAACTGTAAAT ATAACAAAAACAAATGAATAAAAGTAAATGGGAGATGACAAGCAT AGTTGGACCAACAGTGTGTGTGTGAAAGCTTCAATGACA AAGGTAAGTACAACCTTAGTCCAATAATCAAAGTAAAAATTG AAGATGAAGCATAACATTGATCTGAGAGAGTTGGCTTATATAAGC ATAGTAATGACCGCCATGACACCTCACTGTGAACCTAAGA	GT	S	18,87	235	CAGCAAAGGTGAAGA TGCAA	60,0	AGGCCAACTCTC AGATCAA	59	45	47,6	
110	BrPe0110	Maracuja_NoIndex_L	2	348	363	16	8	14	CTGGTACTTGTGAGGGTTGTGGGTGAAACTGGCTACGAATCCC AATTCTACCGCTTGTGTTATTGGCTTGTGGCTTGTAGCCAGC AGGTAATTATTACAAACATTGGCGATTAACTTACTTAATTAC TACACGTCAATATATATATATATGTTCTTATTGTCTTATCAATTGT TAGATGGCATTGGGATGCAAGCATCATGGAGGGATCCGTATCG ATTATGGCAAAGCTGGCACGGGACTGCAATGTCAGTATGGGTG AGATTATGATTCTATATAATTGCCATTATAAA	AT	S	15,46	185	CTTGCTTGGCTTTG TAGC	60,0	GTGCCAGCTTTGC CATAAT	60,1	50	45	

G: genoma funcional

S: genoma estructural

P: polimórfico

M: monomórfico

APÉNDICE

Marcadores microssatélites desenhados a partir do sequenciamento parcial e da montagem *de novo* do genoma de *P. edulis*

Nº	Primer	Contig	Motivo	Inicio	Fim	pb	Nº Repet	Score	Sequência do contig	Unidade	G/S	Cobertura	pb	Sequência Forward	T °C Fwd	Sequência Reverse	T °C Rev	% GC Fwd	% GC Rev	P/M
111	BrPe0111	Maracuja_NoIndex_L	2	365	380	16	8	14	CTTAGCGGAAACCAATTCTGGGAATTGACTATTATTACATCTCCA TTAAGCTTAATTGCCAATTACCACTTACAGGAAATCCACAAAATCG CCTCAAATGGTAAGTCAAATTGCAAATATTCTGAAATAGAAT ATCAAGCACATATATATATATGTACTAATGAATCGTCAAATG AAGAGGCTATTGAACTATGCAAGTGAAGAAGGTGTCACCTCTT CGGTCCATTAGAGTGGTCACTCCAGGACCTGGTCGACCCCCA ATCTTAAAGTAAACACCATCTCCACGCTTCAAA	AT	S	14,33	190	GGAAATCCACAAAC CATGC	60,2	TCCTGGAGTGAACC CAACTC	60,1	45	55	
		003_R1_00																		
		1_contig_4																		
		2689																		
112	BrPe0112	Maracuja_NoIndex_L	2	2697	2712	22	11	20	GGTTTGATCGATCTATGCTCAAGGAATCAACAGATTTACAGATT ATAATAAGATTATAAGCTCCACAAATCCAACCGAGATCATGTCCTTT AAAAAGATGAGGAAAAAGAGAGAGATAAAAGTGAATGGCACAGAT TATATATTCATATATATATATCGTCACGATATCGGTGAGA TTAACCTTACGATCGGGATAGTCACCACCTTAAATATATAT ATATATATATATCAGCCAGTCGATTACAAGTTGAAGGAAATT TAATCAACTTTTTCTTATTTTCACTGCCTAAAG	AT	S	17,42	100	AATCTTACGATCGGT TGGATA	59,7	GTTGATTAAAATTC CCTTCAA	57,2	40,9	31,8	
		003_R1_00																		
		1_contig_4																		
		3125																		
113	BrPe0113	Maracuja_NoIndex_L	2	7866	7883	18	9	16	AGCCATACACAGCTCTTCAGCCTGCCATGCAATTAAAAAA ACAAGGTTGGACCAAAATCAGTAGCAAAATGGGGATTCTGAGTT CGATGTTGATTGAAAGATAGCCTCTGGAAACTTGTAAATGGTCAA ATTAATTCTGTATATATATATATGCCAGTTGTACAAAGT GTAAACATTAGGATACCCCTCAATGACATTAATACTGGGTGAG ATGGTTATGCATGCTTCGTAACCTTACAGTGCACAGTGTGTTCTGG ACTTCTGCTGTGAAACTATTAGTGCAGTGCAAAGAG	AT	S	16,33	183	GCAAAATGGGATT CTGAG	59,5	CGAAAGCATGCATA ACCATC	59,1	45	45	
		003_R1_00																		
		1_contig_4																		
		3818																		
114	BrPe0114	Maracuja_NoIndex_L	2	334	345	12	6	10	GGCACGGTGGCCGGTGGAGAGATGCTCAATGCTCCATGACAT TGAAAGGCTGAGCTGCTCTCCCATTGATGAGGTGGTCCAAGTCC TCCTGTATGGTATCTGGTGGCAACTCTGATGTAGAAGTGCATT GGCCGGGTTTATATATATAGCCGGTGTCAATTCTTATTAA CTATTCTACCATACAAGTAGTAAATGCAATGAATCTTCTATAGAA AGGAAAAATATATTTAGACAACAATGTATTCTAATC AGACTCTTATTCTTACCAAAAAATTTC	TA	S	12,7	165	AGCTGCTTCTCCCATT TTGA	60,0	CATTGCGATTTACT ACTTGTATGG	59,1	45	36	
		003_R1_00																		
		1_contig_4																		
		4175																		
115	BrPe0115	Maracuja_NoIndex_L	2	4863	4878	16	8	14	ATAAAAAAATAAAACAAATCCAATAGGTGTGAAATTCAATAG CTCACTTTTTAATGAAACATGGTTATTATTTAAAAAATAAAGCA AATTTCACCTCAATTAGCGATTGACCGAAGCACATAGAAAGAC AAAAGCATATGTATATATATATAATTGATAAAAGTTTAGTA ATTATATCGACATTGTGATAATGTATAATTGTTGGAATGATGG GAATTTCAGATTAGACTAAGGTCCAATTGGTTAGAGAG	TA	G	16,85	157	TGACCGGAAGCACAT AGAAA	59,3	TCTCTAAAACCAA TTGGACCTT	58,3	45	34,8	
		003_R1_00																		
		1_contig_4																		
		4276																		

G: genoma funcional

S: genoma estructural

P: polimórfico

M: monomórfico

APÉNDICE

Marcadores microssatélites desenhados a partir do sequenciamento parcial e da montagem *de novo* do genoma de *P. edulis*

Nº	Primer	Contig	Motivo	Inicio	Fim	pb	Nº Repet	Score	Sequência do contig	Unidade	G/S	Cobertura	pb	Sequência Forward	T °C Fwd	Sequência Reverse	T °C Rev	% GC Fwd	% GC Rev	P/M
116	BrPe0116	Maracuja_NoIndex_L	2	2456	2467	12	6	10	AAGAAAGAACAGTCACACATGACGGTGGATAATGTTATATATGTA ATAGCCATGGGATTCTATAATGGATATACATGCAAATCAAGAGATC ATATAAGCTCAATGGAATGCTCGGTACACATTCCAAAAGATAAGC AATAAATATGGAGAGAGAGAGACCCTAGTGCCACAATGGAATG TGGCAGAATAAAAGAACATCTTACCATGTTTAATTCTGATAG TAAATTGACCATAAAATACGCCTGCAGTGGACAAACCTGTTA TACCTGGACAAACATAAGAGATAGTAAGGTGATAG	GA	S	18,46	171	TCAATGGAATGCTCG GTACA	60,1	GTTGCCACTGCAG GCGTAT	61,1	45	55	
117	BrPe0117	Maracuja_NoIndex_L	2	3113	3124	12	6	10	GGTGGAGAAGGAAACTGAAATCATCAACCTGTAGAAATCCACT TTTGCACTGACTGCAATACAGATGACCTTCTCTGTTCTGATAA AGGTGCGCTTTAAGACTCATTCTGCCAGGTTTATGATATATGAC TCCTGGTTGCATATATATATTATCCATTAGGATATTTGAT ATCAGTTTTAGAATATCCGCTCTCATATTGATTTAACTCATGC AGAACATATCTCCTGCACATATGCCGTGATATTGTGATACATAGAT GCTATACCTGTTGAGGAAAGCTTC	AT	G	17,33	170	GGTGCCTTAAAGA CTCAT	60,3	TCAGGCATATGTGC AGGAGA	60,4	50	50	
118	BrPe0118	Maracuja_NoIndex_L	2	3748	3759	12	6	10	ACATGTTATTATGACACTAATCTATGGATTTCCTTACGTT GATGTTCCAGTGATTGTTATGACTTCTCACCATGCTGAGCAA GCAGTTGACAGAGATTGATGTTGCTATTCTGACTGTTCTACAAT GTAAGTGTACACACACACGCACTCACTATCCAAGGTGGCAA GGATTGCTTTTATACCTTGAATATTTATAATAGCGTCAAT TAGATGACATCAATGACCATCTCCATCTCATTCTACAGAAAATAG ATATTGGGATGCTGGGACCAATTATGT	AC	S	17,03	218	GCTGAGCAAGCAGTT GACAG	59,9	TGGTCCCAGACATC CCAATA	61,1	55	50	
119	BrPe0119	Maracuja_NoIndex_L	2	3111	3122	12	6	10	CTACAAAACCTGGTCCCACCAAGCTAGCCCCATGTGAAAGAAAG CTACACCTGCACTGCCACTTTTGCCACAAGCATGTTACAAGTC ATGTGAATCATAATCTACCAATCCGATACATGCTCTCCCTTCTT TTCGATTCATATATATATGTCAGGTTGGAAAACCGA AGCACCGACGAATTAGCAGTGTCAACAAAAAGTACCAAGAGCA AGGGGTGACACTTCCACGCCAATTACTGACAACAGCGTATATG ACTGCACCATGCTGTAGATTCTGTCAGGA	AT	S	14,99	241	GCTAGCCCCATGTGA AAGAA	60,2	TGTCAGTAATTGGC GTGGAA	60,1	50	45	
120	BrPe0120	Maracuja_NoIndex_L	2	379	390	12	6	10	CAATGGCATGTGACAGGATTGGTGTGACGTCAAAGACT TGCATTGACATCATTGCACTCTATTGACATGGCACTACACA CGAGTCACCCAGTCCAACCATGGACTCTATATTGTTGATGCTCGT GATTGATATTGTCAGGACGTACGTGAAATGAGAATACTGAGCAG CCCGAGATGAGTGTCAAGGACGTACGTGAAATGAGAATATC AGGATGGGTCCGAGGTGA	TG	S	98,66	170	TGACATGGCACTACA CACGA	59,7	TCGGACCCATCCTG ATATT	59,2	50	45	

G: genoma funcional

S: genoma estructural

P: polimórfico

M: monomórfico

APÉNDICE

Marcadores microssatélites desenhados a partir do sequenciamento parcial e da montagem *de novo* do genoma de *P. edulis*

Nº	Primer	Contig	Motivo	Inicio	Fim	pb	Nº Repet	Score	Sequência do contig	Unidade	G/S	Cobertura	pb	Sequência Forward	T °C Fwd	Sequência Reverse	T °C Rev	% GC Fwd	% GC Rev	P/M
121	BrPe0121	Maracuja_NoIndex_L	2	165	192	28	14	26	GCAGAAGCTGAATATCAGACCAACCAAACCAGGCACCGTAC AAGTAATGAGAGAGAGAACAGACAGAAAAGCCATGGATTGAAAGAA GCCAAGACACCTGTACTTATGAGGTTATGAGACAGACAAAGTCACA GGTGGCGTTCATGATATATATATATATATATATATATTTCC ATACAACCTGAAAATTATTATACTATTAAATTAAATTCCATCTCTT TTAATATAATAAAAGAGCCTTGATATTTGGTACCTGAAATT ATATTAAAAAAAGAGGGAAATAAAAGCGGGTATTGATCATT	AT	S	28,68	207	ACAGAAAAGCCATG GATTG	59,9	GGTACCAAAATAT CAAAGGCTTC	59,3	45	37,5	
122	BrPe0122	Maracuja_NoIndex_L	2	392	405	14	7	12	AACCGGGATGATTACAAAACCCTCCAGATGTTCCAATTCTG CCTTCAAACAAAAGGGTCTCATCTAAAGAAACACTATCCTTAC AATTGAAATAAAATTGTCTGGCTGCTGGACATGCCCTGGCT TAAACTCTCTCTCTCTGTGGCCATAGGTTTGTCCCT TGTGAGCTGCAGAGGGAGGTCGAATTTGATGTTCCCTCCCTCT CTGCTTTAGTGGATTGGCTGTTCCGATAAACTCTGTCTTGAGCCT ACCACATTAATGCACTGACCCATAAATC	CT	G	17,05	235	GTTTCACCAATTGCG CTTTC	59,6	TTTATCGAACAGC CAATCC	59,9	45	45	
123	BrPe0123	Maracuja_NoIndex_L	2	2500	2511	12	6	10	GTGATTCTGGTACTTGGTCAGGAGTATAAGCTGGATATTTCT TTCTGACACTTCACAGATACTGGTATAGTCCAGAAATTCTTAC GCAAATTGGCTGGATTGTATTGTCTGCAATTCCCTAAATGTT TTGTTATGATATATATATTCGAATTGCTAATCCCTTCTTAC CTCCTCTAGGAACATGAGAGCTCTCTGTGAATTITGAATCTTC TGATACTTGGAAATTCAAGAAAATGAGATAATGAATGCGCAGGAT AAACAAAGGTCAATACGGCAAATTAGCA	AT	S	17,7	180	TTGGCTGGATTGTATT GTGC	59,5	CCTGCGCATTCTATT ATCTCA	59,8	45	45	
124	BrPe0124	Maracuja_NoIndex_L	2	2725	2742	18	9	16	AATAATCAATTACTATAAAAGTTGGAAAAAAAGTATAGATTCAAGAG ATCGAATAATAATGAAGCAAAAGAATGAGATGAGTGTGGTGG TTAGATCAAGGAAAGGAATGGGAGATCAGCTACGAAGGAGACCTC GAATCTGAGAGATAGAGAGAGAGAGAGAGCACGGTTGAGTG ATGCCAAGATCGATTGAAATAATTGGTCAGGTTTGTGG GGGAAGGCAAAGATGTTACGGATACGGTCTGATACATAATAT TGTGCAATGTTATATGGTGCACGTGTT	AG	S	18,61	152	TGGAGATCAGCTACG AAGGAG	59,6	TCGAACGGTATCCG TAACATT	59,4	52,4	42,9	
125	BrPe0125	Maracuja_NoIndex_L	2	520	531	12	6	10	TGAGAAGTTAGACGAGTACTGACAGAACACCAAGCTGCATTGAA AAACATGCAAACCATGGCGTAAGTATGCTATGGAGCTAGGAAC TGTTAGAATCCATGAAAGGCTGCTACGAGGGTTTCCAAG TTCTCACCAGGTATATATATAACATAGTTCCCTAGAAACTGAGC TTGAATTACAGGTAGACTGACAAGAAACTAGCAATTGCAGGT ATGCTCTCTTACTTCTGTTACTGTTGCTACTGTTGCTAA GATCCAACAAAAGGTTATTCAATGGTTGCA	TA	S	16,9	192	GCAAACCATTGGCG TAAGT	60,0	AAAGAGGAGCATA CTGCAA	57,6	45	45	

G: genoma funcional

S: genoma estructural

P: polimórfico

M: monomórfico

APÉNDICE

Marcadores microssatélites desenhados a partir do sequenciamento parcial e da montagem *de novo* do genoma de *P. edulis*

Nº	Primer	Contig	Motivo	Inicio	Fim	pb	Nº Repet	Score	Sequência do contig	Unidade	G/S	Cobertura	pb	Sequência Forward	T °C Fwd	Sequência Reverse	T °C Rev	% GC Fwd	% GC Rev	P/M
126	BrPe0126	Maracuja_NoIndex_L	2	995	1006	12	6	10	CGTGGGTCCCATTAGCACGTCAAGGATTAGATCTGTATTGGATTCTTC CTTTITCCGCTCGCACCAAATGGCGGTTGTAATTACTTATATT ATAAAGGTTTGACTCTTTCCACAAAATCAAGATTGATTAGATGG TATGTGAAATATATATATTATGTTGAATCATTAATAAAACTA TTATAAATAATGAAATTATCTACATGAATTATGACAGAAGAAG TTCATACAATGAGTTAATAATAATTGAAATTAAATCAAAGAC ATGTTTCAAATTCAATAATAATTAAATG	AT	S	17,62	235	AAATGGCGGCTTGTT AATT	58,6	TGAATTITGAAAC ATGTCTTG	59	34	30,4	
		003_R1_00																		
		1_contig_5																		
		4356																		
127	BrPe0127	Maracuja_NoIndex_L	2	619	636	18	9	16	TCTGTGCCTATCACGGTAGTGTGATGCATATAACTAATGTGCCCTC TATCGGGCTCGTTCTGTATAATCTATGTACGTATGTCGTATA ATGGTGCATTGAGAAATTCTTCAACTTAGCTTCAAATCAGATC CTTGTACCTCTCTCTCTACCATTTCTTATACAAACT GAACTTGTTGATTCATGAAATAATTAGATAGCCTTATCTGTTGT TTACCTGAAGGCTAAACATGAAGCAGTAACAATAATTGTTGCAA TTTGTCAAGCAGTAACTTATGCACTTAC	CT	S	15,01	244	CGGGCTCCGTTCTGT ATAA	60,1	TCAGAAAAATTG CAACAA	58	50	30	
		003_R1_00																		
		1_contig_5																		
		4506																		
128	BrPe0128	Maracuja_NoIndex_L	2	466	479	14	7	12	GCAAGGAATTCAAGAATCTGAACAAATGAAAATCTTGACGATCA ATACCTTATAACATGACACACCAATACCACGCTAAGAAAAACCAAT CATCTGGAACACGAGGAATTGCGCACCATGGTCAGAGCTAACCC AACATTCTTGAGAGAGAGAGAGAGAGAGCTTCTGGGCTA CCACCAAACAACTCTCTTCAATGTGGTACTTCTCTTGT CTTGTGGTTGTTCACTATTTCTGCAGGTCTACACCAACTTCTG ACTATATTGCACTGCCACTTGACATGGTCAAAG	GA	G	16,47	162	CACACCAATACCACG CTAAGAA	60,1	GCAAAGTAACCACA TTGAAAAGA	58,4	45,5	34,8	
		003_R1_00																		
		1_contig_5																		
		4674																		
129	BrPe0129	Maracuja_NoIndex_L	2	977	988	12	6	10	ATATTTCTTCCCCAAACTAAAGATGGATGCCCTCAGTCATA AAATGAAATAGTCGACCTCTAACGATAGTTGGATCCCTATT CTGTTCTCGAAACAGGTTTAGGGATCTACAGACAGAGAATTGG AATTGGTAGCTCTCTCTATGTTATCCATCAACAAGAAGGG AAACCAATATCACAGCATGGCAGGCCCTCAGTTCAACAAGGTCC CTACAGGCATCTGAAGCAATTCTGGAGCGAATATCTGATTAGGA GAAGCAAGTAGCCTGGTCTGCAACAGCGT	CT	G	13,05	174	CTAAAGATGGATCGC CCTCA	60,2	TTGGTTCCCTCTT GTTGG	59,9	50	45	
		003_R1_00																		
		1_contig_5																		
		7617																		
130	BrPe0130	Maracuja_NoIndex_L	2	232	245	14	7	12	AGGAACACATACATGCATAGCATGCAAAACCCCTACCTTCC TCTTCCCTCTCTCTCTCTCTCTCTCTCAGCCAACCCAG CCTCACAAGAACCTCAGCTGCTCACACCCAAAGAGCTCTCCCTCTC TCCTCTCACTCTCTCTCTCTACTTCACAATTGACAAAT GAAAGCAAAGGTAAGGAGAGTGGTTGATCTGGAAAAAGGCA TGGCTAGCTGGCATCAGGTGCTAGGGAAAATGTCAGGTGACAAAG AAAATTGCAAACCTTAAAGTAGTTGGAAAAATATG	CT	G	140,27	172	CTTCTCTCAGCCAAC CCAAG	60,0	CAGCTAGCCATGCC TTTTTC	60,0	55	50	
		003_R1_00																		
		1_contig_5																		
		9911																		

G: genoma funcional

S: genoma estructural

P: polimórfico

M: monomórfico

APÉNDICE

Marcadores microssatélites desenhados a partir do sequenciamento parcial e da montagem *de novo* do genoma de *P. edulis*

Nº	Primer	Contig	Motivo	Inicio	Fim	pb	Nº Repet	Score	Sequência do contig	Unidade	G/S	Cobertura	pb	Sequência Forward	T °C Fwd	Sequência Reverse	T °C Rev	% GC Fwd	% GC Rev	P/M
131	BrPe0131	Maracuja_NoIndex_L	2	3270	3281	12	6	10	TAATACATTAGGTTGGTAAAGACAAGAGTACAACGTTGGTGAAG CGTCTCATAGTTGTTGCAGGAGTTACCATCTTCGATTGAAGAA GAAAACAAAGATAATTAGCGATGATTAGGATATGCTAACACTGATA TTTCCTTAAATATATATATATATCAAGAAAATTAAAGGGTTCA CAAGAATGAAAATCATTAACCCCTTTGGAAAGTATAACCATT ACGATCCGCAAGCAAATAAGAGGAAGTGGAAACCAATAATAAT AATATTTTCAATTATTTGTATAATT	AT	S	16,71	155	CAAAGATAATTAGCG ATGATTAGGA	58,1	TTTATITGCTTGC	60,6	32	40	
		003_R1_00														ATCGT				
		1_contig_6																		
		0595																		
132	BrPe0132	Maracuja_NoIndex_L	2	1521	1534	14	7	12	ATGATCCCTGACACATTGACGAATTAACTTTCCAGCTTCATCCA AGCTTCTCAAACCAATCCAGTCATCAATGTAGAGCTAGTCGTTAAT GAATACAGCATATGCCCTACTTGATACAATCAAATGGAAGATGGAC TTCAACCATCATATATATATATGCACACTGCAAGACTGCAGACG CATGAACTAGAACATATATCACCTCTGAACAGGCAAATGCGAA CAAATGAGCGCTGGTAGTAACCAAACCATGAGGTTCTTGGT ATCAAAACTTTATCATGCTCAAACGTATAACCATT	AT	S	16,05	209	CCAGCTTCATCCAAG CTTCT	59,6	GGCTCATTTGTTGC	60,1	50	40	
		003_R1_00														ATTTT				
		1_contig_6																		
		2779																		
133	BrPe0133	Maracuja_NoIndex_L	2	2646	2661	16	8	14	ACCAATCATTATCCCCATAACATGGAATACTGCATTATGCCACTGA TGAGTACATTCTGGACCTGCACTGAGAAATGAGAACAGGTGATGG GAATCTGCAGGTGCTGCAATCTCATATCCCCTGTGTTAAATCTAC AAATCTTACATATATATATATATATTGCAAGACGAACCCGTTAGAC TGAAGCGTAACAGCATATCAATGATAGCTTCTAGCTTATTAGA TGCCTTATGTCCTCTCTGTCAAAATTCAGAGACTAAAAAT TCAATCCATTCAATTAACTATTAGGCCCTAATG	AT	S	18,08	181	AACAGGTGATGGAA TCTGC	59,9	TTTGACCAGAAGA AGGGACA	59,7	50	42,9	
		003_R1_00																		
		1_contig_6																		
		2965																		
134	BrPe0134	Maracuja_NoIndex_L	2	3428	3443	16	8	14	GCAAGAAACTTCAGAACATCAGTCATTACAGATTGAAAGAAATATA GCAAAAAATTAGTCCTATTCTACCCATGGATTAGCCATGCCAACGC ACCACAACTTAAACACTCGGGATTAGACGAAAGGGGTTAGGAC TTGGATATAGACATATATATATATATTATACAGGTTCTGTA TCCTGGCTAAATAGCTAACCATAGACACCGACATAGACAGAAAC CAGTAGAGATTACTACTATAGCATACAAGGTTAATTTCAGG ATTTGGGCTGTTATGGGCTTTAAGATATGCGAGC	AT	S	18,6	216	CATGCCAAAGCACCA CAATA	60,5	TCCATAAGCAGCCC AAAATC	60,0	45	45	
		003_R1_00																		
		1_contig_6																		
		3110																		
135	BrPe0135	Maracuja_NoIndex_L	2	704	715	12	6	10	TTGATCGAAGAACGATAAGTTGGCTTGTGTTGCCACTCCTCC CTTCTTGGTTCTTTATGGTACTTGTACCGTCTCGAACCTCTTT GCACTTCTGGCGCTCGATTAGCCAAGTTCTTCTGCT CATCAGTATATATATAACATCAGTACAACCGAGTAACCGCT TTCTTATCTAATTCCCTCTAACAGGTTACTTCAGGAGAGA AAACAAAACATTGAAGGCATGGCACATAAAATAAAATTTAAAAAA AGCAGATAAGTTAACAAAGGCAAAGGCAA	TA	G	13,98	210	AGTTTGCCGCTTGT TTGC	60,3	GAAGTAACCTGTTA GGAAGGGAAA	59,1	45	41,7	
		003_R1_00																		
		1_contig_6																		
		4475																		

G: genoma funcional

S: genoma estructural

P: polimórfico

M: monomórfico

APÉNDICE

Marcadores microssatélites desenhados a partir do sequenciamento parcial e da montagem *de novo* do genoma de *P. edulis*

Nº	Primer	Contig	Motivo	Inicio	Fim	pb	Nº Repet	Score	Sequência do contig	Unidade	G/S	Cobertura	pb	Sequência Forward	T °C Fwd	Sequência Reverse	T °C Rev	% GC Fwd	% GC Rev	P/M
136	BrPe0136	Maracuja_NoIndex_L 003_R1_00 1_contig_6 5330	2	3980	3991	12	6	10	GTTCCCCCAAAAACCTCTATTACTATTTACACTTTAACAAAT GGGTGGATCTTCCCAGTTGAATTGGATTATTGGATTGTCATT TAACCTAATCAAATGGAACAAAGAGCAAGCATGGAGAGTCATT TCCCCATCTCTCTCTCTCCAAATGGTTGCGTAGCCCTCATG TGTAGCCTTTTCCCCCTCTGCAAGTTGAGGGTTATTATAATC CCAATCCAGGTAACATGTTCTTAAGTATGAATTCTGATTCTAC AAGTTGTTGGATTTTGATTATATCT	TC	S	17,37	195	GTTTCCCCAAAAAC CTCTA	058	GCTACACATGGAGG GGCTAC	59,6	45	60	
137	BrPe0137	Maracuja_NoIndex_L 003_R1_00 1_contig_6 7544	2	1424	1443	20	10	18	GACCCACTGGTCAAGTGTCAATGAAACAAAGGTGTGAAAGTC AGTCATTATTTGGTCATATACATAAAAATAATTCCAATTGACAA AAGAAGAGATTGTTGGATATCCCAGCATTGCAACTTGTCTTAA CATGAGCAATAGAGAGAGAGAGAGAGAGGGAGGGTAACATT AGTGTGCAAGTCTAGTTGATGCCCTGAATTGTGCAAATGCCAG GGTAAGAAATTAGGATAAGTAATCAAGGAGGAAGGAAAGGAAAGT GACCTGAGCAGCTTCTTGATAACTAACATCAACATCTA	AG	S	18,24	219	TCAATGAAACAAAGG TGTGGA	059	TCTTACCGTTGCTGG CATTT	60,6	38,1	45	
138	BrPe0138	Maracuja_NoIndex_L 003_R1_00 1_contig_6 8408	2	471	482	12	6	10	CTCGATCTTAAAGACAAAACATGAGATCACTGTGTTCAATGG AGTGAATTTCTTGACAAGACATTTGGAGGAAGCTCAAGGAAG AGATGATCATGACCCAGATACCATTGTGATAGCTCACTGCCACGTT CAGGTAGCACTATATATATAAAACATAAGACATCCAATGG TGAAGAATTATGATAATGAAGAATAAGATGTCACTGTCCCTGAA ATGAGAGACAAACTCAAGGAAAACCCAACACTGTAAATT TAGATTTAAAGAACGAATTATCATATAGTTAGT	TA	S	17,74	161	GGAGGAAGCTCCAAG GAAGA	60,8	CATTCAGGGGACA GTGACA	59,5	55	50	
139	BrPe0139	Maracuja_NoIndex_L 003_R1_00 1_contig_6 8563	2	900	917	18	9	16	ACTACAAGAAAGTGAGGGTGGTGCACTTGTTGACACAATTCAA ATCACCTTCAGGGAAAGATCATGCGCAGGGTTAAAGAAAAGATG GTCGAGAAGATGAGAACCAAATGATTAAGACTGTCCAATTACAGC CTCAAGTCTCATATATATATATATGAAAAGATGCTTCA CTTCAATCATTAAGTGGCAACAACTAATACGCGCACGCTGAGA AACCCACCAAGTACGTAATCCAAGAAGACTGTACAAGTACAAC AGTCGGCATCCACAGTTCACGAGTGGATAATAAAACAA	AT	S	15,68	242	AGATCATGCGCAGGG TTATT	59,6	CACTCGTGAACGT GGATGG	60,2	45	55	
140	BrPe0140	Maracuja_NoIndex_L 003_R1_00 1_contig_6 9143	2	1300	1313	14	7	12	CATGTGGCTCTTGCTGAATCTGTCAATTGCAATTATGTGGA ATCACATCCCGCAGCTGCTAATCAAAGAGTGGACCTCTGTTCTCA CCTGGGTAATAAAACTTGGTTAAGGATTACCAACGGTATTCTCTTA AAGTTGTTATATATATAGACCGCTCTCCTTAAATTATA AGAAAGATTGGTCAAAGTTGCTGAAAATTAAAGGTCTTCAAC TTAATCTCATCTGATGTTAATTCTGCGGTGGTCTACATAC TATGCTTAGTTCTATATAAAAGGACATA	TA	S	17,65	200	GGACCTCTGTTGCTTC ACCT	59,3	AGAACACCACCGAC GAATAA	58,1	55	45	

G: genoma funcional

S: genoma estructural

P: polimórfico

M: monomórfico

APÉNDICE

Marcadores microssatélites desenhados a partir do sequenciamento parcial e da montagem *de novo* do genoma de *P. edulis*

Nº	Primer	Contig	Motivo	Inicio	Fim	pb	Nº Repet	Score	Sequência do contig	Unidade	G/S	Cobertura	pb	Sequência Forward	T °C Fwd	Sequência Reverse	T °C Rev	% GC Fwd	% GC Rev	P/M
141	BrPe0141	Maracuja_NoIndex_L	2	805	824	20	10	18	AAGTGCATTACAGCACCATGGGAAGACAAGAAGAGAAGCTACTTGGGTTGTCTAAAGCCTCGTGTCTTACCGCATTGGTGTCTGAGATAAGAAGAAGAAGAGTAGATTGTGTATAATCTCTGGATAACCCGAGAGAGAGAGAGAGAGAGAGAGTCAGGAAGGGAAATGTTGAAGGTAAAGCTCTGTTAGAAGACACCGACATGCCATTGAAGATGCAGATCCAAGCCATGGCTCTGCTTCAGGCCATTGATCTATGATGTAATTGACTGCAAATCTATAGCTGCGCATATCAAAA	AG	G	16,41	109	TCTCTGGATAAACACCGAGGA	59,7	CTGCATCTCAATG	59,7	47,6	45,5	
		003_R1_00														GCATGT				
		1_contig_6																		
		9605																		
142	BrPe0142	Maracuja_NoIndex_L	2	3178	3197	20	10	18	CAGGTACATCGCACCTACTCTCGACCTTGACTTCTATTGGGCAATGTGATAGTGTGATGCCTTAACCCAAAGACAGAAGTGCACCAAATCTACTTTGTCCTTTCTTTCTTCCTCACTTTGAATAGATCCCATTGAACTATATATATATATATACATATCAGTGGTTCTCTTTGGATTTCAGAGTCCTCACCTCTAGCATAGCCTAGACCTCTCATGAAATCCATGATTGCGATTGCGATGTTACTCCCTCTGTGCAGCCGAATTGACAGAGACATGGTGGAAAGGAACAGTCATG	TA	S	16,64	190	TTCCCTCACTTTGAATA	58,4	CCTTCCACCCATGTC	60,0	37,5	55	
		003_R1_00														GATCCCTA	TCTGT			
		1_contig_7																		
		0250																		
143	BrPe0143	Maracuja_NoIndex_L	2	5014	5037	24	12	22	TTTTAATTATAAGATCTAAATCATATCTTCGGGAAGATATATCTAAATTCATGTTCTGTTATCGATGTTTTATTATAAGATCATGTTGATCGAATTGGCGAAGATATTATTATTGAAATAAGTAAATGTTATATATATATATATATATATACATCTAAACACAATGATCATGATTGTCAGAACCTGGATAGTAAGTGTATCCTGGTCGTGCCCCATGAAATTGCAATATTGCTGCTTAATCAAGGAATAAAACCATACTAGAGAAACTTCGTGGAAGACTAAACTAACTATAGAATAACAA	TA	S	15,38	152	TTAGGATTGATCGA	58,2	ATATTCCAAGGGCG	59,9	36,4	52,6	
		003_R1_00														ACTTGG	ACGAC			
		1_contig_7																		
		1490																		
144	BrPe0144	Maracuja_NoIndex_L	2	2349	2366	18	9	16	TATTGCACCCATCTAAATGAAATGAATAGACATCATCTCTATAAGAAGATTTGAGCTATGCTGGATCGTTTATCTTCGCTCTAACTTAAACCCAAACCCACCTGCATCATGGCTGGGTACAGCAGTCATCGGCACATATTTATATATATATATACACGGTCACTAATTAAAGACCCACAGCAGCATACACATATATTCTCATCAACCCATCCCTGATCAGAACTCAGACTAGAAGATATGACATCGTCAGATGGCATTCCAACAAAGAAAATCGATCTAGATATATTATAAACTATTAAA	TA	S	15,2	157	AGCAGTCGATCGGCA	59,9	TCTTGTGGAATGCC	59,6	50	45	
		003_R1_00														ACTAT	ATCTG			
		1_contig_7																		
		1785																		
145	BrPe0145	Maracuja_NoIndex_L	2	241	252	12	6	10	ACAAAAAATAACAATAATATAATAATGGAAAGGTAATCAGGACCACTCTTGATTGAAAGCTTCTGGAACAGGGCTTAGTTAATTATTAACACCTAAACTCGCATAGTTTGAGGAAAAGCCAGAGAACTGGCAGCTGACCATATATATATATGTGCAATATTATCTTTTGCGAATGCGATGTTCTAGCTATGTAAGAAGAGTACAGACCTAAAAAGTAAACTAAAAATGTACAGATGGAGGAAGGTCAGATGTATAGCTGGCCAATATGATAGGGATTGCTCAACTGAGATCTGGCCAATATGATAGGGATTGCTCAACTG	AT	G	14,69	213	AGCTTCTGGAACAGG	59,1	ACCCCTCACCTTCCT	60,3	50	55	
		003_R1_00														GCTTA	CCATC			
		1_contig_7																		
		2514																		

G: genoma funcional

S: genoma estructural

P: polimórfico

M: monomórfico

APÉNDICE

Marcadores microssatélites desenhados a partir do sequenciamento parcial e da montagem *de novo* do genoma de *P. edulis*

Nº	Primer	Contig	Motivo	Inicio	Fim	pb	Nº Repet	Score	Sequência do contig	Unidade	G/S	Cobertura	pb	Sequência Forward	T °C Fwd	Sequência Reverse	T °C Rev	% GC Fwd	% GC Rev	P/M
146	BrPe0146	Maracuja_NoIndex_L	2	694	717	24	12	22	TGCGGAAAAAAGGAGAAAATCTTCAGAGACCATAAATAGCAAAA CAGAACAAAAATCCAACAGAAAAAGTCAGGAAAATAAGCCCGTT CTACAGGTAGCCCCCTATTCCAACAGTTGAGTCGTTCTCTTGC ACTCTTGGAGATGGAGAGAGAGAGAGAGAGAGAGAGAGATAG ACATCACAAAGGATTGCTAACACCAGGCATCAGTAACCCACACGC TAACCACAACAATAGCAACAAGAAGAAGTCAGTTGGCGTGTGC TGTGTTCACTTACGGTACATTGTTAACCTTGGACCAAACAAGT	GA	S	14,52	151	CAGGAAAATAAGGCC GTTTC	58,7	GGGTTACTGATGCC TGGTGT	59,9	45	55	
147	BrPe0147	Maracuja_NoIndex_L	2	412	429	18	9	16	GAAAATTATAAAAAAGCCAATAATGTTTAAATTGGAGACT TTGGGTGCTTGGTAGGTGGGACGCGTAAAGCTACGTGGAACT TACCGCATCCACTCATATACGTGGACTCATATACCTGCCATTGG CACGTAACCCCTCTCTCTCTCTCCAAAGTAGTCATTTCTCA TCCAAGCACATGCAAGCCTCAATGTCATTCCCATTCAAACTCAC AATTCAATGTTCAAATTACAATGCGTTAACAAAGTCATTTTTT GTCAAATACATTAATTATTTAACAAAGTCATATT	TC	G	14,76	164	TTGGAGACTTTGG GTGCT	59,7	CATGTGCTGGGAT GAGAAA	59,6	45	45	
148	BrPe0148	Maracuja_NoIndex_L	2	1477	1490	14	7	12	TGGATGTTCACAGTCATTGGCATTGGCTCACGCCACATATCTGAG GGGAAGGTGGTGGTGTGTCCTATGGGTGGAAACTGATTTCAGAACTG GAGATGCTCATGGTGGCTTAAGCCTGCTCTATGTGATGATCTT CGACCTCTCTATATATATATACGTTCATGTTCAAGATTGCA GGAAGCAGCTTGTCTGCACAGATGTTCAAGCAAGTTTATTTC TGTTGAATTATTCTTTTTCTTTGGTACCTTGTATTACATC ATCATCATGAACTATGTTCTGTGCAAGAAT	TA	S	16,45	177	TATCTGAGGGGAAGG TGGTG	59,9	GAAGCATCTGTGCA GAGCAA	60,3	55	50	
149	BrPe0149	Maracuja_NoIndex_L	2	2378	2389	12	6	10	GCTGGTAAAGCACTTGTGCTGCCTCATCGAGATACATGGTAATGG TAATGTTTCAGTAACATATACTAGCTACTCATATATACCATGAACA ATCCTCTCGAAGAGGCCAACCTAGCTAGAAGTATAGTTACTA GCACTCTCTCTCTCTCGAAGAGAGAAAGAAACTAAAGTGT CAGTTCTGACATCATGGTACAGTCAGAAGAGTTTCAGAGGTGTCAG GCAACGCCACTGGGCTCTGGGCTCCGAGATTCTGCACCCCTTGC TGTACTCTCAACAACCAAGTCATTT	TC	G	14,03	184	TCGAAGAGGCCAAA CCTA	60,7	TACAGCAAGGGGTG ACGAAT	60,5	52,6	50	
150	BrPe3001	Maracuja_NoIndex_L	3	3926	3943	18	6	15	TAACAGACTAAGTTCCAATGAAGTGAATATGGGATCCCTGC ATATATACTGTGTTGAAATACAAAGTATTATATAACCAATTATCAT ATGACCATATGAAATGAAGATTGAAGGATCATGACCAGTGTCT ACAGACATTCCCTGCTGCTGCTGCTGCTGTTGGAAAGATTCAAAGTT AAATGGTCAAAAACCCACCTTTCTCTGTCCAATTACACATT GTTATGGGAGTTGGATCCAAGAATTCCCTACTTTCATGCAGAA ATCCTCACACTAGAAAGAGCAGCTATAATACCA	CTG	G	18,03	178	TGAAGGATCCATGAC CAGTG	59,5	AGTGTGGAGGATT CTGCAT	57,2	50	45	

G: genoma funcional

S: genoma estructural

P: polimórfico

M: monomórfico

APÉNDICE

Marcadores microssatélites desenhados a partir do sequenciamento parcial e da montagem *de novo* do genoma de *P. edulis*

Nº	Primer	Contig	Motivo	Inicio	Fim	pb	Nº Repet	Score	Sequência do contig	Unidade	G/S	Cobertura	pb	Sequência Forward	T °C Fwd	Sequência Reverse	T °C Rev	% GC Fwd	% GC Rev	P/M
151	BrPe3002	Maracuja_NoIndex_L	3	807	818	12	4	9	TCACTTCCCTGAAAAATCAATGCAGGACTCTGTATAACTGCTTT GTGCTTAGTAATTCATCCTGAAAAACCCATCAACAAGGTTTGATGA TTCTTACCTTCCCTTCTTCTGTCCATAATGTACACAGCACC AAGCTTAAGATGATGATGATTCTGACATGGTTGAATGAGTGGTTCAA CTCTAGCCTTTCTTGTGAATGGAGTGGTTCAA AGATAGTTAATGATTCTGCTCTGGATCCAATGGAAGAGAACAGAG GGAAGAACCATCATAAAATCTGAAGAAATGC	GAT	G	15,58	205	TCCTGAAAAACCCAT CAACA AGAATC	58,9	TTGGATCCAGGAGC	60,2	40	50	
		003_R1_00																		
		1_contig_2																		
		215																		
152	BrPe3003	Maracuja_NoIndex_L	3	490	501	12	4	9	TTCTCTAATCTGAGGCAGTCTTGGGGCTGGAGTTGATGGCTGGC TATCTCCCTCAAAGGAATGATGAGCATTGIGGTGCTGATGGGATTG CGATCTGTTCTTACTGGTGGGTGAATGCTTTGTTCTCTCCAA CCCGTAGCAAGAAGAAGAAGGTAAGCTACAAGAATGGTATT CTCTTGTCTATGATTTTACCAAGATGATTGATTTGAGAATGAGTC AACTTGATTACCTGATTATGGTCAACATGGCTCCCACAAGATGAT TTTATAGATCATAAAATCTAGCTAGATATC	AAG	G	17,3	190	GATGGGATTTGCGAT CTGTT	59,9	GGGAGCCATGTTGA CCATAA	60,7	45	50	
		003_R1_00																		
		1_contig_3																		
		042																		
153	BrPe3004	Maracuja_NoIndex_L	3	690	701	12	4	9	GGTGGACCTAGGATAGGGATGACCTACTGAGCAGATGTTCC GTGACTGTGTCATACCCAGAGACGTATCTGTGATGGATCATGGTGC GATGTTTTATAGGGCAGTTGCCATTGCTGATTTGAGACTATCCT CAATAGCTTAATGATGATGCAAGAGTTCCATTGATGATTGGT GACGTGATTGGACTAGATGATGGGACCGTTGACATGAGAGTT GATGGAGATACGATGACATGATGTTGAGGTGATTGCCAGCAG GAGATGAGTGTGAGGTACAGGGATTGGTATGCA	ATG	G	19,4	245	TGAGCAGATTTCC GTGAC	59,8	GCTGGCAAATCACC TACCAT	60,0	50	50	
		003_R1_00																		
		1_contig_5																		
		254																		
154	BrPe3005	Maracuja_NoIndex_L	3	4146	4157	12	4	9	ATTATCTCTATAATCCTGATTAACCAAAACCCAAACCTACCTC ACCTGGCCAAACTGATGTGAAATTAAAGCACCAAGAAACTCC AAAAAAAGGAATAAAAAGAACAAAAAGCAACCCAGAATTGTCAG GCCATTGGAAGAAGCAGCAGCAGCTTATCTGTAATCTGATGAAGT TTCTCTTCCAAATACCTAACCCCCCTCCACAATCTTCTCATGG TAATGATTCTTAGCTCTCCACCCATCTCTCTCTCTCTCTCT CTGTCTTCTCAACTCTTCTCAATGA	AGC	G	16,81	173	CTGGCCAAACTGATG TGAAA	59,7	ATTGTGAGGGAGGG GGTTAG	60,2	45	55	
		003_R1_00																		
		1_contig_5																		
		822																		
155	BrPe3006	Maracuja_NoIndex_L	3	865	876	12	4	9	TTTGGACCAAATCTCTCATCACGCCCTGTTCTGCCATTAT ATTGCTCATGTCGCGCTGATCCGGTCCCTCAAATCTCAGGAAGCAAC CGGTGGGACATCCACTGCTCTGCATCTCCTTTAACCTCATTCC TCCAATCTAGTAGTAGATTGCAAAATATGTCGCTCAGAAAAAC AACTCGAAGTTCATCAAATGAGAACAAATGAGCTAAAGTAC AAAATTTCATCCAATTAAACCAAGAACGAGTAAAAAGT ATATACCGAAAAGCAAAGCAGTAAAAAGT	TAG	G	18,91	219	ATCCGGTCCCTCAA TTCTC	60,3	TCGTCAGAGCCTAG TTGCTTC	59,8	50	52	
		003_R1_00																		
		1_contig_7																		
		006																		

G: genoma funcional

S: genoma estructural

P: polimórfico

M: monomórfico

APÉNDICE

Marcadores microssatélites desenhados a partir do sequenciamento parcial e da montagem *de novo* do genoma de *P. edulis*

Nº	Primer	Contig	Motivo	Inicio	Fim	pb	Nº Repet	Score	Sequência do contig	Unidade	G/S	Cobertura	pb	Sequência Forward	T °C Fwd	Sequência Reverse	T °C Rev	% GC Fwd	% GC Rev	P/M
156	BrPe3007	Maracuja_NoIndex_L	3	5431	5442	12	4	9	CTTCAGCTGAAAGGCACCTGATGGCGTTGGCAAACACTACTGCC GGAGACTGATCGAGGATTGGCAGCTGATTGACATCTTGTGT TTGTGGCCTCAAGGTCTGAAGGGAAAGTGGATGAAGCACGGCGGT GTGCGTGTGTTATGGTGGTGGAGTCATGGTCACTATGAGTTCTGT GATTGCTGGTGTGGCAGCTGGTGGCATACTTGAAAACGGATT GCATGAGCATCGAAGGGCTAACATCACTGCCTCTCCATCCTGTTGTG CATCCAGCTACTTGTGTTGAGCTTCTATA	TGG	G	19,52	170	AAGGGAAGTGGATGA AGCAC	59,1	TGCAACAAGGATG GAGAAG	59,8	50	50	M
157	BrPe3008	Maracuja_NoIndex_L	3	473	484	12	4	9	CATTATGTCAGTAATCAAATACTATTAAAGAAAATCTAGAAAA GAGGTCACCTTAGAGTTGGTCATCCACTTCATGTTAGCAA GCTTCCAAGGGATATGGTGAATAAAACTTCAGGAAGGCACGGAC ACTGGCTAACAGCTGCTGCTTAACCTCATATAGAAAGAGCTTA ACTGCACTGTAAGCATCTGTAAAAGACAAACAGAACAAATCA AGGAATGTCAGCACAAAAAAACAAGAGGCTAGGATGCATAGGG AAAACCAACCATAATGGCCATGCTAAATGGAA	GCT	G	16,36	190	TTCCAAGGGATATG GTTGA	60,1	TTGGTTTCCTATG CATCC	59,8	45	45	
158	BrPe3009	Maracuja_NoIndex_L	3	1858	1869	12	4	9	TAACATGTTAGTTACGACACAGACAAGGCTCTGAGCTACTTCTT CAGTCCTATAACCCTTCTTCATCAAGGGAGTAGAGTATATTAAAG AGTTCATCTTATCCTCTAATTAGGCTTTAGGTTGAGTTCAGT AAAGGGTCTCTCTCTCAGAGGGATACATTAAGTCAATAGTTC AGCTTTCTCTCTCTATGTCACATTTAATTCTGATTAG GGGCAATCCCCTTATAGTGTCTTCTGACTTATAGCATAT TAGCTAGTCCCTCTCTTCAACCT	TTC	G	27,95	228	CGACACAGACAAGGT CCTGA	59,9	TTGCCCTTAATCA AGAAAAA	59,5	55	40	M
159	BrPe3010	Maracuja_NoIndex_L	3	4066	4080	15	5	12	AGATGGCTAAAGATCCCTAGTTAAACTTGGATCGGGAAACAATC TCAATTCAAACATAACCATTCAAACATTGCAAGAAAAGAAATTAC AAATTACTACAGCAGCTACCATTGGTACCAATTGCGAGCACT TTCAGAAGAAACATCATCATCATTTGCACTTCCATTTCATCAT CTACAAACAAAAGAAAACATACTAAAAGAAGGTCAGAAAAAC CAACCAAGGGATTGTGAGGGAGAAAGACTAATACTCCCTCAACTG TCCCTACAAATTATACCAATCGCTGCAACTGCAC	CAT	G	17,86	194	ACCAATTCTGCGAGC ACTTT	59,9	GTGCAGTTGCAGAC GAATTG	60,5	45	50	
160	BrPe3011	Maracuja_NoIndex_L	3	506	517	12	4	9	ATTGTGCGTGCCTGCTATAATCTTACAAACTTATGCAAGTAATGAGT TGAAACGTCAAATAAAGTGTACGGCTCTCTGATTGACTCTTCA CTCATTGACTATGTTGGCATCTCCAGAAAAGTCCGCTGTGAAGAC ATAGCACAATTCTCTCTCCCTCAACAGAGAGGTAAAGAATTAAAGA TTAGGCTTACATGCAGATAGGTGCAAGTTCCAGGTGAGAGAGGT GTCTTGCACTCTGTGATCTGATCAGATTGCTCTATC ACAGGGTACGTACCCACCAGTCTTATTAT	TTC	G	15,26	165	CCGGTCTCCTGATTG ACTC	59,7	CCTCTCTCACCTGG AACTGC	60,0	55	60,0	P

G: genoma funcional

S: genoma estructural

P: polimórfico

M: monomórfico

APÉNDICE

Marcadores microssatélites desenhados a partir do sequenciamento parcial e da montagem *de novo* do genoma de *P. edulis*

Nº	Primer	Contig	Motivo	Inicio	Fim	pb	Nº Repet	Score	Sequência do contig	Unidade	G/S	Cobertura	pb	Sequência Forward	T °C Fwd	Sequência Reverse	T °C Rev	% GC Fwd	% GC Rev	P/M
161	BrPe3012	Maracuja_NoIndex_L	3	177	188	12	4	9	ACATTAGCACTTCGCCCTTCTGAAGATAATCCTTTCTCTTATCT CTGGGTTTCTGGACTTGAACCGCTCGGATGGATAGATTGCTATT ACACTCACTCTCTCTCTGAATGTGAAATCTGGCTTAGCTCA GACTCCCTCTCTCTCTAGATGTGAAATCTGGCTTAGCT ATTGCCTATAATGAGAAGAAAGTTAAAAAGTTCTGGCACCAGAA GATATAGAGTCACAGTAGATTCTATCCACCAGATTTTGAGATT CTGTATAATAATTGAGATTGACTCTT	TCT	G	24,96	184	CGCCCTTCTGAAGA TAATCC	60,0	GCAATGCTAAGAAG GCCAAG	60,0	48	50	P
		003_R1_00																		
		1_contig_1																		
		6160																		
162	BrPe3013	Maracuja_NoIndex_L	3	1534	1548	15	5	12	TTGTGTGCTGTATTCCCATGAACTTTATGTTTATTAAGGTTTT ATGGAATAGTATTGTTACTGTGATGTAGAGAACGAGTATGCA AAAACAAAATCAGATTGCTTGAGAGGAGAACGAGATCTATGATC CTAATGCAAAGAAGAAGAACGAGAACGAGAACGAGTGTGACT CAAATATCATTGCTAACAGTAGATTGATGCTGTGATAGGGGA ACCACATAGTAGAGTAGTAGACTAACGGTCTTGTGGTAGTTCT ATGTTGCTATTCGACATGTTAGTAGTAACTCC	AAG	S	17,16	237	TTGTGTGCTGTTATTG CTCATTG	60,0	TGGTCCCCTATCAC AGCAT	60,3	39	50	
		003_R1_00																		
		1_contig_1																		
		9157																		
163	BrPe3014	Maracuja_NoIndex_L	3	1171	1185	15	5	12	CCACGCCGTGACCGAGACGGAAGCGTGTCTAAAGTCATGCAC TTGCAAAAATTGGATATGAGAACCTCGAAGAACGAAACGGGT GGAGTTGCTGGGGTGAGGTAGCTACAACCCAGGGAACGACGA TAACGCCCTCTAGAAGAAGAACGACGACCCCCCTAACGCTCTT CGACCAACAATAGCTGGAACAGTACTGCAGATATTACGAATCA ACCTCACAGGCTTAGGTAGCAAACCTCACTGTAAGAGACGACTAAG CGTCCCTGTATCACAGGAGCAATTCTGGTCGGCGA	AGA	G	19,94	225	CGGAAGCGTGTCTCAT AAAGT	60,4	AAGCTGTGAGGTT GATTG	60,3	50	50	P
		003_R1_00																		
		1_contig_2																		
		1891																		
164	BrPe3015	Maracuja_NoIndex_L	3	2937	2948	12	4	9	AGAAAAGAGAAAACATAATATGCTCACAATAATTACACGTTGCG CTCTGAGAAAGAAAAAAAGAAAAAATACCTGCTGATTCCGG AGGAGCAGGAACCTCAGGAGCCAATCTCCGTTCTCAGGATCA TTCCCAACAGCTTCATCATCATCAGTAAATTGTTCATGCTCCCA ATCATCACCTACAACAGCATATGTTTATGACGAAGTACTCAA ATAAAAATGAAGATTCTGGATAAGGTTAAAGAAAGTCGTTATGCA ACATTCTAGGGATGAAAATGATGCAAGTGTGTT	TCA	G	16,71	192	AGGAACCTCAGGAGC CAAAT	60,1	TCCCTAGAATGTTG CATAACGA	59,6	50	41	M
		003_R1_00																		
		1_contig_2																		
		2335																		
165	BrPe3016	Maracuja_NoIndex_L	3	2101	2112	12	4	9	TGCTAATGAGATGGCAAATTTCTGTTCATTTGGATCGATCAA TACAAACAAGCTCTCACGACAAGACTGACAAACACCAATTCTCATT CATATGAGTCCTGCTACTTCCACTGCCCCTACCAACCATCTT GCCCATGCCATCCTCCCTCCCTCAAACACTGCTCCCATCTTGT TCACTTCCCATTTCTCTCCAATCTGGCAGCGACCTCAGACTTG AACCAATCTCAATAACCC	TCC	G	18,18	158	CGACAAGACTGACAA ACACCA	59,8	CGCTGCCAGTATTG GAGAAG	60,9	48	55	
		003_R1_00																		
		1_contig_2																		
		4907																		

G: genoma funcional

S: genoma estructural

P: polimórfico

M: monomórfico

APÉNDICE

Marcadores microssatélites desenhados a partir do sequenciamento parcial e da montagem *de novo* do genoma de *P. edulis*

Nº	Primer	Contig	Motivo	Inicio	Fim	pb	Nº Repet	Score	Sequência do contig	Unidade	G/S	Cobertura	pb	Sequência Forward	T °C Fwd	Sequência Reverse	T °C Rev	% GC Fwd	% GC Rev	P/M
166	BrPe3017	Maracuja_NoIndex_L	3	210	221	12	4	9	TATTAATTTACAGGAATTGACGCATGGTGATACGTGATAAAG TCACTCATACATCAGACCTGAAAGGGTGCATCAATACATGGGC ACGTCGATCCTGCAAACACAAGTGAAGTAAGGCATGGCACAGAA GCGAGACATTCAAACAAACAACACCTGTGGATCTCTATGGATTCC AGTGGATATTCGGAACCAACTTGCACCTATGATCTTCAATTAA AACATCGACTTATGTATCTGGATGTTCTATTAAAGTCCTCAATAT TTTGAGAAGCGCAAATATTAGCTTAGAT	AAC	S	32,43	190	GAATTGGACGCATG GTTGA	59,5	TTGGTTCCGAAATA TCCACTG	59,8	48	43	
167	BrPe3018	Maracuja_NoIndex_L	3	8781	879	15	5	12	CTGATACGGCAAATGATGTTGATTAATTACAAACAGGAGCATCATC GATCGCGACAGACATCAGAACATGGGACTCTTTATTCAAGTTAACATC ATAGAAATCAAGGGAAAAAAAGATTCCAAGACTAAATGTAGA GCTCTAAGATTGAAGAAGAAGAAAACAAATCAAAGTGT TGTTCGCTTGTGTTTATATGTGGAGAGTGCATCAACACGCAC ACCTTCAATTATACTCCCTCGCTGATGACTTGTCAAGCAGATCT GCACCTGTGGTCCCACACGGCCCCGGTGGTG	GAA	S	16,72	185	GATCGCGACAGACAT CAGAA	069	GTGCGTTGATTGAT GCACT	59,7	50	45	
168	BrPe3019	Maracuja_NoIndex_L	3	6465	6479	15	5	12	ATCTTTCACAAAAACTCTGAGTAGAGCTGAGTTGAGTTAGAAG CTCCTCCAACCTCGTAACTGAGTATCATTAAGCTGGGCTGCATCT TTGTCATTTCTCAAGCTGGCTTCTCCCTTCAACCGAGCTCTA TGAGCTTTCTCCCTCCCTCATGTTTGAGATAAGTCAGAAG CCCCCTTTCACATCTAGTATAGCATCATCTTCAACTTACCTG TTTATCCCACTGTTCTTCACACCACAGTTACAGGAAATAAA AAGATAAAACTCAGGAATAGACAGAGTATAA	TCC	G	20,69	184	GGCTGCATCCTTGTC ATT	60,1	TGGTGTGAAGACAA CAAGTGG	59,6	45	48	
169	BrPe3020	Maracuja_NoIndex_L	3	887	901	15	5	12	AGGTATAATTGATTCTGTTCTGGCTCTGGGTTTAGTTGAATCTT TTGTTGTTGCAGTGACCTGTGGAATCTGGGATAAGCTTGG GTACCTGGGTCTGCTTGTAAACATAGAAAATGCTCTCACCTCT CACCTCGTCTCTCTCTACGTTCTCACATTCCACAGAAG AGGTGAGGTTATTCTGCACTGTACATGTGGTCTTCTCATCAAT CCTTGAAGCTATTTCTATCTTGTGCTGGATAATGAAGAGATT TGTCCTTACTCAACCAAATGTGAGATTCA	TCT	G	19,3	181	TGTTCTGGCTCTGGG TTTT	59,7	CCTCACCTCTCTGG TGAATG	59,7	45	52	M
170	BrPe3021	Maracuja_NoIndex_L	3	1134	1145	12	4	9	ACTGAAATGAAAATTTCTCTGAAAGATCTACCAACAACTT AATGTGACTAACAGATGGAGTACTGCTTGACCGAGCTGAA TTCTTCTGCTGATGGCCAAGTACCTCTCAGCACAGATAATGACA ACAATGCTCTGATGATGATGACGATCTGGACATGGATGAGTTAA TGAGCTGAAGCAAGCTTAGACAAACATCAATCGAATTCTAGTAG CCTGGAAGGTTACTGATTAATTGAGAGGGGTGATGTGTTTAT GCCTTCCACTATCTGCTGCAAATGCATAATC	TGA	G	15,16	207	TTCTTCTGCTGATGGA CCAA	59,4	GCAGCAGGATAGTG GAAAGG	59,8	45	55	

G: genoma funcional

S: genoma estructural

P: polimórfico

M: monomórfico

APÉNDICE

Marcadores microssatélites desenhados a partir do sequenciamento parcial e da montagem *de novo* do genoma de *P. edulis*

Nº	Primer	Contig	Motivo	Inicio	Fim	pb	Nº Repet	Score	Sequência do contig	Unidade	G/S	Cobertura	pb	Sequência Forward	T °C Fwd	Sequência Reverse	T °C Rev	% GC Fwd	% GC Rev	P/M
171	BrPe3022	Maracuja_NoIndex_L	3	597	611	15	5	12	AGGCATACATATCTTACATAATCAACAAACACAACATAAGAAAAGGG TCCACATGACAAAATCACATTACATGATGCATCATACAA AAGGCAAAGATGGCACATACGGATCAAATCAGTCCCACACAGAA GTAAAAAAGAATGATAATAATAATAATAGCACGTAGGACGATGGCCA ATGTTGGCAAACTACACTAAATTTACAAACAGGACCGCATACAA AATGCACAAATTGATGCAAGGATTAGGAAATTGACAGGACAAAATC ATTAACACCTCATACACAAAATAATTCCAGATACAGAG	ATA	S	15,28	160	GGCACATACGGATCA AATCA TGCACTCA	59,4	CAATTTCCTAACCT TGCACTCA	59,1	45	36	
172	BrPe3023	Maracuja_NoIndex_L	3	338	349	12	4	9	TGTTGCCCTGTCTATTGATCAAAAATAAAAGAACATTCAT TTCCTCCCTCTGGCCATTCTCTAAACAGCATGCTTCGCTAG TTGATAGAACTCTGGCTCGATCAAGCTCTCGTTACATTAATTCTC ATATATACTCTCCCTCGTCAATCTCCATAATCTCATTCTA CGCTGCAACTTTGGCAACACGTTGGAAGAACTGTTGATTGTC ACCATCAGCAGTCGCCGCTGCTTAATTGATTACATTCTACGCTAA TTCATTGATGTTGCCAGGGCTCTGAC	CTC	G	29,96	192	CTTCCCTCTGCCATT TCTT	60,6	TGGTGCAACAATCC AACAGT	60,0	50	45	
173	BrPe3024	Maracuja_NoIndex_L	3	2081	2095	15	5	12	GAACATTGAAACAGTAAAAGAACCGCTGCAACATAAAAGTG CTTCCTCACATCATAACCTACAGATTAGTGGAAAGAAATAGAAA ATGAGAAACTATCACTATGTCGCTGATAACTACATGAGAAAGTGAT CCTTCAAGGAAACATCATCATCATGCTAAATGAGATGGTTTG GCAGATAAATTAAATGACACTAGTGAATTAAATGGCCTCGAAGT AATCAACCCACAACAAAGTGCCTTCTATCAGTGTCACTCCCAAGAG CACCAGAGAAAACACCCACACATTACCTCTCAAGGT	CAT	S	19,28	215	CAGTAAAAAGAACG CTGCAA	58,3	TCGAGGCCATTAA ATTCAC	59,9	38	45	
174	BrPe3025	Maracuja_NoIndex_L	3	251	262	12	4	9	TATGCTGTATAAGTGAATAACTGATTGAGAGTGCATCTGACA ATTCACTACCCACACAAGGCATGTACATAGTAGTCCCAGGATCT CCAAGCCAACAACCTTCCGCCTTCCGAAAGCTTGATACTCCATT GCGCGGATGCAGAAGAAGAGATCAACGTAGCACTACTACGCCAT TAAATGCCATCGGAAGATTGTAACCAAGCTAACAGGAGGTTCTG AACACCTCTGGTATAGTAGTGGGAAGTGAAGTACAGAGAAACAT GTTCAAGGAATATGAAATTCTAACCTGTATGAA	AGA	G	16,49	163	TGCCATCTGACAATT CACTACC	60,0	ATGGGCATTAAATG GCGTAG	59,8	45	45	
175	BrPe3026	Maracuja_NoIndex_L	3	1024	1035	12	4	9	TTATCATAGGAACAGCACCTCAAAGCAAATTCAACCAAAATT CAAACCCAAGCAAATATTAACCTGCTTCCATGCCCTTACAGACC GCGAAATTTCACCTCGCGAAGGCATAACACAGTCATCAAATA CAATCATACATATTATTTATCCATATTCCATGAAGAGATAACA TCTCACTTAATTCCAATCCACATCTCACCTATCCAACACAATTAA ACAGCTAAACATCTAACACAAACTACTTCTCAAATGGAATTTC TCCTCTCTCGGGCTATTCCCTCTGAA	TAT	S	19,47	190	GCAGAGGCATAACAC AGTCA	59,9	AATAGCCCCGAGGA GAAGAG	59,8	50	55	

G: genoma funcional

S: genoma estructural

P: polimórfico

M: monomórfico

APÉNDICE

Marcadores microssatélites desenhados a partir do sequenciamento parcial e da montagem *de novo* do genoma de *P. edulis*

Nº	Primer	Contig	Motivo	Inicio	Fim	pb	Nº Repet	Score	Sequência do contig	Unidade	G/S	Cobertura	pb	Sequência Forward	T °C Fwd	Sequência Reverse	T °C Rev	% GC Fwd	% GC Rev	P/M
176	BrPe3027	Maracuja_NoIndex_L	3	184	195	12	4	9	ACTAGCTGAACCTGGCATAGGTGGTACCTCAACTCTCACATTGGGCAT CGCTGGCTCAATTCTCGGCTTAGGGTTACTGGTGTCTGTGTTGGTC CCGCTACACCATGCATTGCACTGCAAAATGCCAAATGCTCTGATA AACTCTGGAGGTGGTGGTGTACATTGGGGATAGCGGTAGCC CTTCCCCTAGTTCATGGCTACTCATGCACTGACTCTACGGTTGG CTCAAGTTGAGCCTGAGGCTCACCTCATCTGGCCCTCATGCCCT GATGCCCTAGCCATCGACATCTCCCTACCGGACA	GGT	G	32,05	195	CCAAAATGCCAAAAA TGCTCT	59,8	GTCCGTGAGGAGAT GTCGAT	60,1	40	55	P
177	BrPe3028	Maracuja_NoIndex_L	3	468	479	12	4	9	CAGACTGAGCCTGCTGAATCACATCAAGACCTTGAGAATGGAAC AATTCCCTTTGTTGGATTGCAAGGCTCTCAAACCTGGAAAG AAATTAAGAAAACATAGGCAACATTCAACAAAGAAATTAGCATA CAGTAAGGGAAAGTAGTAGTTACATAAAATGGTATAGCAAG GAAATAACAAAACCAAAACTGAATAATCCACAAGTTGGATGACA GTCAGTTTACAACAAGAAAATTGATATTAGAACATCGTGAAC ATTCAAGAACAGAACAAAATATGCAAAATAAAA	AGT	G	21,52	230	TGAGCCTGCTGAATC ACATC	60,0	TGACTGTCATCAA CTTGTGG	59,6	50	48	
178	BrPe3029	Maracuja_NoIndex_L	3	3450	3461	12	4	9	AATGAGTAAGCCAACCTGTCATGCGTCTCATACTATAGGTTGGCAA TTCAAAACCAACAGAGCTTGTGATCTGGTCTCTGTCACTCTC TCAGCTATCAGCAGAAATAAGAAATGGAACAGTGGCTGGAGAGGC ACTGTAACCTGGCTGCTGCTGCAACCTGCAGGCTGAGCTCCCTTT AGGCACTATTGCTTCATCTTCAACAATTGGAGGAATAATGATG TCTATGTAATGGAACCTCTCAAGAGAAAGTACCTTTGGTT TTTCTCCCTCTGTTCTGATACATATGCAAAATAAAA	TGC	G	16,87	152	TGGCAAATTCAAAC CAACA	59,9	GTGCCTGAAAAGGA GCTCAG	60,1	35	55	M
179	BrPe3030	Maracuja_NoIndex_L	3	282	293	12	4	9	TCAGGACAGGAGATACAATCTGGATGTCAGGACAGAACCTGTTGG GAGAAGATTTGCAGATGAGCTGTTCTTGAAGGTTCTCTATTG CCTTCTGTGCGAGGTTCTGGTGGCTTTGTGCTGCTGGTCATTT CCAGCAGGGCTGCTGCTGCTCTCTGAATTCTCCCTGGCTCT CTTGTTCACCTTAATATCCATAACTTCAATATCTCCGTCTTCAGG ATTAATTTCTCGAACCTCTGATGGATAGATTCTTTAGTC GATGAAAGCTGGAGGATTGCTGG	GCT	G	15,69	161	GGACAGAACCTGTT GGAGA	60,1	AGAAGGAACCAGG GGAGAAA	60,0	55	50	
180	BrPe3031	Maracuja_NoIndex_L	3	3744	3755	12	4	9	TTAGCACTGAACTACCTCTGCAAGGAACGGTGTACCCCTTAGC CTCCAAAATCCCCTGGCTATGCTCTTGTGCGAGTAGTTGACT CGGGACTGACCACTCTACCTATCATTGATACGATGTTGAAAC AACCTACCACTCTCCCTCATCCATCTTCCACATTGTTCACA CCATACTTTGCTGTTAAATCTAACAGACGGTGGAGATCGATCGAAAT GGAGTTCAATCTGATCTGAGTTCTCTGTCCTGGCTCTCAG AAAACGCACAAACGCAAATTGCAACCC	CTC	G	29,56	209	AAAGGAACGGTGATC CCTCT	59,9	CGATCGGATCTCAA CGTCTT	60,2	50	50	

G: genoma funcional

S: genoma estructural

P: polimórfico

M: monomórfico

APÉNDICE

Marcadores microssatélites desenhados a partir do sequenciamento parcial e da montagem *de novo* do genoma de *P. edulis*

Nº	Primer	Contig	Motivo	Inicio	Fim	pb	Nº Repet	Score	Sequência do contig	Unidade	G/S	Cobertura	pb	Sequência Forward	T °C Fwd	Sequência Reverse	T °C Rev	% GC Fwd	% GC Rev	P/M
181	BrPe3032	Maracuja_NoIndex_L	3	318	329	12	4	9	GGCTGGTAATGCAGGCACTGACGATGCACATGGTGAGCTATGAAGG AAGAGCTAACATGCAAATCCAGGTGCCAAAGACCTTATTCTGTAT CCAGAGTTCTGCCAAGTGCCTTGAAAGACGCCCTGCTGAAATGAA GGAAGCAGCTACTGCTGCTGTAAATGCCCTCAGATCAAATT TTCTCGTTGTGATGTAATTGTTAGCTCATAGATTGAGTA GAGAACGAAGAATGACTATAGCTCATAGATTCTATTGGAGAATAAA GACTCCCATACATGAATGTTGACAATTAGTA	CTG	G	16,53	180	ACGATGCACATGGTG AGCTA	60,3	TCACAAACGCAGAA AATTGAA	59,3	50	33	
182	BrPe3033	Maracuja_NoIndex_L	3	3765	3776	12	4	9	TTCAGAACATAACTCCAACAGCTGAGGATGAAGGATTGATCA ATAAAATCTTTAGCTAATTTCATCTGCTCAGGTGATGCCACAAA CCTTAAGAAAAGTCGTAGACAATTGCAAGTGAGGCCAAGCAGCA TCCATCAAAGGCTCCTCTCTAATTCAACGCCATCACAACTTT GTTCTCGCTGTTGGAGTGCAGTCTAAACAAATTGTTGACAA CCATTTTACAACCTCTGCATAGCAGATTCTGTGAATTCCCAC CAGAAGTTACATATTCTACAAGCTCTAGCAA	CTC	G	17,42	184	TCCAACAGCTTGAGG ATGAA	59,4	AACCACGCGAGAAC AAAGTT	59,8	45	45	
183	BrPe3034	Maracuja_NoIndex_L	3	3804	3815	12	4	9	GAACAGCCTGATTATTGGCAATGCAGGAAATCGGCTTCTCA AACATCATGCACCCCAATGATTGTTGAGGACTCTGAGG TCTCGATTCCCTGTCAGCTAAATGATCTGATCTCTCTGCAAT ATTTCAGAATAATAATCTAAGAGAGGATTCAAGGGTGAAGG CAATGTTCCAGTGTTCCTGCTCGTGAACGAGGAGACAGAG ATCTATCACGTGGGTGACTTGCACAAATGGTAGAAGGATGAGTTG CCTTGTGACCTTTGTCGATCATTGATG	AAT	G	17,1	169	CAGGAAAATCGGCTT CTTCA	60,3	AAACATTGCCTTCA CCCTTG	60,0	45	45	
184	BrPe3035	Maracuja_NoIndex_L	3	552	566	15	5	12	AAAGATCACATGGCTAATGAATCCTTATTGCAAAGATTTCATGC TGTCAAGTTGATGTCGGCTTTCTTATGAGATAGATTCGTTGAAAG GGCCAATGCCACAGACAAATTGTTGAAAGGCTCTGGAGTT TGGCCATGCTGTTGTTGTTGTCATAAGATTGATAGACCTCTG CTCGTCAGACTATGTCGCAATTCAACTTTGAATTATTATCGAAC TGAATGGCACAGATGAACAGGAAATTACTGATAGCTAACTCTG AGTTGGGTTTAGAGTTGTTAAATTGCTAG	TGT	G	19,65	150	TCAGTTGATGTCG CTTTTC	60,1	GTCTGGACGAGCAG AAGGTC	60,0	43	60,0	
185	BrPe3036	Maracuja_NoIndex_L	3	1227	1247	21	7	18	CTGTCCGAACAGGGGAGGTATTGCGCTTATTATTGGAA TTGCCAGTGACAAGTGTGATTGAATGTTGTCATTCTCTAGTTGATT GAGGAGATAGTGGATGAAAGACAAACAAACAAATGGAGATGGCAG CCCGAACGACCGAAGAAGAAGAAGAAGAAGAAGAATCTAGTACA GGTGATGAAATCAAATAACTCTGAACGCCAATTGTTGTCAGA GAGACAGTGGTCAGATTGTCAGATTGCAAAGTGAAGATGAAGATGGC TCCTATTCTCCTGCCATAAAAGCGAGGAAATGGTCAGGAGCT	GAA	G	15,48	243	GGGGAGGTATTATGC GCTCT	60,4	TGCAACAAATCTGC ACCACT	60,3	55	45	

G: genoma funcional

S: genoma estructural

P: polimórfico

M: monomórfico

APÉNDICE

Marcadores microssatélites desenhados a partir do sequenciamento parcial e da montagem *de novo* do genoma de *P. edulis*

Nº	Primer	Contig	Motivo	Inicio	Fim	pb	Nº Repet	Score	Sequência do contig	Unidade	G/S	Cobertura	pb	Sequência Forward	T °C Fwd	Sequência Reverse	T °C Rev	% GC Fwd	% GC Rev	P/M
186	BrPe3037	Maracuja_NoIndex_L	3	1813	1824	12	4	9	CCCTGATCCATCAGAGTCGTACATTGTTCTTCTTATGGGAAGCC CACCATGACCACATCGTGGTCAATTGTCCTGAGATTCAATTCTCGAGGC TTAACAGCCGCTCTGGCAGCAGCTGCAGCATAAGCTGCTGATTCAA AGGCCTCTTGAGCAGCAGCAGTACATCTGTACTTCTTCCTGCT CTTACGGATTAGACAGCTCTCAAGGTAGATCTCCTCGTCGACAAC CTTAGTTCTCCTCGAGGATCAACATTATCCACCTCGTCAGCTGGTT ATTAGATTCTCCTGTTGCTCCAGGCTGAC	AGC	G	15,13	191	AGAGCTTAACAGCCG CTCTG	59,9	ACCAGCTGACGAGG TGGATA	60,7	55	55	
187	BrPe3038	Maracuja_NoIndex_L	3	1135	1146	12	4	9	CACCGTTGTCAGATACGGGAATGCCACTGTGGCAGAGAACGG AGAGAGGGTGGCGGGATCTTATATAAAACAGATACGTGCTGTATT TGGTTTGGCATCTAACCTGTTATATCGTTTTCTGCAATTGTGA AACTTTATCCATCATCATATTCGCGTGTGATGCTGGTACT GTTTCCAGAACCTTGTGCTATCTGTTAGAAGACCATTATGTGGTC GTAATCTCTTCGTCGGATAATGGTTACTTTGGGTTCAAGC AAAGTGCCTTCTGAAGTAAAGACTTCGACA	CAT	S	17,57	212	GGGTGGCGGGATCTT ATATT	60,0	CCCATTAAATCCGA CGAAAAA	59,8	50	40	M
188	BrPe3039	Maracuja_NoIndex_L	3	224	235	12	4	9	ATCACAGATGCCGCTGGAGATATTTCACTTCTGGCACTCATATT ACTGCATCCAATAATTGCTTGTGATTAATGCAATATACGTTACAG GCAAAGCTTCGTCACACGATTGAGATGACGATTGAGATG ATGACCTAAGTGATGATGAGTTGCAATCACCATCGATGAGGT GGATCCATTATTTACTTGTGACACTGTGAAAGGTGAAGGAGGCC TCTTACCTTAGTGTATAATAATGCGAACTAAGTATGGACACC GTTTAATTGTTTGTCTTCCAAATGAAGT	TGA	G	17,23	230	CACAGATGCCGCTG GAGAT	61,3	GCCTCCTTCACCTTT CACAG	59,8	55	55	
189	BrPe3040	Maracuja_NoIndex_L	3	7388	7399	12	4	9	AGGCATTCGACTCCATATTCTGATCACAACTTGGCTTGTGCATGC ATCAGGGAACTGCCATAAAAAGAACGAATTCAAGAGCAGCTGACAA AGCAGCAGTTAATGGGGTGTATGATAAAGATATCGAATATTA CTACGATGAAGGTGATGATGAGAAAGGAGAAGGGTGTGAAGA GGAATATGATGAAGACGACATATCTACCTGATTAAAGTGGGA ATTCTATGGTTGTGATGATTCTGATAATGTAGATAATTGGTT CCATATAGGATATTCTGTTCTGCACCTAAAG	TGA	G	15,99	160	CACAACTTGGCTTGT GCAT	59,8	CCTCTTCATCACCT TCTCCT	59,7	45	52	
190	BrPe3041	Maracuja_NoIndex_L	3	4737	4748	12	4	9	ATGAGCTGTCAGGAAACATCAGGTGATTCTGTCACATCCTT AAAAGCAACATCTCTAAATGCTTAGGAGACGTGCTGGTCCAA TGTAGGGTCTCCCTGAAGAAGGGCTAAAGAGAAAGCTCAAG CTGAACGTGCAGCTGCTGCTGACTGTTAAGTCTATGCTTCAGGAA AAAGGACATATAACCATAACTCCATTGGTCCAGGGTATGGTTC AAATGTTAAATTAGATTGGAGTAATGTATAGAGGAATCGTAA GTAGTGGCATTGACAATGCTGTTATGCGTT	GCT	G	17,38	162	GCTTAGGAGACGTGC TGGTT	60,1	ACACCATAACCTGG ACCAAA	59,5	55	50	

G: genoma funcional

S: genoma estructural

P: polimórfico

M: monomórfico

APÉNDICE

Marcadores microssatélites desenhados a partir do sequenciamento parcial e da montagem *de novo* do genoma de *P. edulis*

Nº	Primer	Contig	Motivo	Inicio	Fim	pb	Nº Repet	Score	Sequência do contig	Unidade	G/S	Cobertura	pb	Sequência Forward	T °C Fwd	Sequência Reverse	T °C Rev	% GC Fwd	% GC Rev	P/M
191	BrPe3042	Maracuja_NoIndex_L	3	438	449	12	4	9	CTTTAATAGCTGTATGAAAGTCACAGCTCTGGCGATTATGACTAACCTGAATTCCAGAAAGGACAAGTGAACAGAAACCATAAGTATAACAAAGCACACAGACATTATCCATAACAGAACTAGATAATTACCTTGTCTTCTCCAGTAACACAGAGCAACAGCTAACTGAGATGGACACAATGAAACTCTGTGAAAAGCCAAATGACCTATGCACTCTTCCTCTTTCTGCACCTCTGCTGTTCTGGTTCTAATCAATCTATGCC	TTC	G	18,68	222	GTCAACAGCTCTGGCGATT	60,4	TCATTTGGCTTTTCACAGA	59,2	50	40	
		003_R1_00																		
		1_contig_4																		
		890																		
192	BrPe3043	Maracuja_NoIndex_L	3	686	697	12	4	9	GGATCTGATATGATTCCCTCGTACCCGAACAGAACGGTCTTCCTTGATTGAATCGGTAAAGAGATTGTTGCTTAAGCGGCTAGGAGAATTCTGTGAGATGTGAGGTGCTCAAATGAGAACGCTTGACGAGGAACGACCATATCCAAGATGATGATCATAGATTGGATTGCTCTCACCTCTACATTGAAATGATTGAATCTGCCATTGCTGGCACATACCAACAGCTATCAATATAGTAAGAGATATTCAAATGGATACCCCTTGAATTCAACTCACAAACATAAGGAATCAC	GAT	G	20,15	202	GCGGCTAGGAGAATTCTGTG	60,0	GCAAGGGGTATCCAATTGAA	59,8	55	45	
		003_R1_00																		
		1_contig_6																		
		230																		
193	BrPe3044	Maracuja_NoIndex_L	3	5935	5946	12	4	9	TCCTTGCTGTGGAATTTTGGTACCCAACAGAACCTGTTATGGCGCTCTCTTGTTGTTTCATTTGATTTGCTCGCCCTGCAAGTCCTCTTCATGCTCTCTGTGGTCTGCTCAGCCTCTCGACTGAGTTAACTGCAAATGAGCAGCAGCACAGCAGCTGCAACACCTGCTTCTGGACATCATAATCCTGATTCCACCTGCCAATAGAAGTGCAGTAGCCCTGCGGGTAATGGTCCATACAGTTAGTTCAAGAGAAATCAGTTGTTCAATTCTCTTACATGCTCTGCTAA	GCA	G	16,16	205	GAACCTGTTATGGCGCTCTTC	59,9	GCAGGGCTACTGGTCAGTTC	59,8	55	60	
		003_R1_00																		
		1_contig_6																		
		399																		
194	BrPe3045	Maracuja_NoIndex_L	3	6660	6671	12	4	9	CTCTTATAACTATGCACTGACTGAGAATAGTATGAAACCTGTAGAACCTGAAGATTAAAGGTTGCCACCCCTACAATCCCGATGGAGATTCGAGCTGAGGCAACTGAGTGTGCTGTTGGAGATAGGATCCATAGAAGAAGATAAAAGACTGCTCTGCCATGTTGGTGCTGTTCCATCGTGGATAACACAGAAATACAAGGATTGTGAAGTAAAGCGAGGAGTGGCTGAAGGCAAGGAAATGTCAGGTTCTGGCCGAAGCCTTGCCAAAAGAAGCAAGTTCTGGCCGAAGCCTTGCCAAAAGAAGCAATTGCTCTGCTAA	AGA	G	16,1	174	GAAGGCACITGAGGCATTC	59,8	ACATTGTCCTTGCCATTAGC	60,3	50	50	
		003_R1_00																		
		1_contig_6																		
		761																		
195	BrPe3046	Maracuja_NoIndex_L	3	173	184	12	4	9	CTTGACATGCCAGCATGTCAGCATCAGCTCATTGCCAGCAAGATTAAGGTTCTATCTCAACAAAATCTCAGCATTTGAACCTGGCCCCATTATCTCATTCGAATTGCTATTGGGGTCCACAGGTTCATCAAACCTCATCATTCAACAGCTCATCATCTGCCACTTCCCAATGGCTCTCTGTAAATTCTGGTCAACAGCCTCTCTGTTCAACTTCTCAATGCCATGTAATGCTCTCATCTGCTATTTCAACAGCCTCCACATCATCATTGGACA	CAT	G	16,88	191	CAGCATGTCAGCATCAGCTT	60,2	CAGAAGAACCCATTGGGAAG	59,8	50	50	
		003_R1_00																		
		1_contig_7																		
		222																		

G: genoma funcional

S: genoma estructural

P: polimórfico

M: monomórfico

APÉNDICE

Marcadores microssatélites desenhados a partir do sequenciamento parcial e da montagem *de novo* do genoma de *P. edulis*

Nº	Primer	Contig	Motivo	Inicio	Fim	pb	Nº Repet	Score	Sequência do contig	Unidade	G/S	Cobertura	pb	Sequência Forward	T °C Fwd	Sequência Reverse	T °C Rev	% GC Fwd	% GC Rev	P/M
196	BrPe3047	Maracuja_NoIndex_L	3	273	284	12	4	9	CACGGACTTAAGTTGGCGGAATCGCACTGGGAATGTACTTTTGGATTCGACGTGATTGCCAATATGCTCTACCGTATGAAAGGATATGAAGGGCGTAAGAAAATCAAATGGACTGCACCCATTACGAGATCAA	CAT	S	15,11	214	TTTGGATTGCACGTGATTG	60,5	CGCCCTCCAACAT	60,1	40	45	
		003_R1_00							GATGTCAGACCATCATCATGACAAGGACAGATCGGAATCTGATGAGAGCATATGCTCGTTGAAACCGGTTGATTCTAA							TAGAAA				
		1_contig_7							ATTTCTAATGTTGGAGGGCGAACATGATTCAAATTAAAGGTACCA											
		424							CGTACTGTACAGTACAAATAACCGTACGCC											
197	BrPe3048	Maracuja_NoIndex_L	3	4122	4133	12	4	9	CCAAATATTACTTTGAAACGAAAGTATTATAGAGAACATCATTAA	GCA	G	17,14	168	AATGCACACGATCAA	60,2	CCTAAGAAGGGTGG	59,9	40	55	
		003_R1_00							AAATAGAGAAGAACGATTCTTACCATATCATGCTGAGGA					ATCCA		CACTGA				
		1_contig_1							ATGCCTCAGAATGCACACGATCAAATCCAGTCAGCTCCTCAAACC											
		2707							CTCCATAATTGAGCAGCAGAACCGTGGAGAACATAAATCACA											
									GAGGCATTAGCCTTCAGCTTCAGCTTCGCTCTGCGACCGTGTGAA											
									AACAGGAAGCCCCAACAGTCTAGTGCACCCCTTAGGTGTCACTC											
									CACC											
198	BrPe3049	Maracuja_NoIndex_L	3	840	851	12	4	9	AGGTAACCTTAAAGGCTGAGGACACTCAGCACCAAATAACCATC	CTT	G	16,86	179	CACGACCCAAATAAC	60,1	CCATGCCGTCTTG	60	50	50	
		003_R1_00							CAATGTCATCATTTGCTTCAGTTCTCCTCCAGTGAAGACCA					CATCC		AGTTT				
		1_contig_1							CAATCATGAGTCATTATTTGCTTCAAACAGTGTCTGAAGCTA											
		4263							CGAAGTGCAGCTCTCTCTGTGAAATCGAGTCTTAAGTGGAA											
									AACTACAAGGACGGCATGGATCCCACCTCGCCATGTTAACATT											
									TAACAATTCTTGCACAAATTCTGATCCAGCAGAACAAAT											
									AGACCTGCAATGACTCTCATGTTAGTCAT											
199	BrPe3050	Maracuja_NoIndex_L	3	8002	8013	12	4	9	TTGGTTGAGCAGAGGCCACGACTTGTATGCTAGGTTGAATC	CAA	G	17,82	177	AGCAGAGAGGCCACAC	60,2	TCTGACATATTGCA	58,2	55	41	
		003_R1_00							CCGAGCTGGACTGCTAACATGGGAAACCTAGGCTGGTAAGTCTAA					GACTT		GGTTACCA				
		1_contig_1							AAAATTCTTGTGAACTTACGTCAAAGTTACGCCAGGAAGGCC											
		5273							TTCCGGTACAGCAACACAATGGTAACCTGCAATATGTCAGAT											
									ATAAATAAATGAAAGAACATGAAAGGGAGACTAATTGTCAGA											
									TATAAATAAATGAAAGAACATGAAAGGGAGACTAAGTCAAAGCC											
									CACATACCGCAACAGTGAGAATCTTATAACATCAT											
200	BrPe3051	Maracuja_NoIndex_L	3	325	336	12	4	9	GGAGTTGAGAGAGGATATCCACTCGCTGGAAAGGTTAATATGA	AAT	G	9,13	185	TATTCCACTCGCTGG	60,2	TCAAAGGCAAATT	60,2	50	45	
		003_R1_00							ATGGGGGTATTTGGGATTATCAAGTGTAGCAGTGAATGGTACT					AAAGG		GAGGAC				
		1_contig_1							GGCTTAGGAATCGGATTTCAGCAGAAATAAGGGTGGATTGAA											
		85703							ATGTTAGCATATAATAATTCTAATCAGATTCTTACAGTCC											
									TCGAATTGCTTGAATGTCATGGGATTAGATCAAGCCAAGGAC											
									AGGTACAGCAGCAGCAAATATCCTAACGCCTAATGTGGGATA											
									TGTGCCAGATACTTIGCAAAGCAGTCCTGGG											

G: genoma funcional

S: genoma estructural

P: polimórfico

M: monomórfico

APÉNDICE

Marcadores microssatélites desenhados a partir do sequenciamento parcial e da montagem *de novo* do genoma de *P. edulis*

Nº	Primer	Contig	Motivo	Inicio	Fim	pb	Nº Repet	Score	Sequência do contig	Unidade	G/S	Cobertura	pb	Sequência Forward	T °C Fwd	Sequência Reverse	T °C Rev	% GC Fwd	% GC Rev	P/M
201	BrPe3052	Maracuja_NoIndex_L	3	15122	15133	12	4	9	GAGGGATAAGAAAGAGAAAATTCACTGCAATAGAACATACATAG TAGCTCAAAGAAAGGAAAGTACGTCGTGAGCTGTAGGCAGGAAAG AGAAAATAGAGCGATTGGAAGCTGACCCATAAGGAATTCTTAG TTCCGTTAGTGGAGAAGAAGAAAGGGAAAGCACTTGTGATC TTGCGAGCACGAGTGAGTTACACTACCTCCACCCGGTCAGA GAGAATTGCGTAAGGGCGAGGCGTAGGCGGGAACTTGAAGCTTCT CAGTCCTACTCAACTATCAGTACAGTAAGGCTTCGC	GAA	G	358,52	178	CGTAGCTGTAGGCA	60,1	GCCCCTTACGCAAT GGAA TCTCTC	61,1	57,9	55	
202	BrPe3053	Maracuja_NoIndex_L	3	1418	1429	12	4	9	TGGGGTAGATATAGGTGCCTGAAATTCAACGGTATAAACTCACCA GTACTCTCTCTGGTGTCCAATCCATAGCAGAGGACTGCTAAT TTGAGAGCTCCAACCTCTGATCCACATTACCAACAGCGTAGCAG CATGATCAAATCATCATCATCATCATCACTTCTCTAATTCTT CCACATAGGCATTAGCAAATCTCATCAATGCTCTGGAAAGGAAG ATTATCCAAACAATT	ATC	G	18,95	165	TTCCAATCCATAGC AGAGG	60,0	TTCCAGGACATTGA TGAGGA	59	50	45	
203	BrPe3054	Maracuja_NoIndex_L	3	2882	2893	12	4	9	AACCTTGTGTCGGATTAGCTGGAGCAAAATGAACCAAACACAT TCATTTATAACCAACGATGCAAGCGTTGATAACAATAATCAGAC CATGCTTGAACAAGTTGAAAGTAACAGCAGAAATGTAACCGCGAC GGAAGTGCAGGGCGAGGAGGAGGAACGGTGGAGCTAAGCGGAA GGTGGTGGATTGGAGTTGGAGTTGAGAGATTGGTAAACTC GTGCATCCATCCGGTTGTTGGCGTCTGAAGCGAGAAAACCGCCTCC GCTGCTAGAGAGAGGTTAGTAAACATTGAGCGAA	GGA	G	13,38	178	CCTTGTGTCGGATT GCTG	60,6	CGCCTAGCTCCAC CAGT	59	55	61,1	
204	BrPe3055	Maracuja_NoIndex_L	3	2059	2070	12	4	9	GGATATTTGACTTACAACAGAGATGGAGTTGCGCAGAGCATA TCTGAACGATGCCATCGAAGTGCAGCGGGATTGAAGATCAGATAA ATGAGAAAGCAAGGGAAAATCAGCAACTTACAAGATGAGTTGGTAT TGGCAAAGCTATTGATGATGAGCTGAACCTTGATGGCAGCC ACAGCACTGAAGTCATGCAAGGATAGCTTGGTAAGTGCAAGAGA AGCAGGAGCAGTCAGCTCAAGAGGCTAAATAGAGCAGCAGAGGA TCAAGGGAGTCCACCATAAAATCACCTCCCTTAAAGG	TGA	G	13,68	207	CGCAGAGCATATCTG AACGA	60,1	ACTGCTCTGCTCT CTTGC	59,9	50	55	
205	BrPe3056	Maracuja_NoIndex_L	3	4282	4293	12	4	9	TACTGTGGATCTTAATGACAAGAACCTCTTCTCAAGGCTAGAAA TAGATGCTGAAGATCTACGAAGGGTCTGGGTTGTCAGTCCAGAGC GGGACCTTTCTTTAGTTATGAGCTATCCTTGAATT ACACAGCAACATCATCATCATACTATTCGGAGACATGGTCAAGC CCGGTAAATGATCACCATGACTCTTGTACCGGGTCCCATTA TTCTTCTTCTTCAAGAGCAGTAAGAGTATATAATCGTTTC CCAACCAAACGTCGATACCGGCCCCACATCAG	CAT	G	1.010,54	160	AGGGTTCGGGTTGTC AGTC	60,0	GGGACCCGGTACAA AGAAGT	60,2	57,9	55	

G: genoma funcional

S: genoma estructural

P: polimórfico

M: monomórfico

APÉNDICE

Marcadores microssatélites desenhados a partir do sequenciamento parcial e da montagem *de novo* do genoma de *P. edulis*

Nº	Primer	Contig	Motivo	Inicio	Fim	pb	Nº Repet	Score	Sequência do contig	Unidade	G/S	Cobertura	pb	Sequência Forward	T °C Fwd	Sequência Reverse	T °C Rev	% GC Fwd	% GC Rev	P/M
206	BrPe3057	Maracuja_NoIndex_L	3	4364	4375	12	4	9	CAGTCCAGAGCGGGACCTTTCTTTAGTTATGAGTCCTATCCTT ATTGAATTTCACACAGCAACATCATCATCATACTATTGGGAGACA TGGTCCAAGCCCGGTAAATGATCACCCATGACTCTTGATCCGG TCCCATTAACCTCTTCCAAAGGACGAGTAAGAGTGATATA AATCCGTTCCAACCAAACGTCGATACCGGCCACATCAGGAAAG GGATGCCATGATCAGCATCAAGCTTATGGTAATCCATAGGAGT ATCAACAGGGCGACCGAGAACGGCAGTC	CAT	G	1.010,54	145	AGTCCAGAGCGGGAC CTTT	61,2	GGGACCCGGTACAA AGAAGT	60,2	57,9	55	
207	BrPe3058	Maracuja_NoIndex_L	3	278	289	12	4	9	ATACAAAAAGTTGTAAGATGGAACCAAGAGAGAACAAATAA GACTCAAAGGTAAGAATGTTAGTTACTGTGATGAATGTTGAAAT GCAGGTACATTAACCTGAATGTCACAACTCAAGAACAGAAAG GATTCAACAACTTGAAGAAGAACGCTTACAAGTCACATGGGA TGATCTAAATTGGATTCAAGTGACAGTGAAAGTGTAGAAGAAAAT GTCAACCTATGTTGATGGCAATGAAGAACATGATGAAGTAAGTT CTAATTGCTCTCTCAATCTGATTTCGAATTGTA	GAA	G	11.078,00	177	GAATGTGAAATGCA GGTCA	59,5	TTCATTGGCCATCA AGCATA	60	45	40	
208	BrPe3059	Maracuja_NoIndex_L	3	1819	1830	12	4	9	ATCCAACCTCAAGAACAGTGAGATGTTCTCAGTGTGATGCGTA TGTAGAGCTTGTTGTTAAACCGAGATTGAGAGTAGTG GTGAGATCTAAGGTGTTCTGTCGCTGAAACACTTGATGAGAC AAACTGAGTACTGCTGCTGTTGAGTCTGTGAGGGTCCA AAGATGACTGGAACCTTTAGCTCTCAGGTGGTCCAG TAGTTTTATATCATTATCTGCTCTGGAAGGTATGAAGCTATG GCCGCCATCTGCTCGGAGAGAACGAAGGA	CTG	G	16,49	180	TGGTCTCTGTCGCT GAAA	59,6	CGGCCATAGCTTCA TACCTT	59,2	45	50	
209	BrPe3060	Maracuja_NoIndex_L	3	2758	2769	12	4	9	GTGTTTATCTCATATTGCTAATATCTACCACATAAAATTAAAC ACTCCTAACAGGGAGTATATGGCATCTCTATCTCTAAATCGG AAAAAGAGCTGGCTAGCTGGTACCTCGAGCACGGAAGTTGGTG ACTGGTTCTAGTAGTAGATTTGTTAGAAGTGAACCGAGTC CTCAAAGAACCTAGCGCAGCACCTTGTGTCACCAACTAAAGCT TATTATCTGCTCATAGAAGTCCATGAGTAGCATACCAGTGAAT GCTCCTATGCTCTGCCACTTGCACGTCTA	TAG	G	12,18	183	GAGCACGGAAGTTGG TGACT	60,3	GTGCAAGTGGCAAG AGCATA	50	55	50	
210	BrPe3061	Maracuja_NoIndex_L	3	717	728	12	4	9	ACCAACATATTCAGCTGCCACACTTGGATGATAGTCAAAACCC TGGGCCTCAATAGCCCTTGGAGAGAAAAGCAATTGACACTTCA AACCAACCTCGAAGAAGGGCAATACCATTGGTACGAAGCGAC TCGAGATCTCTTCTTCTCAAATGGCAGAGAGATCTCGAAGC GACTAGCTGATCTGGTACGATTTAGGTGGGGTTTGAGTCATAG CATAGAGAGTGTATTGATTGAAATAGATGACTTATAAGTTA AGGAGGATTCAAGACATCTACCTTATGTTTG	TTC	G	294,18	184	AAAACCTGGGCCTC AATAG	60,3	AAAACCCCCAACCT AAATCG	60	50	45	

G: genoma funcional

S: genoma estructural

P: polimórfico

M: monomórfico

APÉNDICE

Marcadores microssatélites desenhados a partir do sequenciamento parcial e da montagem *de novo* do genoma de *P. edulis*

Nº	Primer	Contig	Motivo	Inicio	Fim	pb	Nº Repet	Score	Sequência do contig	Unidade	G/S	Cobertura	pb	Sequência Forward	T °C Fwd	Sequência Reverse	T °C Rev	% GC Fwd	% GC Rev	P/M
211	BrPe3062	Maracuja_NoIndex_L	3	162	176	15	5	12	GGCATGAAATCTAGGCCTTTCTAGGAAAAAAATTAAAACCG CTTCCCTGTGCCCTAATATGATTAGATCTGAAATTGCCAGATTCC ATCAGTAGAAGGACCAGCAATTGAGTAAGTGAAGAACAGTAGTG CAGCTAGATGTACCACCACCACCTCTAGGAGCCTATGAGGTGT TCATAGCATTTCGAGCTGTATGCATGGTCAACAAGACCAGAAC GGTAGGCCACAGTCCCTGAGCCGGAGTAGAGACGGCATTCCGAAG CTTCAAGTTGAGGTTCCACCAATGCCAGTTCAGCCGGT	ACC	G	133,8	157	CCATCAGTAGAAGGA CCAGCA	60,3	CAGGGACTGTGGCT ACCTGT	60,2	52,4	60	
		003_R1_00																		
		1_contig_5																		
		103																		
212	BrPe3063	Maracuja_NoIndex_L	3	1770	1781	12	4	9	TTCTGGGAACTCGCAAGAGAAAAGATGTATCCTCTAACACAGTCAT GATTCTGATGCTGGCGAAAACAGCAAGTTAACCTCTAAACCCCC AAGAGAAATGACGGGTCCTCAAACCTCCAAGAGAAAGACATGCTCTC GAACTAAGTGGCAACAAACAATGCTGATGCTGGGACAACACG AATGAGAGTTCTACAAGTCCAACAAAGAAAATGATAGCGATGCCA AGGATAGCAGTAACGCCGACCAAAATGGACAAGTCGATTCAAATGA TGCTGGGGAAATGAAGGCAACAATCATGTTCACAG	CAA	G	17,08	155	GAGAATGACGGGTCC TCAAA	60,0	TCGGCGTTACTGCT ATCCTT	59,9	50	50	
		003_R1_00																		
		1_contig_6																		
		024																		
213	BrPe3064	Maracuja_NoIndex_L	3	3493	3504	12	4	9	GGGATGCTAAGTTGATCCAATTGAGAAGAGATGATGAG TACGTTTCCGTAGTCAAATAAGCATATAACATAATGCTTGATGATA CCTCTGTTATATCAGCGAATTGCTGCTTGCAGTGAATGTCAGG TGAACATGCAGATGATGATGATTGATAGCTGAAAGTCAGCAGG GCAGCGACCAATGCTGCTGCTTCATTGTTCTGCTGAACCT CTCTCCAAGCTTATGATGAGAAGGTATCTCTGTATAAATTCTAAAGT TACGCTATGTTGAGAATGTTTCTGATTG	GAT	G	16,41	150	ACCTCTGCTTATATCC AGCGAAT	60,5	TTGGAGAGAAAGTTC AGGACGA	60	43,5	47,6	
		003_R1_00																		
		1_contig_6																		
		092																		
214	BrPe3065	Maracuja_NoIndex_L	3	1930	1941	12	4	9	CTCCTGCAAAAGTGGAGCTTTGGACACTGAAGGAGACAATAAAC AATCTTCAGGGAAAGGAAAAAAACTATGCCTGGAATCAAAGGCAA AAGAACAGTAAGAACAGGGAGTGTGCAAAGAAGAGACAAAGAGA AGGATGGACAATGGAAGAAGAACATGACTTGAGGGACAAACAT GATACGTGAAAGAAGTTGATGCTATGGAGTTAGTGTCTGT TTTGATGAGCATTAACATTGGCCATTATACTGTCTGTCT TAAATGACATATCTAAACATGCACCTTTT	GAA	G	18,23	171	TGGAGCTTTGGAC ACTGA	59,5	CATTGTTGTCCTC AAGTCA	58,6	50	42,9	
		003_R1_00																		
		1_contig_6																		
		135																		
215	BrPe3066	Maracuja_NoIndex_L	3	5494	5505	12	4	9	ACCAACCCCAAGGTATGGGTTGGGTGGCTGACGGTGGCTG GAGTGGTGTGGTGGCAGAGGTTAACGGAGGAGACGGGAAGTGA CTGACAAGGAGGATCATGGAGCGTTCTGAAAGATTGAGATTCT TCCTTCCCTCAGCTCCTCCTCTGCGAAGCTGAGCCTCTG TCTTACTTTGCCATCAAAGACATGTTGATTTGCTTCCCTTTC TGCTCCATTATATTCAACATCTGGCTCTAGGGATTCTGAGCTT TCATAAAGTTTGAAGCCTTCACCTGACTC	CCT	G	13,9	158	ACGGGAAGTGA CTGA CAAGG	60,2	GAGCAGAAAGGAG GAAAGCA	59,7	55	50	
		003_R1_00																		
		1_contig_6																		
		189																		

G: genoma funcional

S: genoma estructural

P: polimórfico

M: monomórfico

APÉNDICE

Marcadores microssatélites desenhados a partir do sequenciamento parcial e da montagem *de novo* do genoma de *P. edulis*

Nº	Primer	Contig	Motivo	Inicio	Fim	pb	Nº Repet	Score	Sequência do contig	Unidade	G/S	Cobertura	pb	Sequência Forward	T °C Fwd	Sequência Reverse	T °C Rev	% GC Fwd	% GC Rev	P/M
216	BrPe3067	Maracuja_NoIndex_L	3	1702	1713	12	4	9	CCATTACTGGTATAAGACCTCGCTTGATTGTTGTGTTTTTT TTTTTTGCTTTTAGCTTGTAACTGTCAATGAAGCGGAGAAAA AAGCTGCTAAAGACTTGTGAGAACAGGAAAGACAGGGCCTT GTTGGCACTGAAGAAGAAAACCAGGAAGAGTTGTGAAGCA AGTGGATACCTGGCTTAAATGTGAGCAGCAGTACTGTTGCAA GAATTGGGAATCTCATACCCATCTATGTTGTTCAATAGCCTTT CCAGGGGTTTGTACTGTAATGTCGTTCC	GAA	S	18,13	217	TGTCAATTGAAGCGGA GAAAA	59,4	AAAACCCCTGGAAA AGGCTA	59,9	40	40	
217	BrPe3068	Maracuja_NoIndex_L	3	240	251	12	4	9	AGGTTGAGAGATCACTAGGGATACTAATGATGATCTGGTTAGGCAA TTAAACACAATAATAAAATAACTAACGCATTGAATATCTGGATTCA GGTGAAGTCAGAACCTTAGGCCTTAACTCTGCTGATTCTTATTAA CTTCGTTACAATTATTATTATTGAATTGATTCAACTAGAAAAGACA AAAGGTAAGTCTGGTCAATACATGCTGTTGGTTCAATATCTA AACTTAACTTCATTAGTGTGAACTTGACCGTTACGTATGTGAATT GGAAAACACAACAACACTAGATCAACCAAAG	ATT	G	73,76	165	CCCTAGGCCTTAAC TCTGCT	59,1	CGTAACGGTCAAG TTCACA	60,8	52,4	50	
218	BrPe3069	Maracuja_NoIndex_L	3	5707	5718	12	4	9	TGAATTAGTTAACAAACGATCTAACGTTAGGTTGAAACCCA AAACGGATTGCACTAACCTAGGTGAGGGTCACCTGATTGAAATGTT GGTGGTGTATGGCAGGGATTTCATAGTCATTGATCGATCTATATT TTGGGCTACCTGATGATGATGAGCATGAAGGCATGCGCATGGATG TGGACACATGCTTATGAGGTAATGCGATTGAAATAAAATAAA AAAGGACACTTACTGTGTTGTTAACTTTATAGCAATATCAACAGGAGC TGCTGCCCTGGAAGGAGAAGATTGAAATGTTAG	TGA	G	15,83	100	TGGCAGGGATTTCAT AGTCA	59,1	ATAAGACATGTTGT CCACATCCA	59,2	45	39,1	
219	BrPe3070	Maracuja_NoIndex_L	3	2234	2251	18	6	15	ACCAATGCTTGTGTTGCAGGAGGATTATGTTGGAGACGAA CTGAGCAAGTTGAAATGCGAGCACAGCTATCATGCTGTCGATTCA ACAATGGCTTAAATGAGAACACTGGTCCCATTGCAAGGCGTCA GCATCTACAGCATCATCATCATCATGATGGTCGCTCGTAATC AACTAATAGATGGATCACGCTGGAGACTGAGACTTTCTTGTACA AAATTAAGTCTGCTCCCTTTCTCTCTAATTCATGTAC ATACCGTATGCTCTCCCTTCAATAGAATAACAA	CAT	G	15,02	181	GTTGTGGTTGCAGGA GGATT	60,0	AGTTGATTACGAGG ACGACCA	59,6	50	47,6	
220	BrPe3071	Maracuja_NoIndex_L	3	229	243	15	5	12	GAGTTCTAAGTTAAGTCAGCTAACCCATTGGGCCCCGACTGACT CGAACTAGATGAGTATGACAGCAAGACATCTGAGTTGAATTATT ATGTTGACGTGATTGGTGAATAAATAGGTTCAATATGCGGG GAAAATGAAAGGGAGGGAGGAGGAGGATGATGAGGAAATTGGGC AAGGTGAGTGAGGTGGTGGCTGGGACGTGCTTAGTTAGGGC ACATGAATTCAACACTATGCTGGCAGTTGATTCACTTTAGCACAT GGCAACTGCACCATTGTTTGTGTTATGTTCAAA	GGA	G	16,82	169	CGGACTGCACTCGAA CTAGA	59,2	CCAACCACCTCACT CACCTT	60	55	55	

G: genoma funcional

S: genoma estructural

P: polimórfico

M: monomórfico

APÉNDICE

Marcadores microssatélites desenhados a partir do sequenciamento parcial e da montagem *de novo* do genoma de *P. edulis*

Nº	Primer	Contig	Motivo	Inicio	Fim	pb	Nº Repet	Score	Sequência do contig	Unidade	G/S	Cobertura	pb	Sequência Forward	T °C Fwd	Sequência Reverse	T °C Rev	% GC Fwd	% GC Rev	P/M
221	BrPe3072	Maracuja_NoIndex_L	3	960	971	12	4	9	ATGGTCATTGCTTTGCCAACAAATATGGGTATATTCACTGCTTGAA ATTCATCAACGGAGTGGTCGTCGACCATCATAACTGTGCGCTTG TGCTATCCACAGAGCTGTAAGGAAGAGGTGAGAGGCCAGGTCGG AGTGTAGTTCTCTCTTCACTGCAGGGTTTGCTTCCAAT CATAGCTTACATAAACAGAGATTCTCTGGAGGACGATTACCTGT GGACATCCGTGCCAATCATCTTCACTGGTGTGGTCTATTTTCG TTCATGAGTCTCCAAGATGGCTATTGTG	TTC	G	12,17	157	CCACAGAGCTCGTAG GGAAG	60,0	AAGATGATTGGCAC GGATGT	60	60	45	
222	BrPe3073	Maracuja_NoIndex_L	3	382	393	12	4	9	TGCACTGGCGTTGAGCTGACCTTTCTCTCGGGATATTGC ACTTCATTAAACATAAAGAAAAAGAATAGAGGGCAAAACAAA GGCAAAGACAAACATTAAGTCTTTACATTGAATCGGTGATGAT ATTGACTCCATTGTTGTTGCCAGAAGAACTGAAGATGAGTCAC TGCATGTTACCGCAGATCTTGAGTGGCAGCTTGAACGTCACCA TAGAGTAAAATTCACTTCATTCTGACAACCACCGAAACAAAGCA TCTTGAAGATTTCCAGTGGATGAGCAGTGA	TTG	G	10,39	153	GGCAAAACAAAGG CAAAG	59,7	TGGTGACGTCTCAA GAGCTG	60,2	40	55	
223	BrPe3074	Maracuja_NoIndex_L	3	1018	1029	12	4	9	GTAACTCTATAGCTGAGGTTATGGCATGTGGTGGAGGGTATCT GCAACTACGACTACAGAGGATGATGAGCTAGCACGAGTCGACGAGC CCCCAGTGGAAAGCGATGGCTCGGGAGAAGCCGATCGAGAAACCA AGGTCTACAAGAGTTGTTGTTGTCGACAAGCATTAGACTGTTCG GCAAAGAGTTAGTCTCATCAAGTGTGAGGTAAGGCAGCAA TATCAGATTGCATTTCGAGTTGCCCTTTGATGCCGTGACTCCG AATCCAACCTGCCAACCGAGTTCTGCCATCT	GTT	G	51,2	242	CGATGTGGTGGAGGG TTATC	60,2	GCAATCAAAGAGGC CAACTC	59,8	55	50	
224	BrPe3075	Maracuja_NoIndex_L	3	1660	1671	12	4	9	GAGGGCATAAAGCACGCTCAGAGTCATGGGTTCTTCAAATTGT GAACCATGGAGTGCCAAAGGATGTTATGGAAGAAATGATAGATGGG ATTCTGTCAGTTTCACTGAGCAGAGTGCTGCACTGAAAGCTGAGTTA CTCAAGAGACAAGAAGAAGGTTATCTACAACAGCAACATCGAT CTTATGCCAGAGGTTGCAATTGAGAGACATTGTATTTT CATGCCGCCAGAAGGGACGGATCTGAAGAATATCCACCTGTTGC AGGTAATTCTGGTTCTTGTATCACCA	AAG	G	15,9	210	ATGGAGTGCAAAGG ATGTT	59,4	CTTCAGGATCCGTC CCTTCT	60,6	45	55	
225	BrPe3076	Maracuja_NoIndex_L	3	443	454	12	4	9	AAAATGAAATAACCTTATAGTGAGGCATTCTGAAGGGTCAAAGGCA AGAAAAGCAAATGGCTGTAATCCTCCTGGACTTGAGAGTAGGGT GAGATAGTCCTGAAGTGTGTTGAGGGTACAAACGTCACCA CCTGAATCCACAATCATCATCACCCACAGACCTGCAATAATCTG CAATATAGTCATCGTCATGTTTCTGTTCTTCTTATGG TCAAGAATGTGGAAGTGCAGAGCATTATGCCAAGAATGCA TATCTAACATCGAGGAACACTCAAGTGATCCAA	ATC	G	14,48	165	GCGATTCTGAAGGGT CAAAG	59,8	TTGCAGATTATTGC AGGTCTGT	59,8	50	40,9	

G: genoma funcional

S: genoma estructural

P: polimórfico

M: monomórfico

APÉNDICE

Marcadores microssatélites desenhados a partir do sequenciamento parcial e da montagem *de novo* do genoma de *P. edulis*

Nº	Primer	Contig	Motivo	Inicio	Fim	pb	Nº Repet	Score	Sequência do contig	Unidade	G/S	Cobertura	pb	Sequência Forward	T °C Fwd	Sequência Reverse	T °C Rev	% GC Fwd	% GC Rev	P/M
226	BrPe3077	Maracuja_NoIndex_L	3	6648	6659	9	3	6	GGAGTTAAAGTATCATTAAATATTTCATTGGAAAAGAGCACTGAG GAAAGATGTCAAATGAGAGAATAAGAAATGGGGCTGATATTTAATG TTCTCACTTGCGITTTCTTGTAGTTTCTTATTCGTTTGC CAATAATGTTTATTTATCAAATTAAAGAAACAAGGAAAAGGC TGAACAGATAGGAAAATCATTCCATTATAATGCTATAGTTGAT TTATCAGGATGTTCTCTCCCTCCGGTCTTTCCAATTCTGC TTCTCTCCTGAGGTTTACCTTATTCTT	TTA	S	18,71	235	TGGAAAAGAGCACTG AGGAAA	60,0	CCGGAAAGGAAG AGAAAAC	60	42,9	50	
227	BrPe3078	Maracuja_NoIndex_L	3	536	547	12	4	9	ACGGTATACCGGGTCGGGTTGGITCATCCTTCAAATCAGAGGTG GGTCCATATGCCAGTAAGACAACGAGGACCACCATCAGGTTTC TATCACTGCCTACATCCAGCAATAGTCAGCCGGAGGAAGCCTT ATTTCCAACAGCCACCAACCAGCACTAGAGCTAAAGAAACTAA AATGGAGGACTGTGCAACATATCATCATATCAACATATGCAGGA ATGAAAGCCCTGGAGAGACAGGTGAGGCCAGTTGGTAGGCATTGT AGAGTAGGCCAAAAGGAGCATTGCCTCAGACATC	CCA	G	42,78	242	AGACAAGCAGGACCA CCATC	60,1	TCTGAAGGCAATGC TCCTT	60	55	45	
228	BrPe3079	Maracuja_NoIndex_L	3	1761	1772	12	4	9	TCTCGCTGTCTATGATTGAAAGAATGATAAGTGGTCGTTATT CATGGCCATGACTGCGAGTGGTAACAGGATCATCAGGAAGAGGAT CCATGTACGCATAGACATCTACGCCCTCGAGGTGACTGAGGAG TTCCGCTGAGGAAGAAGAAGAATGACGAGCTAAAGGAGAACAGCA AAGACAAGAGGTGAGATTACAGCACCAAGAGACAGCCAGAACAGGA CCAAAACCTGGATTATGGTGAAGGTGCAACATTAGAAACTGTGA CTCCCATTCCCTACGATGTCGTGAACGATCTAAGGG	GAA	G	56,82	174	CTGCAGGTGGTAAC AGGAT	60,0	TGGTCCTCTGGCTG TCTCT	60	55	55	
229	BrPe3080	Maracuja_NoIndex_L	3	356	367	12	4	9	GAAAATTGAAAATTTCGTCATTAGTTATGTAACGTTCCATACA AAATCATTACTAAGCTTGGTTAACGCTTAAAGCCTTATGCCTT CTTTGGTTGCAGAAAATCAAGCTAGCTTATTCTGGCGTGTTC TCAGATAATATTATTATTATCCAGGAGGTAAATCATTAAATGAGGAG GAAGAAAGGTAGAAAGGATGGTACTATCAAGATGATTGGGA AAAGGCATGACCATTTAAATGGATTATCAAGGACACATTA TTAGCTGCTGGTTCTAACATTCTACTAA	TAT	G	34,07	160	GCCTTCTTGTTGCA GAAA	60,4	ATGGTCATACGCC TTCCA	60,3	45	45	
230	BrPe3081	Maracuja_NoIndex_L	3	195	206	12	4	9	TCAGAACATCACTGACCCATCATCATCACTTCATCAATTATCAGG TTTCCGAGCAACTCCACGCCCGAACTACTCTTAAATTCTACTGG GAGTGACATCAACTGAATTTCCTTATTGGGCATAATAAGTCT TCATCCTCTCATCATCACTTGTGAGCCTTTCGAAGGTGGA TGTTTCACTGACTGATCACTATCACTTGTGATTTCTTGTGCTGAA GGATCCCTGGTTTATCATCTTGGCTTCCTTATCTGTGGCA AAATACTGCTAGTTCTCTGGCT	TCA	G	12,42	158	ATCAGGTTCCGAGC AACTC	59,3	CAGTGAACATCCA CCTTCG	59,2	50	50	

G: genoma funcional

S: genoma estructural

P: polimórfico

M: monomórfico

APÉNDICE

Marcadores microssatélites desenhados a partir do sequenciamento parcial e da montagem *de novo* do genoma de *P. edulis*

Nº	Primer	Contig	Motivo	Inicio	Fim	pb	Nº Repet	Score	Sequência do contig	Unidade	G/S	Cobertura	pb	Sequência Forward	T °C Fwd	Sequência Reverse	T °C Rev	% GC Fwd	% GC Rev	P/M	
231	BrPe3082	Maracuja_NoIndex_L	3	3276	3287	12	4	9	TTATAACCTATTTGCATCATAGATAATATGGTTATTAGTTATATTCTAACTGCAATAAGACACCAACTAGTTAGATAATTTCGAACCCAA	CAT	S	17,13	168	TTCGAACCCAAGATTCTCC	59,1	TGTGAAGCTTAAACAGCAATGTC	59,5	45	39,1		
		003_R1_00							GATTTCCTATACTCAAATCTTAAGATCTGGAGAGGTACCGTTAGTTGGCATCATCATCATTATCCCTATCTAGTTGAACAATCTGACATT												
		1_contig_1							CATTATTATGAAGCAACGCACTATGGATATCACGCTAACAGATTCTGTTAAAGCTTCACATCAATCTTACAAAAATACAAAAAAGGAAAGAGTCATCGTCTGTAGTATAAT												
		1391																			
232	BrPe3083	Maracuja_NoIndex_L	3	494	505	12	4	9	TGATGCATGTGAAGTTCTCTACAAGGTTATTGATATTCTCAAGCTCTTAACCTCTGCATCGGTTGCGGGTGCAGGAAAACAAGAAC	CTG	G	14,87	154	TAATCATCCAACGCCAAACAAATTAACTTCGATGGTGGTGGGAAACA	59,9	CGATGGAAGACTTG	59,9	40	50		
		003_R1_00							AATATAATCATCCAACGCCAAACAAATTAACTTCGATGGTGGTGGGAAACCC												
		1_contig_1							CCTTGTCTCCCTGCTGCTGCTGTTGCTGTTGCTGTTGAAACCC												
		1466							ATGTTACCTTGATAAGCACCATAATTCAAACACAGAGGATAACATGTCCCAAGTCTCCATCGAAAACGAAAGGTTGTTCCCTTGATC												
									ACTTCCCTCCCTCCTCAGAACCATCAAC												
233	BrPe3084	Maracuja_NoIndex_L	3	1595	1609	15	5	12	TTAAATGACTGATGTATACAAAGTAGGATGACTTCCTTCATTCTAGTAATGAATCTGGTTATTGCTAAAGATTATTGAGGTTGTTCTCATCTGCTCATCTGTTATTGCTAAAGATTATTGAGGTTGTTGTTCTCATCTGTTCTGCTAAATCAACCATGC	AAT	S	18,29	181	CCCCTTTTCCCTCTG	60,3	ATGTATCGACACCA	60	50	50		
		003_R1_00							CTCATGGATTTCCTCCCTTTCCCTCTGCTAAATCAACCATGC					GTAA		CCAGCA					
		1_contig_1							ATTATCAATAATAATAATTGTGTTGCTGCTATCTCTGTTCTG												
		1585							AGTTTCTGAAACACTTGTGCACTTGACAGTTCTGTTAATT												
									ATAGCTTTGACTTTCAAGGTGCTGATTGCTGGTGTGCTGATA												
									CATCTGCTACTGAAACCAAAGGAAGCTG												
234	BrPe3085	Maracuja_NoIndex_L	3	163	174	12	4	9	TAATGTCACTATGAAGCTTGTCACTAAATTATAGCCACCCGTTGAGGCAGTCATGGCTTACTGTTGACCTGGCTCAAACCTGCCTTGTAGCGGGGTGACATGGTATGGATAATGCTTGTGTTGCTGTTGAGCTAT	GAA	G	17,11	210	TATAGCCACCCGTTGAAGG	60,0	TCACGGATGAACCT	60,7	50	50		
		003_R1_00							CCACTCACTGAAGAAGAAAGGGAGATATGGGGATGATTAAAGATTGATCTGAAAGGATATTGGTATTCTGATTCTTAACTGACG												
		1_contig_1							CCGTGACTCTAAAGGATATTGGTATTCTGATTCTTAACTGACG												
		1622							TCATTTTAAATTTGAAATCAGAAATT												
235	BrPe3086	Maracuja_NoIndex_L	3	350	361	12	4	9	GCACCTCTCGACGACCTTCTCATAGCCTGCACCCGGAGCTCTACTGCCATATCACGAATTCAAATAAAAACAGAACATAAGATATTGGATATATATAGCTAAACACCCATCCACTCCACAAATTATCAGAGTAGCATCATCATCATTCAAAGCCAGTGATAGAAATGACA	CAT	S	32,34	100	CTAAAAACGCCATCC	59,6	TGAAATTCAACTAA	57,6	50	29,6		
		003_R1_00							TCAGACACTATTAGTGAATTCAAACAAATTAAACAAATAAGAAAGAATAATTCAATAAGAAATTATCTTACTCTCAAAATAGAAAACTGTTAACTTATTACCGTAATACCTGAAATA												
		1_contig_1																			
		1692																			

G: genoma funcional

S: genoma estructural

P: polimórfico

M: monomórfico

APÉNDICE

Marcadores microssatélites desenhados a partir do sequenciamento parcial e da montagem *de novo* do genoma de *P. edulis*

Nº	Primer	Contig	Motivo	Inicio	Fim	pb	Nº Repet	Score	Sequência do contig	Unidade	G/S	Cobertura	pb	Sequência Forward	T °C Fwd	Sequência Reverse	T °C Rev	% GC Fwd	% GC Rev	P/M
236	BrPe3087	Maracuja_NoIndex_L	3	634	645	12	4	9	AAGAAGGAAGAACAGAAAACAAAAATTCTGGCAATTGGATTAC CTCTTGATGCGCAGAACATTGATGCAGGCTGAGGATCCTGCTCGAAT CCCTCTTTGGTATCCACACAAACTCCGTACATGGCTGGATTGACA ATCAGATGGCAGGAGGAGGAGGCGCTACAGAGCAAACAGTTTT GCTCCTGCTTTCTTACGTACGTGCGTGAATGTGATTCACTGATTGA CTAAATCTAACATATCTGATTATATCAGATATATCTGATTAGGTATC CGTTTCGCTAACATGGATATGGGTCGACCCA	AGG	G	82,24	157	ACCTCTTGATGCGCA GAACT	60,0	AGGAAAAGCAGGA GCAAAAAA	59,1	50	40	
237	BrPe3088	Maracuja_NoIndex_L	3	2641	2652	12	4	9	TAGAACGAACAGTAAAGTTAGAAAACCAACACAAACAGGGATTCA ACAAAACACATATGACTATGTGATTCCAATCCTCTAAACATTAC CTGTTGCTCACCATTAATGAGGCCAGGTATCCACTTGCTTCAACAAATT CTTCTTGCCTTCTTCTTCTTCACTGCCAACAAGGCCCTGCTTTTC TCTTCTCCGGATCAAGTCTCTAGCAGCTTTCTCCGCTTCAA	TTC	G	18,14	177	CCAACACAAACAGGG ATTCA	59,4	TGATCCGGGAGAAG AGAAAAA	59,7	45	45	
238	BrPe3089	Maracuja_NoIndex_L	3	600	611	12	4	9	TTTCCCCCTCCTAAACTCAATGCAAACACCACCTGAAACATGATCA ACCATGGCCAAAACCTTAAGGCATGAGAACACAACTTAGAACACA AAGAAGGAAGACATGATGCATGAATACCATAGACACATGCATAAAC AACCTCTCACCTCTCTCTCTCTCTCTCAACTGATGA TCAAGGAGTAAGGAAGGATGAAAATGGCTGGCTGAAGGAGATGGT GTGACACAAGGGAGGGAGAGGAATCGATGCCAAAGAACAG AAATGGCTCACCC	CTT	G	1.076,59	194	CTCAATGCAAACAC ACCTG	60,2	TTTCATCCTTCCTTA CTCCTTGA	59,3	50	39,1	
239	BrPe3090	Maracuja_NoIndex_L	3	283	297	15	5	12	AGATACAAAAGTCATCAAGTGGAAACAAAGACAAGAAAAATTCA AAGCTACAAAAGGTAAGAATATTATAACCTGTTAGTGTGGTAA TGCAGGCCATATCAAAACTGAATGCCAAATCTAAGAACAGAAA GACTATGATAAAAAGAAGAAGAAGAAGGACTTCAAGTCAGTCACTGGG ATGACTTAAATTGGATTCAAGTGAAGAAGAACAGCTC	AAG	G	461,67	188	TTCATCAAGTGGAAC AAAGACAA	59,6	TCCGAATTAAAGTC ATCCCAAG	60,3	34,8	40,9	
240	BrPe3091	Maracuja_NoIndex_L	3	828	839	9	3	6	GCAACGGTTGGATATTGGTTGTTCTGATTTTATTCTTCAA TTATCCAGAACAGGAGGCTATGCCATATCATTAAATGTAATCAAG GCATGTGAAAATGAGTCAGTTGAATTTCAGGTACCAATAGA CTCGGTAGTCATCATCACCTGCAAATGAGGCCGGAGATATAC AGGAAGAACAGAACAGCTAAACGCCAACAGCGGGACCCAAATGGTT AATTGGTGCAGAGAACAGCCGAGAAAAAACAAACCAGTTGCCCT GTGTCGTGAACAAGCTCGACTACAAAGGCCA	TCA	S	12,3	203	ATCCAGAACAGGAGC TATGC	58,4	GGCCTTCTCTGGCA ACAAT	60,2	50	52	

G: genoma funcional

S: genoma estructural

P: polimórfico

M: monomórfico

APÉNDICE

Marcadores microssatélites desenhados a partir do sequenciamento parcial e da montagem *de novo* do genoma de *P. edulis*

Nº	Primer	Contig	Motivo	Inicio	Fim	pb	Nº Repet	Score	Sequência do contig	Unidade	G/S	Cobertura	pb	Sequência Forward	T °C Fwd	Sequência Reverse	T °C Rev	% GC Fwd	% GC Rev	P/M
241	BrPe3092	Maracuja_NoIndex_L	3	3173	3184	12	4	9	AAAATATTAGACAACAATAATTAAAAACAAAAAGGGAGACAACC AAAAAGATTCTGATTACAGCAAAAGATAGTCTCGAGTCACACA CAGTAAGTAGTTCTGCGAAAGCATACCAGAACCCATGAAACCA GAAGCAGCAGGCAATGATGATGATGGTAAGAGAGACAGCACCAAC AGAATAAGTGCAAGAAGCGACATGTTAGACATGGACAAACCTTTGT GTGCCGTTGGACGGTGGTCTTCCATGCAGCACAAACG	ATG	G	15,27	158	TGCGGAAAGCATACC AGAAC	61,2	GTTCGTGCTGCATG GAAGAA	59,8	50	45	
242	BrPe3093	Maracuja_NoIndex_L	3	682	693	12	4	9	AAACCCATAATCTTCATTCTGATTGATTGGGTGCACTTCAAACTTG CAGGGTGTCTGGCAGAGCTTCAGTCAGTCACTTAACTTACAGTGT TTGCATGAGAATTGAAATTATGCAAATGTTATAGGCTGAAGTGT CTGGCAGAAATGTTGTTGTTGTTAAGAAGAACCCATACGTG CTGAAGATGGTTTGTGTTGAGAGTTGAAATTGATTGAA AAAATAAGAGAAAAAGAAGAAATGTCATGTCATGTTGAGC ATTTGCTCTTATTTTATTTTCCCATT	TGT	S	14,77	152	GTCTGGGCAGAGCTT CAGTC	60,1	CAGCAAAACCATCT TCAGCA	60	60	45	
243	BrPe3094	Maracuja_NoIndex_L	3	596	613	18	6	15	CAGAAACTACTCTCAGCTGGCAATTCTGAGTGGTGAATAACAGTA ACTGCAAACATGTTTAAGATTCTAACGACTCAGGTGCCATT AACAGGCCTATACTCCCCCTAATAAGTTCTACAGAAATTGGTAGCT TATAGAATGGAAGAAGAAGAAGAATGCACTGTTTCTTCAA ATAATGAGGAAGACATTGAGTTAACGCGATGAGTACTCAGACA AATTGATAATTTACAGGTGCCAACTAGAAAGGCCTAGAACG GCCACAAATGTCATGATTAGGACAACCTTAAGGATCTC	GAA	S	16,35	217	ACGACTCAGGTGCCA TTTT	59,6	ACATTGTGGCCGTT CTAGG	60	45	50	
244	BrPe3095	Maracuja_NoIndex_L	3	775	789	15	5	12	AGGACATCCGTCTCATGTTGAGGTCGGCGAGAACACTCGGAAAC ATTCCAGGACAAGAATTGAGAACCTGGACCATGAGAGATCGA TTTAACATAAGAGGATTGTCATAGATTGCTTTTACCCACTAGTG ATCTCAAGAAGGAAGAAGAAGAAGAATGTTGAGTGTGAGTGGTA ATGCAAAGTTACCTCAAAGATCCGTCTGCATGTTAGGATTAGT ACATCCAAGGTAGTTGCATGATGTTGATTACCCAGACTACTT GAAAGGTGATCACGAAGATGTTGAGGCATTTTCAT	GAA	G	13,17	221	GAACTCGGAAAACCA TTCCA	59,9	CGATGGCAACTACC TTGGAT	60	45	50	
245	BrPe3096	Maracuja_NoIndex_L	3	1047	1058	12	4	9	CATTCCTCGTATCGCAACTCGAATTGAGGAAGAGGTGATCAAAT ACTCTTGAATTGATGGAGCTGAGATCAAACAGCATGCTGTGATT CATTCCGGGTTCGCTCACCTCCCTGTCACAGACGCTTTGCCG CTGCAGACTCTGCTGCTGGTATGCTTCTCCGGGTTCA	CTG	G	12,24	180	TCCTTCGTATCGCAA CTCG	60,0	GAACCCGGGAAGAA GCAT	60	52,6	55,6	

G: genoma funcional

S: genoma estructural

P: polimórfico

M: monomórfico

APÉNDICE

Marcadores microssatélites desenhados a partir do sequenciamento parcial e da montagem *de novo* do genoma de *P. edulis*

Nº	Primer	Contig	Motivo	Inicio	Fim	pb	Nº Repet	Score	Sequência do contig	Unidade	G/S	Cobertura	pb	Sequência Forward	T °C Fwd	Sequência Reverse	T °C Rev	% GC Fwd	% GC Rev	P/M
246	BrPe3097	Maracuja_NoIndex_L	3	551	562	12	4	9	ATCTTTGCAAATGGAAGATGTTGTAGACCAGGAATTACAAGAGGAA CCGAAATTGAAGAAAAGGAAGAACCCCCATTACCATACCTTCAC ATCCAGAGACAAAACCATGGAACCTGTTCAAGTGAAGACCGAGAA AGAGATGATTCCAGAAGAAGATAAAAGCAAGAAGCATCCTGC AATGCAGGATGAGGATGAGAAACTGAAACGTTAGATGCCGATGA AGCACGCCCTCCTCTGACTCGCAAACCAAGAACATCGACAGAAACA ATCATGGCTGAATCTGAAAGTCCTGTAGAAGAAAGCCA	AGA	G	12,22	182	TCTTTGCAAATGGAA GATGTTG	60,1	GCAGGATGCTTCTT GCTTTT	59,6	36,4	45	
247	BrPe3098	Maracuja_NoIndex_L	3	234	245	12	4	9	TCAACACCACAATTAGAGATGCAGGCTACATGCAAAGTCGAGACA ATTCACTCACCGGAGGCACCAAGCTTCTGTGTTGGTACTTTCCAGA AAGAAAGATTCCGGGTAAGAAATTGGAGGGGCAACCATCAAAGAA TCTTATGGCTGAGAGGAGGAGGAGAAAAGGTTAAATGACCGCTG TCAATGCTCAGATCAATCGTCCAAAGATAAGCAAGGAAACATTG ACCCAATTAATGGTTATGCAGTTGATTTACATTAGATTGGGAG TTCATTGCGAGACTTGACCCCCCTCCCCCTCTC	GAG	G	9,06	169	AGGGCAACCATCAA AGAAT	60,7	TGGCAAATGAACCT CCAAT	60,3	45	40	
248	BrPe3099	Maracuja_NoIndex_L	3	160	171	12	4	9	TCCATCGTGTTCATCTGTGACAACAAATGCGAGAGAACCATG ATCATACGAACAGCAACAAACAAACAGCAATGGACCAACGATT CCTAAACACCCACGTTAAACTACTAGCCTCGATCTCTCCCTCA CGCCAACCGCTCCCTCTCCACAGACGCGACGCTTCTCCGC AGAGGCGCCTCTAGACCGCAGAACCGCTGGGATCGTACG CCCGAGACCATAAACCGAACAGTCTCAAGTTACATTGACGA CGGAACCGGATCGTCAGTGCATGCTCTGGCT	TCC	G	6,41	212	AAGCAATGGACCAAC GATTG	59,9	GGTCCGTCGTCAA TGGTAA	60,8	45	50	
249	BrPe3100	Maracuja_NoIndex_L	3	1610	1621	12	4	9	GCAGCTCCTAGTTCTCAACTAATCATTACTTCCCTTCATTAA ATGCTTGAATTAAAGCCCTCCCTTGCAGCAAATTAGGTGT TATGGAGAGGCAAATATCATTCTTACTTAGACATTGCAAGAGACA AAAGTAAAGGAAGAAGAACGAAGAAAGAAGATGGCGTTTTA CCCTCAAAGTAGCCTCAACGACCTCACAGAGCATTATAGCCTGC ATGATCTGTTAGAAGGAAGAAAAACAGAGAGATAGAGAG AGATGGTGCAATTCAAGAACCGACTCTGGCCT	GAA	S	15,21	237	TTGCCAGCAAAATTAA GGTGTT	59,6	AGGCCAGACTGGTT TCTTGA	59,8	38,1	50	
250	BrPe3101	Maracuja_NoIndex_L	3	616	627	12	4	9	GTAAGAATGTTGACTTCCAGGCCATGATCAACTTGGTTTCCA TGTATTCTAACAGAGTCAACAAACAAAAGGTACATGATCATCTCC TTTTTTCCCCTGAGTTGATGTTGCAAATGTCGTATTCTTAGGTT CATAATCCTATTATTATAATGATCTAAGGTACAAGGAAAGAA TATGCATGACTGAACTCATGAAGAACAGATAACCAATAGCACCG CAAATTTGGATTCTACTTAAGTATATAATGTCAGGTAATG ATAAGAGGCACTATTGAAAGCCAATGTG	TAT	S	18,65	204	CCCCTGAGTTGATGT TGC	59,1	GGCTTCAAATGAG TGCCTCT	60,8	52,6	47,6	

G: genoma funcional

S: genoma estructural

P: polimórfico

M: monomórfico

APÉNDICE

Marcadores microssatélites desenhados a partir do sequenciamento parcial e da montagem *de novo* do genoma de *P. edulis*

Nº	Primer	Contig	Motivo	Inicio	Fim	pb	Nº Repet	Score	Sequência do contig	Unidade	G/S	Cobertura	pb	Sequência Forward	T °C Fwd	Sequência Reverse	T °C Rev	% GC Fwd	% GC Rev	P/M
251	BrPe3102	Maracuja_NoIndex_L	3	188	199	12	4	9	AGTCGGTTATTAAAGTCGGAGATTCTCGAGGGATGAAAGATGTT TAGAGATAAAAAAATACTGTTATCGAAGTGGTTGTCATTCAAGTAG AGCAATCGTAATTGTCAATTGCAAGAGTCCTGTCCACCTGAAGG AAGTCATTAAAATAATAATTTCATTGATTCTGCAATTGACTA ACAAACACAAACCATAAGCTTGAATGAAATATTACCTGTGGAT GACAGCAATTGGTCAATCCATTGCCATCCAAGTACAATACCTCCA AGTTGCTTAAAGCATTCAAGTCTGGATGTAAG	ATT	S	89,31	156	GCAAGAGTCCTTGTC CACCT	59,3	TTGTACTTGGATGG CAATGG	59,4	55	45	
		003_R1_00																		
		1_contig_1																		
		4975																		
252	BrPe3103	Maracuja_NoIndex_L	3	2577	2588	12	4	9	GGAAGGCGTGCAGCAGACATAAGACTCACAAACCTGACACATA GGACGCCAAGTGGCCCAGTCACAACCAAGGAAATTTCATCA AGTGCACTGCTAGAAATTCCATATGCATGCCAGTATTCTGGACG CCGCTTGACACTGATGATGAATCGATTCCCAGGCAAATGCTC CACAGAGAACTGCAAAGTAGGCAAGTGTGATCCCCAACAGATGGA GACAATCCGTAGGTCTGTTCTCTGACCTTGACAGCTA TAAACCAAGATGGCAGAGTCTTGAACAGTGA	TGA	G	13,74	185	GACACATAGGACCGC CAAGT	60,0	GGGGGATACACACT TGCCTA	59,8	55	55	
		003_R1_00																		
		1_contig_1																		
		4994																		
253	BrPe3104	Maracuja_NoIndex_L	3	4240	4251	12	4	9	AATTGACATGAATACTGAAATGAAAAACATAGCATAAGATGA TGCAATGTGAGTAGGATATGACATGGTACCAATACAAAATACAT CCTTGATGTGCTTAAAGCATATAATAAGCAATGTCCTTGTCTC ACTTCAATAGTGAAGAAGAAGATCGTATAGCAGTAGAAGGTGACA ATGATTTTAGTATTTATGTGTCATTGCTTTATCATCATCTCCTT GTTTGTGTTAACTGAAGAAAATATGTTGTTGTTATCCTTTAAC ACGACTCTGTTGCCATTCAATAATATGAGG	GAA	S	17,27	210	CCTTGATGTGCGTTA AGCAT	60,1	TTGAATGGCAAACA GAGTCG	59,8	42,9	45	
		003_R1_00																		
		1_contig_1																		
		5525																		
254	BrPe3105	Maracuja_NoIndex_L	3	740	751	12	4	9	GTTAAGAAATTGTAATTAACTAAGCTATGGATCACCACAGCATTAG GACCATTCTCTGAAGTTCTGCCACAGAACATCTCCATA GGACCCCTGGTAGTGAGCAACAACATAGCCATCCTGCCACCCCTCATT ATAGATTCTCTCTCTCTCGATTAACTCTAAACCTCTCT CATGTCGAATCCAGATAACCCATGGCTACATCTAACTTAAACA CTGCCACATCAACCATGAAGATTTCAACGACAAATAAACATT GATGATCTGATCATGGTTCTGGACAGTA	CTC	G	17,58	159	AGGACCCCTGGTAGTG AGCAA	59,7	TGGTTGATGTGGCA GATGTT	60	55	45	
		003_R1_00																		
		1_contig_1																		
		5709																		
255	BrPe3106	Maracuja_NoIndex_L	3	1363	1374	12	4	9	GAGTAACAGATGTTAACTACTGAGAATATGAAAGAGATCATT GAACCTATGGTGGCTACTATAAGACCTTGGGAAGTACA CAACAAAACCCATATTGTCATGATTCTAATAACAGCAGAGCT CTGATCACTTGGAGGAGGAGGAATCTAAATGCTAACATATCTC AGGATGAGATCAAAGCAGCATTATGGAGTATTAATAAGAAGATGGC TTTATTTGTAATGGATCAATTCTATTTGTTCATTCATGTTGGGA TATTATCAAGGA	GGA	G	19,15	202	TGGGAAC TGACAATC ACAACA	60,0	TCCCAACATGAATG AAACAAA	58,9	42,9	33,3	
		003_R1_00																		
		1_contig_1																		
		5768																		

G: genoma funcional

S: genoma estructural

P: polimórfico

M: monomórfico

APÉNDICE

Marcadores microssatélites desenhados a partir do sequenciamento parcial e da montagem *de novo* do genoma de *P. edulis*

Nº	Primer	Contig	Motivo	Inicio	Fim	pb	Nº Repet	Score	Sequência do contig	Unidade	G/S	Cobertura	pb	Sequência Forward	T °C Fwd	Sequência Reverse	T °C Rev	% GC Fwd	% GC Rev	P/M
256	BrPe3107	Maracuja_NoIndex_L	3	288	299	12	4	9	AAAAATGGCAGAAACCAATAGACACAAAATGAGAACATCAGGACAAA AACACATCTAAAATTGAGCTTACCGAACGCTTCACAGTATCC CCACCGAACACATCCGTATCATAGAAACCTTCATGGGCTGTTGT TGCCGAGATTCTGCTGCTGCTGGTGTCTTGCCTAGAAAT TGCATCTGGAATCACCTGATTCCCTTTTGCTCTACTCTACA GACACACTCTCCCTCTCTCTCTAGCGCATTGAGAATTGTAT GTTTCTCTTTAAAAAAACAACTGGG	CTG	G	19,13	178	TGGCAGAAACCAATA GACACA	59,2	TCTATGGCAAAGA ACAGCA	59,4	42,9	45	
257	BrPe3108	Maracuja_NoIndex_L	3	2725	2736	12	4	9	GAATATCAGGGCATTGGCTGTTAACCTTAATGATACTGAGATTGA TAATTGGAAGCAGCTATTACAGATATTGAGCATTTGTTCTGCAAC TGGATAATCTAGCAAAAAATGTAACTGGGAATCATTACCCAGA ATGGATAGATGAAGAAGAATTGAGGTTCCCACITGCCCTTT TTCCTAAATTAAAGTCCCTGGTAAACCTCGAATTGATGTTGCT GTCAAGCTTGCATAAGTCAGGGAGCTGGTAGAGACGTTG CTCGATIGCACTTGCACATTGCGGTGGCAAAT	GAA	G	15,8	190	GCATGTTGTTCTGCA ACTGG	60,3	CCAGCTCCCTGACT TATTGC	59,8	50	55	
258	BrPe3109	Maracuja_NoIndex_L	3	2839	2850	12	4	9	TGGATGCAACAGCACCCCCAGTTGCAGTCTCAACTGGGTGCATAT GCGTCAGAACATTAACCAGCAGCTCCGCTCGAGCTACCCAAACCC TTCTCATCCTCTCCAGGGAGGTATCAACATCATATAGCATTGATCA ATCTGGAGTGTAGCAGCAGCAGTTGAGTTCCAGGCTGCTGCTT TTGCTAACGCGCAGTCAGAGCTCATCGAACGAAGTGCAGTGAATCG CCATTCAAGGATTTCTCCAACACTCATCAAATACCATGATGTC CAAACCTGTCAAGATTGGGTTCTGTATGGAA	CAG	G	14,94	180	AGTCTCCAACGGGT TGCAT	59,6	TCTGACTGCGCTTA GCAAAA	59,9	50	45	
259	BrPe3110	Maracuja_NoIndex_L	3	10730	10741	12	4	9	TGAGGACTTAGGCATAGTGAACACGATTCAAGGCAGCGGCACCGTT GACGAAGGGGCCATGATGAAGAAGATTGGATGAAGAATGTGGG GCTGAATGTGACACAGGGAAAGCAGCATGATGTTGATGGTGCAG GTGAACCTGCTCTGATGATGAGTGAAGTCATGTTAGACAAAAGGT ACTGGAGGTGGATCCTCAGGAAGCAGCTGATTTGAGCAGGAGCTG AGGGCTGAATGCAGGAAGATTGAGAATACCCAGTGCTGATTATA TTTCTAATTAGGAATGCTTCTGGTTAATGTGCA	TGA	G	18,53	151	GAAGAATGTGGGCT GAATG	60,5	TCAGCTCTGCTCA AAATCA	59,7	50	45	
260	BrPe3111	Maracuja_NoIndex_L	3	2781	2798	18	6	15	CTTGAACCTGTGATTATCCTCAGGAATTCTAACTACGAGAACATGG AGAAGAGAAGAAAAGAAGACTAACCTATTGACGCCGATATTG AAGTCTTTTACCGCTAGCAATTCCATGTCTATGAAATCTGAATT TTACTCATATCAGCAGCAGCAGCAGAACATTAAGATCCATGCTTG GATTGATGAAGGACATCTATGAGAAAATCTTAATATGATAATATG CAATGCAAGAATACCTATTGTTCTGACAAGTCTTAGAAGTTCTTAATGT AACCAAAGTATCTTAGTGTCTTAGAAGTTCTTAATGT	CAG	G	16,56	102	TTTTACCACCGTAGCA ATTCCA	59,5	GTCCTTCATCAATCC AAGCA	58,6	36,4	45	

G: genoma funcional

S: genoma estructural

P: polimórfico

M: monomórfico

APÉNDICE

Marcadores microssatélites desenhados a partir do sequenciamento parcial e da montagem *de novo* do genoma de *P. edulis*

Nº	Primer	Contig	Motivo	Inicio	Fim	pb	Nº Repet	Score	Sequência do contig	Unidade	G/S	Cobertura	pb	Sequência Forward	T °C Fwd	Sequência Reverse	T °C Rev	% GC Fwd	% GC Rev	P/M
261	BrPe3112	Maracuja_NoIndex_L	3	4525	4536	12	4	9	GCCAGTTGCTCCATTGCAATTCTAGTCATCTTGTCCCTCTAAAG ATCTCTACTTCAGTCTGCTAAGATCCATAATCTTGCTCCAGAAGGCA AGTGTCTTCAGCATCTGCTGTTCTAACAGCTCTCCAATGCCTT TTGCTCTCATCATCATCAGACTCGCTCTGACATGTCATTATCAGA AGACTTAATTGTTAGATAGATCAGTAATTCTGGTCTTGTAC CAACATTTCCAGGTCTTACAGCAAG	TCA	G	18,53	189	TTTGCTCCAGAAGG CAAGT	60,0	TGCTGTGAAAGACC TGGATG	59,8	45	50	
262	BrPe3113	Maracuja_NoIndex_L	3	1719	1730	12	4	9	GGAAGCGCATTCTCCAGGATGGTCAAAGTACAGGCCAGCTAATG CCCAGTACCTACGTAGCTTAGTATTGACAGCAAGGAGAAGTCCAG TACGAAAGAAATGAAGATGCAGAACGGTACCGTAGATGGCTAGCT TCCTCGAGATGGGCTGCTGCTCAATATGCTCTGGTTAGCCT TACTAGTGACAGGGTGTAGTTCATAGGTTGGAAGTTGGAGGGAA GACAACATCCTGAAGAAAACAAAAGATGCCGTACAACCTTACAGG ATGTGCTGGTGGGAAGCATGATGAAGTAATTGAT	GCT	G	15,53	231	TTCTCCAGGATGGTC CAAAG	60,0	GATGTTGCTTCCCC TCCAA	59,9	50	50	
263	BrPe3114	Maracuja_NoIndex_L	3	466	477	12	4	9	TAAATATAGAATACCTCACAAATTTAAAATTATGAAATTGAAA AATAATATTATATTGAAAGTTGAAGTTAATATCCGCAATTCAAAGA TTTATCTTAAACTATCTTAAAGAATTATGTTGAACCAGTTAAA TTTCAAAGATTATTATTATCTTAAACTCATAATTATTATGACA AATAGAGGTTGCAACCTGATTTGGTCAAGGAGGAAGATCCA ACTAACACCATACCCCTCAGAACATATTTAACATTTAAGAACT AAAATTACTTTGTTTTTACTGAAACCT	ATT	S	14,61	156	TGAAGTTAATATCCG CAATTCAA	59,9	TCCTTCGACCAAAA ATCAGG	60	29,2	45	
264	BrPe3115	Maracuja_NoIndex_L	3	320	331	12	4	9	AGATTACTGACTAAACATGCCAGGATATGAACATAGAACTACCAG ACAAAGACCTTAGTACTACTCACTCCACTATGTTCCACTATCAC AGCATGCAATCTACTGTTAACATTATGTTGAGTACCCATCT TCTCTTCTGCTCTTCTTGTGATTTGATCATAGGTTCTCTGC CTCTACAGGAATCTGATTTGTTTCTACTGGATTCTACAT CAAGTAAATCACAATACTATCCACAAAACCTTAATAAACATG AAGATTITAAGAAATAACAGCACACAA	CTT	G	50,84	188	AAAACATGCCAGGAT ATGAACA	59,3	GCCTTGAGAGGCA GAAGGA	59,6	36,4	55	
265	BrPe3116	Maracuja_NoIndex_L	3	902	913	12	4	9	AAGATTATATGTTAACAGAGGAAGACGACGACTAGCTGATT TGTGAATAATGGGTCATCCCCACTTTCTGCAGGTAGCTGGC CCACGAGTGGCCACTGTATGGCCCAATTGATTGGCTGGAGTCT GAGGCAGAGAGTCATCATCACCATAGGGAGCCAGCTGAATT TACACAGTCAGTGCATGCATAGAACACTGCAGGAACAATCAGTAA AGATCGGCCAGCCACAGGGAAACAAACAACCACCCCCAAAAAT GGGTTTCGTAAATGGGTTATTTGGTATTTGGT	TCA	G	16,34	167	GGTCATCCCCACT TTTCT	60,2	CGTGATTGTTCTGC AGTTC	59,3	50	50	

G: genoma funcional

S: genoma estructural

P: polimórfico

M: monomórfico

APÉNDICE

Marcadores microssatélites desenhados a partir do sequenciamento parcial e da montagem *de novo* do genoma de *P. edulis*

Nº	Primer	Contig	Motivo	Inicio	Fim	pb	Nº Repet	Score	Sequência do contig	Unidade	G/S	Cobertura	pb	Sequência Forward	T °C Fwd	Sequência Reverse	T °C Rev	% GC Fwd	% GC Rev	P/M
266	BrPe3117	Maracuja_NoIndex_L	3	6790	6807	18	6	15	CCCACTCGCTTGAGGGAGATTGGAAGTAACATTACCAATCGTCTCC CTTTAATAACCCATTGTGGTCCTGTGTTGTAAACGCTAAAACAAT CTGCAGCAGCAGCAGGGAGGTCTTCATGGGATTCAAACGAACAGC AAAAGCAAGGAGAAGAAGAAGAAGAAGAGTATCGGGTGGTTCGG CTGTAAGAACAGCTACAACGATATTGTC	AGA	G	18,31	102	GGTCTTCATGGGATT CCAAC	60,6	GACAATATCGTTGT AGCTGCTTCT	59	47,6	41,7	
		003_R1_00																		
		1_contig_1																		
		9688																		
267	BrPe3118	Maracuja_NoIndex_L	3	7988	7999	12	4	9	ACCGAAGAATCACTCACACAGAAAAATGTTTTATTTCTTTCC ACCGGGTGTCTTTTGTGGTCTGGCTTAAGAGATGGTGGAC GTTTTGGCAAACACAGTGAAGAGACTCCGAAGAAGGGGAGGA TAAGAAGGAAAGAAGAAGCAGTGGAGGCAGCGAAGAAGAT GACAGCGAGCAGGTTGGCTTCAGCGGTTAATGAATGGTG TGTTGGGTCAACAGCAGCAGCAGCAGAATTCTTTGTGGT TGATGATTTGGGATCAAAGTGTAAAGGGAGA	AAG	G	15,93	190	GGGTGGTGTCTTTTG TTGG	60,2	ACCCAAACACACCC ATTCAT	60	50	45	
		003_R1_00																		
		1_contig_2																		
		0151																		
268	BrPe3119	Maracuja_NoIndex_L	3	2426	2437	12	4	9	TCCGGCTATGAGTCACATTATAGAACATGTTATTATATCTA GAGCAAGTCTTACCGGTATGATTCTATTTTATGTCCTCAAT ATATATATAGGTGGCTGGGTTGGTTATTTTCATACGATACTGG CTATGTCGAGAAGAAGAATCCCATTCACTGGGCCCCATATGATGAT GAGGACAGAAATCTCGGACATTCACTGGGCCATATGATGAT TGATCATATTGATCATGTGGAGAAGGTATTCTATCTAGATTGCT AATATTGTTAAACTCATCATATGATGATGAT	AGA	G	22,94	208	TCCGGCTATGAGTC ACATT	57,3	TCCGAAGATTCT GTCCTC	59,2	42,9	50	
		003_R1_00																		
		1_contig_2																		
		0244																		
269	BrPe3120	Maracuja_NoIndex_L	3	714	725	12	4	9	AAATAAGGACATACAAAAAACATAGCCTTAGCCATTGTAAGGG CCCAAAACCCAGACGTGACGCCCTGTTGGTTCCACATGCATGAT CCATTATTCTCTATAACTATTACTATTCTCTGTCGTACGATCCCA CAGCTCTCTCCCTCCCTCAGCTAGCAGGTTCCAGCTCCGAGAT TGTGTTCTCATCATGTGATCTACCAGAAAAAGGTAGTAACAGA AATTGATGGAGGTCTAATTATAATAACATGATGCTGGGAGGGTT CGTTAATTATCTAATAAGTGTAAATAATGG	CTC	G	14,72	158	GTCACGATCCCACAG CTTCT	60,3	ATTAACGCAACCC CCCAAG	61,2	55	50	
		003_R1_00																		
		1_contig_2																		
		0286																		
270	BrPe3121	Maracuja_NoIndex_L	3	2435	2446	12	4	9	GGCACTGACTTTTATTCCGAGGGAAAAAGAACCTTCAC AGTAAATCATCGATTGGAGAACATTGGATGCAAAGCAAGCGC TGGAGTTGGAAATAGGAAACTCAAAGGGTATTAATGTGATGAA GCACATGGAAATGATGATGATGTTGAGAAGAGATGGAT GCAATGATGAAAGATTGAGGGAAAAGGAAGGAGACTTCAGAT ATAGATGTTGAATCAAACCTTATTGTAAGGGAGCGATGAGCA ATGAAGAGCTCCAGGAAGCCCCCAAAGAACTAATTA	ATG	G	16,85	205	AAGCGCTGGAGTTGG AAATA	59,8	TCCTGGAGCTCTC ATTGCT	60,1	45	50	
		003_R1_00																		
		1_contig_2																		
		0399																		

G: genoma funcional

S: genoma estructural

P: polimórfico

M: monomórfico

APÉNDICE

Marcadores microssatélites desenhados a partir do sequenciamento parcial e da montagem *de novo* do genoma de *P. edulis*

Nº	Primer	Contig	Motivo	Inicio	Fim	pb	Nº Repet	Score	Sequência do contig	Unidade	G/S	Cobertura	pb	Sequência Forward	T °C Fwd	Sequência Reverse	T °C Rev	% GC Fwd	% GC Rev	P/M
271	BrPe3122	Maracuja_NoIndex_L	3	258	269	12	4	9	ATTAAGGACAAAAGATTGTGAAAGGAAAAACC TCATAATGGAGGAGAACATTGATGTTACTGCACATGAAAGAA AGAGAAAAGGTGAATAAAATTAGCACCATTGCTGTCTATT ACTAGGCAGAGGAGAGAAGAGAGGCATGGAGAACCCATGCT CATCAGTCTATCAGACATCACAGCCTGCACCTTGCA CCAATTCTCCTACTAAACACC	AGA	G	11,15	100	AGCACCATTTTGCTG TGTCT	59,8	AGTCAGGGTGTGA TGTCTG	60,1	42,9	55	
272	BrPe3123	Maracuja_NoIndex_L	3	177	191	15	5	12	GAGACGGCTACCCCTCGGCCAGTCGTTGTCCTAACACACAAT TTACTCTCTCCCTCCATTCCACATCCACGACCCATCT GATAACCACCCCAGAAACCTGGAAGAGGAAGTTTACCTTGA CGCATGCTGACCAACCACCCCTCTCTGTACTACATTCA ATGTTCCCTGGTCTGACTATTCTGTACTTGCGTCCCTACCTTCA TAAACCTATTGTTCCATTGTACAGTCATTCCCCATCCACATGAA TCATCCCCAACATTCCCCATCCATTACTTTC	ACC	G	16,82	185	CCATGAAACCTGGAA GAGGA	60,0	TGGGATGATTGATG TGGATG	60,1	50	45	
273	BrPe3124	Maracuja_NoIndex_L	3	7138	7152	15	5	12	AATTCACTGTATCTGTTATGTGAACTTCAGTCGACTCTGTTAA GCTTGGCTTATGCTTTGTAATTTCACCGTACGTATGAACTTCCA ACATTGACATTGCTCCCTAACACAAAGCATCAAGCATGCGTGT TGGTCAATTATTATTATTATTAAATTATTTTCGGTTCAATCA GAGTCTTTCTATAATCTATCAACTTAGTTCAATTAGATTGG GAGGTTTCAATTACCATGAATTAAAGACCAAAAGATATTGATT GCATTTACGATAGTTAATTAGTTATAA	ATT	S	14,24	162	CCAACATTGACATT GCTTCC	60,4	TGGTAATGAAAACC TCCCAA	59,3	42,9	38,1	
274	BrPe3125	Maracuja_NoIndex_L	3	1853	1864	12	4	9	AAAGGGTTACTCCAGGCCAGGAACGACTGAATTAAACAAAAATTAAA ACTTTGGCTAAAAAAAAGAAGAAAAACAGGGATTAAACATGACT TACATTTCAGCATTGAAAGAGAGGAGAGCCTTGGAGGGCAAC AGTGTAAATTGTCAGGGAGGAGGGTGGAGGCTTATGCTTAGGCAA GTCTTGACGATGATGGTGGGGAGTGAATGAATAGAACCCACACA CAATGGCTAAAGAGTATACTTGAGGCCCTGTGCTGCAAACAAAT GCAACCCAAGTCTCGACTTTCCCTTGGCCTC	AGG	G	15,48	150	GAAGAAAAACAGGG ATTAAACATGA	60,9	CATTGCACTCCCC CCAT	60,3	30,8	55,6	
275	BrPe3126	Maracuja_NoIndex_L	3	3656	3670	15	5	12	TTCTGCATTGCACACATTGACTATGCTTCATGTTCCAGGGCTTGG CAAAACTATCTCAATGATCGCCCTTACAAATGCAAAGTCTTGC AGTCAAATCAAACACTGAAGATCAATCTCAGAACACTGAAGC ATTGAAATTGGATGATGATGATAATGGCGGTTCTACCTCAGGTA AGGCCAAGGAGACTGCAGAACATTCTGATGTTAAGCCAGTCCCGA AGTTACTACTCTCAGGGACATTAGCAGAAGAACCCAGCTGCT GGCACACTGGTTGTGCTGCTGAGTGTCTCCGA	GAT	G	17,89	204	TTCTGCATTGCACAC ATTGA	59,8	TGCAGTCTCCTTGG CCTTAC	60,4	40	55	

G: genoma funcional

S: genoma estructural

P: polimórfico

M: monomórfico

APÉNDICE

Marcadores microssatélites desenhados a partir do sequenciamento parcial e da montagem *de novo* do genoma de *P. edulis*

Nº	Primer	Contig	Motivo	Inicio	Fim	pb	Nº Repet	Score	Sequência do contig	Unidade	G/S	Cobertura	pb	Sequência Forward	T °C Fwd	Sequência Reverse	T °C Rev	% GC Fwd	% GC Rev	P/M
276	BrPe3127	Maracuja_NoIndex_L	3	262	273	12	4	9	AAACGATATCCTATAAAAAGACCCATTGAAAAGAAGGTACAATT GAGGATCTTAAGTCTGAAGTTAAAGATTGAAAGATGAAGTAAGGG ACATTAAGGCCACATAGAAATATAAAAATAGCAAAGGAACAA GGGTGGTTAGTCAGAAGAAGAAGATAACAGATAATGAGGACATTAA TGTAATATCTAAGGTAATTATCATAATGGTATTCTTAATCACCA TAGTAATAAAAGATT	AGA	G	204,04	210	GACCCATTGAAAAGA AGGTCA	059	TGGTGATTAAAGAA TACCATTTATGA	58,1	42,9	26,9	
277	BrPe3128	Maracuja_NoIndex_L	3	1388	1408	21	7	18	TTGAAGCTCAGATCTGAACTCAAAGGATAGGCTTATAAAATAAGT TCACCCAATTAAATGATTATTTCTAAATTCAAGCTTCATTCT GAGAACATAATATTTTGTTCAAATTAGTTAGAGGAATAAA GGTTATAATTAAATAATAATAATAAGCATAACCTGTCTACC ATGCATTACGTGCGTATGGACGCATTAAGTAATGGAAATGATAGC AAACTCATCAAAGTTGGCTTACCAACTAATCATAGAAAATTGGCT AATTCAAGGTAAACTAATTGGTATTCCGTGGAATTCCA	TAA	S	16,47	204	GAAGCTCAGATCTGT AACTCAAAGG	60,0	CATAGCGACGTAAT GCATGG	60,1	44	50	
278	BrPe3129	Maracuja_NoIndex_L	3	1140	1151	12	4	9	TGCTGCAATCACACCAGTTGGAACCCAGTAAGATAAAAAGAAA GTACATTGTAGGAAGAAAATAAAGGTTAAGGTTACGGTTGAGGT TTTAGTTTGGAAATACAGGGTTTGATATGAAAGGGTTATGACG GTTGTTGGGGCGGTGGTGGTCTATTCCAAGCTCAAGATGGAA GGTGGGGGACATAGAAAAGAGAGGGACGAGGGGAGGGAGGGTAGG	GTT	G	62,05	106	CGGTTGAGGTTTAG ATTGG	59,9	ACCTTCCATCTTGA GCTTGG	59,3	40,9	50	
279	BrPe3130	Maracuja_NoIndex_L	3	5438	5449	12	4	9	GGCCCAGAGGATAATATTGAGCAATCTGACTATTACCTCAGCCTA CTTTTCATATGCAAGCAATTCTCATACTCAATCTCATCATCATTG TCTTCGTCATTTCATCATTATTGTATCATCGAACAGCAACAGG ACCAAGAACCTCTCTTCTACCGCTGAAGTCAAATTGGATG GATAGACAGCCAC	CTT	G	17,82	106	TGTCTTCGTCTTT ATCATT	57,2	GCTGTCTATCCATCC GAATT	58,1	31,8	42,9	
280	BrPe3131	Maracuja_NoIndex_L	3	5081	5092	12	4	9	TGTCCAATGGACAGAAAGGGATTGTATATGAGTAAGAAAAAATT CCCAAGTTCTCTCATGCTTCTGCATGCGCCATTGAGTGAAAGCA TTGGAAAAAGAATTAGAAACTCAAGGCTTGTAAATCTGCTCTGGAA AGCTGCTTATGCCACCAACCAATTGCTTCAAGGAAAAGATGAAC GAAATTTCAGAGGTCTCTGTGAAGCTGCAAAGTGGCTGCAACAGT TCCCTCCCTCTGTGGCTTGGTTATTTGAAGGAACAAGGTAC GGTCATCTGTCTCCAACATTGATGAATTAAATA	CCA	G	16,09	172	CGCCATTGAGTGAA AGCAT	61,2	AGCAGGAGGGAGG AAACTGT	60,3	45	55	

G: genoma funcional

S: genoma estructural

P: polimórfico

M: monomórfico

APÉNDICE

Marcadores microssatélites desenhados a partir do sequenciamento parcial e da montagem *de novo* do genoma de *P. edulis*

Nº	Primer	Contig	Motivo	Inicio	Fim	pb	Nº Repet	Score	Sequência do contig	Unidade	G/S	Cobertura	pb	Sequência Forward	T °C Fwd	Sequência Reverse	T °C Rev	% GC Fwd	% GC Rev	P/M
281	BrPe3132	Maracuja_NoIndex_L	3	1612	1623	12	4	9	GGTAGAAAGACATGAAAAGAGGCTACTGAAACTCCCTTCCAAGA TGGTTGTGAAGGGTTTATGGAGTAGGTCTGTAGCGCATT TCGCTCAAGGAGAGAATTATGCGTTATGTCAGAAGGATT GGATATAATAAGAAGAAGAAGGACAAGAAAGGGTTGAGAAAGT GTTGATGATGGCTCAGAGCTGGTTAACGACTAAGGAAGTCACA AACATGACCTCAATATGATGAGATAACCGCCCTCATCAGGGAC TTGTGTTGATGCTCTCTGGAGATGGTGAAGA	AAG	G	13,45	237	TTGGTGAAGGGTTT ATGGA	60,2	CAAGCACAAAGTCCC TGATGA	59,8	45	50	
282	BrPe3133	Maracuja_NoIndex_L	3	763	774	12	4	9	ACATGCATGAATGGAGCTTCGTGATCGTGAAGATTTATT AATTTTTAGTGGTTGGTGCATTCTTATTGATGGCAGITGCT GATCCCCAAGGTGGGAGGGATTGTTGTTAATATTTTGTGTC GAAGAAGGAGAAGAAGAAGAGGCCAAGGGAAAGTAAAAATTG CTGCGAGTCATGGAGTGAGAAGCAACTGGGGTGTGCAAATCAA TGGCGGCATTGATTGTTGAAACAGAAAGGGTGGACCCCTGATTAT GCCGGGGAGAGAAGAAGAAGTCAGAGACTTTC	AGA	S	11,64	182	CAGTTGCTGATTCCC AAGGT	60,1	GGTCCCACCTCTTCT GTTCA	60,1	50	55	
283	BrPe3134	Maracuja_NoIndex_L	3	382	396	15	5	12	AATTCTCGATAGCAAGGTTCATAGAGTCGCACCACCTCAGT ATATCAGTGTATGAGGCGCAGAACATGCAAGATGATGGACACAAT AAAGGAAGAGGATAGAGAAGTGGTTGAAGCGATTCTAGCTTGC TATCCCCAGTCGTTCTCTCTCTGCAAGTCAACTATAGGCGCT GCTTCTGCTGCTGTTACTGTTCCAAGTCTTTTCTCATCAGAGG CATTGAAAAGAACCTTCCAATCTTTTTTTTTTCTCATTTCAACA AAAATAAGAGAACCTCTGAAGGTCTCATGA	TCT	G	16,83	170	TCATCATAGAGGTCG CACCA	60,2	AGCAGCGCTATAG TTGCAC	60,2	50	55	
284	BrPe3135	Maracuja_NoIndex_L	3	527	538	12	4	9	ATATCTGATCATCACTCAACAAACACTAGTATGCTAACAGCTG AGTAAACTACTCATCAGGCATCCCCATGTTGAAGGCCGCCATT CCCACCTCAACTGCTGGAGGCAATGCCACCGTAGTCTTACACATG TTTATTACTTTCTCTCTCATGGACACAGCAACCAAGCCACTCTG TGACTTTTGACATCAGCAACTTATCACGATCTTTTGACTACC ATGTTGGGACTTTCTGAAGCATCAGCAGCAAAATTAGCAAAAT GACGCTCGGCATTATCAATAATGCAAGT	TTC	G	145,74	167	CCATTCCCACTTCAA CTGCT	60,1	TTCAGAAAGTCCC AACATGG	60	50	42,9	
285	BrPe3136	Maracuja_NoIndex_L	3	859	870	12	4	9	AAGCAATGAGGATGAAGATCAAGTCTGAAGGTAGAGGACAGACT GGACATTCAACAAAGCCACTATTGAATGTTATAATGTCACAACCT AGGACATTCCAATATGAATATCCAAGTGAATAAGGGAGGCAAAT TATGCAGAGTTAGAAGAAGAAGATGAGCTGTTGTTAATGACATATG TAGAACTATATGGAGCAAGAGAGGGTGTGTTGTTAGACTC TGGATATGTTAGGAATCAAGGAATTTCAAGTTGGATACAACCT TTTCACACATTGCAAGCTTGGAAATCGATACTA	AGA	S	32,43	180	AGGACCAGACTGGAC ATTCA	59,6	CATCACCTCTCTTG CTCCA	50	47,6	50	

G: genoma funcional

S: genoma estructural

P: polimórfico

M: monomórfico

APÉNDICE

Marcadores microssatélites desenhados a partir do sequenciamento parcial e da montagem *de novo* do genoma de *P. edulis*

Nº	Primer	Contig	Motivo	Inicio	Fim	pb	Nº Repet	Score	Sequência do contig	Unidade	G/S	Cobertura	pb	Sequência Forward	T °C Fwd	Sequência Reverse	T °C Rev	% GC Fwd	% GC Rev	P/M
286	BrPe3137	Maracuja_NoIndex_L	3	721	732	12	4	9	TCCTTGTATTCTGAAGGTTGCTGGAGGTTGAGGTAATGTTGAATATTGGTTATGGTTAAAGAGTGGAGGAGAGGCTTCATGTATAAGTTT	TGT	G	43,36	168	GGTTGCTGGAGGTTAGGTA	60,1	TGACCAAGAACAAACCT	58,8	55	47,6	
		003_R1_00							CATGCATAGCCATGCAAATTGATCTTTGATCATTTGTGTTATTAG					ACCTCCT						
		1_contig_2							GGTTTGATGTTGTTGAGGAGGTGTTCTGTTGCA											
		3037																		
287	BrPe3138	Maracuja_NoIndex_L	3	6580	6594	15	5	12	ATCAAACCTGAGTGTCTCAAACATAGTACAATTGAGGTAATGCTAAACAAAATGAGCTATCAGATAAACCCAGAACACCCCTGACAAAC	GAA	S	16,67	180	ACCCAGAACACCCCTGACAAA	60,4	GCTACCGGTGTC	60,1	50	55	
		003_R1_00							AGATCCCAGGACAGACCGTCCATCATTACAAAAGACAGAAATAAAAC					GTTCAT						
		1_contig_2							AGTTCAAAAGGAAAGAAGAAGAAGAAAAATCGAACATTGACAAA											
		3217							CACAAGCACTAAACGAAACCCCAATTGCAAAACGAAAAAG											
									AGAATGAAACGAGACACCGTAGCAAAGAACCCAGAGTAA											
									AAAACAGACCCACCAGTGTCAAAGACATGAACATTGTTGGT											
288	BrPe3139	Maracuja_NoIndex_L	3	596	610	15	5	12	AGACTAGCTTGTAAAGATTCCACACCAGTAGCCAACATCAAGAACACATGAACAAATATGCAATTACACAAACACATAATCAAC	TCT	G	47,14	184	CACCAAGCTAGCCAACATCAA	59,9	CAGGAAAGAGCTAGGGCATC	59	50	55	
		003_R1_00							TAAAGAGGAGCAAAGAGACATGCAATGACACCCACCTACCTCTCT											
		1_contig_2							TCATTTCTCCTCTTCTTCTTCTCAACCTTAGCCAACCTCAT											
		3352							GATGCCCTAGCTCTTCTGTTTCTCTTCTTCTCACTTCACC											
									ATATTTCTCTTTATGCAATGAAAGAAAAATAATAAAAAGT											
									GGGATGATTTGGGTCAAAG											
289	BrPe3140	Maracuja_NoIndex_L	3	6745	6756	12	4	9	TCTCTCTCACTGCTTGAGAACGAGGTCCATTATGTTGGAAATTGATCTTCTAGGTGGATCAAATGCGAGAACAGAGATTGCTTCTGAGAAC	TTC	G	30,33	179	CCTCACTGCTTGATGAAAC	59,6	AGAACAGTTCCATGGTTG	60,1	55	50	
		003_R1_00							GTGTCACCCCCAACCTCTCTTCTTCCACCCATGGAACTGCTTCTAAATA											
		1_contig_2							TTCTAACGATGACTGTATGCAAGGCAATAAGTTGCAA											
		3729							CCTGTGAAACGATTATGCAAGGGTTCTTATGCTAAAAATTGT											
									TCCCTTCAGATACATTGAAAGCTAAAG											
290	BrPe3141	Maracuja_NoIndex_L	3	4373	4384	12	4	9	TCGAAAACCAGAACGAAACACAGAGAACAGCTACCCAGAAACTACTGAAAAATTGATCCAATCTCAGGACAAATTAAACCACTAGAC	TTC	G	18,01	187	TGTGAAGGGTTGATCTGA	59,1	TGTTCTGATGCTAAAGATGC	60,2	45	47,6	
		003_R1_00							ATTAGATATGATAGAACAGCTCAATCTGTAAGGGGTTGATCTGAAAC											
		1_contig_2							CTGTAGACAAGTTCTCTCTCGAGGTAGGATTGTTAATTGAG											
		3783							CAATATTTACCCAGCTCGAAACTTGAAGCTGCTAGACACCACTG											
									GTGCATCAGTTGAGGTCAATTCTGTTGTTTGTATGATTATCGTAT											
									ATGCATCCTTAGCATCAGGAACAAACTCAGCA											

G: genoma funcional

S: genoma estructural

P: polimórfico

M: monomórfico

APÉNDICE

Marcadores microssatélites desenhados a partir do sequenciamento parcial e da montagem *de novo* do genoma de *P. edulis*

Nº	Primer	Contig	Motivo	Inicio	Fim	pb	Nº Repet	Score	Sequência do contig	Unidade	G/S	Cobertura	pb	Sequência Forward	T °C Fwd	Sequência Reverse	T °C Rev	% GC Fwd	% GC Rev	P/M
291	BrPe3142	Maracuja_NoIndex_L	3	271	285	15	5	12	CTTTTGCCTTGTATACATAGACAGCTAGAGGGTAGTAACATGCTT CGGTCTGAGGATCTCTTATTGATTGAAATCAGACAAATAGAACAA GAAAAAAACTGAATCTCAAAGGTCCAAGAAGAAGTGGCATCCACCA AGAAGATATGTTCTCTCTCTCATCTCTCTGTGAGTGT TGATATTACTAACTAACACATTGACAATGGTAGCCACCTTCAC AACAAATGGTCGATGGGTCCTGTATACAGAAACTGGATGGT TTTGCTGTTGGTATCATCTCGTGTACATA	TTC	G	18,01	182	TGGCATCCACCAAGA AGTATG	60,9	CACGAGATGATCAC CAAAACA	59,6	47,6	42,9	
		003_R1_00																		
		1_contig_2																		
		4634																		
292	BrPe3143	Maracuja_NoIndex_L	3	1426	1437	12	4	9	CATCTGAAAGGCCAGGACAGAGCGTTACAGACTTGGGCTTGAG CTTTTGGTTCGTACCAGAGGCTGGAGGCTGGAGCAGTCGCTC TTGGTGAACCGGACTGGACTGGGACAAAAGGGTTGGTCAAA TCTTAAGGAAATTATTATTATCAGATTATTGCCCTGGCAATT TTAACATCAATTGTCTTCCCTAAATTGTATAACAAATTAA AAATATCTTATTATTATTAAATAATTATAATTGACAAT TCTATTAAAAGAAAAAAATAAATGG	TAT	S	12,65	101	AAAAGGTGGTTTG GGTCA	59,3	CAATTATAAGGAA AAGACAAATTGA	57,2	40	23	
		003_R1_00																		
		1_contig_2																		
		4688																		
293	BrPe3144	Maracuja_NoIndex_L	3	897	908	12	4	9	ATGAAGAAGATGACGAGGATGAAGTAAGATTATAACCATAACCAT AACCTCTGGAAAGAAAAAAAGTTTCGTTTCACTTGT CTAACCGACTAATAAAATTGCTTCTGACGTTCTTCCCCTGCAGAT AACAGTGAAGGAAGAAGAAATGGTATTCTGAGATATA GCTCACATCAGCGGTAACTCCTCAAATGCAATTCTATCCA CTCCTGGATTAGTGAACGTCCTACAATTGAGGGTCAATAT CTGCCAGGATGGTGTCCGGTCTAGTC	GAA	S	14,6	164	CGTTCTTCCCTGCA GATA	60,2	GGCAGATATTGGAC CCTTCA	59,9	50	50	
		003_R1_00																		
		1_contig_2																		
		5276																		
294	BrPe3145	Maracuja_NoIndex_L	3	661	684	24	8	21	GTAAAGATTGTCGTCTAACAGTATTCTCTCTTCC AATATTATCGAACAGTCATTTGGCATCTAACAGAGAAA CTGGACCCAAGGGTGTAAAGGAGACCCAGCGAACAGATCAGGCC CACCAATGTCATCATCATCATCATCACGTTGAGGCACCTA CCATCAGCGTCAGTGAAGCTCCCTCAAGTCACTCATGTGCTCTAT AACCTCTCTGCAGGTTAATTCTCTTAATTCAATGAACAA AATATGTGACTTGGTACAGAAAATGACCAGAAAAAAAG	TCA	G	14,4	157	AGTCATTTGGCA TCCTT	59,7	TGAACTTGAGGGAG CTGTCA	59,5	45	50	
		003_R1_00																		
		1_contig_2																		
		5298																		
295	BrPe3146	Maracuja_NoIndex_L	3	3000	3011	12	4	9	TGTCAAGCCGCCAACCTCCAGACTTGGTCCCCGATGCTGCAAAT GCCCTTAGACAGCGTCAGCAGCTATTCTGACGACGGATGATTATC CCCGACACCAAAGCGGGTATAAGACGAAATGCCAGTATATGCT GAGCCATTAGCACCACACAGCCTTCAGAGCCTTTGAAGCA TAAGCAGGGCCTTGTCTCACAAATCTGGAATTGATGCCAAAT GACATCATTAAAAATAATGAAAAATCGAGAAACCGATGATGAA AAAGAAAACCATCCGCCAACCTCGTAAAGA	CAC	S	17,78	197	ACACCAAAGCGGGTG ATAAG	60,0	CGGGATGGTTCTT TTTCA	59,9	50	40	
		003_R1_00																		
		1_contig_2																		
		5397																		

G: genoma funcional

S: genoma estructural

P: polimórfico

M: monomórfico

APÉNDICE

Marcadores microssatélites desenhados a partir do sequenciamento parcial e da montagem *de novo* do genoma de *P. edulis*

Nº	Primer	Contig	Motivo	Inicio	Fim	pb	Nº Repet	Score	Sequência do contig	Unidade	G/S	Cobertura	pb	Sequência Forward	T °C Fwd	Sequência Reverse	T °C Rev	% GC Fwd	% GC Rev	P/M
296	BrPe3147	Maracuja_NoIndex_L	3	1527	1541	15	5	12	AAACAGAGTATTAGCGAGTTAATGAGTCATTACCAACCTTGAAA CACCATAATTACCGAGCAGAAGGGTCTCATATGGGATGATTGATTAA ACTTTCTGGGTCTTCATAAGTGAAGTGTAGTAGTGTAGTAT ATTGCTTATTATTATTATTACAGTGTATGGTTGAGGGTACAA AGCTTCAAGTGTGGTTGCCCTGTTGCTGGTGTGCCAGTCC CCACTAATCCCTCCGGTGAATAAACCTCTCAGAATTGATTCTCT GCAGGCCACTCACCATTTGCTCTCTTAAT	TTA	S	17,72	202	TTACCAAGCAGAAGGG TCTCA	58,4	TTCACCGGAAGGGA TTAGTG	59,9	50	50	
297	BrPe3148	Maracuja_NoIndex_L	3	2424	2435	12	4	9	TAACCTTATTGTCAGTACAATAAACCTCTCAGCTGGTCAAATA CCTTCATGGATAAACTGCAATCTGGAGGGGAATGGCATGGATTGT ATAATGATGATTCATCAGTCATCGGTGCAATGGACGTTATGAA ACCTCCATTATGATGATGATGGAAATTATCTTCAAAAGTGAGG AAATTAGTCGCTTCTCTCATGACAATACTTATCGTT TATGTTCACTTGGAACTGTTGCTAATGTCGAAATTGATGCAAGGT TTTATTTACCCCTGCATCATGCCAACTTACTG	ATG	G	18,11	174	CATCAGTTCATCGGT CGAAA	59,6	CCTGCATCAATTCC AGACAA	59,6	45	45	
298	BrPe3149	Maracuja_NoIndex_L	3	2846	2857	12	4	9	ACAATGCCGAGATAATTAAAGGCACTATGGCAATCTCACAA TTCTGAGATTTTTATGATTCTTATAGGCACCTCCAGGAGGGATAGAT ATTAGGCCAAATGCTAGAGCAATTCTCGCTGTGCTCCCCAACTTC AGTTATTTCTCTCTCTCTAAATCAAATAGTCATAGTTGTC AGGAATGTACCCGCCCTCATCTGCTCATCTGACCAGCA TTGCTTGAATCTCACTGTCCTTCATGATGATGATCTTGTGCGA AAACATGGACCCATCTTACAGTGAGC	TCT	G	17,4	177	AGCAATTCTCGCTG TGCT	60,2	GTTCACGAGCAAA AGATGC	59,8	45	45	
299	BrPe3150	Maracuja_NoIndex_L	3	416	427	12	4	9	GTTCAATGATTGCATGCCAGGTAAGTTTAGAGTGATTCTG AAGGCATGGAGGCCGGTGTGATGGTTATGCAATTATGATGTT GTATTTCTCATTGGTGCATTGTCAGTGTGACTGTTGGCTGGTGT TTAGGTAGTGTGTGTTGTCAGAACCTCTCTAGTGACAAAGA GGAGCAAAATCAGGTGAGGATGTTCATATTGCTGGAAATTGGTT TTGTTAAATGATTGATGATGATGATGATGATGATGATGATGATG TGTTGATTGAAATGATGATGATGATGATGATGATGATGATGATG	TGT	G	67,77	199	ATTTGCATTGCCAG GTAAG	60,0	CCTCACCTGATTG CTCCT	59,3	45	50	
300	BrPe3151	Maracuja_NoIndex_L	3	3005	3016	12	4	9	CCGCACAAATTACGTACCTCTCCCGCTGGACACGTTGGAGTTCC TAAATTGTCAGATCAGGCAATCTGGCATTAGACAAGGTGATCACT GAATTTCATGGTCTACACCCACTCGTATAAAATAT ATGCCTCAGATGATGATGATGCCAGCAAAGGGACTGACTTTAATAT GGCAAAGCTGAAGTATGAACTCTGTTAGCCGGGGCAAGCAGATC TATACTTGAATGCAAGCGTGTAGTCTGATCTGTTACCAGGG CCTTGACCTCATACCCAAGGCTATCTG	GAT	G	16,8	235	TGTCAGATCAGGCAA TCTGG	59,8	GTCAAGGCCCTGGT AAACAA	60	50	50	

G: genoma funcional

S: genoma estructural

P: polimórfico

M: monomórfico

APÉNDICE

Marcadores microssatélites desenhados a partir do sequenciamento parcial e da montagem *de novo* do genoma de *P. edulis*

Nº	Primer	Contig	Motivo	Inicio	Fim	pb	Nº Repet	Score	Sequência do contig	Unidade	G/S	Cobertura	pb	Sequência Forward	T °C Fwd	Sequência Reverse	T °C Rev	% GC Fwd	% GC Rev	P/M
301	BrPe3152	Maracuja_NoIndex_L	3	11172	11183	12	4	9	CTATAAGTCGCAAAGAATATATTGAAGCAATAAAAATCGATAGGC TTGACAGGTAAATTAAATGAGACGCAAATTGACTCACGTAATAAGC AGCAGAACATGCCATGGTCCATAATTGACAACAGTATTATCATCATTG CAAGCACTGTTCATCATCATCAGAACCTGCACCTCGAAAGCA TTTGCACTTGGTGATGGGGAGTCATTAGTCTCTCGTAATAGAACT AGAGTAGTTCACACTTATCCTCTGCCAAAACAAAGAAGAA AAAGAAAAGCCAGCAACGAAATTGAACTTCAGT	TCA	G	18,88	186	AAGCAGCAGAACATCCA TGTC	60,2	CTTGTGTTGGCAG GAGAG	59,8	50	50	
		003_R1_00																		
		1_contig_2																		
		7044																		
302	BrPe3153	Maracuja_NoIndex_L	3	9031	9042	12	4	9	GCAACAGTGAGATGGATGATCCAGAACAGAGAACACCAGAATG AGAGAGAACACATCATTGGGGAGCAGGAAACTCTATTACTCAAC TTCCCTGTAGAGCCAAGCTCTTATTCCTTACCTCCCCCTGT TCTTGAAGAACCTCTCTCTCTGAGGGTGAGATTGTCGTGAT CTTAGAACGCTGCCCTAGTTCTCAAGTGAATCCAGTTTCCATT GTTATTGATCTTACATTACATATTGATATGAGCTGCAGATGA TGATCCACTGCCGGCATAGGGGCCCAA	CTT	G	19,01	172	ATTGGGGAGCAGGAA ACTCT	60,1	TGGAAAAGTGGATT CACTTGG	60	50	42,9	
		003_R1_00																		
		1_contig_2																		
		7138																		
303	BrPe3154	Maracuja_NoIndex_L	3	2841	2852	12	4	9	TATATCGGGCTGGTAGGTAACTCTTCTCAATTCTTATCTCACA TCGAGGTCTCTGTGTCCTAGCATTGGATCTAATTTTATCTG TATGGAATTGTCCTTGCAACTCTAATAGACCTCCCTGCCAACAGGC TTTTGATCAACAAACAAGATCTGGTAGACGCCGCATCCAAAGCT CTCTCATACAGGCAGGACATAATTGAGGAAACATACGCTTACAT ATGAATTACAGGCAAGTACCATATGTGGTTGGTTTATCTCTTTG GTTGTGAATTGCACTTCTTATATAAGT	CAA	S	19,01	203	ATGCGGCTGGTAGGT GTAAC	60,0	TCCTGCCTGTATGA GAGAGC	58,1	55	55	
		003_R1_00																		
		1_contig_2																		
		7138																		
304	BrPe3155	Maracuja_NoIndex_L	3	2112	2123	12	4	9	TGCAAGATGTCAGTGGATATGCCGAGTTTTGTGGCTGGTCCCTCG GAACCCCGCCAAGATCTCAAACACCACCGTTCTAACGTTCTTAC AGATGGTTGTCATCTCTCTGAAAATTCTACTGCTGATGCATCCC CTACTATCCGAAGAAGAACGTTGATGCCAGGACGGAAATTACT AGTAATAACAAGATATGAAGTTAGAAACTAGTTACAATCATCCA TTCTCTTCTTAAAGCTTAATTGCTCTTCACTGACTTAAGC ATACCATATAATTGATAGATGATGTGCCA	GAA	G	17,38	179	TGTCAGTGGATATGC CGAGT	59,1	GTAATTCCGTCCTG GCATCA	60,9	50	50	
		003_R1_00																		
		1_contig_2																		
		7174																		
305	BrPe3156	Maracuja_NoIndex_L	3	2045	2056	12	4	9	GCTGGGTGATTGGATTGATTGATTGATTGATTCTCTGGCTCAAGGTGG AGCTTCCGGAAAAATTCCACAGTTAACAGTACGTTACGATCCATACCA CAGCGTAAACTGTTCCGACTTCATCACGGAATCTCTCCAGAG CTTCATTCGAGCAGCAGCAATGTCGGCAGTAAGAGTTGGAAAGCG CTTTAGTTCTGCAATTGCCAGAAAAAATAAAAGGAACAAAGTGAA CTAGCTTATTTCTATTTGGCATCTAGTTCTTTATGACCACAC AATACAAGAGACATCTGTTAGATCTCAA	GCA	G	40,5	161	CTTCCGGAAAAATTG CACAG	59,5	TCTGGCAATTGCAG GAACTA	59,4	45	45	
		003_R1_00																		
		1_contig_2																		
		7388																		

G: genoma funcional

S: genoma estructural

P: polimórfico

M: monomórfico

APÉNDICE

Marcadores microssatélites desenhados a partir do sequenciamento parcial e da montagem *de novo* do genoma de *P. edulis*

Nº	Primer	Contig	Motivo	Inicio	Fim	pb	Nº Repet	Score	Sequência do contig	Unidade	G/S	Cobertura	pb	Sequência Forward	T °C Fwd	Sequência Reverse	T °C Rev	% GC Fwd	% GC Rev	P/M
306	BrPe3157	Maracuja_NoIndex_L	3	1580	1591	12	4	9	ACGTGTGCGGACATGCCGTTCAAGGAGTCTTGACATTGCATCCTGA TTAGCGATCAGAAACTTGCATAAGTAATTAAAATAAGAAGA ACAATAAACTCAGAAGGTTAGATATTACTTGGATCAAACGGTACT TGGTCTTCTTATCATCATCCTCTGATCCGTTGATACTCACTTG TTGTGCTAGTTCTCTCGTCTCATTTTGCGACAAGCTTGATT GATAATCTATATCCTCCCTTCAGCCTCATTCGCTTGGATGCTGAT CTTGATTACCCCTTAATTCAAGAACACT	ATC	G	18,29	185	GACATGCCGTTCAAG AGTCT	60,3	GCACAACAAAGTGAA GTATCAACG	59,7	55	43,5	
307	BrPe3158	Maracuja_NoIndex_L	3	1416	1427	12	4	9	TTCCTTCTGTGTTCGGTCTGTAAGTTCTCCCCCACCCATTGCC TGGACTTCCATGGITGTGTAACACTGAGTCCATTGTTTATATT TCCAAGTGGTATCCAGTCGTCACTGCTATTACACCTGCTTGA AACAGACAAGAAGAAGTTAAAGGAGATTGGACCTGCTATT GAAAAAAACATTTCATAGTTCTCGTTGAATTCAAGTAGATCAAGAA GCTTTACTGTCTCCCTGTATAATGAAAACATCTATAAACTATTAC ATCAGGCACAGAACATCAAACGTGCGAAA	AAG	G	16,69	105	CCCATTGTTTATAT TTCAAGTG	59,9	GCAGGTTCCAATCT CCTTT	58,2	32	45	
308	BrPe3159	Maracuja_NoIndex_L	3	2866	2877	12	4	9	TTAACATATATCATTGTGAGAGAACGAAACCTTGTCAA ATCAAAGACCTCTCAGCAATGTATTGTTGAAGGTTGGCACCTT TTGTTGCACCTTATCAGGATGGATGCTAAAGTTGCTTCTATAA ACCTCTAACAGCAGCAGCAGTGTCAAATCAGTAAGGAAACAG GCTGCCACCACATTGGCCAGAGTACCTGATCATAGTCAATAG AACTTAGCATCAGGGACAGGGAGGCGTAAACAGTAATGCCCTCCC ATACATGTTACGGAGCTTATTATATAATAGGTA	CAG	G	17,29	151	GCAAATCAAAGACCT TCTCAGC	60,4	TGGCAGCCTGTTTC CTTAAC	60,2	45,5	50	
309	BrPe3160	Maracuja_NoIndex_L	3	421	432	12	4	9	TGAAGATTTAACGCTGTTATGTTGAGCATTACTGCTGTTGG CAATGTGGTTTGATGTATTCTCGTTGAACATTATTATATAA GGTTAAAGAACATGGCTAAACATTAGGAATAGGAGATCATGCACCG ATTGTCACGATGATGATCCAGATGACGAGACCTCCCTGCA TCATGAGGAAACTGCACAAAATAGGTGAAAAACTAGTACATTGTA CACGAATTCTAACATTATCAATCCCTTATCTCGTTCTATATTGG TCCTTATATATGGGTTTTGTGCAGGG	GAT	G	17,9	154	TTTACTGCTGTTGGC AATG	60,0	CAAGGAAATGGTCT CGTCAT	59,9	45	50	
310	BrPe3161	Maracuja_NoIndex_L	3	1084	1095	12	4	9	AATAGTTGCAAAGCTGATGGAGATAAGGAATCATGTTGAGAAAGT TTCCAAGCTCATTTAGTAGGAAAGAGACGGGGTGGTCTCTTGA TGGTCTAGCTTACTAAATTGAAGGTAGAAGAAAGGGAGATGCTT GAGGCTCTTGTATGATGATGAAATTAAAGAAGCAGTGAATATT GTGGGAGTTCAAAGCACCAGACGGATGGATTAAATTAACTTC ACAAAAAAAGGCATGGAGGTGATTGGGGATGAGGTCAATTGCTTTG TTAAGGAGTTAAATCGGTCAAACAAAGAT	TGA	G	21,97	201	AGACGGGTGGTCT CTTT	60,0	CAATGACCTCATCC CCAATC	60,1	50	50	

G: genoma funcional

S: genoma estructural

P: polimórfico

M: monomórfico

APÉNDICE

Marcadores microssatélites desenhados a partir do sequenciamento parcial e da montagem *de novo* do genoma de *P. edulis*

Nº	Primer	Contig	Motivo	Inicio	Fim	pb	Nº Repet	Score	Sequência do contig	Unidade	G/S	Cobertura	pb	Sequência Forward	T °C Fwd	Sequência Reverse	T °C Rev	% GC Fwd	% GC Rev	P/M
311	BrPe3162	Maracuja_NoIndex_L	3	1157	1168	12	4	9	CAGACATGTATAGTTGCTTGGTAAGGGGTACTGTGAAGCAGGGAA CGAGGAAATGGCAACAAAGGTTTCTTGAATCAGTTGAGAAGAGG TACATCATCACTGCCAGAGCTTCGACTCTGTCTACCAATTATG TGAAAAGGGCAAAGAAGAAGAGCTGAGAAAATATTGAGAACAT GAGTAGGGATGCCCTGTATTGGATTTAACAGCTACCGAGGGTT CTAGATGGAGCAATTATGCATACATCTGCAGAAAGATCCAAGGCA GTCAGTATATCGAGTAGCATCGACTAAAGGAGAACG	AAG	G	15,48	182	ATCATCACTGCCAG AGCTT	60,0	CTGCCTTGATCTT TCTGC	60	50	50	
		003_R1_00																		
		1_contig_2																		
		9121																		
312	BrPe3163	Maracuja_NoIndex_L	3	2956	2967	12	4	9	TCATATACACCTGTTATTCTATATTCTGCAGAATTGGCATTTG TATGAAGAGAAAGCAGTCCTCTAATTAAAGGAATTTCAGTAATT ACCAGCTCTGGAATGTCATACATAATTCAATTGAATCCTACTATA CGCTCATCTCCTCTCCACCAACAAAAATAGAATGCTGCAACCA AAAAGATTCTACCAAAAAAAGATTCTAATCACAAAGCTGAATAT ATTAATTAAATCAGCTGCACTATTATAAAATTCTGTCAGTCAT AGATCATCCAGACGGAAAAGACAAATGTTT	TCC	S	16,92	159	TGCAGAATTGGCAT CTTTG	59,8	GGTTGCAGACATT TATTTTG	59,9	40	39,1	
		003_R1_00																		
		1_contig_2																		
		9359																		
313	BrPe3164	Maracuja_NoIndex_L	3	456	467	12	4	9	GGGAAGCTAACATTTTTAAAAAAAAGAAGAAAATAACA TGTGGGGAGATAACCTATCTATCCATCCAATGGTTAGATATGCTA TAACCTAGAAGCGTGCAAGGTAATAGGGTCTTCCACATCAGA CTTCAGCAGGTTGTTGTTGATAGTGGACAGTGATCGATTATCG GCCTAGCACTTCTGTGTTGTTCCGGCATTCAAACATGTTATCCA ATGGCTAACATCAAGTGTCACTAAACATTTAAGGAAAAA AAGAGATGAGTAATTGCAATTAGATAAA	TTG	S	14,56	154	GAAGAAAATAACATG TGTGGGAGA	59,4	CCGATAATCGATCA CGTTCC	60,3	37,5	50	
		003_R1_00																		
		1_contig_2																		
		9520																		
314	BrPe3165	Maracuja_NoIndex_L	3	4576	4587	12	4	9	CGTTCTGGCGTCTGCACAAATGGCAATAACAGCCATATTAGA ACCAGGAACAATGATTGACTGAATAATATACCGCACCTTCAAT AGCAATTTCCTTTGGTTCTCTCTCTAACATCAGCATCATCAAGGAT CCTCGAACATCTCTCTCTGCTGCTTCTCTAAAGCTGATTGGAA AAAATGGAGGGCAAATTTCAGAATGATGACAAAGAACAGAT ACCACAAACAAATCTCAAGAGGAATTGTTGATGTAGGAAATT TTGTAGAACGAAACTGTAAGAGGCCATAG	TCT	G	18,57	176	TTCCTGCACAAATGG CAATA	60,1	CAAATCAGCTTAA GAGAAAGCA	58	40	34,8	
		003_R1_00																		
		1_contig_2																		
		9677																		
315	BrPe3166	Maracuja_NoIndex_L	3	369	380	12	4	9	CGATTTACACATGCACATGCACACTTCACTAACATGACAAA TTAAACCATCTTACAGATAATAACATGTTAACGTGAGCACAATCTCC AGCCCAACAGCTAAAGCCAGTTGATGACGACATTGAACCTCAATCA GATCCCAATTCTCTTCCACCTTCTGACAATGTCCCCTTG TTTCACTGTTAGTAATGAATTATGG	TTC	G	11,34	154	TCACTAACATGACAAA ACTTAAACCA	59,2	GGGGACATTGTCAC GAAAAG	60,4	32	50	
		003_R1_00																		
		1_contig_3																		
		0504																		

G: genoma funcional

S: genoma estructural

P: polimórfico

M: monomórfico

APÉNDICE

Marcadores microssatélites desenhados a partir do sequenciamento parcial e da montagem *de novo* do genoma de *P. edulis*

Nº	Primer	Contig	Motivo	Inicio	Fim	pb	Nº Repet	Score	Sequência do contig	Unidade	G/S	Cobertura	pb	Sequência Forward	T °C Fwd	Sequência Reverse	T °C Rev	% GC Fwd	% GC Rev	P/M
316	BrPe3167	Maracuja_NoIndex_L	3	1320	1331	12	4	9	AGACTTCGTTGTAGATCGCAGACGAGTGAAACGTGAGTATGATGAG TTCAAAGTAAGTCTCAATGGGCTTCGGATTCAATCGTCGGCGTTC GGATGCTTATAATAGTCAGCAGGAACATCAAGGCAATGAAGAATCTA AGAGAGAAGGGTGTAGATGATGAGCCAATGGAAGATTGAAGATC CCAAAAGCCACTTGGATGTCTAATGAAACCCAATGCCCTGGCTACT GGACAGTCCACGACCTGAGCACACTAGAGGAGATCATTCAAGCAT AATACAGGTTATTAGATACATACTAGTTCTTACA	TGA	G	12,23	179	GCAGACGAGTGAAC GTGAG	59,6	AGTGGCTTTGGGA TCTTCA	59,7	55	45	
		003_R1_00																		
		1_contig_3																		
		1210																		
317	BrPe3168	Maracuja_NoIndex_L	3	358	375	18	6	15	CAAACCTATGAAGGCAACCAAATTGGTGTCCATTGTTCAAAGGAA ACCAATCTCCCTTTCAGAAGTTGATATTGAATCTCTACTCGGA ACAAGATGAACCGGATGAAATGACTGTTTGGCCTTAATTGTCCT CATCTGAGACTGATGATGATGATGAGAAGAATGATGACAAGGC TGAAACACATACAATGAAGGATATTCCCCATACTCCAGGTGCAA CGGTCTCAAATTACCAACCTTCAGTCTCTCTCAGATATTGCC GGATAAGTATGAGAGACCAATCCAAGTAATTGGATTCCCT	TGA	G	23,49	156	GGAACAAGATGAACC GGATG	60,3	AAATTGGAGACCG TTGCAC	60	50	45	
		003_R1_00																		
		1_contig_3																		
		1579																		
318	BrPe3169	Maracuja_NoIndex_L	3	1192	1203	12	4	9	AAGCTCGAGTAGCAGAACGCTGCTGAAGATGAGGATCTGCTTTTT CTGAAGCCTGATGATATTGGCCCGTGAATTGACGAGGACT GTTTCCTGGATGTCTATTGTCCTTAAAGCTGCAATAATTAACT TATTCTGTATAATAATAATATTATCATCATTGTTCTATTATCTATC GTTCCAGATTAGATGCGTTGATCTACTCTAGATATGGAAGCTGACC AAGCGATGATTACACATCTTCAGTAAGTTGAATAGTATCATT TGCATGTTAGCTGAGCATGTCCTT	ATA	S	16,17	193	ATGATATTTGGCCC GTGAA	60,2	TAATCATGCCCTG GTCAGC	61,1	40	50	
		003_R1_00																		
		1_contig_3																		
		1839																		
319	BrPe3170	Maracuja_NoIndex_L	3	1201	1221	21	7	18	TAGTTGCAAAACAAAAATTATCAGACCATGTGACAATTATAACT TACGAATCATCTGTTCATCACCTAACTTCAAAGGAATTCAAAGTTA GAAAGACACAAACATCAGAAGGAAATTATGTCAGCACCATTCAAAG GCATGCGAACTTCTCTCTCTCTCTCTACTGAAAAAAGATTG GCCATCAATCAGTTAGATCGTATCATGTTGATGTCATGAAACAA CCCGACATTCTGGTAGAAATGAATAGATTTACCTGCCCTACCAG AAGCAAGTTCTGCTGCACTTCTCTCAACCAGAGGAGC	TTC	G	16,01	198	GGAAATTCTGTACG CACCA	59,4	TGAGGAAGAAGTGC AGCAGA	59,9	45	50	
		003_R1_00																		
		1_contig_3																		
		1879																		
320	BrPe3171	Maracuja_NoIndex_L	3	2061	2072	12	4	9	TCTCACTTTATTGGTTGTAGGTGCTCTATGCATTATTTACTCAA AGTGGCCATGATTGTTGAATTAAATTAGCGCAGAGCTATCTGC GAAACTGAAAATCTGATTGCTTAGTGGATTGTCACTATAGTTC ACAATGATTCTCTCTCTCTCTACTGAAAAATCT GTACTTCTCCAAATGGTTTAAGCTTCAAGATCGAAAATCACT ACTGCGACTAATAATATTCTATTGTTAGTGGTAGAACTCAA GTGTAAGCGGTCCATGAAATGTGAAAT	TTC	G	14,79	221	CGCAGAGCTATCTGT CGAAC	60,2	CATGGACCGCTTAC ACTTGA	50,7	52,4	50	
		003_R1_00																		
		1_contig_3																		
		1889																		

G: genoma funcional

S: genoma estrutural

P: polimórfico

M: monomórfico

APÉNDICE

Marcadores microssatélites desenhados a partir do sequenciamento parcial e da montagem *de novo* do genoma de *P. edulis*

Nº	Primer	Contig	Motivo	Inicio	Fim	pb	Nº Repet	Score	Sequência do contig	Unidade	G/S	Cobertura	pb	Sequência Forward	T °C Fwd	Sequência Reverse	T °C Rev	% GC Fwd	% GC Rev	P/M
321	BrPe3172	Maracuja_NoIndex_L	3	1207	1218	12	4	9	AGAATTCAACCAACGAAGAACGTGCACGCCCTTAAGTGATAAAATTGC GCTTCTCTAGCCAGACCTTGTCAAGCATTGATGGCAACCGAGTTAGT TTCATTATGTCGAGACCTTCTTTATGCTTATCACAAAACT TGTAAAACGTAGAAGAAGAACATGCACAAGACCTGCTGACTTGT CCAGGTTAGATTTTAATAGTTATTTCATTCAGTCTAC AGCACATGCTAAAGAACCTTCAGCTTATTTGAGACATTGCTA TTGCTTGTGAGGTTATGATTGGTCTA	GAA	G	15,43	175	GTGACACGCCCTTAA CTGAT	60,1	AACCTGGACAGTC AGAGCAA	59,9	50	47,6	
322	BrPe3173	Maracuja_NoIndex_L	3	1518	1529	12	4	9	GCTGCCACTGCTGTAGTCCCACAGAGGTTACGCAAGGGTACTCAA TTCTAAACATTGGCGATCAGGAGGGAGAACAGGAGCATCTAGTGG GCTAGACTCCTCACTTTGGAGACCAATGCAACACAGCAATGCTG AATCAAGTTGGATGATGATGATAGATTCTGATCTCGTTATTGA TGAAGGTTCTACTCAGCTAAGAACATCTGGGGTTATCCGTAC TTCTTTGGCTCCAAGAATGGATTGCAAGAAAAACTTAAAGCAGGC AGATGATTTGTCAAGTTGGCACTGATTCTCCT	GAT	G	13,63	200	ACGCAAGGGTACTC AATTG	60,1	ACGGGATAAAGCCA CCAGAT	60,7	50	50	
323	BrPe3174	Maracuja_NoIndex_L	3	197	211	15	5	12	CAAAGCCTATTCTCCTGGGAAAATTACTCGAGGCAAGAGAAATA CAAGAAGCGGAAGAACATGCAGGACACAGAGATTTAAATTGT GATCTTCTGAGGTGGGGAGAGAAAAGAACACACGCTTGC AAAAGAAGGATGTAATAATAATAAAAGGGAACACTTGGTAAAGA GGACAAGGGGTTACGGAGGAGGTATGAACACTAAATGGTAG ATTGCTTTAGTTAGTTATCTAAGATCAGATGCAAGAAAAAAA AAAGAAGATATTTACTCTTTATCGGGGATCATTCGCG	TAA	G	17,29	186	AACGCTTGCAAAAG AAGGA	60,0	GCAGAATGATCCCC GATAAA	59,9	40	45	
324	BrPe3175	Maracuja_NoIndex_L	3	1032	1043	12	4	9	ACATCCATGGTGGTTGAATGGTTATTGCTATGTCCTCAGTTCT TATGTGTATAATGTAGGTGCTCTAACGTTCCGTTGTGACTTTGACAT AGAGCAGAATTCAAGACTTGGTCAGTAAAGTAAGGTCTTGGT ATTGAGGCTGTTGTTGCTCTTCCCCTCTTGTCTTCTTC AGTGTAACTCAGTCCCGAAGTACTTCTGGCAGCATGAATTAGTG GCTAGAAAATCACCTTGGTCAACGAAAGTTGGAGAAG GATTATGAGTTCTGCTCTTAAAGATT	TGT	S	20,8	184	ATCCATGGTGGTTGA ATGGT	59,9	AAGAGCAAAGGAA GGGGAAA	60,2	45	45	
325	BrPe3176	Maracuja_NoIndex_L	3	232	243	12	4	9	TAACGACTTTGGTATGCCCTGTCATCATTAAAGATCATCCCTAT GAAAGGAAGACAAGAGGATCGATGGGTTAGGTGGATTCCCTCATT ACAGGATGGCTAAACTGAACAGCGATGGTCTTAAAGCTTTC CGGAAAAGCAGGAGGAGGAGGCTGTTCCGTGACCAGAAAGGTAG ATGGATCTGGATTGCAAGCAGCTAGACTGTAATCCAGTTGGG AGGTTGAGATCTGGAGCATTAAACGAAGGACTGCAGATTGCCATTAA TAATAGCTGAAATTCTATTGTTGGAGTCAGA	AGG	G	18,55	210	TCGATGGGTTAGGTG GATTG	59,8	ATGGCAATCTGCAG TCCTTC	60,2	50	50	

G: genoma funcional

S: genoma estructural

P: polimórfico

M: monomórfico

APÉNDICE

Marcadores microssatélites desenhados a partir do sequenciamento parcial e da montagem *de novo* do genoma de *P. edulis*

Nº	Primer	Contig	Motivo	Inicio	Fim	pb	Nº Repet	Score	Sequência do contig	Unidade	G/S	Cobertura	pb	Sequência Forward	T °C Fwd	Sequência Reverse	T °C Rev	% GC Fwd	% GC Rev	P/M
326	BrPe3177	Maracuja_NoIndex_L	3	249	260	12	4	9	TTTGCCAATTCTTGGCACACCGGGTACATCTGCCCTTACCTT TATTTTTATCACTTACCTTATGAAAAGAAAAAACAAACAA AAAGAAAGAAAAGAAGAGGGAGGCTCGGGAGAAGAGTGGCGAA GGAGAAGGGGAAGAAGAAGAAAGAGAGAGAAGAGAAGAAG GTAGGTTGGTAAGGGTTTGTGTTGAAGTGTAAAGAAGA GTTCATGCATGGATTTCATACATGTACATGCATATCCTCATGTTGT GTATTTGATTTGATGTCTGTGTGATG	GAA	G	378,78	197	GAGGCTTCGGGAGAA GAGTG	61,4	CATGCACAAACAAGA CATCACA	59,2	60	42,9	
		003_R1_00																		
		1_contig_3																		
		2725																		
327	BrPe3178	Maracuja_NoIndex_L	3	4059	4070	12	4	9	TTGGATACAAGAGGCAGAGGAGAAAAGGTGCAGGAAAAGAATC TCGAGAAAAAAATCAAAGCATCCACACTCCGAGAAGATGTTGAT GCACCTTGCAAGTGGATTGCGTGTGTTGAGCAACCGGGCAT AGAACGCTTAGTGTATGATGACTTATTGAGGTTAGGTCAAAG AGGCAAATGCTGAATGATCGCGTGAACAGAGAGAAAGAGAAATC AAGGCAAAGTCTGGATCCAAAGGTCTATCATACTCATCGAA ATTATTCTGTGCTTCCCATTATGCAAATAGCA	TGA	G	14,38	200	ATCAAAGCATCCAC ACTCC	59,9	AACCTTGGGATCC GAGACT	59,9	50	50	
		003_R1_00																		
		1_contig_3																		
		3178																		
328	BrPe3179	Maracuja_NoIndex_L	3	2437	2448	18	6	15	AAAGATGGGTCCAAGTTGATTCATCACTCCCTTTCCGTCCTT TCTTTATCCCTCTCTTCTGGAGCTGCTGAACCACTCAAGATT TGATTATGTCCTCCGAACATTCTGACCAAAGCTAAAAGGCATT TATCTCTCTCTCTCTCTCTCTCTTCAACGGACTGCCCTTCT TCTATCTCTCTCCATCTCTCTCATCGATGATCTCTCTAGCTT TTGAAGGAAATAGACCAAATAAATTAGAAATGAGGAACT AAACATATAAAATAAAGTAGTACCT	TCT	G	15,88	194	AAAGATGGGTCCAA GTTGA	59,4	GAAGAAAGGCAGTC CGTTGA	60,4	45	50	
		003_R1_00																		
		1_contig_3																		
		3182																		
329	BrPe3180	Maracuja_NoIndex_L	3	4351	4362	12	4	9	GCTCAAGTGGAGATACTAGTCCCTCCAGGATGATCAGAGCTTT GCATGGTAGCTCTCAAATTCAAGAAAAGTGGAGTGAATCAGIT GGAGAATTGAGAACCTTATCATATGACTGTGAGAACATCAG CTAACGCTAAAAAGAAGAAGAAAGCATTGGTACATAGAA ATTCTTATGCTCTGTAGTTACTGATCAGTTGCTGACGATAGAGTT GTGATTGTATCTCCGTATATTCTCTCTGGTGTGTTATGTTGCT TGGTTTATATGGTGCAGGGTTTGCAC	AAG	G	17,33	183	TGACTGTGCAGAAC ATCAGC	60,0	CCCTGCAACCATA AAAACCA	59,7	47,6	42,9	
		003_R1_00																		
		1_contig_3																		
		3368																		
330	BrPe3181	Maracuja_NoIndex_L	3	227	238	12	4	9	CCAAGCATTGCCAACCGATCTCGCCTACTAATTGCTCACAAACACCC TTCTTTTACCAACCTGCTTACTTGCTGTGATCCATTGATAGTCG ATCTCCATCCTCATCAGTTCCGGGGTAAGCAGCTCTTATGTA GTTCCAGGTATCATCATACAAAGAAGGAAGCCAGAGCCATCAAG ACTGAAACTAGAATGAATGGCGTATCGAAACCAATCTAGCATAG ATAACTCCGGGATGCATAAGGGGAAGATGAGAAGAAAGATGCTC CACCGAAGAATAGCCGAGCTCTGTTGACCA	TCA	G	16,37	167	GCGCACTAATTGCTC ACAAC	59,5	GTCTTGATGGCTTG GCTTC	60	50	55	
		003_R1_00																		
		1_contig_3																		
		4767																		

G: genoma funcional

S: genoma estructural

P: polimórfico

M: monomórfico

APÉNDICE

Marcadores microssatélites desenhados a partir do sequenciamento parcial e da montagem *de novo* do genoma de *P. edulis*

Nº	Primer	Contig	Motivo	Inicio	Fim	pb	Nº Repet	Score	Sequência do contig	Unidade	G/S	Cobertura	pb	Sequência Forward	T °C Fwd	Sequência Reverse	T °C Rev	% GC Fwd	% GC Rev	P/M
331	BrPe3182	Maracuja_NoIndex_L	3	380	391	12	4	9	AGAACCAACTGAAAATGAAACTACTTATCAAGATATCATCCTGA AACCAAGTAGAGGTGTGATATATGAAGTAATGTTAATTGTGAATA TAATTGGCATTATTGCTTAAGAGTGATTGGAAGTGATTGATTGATT CTATGAAGCTGCAACACAACATGCGAATTACAGGATCTCTAA AAGATCTGAATGATCTTACACAGTAAGAGATGAAAGCATTCTC GTGGACAAGTCATCAAATGATACTAGCAACCAGAAAATTACCTGA TTTCTGCAGTCACTCCAATCATCTCAACTTC	CAA	S	16,84	197	CATCCTGAAACCAAG TAGAGGT	60,0	CCACGAGGAATGCT TTTCAT	60,1	47,8	45	
332	BrPe3183	Maracuja_NoIndex_L	3	2693	2707	15	5	12	GAAGTTGGAAGCTGAGAGGCAGAATTATTCCTGTCACACCA TTCTTATCTGCATGGGCTCTTATTCCAGAAAATCTTATTATC TACTTTGCTTCGAGAACAAATTGAGAGTGCTTCTGGTCTTT GCATCAACAGAAGAAGAAGAACGCTGTATTGTTCCAATGCTTC CTTTTTGCTCTTTCTGAATAAACATTCTACAGCAGTGGCC TTTGCACTGCCCTACCGTTAGTCTACTTGCACCTCACCTTAAT TCAACCGAAAGCAAAAGCAAGACAGAATAGTC	AGA	G	14,94	231	TGGAAGCTGAGAGGC AGAAT	60,1	GGCCACTGCTGTAG AATGGT	60,1	50	55	
333	BrPe3184	Maracuja_NoIndex_L	3	965	976	12	4	9	AGAACCATGACAGTTAACAGAGAATAACAAGAAGATTGCGAT CTTGAACACAGTGACGATTGCTCTAACTGACTTGTCTATTGCGATAG CAAATACCAAAACCTCCAAACCATGGATTGAAAGCAATGGT CTTATCTGGTTCTCTCCCTCCGAGGATGAAATGATGAGGCAA TGCTAGTTCTTGATGATGATGACGATGATGATAATGTTG GGATCTGGTGCATTTCTCATCGAGCAATGATCTCTAAACT TTTCCATCAAAGGAGAAGCAAATGAGGGTAG	TCC	G	15,05	155	TGGATCTGAAAACA GTGACG	58,8	GAAACTAGCATTG CCTCATCA	59,4	42,9	40,9	
334	BrPe3185	Maracuja_NoIndex_L	3	3953	3964	12	4	9	TTCATCGGTTCACTCTAAATCATGAATCATGGACCTCCGAA TTGCCGACCAAGCTGGTTTCATGTTCTGCAATTGCTGTGATGCT GTTGTCATTTGACACCATGCTGAGTCCTAAATGTCAGGGAAACG GCTCCATGTCACCACCCATCAAACCCATTCTGAAATGGCAC GAAGTTCATCGTACCGTCAATGCTACTTGGAACCTGAACTCTA CTCTTGACCTCTCTCTGATTCACGTGATCCGATCCGTTCT CATGTAACCAAAGAGCTCGTTCTGAG	CCA	G	16,01	176	TTGTGCATTTGACA CCAT	60,0	ATGCGGATCAGTGG AATCA	60	40	40	
335	BrPe3186	Maracuja_NoIndex_L	3	2796	2807	12	4	9	TCACCCAAGCATGATGGTCAAAGGTAATTGATTACTTCATTCTG AGCAAACCTTGCTAGATGAATTGGAGAACTTAGGTGAGGTTA CATATCCTTGTGCTACTTTGCTACTACTGTATTAGGTCCAT TTTTCTGAAAGAAGAACACCCAGCACACCAAAGCAGATGC TTTTTCATTCCCCGGAAAATCCAAGAGCTGTTGATTCGTC TGGACCAACGGCCATCAAGGACTAGTGTGGATAAACATCTCCATC GAAGGATCCATCAACTCCTCTCAGTGCAT	GAA	G	16,34	180	AAGCATGATGGTCCA AAGGT	59,4	CATCTGTTTGTTG TGCTG	60,4	45	50	

G: genoma funcional

S: genoma estructural

P: polimórfico

M: monomórfico

APÉNDICE

Marcadores microssatélites desenhados a partir do sequenciamento parcial e da montagem *de novo* do genoma de *P. edulis*

Nº	Primer	Contig	Motivo	Inicio	Fim	pb	Nº Repet	Score	Sequência do contig	Unidade	G/S	Cobertura	pb	Sequência Forward	T °C Fwd	Sequência Reverse	T °C Rev	% GC Fwd	% GC Rev	P/M
336	BrPe3187	Maracuja_NoIndex_L	3	211	222	12	4	9	GGAACATTCACTCTCCCTGCTCCGAAATGTTGAGTGATTGTACCTG CCAAATGGTTTTGAAGAGACAGAACATTAGAGTAGAACACTTGC GATGATGATTGATTATGTATTACTACCTATTCATCGCAGGAGGA ACCGCATACTGAAGAAGAACAAATTGATAACAAGGGATCGGA GGAATGAAACCCACACGATTGCTCTGCACTATGAATAACCTAT CACGGGCAATACTATAACGACTATTACGATCCCAGAACCGAGA GACTTGTGCGTCCCTGACCCCTGCAAACCTATAG	GAA	G	16,01	156	TATTCATCGCAGGAG GAACC	60,0	CTCTGGTTCTGGGG ATCGTA	60,1	50	55	
		003_R1_00																		
		1_contig_3																		
		7785																		
337	BrPe3188	Maracuja_NoIndex_L	3	2074	2085	12	4	9	ACTGAATAGATAAATTAGTTGAACCAAACCTCTTATAATATTCAAT ATTTAGTCAGTAGAAAGTAATTATGTTGTTAACATTAAACTC TATAAGATAGAAATTGCTACTAAAAAAGTTAGCTGTCTTTGTGT TGTTAATTATAATAATAATTAGTTAATACTAAATTCTGT GTGGAATTATAACTAGAGTTGAGGTTGATGTGAAGTAATATGTAT ATACTCTCTCTAATGTTGTCGACATTGGAATTGCTTAATCGTAC ACAATATTCACTAATTAATCTCTTAA	ATA	S	18,42	163	AAAAGTTAGCTTGTC TTTTGTGTTG	59,4	GATTAAGCAATTCC AAATGTCG	58,6	30,8	36,4	
		003_R1_00																		
		1_contig_3																		
		8082																		
338	BrPe3189	Maracuja_NoIndex_L	3	238	252	15	5	12	TACCACTTCGATATCCTCACCGAAATCTTATCGGTTCTTGCAGT CTAGTTGCGCTGGTGGAACTCTAATCTTAGCTATTGGCCTGTGCT GGCTTGGTGCACCATGCACTAGCGGCCAAAATGCCATGAACGTAT CATAAAGCTCCTGGTGGTGGTGGCAATTCTGGCTCATGGCTGAC TCAACTGCTGGCCCTTACTAACCTCAGCTCTGGCTCATGAGCTAG CTCAATCAAACATTGTAAGGATGCTCTCAGGGCTTCACTCGATT GCTGCTAGCCATAGACATCTCATCTCTAATG	TGG	G	98,83	226	CCAGCTTCGATATCC TCACC	59,7	CATGAGCCAAGAGC TGGATT	60,4	55	50	
		003_R1_00																		
		1_contig_3																		
		8153																		
339	BrPe3190	Maracuja_NoIndex_L	3	1312	1323	12	4	9	GGATCTAACCGGATACCTCAGCTCGACTTCCCCAACCCACCTATTG TCCATAAGGCATAACTCATACGAAAACTAACAAAAAACAGAACAC AGGAAACGTTAACACAGAAAGCTAACGATATTATTTACAGAAAGC AACAACTGCTGGCTGCTGCTCTTACGCTATCTCCATGATAC CTGTCTTTGAAGGCACT	GCT	G	15,57	158	GACTTCCCCAACCCA CCTAT	60,1	TCATGGAAGATAGC GTGAAAG	58	55	42,9	
		003_R1_00																		
		1_contig_3																		
		8227																		
340	BrPe3191	Maracuja_NoIndex_L	3	267	278	12	4	9	GAGGCTATTGAGGGATAGCAGTAGAGGTGAGGGTAAAGGGGAGGC TAAAGGTGAGGATGAGGAGTTCACATCTGGCTCAGAAGGGTTTTC AAGCGGTTTCGTGATGAAAGAGTAACGTTGATGAAAAATCAA TTTGAAATCTCTGGAGGAGGAGGAAAAAGAGGGTTCTTAAAAAA ATTATTTAAGGATAAGTCTGACGACAAAAGAGATGGAGTCTTAGG AATTCAATTGTAAGAAAATTCAGATCTGTTGAGGATGATGATA GAGAGGGTTTCCCAAATGTTCAAGGATAATC	GGA	G	16,28	153	CATCTGGCTCAGAAG GGTTT	59,3	TCCCATCTCTTTGT CGTCAG	60,2	50	47,6	
		003_R1_00																		
		1_contig_3																		
		8484																		

G: genoma funcional

S: genoma estructural

P: polimórfico

M: monomórfico

APÉNDICE

Marcadores microssatélites desenhados a partir do sequenciamento parcial e da montagem *de novo* do genoma de *P. edulis*

Nº	Primer	Contig	Motivo	Inicio	Fim	pb	Nº Repet	Score	Sequência do contig	Unidade	G/S	Cobertura	pb	Sequência Forward	T °C Fwd	Sequência Reverse	T °C Rev	% GC Fwd	% GC Rev	P/M
341	BrPe3192	Maracuja_NoIndex_L	3	849	860	12	4	9	CAGCAAGAACAGCGACATATATTCTGACAAGGATAAACGAGATG GTGGTTCTTATTAGTGGAGACAAGGAATGACAGAGATCAGTTCTCC AACGTACTAACACAGGATAAATCCATCAGTCAGGAACAACCTTTG CTGCAAATATGAATAATAATCATACTGCTGTAATTGATGATG CAAAGTCAGCCATTATTCGGATGCCAAATGGTTCTATTAC TGAGAATTCACTAGAGGTGGATGGACTAGTAGTTCAATTACTGCGT ACAGCAGATGACCAGACACAGGTGCATCCCCATT	AAT	G	17,87	167	CAAGGATAAACGAGA TGGTGGT	60,2	GCTGACTTTGCACA TCATCAA	59,9	45,5	42,9	
342	BrPe3193	Maracuja_NoIndex_L	3	942	953	12	4	9	CAATCATACACAGAACATATGCATTGCTATGCTTAATTGTTTCGAA TTCATTGATGGTTATGCACCTGCAGATGGTCTTGCACCTTTTGC CATGCCACTGAATCGATCTACGATTGAGACTCCGTAAGCGATCCA ATCTGGGTGATGATGATGAACATCTACCTACTGGAGGAATCCTC CATTCCAGGTCTCGGATGCAAGCATATCTAAATGGGATCATGC TCCTGATGCTACAATCAATGTTGGAGTAGAATGCGAGTTGTGATTGT AGGTTATAGATTGGTGTGATTACGTTAG	TGA	G	13,07	152	TTCCGTAAGCGATCC AATCT	59,7	CACAACTCGCATTTC TACTCCA	58,9	45	47,6	
343	BrPe3194	Maracuja_NoIndex_L	3	3134	3145	12	4	9	CAAATTCTTACATTACATTGGATTTTCCGCTACTGGATCTC ATATGCCATTACTAACGAAATCTGTATCTGATTCTGAAACCTGACTCATC TGATTGAAACTCTGATGGCTTGATTCTGTTCATATTGGCTCTAAATG GAGGCAGGTACATCATCACTAGACCCCAGCTATTGTGTTCA CGGGGATTATTACTGTCCGGATTCTATCGAAACCCCTCAAGGCTGT AGATTTAAAGATTCAAGGCCCTGCAACCGATTATAACGAGGAAT ACATGAGAACATCCAGCACTAGAAAAAAA	TCA	G	16,68	158	TGAACCTGACTCATC TGATTGAA	59,7	CTACAGCCTGGAG GGTTTC	58,8	39,1	55	
344	BrPe3195	Maracuja_NoIndex_L	3	406	420	15	5	12	CTCACACCTCCATAAAAACCCCTCCAGCGAAGAGGTTAACGTT ATGTCATGAATGAAAATCGCCGAGTTCTCAGGAGGTAGCGTGGACCT CTTAAAGAAATACACAGGAAGAATGAAGATTGGACATGACAGAC CTTCACAGTGAGGAAGAAGAAGAACATGATGACGACGAGGCA AGTTGTGCAAGTCCGATTGTTGAATTGATAACCTTTCTTCATC GGAATCGTAGGTACCGAGAAGAGCTACCTGTGATGAAACAAACCT ATCTTGGTACTACTAACGAGCCATTGCCATGGCTTA	GAA	G	17,02	240	GTTCAGGAGGTAGCG TTGGA	60,3	ATTGGCAATGGCTC GATTAG	60,1	55	45	
345	BrPe3196	Maracuja_NoIndex_L	3	4915	4926	12	4	9	ATCTCTTCCAAAAACAGGGGGTACAATATCGTAACTACGTGC CACCCCTCATTATACGTTCAAGAACATCTCAAAACACTGGAGTT CAGTGCTTAATCTTCTCCATAAAAAGGTCAATCATCCAGT GAAAATAAGATAATAATAGATTGACATAATGCTCACGCCA TTGTTAGCGTATGTTCCATGAAATTCAAGCAACAAATCTCATAA TTCTTGGTGGGATGGTACAGGTTCCATCAGGTCTCTTCTGA TTCCTGAGGCCATAGATTCTCATCTCCTT	ATA	S	15,27	189	CAAAACAGGGGT ACAAT	59,7	TACGCTAACAAATGG CGTGAG	59,9	45	50	

G: genoma funcional

S: genoma estructural

P: polimórfico

M: monomórfico

APÉNDICE

Marcadores microssatélites desenhados a partir do sequenciamento parcial e da montagem *de novo* do genoma de *P. edulis*

Nº	Primer	Contig	Motivo	Inicio	Fim	pb	Nº Repet	Score	Sequência do contig	Unidade	G/S	Cobertura	pb	Sequência Forward	T °C Fwd	Sequência Reverse	T °C Rev	% GC Fwd	% GC Rev	P/M
346	BrPe3197	Maracuja_NoIndex_L	3	1928	1939	12	4	9	CATGTATGTTAGTCAAATCAACAGTGACCTGTACAGTTAACCTTCTA GATGCTTCATATTGATTCCACAAAAGGCCAACATCGCGTCAAC GCGCAAGATTCACTGGTACAGTTGGTGGGAAAAAGAG AAACAAATATTATTATTACCAGGTTCGAAGCCATTACTCCAG GAAATTGCAGCACCAATCAATGAATTGTTCGAATCCATTATTCAAT TGTGTTCTCTTCACTTCCACGTAAGTTACTTCTCAATTCTTCC AGTTTGATCGATTCTTGGATAATGGCTA	TTA	S	18,34	152	ATTTCACAAAAGGC CCAAC	61,1	AATTCAATTGATTGG GTGCTG	58,4	45	40	
347	BrPe3198	Maracuja_NoIndex_L	3	729	743	15	5	12	AACATGTGGCAAAGGTCTCATTATTGGATCATATCTTCAAATC ATTGACTGTGGGAGGACAAGGTCAATGGAAGAAAAGCAGATCC AGGACATCCAACGATGCCAGTGCTGAGGGATAAAAGCATTTTAGT TTAATCGTCTCTTATTATTAGATGATAATCTGTAGATC CTCTAAACATTAAACAGTATTAAATCATTGGACTGCTGCGAT TTGTATGGCAGGACTGCTGAATATCAGACCAACTTAGATTAGT ATGACAATTGATTGAAATCTCGCCTCTCAA	TTA	G	16,22	243	ACATGTGGCAAAGGT TCTCC	60,0	CACCATACAAATCG CAGCAG	60,3	50	50	
348	BrPe3199	Maracuja_NoIndex_L	3	893	904	12	4	9	GACTGTTGGTATTCAACCAAATGACTCTTAGTTGCTGCTCGTTA CGTTTATTCTGAAGATAGCCATGTTAATAAACTATTATCTGTGTT GTTGGGTACAATTGCAAGGAAATCCAACCAAGAAGACTCAAACG GATTTCAGCGAGGAGGAGGAGACCTTATTACTAGGATGTTAATCT GGTTGGTGAGAGGTGGTTCATATTCTCATTTCCCTACCTTCTCT TTTCAAATTCTAAACATCAAGGACCTAACGATCTGGTCCGAT CACCTTGGTGGCTGATTGCTGGGA	GAG	G	13,35	200	GCAGAGGAATCCAAC CAAGA	60,2	AGCAATCAGAGCCC ACCTAA	59,8	50	50	
349	BrPe3200	Maracuja_NoIndex_L	3	1287	1298	12	4	9	GTTGCTATTATATAAAAGGAAACAAAGCAAGCTGCTCAGGAATG AAGCTGTGCAAGAGTACATTATGTTGATACCTTCTATAATGC TTACACATCAGTTAACCATCTACCTCTAACCTCCGAGGACT ACACCGAGGAAGAAGAAGATAATAACACGTAACAAACAC AAATAAATTCTCTAACCCAGACCAGGATAATGTAACCTATAAAA TATATACAGTTCTCAGGTTCATCTAAACAGTCTAAATGGACGGCTT ATTTGAAAATGCTGAGAGAGTCAGTACCAAGAA	GAA	S	13,25	164	ACTCCCTGCAGGACT ACACC	59,2	CATTTCAAATAAG CCGTCCA	60	60	38,1	
350	BrPe3201	Maracuja_NoIndex_L	3	4663	4674	12	4	9	GTTGACATCAAAGAGAATATTGAGGACACCGACAATAAGATAGA TAGAGAACATCCACATGAGCAAAATTAGTAAGCTAGAACATCG TCCCTACTAGCCATGCCCTCTGCTGAGTGTTCATCATCGA TTTCAGGCATCTCTCTAAAGCCATTGCTGAGCACGGCGT AGTGTCTTGAAGCTGCAATAATTATTTGGAAAAAGATCTGAG AAATTGAAAGCCGTAACCAAGTTCACGTCACAGCCACAAGTGAAGCCAGG TAATACAGATGCAGACAAGGTATGAATATTGG	TCT	G	17,93	156	CCCTTCTCGTCTGGA AGTGT	59,3	GGACGTGAACCTGG TTACGG	60,4	55	55	

G: genoma funcional

S: genoma estructural

P: polimórfico

M: monomórfico

APÉNDICE

Marcadores microssatélites desenhados a partir do sequenciamento parcial e da montagem *de novo* do genoma de *P. edulis*

Nº	Primer	Contig	Motivo	Inicio	Fim	pb	Nº Repet	Score	Sequência do contig	Unidade	G/S	Cobertura	pb	Sequência Forward	T °C Fwd	Sequência Reverse	T °C Rev	% GC Fwd	% GC Rev	P/M
351	BrPe3202	Maracuja_NoIndex_L	3	4524	4535	12	4	9	ATTAATCAAACGTGAAACTTTACTACATCAATCGAGTAACAAAAAG TAGAAAAAATTAAATGTAATGTTGAGTAATTAAAAAAGAAG TACAAGAGCAAGCATGACAATTAAAAGAAGTACACCTGGGCAA ATGACAAGTTAAAACAACAACACAAAACATTAGCTTAGAA AAAATTGCAGAAGGTGGCTGGGACTGATCATCGTCATCATAAATT TATTACTCAAGAACATAAAGAACATAATCAAATTAGAAGTACA CAACTGCCAAACCCATAATACTGCAGTATATGCG	AAC	S	18,76	167	CCTGGGCAAAATGAC AAGTT	60,0	TTAGGGTTTGGGC AGTTGT	59,5	45	45	
		003_R1_00																		
		1_contig_4																		
		0963																		
352	BrPe3203	Maracuja_NoIndex_L	3	4307	4318	12	4	9	AGTTATTTTAATGAACCTGACAGGACCAGAAGGAGCGGAAAAGAA GAAAGGGITCGAGCTAGACTTGAAATCAGAGTCACCAAATC AAATGGTGTCCAACCTAGCATTACAGAAATTACCGCTCACCAAAT TACAGTTCTGAAGAAGAAAAGATGTAGCCAGTAATTCA GAATCAAGTTGATGAGCGCCAGCTTAAAGAGGAAGCTATCA TCAAACCTTCAAAGTCTGCAAGGCGTCGCCTTTGTTCAAATAGGA AGAGGCTAACACCTAAAAACAAACATGTAAA	GAA	G	14,65	230	CCTGACAGGACCAGA AGGAG	59,8	CTTGGAAAGGTTG AGCTTGA	59,5	60	42,9	
		003_R1_00																		
		1_contig_4																		
		1012																		
353	BrPe3204	Maracuja_NoIndex_L	3	1867	1878	12	4	9	CTCTTTCACTGCCATCGCTGTGATTAAGAGTCACATGTTGTC AGGGCTGGTATCGACTTACCCAGGATCTAATCAGCCGAGAAGGGCC GTTTCTGAAACAGCTGATCCCCATTGCTGGCTGACGATCCTCT GTGCCCACTTGTGTTGGAGCATATTGGCACAATTTCAGTA GCATTTCAITGGATTGTATGCAGCAGTTGTTGATCAGGTTGG CTGACTTCACTACTTTGAGTTGAGTTGATCTTGATTGCAA TCATCATTTGCACTAACATGTGAGG	TTG	G	13,49	170	TCAAGGGCTGGTATC GACTT	59,7	TGCTGCATACAATC CAATGAA	60,1	50	38,1	
		003_R1_00																		
		1_contig_4																		
		1210																		
354	BrPe3205	Maracuja_NoIndex_L	3	1445	1456	12	4	9	TCTCTCCATGCATGTTCTTATTATGAAATAAAACCATTTGTTAA TTGTTCTTATTGTTATGTCATAAAATTGAGAACCAAATAGG CACCGAAAAATTAAACCTAATTATATTATGAATCATTAGT TACTCTTATATTATTATAAATCATTATAACGGAGTAAACTT AACATAGAAGGACTGTGCGAGTAAAAGGGACTTATAACAA AAATATTATATATTCTTATGTCAGTAGTACATCGAGGA ATTCTGACGTTGATGGATAGTGGTGCCTC	TAT	S	16,33	223	CAAAATAGGCACCGG AAAAAA	59,9	GCACCACTATCCAT CAAACG	59	40	50	
		003_R1_00																		
		1_contig_4																		
		1240																		
355	BrPe3206	Maracuja_NoIndex_L	3	1639	1650	12	4	9	GCCTGTCTACCAGTACTGACTTCAGGTCATGAAGTTGACAGAT TCAGGTGAACAAACGGATATCACAGAAAAATTGGAGTATATGA GGGACAAAGCTCCAGAAATGCTAGAGTTGCTGCTGGCAGCGAAGT ATTGACAGCAGTTGTTGAGCAGCACAAATGTGAGTATG GAGGTTCTTCTGAAAGGTACCTAGAGCCACAACTTGCAA GGCAGCTGAAGAGGGTAGTCTGTTGAGATCAGAAATGCGGG GTGAGT6CCCCCGCCCTGAAGAGAACATCGTAGAAA	GTG	G	15,61	170	GGACAAAGCTCCAGA AATGC	59,8	CTGCAAAACAGGAC CTACCC	59,6	50	55	
		003_R1_00																		
		1_contig_4																		
		1756																		

G: genoma funcional

S: genoma estructural

P: polimórfico

M: monomórfico

APÉNDICE

Marcadores microssatélites desenhados a partir do sequenciamento parcial e da montagem *de novo* do genoma de *P. edulis*

Nº	Primer	Contig	Motivo	Inicio	Fim	pb	Nº Repet	Score	Sequência do contig	Unidade	G/S	Cobertura	pb	Sequência Forward	T °C Fwd	Sequência Reverse	T °C Rev	% GC Fwd	% GC Rev	P/M
356	BrPe3207	Maracuja_NoIndex_L	3	1285	1296	12	4	9	CACCTGTCTATTATTCAAAATAGCTAGGCTGGGTGATGAAAAAGG AAATCCAGGCCAGATCGAAGAATTAAATTACCGTGAGATTTTGC GAGAAAAGATGGAAACACTGTGGAATGGATGTGATGGAGATCTC TGAAGATCCGAAAGAAGAAGAAGCTCTGTAGCGATGCTTTCATC TCCTTGATAATTCCGAGAGGGAAAGTGGGAGATGGACCTCAAACC CATTCTTTAAGCTTGTAGATGAGCCCAGATAGGGAAAATCCACAA GGAAAAGAACAGCCTCAGAGATAAGTAGAGTAGAG	AAG	G	13,3	238	GCTGGGTGATGAAAA AGGAA	60,1	CCCTATCTGGGCTC ATCTCA	60,2	45	55	
357	BrPe3208	Maracuja_NoIndex_L	3	1889	1900	12	4	9	GGATGTAATGCACTCACACTCCCATGTGGTCTGCTGAAATTTAG CAGATGCTAACAGAGGTTCCAACGCTCCATCCAACATGTA ACAAGAAAACCTGTCTCCATGTTGCAAGTCATTTACTGAGCTCC TGGCCTGCTTCTCTCTCAAACCTGAACCTATCCTACAGTTGC TTCAAGCGCTGTCTGAAGAATCCACTGATTGAAACAACACTCTG AGGCAGATATCCACTGTAGTCAATTCTATACCTAAACCAGAAAG GTGGTGA	TTC	G	14,37	153	GCAGATGCTAACGAG GTTCC	59,8	CAGCGCTTGAAGCA ACTGTA	60,3	55	50	
358	BrPe3209	Maracuja_NoIndex_L	3	2404	2421	18	6	15	GAAAGGAAGAGAACCGGCAAAGGAGCTCCATCAGCTGATTGTTA GTATGTTCTTCAGAGCTCACCTAACCTTAATGCCAAGCCAT TTGCAGTCCTGCAAGGCCATCGAGGTCAGCAAGCACCACACT CAAACACTCCACCAACACCACACCAGCATCACCAGCACCAC AAAAGAAAATCTAGCACCAGAGGTGGAGGTAGCCAAGCCAGTCGCT TTTATGGTCAAGAACTAACAAATGGAGTCAGAAATCGTGGAAACCA ACCTCACCGGAGGTACCTCGCTGGCAGTCAGTAAGTAAG	CCA	G	18,77	166	GTCAGCAAGCACC CACAC	60,3	GTGAGGTTGGTTCC ACGATT	59,8	55	50	
359	BrPe3210	Maracuja_NoIndex_L	3	1206	1220	15	5	12	AGTACAAGTTACTACTAACGACATCTCAGTAGCACACTACACAA GTCAAACAGTCAACTCTCTATGACACATATCATACATACCATCTG TCATATCCTACAACTCATGTGGCTGGGTCGCTCATCTCCTCAT TGAGTCCTCGTCATCATCATCACTGCTGAAACCTCGCTCCCGA TTCGACCCAGTCGG	TCA	S	28,99	100	CTGTCATATCCTACA ACTCATGTGG	59,8	GAATGGGAGCGAG GTTTAC	61	44	55	
360	BrPe3211	Maracuja_NoIndex_L	3	2127	2138	12	4	9	CAAAATAGTCTCATGTACATCAGTCACACAAACAAAGGTAA CCAAACATAACAGCCAAAAACACATAAGCTACACCAATAAGC ACAATCAAGATTGTGACACACGACACCACACTCTAAACCGAAC CAAATCCAACCAACACCCACCACTCGCAACATACATCAACATA GCTAACACAACAAACATCCATCGATCTATCTAAAGAGGTGAC AAACACCAAGTGAACCTCAATAACACCAAGAAAACAAACT AGCTACCAACCTAAGCACTCACCTCAAACCGCAAGCAA	CAC	G	21,5	201	CAACCAAACATAACA GCCAAAA	59,9	TTCAACTTGGTGT GTCATCC	59,9	36,4	40,9	

G: genoma funcional

S: genoma estructural

P: polimórfico

M: monomórfico

APÉNDICE

Marcadores microssatélites desenhados a partir do sequenciamento parcial e da montagem *de novo* do genoma de *P. edulis*

Nº	Primer	Contig	Motivo	Inicio	Fim	pb	Nº Repet	Score	Sequência do contig	Unidade	G/S	Cobertura	pb	Sequência Forward	T °C Fwd	Sequência Reverse	T °C Rev	% GC Fwd	% GC Rev	P/M
361	BrPe3212	Maracuja_NoIndex_L	3	1439	1450	12	4	9	TAACTAGAAATATAGTAGAAAAAAGAAGAGTGGGGGTGCTACCGAT AATGTCGAAGGGACTTTCCATCGCAGAACCTTCACTGGGGATTCT TCCCTTGAAATCAACACCATATGGAGGAAGTTGCACTTAATTAGT GTTTTGAGATTGTTGTTGCCTTATCAACACAGGAATCCCCAA AGACGAGGATGGCAGGGATGGAACATTGGAGGTAGCTTACCAA AGCTTGGTGGGGAACTAGTAGAAGAAAGAGCAACAATGGCAA ACCGAAGTGCATAATGGGCTAATTTCTTCC	TTG	G	16,47	207	AACCTTCCAGTGGGG ATTCT	59,8	GGTTTGCCATTGTTG CTCTT	60,1	50	45	
362	BrPe3213	Maracuja_NoIndex_L	3	373	384	12	4	9	TCCTGCGAGAAACAATCTCGAAGGTATCTAAAGCTCCATTCTT GTTTCATGGGAGTGGCACTTCTATACCGCTTCCCTGCTCTGGCT CGAATTGGCGAAGTGAAGCTTGCACAAACCGATGTTGGTGT GGCAATGTCAGCAGCAGCTAATGATGAGCTGCGTGGATTCTA TTGGCTTGCATTGCCCTGTCAGGATCAGGGCATTGCTCTTGT ATCTTGTGGTTTCTTGTGGAGCTGGATTGTTAGCATGCAC GTTCCCTGTTCCCTATTTAAATGGA	CAG	G	13,27	181	CGAGAAACAATCTCC GAAGG	59,8	GAATCCACGCAGCT ACATCA	59,8	50	50	
363	BrPe3214	Maracuja_NoIndex_L	3	1910	1924	15	5	12	AACTTATCAGTTGAGCTTGGTATCCAGATAGTTCAACAATATT GAAGTACTTACCTGTAGTAGCTCTGGATAATACTGAGAACTTG CATAAGGGAGATAAGAAGATGAATTAAGGTTATCCTGAAGAGCTCT AGCTAGTTCTCATCATCATCATCAGTCCCCATCTATCCTGAATA ACAAATACACATAGCCAATTCAAAATGTGAGAGACAGGACTAGAG AATTGGTATGCCCTGCCTTGCTTACCACTTGGTTCTTCAAATCT TCAGCTAGAGAAAGGGCAATAGCATGATCTAAC	TCA	G	17,42	163	CTGAGAACTTGCATA AGGAGGA	58,6	GGCATACCAATTCT CTAGTCCTG	59,2	45,5	47,8	
364	BrPe3215	Maracuja_NoIndex_L	3	2257	2268	12	4	9	ACTGTTAAAAAGTTTATTGATCCCGATATGAAGAAATATACT GGAGTGTGAATCTTATTGTAAAATGAGCTGATGGCTTGGGA TGTCTTGTAGCTAGAAAAGCATATCAGTAGCTCCTCAGGTACATC CACTACCTTCTTCTTCACTCCCTCGAGTTGTTAAAATAAT CTGATGACATAATAGCGTGTGATTATTGACCCACAGATG AGAGAGAAGTACTGTGGATGGGAGATCTGGCTACAAAGATTG CAGATTATTGTTGAGTGAGGCTAGAACAC	TTC	S	18,54	152	GTGATGGCTTTGGG ATGTC	60,3	TGTGGTCAAATAA TCAAGCA	59	50	38,1	
365	BrPe3216	Maracuja_NoIndex_L	3	468	479	12	4	9	GTTCATGCTCTGCTGGGTTTATGATAGAAGAAAAATCTATCTATT TGAAACAGCCACCCAAATACGTTTCACTTAAAGGAATT CCAAGTGGAAACTCTGGATACGTCACTCCAACCAGATCACTTG CCTGTGTGAAAGAAGAAGAGCCCCATGCTGATCGCATTGGAG GAGTTGCAATAAGGGAGGTAGAGGCGAGCTAGTTGCACTGGTAA AGAAAAACTTGTTCATGTTGTTGAGAGGAGCTAGCTGGTAA CATTAGAGCTTGAAGCTTGTGCTGCTTCCATT	AAG	G	8,41	167	TGGATACGTCACTCC AACCA	60,0	AAAAGGCATCGTCC TCTTCA	59,8	50	45	

G: genoma funcional

S: genoma estructural

P: polimórfico

M: monomórfico

APÉNDICE

Marcadores microssatélites desenhados a partir do sequenciamento parcial e da montagem *de novo* do genoma de *P. edulis*

Nº	Primer	Contig	Motivo	Inicio	Fim	pb	Nº Repet	Score	Sequência do contig	Unidade	G/S	Cobertura	pb	Sequência Forward	T °C Fwd	Sequência Reverse	T °C Rev	% GC Fwd	% GC Rev	P/M
366	BrPe3217	Maracuja_NoIndex_L	3	1690	1701	12	4	9	CATCCGTGTGCAATTGAAAAGTTGATCATTAAGTATGGCCTTGTGTTT GGTACATCTTGTGTTGGAAAAGCAATAATGTTCTACTGGACATT GTTTGATTCCAAACCGCGTTCAAACATATGGATCATTTCCGGTC TGAAGCTAGCTGCTGCTGCTATGATTAGAGGATGACGTGACTTC TGTCCCTGACATCTGCACTGTGGATGCTTTGCACCTCTAAC GTATTTGAAAGTTTGACTGTTAGCTACCCACAAAGCTTACATCCAC ATCCAAAGACACCTAGGCCGTGCCAGCCA	GCT	S	14,69	211	GATCCATTTCGCGT CTGA	59,9	AGCTTTGTGGTAG CTGAACA	59,9	45	47,6	
367	BrPe3218	Maracuja_NoIndex_L	3	2040	2051	12	4	9	AGGAACCTATTGACAGGGTACCAACCTTCCCTTCAAAGGATGAT GCAAAATTATTCTGGAAAGAGTGTTCAGTCACAGATAGCTCTGGCA GAAACTCGAACAGTAATCATGTTGAGAGATTAAAGGACTCAA CCAAGGTACCACATCATCATGACCGGTACCCATTCAACAGAG GGAACAGAGAGTGGAACTTCATTCACTGAGATCCATCGTCCCAC ACTTCCCATTCTCGCAGGACAACCACTGTTATGTCCTCTCCCTCCA GTCTTGAGGCGTGAAGAGGTACAGTGTACAAG	CAT	G	14,24	207	CCCTTTCAAAGGAT GATGC	59,5	GAAGTGTGGGACGA TGGATT	59,8	45	50	
368	BrPe3219	Maracuja_NoIndex_L	3	3073	3087	15	5	12	GAGAAGTATTTGGAGGAGATCAGATCATGGTGTCTCTAAATT GTGCACCAAGATCTGTTCCGAATTAGTCAGTTGTCACAGAGCCT TTGGCTGGCATAGTCTTATAATCCAATCTTGCCTAGATCGTCTCTT CCATCTGGAAAGAAGAAGAAGGGTGGCTCTGCAGTAAACTCAG CCTCTCTACATGATGCAATTGGAATTCCATAGAGTCCTTGCCGT GTAGTTGAAGAGGTTACAAAATGGTTAAGAGAACAGATAAGCGAT CGGAGGATGAGAGGATGGAAAATATTCTCTTATCT	AAG	G	18,36	198	CCTTGGCTTGCATA GTCT	59,3	ATCCTCCGATCGGC TTATCT	60	50	50	
369	BrPe3220	Maracuja_NoIndex_L	3	1730	1744	15	5	12	TCTCTACCTCCCGTCACAGTGTATTGTTGCAACAGCCGAGCA ACATGTTCTCACAGACCATTCTCTTCAAACCATCCGGCGCC CCAAAATCACACCAAAGTAAACTTCACCTTCGACTCCGAAGA AGAGGAGGATGACGACGACGACAGCCAAAGAAAGAACCTGA CAAGACCAAGCTCCCTCACCTTACAATCCCTGACAAAAACCA GTTATCGAAGAAGCCGTGATCCAAAGACTTGCCAAAACCTCC ACGACATGCG	GAC	G	13,77	179	GCAGCAACATGCTTC CTACA	60,0	CGAAGGGATTGAA GGTGGA	59,9	50	50	
370	BrPe3221	Maracuja_NoIndex_L	3	5865	5876	12	4	9	CTTGTGGTGTCTAACATATTCTGCGCAGGGTGTGACAATGATG CTGATAGTGTCACTGCACTGGAGAGGTTAACCGGTGATGA TCCGAATCTACCGGAGAGGAAGGGTGAAGATAAGACATTTCCT GAAGCTTCCCCTGATGATGATGACGAATGAATCTGCTCTGGCAGC CGAGTCATGATCATATCATTACGTGATGATTAGTCAAGAAACA ATAAGCAGTAATAAGGGTGCCTTGGTGCCTGAATTGTTGATGC GGAAAAGGAAATAGATATAAAATAATTCTGTAT	TGA	G	18,5	158	CGCAGGTTGTGACA ATGAT	59,6	TGCCAGAGACGAGA TTCATTC	60,4	45	47,6	

G: genoma funcional

S: genoma estructural

P: polimórfico

M: monomórfico

APÉNDICE

Marcadores microssatélites desenhados a partir do sequenciamento parcial e da montagem *de novo* do genoma de *P. edulis*

Nº	Primer	Contig	Motivo	Inicio	Fim	pb	Nº Repet	Score	Sequência do contig	Unidade	G/S	Cobertura	pb	Sequência Forward	T °C Fwd	Sequência Reverse	T °C Rev	% GC Fwd	% GC Rev	P/M
371	BrPe3222	Maracuja_NoIndex_L	3	320	331	12	4	9	CTTAATGGATCAAGCTGGAATTAGAGATTCTCTTAAATAGATTAAT CACGTGAAAGAAAAGAACCTGCTGTGATTGTGCGTTGCGCT GGACTAGGAAACAATGAGTTAGGTCTGTACATGTGAAAGTTGC ACGTTTCGTTGGAGGAGGAGGACGGATGTAGGATGATGACCCAAC ACCATACTGTCGCACTCCATTAACTAACTTCGAGCTTGCTACG GCACCTTCCACAGACAGACACCTGTATGCGGAGAAGATGAATCTAT TGAAAGGTGGCAGTTACAGGGTTCGCTT	GGA	G	14,23	153	GTGGGCTGGACTAGG AAACA	60,1	AAGGTGCCGTAGCA AGCTC	60,6	55	57,9	
		003_R1_00																		
		1_contig_4																		
		3925																		
372	BrPe3223	Maracuja_NoIndex_L	3	1590	1607	18	6	15	AGGTAGCAGATGAGGAGAATTAGCAGGATCTGCTGGAGAAGTAG ACTGGAAGATGTTTCCAACCTTCTAGATCATCTAAGGAAAGAAAAT GTTATCTGCAGCTCTACGTGCTCATTGTAATGATAATGTGCAT GCTTCGAAGATCATCATCATCATCTCGGGTGTCTTTGTAA GGTGATCTCATATTTGAATAATCCATGAACTGTATCACAGGA TGTTCTGCAGATGTTGGATCATCATCCTCTTCAACGTCGTG CCGATCACACATTCTGCCCTTCTACACCAGCATA	ATC	G	13,63	150	TCTGCAGCTCTACGT GCTC	59,5	TCTGCAAGAACATC CTGTTGA	59,4	55	42,9	
		003_R1_00																		
		1_contig_4																		
		4069																		
373	BrPe3224	Maracuja_NoIndex_L	3	2335	2346	12	4	9	TTTGATGATTTATGAACGGATATGGTTAAAGGGAAATGTTTC AAAAGCGGAACAAAGCTGGAAACTGGTGGTATGAGGAGCAAGA CCATCTGAGGACCCTGGTCTATGGGAAAGCTGTTGGAGATTTC TAGATCTCGTTCTCTCTCCATATGGTGTCTATCATCTAA AAATTACTGGTGGAGACTAGTATAGCTTTACTGCTTCTGG ATTTACATGATTGTAGCGGTTGGATTATCATTATAGCATATGC CCATGATAATATGCTGCAAAGGAGCATATC	TTC	G	014	150	CTATGGGAAAGCTG TTGGA	60,1	AATCCCAACCGCTA CAATCA	60,3	50	45	
		003_R1_00																		
		1_contig_4																		
		4319																		
374	BrPe3225	Maracuja_NoIndex_L	3	435	446	12	4	9	TTTAACTATAGCAAAAAACTCCTCTAACATACCGAC AAAAAGAACGAGGAGTTGAAACCATCTAACGCTGATACTTATCTT TATCAATCCCTAAAGCTTGTCTAATTCTACACAGTCAGTGGT TTACATAGTAGCTCCTCCTCTCGGGATACTCTGGCCCATCTC CATGATCCGAGAATCAATATGGTGTAGCTGACATCTACTCTCA AAATACTGTGGTAGTAATCCATAATTAGTTAGAGATTCTGTG TTAGACACAGTGTGCTGCCATCTCTTCTAGAT	CTC	G	15,78	181	TTCATCAACAGTCAC TGGTTACA	59,6	GGATGGCAGCACTG TGTCTA	59,9	37,5	55	
		003_R1_00																		
		1_contig_4																		
		4409																		
375	BrPe3226	Maracuja_NoIndex_L	3	1607	1618	12	4	9	GGAAGAAGAGGATGCTTACCTGGTGAATTGGTGTGAGCTTAC TTGGTTGCTAGAAATCCCTTAGAAGGTGCAACGTTGGAACTT GGTTAGTTCTTGAGGTTCCGTGATTGCGTTGCCAGATCATC ACAGTTACTGGAGGAGGAGCTGCGGGTGAAGATGCTCTCG AGATAATATTGGAAGAAGCAAACGGAGGTGAATCTGGAACACCC GATACAGAGGTGAAAGAATTCCGGGTAGATATTATAATT AGAGCAACCCAGAAGACCAGTCAACAGTTGAAC	GGA	G	11,91	198	GGTGCAACGTTGG AATCT	60,0	TATCTGACCCCGA AATTCT	59,7	45	45	
		003_R1_00																		
		1_contig_4																		
		5039																		

G: genoma funcional

S: genoma estructural

P: polimórfico

M: monomórfico

APÉNDICE

Marcadores microssatélites desenhados a partir do sequenciamento parcial e da montagem *de novo* do genoma de *P. edulis*

Nº	Primer	Contig	Motivo	Inicio	Fim	pb	Nº Repet	Score	Sequência do contig	Unidade	G/S	Cobertura	pb	Sequência Forward	T °C Fwd	Sequência Reverse	T °C Rev	% GC Fwd	% GC Rev	P/M
376	BrPe3227	Maracuja_NoIndex_L	3	2148	2159	12	4	9	CTTAACAAAAATGAAAATGGTTCGAAATCGAACATCACAGATAAA CAATTCAAGACTTTCTAACAAAAAATAAGCATGTAAACTCTATAAA TTTAGAAGTTAACACTCAACCGAAAAGAAAACCAACCACTCAA CCAAGCAACACACAACAACACAACCGCTAGAGCCAAACCTAA CGAACAAAACAACACTCAGACTCACTCAGAAACTCAAGACACACATCA ATACATCTAAAAATCAAACCTCTCAGAGTCATGCCAAACTCGTAC CAAAGGTGCAGCACAACATGAGTAACATAACCTTA	ACA	S	48,21	163	CAACCCGAAAAGAAA ACCAA	59,9	CGAGTTGGCATGA CTCTGA	60	40	50	
		003_R1_00																		
		1_contig_4																		
		5466																		
377	BrPe3228	Maracuja_NoIndex_L	3	2512	2523	12	4	9	GCATAGCCCATAGGTTCCAACAGGAGATACCAAACCTTGATGCGCT TTAATGACTCTTGACAAGGCATGGACAAGCATGGGGTATTCTG AAGATGTTATTGGACCAAGAACGAAAAGCGATAAGACATGCCAT TGGGATTACACACTACTACTACTGTGTGTTTCCATGCCCTAT AGCTGGAGCTCATAGGGTAGAAATGCCTGCAGCTCAATAAAC CTTTCCCTATGCAAGACAATTTCACCCACTTACTCTAACAGACTA ACACACTAATTAAACCAAAACTCAGAAAT	ACT	G	18,1	174	ACTTCTTGACAAGG CATGG	60,1	TGAGCTGCAGGCAA TTTCTA	59,7	50	45	
		003_R1_00																		
		1_contig_4																		
		5495																		
378	BrPe3229	Maracuja_NoIndex_L	3	1638	1649	12	4	9	AAAAGTAGCGCACACAGAAATGTGAGGAACATAAATAAAATAC TACAACATAATCATACCCGAGGAAGAAGAAGAAGAAGACGAC GAATTGTGTCGCACTTCAGCCTCAACCTCAATCTCAGCGTGTGA AGACGAAGCATCGAAGAAGAAGAATATGGCTATGCCCTCGAGTT TTCTCCGACTGCAGTGACCAACCGTGGTGTGCCCCCTTGCTACAA AGGTAATTAAATTTCGTTGGTGGGTATTAATTAAATTATT TATTGGCTGAGGAACAAAATGGAGATGTAAGTT	GAA	G	12,41	151	CCACTTCAGCCTCA ACCTC	59,8	CCACGAAAATTAA ATTTACCTTGTA	60	55	25,9	
		003_R1_00																		
		1_contig_4																		
		5961																		
379	BrPe3230	Maracuja_NoIndex_L	3	212	223	12	4	9	AAGATGAGAACAGGCCAAAACAAAATTGGCGAACCGGATT ACCTGTTGACGTGACGAAACAGATGCAGACGGCAGATTCTGTTA GAACCCCTCTGGTATCCACACAAACACTTCGCATGGCTGGATCGA TGGCTGGTTAGGAGGGAGGCGGCTGTACAGAGAAAACGTCT TTCTCTCTCTGCCTGTTCTCTGAACACGTGCGTCTATTGGTT AGTTACTGACTGAATCAAGACCACATTTAATCTGACTTAATCAG ATTACTAGTATCCATTCTCTAACCGATA	AGG	G	142,33	158	ACGTGCAGAACAGA TGCAG	60,1	TCAGGAAAACAGG CAGAAGA	60	50	42,9	
		003_R1_00																		
		1_contig_4																		
		6027																		
380	BrPe3231	Maracuja_NoIndex_L	3	12533	12544	12	4	9	ATATCAAGCCCTTACGTTCAATGACCTAGAACAGAGGAAGTCAGTC CATTCTTTCTGTAGTAGATAACAAAAGTTCAGATTGAGAGTACT TGTAAAAGCACCTCATACGGCGTCCCACCTTAACCTCACCTTGAC AGCAGCATATTCTCTCTCAGAACGAGCATTCTCTGTACAAAC CATCAAGATCTATTCTAGACACCTGACTTCATTAAACCTAAATG GAAAAAAAGAAAAAAAGATGAAGATTGAAGAACATATGTCAT AGCACCAAGTGAGAAAATGTCGTACCCATAT	TTC	G	18,82	181	TCCCTTACGTTCAATG ACCT	57,1	TGGTTGTACAAGA GAATGCTG	58	45	40,9	
		003_R1_00																		
		1_contig_4																		
		6076																		

G: genoma funcional

S: genoma estructural

P: polimórfico

M: monomórfico

APÉNDICE

Marcadores microssatélites desenhados a partir do sequenciamento parcial e da montagem *de novo* do genoma de *P. edulis*

Nº	Primer	Contig	Motivo	Inicio	Fim	pb	Nº Repet	Score	Sequência do contig	Unidade	G/S	Cobertura	pb	Sequência Forward	T °C Fwd	Sequência Reverse	T °C Rev	% GC Fwd	% GC Rev	P/M
381	BrPe3232	Maracuja_NoIndex_L	3	3770	3781	12	4	9	TTTGAAGCTGTAGCTGTGCAAGATTTGCAACTAAACCTTTTGTA GGTTATTATGAATTGTGAAACTGTACTCTGTTCTGCCTTATGCTT AACTCTGACATTACAGAAAAGTGCCTGAGATGAAAGTCAC GGGGATATGGCTGCTGCTGCTTAGCATATAAATGTTGGAGGTTGC ATGCTGGAGAGTAGTTACTGCAAACCTTACCTCAATCAGAGACC ACAGTGAATTACAAGCATGTTCAAATGAGTGCCAAAGGTAATGT AGTGGTATCTATTATCTGGTATATTGTTT	GCT	G	16,17	164	CACAGAAACTGTGCC CTTGA	59,9	TGGGCACTCATTG AAAACA	60,1	50	40	
		003_R1_00																		
		1_contig_4																		
		6743																		
382	BrPe3233	Maracuja_NoIndex_L	3	160	171	12	4	9	AGAAAAAAAGAAAAAAATCTTAAATCTTCTTAAATTTAAAAAAA AGAAGTTTTCGATAAGATTAATGAGAAGAACTAAATATAA ATAGCATAAAACAACCTAACGATTGGATAGGACTGGTAAGTACAA GGCAGGTATTGAAAGAAGAAGAACCGGAAGAAAACCCAAAGCAA AACCGGAAACGCATAATGGATTGGATTGACGATTGCGGAAGTG ATGGTGGCTGATCTGTTGGTCCTACTGTTGCTATTGCAATC CTCTCCAATCTACGATAGAACGACACCAACAC	GAA	G	13,36	152	AAGCATTGGATAGGC ACTGG	60,1	AGTGAAGGCACCAA CAGGAT	59,6	50	50	
		003_R1_00																		
		1_contig_4																		
		6975																		
383	BrPe3234	Maracuja_NoIndex_L	3	5076	5087	12	4	9	CTTCCTTCAACAACGACAGGATCCTACAGCACACGCTAGTTGATT GAAGAAAACTCAAGCAATCAATGAAAAAAAAGGGTACAAGCAAAT AACAGATGATAAAATTAACCGTACCGTTGGCTGGTTCTGCAGA AAGCGAGTAGCAGAAGAAGAGCAGAAGAAGAGGGCGCGAACTCTG GCTCCCACCAACTCGTTGGAAAGCAATGCGCGGGTTCGAGAA AAGAGAGCTGGAGTTGGAAAGTTGTTAGGAAGAAATAGGCACGA GAGATTGATGACCGCTGCGGTGGTGCATGGTCT	AGA	G	15,12	178	TACCGTTGGCTTGGTT TCTT	59,6	AGCGGTCAATCAATC TCTCGT	59,8	45	50	
		003_R1_00																		
		1_contig_4																		
		7119																		
384	BrPe3235	Maracuja_NoIndex_L	3	1815	1826	12	4	9	CCATCAGACCATAAAAATGGAAAAGCTACAAACAGAGTTCAA AAGGTAACACTCAGAGAAAATAGACAGCAACAAACTGTGGAGCA AATATCTAATAAGGGTCAGAATAGTTACTGCAGAGCACATACCCAA TCAAGCAACATGACATCATCATCATTGCAAGGCCAGCAAGGTCAA AGGCCCTGTCCAGTAATTAGCTCCAGAAGCATGATCCATAACCC AAAAACATCGGTCTTCAGATGATTGCTGTAGAGAGATATTAG GGGCAATGTGGCTATTGTAACACCGACAGCAGTAG	CAT	G	16,03	152	GCAACAAACTGTGGA GCAAA	59,9	ATGGGATCATGCTT CTGGAG	60	45	50	
		003_R1_00																		
		1_contig_4																		
		7435																		
385	BrPe3236	Maracuja_NoIndex_L	3	2907	2918	12	4	9	AGCACCGATCCTGAAAATGATGACAAATCAAACCGTAGTGGATAC CATTAGACTCTAAAGGGGAACCATGAAATAAAAAAATAATGGAG TATAAAGAAAATACCAAAGTCAGGAAAGTCCGAGACAAGG AACCTATTATCACATCATCATCATATTTTATGGCAGGAAGTG TCCAGATGACCCCTCTCATCCGATCATCAGCCTCAGGCATGGTAA TATCAATCTTGGAGGGTCAACAGTAACCGTGGTCCAGGTTACCA CCAGGTTCAAGGCCAGTAGAAGCTACAGCGTTG	CAT	G	16,41	171	GAAGTCGCAGACAA GGAAC	59,9	GCCTGAAACCTGGT GGTAAA	60	55	50	
		003_R1_00																		
		1_contig_4																		
		7795																		

G: genoma funcional

S: genoma estructural

P: polimórfico

M: monomórfico

APÉNDICE

Marcadores microssatélites desenhados a partir do sequenciamento parcial e da montagem *de novo* do genoma de *P. edulis*

Nº	Primer	Contig	Motivo	Inicio	Fim	pb	Nº Repet	Score	Sequência do contig	Unidade	G/S	Cobertura	pb	Sequência Forward	T °C Fwd	Sequência Reverse	T °C Rev	% GC Fwd	% GC Rev	P/M
386	BrPe3237	Maracuja_NoIndex_L	3	186	197	12	4	9	CTTCAGCATGCCAGCTTAGAAAACAAAAAGAAAGAGAAGAAAAT CCAGAAAGTACCCACATACTTGTGGCTGGCTTAATTAAAGACT TAGATAGTAGATAGCAAGACATCGTTGCACTTGGCAAAACAGAC CAACTTGTCAAATGATGATGATGTTCGAAAATCAAAGGCCAGTG AGGAATACTAGTAGGAGCTTCTATCATACTTGTGGGCATTAT TTTGCCTAATAATATAGCCGTAACTCCAACATTACACTGCGTCGC AGTTTACTGTATGATATTACCATGAAGTGCG	ATG	S	15,73	158	CACTTGGCAAAACACA GACCA	59,7	CGACGCAGTGTAAA TGTTGG	60,2	45	50	
		003_R1_00																		
		1_contig_4																		
		7960																		
387	BrPe3238	Maracuja_NoIndex_L	3	165	179	15	5	12	AGATGGAATTGAATGGGGCACCGCCTTGGGTATCGACAGAGAAC AAGAAAGCACAAGAAATGACAGTACAAGACTTGTCTGCAGCTGA AGGAGAAGAATAAAATAGAGGCAGCAAGACTCAACTGGACATCT TGGATTGCCAAGAGGGAGGAGGAGAAAAGCAAAGCAACAAG GGACAAAATAGAAAGCAAAGTACAAAAAGAAAAGAGGAATTGT	GAG	G	9,55	169	GCCTTTGGGTATCG ACAGA	60,1	TTTGTCCCTGTTG CCTTT	59,6	50	40	
		003_R1_00																		
		1_contig_4																		
		8027																		
388	BrPe3239	Maracuja_NoIndex_L	3	1473	1484	12	4	9	TATGGTATTGGCTTGATGACCTGCCAATAGCGCATAACTTGACAAA CCAAGTGGAGAACTTGGCTGAATGCGGGATGAGAAATTGTTGTCGT TTGTGTTCTTGAGTTCTAGAATTAGAAGATTGTTGGGTGTTCAAA AGGCATACATGATGATGATGGCACAGGAAATTCTTTGTTATA GGCTTTGAAGTTATTCTCTTCTTATGGCCCTATCACAGAAGA AGTGGAGATACATGCTGCTATGATAACAATTCTCCGTTGGCAAAA GAAATAAGCTCATTATTACAGAA	ATG	S	16,01	196	GGTGATTGGCTTGAT GACCT	59,9	TTCAAAAGCCTATA AACAAAAAGAAAA	60	50	22,2	
		003_R1_00																		
		1_contig_4																		
		8814																		
389	BrPe3240	Maracuja_NoIndex_L	3	1523	1534	12	4	9	CCATGGATCCTGCCATTAAATCAAATGTCTACTTGATTGCAAT ACTTGGTTGCAATTATGAAAAAGTTTATCTTAGATCGTGTCAAGGA AAATATACAAGTTGTTCTCGGGTTCTCCACACCCTGGGA GATGAGGAGATGATGATATTCAAGAACTTAATGAAGCTCTG GGGCTGCAAAACACCGTGTAGAATGCTGCTCATCTTAAAGC TGCTATTAGGTGAGACATGCTCTGTGTTGCAAATTATCCTTAGT TTGCTGCTGAGTTGTTATCCTGTGTTCT	GAT	G	18,45	197	AGTTGTTCTCGGGT TCCT	60,0	AACAACTCATGCAG GCAAAA	59,3	50	40	
		003_R1_00																		
		1_contig_4																		
		9041																		
390	BrPe3241	Maracuja_NoIndex_L	3	460	480	21	7	18	CACAAAAACTGTGACTCCATCTACTCCCTCGGAAACAAGAAAGTCT GTTGTGTTGTCATCAGCGAGTAAGAGTTCAAGGACATCAGCTGCATC TGATGTAAGCAAGCCGAAAGTCTAAAAGCTCTAGTTAGCA ACATCGCTGTTCTCTCTCTCTCTCTCTCTCTCTCTCTCTCTCTCT ACTTCATTGGACAGTACTGGAATTAGTGTGGGTAGAAAGATTGTCCC GAAAGTTCTCACCATCCACTCAGTCACCTCAGTTCTAGCCGGC TGAGAAGTGGCTTGGTCACTCTCTGACAGGAGGTT	TTC	G	18,3	186	GATGTAAGCAAGCCG GAAAG	59,8	CCGGCTAGAAACTG AAGGTG	59,9	50	55	
		003_R1_00																		
		1_contig_4																		
		9622																		

G: genoma funcional

S: genoma estructural

P: polimórfico

M: monomórfico

APÉNDICE

Marcadores microssatélites desenhados a partir do sequenciamento parcial e da montagem *de novo* do genoma de *P. edulis*

Nº	Primer	Contig	Motivo	Inicio	Fim	pb	Nº Repet	Score	Sequência do contig	Unidade	G/S	Cobertura	pb	Sequência Forward	T °C Fwd	Sequência Reverse	T °C Rev	% GC Fwd	% GC Rev	P/M
391	BrPe3242	Maracuja_NoIndex_L	3	2363	2374	12	4	9	CGGGTTGAACGCCATTGAGTATCAAGGTAATAGCTAGAAAGGGGCT GAGTCAGCGACGGCTTGGGAGACCACCTCCCTCCGTGAATGCAT AGCTAACGACACATTCCAGTGCGACCAACGAAGGCTGCGATCAC CGCAATAATGAAAGAAGAAGAAGTGAACCAACCACCGAAAAGGC CGCTGATTTGGATGTGCTGCTCCAAGTTCAATTGCTACTCT	AAG	G	15,85	214	GGGTTGAACGCCATT GAGTA	60,9	TGAACATTGGAGCAG CACATC	60	50	50	
		003_R1_00																		
		1_contig_4																		
		9639																		
392	BrPe3243	Maracuja_NoIndex_L	3	1924	1935	12	4	9	TCCCTGAAAAATAAAACGCATCGGACAGTTCTGGGATTGTTCAA CCATTCAAAAACGGTCAACATAAAGAGATACCAACCCCAGAAGGA AAAAGACCTTACCTTGCAGGTTAGGGTTGTTCCATGGCATTG GGAGGGATTGTCCTCTCTCTGCTGACCCCTGAAAGGGCGTTCT CTGAGTCATCTCGAGCGAATGTTAGGGTTCTAGTTAGCCCT ACTGGTAGTATAAGGAGAAAGGTAGAGCCTGGAGTTATGGATA AAATAAAATATTGACAATATCTTCCCGAA	TCT	G	14,74	197	AAACGCATCGGACAG TTTTC	60,1	ACATTCGCTCGGAG ATGACT	59,8	45	50	
		003_R1_00																		
		1_contig_4																		
		9768																		
393	BrPe3244	Maracuja_NoIndex_L	3	4782	4793	12	4	9	ATCTAAAAGACACACCAGCCTTCTAATTGTTAAATTCTGAATGG AGTTCAGGACTGACATCATCCCTGCAATTACTCCGAAATATTAGAA AGAACATTGAGCGTGTACCTCGCATCTTCTGGTAAAGAATCCCT CTGATTAGTCCTCTCCCGTTCTCTGCGCGCGCATGCAA CCACTGACCATAATTGATCCCAGTGGTTGCTTACTAT ACTCATCGTCGATGAAGGTGATGATCTCCATCGCGTCATTAGTCC GTTTGATTGATGTGAGGTAGATT	TCC	G	14,33	173	TCCTCGCATCTTCT TGTT	59,8	GGACTAATGACGCG ATGAGG	60,6	45	55	
		003_R1_00																		
		1_contig_5																		
		0368																		
394	BrPe3245	Maracuja_NoIndex_L	3	167	178	12	4	9	GGGTCTGGTTGCCATCAATGCGGGAGAGAAACCTATCTTAATCG ACCCACCCACAGAACATGGTCCTCCGACATGACCCCTGACAA CAGGTTCTGTTGGAGATGAGTGGTAACGCGCCTTACGGAAAGC AGTACTACCGCATGATGATGATGGATGAGTCTTCATCACTGACCCCC ACCATGCCATTCTCAAATGCTGGACAAGCCCTTATCGATGGAAC TGGACTCAGGAAGAGATCTAGATGCTGCGCACATTAGATTG ACGTTGAAGCTGAGAGTTAATGCTGTTGG	ATG	G	11,79	171	ATGCGGGAGAGAAC CCTAT	59,9	GGTGGGGTCAGTGA TGAAAG	60,4	50	55	
		003_R1_00																		
		1_contig_5																		
		0403																		
395	BrPe3246	Maracuja_NoIndex_L	3	1681	1695	15	5	12	TATATAAACTCACTAAATTCTGAGTGTGATGGTTAGAATTACGTA TATACAAGCTAACTTGAGGAAATTGTTGCTTAAATCAGGTAAGAG TTGCAGGTTAAGATGGTACAATCAGCTGGATCCAAGAACATCGA AGCCCATTCACAGAACAGAACAGAGCGGCTGTTGCTTCACA AGATCCATGGGAATCGATGGCTATTATCGCAAGACTTTCTGGT CGCACCGATAATGCTATCAAGAACCATGGCATTTATCGAAC GAAGACACAGGGAAAGATCCAGGTTAATGCAAAAG	AGA	G	17,25	174	ATCAATCGAACCCCA TTCAC	59,9	AAGCCTGGATCTT CCCTGT	60,1	45	50	
		003_R1_00																		
		1_contig_5																		
		0754																		

G: genoma funcional

S: genoma estructural

P: polimórfico

M: monomórfico

APÉNDICE

Marcadores microssatélites desenhados a partir do sequenciamento parcial e da montagem *de novo* do genoma de *P. edulis*

Nº	Primer	Contig	Motivo	Inicio	Fim	pb	Nº Repet	Score	Sequência do contig	Unidade	G/S	Cobertura	pb	Sequência Forward	T °C Fwd	Sequência Reverse	T °C Rev	% GC Fwd	% GC Rev	P/M
396	BrPe3247	Maracuja_NoIndex_L	3	2479	2490	12	4	9	CATGAACCAGTTGTTTACATAGAACATGCATTGGAAGATCCAG AATCAAAGCCAAGAAAAGAAAATGGTGTGCTGGTGTAGATTG TTCATGAAACAGACTAGAACAGATGTCGAACAAAGGTAGCTTG ATTTGGTACTGATCATCATCTTGATAACAATTGTTAGCTTATC TTACAGAAAGGTTTATCCATCAATCACTGAGGGAAACACATCAAC ACCGAGCTTGCATCACTGCCTCTGAAGATGCAGTTGACACACT ATCTGAAAGAGCTGAAAAGAAAATAGTTCTGA	ATC	S	18,44	168	TGCTCGGTGATCAGA TTGTT	59,2	CAAGCTCGGTGTTG ATGTTG	60,3	45	50	
397	BrPe3248	Maracuja_NoIndex_L	3	1414	1425	12	4	9	GGCAGCCTCAAGCACGGCGGAGCTACTGGGTTCTCTTCTGAT CAAGAGGTTCCATCAGAGAGAATTCAAGCAAAGCAGATACTGCTGC AGTAGTTGCCAGGTTGTCTTGTGCTGCTGAGTAGTTGATG GTGTTGAGCTGTTGTGTTGGACGAGCAAGGATCGGCTCATC CTATCAGAACTCTCGAACCATTTGAATGGTTAGACATGTTATCATA ACTCTGTTCTCGTTTATGGAGTAAAGGGAAAGGTGCGTCGG TGCTAACGACATACACACCCGAGGACTGTCCTC	TGT	G	16,1	215	TGCAGTAGTTGCCGA AGTTG	60,0	GTCCTCGGTGTTG ATGCTT	60	50	55	
398	BrPe3249	Maracuja_NoIndex_L	3	4125	4136	12	4	9	TGAATTGATCTACAATTTCATCTGACGTTGTTCTATCT TACAGTTCCCTACTCTACCAAGAAGGGTTCAAACGTTCTGTT AGCTGGTACCGAATTCGGATGGGATTCAACGGCATAGTAAGTG CCACACTGATCTCTCTGATCCGCAATGGAGTATCAAGCT TTCCGTAAGCGGAGAAGTTGTCGGCTGGAGATCTGGAACGA CCATGACTCATGCGTTGTGGGGTTGAACTGTCAGATGGCACTG TCAATTAGTACTTCACCTACATACAGCATA	TCT	G	15,89	161	AATATTCGGATGGC ATTCA	60,1	AGTTCACAAACCCAC ACAACG	59,5	40	50	
399	BrPe3250	Maracuja_NoIndex_L	3	1215	1226	12	4	9	GATAAACTTAATCCGAGGCCTTATGAGTATGGCCTACTAACACCT TGATGACGTTGAGGTCACAATTTTGCCTGGTTGCTCA CACTTTCGTACTAGAGCAACCAACGGTTCTAAACAACCGGGAA AAAGAAGAACAGAAGAAGCCAGGCATAACGAGCAGAAC GAGAGTTTATCATTTGTTATGAGACTGGTAGCGAGAGGTT TAGAGCTTGATCGAAAGTTAGTTAGTTCTGTTATGGAA ATAAGGCTTGATTATTTCTGTATGGGTGG	AAG	S	15,81	150	TGTCCACACTTGCGT CACT	60,4	GCTCTAACCTCTC GCTACCA	58,8	50	52,4	
400	BrPe3251	Maracuja_NoIndex_L	3	713	724	12	4	9	TGGGTATCGGATGGATGTTGAGCTAGAAAAATGCCAAAC ATGCCCTCTCGAGAAAAGTTGGTATGGTACTGTCAGTACCAATTTC CGATGCTCCATACCGACTTCAACGGTACGACATTACACACCTATT ATCTGTCATTATCATCATCAGCCCCATCCAGTAGTTCTGATAAAAG CATTAATTACTACGGACTGTAATTACACCGCTGTTGGCACCATA CATACATACGAGCTTGGTAAGTGGCATAAAACTCATAAAATCAA A	TCA	S	17,12	150	CTGTACCATTATTTT CCGATGC	59,8	GGCAACAGCGTGT AATTA	58,3	39,1	47,4	

G: genoma funcional

S: genoma estructural

P: polimórfico

M: monomórfico

APÉNDICE

Marcadores microssatélites desenhados a partir do sequenciamento parcial e da montagem *de novo* do genoma de *P. edulis*

Nº	Primer	Contig	Motivo	Inicio	Fim	pb	Nº Repet	Score	Sequência do contig	Unidade	G/S	Cobertura	pb	Sequência Forward	T °C Fwd	Sequência Reverse	T °C Rev	% GC Fwd	% GC Rev	P/M
401	BrPe3252	Maracuja_NoIndex_L	3	786	800	15	5	12	GTCGATCGGGAGGTGTTCTGTGTTGGGATTGGTCGGTGGGTTTT CGAAATCTTGGTTAGTGGGGTTAAGGTTTCCCGAAGAGAATA ATGATGTTGACTTGACGTTGGGTGAAAGTACTATGGAAGTAGT GGTACAATCCAACAACAACAACAAGAACAGAACTACAACATGAA AACTTCACGAAGACAAGACCGATAACGCCTGTAGGAACGTCAACAT GTGATTACATTGGTCGGAAGCTCAAGGTTCTTCTCTGCTC CTTATGTTCAAATTGCAAAGTGTAGTTAGTTT	CAA	G	15,83	210	GGGAGGTGTTCTGT GTTGG	60,4	ACAGGCCTTATCGG TCTTGT	59,6	55	50	
402	BrPe3253	Maracuja_NoIndex_L	3	223	234	12	4	9	ATAATTACAATTGCTCCTCGAACAGCAATTCCATGCCTCGCTTCAA TCTCGACAGCTCTCTCAACTTGGGAACGGTCTCATCAATCCC TTAAAATAATCTATATGTATTAGCTCATTATGCTACAGTATTA GAGCTTATTCTCTTCAACTACGTTTCCAGTTAACCTTT TCAAAACACTAAGGGCTCAAATTCAAGCCCTCCTGAATGTAATCCT CTCAAAACCCCTTGTCAATTAGCATGGAACTCACAGATGTTGAATGAT TCCTAAATCAGACGCTACCTTGGGAAT	TTC	G	16,05	159	CTTGGGAACGGTCT CATTC	59,5	TTCAAGGAGGGCTG AATTG	60,2	50	45	
403	BrPe3254	Maracuja_NoIndex_L	3	243	254	12	4	9	TGACACTGTACTAACGACTTACAGAGTCGTTTGATTAACAGGGAC TTTACTATTTACTATATTACGCTGATAACTCTGAGAAATTTC TGCCTCGGCCACATTGACAGCACCTGAACGGCCACCTGATCTGCC ATGAAACTTCTCTTCTCGAGCAATTCCCTCAGCAATTCTTA TTGGTTCTCTCACTCTCACCTGCTCCAAAACAGGGTGCCTGGC GTAGGTGAATTCTCATCTGTCGAGGACGATCACGGCGCCAAA CAAGGTTGCTGGGTAGGTGAACCTTA	TTC	G	13,37	163	GCCCCACATTAGACA CCTG	60,1	GTGCCTCGACAGAA TGAGAA	59	57,9	50	
404	BrPe3255	Maracuja_NoIndex_L	3	371	382	12	4	9	CTCTGCTACTTCAGATTCACTGGGAGCAGTGGGTCTGTAGGACAT GATCAACAAGGATACTTATCCTCAACTCTCTAAGTAGTGTCA ATGTCAAAATTGGTCAGACGCTTGGCTCTGTACTCTATTGCTGC CATATCATATGCTGCTGCTGCCCTCTTGTGTCTTAAAGGATTA AACAAACAAGACATAAAAGTAAGAATCTGATAAAAAGCTGAAG ATCTCATTAAGAAGGCAAAGCTTACAGTACAGAATAAACTAAAG CCATCGAATTAAACAATTAAGGCCAGAGTAG	TGC	G	12,63	169	CAGTGGAGCAGTTGG GTTCT	60,3	TCCTTAAAAGACAC ACAAGAGGA	58	55	39,1	
405	BrPe3256	Maracuja_NoIndex_L	3	692	703	12	4	9	GATGATGAAGAAGACAATGTTGAGCAATGGCATCAGTCATA AGGGCAGAAGGAACAGACGTTGGAGGCTTGGAGTGAAGATTTCC AACAGAAGTTCAGAACAGGAGAAGCAGGAGGAGGTTATGGAATGTGA TAAACCAAAGACTAGGAGGAGGAGGAGGAGGAGGCTAA GAACAGTGTGAAGAAGTGAAGAGGATGATTTGATGGAATAAA AGCTTCAATGAGGAACATAATGGACTATGCGATCAGAAAATGGAAG CGTCCTCATCTCTTACAGAACACGGGCATGATGGT	AGG	G	15,45	181	TGGAATGTGATAAAC CAAAGACT	57,7	TCATGCCGTGTTCT GTAAA	60,1	34,8	45	

G: genoma funcional

S: genoma estructural

P: polimórfico

M: monomórfico

APÉNDICE

Marcadores microssatélites desenhados a partir do sequenciamento parcial e da montagem *de novo* do genoma de *P. edulis*

Nº	Primer	Contig	Motivo	Inicio	Fim	pb	Nº Repet	Score	Sequência do contig	Unidade	G/S	Cobertura	pb	Sequência Forward	T °C Fwd	Sequência Reverse	T °C Rev	% GC Fwd	% GC Rev	P/M
406	BrPe3257	Maracuja_NoIndex_L	3	447	458	12	4	9	TTTCATCCGTTCAAGTAGAAAAACAAAGACTCACCGGTACAGCGA GTTCGCTGGCAAAGAAAAGAATCAGAGAAAAGTGCTTGAGTTGAATT AAGATCATCGTCACTTGTCCCTGAGACGACCCAGGGAGAGAGTCT TTCTCTAGTTCCTCTTCTCTATGGTTATCTGCTCTTGAACA AGGTTTCCTTAAGTTCACCATTAGAGAAATCGAAAAAGCAATCAA CAGAGAAGTCTCACTCGAACAAACCCATTAGATGCTGCGGAA ACACCAGATATCCTCGCTGTTATCTGTTGGTC	TCT	G	11,43	156	AGACGACCCAGGGAG AGAGT	60,3	GCAGCATCTAATGG GGTTGT	60	60	50	
407	BrPe3258	Maracuja_NoIndex_L	3	554	568	15	5	12	GTTGCTACGTTACTTAGAATCTAGGTGATGAATAATTAAATCCAG ACACATATTATAATCATAAATAATTGTTAAAATAAAAGTCTTA CGTTGATTTCAGCTACAGATTAGACTCGAGAGATGAAGTCAAACAA ATGTGGGTATGGTGGGTGGCATTCTTAGCAAAGAGATAAT CCCCTCTTAATCAATCATCTAAAATTCTAACCCATCTCCTGATT CATCGATAACAACTAACAGACAGGAGCATTAAAGAAATCGGAA AATCCAACATGTACGTGGGATAATAGCGACACAA	TGG	G	14,48	172	TCGAGAGATGAAGTC AAACAATG	59,4	CATGTTGGATTTC CGATT	58,8	39,1	33,3	
408	BrPe3259	Maracuja_NoIndex_L	3	802	813	12	4	9	AGACTGAGAGACTGCATCGAACAGGTAACCAAGTTACGCTGGAGT CTCACGTTAATGGAACCTCTAGGATTGCGATTACGTCCTCAAAGGAC TTCTGCTCAACCTCATCAAACCCGATCCGGACGCCGTTCTGCC CCTTCCTGAGACCACCCACCTCCACAACCGGTACATCCCTTTA AGTTTAACCAATTCACTGGTATTCTGTCGGCTCTCATG TTTATGAAATTACTCCGGCAGATTGTTGTCGGAGTCCGGAGATA TCCTTGTACAAGCGTTATCTCTGCTAT	ACC	G	12,49	250	ACCAAGTTACGCTG GAGTC	60,3	CGGAACCTCCGACAA AACAAAT	60	55	45	
409	BrPe3260	Maracuja_NoIndex_L	3	892	903	12	4	9	CTGTCTCGTTCTCGTCTCTTGTACACAAAGACCGATGAGGGACCT TTCCAAAGTTGCTAAATTGAGGCTAAAGAAAACACAGCTCTCAT AACATGGTCGCTCGATCGCTTGAGGGTTAGGAGCTTAAATAA TTATAAAATATATTATTATGCTTTAAATAGTCAGATAATTTTT TACAAACGACTCTATTATACATTTACCTAAATAAGATAAAAAG AACTGAGACGTGTGAAAATAATAAAAGAATTAGAGAAATA TATAAAGAAGTTGACTATGAAACATCATGG	TAT	S	15,81	224	AAGACCGATGAGGGA CCTTT	59,9	TTTCACACGCTCA GTTCTTT	58,1	50	34,8	
410	BrPe3261	Maracuja_NoIndex_L	3	909	923	15	5	12	TCCACATAAAGATTTCACATCATGAACAAACAGAGAAATGATTGGTT CTGTTTCTGCTTCTGTTCTCCTTCTCACCTGAGTCAGTCAGAATCAGA GCTTCGTATTAGGTCTATCACTTTTGTCGAGAAGACAAACAA TAGTAGAGAAAGAAGAAGAAGGCAAATCTCTGCAAGTGACAG GATATGCCCACCTCTGACTCCCTCCACTCGCTTTATAAGCTCA TAAAGAAAACGGAGTCGCCAACCTTCCAATACGTGACCCGAGTAA CCCAGTTGAAAGGGAAAGAAAAAGCTGCGAAGA	AAG	G	15,95	151	TGTCTCTGTTCCCT TCTCACC	59,8	TCAAGGAGTGGCAC ATATCC	58,5	43,5	50	

G: genoma funcional

S: genoma estructural

P: polimórfico

M: monomórfico

APÉNDICE

Marcadores microssatélites desenhados a partir do sequenciamento parcial e da montagem *de novo* do genoma de *P. edulis*

Nº	Primer	Contig	Motivo	Inicio	Fim	pb	Nº Repet	Score	Sequência do contig	Unidade	G/S	Cobertura	pb	Sequência Forward	T °C Fwd	Sequência Reverse	T °C Rev	% GC Fwd	% GC Rev	P/M
411	BrPe3262	Maracuja_NoIndex_L	3	3575	3586	12	4	9	TGTGACTCTCTCAGGCAGGCCGGTTATGAGATGGAGGGAGAGTTG CAGCCAGCAAGTGTTCCTTGAGTTACTACTGTGAAAGCGTGAC TGATGTCTTGAATGGAACCTGTGGGGTGGCAGAGAGAAGGGTG AGGTTGCTGTGATGATGAGTCAGAACACATTCCACTGCTGA TGTGGATATGCAATTCCAGGAAGAGATGGAGCATCTGGCAGCT CAACAGGCTGGTACAGCATTCTGATGGGCATTGCAATGTTCAA CTAAACAAGGATGTCCTGTCAGAGAGTTGGC	TGA	G	18,54	167	TGGAAAGCGTGACTG ATGTC	59,8	TGTACCAAGCCTGTT GAGCTG	60	50	55	
412	BrPe3263	Maracuja_NoIndex_L	3	2756	2767	12	4	9	CCGCAGAGAGAAAGCGCAGACGGGCATGTCGAGTTCAACAAGGA AATTGATGATGTCATAAGAGCGCAGTTACGGCGGTGCAAAGAGT TTGAGTGTGGATGATGAAACAGGAGGGAAATAGGAATATG GCCATACTGGTGTGAAGAAGAATACCGGTGATGGAGGCAACTC CCGGATGGATTGTCAAAGTATAGTAAGAAGAACGATGATTAGAA AATGAAGTGGAGATACGATAAACGCCAGGAAGGGAAAGTACAGGTAAT GGATTGGTGG	GAA	G	14,16	155	GATGGAAACGAGGAG GGAAT	60,3	CCCTTCCTGGCTTA TCGTA	59,2	50	50	
413	BrPe3264	Maracuja_NoIndex_L	3	736	747	12	4	9	AGGAAGAGGGGCTGAGCAGGGCGCAAAGAATCTGAGGGAGATTG AAAGCAGAGCTGCATTAGGAAGTATGATGTGAAGGTAAACAAAAA GAGTACCGTTGAAGGAATGGAAGATAGGAATGATTAGAGTGGAT TAGGCATGAGCTTGAGAAGAAGAGTGTGATTGGGAATGAAGCA GAGTTGGATGGAAGACTGAAGAGTCATTCTAGTGAGAAAAGGT AACGGTTAGTTCTGAAATGATGTCGAATATAGTGAGGCTAGTG TTTAAAGAATAGTGAATATTGTTCTATCTTCAATT	AGA	G	16,46	176	CGCAAAGAACATGAG GGAGA	60,5	TCTTCCCACATCCA CTGCT	59,8	50	50	
414	BrPe3265	Maracuja_NoIndex_L	3	1138	1152	15	5	12	GTCTGAATACATCAACATAAAACTCAAGTCACACCATAAGTC ACCTGTCAACTCTCACTATGAGTCATACATCACACATATCATGACCC ATCACTGGAACTCACAAGGCTAGGGAGCAGCTCATCTTCGG ATGAGTCTCTCATCATCATCATCACTGCTGCTCAACCGTATCT GTCGGGCATCTCAAAGGCTCTGCTCTCAAAGGTGGGGAGGTCTAG ACTGATGTGATGGTCTGCTTCTCATGAGCATAATGCTTAACCTGG TATATCTAGGGAATCCAAACAAACAGCTATCC	TCA	G	26,09	153	ACTCACAAGGCTAGG GAGCA	60,0	AGAAGGCAGGACCA TCACAT	59,5	55	50	
415	BrPe3266	Maracuja_NoIndex_L	3	920	931	12	4	9	GTCCAAATCAATGTCGGATACATGACGGCATATATAA TGAAATATGAATGATTAGCCAACAAATTGACAAAAACACTGGC TTCTTGTGACGAAAGAGGTAAACTACACTCTTCTTCTTGA GGATGCCTTGAGCAGCAGCACGTTCTCTGCAGCTTCTTCT CCTCGTTCTCACCACACAGGTCCACATCATCGTGTGCGTCA TCAACAGCAGCCTGAAACCAACATTGTTACAATCAGCCACAAG CAATTATCAAATGAACATACAAACAGACGTC	GCA	G	16,92	153	GCCAACAAATTGACA AAAACAC	59,4	TGATGTGGACCTGT TTGGTG	60,4	36,4	50	

G: genoma funcional

S: genoma estructural

P: polimórfico

M: monomórfico

APÉNDICE

Marcadores microssatélites desenhados a partir do sequenciamento parcial e da montagem *de novo* do genoma de *P. edulis*

Nº	Primer	Contig	Motivo	Inicio	Fim	pb	Nº Repet	Score	Sequência do contig	Unidade	G/S	Cobertura	pb	Sequência Forward	T °C Fwd	Sequência Reverse	T °C Rev	% GC Fwd	% GC Rev	P/M
416	BrPe3267	Maracuja_NoIndex_L	3	1103	1114	12	4	9	GCTAAAGCGTCCGTAGGCATTTGTAAGATCAAAGATTCTGTGCG GTTGCTTAGTTCTTCATCAACTTGAGAAATCCAGGTCTCAA TTCTCTATTGCAAATTCCTACACTCTCTATCCCCACTTTCTTC CTGACTCCACCACCAGCTTGGTGTAGCTCAAATATCTCTGC TCGATCTAATGGACCCCTCAAGCCTGACCAGACCCCTCCAAAC TCACTCTACAATCCCTCCCTCACTGTGAAGCTCACAACTTTAGCA ATCTCATCCAATTGGATAATAATTTCG	CCA	G	15,71	206	CCAAAGATTCTGTGTC GGTTG	60,5	GTITGGAAAGGGTCT GGTCAA	59,9	50	50	
417	BrPe3268	Maracuja_NoIndex_L	3	260	271	12	4	9	AAAGTTCTTAAAGTGGAAACTCTGCTCCATAAGTATGGACCTTA CCTTGGGCTGTCAATTGCTGTGAAGGAAGTCATACACTTACTGT AAGGGAAAGAACCGCAATGAGCTGGGAGGCTGCAGCAA TTGCTGCTGTGCAGCAGCAGCATTGACCAGAGTAGTCCCTGACAG CGCTCAAATTGTCGAGTTACTCGGAGGACCATCAAGGGCAGCAC CATCAGCGACTCTCCGTGAAGAAACTTGCAGTAGTAGTGTCA TTGCTGAGCTTGTGCGAGAATATAAGCAAGGC	GCA	G	7,44	153	GACCTTACCTGGGC TGTCA	60,1	TTGAGCGCTGTCAG GAACTA	59,7	55	50	
418	BrPe3269	Maracuja_NoIndex_L	3	250	261	12	4	9	TGATAAGTTGGTTGAATTAAACACTCCCCATCAAACCAACTTT TCATTCCAGCTTATTGAGCATGTAAGAATCTGCTTTAGTGG CTTGAAAGATATGCGCAATTGATCTGTACGGCAATAGAGTA ATTCCACTTCTCTTCACTTGTACGAATGAACTGATACTT TATCGATGTGTTGCGCTATGAGACACTGGATTGGCGAGT GAGATAGAAGACTATTATGACATATTTGTAATTGGCCCTTCTG TGTAAAAGATAATTCTCTAGAATATT	TTC	G	17,41	185	CACTCCCCATCAAAC CAAAC	60,2	CGCAGCAAACACAT CGATAC	60,3	50	50	
419	BrPe3270	Maracuja_NoIndex_L	3	243	254	12	4	9	CAATACATCTGACTATGCAAAGCATGGTCCATCATCACTCGTCC TTTCGAGTTGCTTGTGCGATGCATCTACCTAAATTCTGACT TGAACATTGATTCAAACCATGTCCTCATGTAACTTACCAATC AGAGTGATCTCTCTGCGCATCCATAATGAGTATCCAATT ACCGATCCCGCATATCGAGTTGATTAATAATTACTCA CAACTTCAATTGAACTCTCATGCCAA	TCT	S	274,56	179	GGTCATCATCACTC GTCCT	59,9	GATATGCGGAATC GGTAAA	59,8	55	45	
420	BrPe3271	Maracuja_NoIndex_L	3	986	1006	21	7	18	TATCACAAAAAGGAGCTGAGTGATTCTTAGAGAACTGGGATA TTCATCCGGACAATGAGTTGCCAGGATGATCAGAAAGGTTGATG TCAACGGGATGGCTCGTGGACGTTGATGAGTTGGTATCCTGTAC CAGTCATCATGGAGGAGGAGGAGGAGGAGGAGGAGGAAGGGGAC ATGAAGGGCTTTAATGTTGATCGAAATGGTATGGGTACAT CACGGTTGACGAGCTAAGTGTGTTGGCCTACTTGGCTCAAGC AAGGCAGGACTCTGAGGATTGCAAGAGGATGATCCAAGGT	GGA	G	013	236	GACAATGAGTTGCC AGGAT	59,9	GAAGTCCTGCCCTG CTTGAG	60,1	50	55	

G: genoma funcional

S: genoma estructural

P: polimórfico

M: monomórfico

APÉNDICE

Marcadores microssatélites desenhados a partir do sequenciamento parcial e da montagem *de novo* do genoma de *P. edulis*

Nº	Primer	Contig	Motivo	Inicio	Fim	pb	Nº Repet	Score	Sequência do contig	Unidade	G/S	Cobertura	pb	Sequência Forward	T °C Fwd	Sequência Reverse	T °C Rev	% GC Fwd	% GC Rev	P/M
421	BrPe3272	Maracuja_NoIndex_L	3	402	413	12	4	9	TTCAGAATAAAACATTATACTAGTTGCAATAGGAATTCAAAAAAAT AAATTAGCACTGTAATTAAGAAAAATATTTTGATCGATTGAAAAAA AAAAACATGGAGGGAAAGGATTACGGTACGGGCTAAGTATTTTTA AACCTACCCAATCATCATCATCCACTATCTTGTGCGATGCTG TTTCACCTTTCTGTGGCTCTAACAACTTAGCTTCAGCCTTCAT TATCATTATAACAACGTGGATTACCTTTTTCTGTAGAGTT TATAATGAAATAAAACTAAAAATAATGCC	ATC	S	15,72	110	CATGGAGGGAAAGGA TTTACG	60,7	AGAACCCACGAAAA GGTGAA	59,9	47,6	45	
422	BrPe3273	Maracuja_NoIndex_L	3	2155	2166	12	4	9	ATTGAATAGTTACCGAATGATGAATGAAACAACTAGGTGGTTTCA CCCTTTAGCAGTTCTCCTGCATGCTGTCTGTTCTCTGATCTAT TCGGTTAATGAATGGTTTGTATTATGATTTTATTTCTGTAT GCAGACCATTGTTGTTGCTGTGTCATACGGGTTATACAGC TTGGTTCAATGAATAAGAATGAATATTCTCAACACATGGCGAA ATCATTCTAGITATAGATCTTGAACATAATTTTATAATGTTTC TACAGGATTGAGATAACTCTTTTAT	TTG	G	15,6	172	TCCTGCATGCTGTCTG TTTC	60,0	TCGCCATGTGTTGG AGAATA	60,1	50	45	
423	BrPe3274	Maracuja_NoIndex_L	3	1410	1424	15	5	12	AATTGTAACGTGGAGATAAGTGTACTGCATTAATGAAAGA TATCGCACTTGAGAACTGCCTTCTCTTATCTGCAAGTCAGCAAG AGCTAATGTTGCCCCATCATTATTACAGGTACGAGATGAACCTGA ACAGCTACTGGATGATGATGATGATGATGGCTGATCTGTCAA GGAAGTTGGCTGGCTATGTCCTGGTAGTGGTCAGGTGGTGC AATTGGTTCTGCATCCCGACAATTGGTCAAAATTCTAGAGC AAGCAGAGCAAGTATTGAAACAGGTGAGGAGAT	GAT	G	15,84	156	CGCACTTGAGAACTG CCTTT	60,6	TAGCACCAGCCAAC TTCCTT	59,9	50	50	
424	BrPe3275	Maracuja_NoIndex_L	3	485	499	15	5	12	ATACCATTCTAGATGGAAAAAAAAAGGATATTGAATTTTAAA ACAATAAAAATTTAACCTAAAGAAGATATTGAATCTATATA TATGAAAGCAAGTAAAGACAATAAGAAACTAATAATTGACCTCTA TTAACAAATGTTAAGAAGAAGAAGTAGAAGGGAAAAACCAA ATAAGACAAAAGGATGGAATGAACATAATTACTGAGCTTACTT TCTAAATTGGCATGATTGGGATCGTCAAAGTTATTATTTGGG TATGATTTGCTGACTGAAATTACTTGTGGGTATGAGA	AAG	S	17,84	158	GAAAGCAAGTAAAGC AATAAGAAC	57,2	TCCCAAATCATGCC AATTTT	60,1	32	35	
425	BrPe3276	Maracuja_NoIndex_L	3	179	190	9	3	6	CGCTTCGCTTCAGAAATCTTCCACCATCGACGACGTGGCGATG ATAAGGAGTTGACGACTCCATCTCAGTCGTCGTTCTCTCCAAA ATTAGCTCAAATTCTCGCTACACATCGGACTCGTAGCAGCCAA ACGCTGGAGATCATCATCTCCGATTCTCACAGCATTCTTT TACCCCTAGTGAATTAGGAGAAAGCCACTTGGC	ATC	G	6,54	184	TGGCGGATGATAAGG AGTTC	60,0	GCCAAGTGGCTTC TCCTAA	59,5	50	50	

G: genoma funcional

S: genoma estructural

P: polimórfico

M: monomórfico

APÉNDICE

Marcadores microssatélites desenhados a partir do sequenciamento parcial e da montagem *de novo* do genoma de *P. edulis*

Nº	Primer	Contig	Motivo	Inicio	Fim	pb	Nº Repet	Score	Sequência do contig	Unidade	G/S	Cobertura	pb	Sequência Forward	T °C Fwd	Sequência Reverse	T °C Rev	% GC Fwd	% GC Rev	P/M
426	BrPe3277	Maracuja_NoIndex_L	3	3547	3558	12	4	9	GTTTTGTCTCACTTGACTGAAGTTTCATTATTCCTTGCATA AGTCACCAACATCCAAAAACAAACCCATTATTGCGAGTA TATATCAGATGCTAACCTTTCTGAGCTGTGATCTCACGCG TACAACACCTCTCTCTACTGCTTATTAGGCCTTAGCT GGCACATCCCATTCTCTTCCCCGCCCTTGTGCTCATATTCC AGCTTCCGTGGTGTGAGATGGGAGGAGCCATCGAGAACCG CTTGGTCTGCTGCTTGCTGAT	CCT	G	16,26	164	TCACCACCAACATCT CCAAA	59,9	GGGAAGAGAATGG GATGTG	59,3	45	50	
		003_R1_00																		
		1_contig_6																		
		0467																		
427	BrPe3278	Maracuja_NoIndex_L	3	2975	2986	12	4	9	ATGAGCTCTGGAGGGTAAGTGAATTATTGTTCAAGCTAGA TGAAGCAGCACAGATTCTGGAAACAACTCAAAGGACCGAGAT GATGATGACGGCTATTGCAATGTCAGCAACTCCACATGT ACTGATCTCATCTCTCTGCTACTGTAATCGGGGA ATGCTCAATGCTTGGAAAGGTGGAAACCCATTATCTC CCTGGATGAGCAGAAGGTGGTATAGGGCAAGTTGGTAATTAT GAGTTATCAGATGATAAGGCTGTCACCATATA	TCT	G	16,27	189	AACAAGGACCCGAGA TGATG	59,9	TGGCCTCATAGACC ACCTTC	60,1	50	55	
		003_R1_00																		
		1_contig_6																		
		0587																		
428	BrPe3279	Maracuja_NoIndex_L	3	794	805	12	4	9	GCTGGACATCAGAACACCAATTAGTGGTCGTTCTCTGTG TTCTTGTCTAACAGTCGCTCAGGTTCTGATTAAGATCACTGAT TTGAAGGAAGCATCCATCTCAGCTTCTGATCTCAAACCTGATGCA CTTTTCATACAAACACAAATTCAATCATCTTGCTGAAACTT TGGAAACTGCTGTTCTGAGTGTAGATTGGCAATAAACTTCA CCGGTTGCTTCCCTCGCTCTAGCAAATATGAGAGGGACCTTAAT GAGATGATACTCATGAAACATGGACTCAA	CAA	G	24,65	165	GGTCGTTCTCTCTG TTGT	059	TCAAAGTTTCAG GCAAGG	60,2	50	45	
		003_R1_00																		
		1_contig_6																		
		0772																		
429	BrPe3280	Maracuja_NoIndex_L	3	1466	1477	12	4	9	AAGGAAAATCTGTAAGGAAACAAAGGAATCTGAGGACCAGCCT CGTGGAGATGCGAAATGGGGCAGATGAAGCTGCTGAAAAAGAA AAGGCAGAAGATTCTCTGCTGATGTGAAAGAGCGTTGAAGA AGCTTGTCTGCAAAGAAGAAGTCAGTAAAGAAATGGATGC AGCTGCCGGCTGCTGCTAGCGAGGAGCTGCAAGAACGCAAAG CTTGTGCTGCAAAGAAAAAGAGAAAATCACTACAAATCAGCAGC CTGTTGGTAAAGCTGGCAAATCAAGAGTTTTTC	AAG	G	16,02	169	AAACAAAGGAATCTG AGGACCA	60,0	GCAGCTGCATCCAT TTCTTT	60,4	40,9	45	
		003_R1_00																		
		1_contig_6																		
		1121																		
430	BrPe3281	Maracuja_NoIndex_L	3	728	739	12	4	9	TTGTTTTGTATTCAAAGGGTGTATCGCAGCGGAAATCCGGTCC CAGAAGGGTACTTCAGGAGAACCTCGAGAGCAATCAAGACCGAGCC TGATGAAGGATCGATTGGACTCTCACGGCGAGTGTAAACGGCG TAGGATAAGAACTGCTGCTGCTGCAATGCTATTACTGAAATTAAA CTACAATCTGGCTTCGAAATTTCATCCAACAAAGAAAGAAATTG ACATGACGGAGGAGGGTATTCTGGCCAAGGATATCAGAAGGAT TTCTCAGCCGTTGGAGGGCTAAAGAGTCTG	CTG	G	10,72	171	CGGTCCCAGAAGGGT ACTTT	60,4	GAAAATTTCGAAAG CCCAGA	59,3	55	40	
		003_R1_00																		
		1_contig_6																		
		1213																		

G: genoma funcional

S: genoma estructural

P: polimórfico

M: monomórfico

APÉNDICE

Marcadores microssatélites desenhados a partir do sequenciamento parcial e da montagem *de novo* do genoma de *P. edulis*

Nº	Primer	Contig	Motivo	Inicio	Fim	pb	Nº Repet	Score	Sequência do contig	Unidade	G/S	Cobertura	pb	Sequência Forward	T °C Fwd	Sequência Reverse	T °C Rev	% GC Fwd	% GC Rev	P/M
431	BrPe3282	Maracuja_NoIndex_L	3	3959	3970	12	4	9	AAGGGAACGATAGTGCTTACGATCATTATCAACAAGAGGCCTTAT GCTCGTAGTGCACTGCAATGGCATTACTGACCAAATTATTTCA TTTTAGCAACAAAAACTCACCTCCACCACATGAAACATATCCC ATTGCTCAACTGCTGCTGGAATTAGATAAGATGCCAAGCTCC TGTGAACACAAGAAATTGGCAAATTACTGACATTAATCTCCCTCA AGACATATAAATTGCCATATGTAGATAAGAATTGAATGGAAA CTAAAACATACCATGTATGTGACATTACAAC	CTG	G	22,11	161	CGCTAGTGCACTGTC AATGG	60,5	TTTCCAATTCTTG TGTTCA	59,2	55	33,3	
432	BrPe3283	Maracuja_NoIndex_L	3	2563	2574	12	4	9	TTGCTCTAGACCCGATCTGTGACATCTGCAACATGGGAAATGCAT CACTTAAACATAGAAGGCATACATAAAACAGTTCAGAGGTA GACAACAGCAAAGGCCAAGCAAACACGACGTTGGCTGTAGTT AGTATAATCAGCCCACCCACCAAAACAGACGTGCTAAATTGGTG GTTCTCGAATCAGTTGTAGGAGGAAAAATAAATCCAAATTGAG GAATCCCCAAATTAAACAGTAGACTCTCATATTTGCTGAAACAA TTTGACAAAACAAAGACAAAAAAACTCTCCGAT	CCA	S	14,14	214	TCTCTGCAACATGGG AAATG	59,6	GGGGATTCCCTCAAT TTGGAT	60	45	45	
433	BrPe3284	Maracuja_NoIndex_L	3	2584	2595	12	4	9	TGGTTGACTCTGGTTCTTAATATTGACGAAACTATTATTCCTGT TCATACTTCCAATTAAATTGACCTGGGGAGAACCGAGGCTGG TAGTACTAGAGTAGGTGAAAGCATGATTGAGATCCATTATGAT GATCTTGTAAATAATAATGGTACAGGTGTTCAAACCTCTTCA AAATTCTCACACATAAGTGTGAGCACCTTAAGCGATGGGATAA TTCAGTTAAACATATTAACTTAAGATATGTGCCCGTTTT GTAAAAGAACCTGGGTTAGAATCAGTGTAGT	AAT	G	14,59	220	TGACCTGGGAGGAAG AACC	60,0	TTTACAAAACGGG GCACAT	60,2	57,9	40	
434	BrPe3285	Maracuja_NoIndex_L	3	1680	1691	12	4	9	GTACACCAGCCATGTCGAATAACTAGGCAGGACTTGCCATCTCC AAGGAATTACTCCTGAAACATTCCCTCAAGGCTTGAAGATTGATCC CTTTTCATGATTGCAAGAGTACAAAAGCTACTTTCTCCCAAAGAAC TTGCAGCTTTCTCTCTCGCTGTCAAAATGTGTCAGCTTG TTAGGAGAGTCATAAATGGAAATCTTAACTCTAAACACA AAAATTGCAAACCTTGTGAACTATTCTGATTCTTGT CTTCTGCTTCATTAAGCATTGTAGT	TTC	G	14,52	162	TAGGCAGGACTTTGC CATCT	59,8	AAGCTTGGACACAT TTTGACG	60,2	50	42,9	
435	BrPe3286	Maracuja_NoIndex_L	3	284	298	15	5	12	GCAAGAGGATCCTATGAAAGGACTCTGAGAAGGCTGAGATGTAC GGTTGATAAGCAGAACCCGAGGTTACACAGTCGAGAGGCTGC GAAGGACTATAGGATTATGAGGCAAAGGGTGCACGCCATTCTTGG CTGAAGGAGCTGAGGAGGAGGAGAAAAGCTTGGTCATCCCT TGGACGATTCTGTTGAGCTTGTGACACCTTCCCTGAGTAAGAA CTTAATTAGTGTGATCTGCTCTGTTGAGATTTC AGTAGTGTGATTATCTGCTCTGTTGAGATTTC	GAG	G	14,05	156	GCAGAATCCCGAGGT TTACA	60,1	TCGAGCAAGAGCTC AACAGA	60	50	50	

G: genoma funcional

S: genoma estructural

P: polimórfico

M: monomórfico

APÉNDICE

Marcadores microssatélites desenhados a partir do sequenciamento parcial e da montagem *de novo* do genoma de *P. edulis*

Nº	Primer	Contig	Motivo	Inicio	Fim	pb	Nº Repet	Score	Sequência do contig	Unidade	G/S	Cobertura	pb	Sequência Forward	T °C Fwd	Sequência Reverse	T °C Rev	% GC Fwd	% GC Rev	P/M
436	BrPe3287	Maracuja_NoIndex_L	3	1961	1972	12	4	9	GTGTGAAAGAGGACTAATTAAGAGGAGGTCAAGGAGGATAAAATAA GAGCAATCAAAAACCTGAAATCTTCTCAAGTCTACTGAGTTCAA CTGCTTCTGAATATCCAATTTCACGAAAGATGCCAACAGCAATC ACTAAAGAGTGTGCTGCTGCAATTGCATCAATTGCTGTCAGCTC ACAGTCACTGGTTCTTAAGAAGATCTCCATTGCTTAACCAAGC CTTCCTCTGCATGCCAAAGATACTTGAGTACACAACAGGCTTG AAGCCAAATTCTGATTTAACCCAGTCAAGTAA	TGC	G	16,65	152	CTGAGTTCAACTGCTT CCTGA	58,2	GGCTTGGTTAAAGC AATGGA	60,1	47,6	45	
437	BrPe3288	Maracuja_NoIndex_L	3	3095	3106	12	4	9	TCTTGGCCTCTTGAGCCCCAAATCTTCATCTTTTTGTTCTTCT CTATCTGACGCTAGTGTCTCATGGCTTCTGCGCCATCTTCAGA GCTTTTGTATCTCTCAAGTTTATTGATGACCTATAGCGCTG CTGTTGGTGGTGGAGGTGATGGCTCTTCGCGGAGGTAA CAGGGATTTAGAGAAAATTCTGTTGCAATCTAGAATGCTGAA GACTTTAGAATTAAAGTCTCTGAACAACCATAAGATTCTCAGACA TATCTGAGTCAACATCTTGTGATGAG	TGG	G	21,27	154	TTCTGCGCCATCTTC GAG	60,2	CATTCTAGATTGCC AACACGA	58,8	52,6	42,9	
438	BrPe3289	Maracuja_NoIndex_L	3	151	162	12	4	9	AGCTACCCATGATGAGATGTCATCAGCTGAGCATCAGTAGAGAG AGGTCAAGGAAAGTTACACTCAGATGCCATTGAAACCAGTACAAG GATCAGTACGAGAACCAACAGTTGAGTTGTTCTGTGAGCTAGTAGT GCCGCCAATGTACCAACCACCTCGGAAGCCTATGAGATGTT CTAGCAATCTGGACTACTATGCAAGGTGCAATGAGATTGGCACAG CACAGCAACACCTAAAAAACACCTGTAGCATGACTACGCCAAC CTAA	ACC	G	105,53	184	ACCTCAGATGCCGAT TGAAC	60,1	TTTGAGGTTGCTGG TGCTT	60,8	50	45	
439	BrPe3290	Maracuja_NoIndex_L	3	1359	1370	12	4	9	TTCCTCAACAACTGCATGAACAGCGGGTGGTGAAGTACATCACA GGAATTACAAATCTCTGCTCCCTCCCTGCCACCTGATCGC CAAACACCTTGGTACATCTCTGGCTGCTCTGGTTCCATG GTGTTGATTATGATGATGATGCAATGAGCAACAGTGTAGATGG AAATTCTCAGACTTTCTCTCACTACCCATAACTCGTCCAACAA ACAAAGAGAAGGCAAGAACACGAAACAGAAAAACAGTTT TCGTC	ATG	G	15,19	209	AACAGCGGGTGGTT AAGTA	60,5	GCACGAGTTATGGG TAGTGGA	60	50	52,4	
440	BrPe3291	Maracuja_NoIndex_L	3	209	220	12	4	9	AAAAAAACAAGGAGGTGAAAGGCAAACACTTGGAAACACCACTGT CAACTTGTGATTCATGTTGTTGCTCATTAGCATGTGTC TTCTTCACTTGGAGGGTTTGCGAGGCTAGCTAGTCATGTGC TAACCATTCCATCATCATTAATTAGTAGTAATGACCATCCTTC AAACCTGCCTTGTGATCAAATCACCAGAAATGATTAACAACA CATGGGCTCCACACTAACACAGCAATTGATTGCTCTGAAAAT GTCATAACATTGCTGGATTGCTGCT	CAT	S	18,42	170	CTTGGAAAGGGATTT TGCAG	59,7	GGCAATGCTAATTG CTGGTT	60,1	45	45	

G: genoma funcional

S: genoma estructural

P: polimórfico

M: monomórfico

APÉNDICE

Marcadores microssatélites desenhados a partir do sequenciamento parcial e da montagem *de novo* do genoma de *P. edulis*

Nº	Primer	Contig	Motivo	Inicio	Fim	pb	Nº Repet	Score	Sequência do contig	Unidade	G/S	Cobertura	pb	Sequência Forward	T °C Fwd	Sequência Reverse	T °C Rev	% GC Fwd	% GC Rev	P/M
441	BrPe3292	Maracuja_NoIndex_L	3	3306	3320	15	5	12	TTATATACAGTTGAAATGGCTGTGAAGCCACAAACCGTACATAA CTCTCCCTACCCAACCTCCAACCTCCCACAAACACCACAAACCAATT TGCCAATTGGTAAGGGATTCCACTGCACCTCTATGTCATTCT TGCTTCATACTCTCTCTCTCTCTGTCATTGCGCCTAAA ATTAGAAAAGTTTAATATGAGGGAGTGGATATCTTAATGTTTTA AAAAGTACAGATTTTTAGAAAAGATTGTTTTTTCAAAAATT GTGATTATCTAGAGCTTTTTAATAAT	CTT	G	16,51	113	GGATTTCACACTGCAC CTTCT	59,1	TCCACTCCCTCAAT ATTAACAACTT	59,4	50	36	
442	BrPe3293	Maracuja_NoIndex_L	3	1706	1720	15	5	12	ATGTCTCTGCAAAGGGGATATTGAAAATATTGCTCAGCATAAGTT ACACACATGGGTGGCGCCAACAGTTGAACACGATAATCAACG CGTCATTAGGTGAACGAAGGCCGCTTCAGGAAAAGTGTGGTGT GACCGGGTGTGCACCACACCACATGTTCTCACAAGATGGAG GAACTAGGATTTAATGACTCACTCTTATGGTTGACAGAACCTA CGGTCGGGCACGGTGTGCACTTGGAAACCTGAATGGCTTCCCTGT CTCGGGATGAACAAGCGAAGATCAAGGCTCGTCAGG	CAC	G	16,52	188	CCAGGAAAAGTGTG GTGAT	60,0	GCCTTGATCTCGCT TGTTC	60	50	50	
443	BrPe3294	Maracuja_NoIndex_L	3	2700	2711	12	4	9	TCTATGATTTCATCCAGTTCAAGTAAACCTTAATAGTAACAGTAAC GTTTCTTAATTAGAACCAATTGAAGAAAAACAGTCTACTGGTG GAGACCTTAAACACACAGTTCATCGTGTCCAGTGTAGGGCC ACAGAAGGTTCTGAGTAGTAGTACTATCACCACTTTGAGGCTTAC TATTGACCTACCGACATTGAAATATATTAGAAATTAGATAG TAATGTGTTAAGCCTTATCTCTGAGATGGTTGAACCCCCA AGTCAAAGTCAAGGCCAACAGCAGCACTAGCA	GTA	S	14,72	162	CGTGTCCCAGTCTGT AGGG	60,6	GGGGTTCAAACCAT CTCAAG	59,4	60	50	
444	BrPe3295	Maracuja_NoIndex_L	3	782	793	12	4	9	GTATGCCTTGACGCCCTCTTATCTCTTATCTGTGACAG GTAGTATATTACCGTATTCTCTGTGTCCAAATAAGAAATCCACA TCGGATTCTGGTCATTGAACACGATATTGGAGAACACTAATG ATGGCGAGGAAGAAGAACGATGCTGTCAAAGGCCATAACTACT TTCTCATGAAAATAAGAACCTTGGCTGACTAACTGTACTCTAAC TAGCTTGTCTTAAATTGAGTGCTCAAATCCAGCAATAAAAAGC ATATCCAAGCTGGCCCGAACAGACCG	GAA	G	14,78	208	ATCCACATCCGATT TGGTC	59,7	CCAGCTGGGATAT GCTTTT	59,2	50	45	
445	BrPe3296	Maracuja_NoIndex_L	3	695	709	15	5	12	CCCATGAAAATTCTCAAACCTGAGAAGGAAAAGAACACTGAGAA AGAATTGAATTTACCGCTTTACTCTTCCTCGCTTGAGAGTCAT GCACTGTACTCTCTCACCTCACCCTTTATTGCCTTCTCCGCAT CACTTCACCTCTCTCTCTGTCAGGTCCTCTCTCAATG ACACGCCACTCAAATCCCTTGGCTCGAACAAAACCAATATGGA GACGTTTAGTACTTGAAACGTAACCTGTGACAACAATTAGGCAT AACGCCGTGATCTCAACGAGAAAGAAATTGA	CTT	G	15,32	167	TATTGCCTTCTTCG CATC	60,2	GGCGTTATGCCTGA ATTGTT	60	45	45	

G: genoma funcional

S: genoma estructural

P: polimórfico

M: monomórfico

APÉNDICE

Marcadores microssatélites desenhados a partir do sequenciamento parcial e da montagem *de novo* do genoma de *P. edulis*

Nº	Primer	Contig	Motivo	Inicio	Fim	pb	Nº Repet	Score	Sequência do contig	Unidade	G/S	Cobertura	pb	Sequência Forward	T °C Fwd	Sequência Reverse	T °C Rev	% GC Fwd	% GC Rev	P/M
446	BrPe3297	Maracuja_NoIndex_L	3	570	581	12	4	9	TTGTTTTGGTGGTATTCTGATCTTAACCTGTGGTGGGGTTTGAC GTAAGTAGTTAGGCCAGAGTTCGCTGCAAATTGCACTTGGCTGT GTACTTAAAGTTGATTCTGACTTGAGAGTTCGACGGAGAGTGAAA GGAGTTGTGTTGTTGTTGCGTGTGGGGAGGGTTCCAAGGT CAATTGTAAGTCTGCATCTCATAGCTTCAAGGACAGGGCTAAG AACCGTGTGATGATCTACAAGGGATGTTCTGGATCTGCAGTTGC ACGGAAAGAGAGCCGCAACATCGATGTTGCG	TGT	G	14,82	215	ACCTGTGGTGGGGTT TTGTA	60,1	CACGTTCTTAGCCC TGTCC	59,7	50	55	
447	BrPe3298	Maracuja_NoIndex_L	3	706	717	12	4	9	TGAAAAGTACATGATTTCACCTTTGTTCTTACCACTTGTCA ATATCATTATAATATTITCCATTGGATGAACCTTGATTTGGAAACC TTTGGGGAGTTGATTGATCATCCTCTTCTGGTATTGATAA TTGTTATCTCTTCTCATCATCCACCTGAGACATCCTCTTGG ACAATGCAGGTTAGTCTTACAAACAAATTGTAATTGCTC TCCCTAAGCTAGTTAAATTGAGCTAAACAAATTAGATGTAAT ACATTCTTGATTAAACAATTCAA	TTC	S	54,69	158	GGAACCTTTGGGA GTTGT	60,2	GCTTAGGGAGAGCA AATTACACA	59,8	50	43,5	
448	BrPe3299	Maracuja_NoIndex_L	3	477	488	12	4	9	GTTTGTGATGGGATGCCAGGCATATCTTTGTTGGACATGTA GTTCGTGTATTGGAGAACAGTTACCAAGAGATGAATTATAACATT GTGAGATTAGTATTTTATTAAAGTTAGTGAAGAACATCACT TATGGTACATGATGATGATGCTGCGAGGGAAAGTCCATGAA GAATCTGGTCATGTGCTGAAAGTTCATTAGACGGGTCATTGTC TGGTGATGAAACCGAGTTGCTGATAATTGATACCGATGGTCCCAA ACATCAGTCCTCGAACAGGTACATCTCAA	ATG	S	16,96	217	GGCATATCTTGTG GACGA	60,0	CCAGACAAATGAAC CCGTCT	60	42,9	50	
449	BrPe3300	Maracuja_NoIndex_L	3	186	197	12	4	9	GAAGCAGTATTGCCTCACTACACTGCGCAGGAGCAGTGGATGGAC CATTGGTACAAGTGGACCTGTTCAAAAGAGGAAGATGGAAT TTGATCCAGCGCATTATCAACGGGCAACGCATATTCAAGCG TCCTCGTTCTGATGATGAGGTGGCAGCATTTGATAAATGGC AATGATAGGATGATAACATAACTAACCTCGTAGGATAATCTGT GCATATAAGGGACGACCAAAATAGTAAGCAATCGATGAACCAAATA ATGCCACCAATGAGTGGAAATGGAAATACCCAAA	TGA	G	13,52	250	GGATGGACCATTG GTGAC	60,0	TTGGTGGCATTATTG GTTCA	59,8	50	40	
450	BrPe3301	Maracuja_NoIndex_L	3	227	238	12	4	9	GGAGCCCTGAGGCATAAAAGTGCAGCGTCAGGCTCTAGCGGCA GCTTCAGGTGAGAATAAGAACCTAACCAAACTTGTGTTCTGGTT TGGTGCTCTTATCTGACACCCAAGAACCCCCAGCTCTCATCCTCA CTCCCTGACTTCTCTTGATGATGAGTAGATGAGGTGAA GATGTTGGATGATGCCATTGCCCTGGATGCTCTGATAACTGGATCTT AGGCTCAGTCTCACCATTTGAGATAACACTAGCTAACAAAGAT ACAATATATATATATAGAGCAATCAA	CTT	G	15,75	178	AGTGCAGCGTCAG GCTCT	60,2	CATCCACATCTCA GCCTCA	59,8	55	50	

G: genoma funcional

S: genoma estructural

P: polimórfico

M: monomórfico

APÉNDICE

Marcadores microssatélites desenhados a partir do sequenciamento parcial e da montagem *de novo* do genoma de *P. edulis*

Nº	Primer	Contig	Motivo	Inicio	Fim	pb	Nº Repet	Score	Sequência do contig	Unidade	G/S	Cobertura	pb	Sequência Forward	T °C Fwd	Sequência Reverse	T °C Rev	% GC Fwd	% GC Rev	P/M
451	BrPe3302	Maracuja_NoIndex_L	3	1760	1771	12	4	9	AAGGAAGTGTCCGCAACCGTGC ^A AAAGTAGAAATCTTGTATTG GCTTCATTTCTCGATCAATTCTGCTTCACTAAATTGGTTATTGATC TCTCTTCGATCAGTTGATTAGCAAATCGCACAATGACCATGCCTC TTCTAGTTGTTCTCTTCTACCTACGGCTTGATCTAAGGCAGAGTC TGAATCTCTAATGGCAATTAGTCCCATTCTAGCCGACTGGAA AAAATGTTCTGTTGCTCTATGGAAACAATTCAGAACACTGAGTTT ATTGCTTTATGATTATAATTGCAATT	TTC	G	14,77	249	GCAACACGTGCCAAAGTAGA GTAGA	59,9	TCCCCATAGGAGCAA ACGAAC	60,1	50	50	
452	BrPe3303	Maracuja_NoIndex_L	3	1129	1143	15	5	12	GCTACATTCCACACCACATGCTCACAGCCCCACCTACAACCGGACA GCACAAGGCCAACTCATGGAGACGTGCAATTCTGATGGTTGTTG GGTCATGCATCACCCATTATGATTCAACCATCGTCAAAGTATTGA TTATTCCGTGATTATTATTATGGATAATAAGCAAGTAACCTA CGTGTAGATTATTCCCAATTATTCTAAAATGGCAGCAGA TCCAATTACCTCTCTAATTGTCATTGCTCCATAAGCTAACAGCT CATCCGTTACGCTACGCATGTGGGTGCTGATT	TAT	S	14,43	188	CTCACAGCCCCACCT ACAAC	60,6	TGGGAAATAAAATC TAACACGTAA	57	60	29,2	
453	BrPe3304	Maracuja_NoIndex_L	3	1750	1761	12	4	9	TAAACAAAGTGTGATTCACTCATTAGTGTGCTTAAATCGAACCG TGTGCTGTAGTGTCTCAGGTTATTGGTACTGTACGTATGTGAGCT GAAGAGCTATCAAGACATACCTGTTCTAGCATCTCATGCGATTG ATGATAGTGTCTCTCTCTGTTGAAATTCTCGTTAAAGATCA GGCCGCAAGTAATTATCCATCTCAGTCTGCAACTCTT	TCT	G	15,96	164	TAAATCGAACCGTG TGCTG	59,7	CTTGCAGCTGATC TTAAC	59,8	45	50	
454	BrPe3305	Maracuja_NoIndex_L	3	261	272	12	4	9	TCCTCCAAATTGACTCATCACAATCGACCTTCTCGCTTCTCAA CTTCATCTCTCCACTCGAATAGTCTTGTGAACTGGAG CTATCAGTCTCTGTCATCGCATTGAGTTCTGGCTTGCTTGGC TTTATCTCTCTCTCTTGCACACCAACAAGCCATTCTGTGCAT CATCCCACTTGAAGGAGTTGGCTCCCTAAGGCTGACGATGGCC AGAACGACTAGCAGCATTACTTTGAAACTCAAAGCTAACGGCG TTGCTACTCGAAATCTCTGAACTGGAC	CTC	G	15,11	162	CGACCTTCTCGCTTG TTCT	59,6	AGAAATGGCTTGT GGGTTG	60	50	45	
455	BrPe3306	Maracuja_NoIndex_L	3	252	266	15	5	12	AACTTAGACAGTTAAGGCCTGATGAAAAACCAAGAAAGTTCTATAA AGAATGATAGGGCCATAAGATGAGAAGGTGAGCAAGCCAATTAAAG GGAATCAATAACATGAAAGAGCTGAACCGATGGAATGAATGCA TTCCATGAATGTCGATGATGATGATGATCTGAAGGAAGTGAGAGC CTATGATGGCAGCTTGGACTGAATAAGAGTAAGCATCGAACAGCCAG GTAGATGATAAAGGATCGAGTGGTATCCGAGTGTGTTACCTG TGTTAAAGGTGGACTAACCAATTACAACAAAAGAATGAAAAA	GAT	S	24,67	219	GGCCTGATGAAAAAC CAAGA	60,1	TCTACCTGGCTTCG ATGCT	60	45	50	

G: genoma funcional

S: genoma estructural

P: polimórfico

M: monomórfico

APÉNDICE

Marcadores microssatélites desenhados a partir do sequenciamento parcial e da montagem *de novo* do genoma de *P. edulis*

Nº	Primer	Contig	Motivo	Inicio	Fim	pb	Nº Repet	Score	Sequência do contig	Unidade	G/S	Cobertura	pb	Sequência Forward	T °C Fwd	Sequência Reverse	T °C Rev	% GC Fwd	% GC Rev	P/M
456	BrPe3307	Maracuja_NoIndex_L	3	448	462	15	5	12	TGAATAGCCACATGAGGATGCAAAGATGACCATGTGGCCAAGTAT GGAATTCCAATGATATTGCTGCCCGTAATGGTAAATTCTTA TTGGTGAACAGAGGGAACTGAGCTGAAGCGTTGGAATCTAAAAG GAGATTGAACTAAGAAGAAGAAGCATAGTCCTATTGGCTC CTGGTCACCCCAAAGTGCTATCGATCGAACAGAGAACAGTGGATA AAAATGAGTCTCCGTGGAGCATACAAAGAAGAACAGTGGATAATG ATGGCCTCGAAAGTGTGTGGCCATGATTGTAAGAAG	AAG	S	27,44	237	TGCCCGTAAATGGT GTAAT	60,1	CATGCCACACAAC ACTTTC	60	45	50	
		003_R1_00																		
		1_contig_6																		
		8882																		
457	BrPe3308	Maracuja_NoIndex_L	3	1108	1119	12	4	9	AGTAAGGGACAGTTGCTGGTGTGCAGATTCTGGACAAACACAAG AATATTGGACCCACGGATTGTGATCTACATCTAGAGTTCTGCTAG AGTCCCCAACATGAGATCCACCAGGAGATTCGCTCTGATGATCTGA AAATCTTAGTATTATTATAGATTACATCAATAATGCACAT TAAAATGCTTGCTTCAACTAGACTGCATTCAGAGGACAAAAAA CAGGTATGAAATTACATTATGATTACATCCGCGCTGGAGGAG GTAAAGCAAAATCACTCAGTGCTTTCACTA	TAT	S	16,39	189	AAGGGACAGTTGCTG GTGTT	59,6	TTTAATGTGCATTA TTGATGTAATCT	57,5	50	22,2	
		003_R1_00																		
		1_contig_6																		
		9662																		
458	BrPe3309	Maracuja_NoIndex_L	3	939	950	12	4	9	TAACCTATCGTCCCTCTCTGTTCCCTCGTCGGCGTAAAC AGAGATTCAGTCGGGTACGTAAGCGTTCTCTCAGATCCGA GCGAGAGAAAGCGAGGCTAGAAGGAAAGAGAGGGAAAAGAAC CATGAGCGGGAAAGGAGGAGGAGGAGGTGGGGAGTGGGGGGTGA CAATAATGGGAAAGCTAATAGTGGCATATCGGGATACCGCGGG TCGAGGAAGATGTGAGCTGAAGGAGATTGTTAATGTCCC AGGCCGAGATCTACGCTATGCTTAAAGAGTGCAACAT	AGG	G	13,71	164	CGAGAGAAAGCGAG GCTAGA	60,0	CTCCTCAAGCTCTG CACAA	59,3	55	50	
		003_R1_00																		
		1_contig_6																		
		9682																		
459	BrPe3310	Maracuja_NoIndex_L	3	703	726	24	8	21	GGTAGCTAACCGTATCAAACAAAGCACCAGGGAAATAAAAG ACCCATGCACACACTGTATATGCCCTTACATTGCGCACAGCACAG ACCCCACCTCGCTATGTTTTGAAGCCCTGGTAACATAACCTT CTCTTCTAGTCCCTCCCTCCCTCCCTCCAGATCCAATCCA GTCCTGCCGATGACGACAACAAAGTAACCTCCTTTCTCTC CTAGTTGACTTTATGCTCTATAAAAATCTACTGCAGATCCAAA AGTTCAAAACAGAAAAGGCTGACGAGTGAGCGACTGACAGCT	TCC	G	11,61	195	GCCCCCTGGTAACAT AACCTT	59,3	GCTCACTCGTCAGC CTTTTC	60,1	47,6	55	
		003_R1_00																		
		1_contig_7																		
		0044																		
460	BrPe3311	Maracuja_NoIndex_L	3	2030	2041	12	4	9	ATGATATAATGAGAAGAGGTTAACATCTTCTCAAACCTCTGAA GAAGAACATGGCTTGCAAGAAGAGGAGACCCAGCAGTTAACAG AGCTCATGGCATTGGTTTGATGGCTTACTCGAAGAAGACAG TTTGAGGTAGATGATGATAAGAGTGAATCTGTGTCAGCATG CGAGAAAAGAGTCTTCTGCTTGTCTGCTGAACAAGACTG TTTGAGGAGATGAGGAGTTGAAGTCTAATCTCAAAGAGAAC ATACCCATTTCAGTTGATAATGAGTCTCT	GAT	S	16,49	181	AGGAGACCCAGCAGT TTCAA	59,8	TCGTCATCTCCCAA AACAA	59,1	50	40	
		003_R1_00																		
		1_contig_7																		
		1314																		

G: genoma funcional

S: genoma estrutural

P: polimórfico

M: monomórfico

APÉNDICE

Marcadores microssatélites desenhados a partir do sequenciamento parcial e da montagem *de novo* do genoma de *P. edulis*

Nº	Primer	Contig	Motivo	Inicio	Fim	pb	Nº Repet	Score	Sequência do contig	Unidade	G/S	Cobertura	pb	Sequência Forward	T °C Fwd	Sequência Reverse	T °C Rev	% GC Fwd	% GC Rev	P/M
461	BrPe3312	Maracuja_NoIndex_L	3	2460	2474	15	5	12	AAAAAAAAATCAGAAGAACTGAGAGAGAGAGGAAAGACAGATGA AGAAGAAGAAGAAGAATTCTCGGCCAGAAATGATCCACCAGTCC GAGTCATGGCGTTAGGGTCTACGGGAACGGTGTTATGGTTTGCT CTGTCTTGCTGCTTCTCTTCTTGAGTTCTTGAGCTAGTTA CTTTCTGGCTTCTGGAGAACGCATTATGATCCAAATCGAA ATCTCAGATGGGAGCTCTGATGGTAGTAATCCCAGGGGAAG AAAAGCAAATGCGGTAACCGCTGATCGTAA	CTT	G	25,23	161	AACGGTGCTTATGGT TTTGC	60,0	TCCCCTGGGATTAA CTACCC	60	45	55	
462	BrPe3313	Maracuja_NoIndex_L	3	928	942	15	5	12	GGTGTACTGGTTGACCAACCGGTTCATCAGTTATGCTCC TTATTTCGGAGTTATGGCTGTGCTTGCTATGAGTGCTATCA ATCAAACATACGTTCTCTGAAGTTCACATTTCAATTATG GACAACACTGCTGCTGCTGAGGAGAACAGCTGAGGGAAACATT TGTGCTTGCAGGGGTTCATATTAGATGTGAGGACATCGCAAT GCTGTGGAGATGAATCAAAGTGGTCAAATGAGCTGGCATGCAT GGTCTACATTTTTCTGAATTGTGAAATC	CTG	S	15,37	172	TGGCTCTGTTGCTTG CCTA	59,6	TTGCGATGCTCCTA CACATC	59,8	50	50	
463	BrPe3314	Maracuja_NoIndex_L	3	190	201	12	4	9	AGGTAATGGCCAAATAGCCAACCTTGAAGCTACCGATGCC GATGTATCATCTCAGCAGGCCGTACATAAGTGTGCCAGTGGCTCCC CCAATCACCTGAGATAACAGCGGCCAGCCCCCTGCCATCCAC CTGAGATCCCCTCATCATCATCAGCAACAGAACATGTAACGTATAG AAAATGCGAGTACCCCTCTGGATCTGAAAAATGATAACTCT CATAAATCCATATACA	TCA	G	116,13	206	GCCCAAAATAGCAA ACCTT	60,3	TTCAGGATCCGAGA GGGATA	59,6	45	50	
464	BrPe3315	Maracuja_NoIndex_L	3	1016	1027	12	4	9	TAATCATACTTATAAAATCCAACCAACCTCACTTATGTAATCC TTCACATTCCCTGCACAGAACGCCCCAAGATAGGGGATTGATATG CAAGAGAAAGCACAATCAATGCAAGATGTAATCCGAAGAACCT AAAGATCTCATTCTCTTCAGTATCTAAGCCTCATCGGAAAA AAAGCAAGCAAAACCAAGATATCCAAAGTGAAGTATGCAATT AAAGTGTCCCGTGATTAAGACCAAAGCAAGAACAGATCCAGTAG TGGCAATAACTGTACAGCCTCAGATAGTCAAGA	TTC	G	16,09	170	AAAATCCAACCA CACTTATG	59,3	CCGGATGAGGCTTA AGATACT	57,5	39,1	47,6	
465	BrPe3316	Maracuja_NoIndex_L	3	174	185	12	4	9	CGTAAGAACAGCTGAATCAGGGTTACCATCCACAAAC CGCCATCTTAGAGGGTGGCAGTAGCCATGTGCTTGAAAGCTGTGG TGACGCCAGAACACTAGAGAGTCTATAATCGAAGITGGAGTTGG GACTTGGAAAGAACACAACAAACGACAACCAATCTGACATGCAA AGTTTTAAAGAACCAAGTGAAGATATGAGAACAGGATTAATC AACTCTGG	AAC	G	10,97	170	TGAATCAGGGTTAC CATCCA	60,2	TTGCATGTCAGATT GGTTGTC	59,6	42,9	42,9	

G: genoma funcional

S: genoma estructural

P: polimórfico

M: monomórfico

APÉNDICE

Marcadores microssatélites desenhados a partir do sequenciamento parcial e da montagem *de novo* do genoma de *P. edulis*

Nº	Primer	Contig	Motivo	Inicio	Fim	pb	Nº Repet	Score	Sequência do contig	Unidade	G/S	Cobertura	pb	Sequência Forward	T °C Fwd	Sequência Reverse	T °C Rev	% GC Fwd	% GC Rev	P/M
466	BrPe3317	Maracuja_	3	702	713	12	4	9	TTGATCACAAACCTGTCAAGGGATTATTTATCAACATCAAAGGGGCT GCTGAAGTGTCAAAGGCATCTGACAAACAGAAAGTCGACATCAAA ACATTACTTGTCTTGAAAGGTGAAGGAGCAAGAACACAGGTC TCGTGTAGTGGTGATGATGATGACCTCGATTTCTGAGTGATGGGCA CTGCTAGGAGTTGGCCATAGGCTGAAATAGAAAGAGATGATGCTA GTATTCTCAATGATGACTGGAAAATCATCAGACGTGATTATAATT CATAGTCACTACCTTGATGAGTTGGAGGAGCA	TGA	G	16,2	188	GCAAGAACACAGGT CTCGTG	60,9	GCTCCTCCAATCA TCAAGG	59,8	52,4	55	
467	BrPe3318	Maracuja_	3	1169	1180	12	4	9	TCTCCTCACTCCTCAGGACTTGGCTCTGAATGGATTGCCCTGACC TAACTCTGGGTCTTCGTTACTGCTGGTCCCTGAAAGCACAATCT CATGTGATGAATGCTGTTGCCCTGAAAGATCAAGCGATAATGTTG ATTCCTGGTGTGATGATGATGAAAGTGCCTATTGCTGACGGAG TTTCGTCGGTGTGATTGTTGTTGTTATATGACAATCTGTTCTA CCTTAATACCATCATGACTCTAATCAACTAATTCTCCATGTTCTA CTTCTCTCTTTAGGCTACATCGGATA	TGA	G	23,79	160	TCTGGGTCTCCGTT ACTG	60,1	CACACAAAATCACA CCAGACG	60,1	55	47,6	
468	BrPe3319	Maracuja_	3	1665	1676	12	4	9	AGTAGTGGCTGAAAAGAAAAATGCTCAAACAAATAGGAATGGAG CCATTATACCTCTGTATCCTCGTCCATATTTGTATCTA AAAGCCTGGCTCAAGTATTGCTAGGGCTGCTACATCGTAGTCTCT GTCATGAAGGTCTACATCATACTATCCTGGTCTATCTGCAATG CTGTTGGACGGCTGGAAAAAGGAATACAAAAGCTAGCATCCCTG ACAGTAACAAAGGATAATAAACCTAACCAAGCTCTAAAAGATTAA CTTAACAGAAATAACCTCGAACACTCCCAC	TCA	G	16,84	197	TTCGCTAGGGCTGCT ACATC	60,5	GGGAAAGTTCGAG GTTTA	60,3	55	50	
469	BrPe3320	Maracuja_	3	1358	1375	18	6	15	ACTTCAAAGATTCAAGAACCCATCTAACAGTTCTAGCCCTC TGGTGAAGTCAAATCTTAGTCATTGAAATTCGATACGAGGTGG AGGAGGCATTTGCACTGCTGAGAATAGTCCTCAATTACTGCA TCATCAAGAGGTGGTGGTGGTGGTAAGAGAAGTCCCTCACTC CAACTAAAAGTGTGGCTCGAGAAGCTTCTAGTGGTATTGG CTACCCAATTACATGTCGACACGGAGCTTGAGGGCTAAACTT AGATCTATGAGTGCTCCAAAACAAAGGCCAGTATGAG	GGT	G	16,78	173	CCTCCTCTGGTGAAG TCCAA	60,2	GCTTCTCGAGCCAT CACTT	59,6	55	50	
470	BrPe3321	Maracuja_	3	152	163	12	4	9	TTAAATCCCTCATGGAAGCTCATTAATCGTTAGCTTAAATT GCACCAAATCCATGAAAGTTATGACTGCACACAACTGCTAATTCT GAAAAAGCTGGCAGATGTGCTTCGTCACATTAGTTCTCTACTG ATCTCATGCTTCTCTTGTGCTCCCTGGGCTAATGCCCTGC ACCTGGGCTGCAGCCCTACGCTTGGCAGTGGTAGCAGGCTTCA GCCATTCTCAGCAGATATTCTCATGTCACAAATCACGCGGT ATTCAATTCCGAAACAGTAATTCA	CTT	G	139,33	245	CCCTCCATGGAAGCT CATTA	60,0	CTGCTGAAGAATGG CATGAA	59,9	50	45	

G: genoma funcional

S: genoma estructural

P: polimórfico

M: monomórfico

APÉNDICE

Marcadores microssatélites desenhados a partir do sequenciamento parcial e da montagem *de novo* do genoma de *P. edulis*

Nº	Primer	Contig	Motivo	Inicio	Fim	pb	Nº Repet	Score	Sequência do contig	Unidade	G/S	Cobertura	pb	Sequência Forward	T °C Fwd	Sequência Reverse	T °C Rev	% GC Fwd	% GC Rev	P/M
471	BrPe3322	Maracuja_NoIndex_L	3	673	684	12	4	9	CAGATATCACCTGGATATTGATTCTTGGACTTGCATTCGTCTTG GGTTGAAAAGTCTTACCTGCTATGGAGAAACAGAAAACACCCCT CCACCTCAAAGAAGAGGGCTGCTGGAAGGGAGATCTCAAGAGATA ACCTGGTCTGATGATGATGAAGACTCAGCAGACAGGAGACTGG AACTTCAAGAGGGCTAGTGTGATGAGGTGTTGGCAAACAGAAGATA GTGAAAGTCGCTGTAATCAAACCATCAACTCTTCATCAAATCC ATTTGCTGGAATTCTGCTCTGCTCTCGTGA	TGA	G	14,81	210	CACCCCTTCCACCTTCA AAGA	60,1	AGACGAATTCCAGC AAATGG	60,1	50	45	
472	BrPe3323	Maracuja_NoIndex_L	3	361	372	12	4	9	AAGATTGAGTGAAGATAAAAGTCAAACAGTGTGAGATCCAAGCTG AAGGGGATTACCCACCTAACGGAGTTGCCAAGGTATTATCTCT GCCCATATGTTGTGTTATTACGATTCAGGTTCCATTGATATTG GGTTATTTCTGTTGTTAGCAGGGTGGCAGCATTATGTG CAGTATGAAGCGGAGTCCCGCCAATATGAGCATTGTCAGG CTCTGCAACCACTTAAAGTCTCAACAGCTCTGCCGGAGACG ACATAAAGCAAAGAGATTGATTCCTGTTGTT	GTT	G	15,56	196	AAGGGGATTACCCA CCTAA	59,5	GTTGCAGAGCCTTG ACAACA	60	50	50	
473	BrPe3324	Maracuja_NoIndex_L	3	1949	1960	12	4	9	AACATATCCTAGCAATTAATGTTGGAAAAGAACATCTAAAAACAAT TCATGGACTGAATCAGGTATAGAGGTTACTCTGGTCAACAGTAA GTTGACATACCGTAAATCCCGCAACCTCACCTCTGCCATTCT GGACAAGGGCACACAAACACATGAAGTGTGAGAGGAAATCAT CTACAAAGCCCTGCCAATATATAACGCTAAAGAATAAAAGAA TTCATGAAAACCATCAAGATTAGAAGTACATTCCGATTAAACCAC TTGTTCAATGTTTTATGTTATGTACAGGTAAT	ACA	G	18,09	181	ATACCGTAAATCCCG CGAAC	61,1	CAAGTGGTTAAAT CGGAAATG	58,5	50	36,4	
474	BrPe3325	Maracuja_NoIndex_L	3	2988	3002	15	5	12	TCAGCACGCACAGAGCTGAAATTCCATCCAGAAAAAGCAGTCAA TAAATTGTCAGAACATCACCACCTTGTCAATTGAAGATATCTATT ACTGACTCCATATCCAAATAAGACCTCTGAGCCAGATTCACTTCC ATCTTCACCTTCTCTCTCTGCAATCCACAGATTGTCAGCAG TTGTTAGAATTACCTCCAGATTGATCAGCAGTTCCACTTCTGAG ACTGAGTCATATCCTTCCAGAAATAGAATGCCAGATTAGAAGTTG AGAGTCTGAACACAGACTCTCACCGAAATAA	TTC	G	14,34	188	CTGAGCCAGATTCA TTCCA	059	CGGTGAAGAGTCTG TTGTCAG	59,9	50	50	
475	BrPe3326	Maracuja_NoIndex_L	3	3485	3496	12	4	9	TTGTGTCTTAGCTGGCATAGCAACGGAGGTTGGCTAGGGT GCCACAGTGGACTTGGAAATTGTTGCGAGCATTCTGTTGTTGTT TGTCACTGCCACTAGTGTGATTAAAGCAATTTGCAAGTTCAAAGATT TGGACAGGGAGAAGAGAAGATAACAGTTCAAGGTTAGAGAAATG GCTTGAGGCAGAAAGATCTCGATATGATCTCTCGCCGGAGACATT GTCCATTTAGTATGAGACCAAGGTTCTGCAAGATGGACTTTCT TTCAGGGTTCTTGCTAATCAATGAATCAA	AGA	G	14,18	201	GAATTGTTGCGAGCA TTCTG	59,4	CAGGGACCTGGTCT CCAATA	59,9	45	55	

G: genoma funcional

S: genoma estructural

P: polimórfico

M: monomórfico

APÉNDICE

Marcadores microssatélites desenhados a partir do sequenciamento parcial e da montagem *de novo* do genoma de *P. edulis*

Nº	Primer	Contig	Motivo	Inicio	Fim	pb	Nº Repet	Score	Sequência do contig	Unidade	G/S	Cobertura	pb	Sequência Forward	T °C Fwd	Sequência Reverse	T °C Rev	% GC Fwd	% GC Rev	P/M
476	BrPe3327	Maracuja_NoIndex_L	3	205	216	12	4	9	TACTTCAGCACAGCCCTCTGGCTAGAATAACATCTCCATTACTTCG CAGCAGACTCCAAAATACGATTCCAGAAACACGGACTTCTGACG TTGTAGCCTTCCAACCCTTACCTCTCTTCAATTAGCTAACCATGACC ATCAGCACCTGCTGCTGAAGACGATAACATGCCGAGACAAA CCAAA	CTG	G	10,47	150	TCTCCATTACTTCGC AGCA	59,6	CTCGGCATGTAT CGTCTT	60,1	45	50	
477	BrPe3328	Maracuja_NoIndex_L	3	325	336	12	4	9	GGAGTGGTGAGAGAGGATATTCACTCGCTGGAAAGGTTAATATGA ATGGGGGGATTTGGGATTATCAAGTGTAGCAGTGAATGGTACT GGCTTAGGAATCGGATTCAGCAGAAATAAGGGTGGATTGAATA ATGTTAGCATCAAATAATAATTCTAATCAGATTCTTACAGTCC TCGAATTGCGTTGAATGTCATGGATTAGATCAAGCCAAGGAC AGGTACAGCAGCAGCAAATACTCTAACAGCAGCCTAATGTGGGATA TGTGCCAGATACTTTGCAAAGCAGTCCTGGG	AAT	G	9,13	185	TATTCCACTCGCTGG AAAGG	60,2	TCAAAGGCAAATTC GAGGAC	60,2	50	45	
478	BrPe3329	Maracuja_NoIndex_L	3	154	167	21	7	18	GATGAGCAGTTGGTGCCTATGCGGCTCGGATTGATGCGATGGTT AAGGCACCCGCCTCTAGAACGCTAGGTCAATATCCAGCGGAGATGA CTTCCGCATCCATCTGAGGGCAAGCAATATAGATATGTATGTGT GTATATAATAGAGAGAGAGAGTTGAAGAGGGACATGATGAA TGAAAGAAAGAAGAGAAGGATTAGAAGGTTGAGCAGCAAAGTA CCTGAAGATCAGCAAGGAGAAGAGCTAGGGACAAGGCTTGGGAGA GAGGGGAACGACCATCAGGGGACAGAGGAGGTCTGAA	AG	G	7,68	158	CTCGGATTGATGCA TGGTT	60,9	TTCATCATGTCCTC TTCAA	58,1	45	38,1	
479	BrPe4001	Maracuja_NoIndex_L	4	3399	3410	12	3	8	CAGACTATCCACTTAAGAGCTTCCACAATTACACTGCAAGAACGA CTTCAGGGTCAAACACATTCAACTAATAGTTCTTCTCTTCC ATCTCAAGAGGTTCAACTACCAAAAATAGAAACAGGGCTACTT TCACTCGGAAAATAATAATGAGCTATTGACTACTGAA CTTCTAGCCAGCTACGTAGAAAGATCAAAGATGAGTCACTACTC AATAGAGACTAAAGTCAAACAAATCAACCATACTCAAAC TCCTAGACAAACAAAGCAGCGAAGTCAAAAAAA	AAAT	S	15,55	185	AACAGGGCTCTACTT TCACTGC	60,0	TTTGAACCTCGCTGC TTTG	59,2	50	40	
480	BrPe4002	Maracuja_NoIndex_L	4	1362	1373	12	3	8	CTGCAATCGATACCATCCCACAGATAGGTTGGGAAACACGGAT CGCCTTGCAGTTCTGTTTACACTGACTGATATTGCGA CAGCATCAACTAAACATTCAACAGATAACAGCAGCTCGT GTCAGGAATGATTAATTAGTCTAGTATATAACAGTACCAAG ACATGCAGATTCAAAGTATTACCATCCTTCTATCTGTTCA GACTCTGAAAGCTCAACTCGTAATAGGCCTCAATTGATTGATGA GAGGTGGAAGGGTTGAGCCTCCAGTTTATAG	ATTA	S	24,73	163	TACAAGCAGCTCGTG GTCAG	60,2	TCCACCTCTCATCA ATGCAA	60,2	55	45	

G: genoma funcional

S: genoma estructural

P: polimórfico

M: monomórfico

APÉNDICE

Marcadores microssatélites desenhados a partir do sequenciamento parcial e da montagem *de novo* do genoma de *P. edulis*

Nº	Primer	Contig	Motivo	Inicio	Fim	pb	Nº Repet	Score	Sequência do contig	Unidade	G/S	Cobertura	pb	Sequência Forward	T °C Fwd	Sequência Reverse	T °C Rev	% GC Fwd	% GC Rev	P/M
481	BrPe4003	Maracuja_NoIndex_L	4	805	816	12	3	8	TCATAAACTTACTAAAGTTATTAAATGATTCAAATGTGATTGGTT ATATATATATGCACTTTGGAATTGATGCACCAAAAAACAGAAAG ACTGGTCGTTCCCATAACTAAAACAACACAACACTCACCACCTT TGACCAGAGACTAGCTAGCTAGTAACGACTCCATCTCAGTTCTTAT ATTCTTGATATTAAAGTTGAGTAGTACAAGCCCACATGCATTAC CATCCAAATTAAAGTCATATCCAATTAAAGATTCCAGGAAGAA CACTAAGCACCAAAGTCACAAGATGTTGAAG	CTAG	S	18,33	175	TGGAATTGATGCACCA AAAAAA	59,9	TTGGATGGTAAATGC ATGTGG	60,2	35	45	
482	BrPe4004	Maracuja_NoIndex_L	4	214	225	12	3	8	GCATCCAACCTTGGAGATCTTATAGCGATTGTCAGTCATTTT GAAGCGATTGTAAGGTTACAGTTGTAATATTATTGTTGGAAAGG GTGAAGTGAATCATATTATGAGCAAATGCAGGTTAACACTTG GAGTACATGATGGATGGATGTCTACTTTGTTGATTTCTAAGC ATGGTTTATCATATTTCATAAAATATTAAACTGTTCTCTAG CTATCAAACCTTTATGGCAGCGTAACTGAAAACACTCAATTGAGT AGATTTTATATATATTCTCATTGT	GATG	S	19,06	179	TTGTTGGAAAGGGT GAAGTG	60,0	ACGCTGCCATAAAA GGTTTG	60,1	43	45	
483	BrPe4005	Maracuja_NoIndex_L	4	3630	3645	16	4	12	GATATGATGCCACAGCTCAAGTTCTCTCTAGTTGGTATTTCTT TGAGTTCTCTCACTATTACAATTACACGTCAAGAAAGTTGTC CACTCATCGAAATCATGGCAGTAACCTTAACAAATCTTCACT AAAAGATGATAAAATAAAATAATATTGAATATGGATTTTTATTG CGTAGCGATTGAGAAACAAAAAAACCTGGTAGATTTTT GCAAGTAAAATAGGATAGAAACACCATTGGAACCTCCAG ATCCCGAAGGGAAAACAACACTTCTCTGTATAAT	ATAA	S	18,65	197	TGCCACAGTCTAAG TTCTTC	60,7	CTGCAAATCGCTAC GCAATA	60	50	45	
484	BrPe4006	Maracuja_NoIndex_L	4	1659	1670	12	3	8	TCATATCGTGATATTGAAAAGCTAAGTGTGCAATCTGCACTACAG AGCTACACGCAGTAATGTCCTCGAGCTGTGCAATAATGGAA TAAATGCTGCGATGACGACGAGCCAATTGCCAAGGGAGGGACCAAC CCTCCATGCCAACTAACTAACTCCCTACATCTCTCCATGTTAA TTAGCTTCCAGTTCTAGCAAAGCGTGAAGGATGTTGATCCAAA ACTGTGAGCGAGGCTACGTACTGCTATCTTCTAATTGTTCTT TTCCTTCTTCTTCTTCTAGCAGATG	AACT	G	16,51	172	TGGAAATAATGCTG CGATG	59,7	CCAGTACGTAGCCT CGCTTC	60	40	60	
485	BrPe4007	Maracuja_NoIndex_L	4	2687	2698	12	3	8	GGAACAGACCAAGTACTGCTCTGGCTTCTCTGATGTAACCTATGG AAAAAAAAAGTTTATGATGGCAGGAATACGAGCATAAGATT AACAAAGATTCTGCCCCAAGCTCTATCACTTACTCTGCAAGAA GTCTGCAACATTCTCTTCTGGACATGTAACCCATCGATGAGA AGAACTCAAGAGCAGTTCACGTGGCTTGGTATAACATCTGGCCC TCACATAGAAGAATTATCATCAAATAGCTCATAGTCAGGCG CAGGCTGAGCAAAGAGATCACAGTAGTGCCTA	TTCT	G	17,44	151	AATGGCAGGAATACG AGCAT	59,6	AAGGACCACGTGAA ACTGCT	59,8	45	50	

G: genoma funcional

S: genoma estructural

P: polimórfico

M: monomórfico

APÉNDICE

Marcadores microssatélites desenhados a partir do sequenciamento parcial e da montagem *de novo* do genoma de *P. edulis*

Nº	Primer	Contig	Motivo	Inicio	Fim	pb	Nº Repet	Score	Sequência do contig	Unidade	G/S	Cobertura	pb	Sequência Forward	T °C Fwd	Sequência Reverse	T °C Rev	% GC Fwd	% GC Rev	P/M
486	BrPe4008	Maracuja_NoIndex_L	4	228	239	16	4	12	ATCCATCAGTTTATTAGTTAACCTTCGAGTGCCTACTAAGTAAA TCTCCAACGACAACAAACCGCACAGGAGATTGTACGGATTAAAC CAGTTAGGTATTAAATAGTCCACTTATAATTGAAGATCGAA AATTTCACCAATCAAATCAGTTAAACTTTGATCTAACG ATTGAAATAGTAGGACTATTGGATGTGAATCGAATCCTAAAAAA CTGTTGAGATGTATTACTTTGATGTTAAACATCAAAATCTCG AGCAAAATAACATTGATTTGACATGGTATT	TCAA	S	17,74	163	CAAACCGCACAGGAG ATTTT	60,1	TCGATTCAACATCC AATGAGTC	59,9	45	50	
		003_R1_00																		
		1_contig_9																		
		810																		
487	BrPe4009	Maracuja_NoIndex_L	4	195	206	12	3	8	GTACCGAAGGTACGCCAACACTCACACAACGTTAAACACTCTAA GAACATCTCAATTACTCCGGTTGGATTATGCTTACCGTCAA ACCTTCAAATGCCACGTATGCATGACACCCAAATTCAAATCGA AAAGGCAGCTCATGCATGATGCTATGGACTTAACCCAA CATCTTAACTAAAGGTCAACACTAAAGAAAATCGATCCGAGAAC CTGAACCGGTCTAACTCGGATACAGGTCCATATCTCCCCTCCT AATAAAGAATTCTATCCGAAATTCTCTCAAAT	CATG	G	33,43	231	CGAAGGTACGCCAAC ACTCA	59,9	TCAGGTTCTCGGAT CGATT	59,6	50	45	
		003_R1_00																		
		1_contig_1																		
		2842																		
488	BrPe4010	Maracuja_NoIndex_L	4	2716	2727	12	3	8	TGACAGAACTCTCTCTTTATGAGACATGTTACTCACTTGGATT CAGAAGGGTATCCTGATCCGAGCTTGAAATAATGTCGCAAAC ATCACTCATCCATTGCTCCAGGATAGCAAGAACATCTGCTGTG CCTTCTGCTTCTTCTTGAAGAGAAACATCTAGCTGTTCT CAAGTTCTCACCTAATTTCAGATGAAGTCACACATTATGTGCTA ACTCAGGAGGACCAAACGAGAGAGAGTGAGCAATTATCCCTGG GAAGATATCCAGGTAAGTATACTCTTCTCAAAT	CTTT	G	16,51	196	GGGTATCCTGATCCG AGCTT	60,4	TGGCCTCCTGAGTT AGACACAT	60	50	45	
		003_R1_00																		
		1_contig_2																		
		1238																		
489	BrPe4011	Maracuja_NoIndex_L	4	3689	3700	12	3	8	TCTCGTTCCCTTCATTTTAATCTGATGGGCTATCGATCTTT CCCCCTTTGCTTTACTCAAAACCCATCAAGGGTTAGGATTGA TAGCAATTCCAATGATGAACAAATGTTAAACGTGGTACATGGGACA TTCACTTGTATTGATTGAAATCATTATAAGCTCCATTGCTTGG TGGATTAAGTGTTGAGTGTACTGTTGACCTGTAT CTTTCTTCTGAGATAGACACATGAAATGGATTCTACTGTGAA AACTTCAACCGAACAGGACTACA	TTGA	G	15,91	152	TCGATCTTCCCCTC TTTG	59,2	TCCAAGGCAATGG AGCTTA	60,7	45	45	
		003_R1_00																		
		1_contig_2																		
		6273																		
490	BrPe4012	Maracuja_NoIndex_L	4	486	497	12	3	8	CAACACCGCTGTTCACTATTGAAACACATTGCTTATCAAGTTA TCCACTCGCCCCAAAGCCGATCTCTCTTAACCTAAAGCATT CCCAATCCACGAAATCATATGCCTTGGAAATCGATCTGAATAAC CACCTATTTCTCTTCTCATGTGATGCACCACTCGGATGTA ATCATAACTGAATCAAGCAACTTCTCTTCAAAACCGGATIG ATAGGGTGAATAATTGAGAGAAAGACCCCTTCATCTATTGGCT AGCAACTTGAGATGATTATAAACACTA	TTTC	G	19,04	150	ATTCCAATCCACGA AATCA	60,1	CCTATCAATCCGGT TTTGTA	59,8	40	43	
		003_R1_00																		
		1_contig_2																		
		6679																		

G: genoma funcional

S: genoma estructural

P: polimórfico

M: monomórfico

APÉNDICE

Marcadores microssatélites desenhados a partir do sequenciamento parcial e da montagem *de novo* do genoma de *P. edulis*

Nº	Primer	Contig	Motivo	Inicio	Fim	pb	Nº Repet	Score	Sequência do contig	Unidade	G/S	Cobertura	pb	Sequência Forward	T °C Fwd	Sequência Reverse	T °C Rev	% GC Fwd	% GC Rev	P/M
491	BrPe4013	Maracuja_NoIndex_L	4	4177	4192	16	4	12	AGAGCAGGCCAGGAGATATTTTATTAAAACCTACCAAGTCTCGAGT ATGACGGTGGAACTACTAGACTGCTGGAAATTAAAAGAAGGTG GTGGCGATGAAAGCTTGGATTGTGAGGAATCATAAAGCTTAA AAAATGGCGAATGATTGATTGATCAGTAATCAAATCTCAGT CTCTCCCTATAAAGTCACCTTAGTATATTGCATTCTTCTG CTACATATGTCCCCTCTCTCTCTCTAATGTAACCTCACATCG CTCATTAAAAGAATACTTCTCTGTAATGT	TGAT	S	17,36	220	CGAGTATGACGGTGG GAACT	60,0	AAAAAGGAAAGAG ACGGGACA	60,1	55	43	
		003_R1_00																		
		1_contig_2																		
		6847																		
492	BrPe4014	Maracuja_NoIndex_L	4	3914	3925	12	3	8	TAATCTAGCAAATTCAAGAAAAGAACATATAATTCTTCAACCTG GAGGCTATCCGCTGTACATGCTCGTGAATGAGAGTTGACTAA CATCCCGTGAACATAAGATGTTTGTGTTGGCATCCCATTAACT GTTGTCACTGTTAGTTAGGAGAGTGAGGTTTATTAGGT TGTTTTGTATTCTGCAGAAAGTATTTGGATTAAAAGGAAAGGAA AGAACGAGGCTGATATACTGGACTTGTCAAATTAGATGGAAAGAA ACTTGGAAATTCTCTTCTGAAATACAAAC	GTAA	S	16,74	167	AACCTGGAGGCTATC CGTCT	60,1	TCTGCAGAACACAA AAACAAACCT	58	55	35	
		003_R1_00																		
		1_contig_2																		
		9608																		
493	BrPe4015	Maracuja_NoIndex_L	4	1226	1237	12	3	8	TTCGATGGTCCAACCCACTCCAACGGCGAAAGCAAACCGATT TAGCCTTTGCCAGTGCACCATGTGTGCCATTTCATATTATGG GCATGTGAAACTTCAAATATCCATCAGTGTGCGAAACTCGCGAAGGA ACCATTGCTACATTATTTATTAAAGTCATAACATGTG GCACACAGCTAATTACAAAGTTGCTTACTTCCAGCGTAG	ATTT	S	15,72	151	ATTTAGCCTTGC AGTG	59,2	TGTGTGCCACATGTT TATGC	59	45	45	
		003_R1_00																		
		1_contig_3																		
		3257																		
494	BrPe4016	Maracuja_NoIndex_L	4	1247	1258	12	3	8	AATAGCCACCATCGATAGCATTGCCGGTCTGTACAAGAGTGATGAT CTTGCTCCACCGTGCCTAGTTCCGTCGCATACCTGCAATGCCG CGGCATTATGCCAACCTTCTGTCTGGAGCTGCTGGATTAGGAA ACTTGACCTGTTCTCTGTGGAATGGCAATCTGAGAGTG CTAGGGATATCAAGCACCAAGGTGCCTCCAGTCCTGTCAAT CTTCCCTGACTAGATGGATGTCAGAGAACGACCTGTAAGCAGC CGTAATCATTAGGTGTCAGACCCGTATTGTC	TCTT	G	15,66	180	GCCAACCTTCTGTC TGGA	60,2	GCGTGCTTACAAGG TCGTTA	59	50	50	
		003_R1_00																		
		1_contig_3																		
		3301																		
495	BrPe4017	Maracuja_NoIndex_L	4	702	713	12	3	8	CCCTTCGCAATTCAAATTTGGTGAGGGAAACAGTTCCAGGCAC GGATGGTTCCCAAGTTAGGGTATGAACTCAAGCTGACTGCTG TGATTGGAAAGATTTGCAAAGTACCAACAGGTGACTAGC CTTGACCTCAGCTCGCTGCCCTCACTCCCTGGAGGATGTC ATCTGATGTTTAGCTCCACTTTCACTTGCACACTTGTGTTCT GAGCGTTCTGGAAACCATATAAGGTGGAATCCAAGAGCAGTT TCCAATCTGACACAACCTTAACCCTGACT	GCTC	G	18,34	176	CCCAAGTTAGGGTCA TGGA	59,8	AACACAAGAGTGC CAAGTG	60,1	50	50	
		003_R1_00																		
		1_contig_4																		
		0350																		

G: genoma funcional

S: genoma estructural

P: polimórfico

M: monomórfico

APÉNDICE

Marcadores microssatélites desenhados a partir do sequenciamento parcial e da montagem *de novo* do genoma de *P. edulis*

Nº	Primer	Contig	Motivo	Inicio	Fim	pb	Nº Repet	Score	Sequência do contig	Unidade	G/S	Cobertura	pb	Sequência Forward	T °C Fwd	Sequência Reverse	T °C Rev	% GC Fwd	% GC Rev	P/M
496	BrPe4018	Maracuja_NoIndex_L	4	966	977	12	3	8	CAACCTTACCTGCTGACATGGCAAACCTCTGGCTAACATCCTTC TCCATCCTAGGTTATCAACAACCTCATAAAGTTATGGACATCTT GTGCTTGTAGAAAGAATGCCAAGTGAAGGATGAGTCTCTGGCA TGATAAAATCCATCAATCAATCATCATGAGTAAAGAAATCATATCTC ATAATGCCAACATCTGTCAGCTTATCTGAACACTGACTCTGTTT TTCTCTAAATTCTCTATCTGACTTAACCAACACAGGATCGCAAGC ATGCCTTGCTGACTATTCTCAAGTAAC	ATCA	S	020	204	TTACCTGCTGACATG GCAAA	60,3	AGCTGACAGATTGT TGGCATT	59,8	45	43	
497	BrPe4019	Maracuja_NoIndex_L	4	904	915	12	3	8	AACACCACCTACCTAACCATCATTCCGAAGTGCCTGCTCACCTATAGG ACTTGTGATTATCGCCAATTGCATGTTGCATAGTCTTTATAAGA CTGTGTCAAAATATTGATAGCCAGGACATTGAGGGTGTGTGAG AGTTATCAGCATCAATCAATCAGCCTTGTAGCAGGGAGAACATC ACTGACAAACATACTCATGGCTCATGAGCTGTAGTAACATGGAA AAAGATCAGGGATACCGAATTATGCCAGCAAAGTTACCTTCACAA GGCATACGACTCAATTGCTGGGATTITGGAG	ATCA	G	28,82	242	GCCAATTGCATGTTG CATAG	60,1	AATCCCAGCAAATT GAGTCG	60,1	45	45	
498	BrPe4020	Maracuja_NoIndex_L	4	3440	3451	12	3	8	ACCTGAAACCGTTGGCAAAGTTGAGGCTATGAATTGATTGGCA ACCATTGGCAAGGTATTTAGCACTACATCTGCAACTTATGCAAGT AGCAGAGATCAAGAGCGCGTAAGTTGGACATAGTTGCCACAAA TTAAGTGATAAGTCAGTCAGTCTCTGAAACCATAAAAAGTATCCTT GTTACTAAAATGTATAGAAATGCAAAGTAGCGCTAGCTCATTCTT ATTCTGAAACATATGAATGCAAGACTTACACACAATTAGAAAAAAC AAGCTCTCATGTCATTCACATGCTTGTAC	AGTC	S	15,82	179	GCAACCATTGGCAAG GTATT	59,8	GAGCGCTACTTCG CATTT	60,1	45	50	
499	BrPe4021	Maracuja_NoIndex_L	4	1420	1431	12	3	8	TAATTCTTATAATTAGCTGGGACACTCACAATCATCCTCT TGTCTTATTGCCTGGTGAAGGTACGACAATACCATGACCTCCAATA AAGTTGTTACCTTGTTGCACAATTGCGACAAATGCTAATTG CACATAGTTAATTAAATAACTTATCTTATAATATTGGTTT GTATCAGGTGACGTGGGATCAGAGCTAACAGTTCAGACAAATG TACGTAGATAACAAATCGAAGAGTGGAACCCAGAGGCCACCT TTGAGACTCGTCTGAGATCGGGCAATGG	TTAA	S	16,41	249	GGACCACTCACCAAT CATCC	60,2	TCTGGTGGTCCCA CTCTTC	60,1	55	55	
500	BrPe4022	Maracuja_NoIndex_L	4	2424	2435	12	3	8	AAAGTAAAGCCATGCTCTCAAGCTTCTATGTTGCCCTCTTCA TTCAACGAGCTCAGGGACATCATACATGCTTGTAGTAAACA CAAATAAGATTCTGCTAAAGGGGAATGTTAGTATGACTTCTCA ATTACAAAAGATAGATAGTCTGAAAGAATAAACATCTGAATAC ATCTAAAAGCATCATGACTACCTCCCATACTAAATGGCTGAGAG AGGATCTGTAATAACTTACCCCTGCCACATAGATCTGACTAGTA TTTATGGTTTGATGTCACCAAAAGATACC	AGAT	S	18,54	189	AACGAGCTCAGGGAC ATCAT	59,7	GATCCTCTCTGCAA GCCATT	59,4	50	50	

G: genoma funcional

S: genoma estructural

P: polimórfico

M: monomórfico

APÉNDICE

Marcadores microssatélites desenhados a partir do sequenciamento parcial e da montagem *de novo* do genoma de *P. edulis*

Nº	Primer	Contig	Motivo	Inicio	Fim	pb	Nº Repet	Score	Sequência do contig	Unidade	G/S	Cobertura	pb	Sequência Forward	T °C Fwd	Sequência Reverse	T °C Rev	% GC Fwd	% GC Rev	P/M
501	BrPe4023	Maracuja_NoIndex_L	4	1835	1846	12	3	8	ATGCTCATATCTTGGCAAAATCTCAGGAGCTGGTTTCATATA TTCCCATCTGGAGCTTGTAGCCAATAAGGAGGAGTTGCAATCGA CGAGGCCAATCCTCCGGCCATCTAGTGCCTCTCATACTGTCAAC AGGCACCCGATGCATGCATGCCTGCAGAGGCACATACCTGAAAATG CCATTACCTGGATGGTTACTATCTATAATAGCTATCAAGAGTTCA ATTACATATTTAAAGTCATTCCAAATTCTATGGCACGGAGATT TTGTTGTTAAAACCACCAAGCTGCGTTT	ATGC	G	15,85	175	GGCAAATCTTCAGG AGCTG	60,0	TGGCATTTCAAGGT ATGTGC	59,5	50	45	
502	BrPe4024	Maracuja_NoIndex_L	4	210	221	12	3	8	GGTAATAACAGCTCCGTAGTATTACATCTACTGTGACTACATCT TCGATAAGTAAAAATTGTTGTCAGGTTTTTTATGTTTCTA TTAATGGGAGCAAATTATTGGCAGAGCTCGTAAACCGCAGAAA TTAGCCGTGAATCAATCAATAGAGAGTTGACGGCTGATGAGG CGAATTGCTTGATGAAGAAGTAATATGAGAGCTTGAAGGTT ATCATAATGGGGATGATTATGGTTGAGGGGTCAGGCTCTC GCTTTGGCTGGCTATTGTTGATCAAAAAAA	CAAT	G	18,56	161	AAATTATTTGGCAGA GCTCGTT	59,3	CCCCTCACCAACCA TAATCA	60,6	36	50	
503	BrPe4025	Maracuja_NoIndex_L	4	951	966	12	3	8	TTGAAACCAAGGCATAAAGTTAGGTCTTCAGAAAACGCCAAC AGCAACAAAGGTATTAGCTCAACAGAAATTAGAGTGGCTATGA GTGAAGAACATAGGCAATTATAGAAGCTGAAGAAACTAAAAACA AAACAAGAGAAAAATAATAATGAATACCAATACAAGTTATTG TTCATTACTGTATAAGTCCAGCCAATTGATCTCATCGCTTGATA AAAACCTTCCACTCTCTGCTGATAGGCTGCCAGGAATTCATCA GTATTAAATGAAAGGAGAGGAGGAGGGCTACA	TTAA	S	20,92	107	GCATCGGTATTCGGT CAAAC	60,3	CAAATGAATGCATG TGTGAGAG	59,2	50	41	
504	BrPe4026	Maracuja_NoIndex_L	4	654	665	12	3	8	ACTTACAGATGTAACACTCCACCCGCCACAAAAATAATCCAGT GGCTCATACCCCTGAAGTCATAAACATCACTGGGCATATTCCC TTGTTCACTCAATTGTTGTAAGCGGTTGACCTTCCAGGGATCA TTGTCACAGTCCCTCCCTCCACAAAATTGCACTACGCAAAGAAA GTATATGGCAAAGACATCAGTCCTGGATGATATAACTACAGATTG AGTTCTGGAGCAGAAGTTAAATTACACCAAGATGACTCCTGGCCCT AAGAATGAAGACATTAGACGCACACCTCCCA	TCCC	G	17,32	182	AATTCTGGTAAAGC GGTTG	60,0	TTCTTAGGGCAAG GAGTCA	59,8	45	50	
505	BrPe4027	Maracuja_NoIndex_L	4	1475	1486	12	3	8	CCCCAAAGGGCGCAGGTATAGACAAGAAGACACAAACTCAG AAAGACGTACAGACACATACAAATGACCATTATTGATGGAAGAAC CAAGAAAACAAACAGCCTTGTGTTGTAAGATGAAACAGCTGT GCAAGGGGCCTATAGACAGACAGACTGTAGAGAAAGAGGTTGTT TCATCAATCGGAGGACTTTGCTATTCTCATTAACCAACTGT AAGTCTGTAATCGGTAGGAACAGAAAGCATTGATTGGATCAT GGTTGTTGAAATTAAAGTATCTCTGTTCAAT	AGAC	S	18,76	163	GGAAATACAGCTGT CAAGG	58,4	TGCAACAAACCATGA TCCAAT	59,8	50	40	

G: genoma funcional

S: genoma estructural

P: polimórfico

M: monomórfico

APÉNDICE

Marcadores microssatélites desenhados a partir do sequenciamento parcial e da montagem *de novo* do genoma de *P. edulis*

Nº	Primer	Contig	Motivo	Inicio	Fim	pb	Nº Repet	Score	Sequência do contig	Unidade	G/S	Cobertura	pb	Sequência Forward	T °C Fwd	Sequência Reverse	T °C Rev	% GC Fwd	% GC Rev	P/M
506	BrPe4028	Maracuja_NoIndex_L	4	2780	2791	12	3	8	GAATGACGAGAAGTTAGCTTGTCAAGGATGTTGTCAGGAAGGGTGG ACGTATATTATATGGAGAACATGACAGACAAAAGGAAGGTGGAA	TTAA	S	14,98	219	GTTGTCAGGAAGGG TGGAC	59,4	AGCATGGTCACAAT CCCAAT	60,2	55	45	
		003_R1_00							AGTATACTGTTCCAGGAAGGCAACACAAAACATGATCCTTGAGA											
		1_contig_2							ATTAATGGCTGTTAAATAATTAAAAGACATTCTGACATAGG											
		213							AGAGGTATGGACTGAGATGCCGAGCTTACCGCAAGACTATTG											
									GGATTGACCATGCTATTGTCAGATTGCTCTCACTGAAAGAAA											
									ATCAAAACGGCGACTCCGACTCGACTCGGGTACT											
507	BrPe4029	Maracuja_NoIndex_L	4	745	756	12	3	8	GGTGTGGAGCTTCATTCAAACAGAACAGTAGTATGACTTCATCTGATG GAGATTATGGAGCAAAGCAGCTATGGTAACACAAGAACATTTAA	TTAT	S	14,88	205	AACATTAAAGGGCCC AAGGT	59,7	CGATGTGCAGGACC ATACTG	60,1	45	55	
		003_R1_00							GGGCCAAGGTAGATTAGATATTAAACATTACATATTGGAGCTTC											
		1_contig_2							ATTATTAACTTATTATTTATGTTAATGGAGTCGAAATGATCACGAC											
		763							GATAAGACCCCTTTATATGCAGAGATGATGTTGAATGATCACGAC											
									ATCTTGCCAGTATCCTCTGTTAGCCCCCTACGGCAGTATGGTC											
									CTGCACATCGGAGTTGTTATCTTCTCTCCT											
508	BrPe4030	Maracuja_NoIndex_L	4	3476	3487	12	3	8	CAAGCAACTTTCCCTCTCAAGTGTCTGCACAAAACGAAGTTCT TCCCTTCCAACATCAAGATGCGAAGGCGCTAGCTTACATC	TTCC	G	16,15	183	CCCTCTCTCAAGTGT CTGC	60,0	GTACTGGCAGGTT CTTGGT	60,2	60	55	
		003_R1_00							TGGATCAATATCAGAGCTAGTTCTATTACAGTTCCGAATGGATG											
		1_contig_3							GTAAAAATGTTCTCTTCCATCTCTTATACCAAGCAACCTG											
		169							CCAGTACGAACACTGCCGCTGTATGAGACGACGAACACATATCCTC											
									TACCAATATTGATGGACTACTCCATCTGATATTAGATAACAAATT											
									GCACGCATATGATCTCTAACATCTGAAAG											
509	BrPe4031	Maracuja_NoIndex_L	4	3269	3280	12	3	8	CCTCAGGACCTCCACTGCAGCACACGTAGCTTGATTTAAAGGAA GGATACTCAACAGAACAGATGTCATGTCCTTTACGCTTTACTGG	GAAG	G	16,32	214	GCAGCACAACTGAG TTGAT	59,1	TGGATTCTTTCTG GCTCA	60,7	50	45	
		003_R1_00							AGTTGTTCTGAGGCTTGCTTCCCTCACATGTTAAAGGAAATATCT											
		1_contig_3							CTATTTTCTGAAGGAAGGAGTGGCATGAGATGCAACTATTACAT											
		424							AGTGTGTAAGAACACATTACTGAGCCAGAAAAGGAATCCATT											
									CTGTGAGTGAATTGTTGGTCTCATCAGTGAAGACAATGAGTGGAA											
									TTAGATAAAAGATCAGTGCTAAAGACTGAA											
510	BrPe4032	Maracuja_NoIndex_L	4	161	172	12	3	8	CAGCGAGGATGCGATCGGTAAGTCAGAACGGCATGAAACTGAAAG CGGAAAAAGCCATGCAAGATTCCAAGCAATCAGCCGAGTCATGGAA	CTAT	S	16,79	221	GCGATCGGTAAGTCA GAAGC	60,0	GGACAAAACACTGG CATGGT	60,8	55	50	
		003_R1_00							GAAAGGGGCCGTATAAGACAATGATGGAGTAATAATCATTTC											
		1_contig_3							CCCCAAGTTATGCTATCTATGATTGATGGTATTGTTCTT											
		582							TCTAATTGCAAATATCTGGATATTACCATGCCAGTGTGTTGCTCT											
									TTCTCGTGAGAAGTGTGATTCTTATTCTGAGTACTTAAGTATGTA											
									CATGAAACTGAACCTGAAATGAAGGGAAATGA											

G: genoma funcional

S: genoma estructural

P: polimórfico

M: monomórfico

APÉNDICE

Marcadores microssatélites desenhados a partir do sequenciamento parcial e da montagem *de novo* do genoma de *P. edulis*

Nº	Primer	Contig	Motivo	Inicio	Fim	pb	Nº Repet	Score	Sequência do contig	Unidade	G/S	Cobertura	pb	Sequência Forward	T °C Fwd	Sequência Reverse	T °C Rev	% GC Fwd	% GC Rev	P/M
511	BrPe4033	Maracuja_NoIndex_L	4	544	555	12	3	8	TAAGCCAGAATTGGATGGCCAAGGTATTAGAGAATGAACGTAAAAA TCGACAATAATTCACTAAACCATAAGAAACATTACCAATAGCCCTA GCAAGATTAGACTGCCGTTAACCGCCCTGCATGTATGAATCCACC AGCTTTAAAATCTTCTTCAGCCTCAAGATCAGGTTATGATC CCGAGAAAAGATTGTATGCCTGCATCAAACAAAACATTGTACAAGA CCATCCATTCAAACAAAAGACACAAAAACATTCAAGATACTCAACCC TTGAGGAATTGATCAGTCACCAACAAATACCT	TTCT	G	20,28	203	AGAATTGGATGGCCA AGGTA	59,4	GCAGGCATACAATC TTTCTCG	59,9	45	48	
512	BrPe4034	Maracuja_NoIndex_L	4	1699	1710	12	3	8	TGTGCCAATACATATAATCTGCTGTTCTAAGAGTATTGCTGCAA CTCACTGTAAATAAGATGCAATAATGGTCACCAAGCAAATATA TTGTTAGGCACATAAAGAAACTTAACTGATAACAAAGAACATTTC ATTTCTTAGCCCTGCCTGTGCAACCTTACTGCATAACTTTG ACGTACAAGGGAAAATGCTCCACTGGAAAAGATAAATCCACAATC CCCTCTGCCTCAAGTAATAGGCAAATAATGTTGACATACCTCAA CACATGGTCAATGGCAGACAAAAGGTTGTC	CCTG	S	18,69	246	GCAAATAATGGTTCA CCAAGC	59,5	CAACCTTTGTCTGC CCATT	60	43	45	
513	BrPe4035	Maracuja_NoIndex_L	4	3677	3688	12	3	8	CTTTATACAATCCAGTGTCAAGGGCGAAAATAACAAACATAAAAA GTGCGTAAATCCAAAACCACAGCACTGAGCTACAAAGCTTCAA AGCACAGAAGCAAATTCTCCCAAGCTGTCACACACAATTAA AGACAGGGAAATCAAGCAAGCAAGAAGCATACCTTGACAACAAAC AATATGGAAAAGCGAGAATCGTTGAATCTCTAACACGACAA AAAAAAAAAACTTAATCCCCGGAAACAAAATACAATTGAGTA AAGTAAAAGAGAGGCTGCGCACCCGATGGAAGAGATG	CAAG	S	17,49	186	CAGTGTGTCAAAGGC GAAAA	59,9	CGCTTTGCCATATT GTTTG	59,2	45	40	
514	BrPe4036	Maracuja_NoIndex_L	4	4331	4342	12	3	8	ATTGCATTCAATTGAGTAGACTGTCAATATTGTTGAAGCAT TTTGTAGAATATTCAAGCGCAAATTGACTTTCAGCACAATGAA ATATCAGAGATTCACTATTCCAAAGTGGAAAGTACAATTCCC AATCCATTCTCAAACAAACAAATGATACGTAGTCTATTCAATGCA GCATCATTAAACAATGATAATGAAGCAAACATTCAAAGGGTAA AAAATGGGTTGGTAGGAAAGGGACCAAGAGCAGATGATAATCA ACAGTTGTGTTTCATGATAACTGGGTATAT	CAAA	S	18,53	162	CGCAAAATTGACTTT CACGA	59,8	CCCTTTGGAATGTT TGCTT	59,1	40	40	
515	BrPe4037	Maracuja_NoIndex_L	4	2208	2219	12	3	8	ATTCCTTGGAAAAATAAGGGACATCACTGCAGTGACAGAGAGAA AAAATGCAAGTTTCATGTAAGAGCCAGTAAACATTATTGAATT GAACAAGTCAAAGAACAGGTGCAGAACATCATCCACAGACCT GATCAGCAACATCATACATACATATGTTGCTGTTCCAGCAGCT AATATGTTAGCTCCGCTGCGAGAATAACATAAGGTCGTGAAGCATTT TCCTGCAGTTGAATGGCTGCAGACCTGCGATCAGTCATAAGACGTC CTCCAGCGATATCCCTGCGACCCCTCAATGGTGC	CATA	G	16,6	176	TGCAGAACATCATA GCACA	59,9	ATCGCTGGAGGACG TCTTAT	58,8	45	50	

G: genoma funcional

S: genoma estructural

P: polimórfico

M: monomórfico

APÉNDICE

Marcadores microssatélites desenhados a partir do sequenciamento parcial e da montagem *de novo* do genoma de *P. edulis*

Nº	Primer	Contig	Motivo	Inicio	Fim	pb	Nº Repet	Score	Sequência do contig	Unidade	G/S	Cobertura	pb	Sequência Forward	T °C Fwd	Sequência Reverse	T °C Rev	% GC Fwd	% GC Rev	P/M
516	BrPe4038	Maracuja_NoIndex_L	4	552	567	16	4	12	GCGCAGGAATAAGAGGGGATTAGGCCAGCACACCTAGGAGACTA TGTGTAGTCAGGAATATCCGCCTTGATTCCGGTCACAATAGCCTT	TCTT	S	17,85	244	GCAGGAATAAGAGGG GCATT	60,4	GCCATTGTTGTTCCG TTGAT	60,8	50	45	
		003_R1_00							ATCAAGTATTTAAATAGTGAATGAGAAAAGAACAGGGTAGACTACT											
		1_contig_1							ATTCAACAATTCTCTTCTTCTCTGCCTCGCCTTGATTCTGT											
		1101							TCTTCCCTTGAGTCATATCACGTAACACTCTCCCATCACCGG											
									AACAAACAATGGCTCCCTTGACTTAATTGACGTTCTCTCC											
									CTCTACTTTGCTCTTCTTCTTATCGATCC											
517	BrPe4039	Maracuja_NoIndex_L	4	512	523	12	3	8	ATGGGTCTTTACAGAATATGGAAAAAAATCATATACATGTATGA AGAACGTTAGAGACATGCATGAATAAGCACATCTAATTAGGACT	AATG	S	19,86	155	GGGGAAAAACAGGA GTTGAA	059	TGACAAGTGCCT GCATTAA	60,3	45	43	
		003_R1_00							GAACGCAAGTACCTAAACTATAGGATGCTAATGATAGGGAAAA											
		1_contig_1							ACAGGAGTTGAAATGAATGAATGGAAAAAGTCAGATTAAATAG											
		2042							AGGATTATAGGGGAGTATGGAATCTAGAGAGGAATAGGGGTT											
									GGTCTGAGATAGTGCAGGAGACGACATGCAATTAAATGAGTGG											
									CACTTGTCAATTAGCACAGTCATTGGTCTTCCCTT											
518	BrPe4040	Maracuja_NoIndex_L	4	616	627	12	3	8	GAAAATGACTGAATTCAAACGAATGGACTCCGCACGTGGCTTG TTGGGTGGCTTGGCTGTGATTGAAAAGGGTTTACGTGCAACAGT	ATTA	S	18,6	160	GGTGGCTTGGTCTG ATTGT	60,0	AAGGAATTGCAA CCACAG	60	50	45	
		003_R1_00							CGGCAATATTATTCAGACTTGTAGTCACTTGTCTTATTCCCTGTC											
		1_contig_1							CTAACCTTATTAATTAAATTACCGGAAATAGTATGGATATGGTAATT											
		2931							TCTGTGTTGCAAATTCCCTTCAGTTCCATATGATTACATCAA											
									TTTATGATGTACATATACAATGTGTTCATGGTCTGATTACATATT											
									CACAATTGCCCTTCCAAACTGTATCC											
519	BrPe4041	Maracuja_NoIndex_L	4	838	849	12	3	8	TAAACTATTGGCACATATGTCCTCGGCCATAAAATTTCTTA TTCTTCCTCGTGTGCTGAGCTGGATGCACTGAGCTAGGCCACAC	GTTG	S	16,66	168	CATATGCTTTCGCC CATT	59,8	AGGTTGCTCAGGCA GTCCTAA	60	45	55	
		003_R1_00							TCGCGCCTCATAGCGATTGTGACTTTGCCACAGGTTGCCAATGCCA											
		1_contig_1							TGCGACTAGTTGGTTGGTCTAGGACTGCTGAGCAACCTCGATGC											
		4395							AACTACAATACGTCGGGTGACCACTGATGAAATCCATAGCAATTAAAG											
									GATCACAGCTGACGGTACCACTGATGAAATCCATAGCAATTAAAG											
									AATACTCCTTCCATTGATATGAAATATCTA											
520	BrPe4042	Maracuja_NoIndex_L	4	741	752	12	3	8	CTGCAAGAGGTGGATTTCCATCAACTGAGAGGGTGGAGTCACATC CTCCTGATTCTGATCACCACACTGGCCGAAATCCAACACG	AAGA	S	16,56	150	CAGCGATGTGAATCC AACAC	60,1	TTGGCTAGTGACGG TTTGAA	59,3	50	45	
		003_R1_00							GGGAGTGGAACCCAGCGATGTGAATCAACACTGAAGTAAAAA											
		1_contig_1							TAGGCAATTGCAAGAAGAAAGACATCAGATGCTAGTATATGACA											
		4543							TAACAATTGCAACTATAGGAAAAGTTATGCAACACTATGAGAAA											
									CAAATTCAAACCGTCACTAGCaaaaACCTGAAAATTCCACAGC											
									TATGCTCATGTTCTTGAGAATAGGTTAAGAACAGC											

G: genoma funcional

S: genoma estructural

P: polimórfico

M: monomórfico

APÉNDICE

Marcadores microssatélites desenhados a partir do sequenciamento parcial e da montagem *de novo* do genoma de *P. edulis*

Nº	Primer	Contig	Motivo	Inicio	Fim	pb	Nº Repet	Score	Sequência do contig	Unidade	G/S	Cobertura	pb	Sequência Forward	T °C Fwd	Sequência Reverse	T °C Rev	% GC Fwd	% GC Rev	P/M
521	BrPe4043	Maracuja_NoIndex_L	4	3020	3031	12	3	8	CAACCCATATCCAAGGCTGATAAGCAACACTCTCTCCACGAACCTTCCCCAAGTATCCCATTATCATGATTCTCATAGTCGTAGC	AGTG	G	17,16	154	CCCGAAGTATCCCATCTCCT	60,1	TTGCAGGTGATCTTGGTCAG	59,8	55	50	
		003_R1_00							ATAAGAAAGGTCGCAATAAACACACAGCCTCCATTCTGAG											
		1_contig_1							TTGTTTCTAGTGAGTGAGTGTGTTATTGGAATCATAAAGTCTGACC											
		4659							AAGATCACCTGCAAAAACACAGCACAACGTGATGAGCTTATTAA											
									AGATGAACCATATTCAAGAACATGCAAAGGTCACCTGCATTACC											
									CATGACACCAAAATGTATACGGGACATCAGGCC											
522	BrPe4044	Maracuja_NoIndex_L	4	5918	5929	12	3	8	AGTATGTGAAACCACACATAATATAGCACAATGCCATAACATGCT	AAAT	S	18,85	214	AGCACAATGCCATAACATGCT	59,9	GACGTTCATCCTTGCCATT	59,9	45	45	
		003_R1_00							TCTAAAAGGAACACCTTTTGCCTTAGTTTATTACTACCCCTTTA											
		1_contig_1							TTTCATTACAGTACTAAATAACATATGCCGTAACTGAAACAACTCT											
		5486							CTTCTTCCAATAATAAAATGATCGTTATGAGCACATAGATTAT											
									TGAAAATCTCTAAGCAAAAGAAAATGAAACAAATGGCAAGGATG											
									AACGTCAGAATGCAATGAAAAATATGATGACAGCTGAACAGAAA											
									TTCAACAAAAGAGAAAAGAGTTAACAGAGAA											
523	BrPe4045	Maracuja_NoIndex_L	4	1195	1206	12	3	8	AACTCGGCTGGAAAAGTGGAGAAGGAAGGAGTTGTGCAACTTACAGT	CTTT	S	18,6	160	ATAATCAGCATGCGG	60,1	AGAATGCTGGTGGT	59,7	45	45	
		003_R1_00							AGCTCGAGTGATACCGGGAAAGCAATAATCAGCATCGGGTGAGA					TGTGA		GCTTT				
		1_contig_1							ACTCGGCCTTCTTAACTAAGAACTGTGAAAATGCAAATGCAGTGT											
		6779							AGAAGTCGGCACTTCTTCTTCTTCTGAGGATGTCGATGAA											
									ATAAGGCTAATTATGGACACCAACAAAGCACCACAGCATTCTT											
									ATTCATCTTTCACACCTTGGCTATCCATAAGATGAACTGAA											
									AAACAGACAATGTTAGAACAGCAGAACAGCTTACAA											
524	BrPe4046	Maracuja_NoIndex_L	4	1629	1640	12	3	8	CAGAGCTAAAACCTTGCTCTGCTACGCACCCCTACCGACTAACCA	TTTA	S	15,32	188	GCACCCCTTACCGACTAACCA	60,0	CGCTGCTGTCGATA	60	55	45	
		003_R1_00							TAATTGTGGTGCCTCTTGGCTAGTTAATGGGGTAGCAGAA											
		1_contig_1							TTAGCTTAGTGTAAAGAGTTGCTTAACACAGAGATAAGTTCA											
		7558							AAACAGTTGTTATTATTAATTCTCTTGGAGGAGGAGGAGA											
									ATGGCGCTTGTATCGACAGCAGCGACCAAGTAACTGGAAGC											
									TTTCACACATGTTGGTGTGATACAGAAGTGTGTCAGCTG											
									TCTAACATCTTACTGGTAAATATGATGCT											
525	BrPe4047	Maracuja_NoIndex_L	4	474	485	12	3	8	CTTAGACCCTGGCCATCTGACACTGTTGAAGGTTGATTATC	TTGT	G	15,81	181	TGGCTGTCCTGTATTGCTGA	59,6	GTGGGTCTCTCATG	61	48	55	
		003_R1_00							TTTATCAATGCAAAGGTCTAATTACTGAAATCTGCTTCAATCAA											
		1_contig_1							TGAAGTTGCTTTAGAACCTTATTTGGCTGCTCTGTATTGC											
		8119							TGAGTGTGTTGTTGTTGATGGTTCAAGTTGTTGTTA											
									CGCGTGAGGTGTGTTGATACAGCTGAGGATTCAAGGTTAGA											
									TTGTGTTCTGGAGGTTGATAGTTACAGTTCGGCCTGAAGTGGC											
									CATGCACCATGAGAGACCCACTGGTGTG											

G: genoma funcional

S: genoma estructural

P: polimórfico

M: monomórfico

APÉNDICE

Marcadores microssatélites desenhados a partir do sequenciamento parcial e da montagem *de novo* do genoma de *P. edulis*

Nº	Primer	Contig	Motivo	Inicio	Fim	pb	Nº Repet	Score	Sequência do contig	Unidade	G/S	Cobertura	pb	Sequência Forward	T °C Fwd	Sequência Reverse	T °C Rev	% GC Fwd	% GC Rev	P/M
526	BrPe4048	Maracuja_NoIndex_L_003_R1_001_contig_1_9032	4	1095	1106	12	3	8	AGAAGAAATACTATCCTCTATATTGTGTTCATATCATCATATATT TGCTTTATCCTCTGCTTACGGACTGTTTAGTCACTCTAACGTTGG TTGTCAACTCATGAATTGTATGCACCGTTCTGATTCTAGATTG TATCTGCTGCTGCTGTTCCATATTATTGTATTCTTTCTTCT TTGTTATTTAGTTTACCTATGAAAGTTCTCAGGCTATTGTTAA CTTCCTTATGCTAACATATGAAATTCTGATTGTGATGCATGGTGT AGACAGCTGTTCTCTGTGTTCTG	CTGT	G	18,22	178	TGCACCGTTCTGATTCTGA TTCT	59,3	AGCTGTCTCACCCA TGCATCA	59,3	45	48	
527	BrPe4049	Maracuja_NoIndex_L_003_R1_001_contig_2_0941	4	3562	3573	12	3	8	TAGTATATATTGATTATGGATGACATAAATAAGTAATGCATTG CTTACCATCTAACAAACGTAAGTCCAACAATTCTAGAAATAGAAATTAA ATGTGAAAATTAAATAAAATTCTACAAAACCTAGACACCACTAG GTGAAATCAAATAAAATCATGACTGATGATTCAACTAG TGATTTTTTGACTTGCCACACCCAGAGGAAATGAAGATA TTTCAATTATAGAAGAAAATTAGTATTCAACAAAATTATCA ATAACATCCAATAAAATTACGATTCAAGACTG	AAAT	S	22,22	175	TTGCCCTACCACATCTAC AAACG	57,9	CTCTGGGTTGTGGC AAAGTC	60,7	43	55	
528	BrPe4050	Maracuja_NoIndex_L_003_R1_001_contig_2_1563	4	1552	1563	12	3	8	ATGGGTGCCCTACACTCATCCTGGATCTCAGAGATAATCTGGTGG ACTAGTACAGGTATTTATATTCTGTGAGCTTTCACTT ACACATTCTAAATCTAGTCAGTTTTGTAATATCCTTGATT GAGATTTTTATTTTACTCAGTTAAATGGCATATTGTGTTAC CTTCAATGTGATAGGTCAGCAATAATGGTAAAGATGTGGAG TAATCATCTTACTGAAACATGAGTTCTGTGAATTGATTCCCT TGAGGAGAAACTGAAAAATTCTCCGG	TTTA	S	17,08	220	GGGTGCCTCATACTT CATCC	59,4	CCCATTATTGCTGAT CCTATCAC	59,7	55	43	
529	BrPe4051	Maracuja_NoIndex_L_003_R1_001_contig_8_2	4	523	534	12	3	8	CAAAGATCAAGCTAGCTCCTGGAAACCCCTAGCTGAACAAGACCAAG AGAAGTAACATGAACATCAAACCTAAACCATACATGCACATGAACA TGGCAACCAAAGACAAGGATGGCATGCATGAACACCCACCTCT TCTCCCTTCTCTTCTCTCTCTCTCTCTTGGCCCTAGGCCAGCCC TCTCACGATGGCAACTCACCTCAGCCCTACTCTTTCTTCTCA ATTACACCCTTTCCATAGACTTACACCACCTTTATTAGG GGTGAATAGGTCTTGTGGG	TCTT	S	37,4	207	TCCTGGAAACCCCTAG CTGAA	59,8	AGAGAGTGAGGGCT GAGGTG	59,6	50	60	
530	BrPe4052	Maracuja_NoIndex_L_003_R1_001_contig_8_5	4	7687	7698	12	3	8	GAGAAAACGAAATCCGGAAAAAGTCCAATACCTATTACTGGAAAA GTAGACATATGAAACAAAAATTCCGGGGCCAGAACAAAAA AATCCGAGTTGCAGCATCAAACAGCTTGATCCATAGAACATTGG CGTAACATGGATAATAAAATAGGAGTCATATCATTCAACTG CCATTACAAAAGTAATTAGAATTTCGGCATAAAAGATATTITGG CCGGTAATTATTCCAAGAAAGACTTAAATTCCGAACAAAACCAC TCATGCCCGTAATGCAAGGGAGGCTATGATAAG	AATA	G	5.355,62	180	TTTGCAGCATCAAAC AGCTT	59,6	GAGTGGTTTGTGC GGAAT	60	40	45	

G: genoma funcional

S: genoma estrutural

P: polimórfico

M: monomórfico

APÉNDICE

Marcadores microssatélites desenhados a partir do sequenciamento parcial e da montagem *de novo* do genoma de *P. edulis*

Nº	Primer	Contig	Motivo	Inicio	Fim	pb	Nº Repet	Score	Sequência do contig	Unidade	G/S	Cobertura	pb	Sequência Forward	T °C Fwd	Sequência Reverse	T °C Rev	% GC Fwd	% GC Rev	P/M
531	BrPe4053	Maracuja_NoIndex_L	4	2829	2840	12	3	8	GTACAATAGACAGTGGAGACAATAAAGCATTTACCGTAGGTTGACA GGGCCAGTCACTGTTAGATCTTCGATGATCAAGCTACACAGCCAA ACGTTGCCTTCAATTCAATTGCGAGCAAACCTTCTGGTTACT GTTAAAAAAACCAAAACAAACAAAGACGATCCAGCCATGGGGAGGT TGCAGGCACCTGAAGGAGAGGGAGGAAGAGAAGGCTGGGACAAA ACAATTGTAAGCCAAAAAACAAACAAAGCATTCTGGAGTTAA TGCCCAAGGTGAGGTAATATCATTCTCTAGACGCTT	CAAA	G	99,39	156	TCAAGCTACACAGCC AAACG	60,0	GTTTTGTCCCCAGCC TTCTC	61	50	55	
532	BrPe4054	Maracuja_NoIndex_L	4	1311	1322	12	3	8	AAAATATTCTTACTTACCATTAATTATAATAGGTACTTTGTGAT AAAGATTTCTATTCAAGAACCGACTAAGCTAGCTGTCCTCTGTC GGGAGCCAGCATTCTTTTATGATGAATAAAAGAAGTCGTTTG CTTTCTACTTCTTCTTATTTCATTATCAGTATAATAATTGG ATTAGTCTTTGCCAGGTAAAGTTACTGCGTTGGACTTGTGGGGTT TATCTTTTGTCTTAGTACATATAATCTTATGGGGTTGCAAC TTTTTATTAACCCAGGAAAAACAA	TCTT	S	309,29	159	AAGCTAGCTGTCCTC TTGTCG	58,9	CCACAAGTCCAACG CAGTAA	59,8	52,4	50	
533	BrPe4055	Maracuja_NoIndex_L	4	1517	1532	16	4	12	ATTAGAACTCAATTAAAGGCTGATGAGTAACTCTACGATCTATTAA TGAAATTTGAAATTATTGTTTCATAGAATAAACATTCATAATT AGGGTAGACTCGCTCTTCTTTCTTTCTTTTTGATTAA ATATATCTTTCTTCTTCTTCTTCTTGTACTAAAAAATTAAATTG TTCAGGAAACATGTTGAGTGAATAGCTGTTTTCTCTAATG AATTCTGTAGATTGTTGGAATTGCAATGTTATAGCTCTGG TGCTCGTTCTATAATTCTAACATTGAC	TCTT	S	19,41	206	GAACTCATTAAGGC TCGATGA	58,5	TCCAACATGTTTCCT GAACAA	59	40,9	38,1	
534	BrPe4056	Maracuja_NoIndex_L	4	765	776	12	3	8	AGCTTGGAAAGTAAGACTAATAATTTGATGAGGTTAAA AGCCAGTAAAGTCTTAATTATCGATGCGAATCTAGAAC CACTATGGCCCCAGCCGTGTCCTGTGAAACCTGAGCGCCATT TGTTTCATGGCAAACAAACAAACAAAGGTTCACGTGGTGATCG AGTGTGTTGCCAACATATTGCCAACCTTACATTGCGTAA TCCATTCTTGTACACATTACAGCCTCAAATGACCACATCCTGT GCAGTGACAGACAGCTGCTCTGACAGCTACA	CAAA	G	13,28	167	TTGTGCTCTGTGAAC CTGA	60,4	AGGATGGTGAATT TTGAGG	59,9	50	45	
535	BrPe4057	Maracuja_NoIndex_L	4	1592	1603	12	3	8	AAAGACAAACCAATTCCTGGCATCGCGCATTAGGATAATAA ACATAAAGCTTCCCGTAAGAACACAAGTCTCGATGCTCAACAA GAACATCCCACATCTTGTGACATGCCACTCCCAGAACATCAGA AAAATGGAAAAATAAAATGAAACAAATAATGCGATGAAAGA AAATACTAATTAAACATCAAACATTAAATCATACATTCTCAATCT GCGAGTCCTAACATACAAGACGCTGAGGATCTCAACTGTATATATT CCAGCTTGTAAAGCCTCTGTGAAATGATCCAT	AAAT	G	15,55	165	TTCGCATGCTCAACA AGAAC	60,0	AGGGACTCGCAGAG ATTGAG	59,6	45	55	

G: genoma funcional

S: genoma estructural

P: polimórfico

M: monomórfico

APÉNDICE

Marcadores microssatélites desenhados a partir do sequenciamento parcial e da montagem *de novo* do genoma de *P. edulis*

Nº	Primer	Contig	Motivo	Inicio	Fim	pb	Nº Repet	Score	Sequência do contig	Unidade	G/S	Cobertura	pb	Sequência Forward	T °C Fwd	Sequência Reverse	T °C Rev	% GC Fwd	% GC Rev	P/M
536	BrPe4058	Maracuja_NoIndex_L	4	1584	1595	12	3	8	CCTCATCCTCGGCCAGAGGTACCTCTCGCATAGCCCTAGACTT TGTAAAGACTATCGGTAAAGACTCTCAGTAGTCGGGAAACCT CCTCTATTTCAAGTCCCATTCCATTGGCTCTCTCAAAG GGGTCGGAATTCTTCTTCTTCCGGCCCTTAAGTCCAATGC TCAGATAGCAAATCGAAGGTTCATAGTCTGAATCTTACCTTAT TCTCTTGTAAAGAGAAAAAGTCTATCCTCAGGGCAGTCCTGC GGAAGTTGGTGGACTCTATTGGGATTCTA	TTCT	S	298,11	195	TCGGGAAAACCCCTC TATCT	59,9	GACTGCCCTGAAGG ATAGGA	59,2	50	55	
		003_R1_00																		
		1_contig_5																		
		52																		
537	BrPe4059	Maracuja_NoIndex_L	4	206	217	12	3	8	AAAAACCGTGGAAAGTAAGGCATATAAACATTTAATGCATAAA ACCACATTCGTACCTTGAGAGCTGATAACCAGTTACTCAAACATTG TAATGCACGACATAATCATAATAACATATCACATGCACATGGGC AAACAGTTCAACCAACCAACCTCAGGCCTCCCCAGAACCTCAGC AGGTCAATTAGACCTCCCTGGCATCAGGCTTAGTCATTGGTTGGT TATGCATGTACATAACAAACCTCAGACTTCCCCAGAACCTCAGCA GGTCATTAGACCTCCCTGGCATCAGGCTTAGGT	AACC	G	12.178,39	222	CGGTGGAAAGTAAG GCATA	60,0	ccaaAATGACTAACG CGTGA	58,8	50	45	
		003_R1_00																		
		1_contig_7																		
		68																		
538	BrPe4060	Maracuja_NoIndex_L	4	658	669	12	3	8	CAATAAGTCATAGTCATGGCTGTATCCCCGTGGCTCTT TTGCCACAAGGACATCGACTGTTGGCCGCTTTCTGTTGATTAC AGCTCTAACATCTCCATTACACATCGAAACATTTCCTTCTACA AAAAAAGAAGAAAGATGGAGGGTTGGTCAAGCTGCTTGT TGGTGTGATTCTCTCTCATCTGGAAACCTTGTAGCAGCA AAGACCAAATCAAGTCGGTGTGATCGATGTTGCTTAACATTCA GTTGTCAGTGTAAATTAAACAAA	AAGA	G	17,93	165	ATATCCCCGTGGCTT CTCT	59,9	CAACAAGGACAGCT TGACCA	59,9	50	50	
		003_R1_00																		
		1_contig_8																		
		06																		
539	BrPe4061	Maracuja_NoIndex_L	4	22256	22267	12	3	8	ATGTGAATTGCAACGAATTAAGAACCTTAGCGTACTCCTCC TTTAGAAGAATGGATTAGCAAGAGTCTAAACAATT GCTTTCTGCTCTTACTAGGAGTTCTGACTAAGTGAATTGAA TGAAACTTTGAGTGAATGGAGATTAAGCGAGGGAGAAC CCCGGGTAAATAAGTTGTATAACAGAACATTAGCGATTCTC GCTTGTCTTATCTGCTGTCTGACTGACGAAGAAGGAGTC CACTACACGAAAAGAAAAGAGTAGGAGGCCA	TGAG	S	257,95	150	CAATTGCTTTCCTT GCTCTT	59,9	GAGCGAGAACGCT AATGGT	59,4	36,4	50	
		003_R1_00																		
		1_contig_8																		
		92																		
540	BrPe4062	Maracuja_NoIndex_L	4	3757	3768	12	3	8	TTGAAACCAAGGCATAAAAGTTAGGTCTTCAGAAAAGCCTAAAC AGCAACAAAGGTATTAGCTCAACAGAAATTAGAGTGGCTATGA GTGAAGAACATAGGCAATTAGAAGCTGAAGAAACTAAAAACA AAACAAGAGAAAAATAAAATAATGAATACCAATACAAGTTATTG TTCATTACTGTATAAGTCAGCCAATTGATCTCATCCGTTTGATA AAAACCTCCCACCTCTGTGATAGGCTGCCAGGAATTCA GTATTAATGAAAGGAGAGGAGGAGGGCTACA	AAAT	S	16,21	219	CGCCTAAACAGCAAC AAAGG	60,8	CAGCAAGAGGAGTG GGAAAG	60	50	55	
		003_R1_00																		
		1_contig_9																		
		46																		

G: genoma funcional

S: genoma estructural

P: polimórfico

M: monomórfico

APÉNDICE

Marcadores microssatélites desenhados a partir do sequenciamento parcial e da montagem *de novo* do genoma de *P. edulis*

Nº	Primer	Contig	Motivo	Inicio	Fim	pb	Nº Repet	Score	Sequência do contig	Unidade	G/S	Cobertura	pb	Sequência Forward	T °C Fwd	Sequência Reverse	T °C Rev	% GC Fwd	% GC Rev	P/M
541	BrPe4063	Maracuja_NoIndex_L	4	256	267	12	3	8	TGGATGGAAGAAAAGGAAGTTGAGCATCTGTGATGAAATTATCTGCATC ACTACAAACATATAACGTCAAGATAATATCCGCTGTAGTGGTAA	AAAT	S	16,86	151	AATATCCGCCTGATG AGTGG	59,9	AAGTGGCCATCATT TTGTGA	59,9	50	40	
		003_R1_00							AGAAACTCTATGAAAATGTCAGAAAAAATTGAATGACGGGCATGG											
		1_contig_1							TCAGAAACAAACAATAATAATGCAAGCAAATCAAATC											
		257							AATGAAAAAGATTCAAGTCACAAATGATGCCACTTACAGTACAT											
									CCAACAAAGTAGAACAAACTAGAACAAATCTAGAACAAATCCAAAAGG											
									TGCCCAATTCTCCAAAATATTACTCTTATGGCAATT											
542	BrPe4064	Maracuja_NoIndex_L	4	5318	5329	12	3	8	GT TTACCGAGGTGCTTGAGTACTTGTCACTTCGCAATCATGTATG GTGGGTTCTATTTTTCTCACCTTATATTATCTTTCTCAAAG	TTAA	S	17,26	161	CCCTCAATCACAGGG TACGA	60,9	CACCACAAAAATGT CATTGTCC	60,1	55	40,9	
		003_R1_00							CAATATCCCTCAATCACAGGGTACGAGAAAAAGGCCACAAGTT											
		1_contig_1							CTATTATTTAATTAAATAATTAAATTATTTCAAGTAAAGTATCT											
		627							AAACCTTGTCAATCATGATTATGTGTCAGCATTATCCTATTGTAATT											
									GCGTAGGACAATGACATTITGTGGTGTGTTAACCAACCATTGGGCC											
									ACATGGCAGTTATATCGTTGTGATG											
543	BrPe4065	Maracuja_NoIndex_L	4	2824	2835	12	3	8	CATCATTACCTGTTGAGTCGCTTGTCCCCAGATATGCCT CGTACCATTCATCACCCACCATAGTATCAGCACACACTCAAGTCC	TATG	G	15,96	200	TGCCTCGTACCATTC ATCA	60,1	caCTGGAAGGGCAA GAGACT	59,5	45	55	
		003_R1_00							CAGAATCTGGATTTCAAGAAGAAAGATAGATAATCATTATGCAC											
		1_contig_2							ATATATATATGTATGATGGATGTGTCCTAAGTGGGTTCTAG											
		007							TTAGCTACCTTAAGAGTATAATCTGTATTACATTAGTCTTGCCT											
									TCCAGTGTGCTGCCTGCGGATTCCAAGTATCAGAACACGCTTCACT											
									GATGAAAACAATTCAAGGAATTATGGTCG											
544	BrPe4066	Maracuja_NoIndex_L	4	608	619	12	3	8	TTGCGTACGTGAGATGGACAAAGTGAGAGTGAAACTAAAGTG ATGGCTCCATTAGTGGAGTTAACCTCATGCATAGTGAATAA	TCCT	S	18,62	217	CGTGACGTGAGATGG ACAAA	60,7	GGGGTCATTGATTTC TGATGG	60,1	50	50	
		003_R1_00							TCACTGACAGCAGATCATGTTGACACTGCCCCCTCCATCTCCCTG											
		1_contig_2							CAAAAACATGTCCTCTCGGCCCTGACAAGAAAATCTGAAC											
		285							TTGATAGATAGAACCATCAGAACATCAATGACCCCATTATTATTAT											
									TATTGTTGTTATTCTCTCACCAACAAAGTGGCTTCACTCCT											
									TCCTTACTTATACCACTTGTCCGCAACGT											
545	BrPe4067	Maracuja_NoIndex_L	4	6817	6828	12	3	8	CTGGATGATAAAAAGAACGTTTCAATTCACTGAAAAAGAACAG TTGTTGGTTGTAGAGCCTGGGGCAGGGACCGTGGTGCACCC	AGAA	G	257,61	198	AAAAGGAACGGTGG GCTCT	60,1	ATTCCGGATCGAAG AAGAGG	60,5	50	50	
		003_R1_00							CACAAAAGGAACGGTGGCTCTGCATCTATTCCAGAGGCTAAAG											
		1_contig_2							GGAGAAGCAAGAGAAAAGAACATGCCAACTATGGACTGCAACT											
		509							TACTTATTATTTATTGCGCTCAAAAAAGTCCAGAGGCATCTTC											
									CATTATCGATTGGTTTCCGACCATATTGATCTGCCTTAC											
									TCTTCGATCCGAATCCCAGCAATCCTTAC											

G: genoma funcional

S: genoma estructural

P: polimórfico

M: monomórfico

APÉNDICE

Marcadores microssatélites desenhados a partir do sequenciamento parcial e da montagem *de novo* do genoma de *P. edulis*

Nº	Primer	Contig	Motivo	Inicio	Fim	pb	Nº Repet	Score	Sequência do contig	Unidade	G/S	Cobertura	pb	Sequência Forward	T °C Fwd	Sequência Reverse	T °C Rev	% GC Fwd	% GC Rev	P/M
546	BrPe4068	Maracuja_NoIndex_L	4	385	396	12	3	8	CTCTATTCTTCCACGGCTATTTCATTTGTGGTGACAGTATCAG TCCTCTTTCGATATCCTGAGCATCTGCTAAATGCTCTCGTG TTCACAAGGATATCGTCTATGTATAACGGTATGAAATCCTCACAA TTAAAGCATCCATCCATTTCTCTGGAATAGCCGGCATT CAATCCAATGGCATTACAGCATTACAAATCCTCTGGTAA TGAAGGCTGTCCATGTATACTCTTCGCCATAGCTACCTGGTGA AATCCACTTTCAGATCAAATTGAG	CATC	G	284,1	228	CCTTTTCGCATATCCT GAGC	59,8	CAGGTAGCTATGGC CGAAGA	60,4	50	55	
		003_R1_00																		
		1_contig_2																		
		721																		
547	BrPe4069	Maracuja_NoIndex_L	4	746	757	12	3	8	AAAGGCGTATGTATGTTATATTCGCGTTCGGCTACCCCTCTG CATGCACCACTGAGCTCAAAGAGCTCAAGAGAAAAAAA CAACAAGAAAACAAGACAAGCAAGGCTAAATAAGATTGCT CACAGAGAAATGGAAGGAAGGAAATGTAAGAGGAGGGAA AGAGAAAAGGGAAGAGAGAGGGAGAAGAAAAAAAGGTAAGAT AGAACGCTATATGTGACTACTCGAACGCTTCAAATGCCAGA CCAAAAAGGGGCTGGTGAECTCATCCCTCCTCTC	GGAA	G	17,87	158	GTTGCGTTACCCCTTC TCTG	59,7	CTTCCCCTCCTGC CTTT	59,8	55	50	
		003_R1_00																		
		1_contig_2																		
		977																		
548	BrPe4070	Maracuja_NoIndex_L	4	271	282	12	3	8	ACAACCAACCAATTGAACTTAGGGCGATTGGTTGGGCACACAA CACCTAAGAGAAAGAGAATTGGAACACCACGACTGACTAATC GCATGAGGGCATACGATCGGTCTACTTGTAACTCAAGCTAAAGCT AATAACCAATGACCAACCAACCATACCAACAGCTACCAAAAGATTC ACGACACAAGCCAACACAACAACTTCAACAAAAGGCTCAACC AAACTCAAGAACCATGCAACACAGGAACATCTAGCATCTC AACATCCTACTCAAGCTACAAGGCAACACTTGT	ACCA	S	84,54	166	TTTGGAACACCAACAC GACTG	60,6	GGTTGGAGCCTTT GTTGAA	60,1	50	45	
		003_R1_00																		
		1_contig_3																		
		019																		
549	BrPe4071	Maracuja_NoIndex_L	4	4282	4293	12	3	8	TACTGTTGGATCTTAATGACAAAGACTCCTTCTCAAGGCTAGAAA TAGATGCTGAAGATCTACGAAGGGTCGGGTTGAGTCAGCAG GGGACCTTTCTTTAGTTATGAGTCCTATCCTTATTGAATT ACACAGCAACATCATCATACTATTGGAGACATGGTCAAGC CCGGTGAATGATCACCATGACTCTTGACCGGCCATTACT TCTCTCTTCAAAAGGACGAGTAAGAGTGTATAATCGTT CCAACCAAACGTCGATACCGGCCACATCAG	CTTT	G	1.010,55	100	GGTGAATGATCACC CATGA	59,1	TTGGTTGGAAACG GATTAA	60,2	45	40	
		003_R1_00																		
		1_contig_3																		
		173																		
550	BrPe4072	Maracuja_NoIndex_L	4	4364	4375	12	3	8	CAGTCCAGAGCGGGACCTTTCTTTAGTTATGAGCTTATCCTT ATTTGAATTTCACAGCAACATCATCATACTATTGGAGACA TGGTCCAAGCCGGTGAATGATCACCATGACTCTTGACCGGG TCCCATTACTTCTTTCAAAAGGACGAGTAAGAGTGTATA AATCCGTTCCAACCAAACGTCGATACCGGCCACATCAGGAAAG GGATGCCATGATCAGCATCAAGCTTATGGTAATCCATAGGAGT ATCAACAGGGCGAGCACCGAGAAAGCCAGTC	CTTT	G	1.010,54	191	GGTGAATGATCACC CATGA	59,1	GTGCTGCCCTGTT GATACT	60,3	45	55	
		003_R1_00																		
		1_contig_3																		
		173																		

G: genoma funcional

S: genoma estructural

P: polimórfico

M: monomórfico

APÉNDICE

Marcadores microssatélites desenhados a partir do sequenciamento parcial e da montagem *de novo* do genoma de *P. edulis*

Nº	Primer	Contig	Motivo	Inicio	Fim	pb	Nº Repet	Score	Sequência do contig	Unidade	G/S	Cobertura	pb	Sequência Forward	T °C Fwd	Sequência Reverse	T °C Rev	% GC Fwd	% GC Rev	P/M
551	BrPe4073	Maracuja_NoIndex_L	4	319	330	12	3	8	GAGCTATTGAGCAGTAATTCAAGGGTACCGCGAGGACGGCACGAGT ATAGAACCTATGACATCCGAGCCAAGGATGAGACTGGCAATACCA AAAATGAGAGTTGAGGCCACGAGTTGAGAATCAGGTCAGACAGAGA TGTGATGCATGAGACAGACAGACTCCTAGTGCAGATATCTAAGTT ACTGAAGGA	AGAC	S	63,34	158	GAGGACGGCACGAGT ATAGA	57,9	TCAGTAACCTAGAT ATCTGCACACTAGGA	57,2	55	37	
		003_R1_00																		
		1_contig_3																		
		382																		
552	BrPe4074	Maracuja_NoIndex_L	4	1912	1923	12	3	8	CACTAAACAGAGAGAAGGAAGCCTAAAACAAGTAAAAATAGCTG CTTAAGCGAACCGTTACCTGAAAATATAGGGCTGGCTTTAAAGAG TTTCAAGGATTTACGCTCGCAGTACGCTAATAGAAGGGGAAAG GATAATAATAGTTCTTCTTCAAGCCCAGCTCATCCAGTCCGT GGCCGCCGCCGTG	TTTC	S	017	180	CAGAGAGAAGGAAG CCTAAAACA	59,2	CACGGAACCTGGATG AAGCTG	61,8	43,5	55	
		003_R1_00																		
		1_contig_3																		
		699																		
553	BrPe4075	Maracuja_NoIndex_L	4	541	560	20	5	16	TCTACTCAAACAGAAAAAGAATGACATGGTTGAAATTTTAAA AACATGTGATACCATAATTTATTAATTAAATTAAATGAGGAA ATTAATTCTCTAACGATTCTATGCCTACTAATCCACTATTGTTGATC ACTAGTATAAAGATAGATAGATAGATAGATGAGCAACAAAGGGG ACCTTGGACTATCTTAAAGATGCTATCAAACAAATTAGAAAA AAAAACAAAAAAAGTGAGTGAGAAAAAGAAAGAGGAAAAAGTG AAAAAGATGGGATGGTATGGTCATTATGTATAGTTGTTT	AGAT	S	15,22	194	GCATTCTATGCCTACT AATTCCA	59,1	TGGACCATACCATC CCATCT	60	40,9	50	
		003_R1_00																		
		1_contig_3																		
		747																		
554	BrPe4076	Maracuja_NoIndex_L	4	324	335	12	3	8	ATGGTAAATAAGTTCTTTATTCTAACATACATTAAGTATTCCAAC CTATTGATTTAAAAATTCGAATTCTTACAAATTTCACTAA TAATATAAAAATATCAAATTATTTGTTATTAAATAAATTGATT TAGTTAATAATTAAATCTATCTAGATATAACGATACAGTATT TTGTAGTAATTATCTTATGCTGAACGCAACACATGCTGTTAATT AAATTTAATAATCTGACGGTTCTTAATGAGAGAACAAATTAT CTGAAACCCGTTCTGGGTTTTAT	TAAT	S	12,81	159	TTCGAATTCTTTAC AAATTTTCAC	59,1	TGTGTTGCCTCAA GCATAA	58,9	23,1	40	
		003_R1_00																		
		1_contig_4																		
		349																		
555	BrPe4077	Maracuja_NoIndex_L	4	480	491	12	3	8	GTCTTATAATTAGATGAACAATACACGCTGTAGTCTTAATGTT TCGTGCGAATGCATCTCAGTTGGCAATTCTGCTTTGCTACAGTT CATTCTGTGGTGTCTGATGGGATTGGTTATGTTGACTGGACAAGTT TGTGGTGGAGGAAGGAAGGACTCAAATTGAAAAATGGAAACTTCAA GAGTTGGTCTGATCTGGCTGCAGGGCTATCTAATTCTAGAAGGCT AAACTTATCCAGTATGTTAATGTTCAATGCATAGCATTCCCGC ATCTTCATGTGAGGTGCAGGGGTGAGGCC	AGGA	S	13,77	184	GGTGTCTGATGGGAT TGGTT	59,6	GAAGATGCAGGAAT GCTATG	60,6	50	50	
		003_R1_00																		
		1_contig_4																		
		699																		

G: genoma funcional

S: genoma estructural

P: polimórfico

M: monomórfico

APÉNDICE

Marcadores microssatélites desenhados a partir do sequenciamento parcial e da montagem *de novo* do genoma de *P. edulis*

Nº	Primer	Contig	Motivo	Inicio	Fim	pb	Nº Repet	Score	Sequência do contig	Unidade	G/S	Cobertura	pb	Sequência Forward	T °C Fwd	Sequência Reverse	T °C Rev	% GC Fwd	% GC Rev	P/M
556	BrPe4078	Maracuja_NoIndex_L	4	1252	1263	12	3	8	GGTTCAAATGAGCATTAGTTCTGGTAACCGAACGAAACTGCTT AAGGACGATATAATTAGGGCTAACATACAAGACGACATTTCTGAT GTCTTCTGCTGAAACAATTATCTTCGAGTTAAATTCTGTA TTTGAGCTGTACGTACGTACAATTCGCAAATACAACCAGCG AATCTTCTACAGTAGTGGTGGTAGTGAAGATATAACAGTTGA TTATCAGCAGCAGCTAGCAGCTGTGACAGCGCCGTGTTCATGAC AGTAATCGTGTGGTGGTGGTGGCACTG	GTAC	G	17,5	168	AACCGAACGAAACT GCTTA	59,9	GGAAGATTCCGCTG GTTGTA	60,1	45	50	
		003_R1_00																		
		1_contig_5																		
		100																		
557	BrPe4079	Maracuja_NoIndex_L	4	245	256	12	3	8	GTCCGGACGAACCCCTACAGATCAAAACCTATTTCCAGCAACTT TCGGCCCTCATGGGACCTACGGCTCCAAAACCTACCAATT TCATCCGCACCTAGCCTGACATACAGGCTACCAATCCAACCAGAA ACACACCAATCCAACCAACATCATGAGTTATGAATTTCAGAAGA TGGGCATTGAAACAAAAGTGCAAAACAGGGCAGTAGCCCTAAAT ACCAAAAATC	CCAA	S	1.093,43	158	CGGGCTCTCCAAAAAC TACCA	60,0	AGGGCTACTGCCCT GTTTTT	60,1	50	50	
		003_R1_00																		
		1_contig_5																		
		867																		
558	BrPe4080	Maracuja_NoIndex_L	4	292	303	12	3	8	TTTGTACTGCCTGGGATAGCATAAGCAGAACTATGAGCTCCAT CAAGATGCTCACCTCAACTGAGGATCACTGGGTACACAAACCTTT CTTGAACACGAGGATACCATCACCTCGTATCCGTACTCTGCTATG GTGCTATCATGCTGCTGCACCTCTATAATCTGCTCAGTACT AGGTCTCTACTGCTTAACCTGAATCTCATCAAACACTGGCCT TGCCACATGCGGGCTAGCAATGTCACGATCATCGACATCAAAT GACA	TTGC	G	131,93	234	TTTGTACTGCCTGGG GGAT	60,4	GCCAGTGTGTTGG ATGAGA	59,7	50	50	
		003_R1_00																		
		1_contig_7																		
		441																		
559	BrPe4081	Maracuja_NoIndex_L	4	3035	3046	12	3	8	AGCATCAATAGTCATGACAACCATAGATTAAAAACCATTA CACCACTTCGTCCACATCATATAGTTGAGATGCTTATATT TTATGCATTATCTAGGATTCTTTCTTTGGAACTTGATTCTCC GGATGTTAAGGAAAGAGCAAAGAACATACTGATCCATAC AGGGCATGGTACACAGTCCACAAGATCCTGAGTAATAGAAAGAT ACAAACAGCAAATTAAAGATCAGAACGTCACGAAATCAGGCAAA ATCACAAAAAGAAGAAAGATGAATAATGATCA	AAGA	S	15,87	156	GGAACTTGATTCTCC GGATGT	59,4	GATTTTGCGCTGATT TCGTGA	60,1	45,5	38,1	
		003_R1_00																		
		1_contig_7																		
		633																		
560	BrPe4082	Maracuja_NoIndex_L	4	4062	4073	12	3	8	AAAGAGGGTTAACGTCACATCAACCCAAACAACTGCTGCTC TTGTATTCATAAGAAAGAAAAAAAGAAAACATTTGGATCAT TTCTATGCTTCCATCACCTCTTCTATCTATGACTGCAAAGT CCAACAGCTTCTCCTCCCTCAACATCTCATCAAAGAAATCATCG AGTTGTCAACAAATTCTCAGCCCCAGATCTCAAGACCTCAA ACCCTTAAAGTTCTCACTCTTCCCTATCCCACCTGTTCCC AGTCCACCAGCATCCCTGGCCGCACCTCCT	CTTC	G	16,54	177	TATCGCTTCCATCACC CTCT	59,7	AGGTGGGGATAAGG GAAAGA	59,8	50	50	
		003_R1_00																		
		1_contig_7																		
		829																		

G: genoma funcional

S: genoma estructural

P: polimórfico

M: monomórfico

APÉNDICE

Marcadores microssatélites desenhados a partir do sequenciamento parcial e da montagem *de novo* do genoma de *P. edulis*

Nº	Primer	Contig	Motivo	Inicio	Fim	pb	Nº Repet	Score	Sequência do contig	Unidade	G/S	Cobertura	pb	Sequência Forward	T °C Fwd	Sequência Reverse	T °C Rev	% GC Fwd	% GC Rev	P/M
561	BrPe4083	Maracuja_NoIndex_L	4	5240	5251	12	3	8	TTTGCAGTGTATGAGCCATTATCTGTTTCTTCAGTGATTGAA TTCTATTGCAATGGTACTGTTTCTTCATTTTATTCATC ATACAACAAAGAGTAGCACAAACTTCTATCAGATGATCACATTG ATATGTCATGCATGCATGTGACTATATGATAATTGGTTGTTG AGAACAAAACAATACTATGTAAGCTTGAAGCTATCAATAGA TACAGGAAATTGCCCTTCGCTATGTTGCTTGTGATGTA GTAAGCTTTGTTCATCGTCAT	CATG	S	18,56	173	CCCATCATACAA AGAGTAGCA CAATT	60,4	TAGCGAAGAGCGGA	60	41,7	45	
		003_R1_00																		
		1_contig_8																		
		365																		
562	BrPe4084	Maracuja_NoIndex_L	4	875	886	12	3	8	TTCTAATTGATTATTTTATAGGCCAACAGGTAGAGTTCA TTCAAGCTTATGACTGGAACCCAGCAGAACATTCCAGAAGGCTCG GCACCAGGTATTTAAAGACTAACATTAGAGTTAATGTCGGAGG AGAAAGACTTATTTAATGATCTGGAGTGTCTGGAATTGTTT GACATGATGTAAGGGTATTGAGATATTCAATGGGGCAAGCA TGCGCTGAGTTGGGGATATTCGCCCTGGGTGACAATCTG ACTGCTTCATTCCATGCCATCATTTGT	TTTA	S	19,12	232	CAGCAGAATTCCCA GAAGG	59,8	GGCATGGAAATGAA	60	50	45	
		003_R1_00																		
		1_contig_8																		
		506																		
563	BrPe4085	Maracuja_NoIndex_L	4	687	698	12	3	8	ACATGAGTTGTGCATCCCTTGAGGAAATGGATCCATCCTGGAA CCTTAGACTCTCAAGACATCTCAGGATGTCTGTTCCACAAGCC TTCTTCAAAAATGATTCTTGTGCTAAAGGCGGCCATTGAGAGG GACAAAAGGTTGTTGTTAAGAGAGCAAGAGAGTAATGAGAGT TTAGAGGTGAGGTGAGTGTGAGGTCTGGAGTCCTT TATAGCCAAAAGTAAGTGGAAATCCGAGATTGAATTCAAAC TCAAATTCAATCTCAAAGATTGAGCATATTA	GTAA	S	28,77	159	GGATCCATCCTGGAA ACCTT	60,1	AAAACCTCATTAC TCTCTGCTCTC	58,1	50	38,5	
		003_R1_00																		
		1_contig_8																		
		763																		
564	BrPe4086	Maracuja_NoIndex_L	4	1079	1090	12	3	8	ATTTCTATTTCTGAGAATTCCGATTTAAATAATAATCCACCGA CATGTGCGCTTGCATGGTGCACATGTTATAACAGTAGACGC CTATGTTCTTCTTATTTACCGGGCTGAACCTGACCCATTAAAC CGGAATACAGAAAGAAAGAACACTGTTGAGTGAACCTGACTGGGT TAACAACCCAGGTTATGACAATACCGACGTTGCGATGCCAAAA ATTTGAACGGCAAGTGGCGTTACGCGAGACCCGAACCAA CCTATATTGAATTAAGCTCGTTCAACAAGCA	AGAA	G	14,7	171	ATTTATACCGGGCCT GAACC	60,0	GTGGGTTCCGGTGTC TCGTC	60,6	50	55	
		003_R1_00																		
		1_contig_9																		
		280																		
565	BrPe4087	Maracuja_NoIndex_L	4	4576	4587	12	3	8	ATTAATCTCGCTCAGCAACTTATTCAACAATGTCATTTCTAA TAACAAACAGTTCAAGCACTCACTCAAGAAAAAAAAAGCTTCAA GAGTTTCAATAACTAAAGAAACGGGGACCCAATAAGTTCTGTATA GATTTTATAATTATTTATCATCTATGAAACAACAGTAATGCA GCTAGTTGAGTTGGCAAATCAGTTATGAAATCCATCAAAC AATAAAACCATATGACCTAAAAACATAATAAAACTTCAAAC TATAAAATCAACAAAAGGAGACCAATCAAATCA	TTAT	S	17,69	196	AAACCGGGACCCAAT AAGTT	60,7	TTGATTGGTCTCCTT TTGTTGA	59,6	45	36,4	
		003_R1_00																		
		1_contig_9																		
		285																		

G: genoma funcional

S: genoma estructural

P: polimórfico

M: monomórfico

APÉNDICE

Marcadores microssatélites desenhados a partir do sequenciamento parcial e da montagem *de novo* do genoma de *P. edulis*

Nº	Primer	Contig	Motivo	Inicio	Fim	pb	Nº Repet	Score	Sequência do contig	Unidade	G/S	Cobertura	pb	Sequência Forward	T °C Fwd	Sequência Reverse	T °C Rev	% GC Fwd	% GC Rev	P/M
566	BrPe4088	Maracuja_NoIndex_L	4	4270	4281	12	3	8	CAGCCGTGCTGTAGATCACTTCTTGAAAATCAGATCTCCACTG TAAATTACCATGGGGAGGTGCCAGCTGAACAGAGGTGAGACATGGA AAATGCTTATTGTCCTCTAGACAATTGGTTAAGTAACGTGAGGT CAATGAGGATTCACTCACTCACCTACTCTAGTAGTTCTTATATT TGGAATTCAATTGCGTTCTGGGTTAGTGCGGACAAGCATTGTT CAGCTGGATATATGAGTATACTGAAATGCGTGAATTAACTGA CTGGCAACCCATGTTGCTTTTAATCCA	TCAC	S	18,88	229	CCAGCTGAACAGAGG TGAGA	59,1	ACATGGGTTGCCAG TCAGTT	60,4	55	50	
567	BrPe4089	Maracuja_NoIndex_L	4	1167	1178	12	3	8	AACCCCTCTGCTCTGAAATAAATAGTTAGTTCCGAAAGATCGAAA AAAACAATAGTTTCGATCGAAATCGAAGAGAAATTACGAAATA CTTGAGATCCAACCTGAGTTGGGAAAGGGAAACACCCCCACAGAA GCATGTTGGTGAGTGAGTGATTGAAGCTGCAAGATGACCTGAT GGAGCTGTATCTCATATATGGTTAAACTAACGCTAACAGTAACA TATAGCCTTCCCGTAACATAGTACTACGCATCTTGATGCGACAA AAAGTACTACCCCATCTCTTGTATACAGCA	GTGA	S	14,9	166	CCCCACAGAACATG TTGTT	061	GATGGGGTAGTAC TTTGCTG	59,9	50	50	
568	BrPe4090	Maracuja_NoIndex_L	4	4998	5009	12	3	8	TATTACAGTTAGAGATAAAATGTTCTTGACTGAGAATGGTAAGTGT AGAAAAATGCCCTGGAATAGTAACCTCTTCTCAGAATTGCTTAAT TCACAACCTCCATCTGGTGAGATCTACCTGCCACTGGTGTCTATA ACAACATGGCAAGCAAGAACATACCAACTGGGTGAGTGCTGA CTTTATGCTAATCCCTCGTAATGTTACTGTTACTTAACCAC TTTCCATTCCAGCTGTAAGCCAGTAAACAGTGGTACTGGATCAAG AAGTTGCTTAAGAAAAAAACTGATGTCGATT	GCAA	G	18,51	168	CTACCTGCCACTGGT GTTCA	59,7	CAACTCTTGATCC AGTCACCA	60,1	55	45,5	
569	BrPe4091	Maracuja_NoIndex_L	4	959	970	12	3	8	GTTGCTGTCTATTAGCCTCACCATTCCTGGCAACTGAGCTGAG TTCATCTATTCTCTGCAACTCCATATCTGAAGCTCCGAAGGCATAA CAGCCTTAGAATTGATTGCTTCAGCTCCCTAAATGAGTCTCGCAGA ATAAGTTGCAATGAATGAATGGCATCCATTCTGCATTTCCCATGG CAAACCTGGCTCTCACCACTCTAAAGCTATGAATGAAGAT CGCGGAT	AATG	G	16,72	157	CCGAAGGCATAACAG CCTTA	60,2	CCCGATCTTCATTC ATAGC	60,7	50	50	
570	BrPe4092	Maracuja_NoIndex_L	4	1593	1608	16	4	12	CCAAATCCTCCCTCCAGAGAAACCACCATACGGAAACATCATCA TGATATTACGTCTATCGCCATGCCAATATCGAGCAACTCGTGA ATCCATTCCCTGCAACCAATAAGAAGGATTAAGAATTGGTGCAAGG GCTTTAAATGAGAAAGAAGAAGAACAGTGGTCCAGGAACCA GGATGCAGGCACCTAAATACAAGACATCATAAGGATTATCAGTT TTGACAATTGGTTCTGATTAAGAGTAGCTATCACCCCTCA CCGTGCACAAATCAATGAGCTGACTCAGGCCTTGTGAC	AGAA	S	17,43	184	GAATTGGTGCAAGGG CTTTA	60,1	AGGCCTGAGTCAGC TCATTG	60,6	45	55	

G: genoma funcional

S: genoma estructural

P: polimórfico

M: monomórfico

APÉNDICE

Marcadores microssatélites desenhados a partir do sequenciamento parcial e da montagem *de novo* do genoma de *P. edulis*

Nº	Primer	Contig	Motivo	Inicio	Fim	pb	Nº Repet	Score	Sequência do contig	Unidade	G/S	Cobertura	pb	Sequência Forward	T °C Fwd	Sequência Reverse	T °C Rev	% GC Fwd	% GC Rev	P/M
571	BrPe4093	Maracuja_NoIndex_L	4	1329	1340	12	3	8	CAGTATCAGAAAGATAAGCAGTAGAACATCAGGCATTGATTAGGGTAAGCATGTAAAAGTAAGATAGTTCTATGACGTACAATTATTCACATATCCTGTAAGACTGCAGGTTGATAACAAGAATATCGCCATCAAAATAAGAAAGAAAGATAGGCAACATGATGACAGTAATTGGCAAAAAACACACATACCGCAGCAACTGTTGTTGAGAGCTAGACCATGAACACGAGGCAAGATTGCTTACAAGCTGCAAGGAA	AAGA	S	18,47	223	CAGGCATTGATTAGG GTAAGC	58,7	AAGCAATCTGCCTCGTGT	59,9	47,6	45	
		003_R1_00							TTTCCACATATCCTGTAAGACTGCAGGTTGATAACAAGAATATCG											
		1_contig_1							CCATCAAAATAAGAAAGAAAGATAGGCAACATGATGACAGTAATT											
		0819							GGCAAAAAACACACATACCGCAGCAACTGTTGTTGAGAGCTAG											
									ACCATGAACACGAGGCAAGATTGCTTACAAGCTGCAAGGAA											
									CAAAAAAAATAAAAAATTCAGATTATCTCA											
572	BrPe4094	Maracuja_NoIndex_L	4	1854	1865	12	3	8	TAATAACACTGGGAGCAGTCGAGCAGCAGATTGATAGAGTGTACGGGCATTCAAAGGAAACTTTTCTCAGCAGACTCAATATC	AACA	G	16,98	223	AGTGTACGGGCATTC AAAGG	60,0	AAGAAGAAATGCCCTCGTC	60,6	50	50	
		003_R1_00							CGGATCTTGGCTAACAGACTGGGAAAGATGAAATTAGCAAAAGGTGG											
		1_contig_1							TGAAAATGTTGAAACAAACAGAAGTTGGTGGATTACTTGCT											
		0942							CAAGCTGATAGAACCGATTCAATAGGAACCAACTGGAAAAATCC											
									ACACAGCTTCAGGACGGAGGGCATTTCTTGTGAAGGAAATC											
									ATTAGTGGACTACACATACTGGTTCTAGTTCTAG											
573	BrPe4095	Maracuja_NoIndex_L	4	3931	3942	12	3	8	AGCTTCCCTCAGGATTCTCATATCACAGATCAGAAATACGCATGGCTTCAGAAAGACTATCATCACTTATTCTCAGATTCCAGGGCAGCCTTCACACTAAAGAGCTTGGAAAGACCTGTTAACCAAGGAAACAA	ATGG	S	17,65	218	AGGGCAGCCTTCACA CTAAA	59,9	GCCCGTGCAGATTTTT	59,2	50	45	
		003_R1_00							TAAGGTAAACATGGATGGATGGATTATGCAAGAAAAAGAGA											
		1_contig_1							AAAAACAAAGAAGATTGATGGAGTCAAAAGACCTGATATCCG											
		1493							TAAGCAACTTGTCTTGATAAAGTGGCAAGTTAGCTTCCCTTCA											
									TTCATAAAAATATCTGAGCACGGGCCATTTC											
574	BrPe4096	Maracuja_NoIndex_L	4	4248	4259	12	3	8	AGCACCTATCTCTCATGCCATCAAGTGTGAGGTAACTCGACTAGAGTGTGAAAGTGTGTTAATGTTGATCTGAAAGTTCTCCCTGATA	GTTG	G	17,46	175	CCCATCAAGTGTGCA GGTAA	59,6	GTTTGTGGTTGGCTTGACC	60,4	50	50	
		003_R1_00							ATTTATGTTCCATTGCGATAGCATGGATGCCACTTCTTCGAT											
		1_contig_1							AATGATGCTGTGGTTGGCTGATGTTGGAGGTCAAAGCCAACC											
		1578							ACAAACTTTGATGCCCTGCTCTTAAATGCTGAGGTTGTTT											
									AAGTTGGTTGGAGAACATTGCGACTAAACCTAATTTAGTT											
									TAAGAGAGTAATTATGCAAGCCAGA											
575	BrPe4097	Maracuja_NoIndex_L	4	1264	1275	12	3	8	TCAATTATATTCAGGATGGCGACATGTGAGTTAGGCATTTCTGAGTTAAATGTTGAGGTCAAAGGAAACCAACTAGAAATGCACACTGATGCAAGATGTGATTGATTAGGATTAGTTAGTC	TAGG	S	15,56	176	GGATGGCGACATGTG AGTTA	59,5	GCATGTGAAATGGGTTCTTG	59	50	45	
		003_R1_00							TTATGCAAATGGTAGGTAGGATGGTTAGGTCAAAGAACCCTTCA											
		1_contig_1							CATGCATAACTAAACTAAATCCGATGCAAATAGGAAGCACTAA											
		1884							ACTTCGCCAGAGATAATGCCCAATGACAATCTGTAACACTA											
									TGTAATTCTGCGTCTCCACAACTA											

G: genoma funcional

S: genoma estructural

P: polimórfico

M: monomórfico

APÉNDICE

Marcadores microssatélites desenhados a partir do sequenciamento parcial e da montagem *de novo* do genoma de *P. edulis*

Nº	Primer	Contig	Motivo	Inicio	Fim	pb	Nº Repet	Score	Sequência do contig	Unidade	G/S	Cobertura	pb	Sequência Forward	T °C Fwd	Sequência Reverse	T °C Rev	% GC Fwd	% GC Rev	P/M
576	BrPe4098	Maracuja_NoIndex_L	4	2175	2186	12	3	8	ACAATAACATCATTGCCACCCAGAGGATCTTCAACTTCATTGGA GACTAAAAATCACTTAAAGAGAAAAAGAGGACAAATTGCGTTT TTTTAATATAAATTTATTGAAAATTAGAACAAACAGAGAAAT GCACCAATCAGATCAATCAATCAGAAAAGATGAAATAAAAGCTGA CAGAGAATAGCAGTTCTCTTCCGGAGTTAAGTGTGAGC ATAGCTACTTGATTCTTCTATTGTTGTCCGGTGTGGTAAGTG AGCATAGTACCAAACCCCCAACACACAACCAC	ATCA	S	16,23	108	CAACAAAGAGAAATG CACCAA	58,8	TGCTCACACTTAAC TCCCAAA	59,8	38,1	40,9	
		003_R1_00																		
		1_contig_1																		
		2468																		
577	BrPe4099	Maracuja_NoIndex_L	4	1883	1894	12	3	8	TAACCTGTGGTATTGACTAAGTTCTAGCATTGTTACTTT ATGTTAGGATTCTGGATTCTCGGGAAACAGCTTGACCTCATTCAAA TAGGAGCACTTGTGGACTGATTATGGACTCCGATCTTGCAAAAA CAAGGTGGTTGTTGTGTATTAGGCATATGTGTTCTTAAG AGATACCCTTTATAATAATGCCATTCTGAATCCTTATGCAATAG TTCCTGTACATGAAACGTAACACGGAGCATGATCCACCTTATTGGA GAGGCCGATTGGATGAACATGAATTAC	TGTT	G	16,9	231	ATTCTCGGGAAACAG CTTGA	59,8	AATCGGGCCTCTCC AATAAG	60,4	45	50	
		003_R1_00																		
		1_contig_1																		
		2570																		
578	BrPe4100	Maracuja_NoIndex_L	4	4564	4575	12	3	8	ACTTTATCCTTCACAAAGTACAAGAAAGTAAAAGAACATGCTTTAT TCATACTGTTGTTATCTGAAAATATTGACCTCTTTAATTCTCAGG GGCACTCTACAGAGGTACACTGTTGCTGGATGTAATGGAGA TTCTTGGCGTCAGTCAGTCAGAGCTGTGAGAGTGTGGTCATTGG CCTCGGGAGAATGCATCATGAACTTAGTACCAAGCGGAAACAAATT TCATTCTTGTTGTTCCATCCAAGCTATTCCACCCCTTGGTCATTGG AGGCTACCAGGTATTGCTGTGTCTTATAG	GTCA	G	19,11	150	GTTTGCTGGGATGTA AATGGA	59,8	GGTGAATAGCTTG GATGGA	59,9	42,9	50	
		003_R1_00																		
		1_contig_1																		
		2573																		
579	BrPe4101	Maracuja_NoIndex_L	4	3567	3578	12	3	8	CGATAAACGAAACCTCTGAAAATACTGCTCTGACTCCTCGTAA TCTCTTGACATCAGCTCGAGAAAGGAGCTCAAACTGTGATCA AGAAGAAAAGCTTCAGCTTCTTCTTCTATTAGCAGCTCTTCTTCT CCCTCTAAAGCTAGCTAGCTTGTGATCTGAAGGTTCTACA GGGATCCCACACTGCCCTGGCTATTCTCAAGCATGTCATTGCAA CCCTGATCAAGTTCTGATCCGAAGGCCCTGGTTAACTTGCCA CAATTCAAGCTGAGAATGTGAAGTTCAA	AGCT	G	16,22	207	GCATCAGCTCGAGAA AGGAG	60,2	CCTTCGGGATCAGA AACTTG	59,7	55	50	
		003_R1_00																		
		1_contig_1																		
		2620																		
580	BrPe4102	Maracuja_NoIndex_L	4	1611	1622	12	3	8	GGCTAATTTTCCGGCACGTTCTACATTCACATAAACATG ATTTCTGTGTTTCAACCCATGGGTTAATGGCATGCAAGACTTTA CATAAATTCTGACATTCTGAAAGTTAAATAACATGCAACTCATAC TCCCTATGCACAGACAGACAGGACAACAGCAACACATGCTGATAA TTTCTGAAATCACAATTCTACTAACAGATGAAACAGATAGTGA AGCATGCGAGTTCTAAATACACCATAAAACCATTAAGTATACC TTCTTTGCTTGTATAAATTGTCTAGTAA	ACAG	S	17,43	177	ATTTTCGGCACGTT TCTC	59,2	TCAGCATGTTGTC TGTTG	59,5	40	45	
		003_R1_00																		
		1_contig_1																		
		3044																		

G: genoma funcional

S: genoma estructural

P: polimórfico

M: monomórfico

APÉNDICE

Marcadores microssatélites desenhados a partir do sequenciamento parcial e da montagem *de novo* do genoma de *P. edulis*

Nº	Primer	Contig	Motivo	Inicio	Fim	pb	Nº Repet	Score	Sequência do contig	Unidade	G/S	Cobertura	pb	Sequência Forward	T °C Fwd	Sequência Reverse	T °C Rev	% GC Fwd	% GC Rev	P/M
581	BrPe4103	Maracuja_NoIndex_L	4	749	760	12	3	8	GTCAGTCTGGAGCTGAGGAGACTATAACGAAATCATTCTAT CAAAATCATCATTTCAATCCTGTGCTTCGATCACGTGATCAAGT AAATCACTTAATTCTCGGGAGTTGCTTCAGCTTGAAACCAATCC TGTGATGTAATCCATCCATCCCCAGCCACTATACATATCCCCAAAC TGAAAGCCCAAATTGTTCCATCAGCTCTTGTCACCTCCGAAC TTCTCTGCCAGCTTCTTCAGCCTTCGACCAAGAACACATCTA GAAGTTACGGTGTGAAAGTAGCAGTCAA	ATCC	G	12,14	173	CCTGTGCTCTTCGATC ACCT	60,4	GAAAGTCGGGGAG TTGACA	60,1	55	50	
582	BrPe4104	Maracuja_NoIndex_L	4	7024	7035	12	3	8	AAAGTAACCTTCTCTACAAAATTCAGTTATTTCTGATATC TCGAATCTTGTCTTCTTATTCTGTAAAAAAAGCAAGCGGT GATTTTTTGTAGAAAAAGCCACCTACTTGCATTCTGA AGTTCTCAACAAACAAACAGAAAATCAAACCAAAACATCATCCA CACCTTCACTCTGAAGAAGAAGTTAAGCGTGGATTATAAAAA TTAAAAATCACAAAAGGAGGAGAAAACCAGCTCCTTCATTTC AGGATTCTCAACCAACAGACAGACAGAAG	AACA	G	16,78	104	GCCCACCTACTTGC ATTTC	59,9	CCACGCTTAACCTC TTTCTCA	59,9	50	39,1	
583	BrPe4105	Maracuja_NoIndex_L	4	2446	2457	12	3	8	CCTACCATTGGTTGCCCTTCTCTGATGAATGCTCTCATTT TATGCTCCCATATACTATGTTGATAGCGTGTCTGTTGG ATATGAAATCATATAATCGAACAGTTCTTGCACCTTCCGAT TATTATGTTGTTGTTGACTGTGGATCGCCTTTGCAAGT GTTGATGTAAGGATACATACATTCTGTTACCTTACTCTTAAG CTTGTGTTGATTACCCCTGTTAGCTTCTCATGGGTCTTATGTGA TTTTTGTTAGTGTCTACAATAC	TTGT	G	15,14	160	TTCTTGCGAACCTTT CACC	60,2	AAGACCCGATGAAG GAAAGC	60,6	45	50	
584	BrPe4106	Maracuja_NoIndex_L	4	156	167	12	3	8	AAGCCGAGCTCGTCTGAGCATCACTATTGACGAAACGTAGGC CCTAAGAATTGGGCTGTTCTTATTCTTGGTGTAGGGTT TTCTGACAGATAATTAGATTGAATTGGGATATTAAATTGTTGTCAT TTATGAAATTGAATGAATGAAGGTTAAAGCTTCAAGGAAAGGGAG TCGCTAGCATTACTGCAAAAAACTGGCGTGTGGCGAAGG TCAGATTTCTTCTGCTACCGCTAACATTGTCATGAACACATCAC CTGTGAATAGTTTATATGGTACGTTCTG	TGAA	S	17,51	151	GACCTAAGAATTGG GCTTGC	60,1	GCTAGCGACTCCCT TTCCTT	60	47,6	55	
585	BrPe4107	Maracuja_NoIndex_L	4	960	971	12	3	8	TAATTCTCACCTCTAGAGCACGCTCTTAAGAAAAATGGCATC TCATTCCGCCCATTAAGCATTATAACGGTAAAGTGCATGATGC GATTAAGCTAGCTCATGAGAAGAATTGATGGGCCAGGGCGCT GTCAAAATTGATTGATTAACCATGTTACTGTGAATATTGCA AAATGGTTGCGCATGGTATTTCATTACCATCTGACAGAACATAC GTAAAACAGACAGACAGTACCGAGTTGATTAATTGGGGTATTA AACATCAACGTTAACATGTGAAACACAGA	GATT	S	15,57	154	AGGGCGCTGTC ATTC	62,4	TGTTTAATAACCAC CAAATTAATCAA	59,1	52,6	22,2	

G: genoma funcional

S: genoma estructural

P: polimórfico

M: monomórfico

APÉNDICE

Marcadores microssatélites desenhados a partir do sequenciamento parcial e da montagem *de novo* do genoma de *P. edulis*

Nº	Primer	Contig	Motivo	Inicio	Fim	pb	Nº Repet	Score	Sequência do contig	Unidade	G/S	Cobertura	pb	Sequência Forward	T °C Fwd	Sequência Reverse	T °C Rev	% GC Fwd	% GC Rev	P/M
586	BrPe4108	Maracuja_NoIndex_L	4	2110	2121	12	3	8	GA...GAGCTCGGGTGCATGGTCAGAATCTACATTGAGCTC CATGAAGTCATGACAATCCTGTAATGCACCATGCTCCCTTGTGCA TTTCGAAACATGGITCTGTGTCAGGTGATATCTGATGACCTA GACAATCTCCTGCTTGAGACATTTCACCGACAACCTGCT GTAATCGTAAGGGTTGAAGGTGATGATGCAATTGAATGTTGAC AGCATAAACGGCACAGTTGGGTAAGGGTCGATTGATGCAA GAGAAGGTGACTGTGGCTGTGTTGGGCC	CTTG	G	17,78	204	TGTAATGCACCATGC TCCTC	59,7	ATCGACCCTTAC CCAAC	60,1	59,7	60,1	
		003_R1_00																		
		1_contig_1																		
		5778																		
587	BrPe4109	Maracuja_NoIndex_L	4	2446	2457	12	3	8	TAGTTGCATGTTAGTGAATTACGTGATAACATCACACCTTGC GCCTCAAAATGGACCAATTATGCTTGTGCGATGAATTGTGA CTGACAATTGCCCTAACTTGTGGCTGCTAATAGTGTCTGTAT AATTGCTAGAAGAAAAGACATTGCAAATTGGTTCTAGTAGA TTCTCTTGAGTAGAGAGGGTTCCATTGAAAGATTTAAATGT CAAATAATTACAATGGATCCATGACCGTAGCCGTCGTTGAAAT CTGATGTTGTTGACTGACAAGAATGCTC	AAGA	G	16,37	236	ATGCCTCAAAATGG ACCAA	60,3	ATTCAACCACGAC GGCTAC	60	40	50	
		003_R1_00																		
		1_contig_1																		
		5821																		
588	BrPe4110	Maracuja_NoIndex_L	4	1304	1315	12	3	8	ACTGAATTCTGCACATCAACCAACTGCCATTGATGTCAGCAG CAAAGTATCTTCGTAATCTTTATGCAATATGGATACAAAATGA TTTATCTTATTACAAGGAAACGACTGTTCAAATGTGTGTTCTC CTTGTGGCTGTTCTTCTCGGTTCCATTACTCATGTTCTGT ACACTCTATGCAGATATGAGTACAGATGGCTGATGGAGTCATCA TCAAGAACCAATTGAGGTGCTGCTCAAATATGTTGACTACCTG ATGGACTGGATTGAGACTCAGTTAGATGA	TTCT	S	16,47	197	TGATGTCAGCAGGAC CAAAG	59,8	TCCATCAGCCCAC TGTACTC	60,1	50	52,4	
		003_R1_00																		
		1_contig_1																		
		5969																		
589	BrPe4111	Maracuja_NoIndex_L	4	9170	9181	12	3	8	AACCGATCAAGGATCAAACATCCTGCAATTAGTGT TAAGCACTCAGTACTGATTAGTACATGAGCATTTTCG GTAAAGCCAAATGAATTAGGAGATCTCAGAGGATAAT ATGAAAAAGAGAAAAGAAATATCTCATCAAGTATG ACACAATGGCACCACAAAGAAAAGGACTGT ACAAGGTGACAATACTCATGCTTTTATATC ATGTTCTATGATAAACAAACAAACCTCACT	AGAA	S	15,8	206	ACCGATCAAGGATC AAAAT	59,5	TCTTGTGGTGC TGTGT	60	40	45	
		003_R1_00																		
		1_contig_1																		
		6166																		
590	BrPe4112	Maracuja_NoIndex_L	4	3762	3773	12	3	8	TGCATTGGCATGATGTCACAATCTAAATCTAATAGAATGG TTGCATTAAGAAATACAGCTAGAAGTTAATGAAA CAGTGAAGACAAAAGTAGAAATTGTAACAACTG ATTAAACATAAGAACAAACAACTGACATTCT CATGAGCATCATAACATAGACAGGTAGCACTCG TACAATGGGTGAAAGGAGGCCTATAAGAACAG AAATAGGGTAAAAGGTCAATTATACTATAAATAA	AAAC	S	17,33	171	TGAAAATACTCG GTGAAGACA	059	CTCCTTCACCACCC ATTGT	59,8	37,5	50	
		003_R1_00																		
		1_contig_1																		
		6723																		

G: genoma funcional

S: genoma estructural

P: polimórfico

M: monomórfico

APÉNDICE

Marcadores microssatélites desenhados a partir do sequenciamento parcial e da montagem *de novo* do genoma de *P. edulis*

Nº	Primer	Contig	Motivo	Inicio	Fim	pb	Nº Repet	Score	Sequência do contig	Unidade	G/S	Cobertura	pb	Sequência Forward	T °C Fwd	Sequência Reverse	T °C Rev	% GC Fwd	% GC Rev	P/M
591	BrPe4113	Maracuja_NoIndex_L	4	492	503	12	3	8	ACAGAAAACGGATATGGAACCGGGCTATACTTTCTCTAGTG GAAGGAAGGTGGAAATTAAAGGGATATATAAGAAGCAAAGGAA TATAAGGAGAGACAAACCTTAATTCTTGATATGTTATATGGA ACGGAATGGTGTGGATGGATGGACTTTGAGTGCTGCTATATACT CTTAAATCTTGTGGTGGTGGGGTGGTAAAGAAAATGCCA AAAGAAAGCAGAATTAGCCTGACACTATCAAATGAATCTCCC ATCTCTTCCACTTGGACGGGTTCTGGTAAACG	TGGA	S	14,01	107	GCAAAAGGAATAAA GGAGAGACAA	59,3	AAGAGTATATAGAG CAGCACTAAAAA	57,3	36	34,6	
		003_R1_00																		
		1_contig_1																		
		7161																		
592	BrPe4114	Maracuja_NoIndex_L	4	2770	2781	12	3	8	ACATGTTATCTGTCCCCGTGAGATTTGAGACCTCTTCATC CCTAGAACATAGCCAATATTAGCTCCCTGAAAAAGTAAACAA AAATATTAAGTAGAAGGAGCAAGTTCTACATAGTTGCATGGAA CATGGAACCTCTAGCTAGCTAGTCTGCACGACCAGTTGAGGCC TCGTTCTCATGATTTGTTGAATAATTAGAGTTAACACGGTCC TCTTCCACCATCTCTCAGCACATCGCCTCGATTTCGGCTTGC CACCGAGAAGGGTCTCGGCAAACGCGCT	CTAG	G	15,05	178	CCCCGTTGAGATT TTTG	60,3	GAACGAGAAGGCCT CAACTG	60	45	55	
		003_R1_00																		
		1_contig_1																		
		7344																		
593	BrPe4115	Maracuja_NoIndex_L	4	371	382	12	3	8	AAGGGAAAACAAGGTTACATGTCCTCACTCTATCCGCCAGA GGCACCAAGGTTAGCCGATATATATCAGTATACGTAATAGTGG CTACATATTGCTTACAATATGTGATTGAAAATGATTAAAGTTG TTTGGCTGTATTGATTGATGAGCTAGATAAGAACCTCGATCATG CTAACATGTCAGCAATGAAACATCGCGAGCTGAGGGTTAAAGGAGT GGTTGGAGAAGAGAACAGAGAACAGCTGCAAGGGAGATTGAGGCAA TGGGGAGGGAGAACCAAGGGAGTACAAAGATTACG	ATTG	S	19,44	153	TGATTATTAAGTTGTT TTGGCTGGT	60,2	ATTGCCTTCAATCTC CCTTG	59,1	32	45	
		003_R1_00																		
		1_contig_1																		
		7784																		
594	BrPe4116	Maracuja_NoIndex_L	4	5127	5138	12	3	8	AGCATTGCAAAGATAATTCACTCTCAACCCAAGTCTGAACCTCT CTTCTGATGGTCAGCTGGCAAGTCTTAGCTGCAACCCCGATC ATTTCTCTCAACATCCGGCGCTTCATATCTCTCGATGCTACAAA ACAACAAAGAAATAATAATTAAACCTCTCGACTTCCGATCAGC AATGTAAGCAACATTGGAGAAGAAAAACCCCTATAGCAAATCTCT TGTGCCCTCTC	AAAT	S	16,43	168	TCCACTCCTCAACCC AAGTC	60,1	CTGATCGGAAGTCG AGAAGG	59,9	55	55	
		003_R1_00																		
		1_contig_1																		
		7859																		
595	BrPe4117	Maracuja_NoIndex_L	4	11318	11333	16	4	12	GTTCGACCGAAGTGGAAAGCATATACTTAGTCAGGAACAAGGTG AACCATAAACAGATTATGGAGCTGACCGTTGGAAACTCTCTAAA CCAAAAGATTCTTGTGATTATCACAACAAAGTTCTGCCC AGCTTCCATTGAATGAATGAATGAAAGCATCACATCTATAAAAG TAGTCACCTGAAGAACAGAGACTTAACATTAGAGGAAAGCATGAA GTCAAGCCGTAAGCCGTAACCAAAGCGTGTCCAGAGAAC ATGGTAAGCAATATTACCAATTGATGCTTCATCGTAG	TGAA	G	18,81	181	ATTCATGGAGCTGAC CGTTT	59,6	GGCTGACTTCATGC TTTCC	59,8	45	50	
		003_R1_00																		
		1_contig_1																		
		7908																		

G: genoma funcional

S: genoma estructural

P: polimórfico

M: monomórfico

APÉNDICE

Marcadores microssatélites desenhados a partir do sequenciamento parcial e da montagem *de novo* do genoma de *P. edulis*

Nº	Primer	Contig	Motivo	Inicio	Fim	pb	Nº Repet	Score	Sequência do contig	Unidade	G/S	Cobertura	pb	Sequência Forward	T °C Fwd	Sequência Reverse	T °C Rev	% GC Fwd	% GC Rev	P/M
596	BrPe4118	Maracuja_NoIndex_L	4	273	284	12	3	8	GAATCGAATTGATATAAAGGAAAAACTGTTCTGAGGATCGTT GATCCCTTCTGAAAGTGACAAACCAATCGAACAGAACAA GCATATTGCTTCCTCCCTTGACTCTTCCCATCTCCCC ACCTATATACACTCACTCACTGGCTGCCATTCAACCATTCA TATCCATTCTCGGCAAATGGGTCGCCACCAGTCCATGGAAA AGGTTGTTGTGACTAAATATACATATATCTACTGAAAAAG CCTGTTTCTTTATAGCTTTATCTTC	CACT	S	14,94	121	TGCACTCTTTCCCATCTCC	60,2	CTTTCCCATGGAACTGGTG	60,3	50	50	
		003_R1_00																		
		1_contig_1																		
		8355																		
597	BrPe4119	Maracuja_NoIndex_L	4	6922	6933	12	3	8	ATATTAATATAATACAAATCATAATTCTTGATACATATTCTTAC GACGATAAAATGTATAAAATTAAGAATCCTTCTTTATGATTAA TATGATTCCAATTGAAGAAAATCTTAAATCAATTATTTCT ACATTTTAATAAATAATATAAAATTATAACAATGCATTTATAC TTACTAAATTATGACTTGTCTATGAGTCAAATAACGTGTTAATAA CATTACAACCTAGCGAAAAGGGCAAAAAAGAAGGAATCTTA ATCAATCAATCAATCAATAACAAACAA	AATA	S	17,51	232	TTTGATACATATTCTTACCGACGA	059	CCCTTTTCGCTAGTTGTG	59,7	32	50	
		003_R1_00																		
		1_contig_1																		
		8435																		
598	BrPe4120	Maracuja_NoIndex_L	4	6651	6662	12	3	8	AAGGAAACTACCCACGTAUTGCAGTAAATGAATGCGAGAACATG TACGTCGAAACAGTTAAAGAAACGTTGAAATAAAACCTCCGCT TTTGCAAGCATATTTCATCCCTTGAAGGGATCCAAATTCAA CATTATCATGAAATCAATCAATCGCACAAACATTAAAGCATTACATA ATAAACCAACACATAATACAATAAGAGAACAAAGACGAGGAGA AATGCTAGATACGTCTTGAGATAAACGACAGTATGAGGCTG AGTTCTCGCTAACACCATCCACGATCACAGACGGC	AATC	S	18,08	221	CCGCTTTGCAAGCATTATT	60,2	TCTGTGATCGTGGAA	60	40	50	
		003_R1_00																		
		1_contig_1																		
		8506																		
599	BrPe4121	Maracuja_NoIndex_L	4	5059	5070	12	3	8	GACATTACTGCTGTTCTACGTTCTGTCATCAGAAACACTTCTC ACAACCAATTACAATCAAACACAGCAAGTGTACTGATCATAAC TAAACAACTTGTCTCAATTATCTGCATCTGCGCCTTGATCTTG TTTCAGTTCAACCAACCAACGAGACCAAAGAACCGAGCTCGGTG TCATTACTGTAGCTTGTCTTGTGTTCTCATGGCTTGGTGC TGACATTAGGAACATAATAAGAAAATCCATCAGCATTTA CTTGGAACAGAACAGAGATAATATAAT	CAAC	G	16,17	151	GCGCTTGATCTTGTTC	60,4	TGCTGATGGGAATTTTCTTT	60	38,1	31,8	
		003_R1_00																		
		1_contig_1																		
		8882																		
600	BrPe4122	Maracuja_NoIndex_L	4	783	794	12	3	8	ATGATATGGAATCAAGTTGCCCTACGGCATGAGCTATGGCTGC ATAAATCGTCATGGAAAGACCTTAAACTTGGATCTCAGCTGAAA ACTCTCCACAGCCAGCATTCTCTAGGAAAAGGTGTCAGCAGGATGG TAGTTGAAGATGCATGCATGCCATGCTGTGATGATAAGGTGAG CAATATGGCAAGGTGCAAGGTTTCTGGGCAATCAGCTAACCTTG TCTTCATTCCACATGGCAACCCATAGTGTAGAGGGCAATGTGTT AAGGGGTTAATCTTGGCCTCGACCATGA	ATGC	S	60,16	161	TGGCTTGCAAAATCGTCA	60,2	ACCTTGCCATATTGCTCGAC	60,1	40	50	
		003_R1_00																		
		1_contig_1																		
		8975																		

G: genoma funcional

S: genoma estructural

P: polimórfico

M: monomórfico

APÉNDICE

Marcadores microssatélites desenhados a partir do sequenciamento parcial e da montagem *de novo* do genoma de *P. edulis*

Nº	Primer	Contig	Motivo	Inicio	Fim	pb	Nº Repet	Score	Sequência do contig	Unidade	G/S	Cobertura	pb	Sequência Forward	T °C Fwd	Sequência Reverse	T °C Rev	% GC Fwd	% GC Rev	P/M							
601	BrPe4123	Maracuja_NoIndex_L	4	479	490	12	3	8	CTTCTCAACAAGGTCACTCAGTTATGTTAACCTCGCAAGACATTGGGTTGTCCTCTCTCTTCCATTATCTGCTCTGTTGATT	CTAG	S	17,11	235	CATTGGGTTGTTGCC	60,0	CCTCGGAATGTGC	60,6	45	50								
		003_R1_00							AATAATTGTTACTTGCAATTGCGAGGGTACTTATATATTATGATG					TCTT		TAATCG											
		1_contig_1							CATCACTCTAGCTAGTAGATAGGGTTTATATAATGTCGTTTC																		
		9269							CCATTCTTATGATCGTATGCTTGTATGATTAAGTATTAATAG																		
									TAAACTATATACAGACTCGGATTAGCACATTCCGAGGAACCTGTT																		
									TCCTAGTTAACAGTGTGGCTTTGTC																		
602	BrPe4124	Maracuja_NoIndex_L	4	2351	2366	16	4	12	TTCTTTCCCATGTGCTCTTAAAGATTAGCAACATAAATATGATAA	TCCT	G	18,94	160	CCCGAATTAAGCAAG	60,1	CCTGCCATGTGACT	59,1	45	50								
		003_R1_00							CTAAAAGAAGAATGTAAGATTTCTGTATCGATAACGAAAAGAC					CACAT		TTTGTC											
		1_contig_1							CCGAATTAAGCAAGCACATCACATTTCGTTGGTGAAGGTCGCTA																		
		9278							TCCACACCTCTTCCCTCTCTAAAGGCACATGATAATAA																		
									GAAAATGCTTGAAGTTCCAAGCCTAAGAAAGGTGCTAAATAATG																		
									ACAAAAGTCACATGGCAGGATGCCAAGATTCTAGACTCAGAGG																		
									TTTGTGAGAGACATCCAGTAGAAGTTTACATCTCT																		
603	BrPe4125	Maracuja_NoIndex_L	4	2342	2353	12	3	8	CAACACTGTAATGCTGGCTTTAATTAGAGAACATCAGCCTGCC	TTTC	S	18,29	186	AAGCTATCAGCCTGC	60,0	TGCAATTCAAATTG	58,9	45	35								
		003_R1_00							AAAATCAACTCATGATGTAGGGTGTGCTACTCTGAAATGCTGCA					CAAAA		GGGTAA											
		1_contig_1							TAACCGCTTCTTGATATTGACCACAAACCAATGGTGTGCTGGTTAT																		
		9330							AGAAATAATTCTCTTCTACTCTTGGAGGTATGCTTACTGT																		
									AATTATGTTACCCCAATTGAAATTGCAATAAAAAAAAAAGAGAATA																		
									TTATGGAGAAGATCTGAAAGAGATAATGCCATGTCTACCTCTTA																		
									ATTAGTATGAATTCATTACTATCTTTTG																		
604	BrPe4126	Maracuja_NoIndex_L	4	494	505	12	3	8	ATTAACAGAATCGAACATTGAACTTAAAGACTCAACATGACTATT	ATAA	S	13,55	220	CTCGTCTCTGCCGTGAC	59,8	TCGGACCCTTTGTC	60,7	60	50								
		003_R1_00							ACAAACTCTCGTCTGCCGTACTGTGTTATTACAGCAGTAACCAT					TGTG		CTTAT											
		1_contig_1							TGTCTGGATAGATTGATAATTGTCATTAATATTCTTACTACA																		
		9433							ACTAGGATTATAAAATAACAAACTGCCGCACGCTTATAACAC																		
									GTTACCTATAAGAACATTAGGTACTAACAGCATTATCT																		
									AGAAGGAAACATAAGGTATATAAGGCACAAAGGTCCGATAAT																		
									ATAAACCTATTAAACACAAAGTAACTAA																		
605	BrPe4127	Maracuja_NoIndex_L	4	747	758	12	3	8	TAAATGTTGTTTACATTGATTGATGACCACTTGTCAATTGTT	TTGG	G	767,2	159	ATAGGGCTCTGCCCT	60,1	GGACCTCCAAAATT	59,8	50	45								
		003_R1_00							AGTTTGAAGGTTAAATCGGATTATGATGAGGGCTCTGC					GTTTT		CACCAA											
		1_contig_1							CCTGTTTCCAGTTTCAGTCATATGCCACTTGGCAATCATA																		
		9505							TTGGAGATTGGTTGGTGGATTGTTGATCTTGGAGTG																		
									AGCCTGTATGTCAGGCTATGTCGGATGGAATTGGTAATTGG																		
									GGTCGGAGGGTCCCAATTGTCGTAAGTACTGAAACTAA																		
									GGTTTATGATCTG																		

G: genoma funcional

S: genoma estructural

P: polimórfico

M: monomórfico

APÉNDICE

Marcadores microssatélites desenhados a partir do sequenciamento parcial e da montagem *de novo* do genoma de *P. edulis*

Nº	Primer	Contig	Motivo	Inicio	Fim	pb	Nº Repet	Score	Sequência do contig	Unidade	G/S	Cobertura	pb	Sequência Forward	T °C Fwd	Sequência Reverse	T °C Rev	% GC Fwd	% GC Rev	P/M
606	BrPe4128	Maracuja_NoIndex_L	4	1925	1936	12	3	8	GTATTTCCCCATCTTATTATGATAATTCTTTTATTTCTATT TTCTTAGCTGAATCGAGCTTATCGAGAAAAGAAAATGGACAT GAGCTGTCTGGITGCGTTACCTGAATGTTATCGATGTGCTG GCTGGCGCAACCAACCAATACCGACAAGGTAGCATCGCGTAAGGG TAGTTCCGTAATGGAAGTGAATGTTGTTATTATTGATTGA TTACCTTTGACCTTACAGAGGTTAACCAATACAGTCAGATC TAACTTGAAACCTTACATCAGATGTGA	CCA	S	15,93	101	GGACATGAGCTTGTC TGTGG	59,3	TACCTTACCGCAT GCTACC	60,1	55	55	
		003_R1_00																		
		1_contig_1																		
		9917																		
607	BrPe4129	Maracuja_NoIndex_L	4	1340	1359	20	5	16	CTCATAGAAATCATTCAATAATGCTTTTATCTCGTATT TTATCGGATCAAACCGAATCGTAGACCAACTATCAACCCCTTGA TTGGCTAATGCTACGTGTTAGTTAAAGGAAAGGGATGACTAATT TTGTTATGTTATTTATTTATTTATGTTAAATCGGATATGTATAT TAAATATGAGATTTTACAGTATCAATTAAACAAGTCTAAACCA AATAAAATATTTAATTAGAGTTAAAGACTGTAATGTCGATATT ATTGTAACATTTGACCAAAGTGGATGCCCTCT	TATT	S	121,5	233	CCCTCTGATTGGCTA ATGCT	60,6	GAGGCATCCACTTT GTGTCA	59,7	47,6	50	
		003_R1_00																		
		1_contig_2																		
		0130																		
608	BrPe4130	Maracuja_NoIndex_L	4	4512	4523	12	3	8	TGTCTGACTGAAAGGATTATTAACGCTTGGGAACTGTTCA TGTCAAATGATATTCTATTCGTATTGTGTTAGCTTCTTGTCA TCTTTGATTGCTTCCACCCCTGCTGCAAACTACCATATCTGCAA CTGACGTTTCTTCTTCAAAATAGTTAAATTAACTTCAATT CTGGTCAGGAGGTTGATGATGAAGACGAAAAGTAAAGGTT TGAAGAAGGAGATGGCGAGGGAGTGTACAATGCTGTAGCAGCAG CTTTAGTGCAATAATGAATAACATCCC	TTTC	S	16,85	182	CGTCTGGAAACTT GCTTT	59,4	CAACCTCTGCACC AGTAAA	58,8	45	50	
		003_R1_00																		
		1_contig_2																		
		0399																		
609	BrPe4131	Maracuja_NoIndex_L	4	1043	1054	12	3	8	ACATGGAAGAGTCGGAGACAGGAAGCATATGCCATTCTGTG GAATTTCCTTGAGATGCGTGTCTCTGGACTTGGGCTTGGA AATTGGGACTGAACCAACATAAATATTGTATTTGGATCCATATCA TATGTGACATAAAATAAATTCAGCAGACAACTGTGAGCAA TGCCAAAATAGATCATAAACTATATTAAAAAAAAGAAAAAGGA ACTACAATTCTAGTGGATGCATTGGGTAATTATGTTATCATT AATAAGTGAAGAAATTAGTGCACCTTATTGATATT	ATAA	S	29,88	186	GAGTCGGAGACAGGA AAGCA	60,5	TTTGGCATTGCTCAC AGATT	59,3	55	40	
		003_R1_00																		
		1_contig_2																		
		0497																		
610	BrPe4132	Maracuja_NoIndex_L	4	2002	2017	16	4	12	TGATTTATCCTGCAACTAATAGTGTCTTTGATGATTTAAATT TGGAGGTCTGGTGTGCTATGCGAATTCTTCTTCCACCTGTG AATGTGGATGGTGAAGCGCATCAAATGCGCAATGCATTGG CGAAGAAGGAAGCAAGCAAGCAAGCTAGAAACATATCACGG GTTGGTCAGTGTCCGGGCTGCAGATGACCACTCGCTGCTCCT AAATATAAAAATAAAAATAAAAAGAGAAGCAAGGATGCCAATA AAATCAAATCAGGTACATGCAAAGTCACAAACAGCCAC	AAGC	S	16,17	150	ACCTGTGTACAAATG TGGATGG	59,6	TAAGAGGAAGCAGC GAGTGG	60,7	45,5	55	
		003_R1_00																		
		1_contig_2																		
		0975																		

G: genoma funcional

S: genoma estructural

P: polimórfico

M: monomórfico

APÉNDICE

Marcadores microssatélites desenhados a partir do sequenciamento parcial e da montagem *de novo* do genoma de *P. edulis*

Nº	Primer	Contig	Motivo	Inicio	Fim	pb	Nº Repet	Score	Sequência do contig	Unidade	G/S	Cobertura	pb	Sequência Forward	T °C Fwd	Sequência Reverse	T °C Rev	% GC Fwd	% GC Rev	P/M
611	BrPe4133	Maracuja_NoIndex_L	4	1968	1983	16	4	12	TAGTTAGGATCATATGGTAGATCGTTCAGGAATTAGTTATAGTAGTG	ATGA	S	23,62	154	CAATTGGCCATCAAC	60,0	ACTTATGGTCCACG	61,3	42,9	55	
		003_R1_00							AGATATTCTGAGTTTTTTGTATCAATTGCCATCAACCAGTCTTA					CAGTCT		GGAAGC				
		1_contig_2							CACCATGTACCGTTCTAAGTGGCTACCTATGTACACGCTAAATGC											
		1621							TCATAAAATATGAATGAATGAATGAGTTATATTTGCTCAGAAAAGA											
									AAAGGTTAGAACAGTTGCTTCCCCTGGACCATAAGTAAAGCTGT											
									GAAAATCGTACCATATTGTGACTCTAAAACCTCATGACTCCAAA											
									GGCATGCCCTGGGTAAGTATGATAGGATCTGCAGT											
612	BrPe4134	Maracuja_NoIndex_L	4	257	268	12	3	8	TTCATTTCAACTCTCATGTATTCTGTCTCGGGATCGAGGTTG	TGTA	G	17,79	158	GGTTGGCGAATATCA	60,3	CTCTCGGGGCATA	61,1	50	60	
		003_R1_00							GCGAATATCAAGGTGATATAAGGTAAGAGATGAATTAGGTTCT					AGGTG		CTTCTC				
		1_contig_2							GTATGTCATTGAAAGTTATGCAGACTTTCTGCTCTGATTGTTA											
		1639							TCCATCGTTATGTATGAGATAACCAAGGGATTATTGGAGAGTA											
									TGGCCCGAGAGGTTCTCGATACTCCGATTACAGAGGTAATTGG											
									TTACATGGCTTACTGACATCACATAATCACGTAGCTAAATTAT											
									AGTTATGTTTTAGGCTGAACACAGATCC											
613	BrPe4135	Maracuja_NoIndex_L	4	8608	8619	12	3	8	AGGGGACAGTCAGCGCAACCTTCTCGTCGCCGCTTAGAGGGTGT	TTTA	S	16,92	187	CTTAGAGGTGGTCCG	60,1	TCGTGCCACAGAAA	60,8	55	50	
		003_R1_00							CCGGTTGATGACGCGACACTCATCGTGGAGCTCGCCCGATGGAA					GTTGA		GAACCT				
		1_contig_2							TTCGCACCTTCTGCTAAAATTGAAAGCGGGAGTTTGCATTGTA											
		1881							AAAGATTGACGTTATTACACTGGACTCGTCGCGAACGAAGT											
									CGGATCCAATAACCAAGGTTCTGTCGACGAAACAAAAAAATA											
									AATAATCGCGAGAAACATGAAAGCAGTATATAAAACCGCAGATT											
									TTAGCACAGGCCGTCTCCATTCTGTTTATTTC											
614	BrPe4136	Maracuja_NoIndex_L	4	657	668	12	3	8	GAAATGCCACAATTGCTAACCTTCCGTTGCTTCAACATTCAATTCT	CACC	G	16,78	159	CGAGTTGGCTAAAC	059	ACTGCATCAACCAC	60	45	45	
		003_R1_00							CAATTCTGGTACATACCAAACCTTCACTAGTTCTGAGACCACCTT					GACAA		AATGGA				
		1_contig_2							GAATTTCGATTGTACGAGTTGGCTAAACGACAAGTTGACATGAA											
		2090							AACCAATGGCACCCACCCACCTGCGAGAGGAAACGGAGTATGACTT											
									GAGAGAAATAACAATGACAGATGGATGACGAATGCAATTGATACC											
									ACGAAGATGAAACGTTCCATTGTTGATGCACTGCGATATTAT											
									GATGAAATACTGGATTGTTAACATTGAGT											
615	BrPe4137	Maracuja_NoIndex_L	4	3802	3813	12	3	8	AGGTGGCTACCGATGCTGTGGGATTATAAGAACAGTAGCTTCTTC	CTTC	G	14,37	154	TGAAGGCTGGAAAAAA	60,0	ATACTCACCCGGAA	58,9	45	50	
		003_R1_00							TGTTCTGAAGAAAAGTGTACGCACTCTACAGAAGTAAATGTGAAG					GGCTA		AACGTC				
		1_contig_2							GACCATTGAAGGCTGGAAAAGGCTAGGAACGTGTCAGTGGCATAGG											
		2700							ATTGGAGTATCTCCTCTGTTGAGCAACACCAGTT											
									CTATGCAGGAGGCCAGTAGTTAAGGGGGACGCACAAATTCTCA											
									GACGTTTCCGGGTGAGTATACCTACCTGTCCATCAAGTCTATACC											
									ATATCTCTTACAAGCCTACAACTTAAATTCT											

G: genoma funcional

S: genoma estructural

P: polimórfico

M: monomórfico

APÉNDICE

Marcadores microssatélites desenhados a partir do sequenciamento parcial e da montagem *de novo* do genoma de *P. edulis*

Nº	Primer	Contig	Motivo	Inicio	Fim	pb	Nº Repet	Score	Sequência do contig	Unidade	G/S	Cobertura	pb	Sequência Forward	T °C Fwd	Sequência Reverse	T °C Rev	% GC Fwd	% GC Rev	P/M
616	BrPe4138	Maracuja_NoIndex_L	4	487	498	12	3	8	CTGTCTTCTCCACATATGAATGTTCTCACAAATATGTTAGGAAGC GAAGGATGACAGCAAAATGCCCAATTGGACAGTTATCTCAGGG TTTCGGCTCCCAATCCTCAGATTGAAGAATGACCAGCCCCCTGA CACGTTGGATAAAGAAAGAAAGTCTGAGGCAGCCACTAGTTATCGA CTATTGGTATTGAACCTCAAATAATCCACAAACTGCTCCCTGC TGAACGTACACCTGCACTGCCATCAGTGTATCTAGGGATCACTG AAGGGCATGACGTGAACGCCATATCAGCTGCT	AAAG	G	12,32	212	GTTTCAGGAAGCGAA GGATG	59,8	CAGGTGTACGTTCA GCAGGA	58,9	50	55	
617	BrPe4139	Maracuja_NoIndex_L	4	170	181	12	3	8	GGAATCCGCTCCACAGGTGGTACCTCTAACTCTCGAGTAATC GGTGACTCTGACCTGAATGATGAACACTCGTGGAGGTCTCTCGCTG GGCTCGGAGTCTGGTCCAGATGCCACAGTAACCTGGCTGGCA ACTGATGGTCTCCATCCATCAAATCTCCATCTGGTAAACCTATC AA	TCCA	G	642,06	120	TGATGAACTACGTGG AGGTCT	57,2	AGGGTTTACCAAGGA TGGAGA	58,4	47,6	50	
618	BrPe4140	Maracuja_NoIndex_L	4	174	185	12	3	8	GTTTTCTAATTACCGACATCCCTCGTCGGTAAATTAAACCGACCC ACCAGCAAAATTTAGCAATAACCCGACGATTCGACCGAGAAA TCAATCAGTCGGAAATTACCGACGGGTGGTTACTTGCTCAGC CCTATAGTAGCCAACCAACCAAACCTGAAACACAACAGACTTAC GCCGGGATGACCAACAAAGCTTCCGACGCACCGCAAGCGTCA AACCCAATCAAGGAAGACTCTTAAAGATCAAGCCAAGGATTACAT CCAAAGACAATAACCCAAACCTAGGGTTCAAGC	CCAA	G	107,24	151	CACCAAGCAAAATT CAGCA	59,8	GTCATCCCGCGTA AGTCT	60,1	40	57,9	
619	BrPe4141	Maracuja_NoIndex_L	4	337	348	12	3	8	GCTACTGATCATAACTGTTAGATTAAGTAACTGAACTTAATT AGAAGTTTATTCACTTATAGAAGAGCTTGCTCTTTAGCA TGTTGTGTCTCGTTGTGTTGGGGAAACAAAGTTGAAAATGG CTGATTATGACTGTACGTACCCAGACCATGCAATTATATAAGAAAA TGTTCTATAATTCTCTGTAAAAACATATTAATCTCACTTCAA GACATAAAACGATGAATTCGGAAGCATGTTCTCTTCAAACGTT CTGCTACATAAGCTGACATGCACTGTTGGA	GTAC	S	16,16	155	GTGGGGAAACAAAGT TGAAA	59,8	AAGGAGAACATGCT TCCGAAT	60,1	45	42,9	
620	BrPe4142	Maracuja_NoIndex_L	4	4251	4262	12	3	8	AAGGGTGTGTCGGTGTGCTATCCATATAACAATTAAATATAAT TTTAAAGAAAACCTAATATGACCGTTACTCGGAAGCCTAACGTCTC CTTAGACTGGAAAATTAAATTGAAATTAGTGAAGAAGCGATAA AGATGACTGGCTTCTCTTGTGATTACAGGCTTACAGCACAGGA ATAAATAACCCCTTGAATGATAAGCTCTCAAAGCTTCCGACCA AACTTGAATCTCGCTCCCTCTTATCTCCCTGACAGAGCAATG GCATTGAGATCCATTGATAATGCTCTTCCAG	CTTT	S	17,53	176	GACCGTTACTCGGAA GCCTA	59,3	TTCAAAGTTGGTC GGAAGC	60,2	55	45	

G: genoma funcional

S: genoma estructural

P: polimórfico

M: monomórfico

APÉNDICE

Marcadores microssatélites desenhados a partir do sequenciamento parcial e da montagem *de novo* do genoma de *P. edulis*

Nº	Primer	Contig	Motivo	Inicio	Fim	pb	Nº Repet	Score	Sequência do contig	Unidade	G/S	Cobertura	pb	Sequência Forward	T °C Fwd	Sequência Reverse	T °C Rev	% GC Fwd	% GC Rev	P/M
621	BrPe4143	Maracuja_NoIndex_L	4	2221	2232	12	3	8	ACTTAAGATGTTGGTGTGGGGTGTAGGTCAAGCCCATGATCATAT CATTACATGCATCGAGTCATGATCATATCATTCATTGATCGTCGAGTC CATGATCGTACATTGCATCGTTGAGTCATTGATTGAGTC GTGTGATTACATGCATGGTGTAGAGGTTCGGTGGATGAGTA ATTCCTTATTTCATGAGTGTGGAGCATTATTGATGCTAGGAG ATGATGCTTTGGTATCTATGTTGAAGAGTGTAAAGGATGGTGA CCGGAGGGTTGGTCGAGTCGGACGACGT	CATG	S	21,49	182	TGCATGCGTTGAGTC GTTAT	60,3	CCTCCGGTACACCA TCCTTA	59,8	45	55	
		003_R1_00																		
		1_contig_2																		
		3664																		
622	BrPe4144	Maracuja_NoIndex_L	4	3506	3517	12	3	8	TCATAATTAATTACATTACATAAAAATCATGCTCACCTTCATG TCTATAATGCCATCGTATGTCAGTGTGTCATATAATCACATAAA TTGAGATTCTTGATATGAAATATCAATTATTTATGTTGATTAA ATATTTAAAATTATTTACTTACTAAAGTATCTAATTTGATA TTGTTTATTGGAGAGAATTTACTTTCAAATAAGAAGTGTGCAA CTTGAACCGTAAATATCATATCTGGACAGAAATTACATGTC ATGGTATTGAAAATTATTCTCGATAAA	ATT	S	14,81	193	AATGCCAATCGTATG TACGTG	58,5	CGGTTCAAGTCGA ACACTTC	59,8	42,9	47,6	
		003_R1_00																		
		1_contig_2																		
		3892																		
623	BrPe4145	Maracuja_NoIndex_L	4	506	517	12	3	8	GAAGCAATAGATTTCTCTAGGGCACACTCCACCACAGCAGCCT TTTTCTCTTACAAAAAAATTCCATTGTTCTCTATTCTGCCGT GGCTTTGGCAATGTCACACTCGTTACATCTCAACTCATCTTAT AGCATCTCAGACAGACAGATCGCTATAAAAGACACATAATAAGT TACGCCGAAAAGTTGCAGGTTAACATGAGATTGAAAAAAAT TATGAAACTAGTACTTCCAAGACAAAATTCTAAAGATTGAAAAC TATTCTAATAATATCTCAACTAATCCA	CAGA	S	18,31	191	ATTCTGCCGTGGCT TTTG	60,1	CAAATCTTAGAAT TTGTCTTGGA	59,2	45	26,9	
		003_R1_00																		
		1_contig_2																		
		4056																		
624	BrPe4146	Maracuja_NoIndex_L	4	2653	2664	12	3	8	CAATTGGTTTATTATGTCATATTATGTCATTACTTAATGAGAT TGCTATTATCAGTTGAATTTCGCGTCAGTCTATTAGTCAGT GACTTATTGTTGTGACGCCAGTGTGGCGATTTCTATTAGTC ATGGAGGCCCTCCTCTTATTAGTTCTGATTTCAGGCCCTCTCA ACAGCAGCAGACAACCCAGACCCAAGTTGAATCAAGGTCTACAAG GTGAGCGTGAATGGCATCGACAACAAGCTCTGGAGAATTG ACTTGTGGGAATTCCACCGACTCCAAGGG	CCTT	G	13,5	220	AGTTGAATTTCGCG GTCA	60,6	TTCTCCCAGGAGCT TGTTGT	59,8	40	50	
		003_R1_00																		
		1_contig_2																		
		4093																		
625	BrPe4147	Maracuja_NoIndex_L	4	2293	2304	12	3	8	CTGCATCTTACATCGTTCTGGATGATGAATACTCTGTAGGA AGTTAACATGCTAACATGAGCTTGTCTACTAACCTTTTCAAAT CTTGGATTTCATACAGAAGTACAACCTTTAGGCAATTAGCGTCAGT TTTCACAAGTTGTTGTTATCCTATAACCATATTGGACAGTTGTG TTCTCGTAGCTGGTAGATCTGCTTCAGCGGGTGTCCGTAAGACACA TTTACTGCTTATCTAACACGGAGATGACTAAAGAATAAACTTC CTGTTGGATGCCTAACCATCATGAT	GTTT	S	18,52	249	TCGCTAATGTGAGCT CTTGC	59,3	GGTTAAGGCATCCA ACAGGA	59,9	50	50	
		003_R1_00																		
		1_contig_2																		
		4288																		

G: genoma funcional

S: genoma estructural

P: polimórfico

M: monomórfico

APÉNDICE

Marcadores microssatélites desenhados a partir do sequenciamento parcial e da montagem *de novo* do genoma de *P. edulis*

Nº	Primer	Contig	Motivo	Inicio	Fim	pb	Nº Repet	Score	Sequência do contig	Unidade	G/S	Cobertura	pb	Sequência Forward	T °C Fwd	Sequência Reverse	T °C Rev	% GC Fwd	% GC Rev	P/M
626	BrPe4148	Maracuja_NoIndex_L	4	2980	2991	12	3	8	AAGTTAGCATTTGTCATTAATAAGAGCATAGGACTATAGCTAGT TAGATCATGTAAGTGGAAAGCAACCCCAGTCGATCCAGGCTTT CTTCTTTGACATTCTCTGTGTGGGGAAAGTAATAGCCGAA GAAGAGGAATTACATACATACAAGGGGAAATTAGCAATTCTGTAT AGGGAGGTCTTGACATCTTTGTACATGTCAACAGCCACCTCT AAGAGGGTCTTAATACAATTGTTGAGTACATGTTCTGTCT CAAATGGTCATTACAGACTTGGTCTCCAAGC	TACA	G	16,2	159	AGTCGATCCAGGCT TTTCT	60,2	TAGAGGTGGCTGTT GCACAT	59,3	50	50	
		003_R1_00																		
		1_contig_2																		
		4476																		
627	BrPe4149	Maracuja_NoIndex_L	4	167	178	12	3	8	TTCGTACTGCTCAGGTGAGTACAAGTAGAACTGTAAGCCTCTGT CAAGATGCTCATCTCAACTGAGGATCACTGGGTACACAAACCTTT CTCAGAACATGAGGATACCATCATCTGTATCCGTATTCTGCTACG GTGCTATCATGCTGCTGCACCTCTCCTTATCTACTCAACACT GGGCCCTCTGCTTAGCTCAAATCTCATCAAGTAATAATGGCCT TGCCACAAACAGAGCTATTAGCATCCACAATCATTGGTATCCAATG ATACTCTTGTATGTCT	TTGC	G	100,82	150	CGGTATTCTGCTACG GTGCT	60,3	TACCAATGATTGTG GGATGC	59,2	55	45	
		003_R1_00																		
		1_contig_2																		
		4817																		
628	BrPe4150	Maracuja_NoIndex_L	4	2497	2508	12	3	8	ATTTCTTGTATTCTGTTATTCTATGTTGCTCCTCTCCTTCT TGCAGGCTGGATACTACTGTTCCGCTGTGAGTGTGTGGTAAGGAC TCTCGAACACTTGGATCACATCAATGGAAAGAACGTTATGTT TGTTCATGTTGTTGTTGATTGAAATTACATCTCTGTTGAGTT GCATCCGTATCATGCTCAAACGTGTTCTTAGATCAAAGGGCT TTGGGGATGTATGGTGCAGAGCGGGCATCTTCAGCAGGTATA TTCTTCTTTTAAACCATCATCTCT	TGTT	S	16,04	186	TCCGTCTGTGAGTGT GTGGT	60,2	ACGCATAGACATCC CCAAAG	60	55	50	
		003_R1_00																		
		1_contig_2																		
		4981																		
629	BrPe4151	Maracuja_NoIndex_L	4	551	562	12	3	8	TCCTAACATTGATGGTCGAGAACATTGAGATTAATTGCAATTGTCAA TTGGGTGATTATCTTTTTTTGAAAAAAAATTGCTGAATTAC AGTTAACATTGCAATTATATTCTGTCATGTTAGCCAGATTATAAG TTTCGATGTAATAAAACTATAAATACAAACGCAAGGAAAT GCCATAACAAAACATATAGAAACAAAAGCATAGAGACATATC AGGGTGATTATTTGATAAGATATAAATTACTGATTGCGG ATTCTAACATTAAATAACTATAGGGATTATA	TAAA	S	17,45	175	TTCGTATGTTAGCC AGATT	58,8	TTGAGAACCCGAA ATCAAGT	58,8	36,4	38,1	
		003_R1_00																		
		1_contig_2																		
		5146																		
630	BrPe4152	Maracuja_NoIndex_L	4	275	286	12	3	8	CATGACAAACCTGGGTGACTCAACCCGACTCTGGGTTACAATAT AAAAATCAAACCAAGGACGAATCAGGTCACACTGGGTAGGT TTCACAAATACTCCTAACCTGAATTAAAATCTATTCTGTT AATAAATTCTCTTCTCCACATCTATTCTGAGCCTCCT AGAACAGAACATCTAAAAGTCAAATCTTCACTGCTGGAAGAAGAA GCTCTGCTATGTCTATGTCAGGCCATTGTTGCTCAACAGCATG CCTTICCAAGAGCAATTATCCAAGAGCA	TCTT	G	32,34	186	ATGACAACCTCGGGT GACTC	60,0	GGAGGCTCAGAATA AGTATGTGG	59,2	55	47,8	
		003_R1_00																		
		1_contig_2																		
		5201																		

G: genoma funcional

S: genoma estructural

P: polimórfico

M: monomórfico

APÉNDICE

Marcadores microssatélites desenhados a partir do sequenciamento parcial e da montagem *de novo* do genoma de *P. edulis*

Nº	Primer	Contig	Motivo	Inicio	Fim	pb	Nº Repet	Score	Sequência do contig	Unidade	G/S	Cobertura	pb	Sequência Forward	T °C Fwd	Sequência Reverse	T °C Rev	% GC Fwd	% GC Rev	P/M
631	BrPe4153	Maracuja_NoIndex_L	4	3315	3326	12	3	8	ATGGACTCATCACATAACAAACATTGTGTTTGGATTGGCCTTT GTCCTTGGAGGGATTCAAAGACGAAGGGTATTGGATTTATCTT ATCACTATTCTTGTTATTTCCTTCTATTCTACTGGCTCAGAT TCTGGAATTATTATTTTCACGTTCAAGGAGGCTGAAGAATTG GCTGAAGTGAAGCAAAAATGTTGTATCAGTTAACCTT GCTTGAAAGTGGAGTCTGGTTCACTGCCCCTTGTTTATTCTAGG ATGCTGATTAAAAGCAACGAGGGAA	ATT	G	17,15	241	TTGGATTGGCCTTT TGTC	59,9	AAGGGCAGAGTGAA ACCAGA	59,8	40	50	
		003_R1_00																		
		1_contig_2																		
		5398																		
632	BrPe4154	Maracuja_NoIndex_L	4	268	279	12	3	8	ATGATGCATTATAATAATAGGTTTAAAAGAAAAGATAATCTAC ACAAGCAAATAATGGTCAGATGTTATCACAGGACAGGAATGATC AGCTTGACCTGTTAAAGAGTCGTACCTGTCAAGGTGGGTCTCTTC CTAACCGTCCTATGTATGTATGATGGCTACTTGTACAATAAA ACCTAAAGATAACAACTCGATCCAATAAAAGAAATTGATTTA TATCCCCATAATTAAGTACTGTCTGACGATTCTGGTCACATGGTA TCTTACAACACTGTTGAAGCTCTATTATTGA	TATG	G	38,94	158	TCAGGTGTGGGTCTC TTTCC	60,1	ACCATGTGACCAGG AATCGT	60,2	55	50	
		003_R1_00																		
		1_contig_2																		
		5462																		
633	BrPe4155	Maracuja_NoIndex_L	4	2954	2965	12	3	8	TGTGATGAAATTGAAGATTACCGAGTCAGTGTAGGGCAGCAG TAGTAGTAGTACAAAGAGAAACAAATGACTGTTTCTTCTTC TGCAGCTTGTGTAATTGCAAGAACCTTATGGAACCCACCTACATCC TGCCTGTATGTTCTTCTAACTTTTGTGTTCTAATGTCACAA TGACATCATTCCAACGTATGAGTTGTTGAAGATAAGTACAAAGC AAATGAATACTTATAGTGTGTTCCGTATCAATTCTACGAAGGTAC CAATGTTCAACCATCTTTAGGATAGCGC	TTCT	S	16,99	201	GCAGCTTGTGTTAAT TGCAG	59,5	TGGTGAACATTGA TGACCTTC	59,8	50	40,9	
		003_R1_00																		
		1_contig_2																		
		5701																		
634	BrPe4156	Maracuja_NoIndex_L	4	2318	2329	12	3	8	TGATGGAAATGGTTCTCAATTCTTGTATTCTGTGGCCTGAT GACTGCTTCATTTCAATTGTAGGCTATATGACTGTTTGACG GCTTCTGATTACTGATTCTGAGTTCTGTGGCCTTGTGTTG GTTATCTGTTGTTCTATTGACGATTATCAGACTGTATCAGAG AAGTTCTCTATTGCTACTAATTCTGGCTATGAATTGATTCT GTGTTCTTAATGAGGGATCTATGGTGTGGTCACATGG TACTGTAGAACATGAGGTTCTT	TGTT	S	16,42	162	TCTCGTGGCCTTGTG TTGG	60,2	CCATGTATGCACCA AACACC	59,7	50	50	
		003_R1_00																		
		1_contig_2																		
		5806																		
635	BrPe4157	Maracuja_NoIndex_L	4	8094	8105	12	3	8	CTTATCCAGGAAGCTCAATGCCCTCTCTCAACAAATTGATTG CAAACCTAGGCGGTTCATCCTTAATCCTAGAGGAAAAGGAACCCAAA TGTGCAGCAGATTGACAGCAGGCGATTGAGAAAATGCCGAAAGA GAAATGTAACATAAATAAAAGTAAAAGAACCGACTTCTAAAG TATTGTTCTAAATTGAAACAAGGTAATAGCAACAACTGACTTCAAAT TTAACACACAAAAAGATAAGGAGTACTGTAGATGATGAGTAA ATCAATGAATGTGACCACAAAAATCTGATTCT	ATAA	G	17,4	170	GGCGGTTCATCCTTA ATCCT	60,3	TCAGTTGTGCTATT ACCTTGTCA	60,1	50	36	
		003_R1_00																		
		1_contig_2																		
		5899																		

G: genoma funcional

S: genoma estructural

P: polimórfico

M: monomórfico

APÉNDICE

Marcadores microssatélites desenhados a partir do sequenciamento parcial e da montagem *de novo* do genoma de *P. edulis*

Nº	Primer	Contig	Motivo	Inicio	Fim	pb	Nº Repet	Score	Sequência do contig	Unidade	G/S	Cobertura	pb	Sequência Forward	T °C Fwd	Sequência Reverse	T °C Rev	% GC Fwd	% GC Rev	P/M
636	BrPe4158	Maracuja_NoIndex_L	4	3660	3671	12	3	8	CCTCTTACTTTTTGGACATTGGGTTGCAAAGCTGGCAACCAC CATAAAAACATTCCCTTGGCGAGATCCATGTGACTCAGAAACT GTCCTTGGAGGCTACGATGTTGAAATCCTAGTTAATGTACATTAG ATGGACAGCAAAGAAGAAAGTGTATGATGCAAATAACACTTG AGAAAAAAGCAGTCCTGATCCATAAAGGTTTGTAGAGTGGGT TTGTGATTGAGCTGTTCAATATTCTTGACAAGGCATGCAACAT AAATAACCTCGTTAGCAGTTACTGTCTCTT	AAAG	S	17,27	187	ACTGTCCTGGAGGC TACGA	59,9	GTTGCATGCCTTGTGCAAGAA	59,8	55	45	
		003_R1_00																		
		1_contig_2																		
		6605																		
637	BrPe4159	Maracuja_NoIndex_L	4	983	994	12	3	8	CACTTACTCCCAGGCTACCCACTCATACATGTTGCGATTAATTTT CCTTTGTTTAATCAAGATTCAAGAACGATGATAAGTTCTGAT TGAGGATCACCTCTTGTGTTATAACTGTCATCCAGGAGCTC TGTTGGGTTGTTGTTATGACATTGATTGTTGCTGGTC TGTAGAACATGATACAGAACATGATTAAGGAGGGAAAGATTGTC CTTCAGAGGTAACAATAAAGCTCTCAGAACATGCAGGAAAG CGGCAATGACAAATTCTTATCGATGGCTT	GTTT	S	17,65	232	CTCCCAGGCTACCC ACTCA	59,3	AGGCACAATCTTC CCTCCT	60	60	50	
		003_R1_00																		
		1_contig_2																		
		6705																		
638	BrPe4160	Maracuja_NoIndex_L	4	2334	2345	12	3	8	TCAGAGTTAACAGCACTGTTGCGTTAACCTCTGGTTAATT ATAGTTCACTTCAGCTTCCAGAATGAGTTCTTTCTTTCA GAACATGCCTTTTATTCTGGAAACACATTATCAGACAAACACC AAATATTTCAGTCAGTCAGGATGGAGTAAAGGCATCCATTG AGCGAATACAGACTCAGAACATCAAAAAAAAAACAGAAGA CTGTTTCGATCTGTCATCTGGAGATTGACTTCTCTCGATGGAA ACAGAACACAGCAATTAAAGTTGAATCTG	TCAG	G	17,93	113	GAACATGCCTTTA TTCTGGA	59,6	TTTCTGAGTCTGTAT TCGCTCAA	59,2	39,1	39,1	
		003_R1_00																		
		1_contig_2																		
		6928																		
639	BrPe4161	Maracuja_NoIndex_L	4	182	193	12	3	8	GTGGCCGTGGACTGACCCAGCGGGCCCTCAAGAACATGTTCAAGT TGGAAGCTATCCATAATACGCAAACCTCCGCAACTCCACACCT TAACCTAAAAACCCACATGCACATCACAAACCAAAGCACCATT ACCGTTAGCATCAACCAACCATCAAGAAAAAGTACAACCCCA CACAAACGATTTCCACCCACCTGAAACAGTCATGATTGACAAAG AACAGGAAAAGCAACAGCTTTCACCGTTAACAGACATGAAAGAG GGACTAACTCTGTCACAAACCTATTACTTGCTAA	CAAC	G	12,16	175	GGGCCCTCAAGAAC GTTAT	60,2	AAATCGTTGTG GGTTGT	60,1	50	45	
		003_R1_00																		
		1_contig_2																		
		7565																		
640	BrPe4162	Maracuja_NoIndex_L	4	1276	1287	12	3	8	AGTCAAGTTGCAATTGTAAGAGAAAAACCAAGTAGGATTGATAG ACAAAGAAAAAGTTAGAATTAGAAAAAGAAAATACATTGAT CAGTCTGCAAGACAAGAACACCTGATAGTTGATGAACCCCT AATTACAAAACAGAAAAGAATACTGGTAGAGAAAATGGTCC AACCTGACCGAGCATGACTTCACCATTAATGCCGCTGATGTTGATAC CAGCGTACAAACAGGTTGAGTGGAGTCCACGATATCTCGAC GAAGGCTTGTCAAGCCCCGTACCGCAGTAGTATGG	AGAA	S	14,87	191	TCTGCAAGACAAGAA ACAAAC	59,4	CAAAGCCTCGGTC GAGATA	60,3	40,9	50	
		003_R1_00																		
		1_contig_2																		
		7934																		

G: genoma funcional

S: genoma estructural

P: polimórfico

M: monomórfico

APÉNDICE

Marcadores microssatélites desenhados a partir do sequenciamento parcial e da montagem *de novo* do genoma de *P. edulis*

Nº	Primer	Contig	Motivo	Inicio	Fim	pb	Nº Repet	Score	Sequência do contig	Unidade	G/S	Cobertura	pb	Sequência Forward	T °C Fwd	Sequência Reverse	T °C Rev	% GC Fwd	% GC Rev	P/M
641	BrPe4163	Maracuja_NoIndex_L	4	6475	6486	12	3	8	ACAGAACCCAGGAGGACAGCATTCGACAAGTTGGATCAAGACATGT TTGCTCCTTGTGTAATGGATGCTTCATACAGGGTCCCAGGCCACAC TAGAAATTCTGTGTCATAGTCAGCAAGCAGACATGGATGCAGAC AACAGCTCTATGCTAGCTAGCTAAGTCAACTGATCAACTGTTGATCTCGG CGATTCTGCTGTACATGCTGTGATGACTAATCTCTGTTATTCTTC TTCAGTTCTGTGTAAGTAGAGAGAAGCTTGGATCGAGGATTAGAG ACAGCAGTATGAATATATAATCGCAGTGT	GCTA	S	15,18	156	GAAGCAGACATGGAT GCAGA	60,0	TCCTCGATCCAAG CTTCTC	59,5	50	50	
		003_R1_00																		
		1_contig_2																		
		8518																		
642	BrPe4164	Maracuja_NoIndex_L	4	599	618	20	5	16	AGTGGTCTTGTCAATAAACAAACAAGGTTATTAGCACAAACACA TTTCTGAGCTGAAGTTATGAAAGCAACCTCATGTTGGATTAG TTGCTGGGACTGCTGAAATGCTCTTAAGATCAACCCCGCATTTA GAATAGGTATTGATTGATTGAGATTCTAATCCTTTTT CTTTGTTCTGCCATTGGACGAGTCATCTACTCCAAGCTT CCACACACCAACTTCACAATGGTGGATGAGATTCTGTTGACCAA AGGAAAAAGTGGGACTGAGATTCTGCATGCCATTA	TTGA	G	16,36	194	GATCAACCCCGCATT TAGAA	59,9	TGGCATGCAAGAAA TCTCAG	59,9	45	45	
		003_R1_00																		
		1_contig_2																		
		8611																		
643	BrPe4165	Maracuja_NoIndex_L	4	1841	1852	12	3	8	ATTCTCAGCATATACCTACAGATTATGCAATGCTTAGCTTGTATT GACAGCCATACCCCTACGGTTACCAAATGTTATTCAACCTTGA ATGCAGGATCCTCAAAAAGAACACCATCTGTAGGTAATACAAGCAA GTCTTCATCCTTCTTTCTTAATCCTGTATCCACGAACAAAACA TCATACAAAGGTAAAAGGAGATTGTTCAAGATAGAAAGCATCTGGCT TTACGACCGACCTAAAGTAGGAGTTCAAACCTCAGCCACTCTG CTGTCAGGACTGCCCTCCGGCTCCAG	CTTT	G	15,3	203	TGAATGCAGGATCCT CAAAAA	59,2	CAGTCCTGGACAGC AGAGTG	59,6	40	50	
		003_R1_00																		
		1_contig_2																		
		9038																		
644	BrPe4166	Maracuja_NoIndex_L	4	412	423	12	3	8	TTCTCCATATTCTAGAGAGATTATGTTACTTGTGAAAGAAATCT TGCTTCTGGTAAAGTCTGCTTACACGTAAGGTTGAAGTTAAAG AAAAGGGGTTCCACTGTTGGGAACCATCTATTGGTTAAATTAGCA CCTTTTTTCCCTCCCTCCCTGCTTTAGCTTCTAGTTGAGTTA GCTTGATGCTCTTGATCTACAGTTAGTGTGAAAGACTGACAG TTTAAAGCGCATACCAAGCACTATTTCTCTAATTATGCTTA GCTTTCTAGTTAGCCTTTAGATGTC	TCCC	S	15,19	153	TGTTGGGAACCATC TATTGG	59,7	AATAGTGCTGGTAT GCGCTT	58,9	42,9	42,9	
		003_R1_00																		
		1_contig_3																		
		0081																		
645	BrPe4167	Maracuja_NoIndex_L	4	2770	2781	12	3	8	ATCAGAACTTGTACTTTATTCTCAAACCTTTATTGATAAGG TCTAAAGGTGAGGCCAAAGCAATGTTTGCAGCATGAGATTCT TGGAGCGTAGGTCCTTGCAGCTATGAAAGCACAAACCTGAT AGCTTCGTCAATCAATCACAGCAACTCCAGTCGCAACTCTC CAACGCGCTGAGATGGATAACAAGCTAAATGGGGTCTTCAT TGAATGACGGCGGCCAAGTTAGTCCAGACAAGTTGTGTTAATACTC TTTATCATAGGTAAGACTCATCGTGTCAAA	ATCA	G	16,3	153	GGCATGAAGGATTTC TTGGA	60,0	GAAGACCGCCATT AGCTTG	59,8	45	50	
		003_R1_00																		
		1_contig_3																		
		0310																		

G: genoma funcional

S: genoma estructural

P: polimórfico

M: monomórfico

APÉNDICE

Marcadores microssatélites desenhados a partir do sequenciamento parcial e da montagem *de novo* do genoma de *P. edulis*

Nº	Primer	Contig	Motivo	Inicio	Fim	pb	Nº Repet	Score	Sequência do contig	Unidade	G/S	Cobertura	pb	Sequência Forward	T °C Fwd	Sequência Reverse	T °C Rev	% GC Fwd	% GC Rev	P/M
646	BrPe4168	Maracuja_NoIndex_L	4	4292	4303	12	3	8	TGCCTCTAGGATGAGGGAAAGAGATTGAATCAAAAAGCAACGAGAG AGAGAAAGGGAAAGCTGCTCGGTCTGTATTGAGAAGGTTTGACAG TAAATTATGAATCTGAGGACGTCCATGTACCTTGACGATTCTT CCATTCTTGTGGTGGGACAAAGATGACAGTAGTCACGT GTTGGTCTTGGCTGCAGATGGAAAAACTGCAAACATCGAGTTGAA CTTGGATGTTCTAAAGAACTAGAAAAGCTTGGGATGCTCCTTAA CCTATAATGATGGAGGAAGGATGTAGAGAGGG	TTGG	S	15,78	158	CCTTGACGATTCCTT TCCA	60,0	GTAAAGGAGCATCC GCAAAG	59,8	45	50	
647	BrPe4169	Maracuja_NoIndex_L	4	1964	1975	12	3	8	ACATGTGATTCAAGGCATAGGAAACAAAGAACGCTCACTCACGTT AAAAGAAATTACTCGATGCTTGAACATCTTGAACAGCCTTAAAGCGA GCAAGCCGCCATCATCGTGACCAACAAGCACCCTGAAGAGAACCC CATCTCAGCACAGAAAGAAGCAGGTCAACCTGAAATTACCAA ATAAAATTCAAGGATAAGAGCTATAAAAGCAAATGCGTCCCCC AAGAGAAAGGATAGAGTGAAGGAAATGCAAACCCAGTTCAAGGAGAT ACTACATACGGAGCTAACGATGATAACCCAAAGTCAGA	AGAA	G	16,92	166	ACAGCCTTAAAGCG AGCAA	60,2	ATCCTTCTCTGGG GGAAC	59,4	45	50	
648	BrPe4170	Maracuja_NoIndex_L	4	316	327	12	3	8	TGGAGGAGCAACCTGGTTCAGCTTATGACTTGCAACAGCTGCA GGTTGAGGTCTCGCTTAAGGATGTCAAACAATCAGGGGAGGATAAG ATCAAGAAAATCTCTTGGTCAAGAAAAGTCTGATGTGATTCCAGT TCGGGAAAAGAAGGGAGGGAGGGGAAACATGGCGGACTTGTCAA CAACAGGAGGAAGAACCAATGAGTGAACTGTGTTGATTCCCTCG ATCATTAAAGATGGCATCGTATAGGAAGGTACTTCGAGTGA CTGCTCTTGTGAACAATGAAAGAATCTGTA	AGGG	G	14,16	201	AGCAACCTGGTTCAG CTGTT	59,9	TCATTGGTTCTTCC TCCTG	60	50	50	
649	BrPe4171	Maracuja_NoIndex_L	4	2508	2519	12	3	8	AGGCTTGTAAAGTAAAGGTTGCAAGTTGGTGGATGTTGGCTCGGTAT ACCAAATCTCAGATTCAATGATGACCTTGCAAAATTGATA CTAACCGATGAGTGGATATCTGTCGACTGGCATCCGAATCGTCA ATTCTTACAGGTTGGTTGGTCTTGCGAGAGCACCTTACTGTTGTATAT CATATCGCACCGAACTTCTGGATGTCAGCTTGTGAGCTAAC TGTGCAACCATGCAATTGAAAAGTACTGACTTCTTCTAGTGAAGAGCA TTCATCTGATTCTTGTGTTAGGGAA	GGTT	G	017	238	AAAGGTTGCAAGTTG GTTGG	60,0	GCAATGGTTGCACA GTTGAG	60,3	45	50	
650	BrPe4172	Maracuja_NoIndex_L	4	916	927	12	3	8	TTAACACAGAAAACCACATAGAAATTGAACTGGAAAAAGTT AAGATTCCACCATACAGGGAATGAAAATATAGCACAACTTCA CTCCTCCCAGATGATGATGTTACCTGAAATACATTAGTCTTGT ATGTGGTAAGAAATAAAATTACGCAATAAAACATGGGA TGGCAAGGACAGAAAACCTACAGAGAAAAGAACAGACAGCGG ATGAATGTACAAATCAATATGTGAAGAAGCATGGTCAGGATGATT GAACCAACAAGCCATAAGTTACTCCAGGGATTGATA	AAAT	G	16,33	198	ACTTCCACTCC ATGAA	59,5	TGGTCAATCATCCT GACCA	59,9	50	45	

G: genoma funcional

S: genoma estructural

P: polimórfico

M: monomórfico

APÉNDICE

Marcadores microssatélites desenhados a partir do sequenciamento parcial e da montagem *de novo* do genoma de *P. edulis*

Nº	Primer	Contig	Motivo	Inicio	Fim	pb	Nº Repet	Score	Sequência do contig	Unidade	G/S	Cobertura	pb	Sequência Forward	T °C Fwd	Sequência Reverse	T °C Rev	% GC Fwd	% GC Rev	P/M
651	BrPe4173	Maracuja_NoIndex_L	4	328	339	12	3	8	TTCTAGGGATGACGTGTAAAGTGAATTCTAGTATGGCAGTTCA AAGCTCCGGATTAGATGGTCTACAGCAGTCCTTCCAAAGTCAA TGAAGTATAGTGGCGAACAGTAACAAAGTGGTGAGTGACTTAA TGAACACGGCTTCCTTCGGATTGAATGACACTCTGATTACT TTGATTCAAAGTGAAGGCTCCGGAAATTTCACAGTCAGGCC GATTAGCTTGCAATGTAGTCTATAAGCAATTACTAAACTGATTG CGAATAGACTGAGGCCGCAATGAACCACTG	CTTC	S	14,12	188	AAGCTCCGGGATTAG ATGGT	59,9	CGGCCTGAACGTG AAAAAT	60,1	50	45	
		003_R1_00																		
		1_contig_3																		
		1909																		
652	BrPe4174	Maracuja_NoIndex_L	4	329	340	12	3	8	TCTAAACTACGTTCAATTCAAATGCATGAGATAAAAATTGAAACA TATCATAAGTTAATAACTCCTGCCGTCGTCACGTATGATAA AATATTAATATTGACATATTATTAACAAAGGAGGTACGATTGAA TTTATAGTAAATAAAATGTGATATTCAATTAGTTGTTCTTT CAATCAATATTAAATGGATATTCAAGATAAAAAAATAATTAAATGGA TATCGCAAAGAACAAAAGGAGTTCTAATATTACACAGAAGCCA GTCGAAAGCGAGCCATAGCCGTACAAATAT	AAAT	S	16,26	227	TAACTCCTGCCGTC GTCTC	60,4	TTCGACTGGCTTCGT GTATG	59,9	55	50	
		003_R1_00																		
		1_contig_3																		
		2227																		
653	BrPe4175	Maracuja_NoIndex_L	4	865	876	12	3	8	AGTAAATTAAAGTGTCTTATTGACTTGTGCGACGTACTTGTCA CCTACCTACAACACTTTGACCTTAATAATAATGACTACTACCAAT TTCTCTGCTGTAATCCCCATTAAACACAGTAATGAAATTAAACAA CCAATAACCACATACATAACAAAGCAATGCTACACGATTCATC CTCACAAAACATCAGGATTCGGAGTGAAGAACCTGGGAAATG GCCACACTTGGAGCATACAGAACGTTAAACCATGTGAGATGG GGAGAGCACCAGCTGGCTCTGCGAAATCTAC	CATA	S	18,69	186	CTCTGCTGCTAATCCC CATT	59,3	TCCCCATTCTCACAT GGTTT	60,2	50	45	
		003_R1_00																		
		1_contig_3																		
		2317																		
654	BrPe4176	Maracuja_NoIndex_L	4	760	771	12	3	8	GTCCTACATAAAGAGTGTATTTCCATAAATACATAATTCGTA GCCATTGACTTGCTTTGCTTCTCTAATCATTCTCATCTGGGAA AATGTTGGACTCCAATGTCTTAATAGACAAAAGTGGCTTGAA GAACTTGATGAGTGAGTGAGCATTAAGACTGCATGTGTCCTTTG GTGTATTATATGTGTTGATCACTTCCAAATAAGTAAGC TGATATCAAAC TGCCCCCATTATAAGAAGATGTGGCGAGATGGC GGCCTCAATTGCGATTATGTTGTTT	TGAG	S	15,93	234	GCCATTGACTTGCTT TTGC	60,8	CCATCTGCCAAC TCTTCT	60,2	45	50	
		003_R1_00																		
		1_contig_3																		
		3065																		
655	BrPe4177	Maracuja_NoIndex_L	4	1662	1673	12	3	8	TCAAAATGCAAACAACTGCTATGACTGTACAGAAGAAGGCACATC TAGGTCACTTAAACATCACATTCACTAACACCCCCGAATTGTGAGT TATTCTGTTCTATTAGTTGCAACACTGAGGCTCAATAAATAATCT CACTCCATCTAAATAAAAGCAAAAGTACATCTTGGACTCGT AAGGGTCCACAGTACCGAATCAAAGTACCGCATTAGTCTAGACA CATATTGCAACATGTGGAGGAGCAGCTTGAAAAAAATAT CGTCAAAATTACTATTACAAAATTAGAA	TAAA	S	14,45	187	CACTAACACCCGAA TTGTG	58,9	TCCACCACATTGTT GCAAAT	59,8	50	40	
		003_R1_00																		
		1_contig_3																		
		3123																		

G: genoma funcional

S: genoma estructural

P: polimórfico

M: monomórfico

APÉNDICE

Marcadores microssatélites desenhados a partir do sequenciamento parcial e da montagem *de novo* do genoma de *P. edulis*

Nº	Primer	Contig	Motivo	Inicio	Fim	pb	Nº Repet	Score	Sequência do contig	Unidade	G/S	Cobertura	pb	Sequência Forward	T °C Fwd	Sequência Reverse	T °C Rev	% GC Fwd	% GC Rev	P/M
656	BrPe4178	Maracuja_NoIndex_L	4	1813	1824	12	3	8	CAATACAATTAGAAGAAATTATGGTTGCTAGTATTGTGTTGAAAA TAGATAGAAGCTTTACTGTCTTACCTAAGCCAGGTGCTATG GAAACTATCCAATACTTCTGATCCAGGCTAGAGAAGGACATCA GCCTTTGCAAAATAAAATAATCATCTCGAAGCTGAGGTGAATAA GTTTTTACTGGAACAACCAGAGTGATTTAAAATAACTAGGAACC TTAGCCAGACATCTTAAAGGTACTCAACATCAAGGAAAAATAGAA GAGGAGAGACATGATCACCCCTGTCATCCTC	AAAT	S	17,25	224	CTAGACCCGAGGTGC TATGG	59,7	GGGTGATCATGTCT CTCCTCTT	59,6	60	50	
		003_R1_00																		
		1_contig_3																		
		3201																		
657	BrPe4179	Maracuja_NoIndex_L	4	153	164	12	3	8	CCATCAGCTATGCTACCTCGAAAGCATCCCAGTAATCTGGTATGC CGGAAATATTGCTTTAGGACAGTGACACTTGTACCGTATCTCAAAC CCATATCTTGTCTTCTTCCACATGCACTGAGCTAACACCAACT ACATTCAACAAACAAAGAAATGGAAAATCGTGGACTCAAAT AGAAACCAATATGTTCTTCCGCCATTCAAACATAGGCTATTGTG CACAAGAGGCAAACACCCCTAGGCAAACCTCACCCACATACGGATAA AAAAGGAATGCTAACACAAGGTGATTAGTGA	CAAA	S	21,33	157	TCTTTCCAACATGCA GCAG	60,0	TGAGTTGCCTAGG GGTGTT	59,6	45	50	
		003_R1_00																		
		1_contig_3																		
		3537																		
658	BrPe4180	Maracuja_NoIndex_L	4	1148	1159	12	3	8	CTGAGAGAGTTACGGTCTTGCTGGCATACCGAGTAAATCCA ATCTTCTTCATTCTTGGTATATTGAATATTATTGTATG AACCACTAACTGTCTTGTCTTGTGGGTATCTCTTATGCAGG AAGTCCGGAAGGAAAGGAAAGTGTGGACGTCCATGGCAGTT TATTGGCCTGATGCCCTTTGATCTCTAGGCATGACAGCGCC AGACAATAAGGAGGGCCTGAATCTGGAGTTAATGTAAGATGAT TACAGGTTGGCTATGCTTCCAGTGGAG	GGAA	G	16,37	198	TTTACGGTCTTGTCT GTGG	58,9	AAGAGGCATCAGGC CAATAA	59,7	50	45	
		003_R1_00																		
		1_contig_3																		
		3794																		
659	BrPe4181	Maracuja_NoIndex_L	4	9992	10003	12	3	8	CAAACCTAGCTGGGTCTGGCAATTCAAGCGTCCTGTGAGCTCT TGTACTAGGGCTGAAACTGGGAGGGCCTGTCTGAACCTCATGGG ATTAGATATGTACACAACTTCGTAGGATGTTCTGTTTCGCCCT TTTGACTCTTCTTCTGCAAACGTCTACACTAGATCATCCAT GTACCTGAAAGAAAGACAGGAAAGATCGGAATCACAAACGAATGC TGGCTAGGCTCTCAAGTTACATAAAAAATGATGACTGTGGAAAG TTTGAGGACAGGATGGATCTAAAGGCTGCAA	TCTT	G	17,87	150	GCTCTTGACTAGGG CTCGAAA	60,0	ACATGGATGATCTA GTAGGTAGCA	57	50	41,7	
		003_R1_00																		
		1_contig_3																		
		4177																		
660	BrPe4182	Maracuja_NoIndex_L	4	1866	1877	12	3	8	TTTTATTAACCTAAATGACAGCAAACACCTCATAACACCTGATCACT TCTCAGGCCAATTGCTTGTCTAACACAAACATACAGCCTT CAAGCAAAAATTCAAACAGAACAGCTCTCAAATGATAAA GTATTGATGATGGAAGGAAGGAAAATCAGAAATGGGAGAGCTA CATACATTACAGGTCTCATGGTAGCAATGACCATAAGGTTCTGT GTTTGTATGTTGCTCTTGTACTGTACATTTGGGTAATTG ACAAGCCAAGAGCAATGAATGCTAGGTTGATGGC	GGAA	G	17,7	172	CCAAACAAATCATACA GCCTTCA	60,0	GGCAACATGACAAA CACAGG	60	40,9	50	
		003_R1_00																		
		1_contig_3																		
		4365																		

G: genoma funcional

S: genoma estructural

P: polimórfico

M: monomórfico

APÉNDICE

Marcadores microssatélites desenhados a partir do sequenciamento parcial e da montagem *de novo* do genoma de *P. edulis*

Nº	Primer	Contig	Motivo	Inicio	Fim	pb	Nº Repet	Score	Sequência do contig	Unidade	G/S	Cobertura	pb	Sequência Forward	T °C Fwd	Sequência Reverse	T °C Rev	% GC Fwd	% GC Rev	P/M
661	BrPe4183	Maracuja_NoIndex_L	4	913	924	12	3	8	AAGAAACCAGAACAGACAACCAAATTTGATTAGCCGAAGAACT ACTGAGTGTGATAATTGGTAATCAGACAATCCAATGGCCCTA GCAAGATTCACTGCCGTTAACGCCCTGCATGTATAAACCAC CAGCTTCATATTCTTCTCGACCTCAAGATCAGGTTATGAT CTCTGGAAAGATTGTATGCCTGCATCGAAAGAAGCATTGCTAAAGG AAGGAAATAAATATTAGCATATAACACAGAAAATGATATCGTC TGTTACACCATATATGTGAATCTGCATTCT	TTCT	G	16,7	151	AATACCAATGCCCT AGCAA	59,4	AGCAATGCTCTTTC GATGC	60,5	45	45	
662	BrPe4184	Maracuja_NoIndex_L	4	1189	1200	12	3	8	GTGCGCAGCAGCACTAATGGATGTACCCCTGACATTCTGCATGTAAT GACTCCAATGAACAGATTAATCCAGAACACTGCCCTTAAGAAACTC AGAGGAAAGAGGATGCTGTTGAGGATTCGCTTCAAAGGGGTC AATGGCAATCCTTGTGTTGGATGGATCATTCTGAAGAC AAGAAGTCATGAAAAGGGCGCTTCATTCAGTCTCAGAGCTA AGGTATAACCAGCTACTCAACTTGACAGGAGAAAAGTTCCAACC AAACTCAACCAATTCTGAACTAACATTCTCT	TTTG	G	15,72	212	CCAGAACTGCCCT AAGAA	59,4	TTGGTTGAGTTGGT TGGAA	59	50	40	
663	BrPe4185	Maracuja_NoIndex_L	4	367	378	12	3	8	CAAGATGCCAAAGTATATGGCTCTTGATGTGAGATATTCT TTGTTTCCCTGATGAATGGATGACCGACCACAATGTCACCTCA TCAACTCCCTACTAAATTGTTAAACCAAGAGGGGAACCAAC GCCAGATGAGCAATCAATAGGAAAGGGGATAGTATAGGGAG GTGAGAAATGAGTGTGTTAGCTAACATGTGCAAATGAATAA AGATTCTTGTTGACTATTCTCCACCGTAATTGTTGAAACAA TTGATGAACCAATGATAATGAAATGATAACC	CAAT	S	19,35	208	AATGGATGACCGACC ACAAT	60,1	CAAACAATTACGGG TGGAATG	60,1	45	42,9	
664	BrPe4186	Maracuja_NoIndex_L	4	702	713	12	3	8	CAGAACATAATTGTGCGCTTAAGGGATCATAGAATGCAATTCTG AGAGATTCGGGAGCTATCAGITGGTTGAATGGAACATTGAGCTCA GAGAAAGTCGTATGTGTTCTAGCCCTCTTGTCTCCCAACAC CTTCCCTCACCATTTATTTATTTGATAATCATATGATGGGT TCCCTAGCTCGTTCTCAATTCCCTCATAGGAAACTCAACAT CTTTCTGAGTGCAGGAAATGTTAAAGTGTGCTGCCAGAGATAC ATGCATATTTCATCCTCGCGCAACTTATG	ATTG	S	14,72	159	TTGTCTCCCCAACAC CTTC	59,9	TGTATCTGGCGA CAGCAC	60	50	55	
665	BrPe4187	Maracuja_NoIndex_L	4	201	212	12	3	8	CAGGCAGAGGGAGGTAGAGGTGTTGACCGGAGGAGGAACCTGC GGTGTCTCGCCAAACACTGCCGATTGCTGATAAGTTGCCA CAGAAAGAGGCTATTTCTGTTGTTGCTGGTGGTCTCTCGTG AAGTCGCTCAGGTGAGTGAGTGAACAAAAACCTCTGATGAGTTG ATTACATTAAGTATCATTCTCAGTTAAATTGGTCATGTTGATA TCGGAATTCTGTTGTTGTTGATTAGAAACTGGTAGAACCGC CTTATGTTGATCAGATAGAATGGTCCAAGTGG	GTGA	S	14,27	226	GCCAAATACACTGCC GATTT	60,0	GGCGGTTCTACCAG TTTCCT	60,5	45	55	

G: genoma funcional

S: genoma estructural

P: polimórfico

M: monomórfico

APÉNDICE

Marcadores microssatélites desenhados a partir do sequenciamento parcial e da montagem *de novo* do genoma de *P. edulis*

Nº	Primer	Contig	Motivo	Inicio	Fim	pb	Nº Repet	Score	Sequência do contig	Unidade	G/S	Cobertura	pb	Sequência Forward	T °C Fwd	Sequência Reverse	T °C Rev	% GC Fwd	% GC Rev	P/M
666	BrPe4188	Maracuja_NoIndex_L	4	2237	2248	12	3	8	GCAACATCAGTATCTCATATTCCGTATTCTCTGGCTGATGTAGCC AAGAAAGCTGAGATTGGATTCTGCACAAACCCGTTGCTGATGCGGAGA GCATTGTAGCCAAGGCAATTGAGATGGTGTATAGATGCAACGTT GGATCATGCAAATGGATGGATGGTACAAAGGAGACGGGGACATT TACTCCACAAATGAACCTCAGGTTGCGTTCACTCTAGGATTGCATT TTGTCTAACATGCA	ATGG	G	12,57	155	GGCTGATGTAGCCAA GAAGC	60,0	AGTAAATGTCCCC GTCTCC	60,2	55	55	
		003_R1_00																		
		1_contig_3																		
		6791																		
667	BrPe4189	Maracuja_NoIndex_L	4	1197	1208	12	3	8	TACCATGTGATAAATCAGGTCTAGTACATAGCATGAGGTACATAAC AGATCCAATTTCACAGTAGGGTACATGGGACATATCTACAATT CACTCTCAGAATTAGGAAAACAGTCGGCAGTGAATTCTATAGGC AGGTATAGGAAGGTTGGTTGGTATTATCATAAAAATTGTT CAAGCACCTCTTGATATTAGATTGAGATAAAGAAAATACC TTCAGATCTGCTCTAAAACCCATTACCAAGGATTTCTAACAG GCCCTAACGTCATGGAAAAG	GGTT	S	49,77	150	TCACAGTAGGGTACA TGGGACA	60,3	TGAATATGCAAGGA AGGTGCT	59,7	50	42,9	
		003_R1_00																		
		1_contig_3																		
		6845																		
668	BrPe4190	Maracuja_NoIndex_L	4	5635	5646	12	3	8	CAAGACACTAAAGAACAAACAGGTAATGACGAACAACCTAAC ACAAACAAACCACAACCTGGCAGCCAATTACCTCTCCAAAAGCTCAT TGTGGTGCCTCATCAAAGACATCCTAACATCAAGGAATGCTC GAAACTCTGAATGATGATTGATATTCAAGAACTATGACTCTGT GCACCATCTCTAAAGCAGCGATTATCTAAAATACCACAA TGAAACCAAAATTAAACCTTTCCAATCTACAGCGCAGCATCAATT TATGACCTCTAGCAACGAGTCTACCTAAATAAC	TGAT	G	19,34	151	AAACCACAAACAACC ACAACGT	59,8	TGGTGCTACAGAGA GTCATAGTC	57,7	40,9	45,8	
		003_R1_00																		
		1_contig_3																		
		7507																		
669	BrPe4191	Maracuja_NoIndex_L	4	1801	1812	12	3	8	GATAGGAGGACCACTGGCATGCTTGCTCGTAATTATCTCTACA TTCTGTCCTCTATCAGATTGCTACAGATCTCTGACCCCTGTACCG GGAAGCGAAACTACATTACATGCATGCTGTTAGAGCCTATATTGGTT ACCAACCACTATCTATCTATTCTCGTTAACCTGGCTCGATTG GTGATTITGAAAGTTATGTTCTGGATTTGTGTTCGCGGTAAATGC TGTAGAACATTGGTCACTGGACCATTTATCTTCGATTTCA GATCGGTTTCGTGATTAGGCTCTG	CTAT	S	19,49	250	GCCATGCTTGCTTCG TAAT	60,2	GGTCCAATGACCCA AAAATG	60	45	45	
		003_R1_00																		
		1_contig_3																		
		7949																		
670	BrPe4192	Maracuja_NoIndex_L	4	1756	1767	12	3	8	CATCATCAGTGAAGAACATTCTCAGGGAAAAGTAGAGAACCAT TCTTCAGTATCTCAAACCTCCTACAAATTATCTCCCAAAAGTTC AGTGTGAAGAACCTACTCCTACTCTTTATTAGCACCTGT GCTTAATACTACTCACTCACTAAACTTGAGGCATCGGTAGC AACGCCAACGGATTTCACTTTAAATCTAGACATGGTTCTCTTAC ATTACATTACTGGTGAGAAGGAGAAAAGGACATTAATCAGTAT CTGTCACCATACATGCTACTCACCTGTCCT	ACTC	S	15,31	182	CAGGGAAAAGTAGAG AAGCCATT	60,1	AGTGAATCCATTG GCGTTG	60,9	43,5	45	
		003_R1_00																		
		1_contig_3																		
		8015																		

G: genoma funcional

S: genoma estructural

P: polimórfico

M: monomórfico

APÉNDICE

Marcadores microssatélites desenhados a partir do sequenciamento parcial e da montagem *de novo* do genoma de *P. edulis*

Nº	Primer	Contig	Motivo	Inicio	Fim	pb	Nº Repet	Score	Sequência do contig	Unidade	G/S	Cobertura	pb	Sequência Forward	T °C Fwd	Sequência Reverse	T °C Rev	% GC Fwd	% GC Rev	P/M
671	BrPe4193	Maracuja_NoIndex_L	4	308	319	12	3	8	ACACACACTAGCGGCCACCATCATCTCTCCCTTCCCTTACAG CCAAAATCAACAAGGAGAAAAGTCTCTGTGATGCATCCCGAG GCAAGAAGAACAAAGAGAAAAGAGTTCTCTGTGCTGGCTGTCC CTGTGATACCTGTTCTACATCATGTGGATAATAAGAGAG GCCACTGGTATTGATCGGGGTTGGATCAACATCAAGAATAGAGGA GTGAAATCAGTCTCGCCTCAAGAGGTAAGAACAAACCATCTGC TTTCAGTTTGGTTGGTCACATGCTAGTTT	GTTC	G	540,72	187	GCCACCACATCTCT CTCC	59,6	CAATCACCAAGTGGC CTCTCT	60,3	55	55	
		003_R1_00																		
		1_contig_3																		
		8605																		
672	BrPe4194	Maracuja_NoIndex_L	4	854	865	12	3	8	CTTTATCTTGAGCGCAGTTACGACGTACCCAACCTCGCTTAGT AAAAATCGAGAGGAGCGAAAAAAAGCAAGTATCTCTTACAG AAATGGAGGGACGCCAACCTCTGCTCATGTTGATTTAGTC ACAGAGGTGTTCCATCCATCAACACATCTTATGTCTAACAGCCAC GGCCTTGAGTTATCAAACACCAGCTTGCAGTATCCCTGCAGTT GTCTTTCTGCTGGACAAGCCGCTTGGATGGCTCAAAGTTG CTGGCAAGCTTTCGACTCTCTCTAACAC	TCCA	G	32,54	151	CGAACTTCTGCTGCA TGTG	60,6	GGCTTGCCAAGCA GAAAAA	60,4	50	45	
		003_R1_00																		
		1_contig_3																		
		8702																		
673	BrPe4195	Maracuja_NoIndex_L	4	193	204	12	3	8	TGTGACCAAAACATATACAATTAGAACACTAGTGGCTCAAGGCATT GGTTGAGACTTGGTCTATATAGGTTGTGAATACATGCTGGTA ACTGTCGCTCTATACATCTGACAATTTGCTTTGACTGGAA AATGACAGAGTTCTTCCATACAAAGTAAACAAAGGTGACA AACAAATTTCTCTGCTGGCTAGTGTCTTCCACAGCTTC CTTGAAACCAACTCACTCGCGCTTCAAGTGCAGGACTCTCGT GATACCACTTTAGGCATTAGCATCTGCCAG	TTTC	G	13,47	209	GTTGGTCTCAAGGCA TTGGT	60,0	CAAGGAAAGCTGTG GGAAAG	59,8	50	50	
		003_R1_00																		
		1_contig_3																		
		8730																		
674	BrPe4196	Maracuja_NoIndex_L	4	1074	1085	12	3	8	GACACAATAAACATATAGAGAGACTAGAAAGTGTGGCTTTG GCAGCCGGGATATATGTTGGAACTTACGTGTGCGCGTTGTT GCGTATTGCGGACATGAAGGTAACAATAAGGGATGCAGCATTAC TGGATGCCCTACTAGCTAGCTAGAACCGAGCAGGTATGGCCAAT CGTCAAAGCAACTTCTGCTTTAATGCTCTTCTATGAGCACGT GCTGGATTTCTGACAGGTGAATTCTACCTAGTTGTTAG	CTAG	S	16,88	158	CAGCCGGGATATAT GTTG	60,2	GCAGGAAAGTTGCT TTGACG	60,9	50	50	
		003_R1_00																		
		1_contig_3																		
		9079																		
675	BrPe4197	Maracuja_NoIndex_L	4	1660	1671	12	3	8	GGAAAGAGTAAGTCATTGCGACAAGTTCTAAACTCAAGTAGC AATGAATTATAACAAATAACAAACACAGTCCCCTCAAAATGACATC TGCCTGCTGTATCCCTAACTAGGGCAGAACCAACTACATACAA GGATAAAATAAGCAAACAAACAAAGAAAATATTTACCTTTAG TTTCTCGTTTTAGTTCTCTTCTTGCATATAACCGATT AGTAGTCGAATCGTGGATCGTCCGTAGTGTCTTCAAGGCTCAA CTTCTCTCTAAATTACGACCAAATGTTAAA	CAAA	S	18,23	174	CAAATGACATCTGCC TGCTG	60,4	ACGATCCACGGATT CGACTA	60,5	50	50	
		003_R1_00																		
		1_contig_3																		
		9462																		

G: genoma funcional

S: genoma estructural

P: polimórfico

M: monomórfico

APÉNDICE

Marcadores microssatélites desenhados a partir do sequenciamento parcial e da montagem *de novo* do genoma de *P. edulis*

Nº	Primer	Contig	Motivo	Inicio	Fim	pb	Nº Repet	Score	Sequência do contig	Unidade	G/S	Cobertura	pb	Sequência Forward	T °C Fwd	Sequência Reverse	T °C Rev	% GC Fwd	% GC Rev	P/M
676	BrPe4198	Maracuja_NoIndex_L	4	306	317	12	3	8	ATTTTGTGATGAATTATACTACAGAAGTAGGGAGATCATTGTG TGTTAGGTGTATAAACCTTAATGCATAAGTCAATTACAAAAGA AATCCTATGTTGACTCTCTTACATTGCTTCTGATCTTACAT ACTATGCATGGAAGGAAGAACAAATTGTCAGTTATATAAGCAG TGGCGGCTTGCACATTCTCATATCAGTTGAGCGACTGTGATTCC CCATTAACAAACTCCACAATGTATATTCTGGTATCACTGATCA ATCTGTGGCATGGGACATATAGAATTGTTTC	GGAA	S	16,79	202	GGGAGATCATTGTGT GGTAGG	59,3	GGAAATCACAGTC GCTACAA	60,1	52,4	47,6	
		003_R1_00																		
		1_contig_3																		
		9544																		
677	BrPe4199	Maracuja_NoIndex_L	4	1988	1999	12	3	8	TTACACCTTGTGTTCACTTACAGATACATTACCTGCAGTGAGCA TTGCTTTATGTTTCTGATTGACTTCCATTGCTCCAATT CACAATTGTTCTTCATCAATTATGCCAGGCTGTTCTGAGCTGCCT GGATGTAATCAATCAATCTGGAGTCCGATGTTGGTAAATTCTTT TTGTTGTGATGAATAATGGCTTCATGTATCTGCATGCACACA ACTTACACATGTACACATCCGTAGAAATGTTGGAGGCTGCATTA AAAATTGTCATGCTCTATCTTGCT	AATC	G	15,88	249	TGCAGTGAGCATTGT CCTTT	59,4	AATGCAGCCTCAA CATTTC	60,1	45	45	
		003_R1_00																		
		1_contig_3																		
		9643																		
678	BrPe4200	Maracuja_NoIndex_L	4	3186	3201	16	4	12	TAAACTTTCTGTAATGTTGGATTATATTGTATTAGGCTCA CCATTCTTACTCGTAGTCCATGATGCTACCTGTACTGCCAAT GCTACCGATGACAAAGCTGTATAGCTTGTGTTGGGTTAATGTT TTATATCTAGAAAGAAAGAAGAAAAGAGTTACATAACCAA GCTAAACTCGACAGAATGCGAGCTAGAAAAAAATTGAAAG GAGAACTGTTGAGTGTCTTAATAGTTAACTAAACTGGTTAGATT TAGTAAACAATTCAACGCTTGAGATGCAGACCCCACCG	AGAA	S	18,6	168	GGCTCACCATTCT ACTCG	59,7	GCTGCATTCTGTCG GAGTTT	60,4	55	50	
		003_R1_00																		
		1_contig_3																		
		9644																		
679	BrPe4201	Maracuja_NoIndex_L	4	522	533	12	3	8	TAATGCTTCATGATAAAAGCGTACCTGAAAGTGCACCATCTGT GACGGAGAGACCTGTAGAGAAACTGGAAATGATAGATATCAGA CTCTCGCTGCTGTTGAGATTGAAATTGCGAGCTGCTAGCTGC AGTTTAGAACCTCTCTCCTACGGAAACATCCAGTATGGTCCAC CAACCTGACAGATAACAGAAAAGGAGAGGAACCAACGATATTCTC AGCAAGCGAAAACAAAAGGAAATTAAACATCATTCTGTATTGC ATGCAGTACCGAGTACAGCATCTTGCAGC	TCCT	G	16,76	160	TCTCGTCTGCTGTTGG AAGA	59,7	TCCTTTGTTTCG CTTGC	60,4	50	40	
		003_R1_00																		
		1_contig_3																		
		9779																		
680	BrPe4202	Maracuja_NoIndex_L	4	2341	2352	12	3	8	TCAAAACAAATGATAAGATGTTGCTTATCTTTGACATTATGATA TTAGGACAACCATGCAAAACCTCCACAGTTGATGATTAGTATA ACCTTGAAATTGAAAGTATGGAGTGCTTATTGTTCTACCGAATC TCTTCACCTCTGCTGTTGATAGTAAGTTTATAACTTAGCGTCT TTGAAATGCTTCTCTCACAATTATTCCTGGATGCTTATC ATTTCACTGCTGGCAATAAAACTTTGACACAAGACATACTGTTG TAGTTACTCAGTCAGCAGATTATTATG	CTTG	S	17,29	189	AACCTTCCACAGTTG CATGA	59,1	TTGCCAGACAGTG AAATGA	60,2	45	45	
		003_R1_00																		
		1_contig_4																		
		0136																		

G: genoma funcional

S: genoma estructural

P: polimórfico

M: monomórfico

APÉNDICE

Marcadores microssatélites desenhados a partir do sequenciamento parcial e da montagem *de novo* do genoma de *P. edulis*

Nº	Primer	Contig	Motivo	Inicio	Fim	pb	Nº Repet	Score	Sequência do contig	Unidade	G/S	Cobertura	pb	Sequência Forward	T °C Fwd	Sequência Reverse	T °C Rev	% GC Fwd	% GC Rev	P/M
681	BrPe4203	Maracuja_NoIndex_L	4	1451	1462	12	3	8	AGGCCCTGCATAGCTTATCGTTAAAGGTCATAATTTCATTGGCA AGTCATCTTCTTAGTTAATATACTTCGAAATTAGTCCTGGACAGAA AACCTATAAAATTAGGATTTCAAAAACCGAGACTGATTCCCTTG GAGCCTCCTTTCTCTCTCTATCTCTCTCCCTTGAAACCTT AAACCCCAAATGACAATTCTCACCCAAATTGACAATTCTCCCTCC ACACTCAACTATATAGACAGTTGTCACTTGGTTGTGAC ATAGCAGGACTAGTTTCATCGACTGCT	TCTT	S	20,83	243	GCCCTGCATAGCTTA TCGTT	59,3	TTGAGTGTGGAGGG AGAATTG	60,1	50	47,6	
		003_R1_00																		
		1_contig_4																		
		0399																		
682	BrPe4204	Maracuja_NoIndex_L	4	1213	1224	12	3	8	GGACTACATGCTATAATTACTTTACAATGTTCACTGGGACTTT TGTCCGTTTACCTGTTGGTATCATGATGTTACTAAACATTGTTG TCTTGAGTGTCTGCTTAATGTTAGTGTACAGCTTACCGCTAAATCG ATCAGAACTGACTGACTGGAAATCAAGTGGGAGACCTTGTG GAATCTGGGAAGGGATCACATGCTCAGGCTCTGGACTGAA TGTAGTTGATCAGCTACTTTAATATTCTGGAGTAGAATTCTGAA ACATAGCTACCCAAAATTCTGACCTTAA	ACTG	G	16,24	168	GGGACTTTTGTCCGT TTCA	59,9	ATCCCTTCCAAGA TTCACC	60,1	45	50	
		003_R1_00																		
		1_contig_4																		
		0680																		
683	BrPe4205	Maracuja_NoIndex_L	4	1305	1316	12	3	8	CATTCTTCTATCGATAAGCACTCAAGTAGAACAGTC ATCAGACCTCGTATCATTGGATGACTGGCTCAAAGGATCAAAG CAGGAAGTAGAACAGATGTTAACAGTGCCAGAACAGTCACGG GACCTTGGCTATGGATGGATGCCACCTGAAATGGCAAAGGAG GAGAAGACAACGCAACAAACGTCATTGGATTGATCACTAG CGAATATGATAATTGGAGGCGCATTAGCATGGCTGAAAGCCTA CCTATTCAATCATCACCTGATGACCAAGATTCTCA	ATGG	G	12,66	161	TGCAAAGTGCATCAG ACCTC	60,0	TGCGTTGTCTCTCC CTCTT	60	50	50	
		003_R1_00																		
		1_contig_4																		
		1000																		
684	BrPe4206	Maracuja_NoIndex_L	4	4087	4098	12	3	8	AGCAAAGCCAACAATCAAGAGGGAGATAAGCACTACAATATCCAT TACTCTCACTGCAGTAACCTCCTAGCACATTCTCTGGTGGAA CAGTCATGTTAAATTCTTGAAACCACAGTAACAAACCATGAA GGAAGAGATACCATACATACATATGTCAGTCCCTACCCCAAGAA CATGTAAAACTTGTAAATTGTTCTCAACAGCAAGGAGTTCCGA GGCAAAGGGTATCTGACAAGTACCAAGAACATGTTACTGCCACGCT AAAGAACAAAGATCTGCAGAAGATGTCAGGACAG	CATA	G	17,8	244	CAAAGCCAACAATCA AGAGGA	60,2	ATACCCTTGCCTCG GAAAC	60,3	42,9	50	
		003_R1_00																		
		1_contig_4																		
		1301																		
685	BrPe4207	Maracuja_NoIndex_L	4	2332	2343	12	3	8	GTGTTTTGGAGAAAAGTGGATTGATGTAAGGAATAGGATT CATGAATATATGCATATGTAATGCACTGCTTCTGCGATT CATGGTCCAGTGCTGGGCATAAACAAATTGACAGGGCTGGCATAT GTCTTCATATTATTTATTAATATTGATGTTCTGAAATA AGGTAGATTCTCTGTTATTGGATTGGGCATAGAATATCTAG AAGATTGAACTAAACTTATGAGAGCTAATGTCACATCTGCTGGTT TAGTTATCGGGCAAGTGTCCAAAGTGG	TTTA	S	16,12	176	GGGCTGGCATATGTC TTCAT	59,9	GGAACACTTGGCCG AATAAC	59,4	50	50	
		003_R1_00																		
		1_contig_4																		
		1850																		

G: genoma funcional

S: genoma estructural

P: polimórfico

M: monomórfico

APÉNDICE

Marcadores microssatélites desenhados a partir do sequenciamento parcial e da montagem *de novo* do genoma de *P. edulis*

Nº	Primer	Contig	Motivo	Inicio	Fim	pb	Nº Repet	Score	Sequência do contig	Unidade	G/S	Cobertura	pb	Sequência Forward	T °C Fwd	Sequência Reverse	T °C Rev	% GC Fwd	% GC Rev	P/M
686	BrPe4208	Maracuja_NoIndex_L	4	573	584	12	3	8	GTTCCTTGTTCTTAACTATTGTTCTCTTACTAGCCTGGGGCGTC TGTTGTTGGGTGCTTCATTCTCTGGCTTTGATTGGAGACA AGTTCTGTTATTGAGTTTTCTTCCCTCCAGGACTAATTGGT GTCATGGTAGTTAGTTACTGCGGTCTCCGTATCAATTG AAACTTTCAGAGCAAATAAATCTGCTATGGTATCTGCGCTT CGTTTAATCTCTCTCCTTATTATAATTTTTTAAAAATCTT TTAAAAGGCCTCTTGAAACCGTT	GTAA	S	15,35	167	GGCTTTGATTGGG AGACA	60,1	AAACGAAGCGCAGA TACCAT	59,7	45	45	
		003_R1_00																		
		1_contig_4																		
		2135																		
687	BrPe4209	Maracuja_NoIndex_L	4	688	699	12	3	8	AATTGTTATGGTATAAGTGAAGTTATTGTTCAAGGCTTCCTTAT TCTTGGTTCATGGAGATCATATTCTCATGCTAAATTATCTAGCTAA AGTCTGGAGATGCTTAATTTATCTCATAAATTGAGAGGCATATTG TTAGCATTCTTCTTCATCAATGCTATAAGTGAGGTTGGCTTT TCTTCTGTCAGGACATCTACATGAGGTGATGTACAGCTTCG GTGTGGTT	TTTC	G	20,03	209	TTCAGGCTTCCTTAT TCTTGG	59,7	CACCGAAGCTGTAC ACATCAC	59,2	40,9	52,4	
		003_R1_00																		
		1_contig_4																		
		2399																		
688	BrPe4210	Maracuja_NoIndex_L	4	1394	1405	12	3	8	TCCATCATATGGTACAATCTGCAGGGACAAAAAACTAAATC CACTTCAAACTCACTAGTCACATACAGGATCTAACAGGCC AATTCCGAACCATGTCAAATACCACTCAAGCATGCACAA GCATCCAGTGTATTATTATATTACTCTGAATCACC ATGAAAGGTTCAATTGATAAAATTCTAGTCACAAATTAGGC AGGCATCAAATCGTCTAATATTCAATTCAACACATGC TACAGAAAATGAAAGCCTGACCGAGCTTGTCA	TATT	S	17,86	178	CAAATCTGCAGGTT GACAAAA	60,1	CCTTCATTTGCGG TGATT	59,9	36,4	40	
		003_R1_00																		
		1_contig_4																		
		2416																		
689	BrPe4211	Maracuja_NoIndex_L	4	2706	2717	12	3	8	AAAGGCTTGCATTTCAACAGAGATTGATACAAATAAAAAGT GATGAAGGACACACAAATGAAACACGCTATCTCGTACA CTTCGTAACCTATAAAAAAAGAACACGACCGGAAATAACA TGCAAACAACAAAAGAAAGAAAGGAAAAGCCTGCGCTG TGGGACCCACAACTTTGAAGTAATGGGATTGGTCATA TIGCTCTGAGTTGACAATGACGGGACCGAAGGG GAAACTCTGTAGTCGTAGCTGTGTGTTTGTCA	AAAG	S	17,8	217	TGGATGAAGGAC ACAAA	59,9	GGTCCCCGTACATT GTCAAC	60,1	45	55	
		003_R1_00																		
		1_contig_4																		
		2614																		
690	BrPe4212	Maracuja_NoIndex_L	4	1409	1420	12	3	8	CTACCAGTTTATAGGATTAACAGTAAACAAGATTG ACAATTCTCATGTGAGACATCCAGGCGCATCC AGTAAAGGAAGCGCTGTAGAACACTGGACTG CTGTTAAGCCTGCATGCAGCGCAGAATGAG AAGGGTGGTAGTGCAGTCTGTTCTGAG GGTGGCAAAGTAACGTAGCTCTCTAG CTTCACATTGATTGACCCATCAAAGACCAATCCA	TGCA	G	16,56	153	AAGGAAGCGCTGTG TAGAA	60,0	AGCTCAGTTACTTG CCACCA	59,9	50	47,6	
		003_R1_00																		
		1_contig_4																		
		2819																		

G: genoma funcional

S: genoma estructural

P: polimórfico

M: monomórfico

APÉNDICE

Marcadores microssatélites desenhados a partir do sequenciamento parcial e da montagem *de novo* do genoma de *P. edulis*

Nº	Primer	Contig	Motivo	Inicio	Fim	pb	Nº Repet	Score	Sequência do contig	Unidade	G/S	Cobertura	pb	Sequência Forward	T °C Fwd	Sequência Reverse	T °C Rev	% GC Fwd	% GC Rev	P/M	
691	BrPe4213	Maracuja_NoIndex_L	4	297	308	12	3	8	AGCAGAAACTCTGTATAAGTAAGGTATGGTACTCCACTTGCTTCTTTGAAAGAACCTAAATATGCTGAACAAGACCTATTCTATT	CATG	G	13,98	154	TTGCAGGCCATTAGATTGTCAAGGATCCCAGCAGCGTCAGAAT	59,7	TGCACAAAACATCC	59,6	40,9	34,8		
		003_R1_00							CATTGAGGCCTATTAGATTGTCAAGGATCCCAGCAGCGTCAGAAT					ATTGTCA		TCTAATCAA					
		1_contig_4							GGACGAGTCATGCATGATCTGTAATCAAATTCTGTTGCTCAA												
		2895							CTTTCTACGTTTAGTGAACAGAGGGAAATATGCAATATTGATTAG												
									AGGATGTTTGCACTGAGTGTAGATAATGATCTAATGCTTTCTTAAG												
									CTCTGTAACAGCAAAACAGAGAGAGTAACAA												
692	BrPe4214	Maracuja_NoIndex_L	4	1004	1015	12	3	8	CCAAGTCAGCGTCGGTCACTACCGACTGACTGTCCATATAAAATT	ATAA	S	16,89	156	GGCTGATCACCAAA	59,5	TGAATCCTTTGAA	60,1	45	36,4		
		003_R1_00							ATATCTCTGACTGACTCCATACTCGCTCTGAAGACACTCATAAAC					AAACA		TCCCATC					
		1_contig_4							TGCCTCAATATCAGCATATGTATTGGACTCGCTCGGTGATCACCAC												
		4103							AAAAACAAACATAAAATAAGAATACAAGAATGTATTACATTAC												
									TAACCTACATAAATTGAAAGTAAACCAAAACAAATGACTTCT												
									ACTTGATTGGTCAAATTACATATCCATGATGGGATTCAAAAGG												
									ATTACATCATGAGTTCTTAAACATCAGCAA												
693	BrPe4215	Maracuja_NoIndex_L	4	4080	4091	12	3	8	TAATTGCAAATCGAATTGAAAGCTGTATGATACCAACTAATGATC	ATCA	S	22,37	190	ACACCAAATGCCACC	60,1	TTGGACTTCTGGGT	59,9	45	45		
		003_R1_00							ACGCTTAAGCTTAGTACGCTCTAACTACAGTAACCAAAAGCAA					GTAAT		TTTGG					
		1_contig_4							AGTCTCATGCTCTCAACACCAAATGCCACCGTAATTACAGATCCA												
		4406							AAATTACATATCAATCAATCAGTAAGCAATAAGAACCGCTAA												
									GAAATTAAACAATACATGAGAAACTGAATTTCACAAATAATGGC												
									AATTCCAACAGAAACCAACTGTCAGTTAACCGAACACTGAAAGCCA												
									ACCAAAACCCAGAAGTCAAATTCAAAGATATG												
694	BrPe4216	Maracuja_NoIndex_L	4	1847	1858	12	3	8	TGGTCGATTGAAAGGTCTATTGACCGACACAGATCCTGGCGAA	TGAA	G	12,89	247	ACAGATCCTGGCGA	60,3	TACGACGGAATCCC	60,2	50	45		
		003_R1_00							GTTCGCAACATCCTGGAAAGCAGGTTCTGACTGGATGTCATTTC					AGTTG		ATTGT					
		1_contig_4							GAAGAAAAATAGCTTACCAAGGCTAGCTCTTTGCTGGCTATAATTAC												
		5006							TCATAGCTTGAATGAATGAAGCTGCAACTGCAGACTGTGTTTATC												
									AGACGCTTATTGGGTGAGTACGATGGATTGACCAACCCCTGCGG												
									TGTTTCAGTTGACGTTGAATCAACAAATGGGATTCCGCTGAATTG												
									GACAATAATACGAAACACATACTTCGCT												
695	BrPe4217	Maracuja_NoIndex_L	4	3887	3898	12	3	8	CCATGTTGAGCTGATTATTCACTGTTCTCATTTTCCATCTGA	CATG	S	16,61	195	TCCCTGAGGAAGAGA	58,4	GGATCTGCATCCTA	59,5	42,9	41,7		
		003_R1_00							CATGCACATGCAGTCATGTGCTGCTAATCAAATCCAATCTGCAG					AAAATG		TGTAAACTGA					
		1_contig_4							TATATATAATCCCTGAGGAAGAGAAAAATGGTGTACAGAGAGA												
		5016							AAAGCTGCACATGCATGAGCTCAACTCGTTAATCATTAAACCA												
									ATCATCTCTAGTTGATTGGCTATTCAAAACTCGATTCACGAATA												
									GAACAGACATAGTCGGAAGAATATTGATATCGAATCAAGATCAGT												
									TACATAGGATGCAGATCCTTCTAAATAT												

G: genoma funcional

S: genoma estructural

P: polimórfico

M: monomórfico

APÉNDICE

Marcadores microssatélites desenhados a partir do sequenciamento parcial e da montagem *de novo* do genoma de *P. edulis*

Nº	Primer	Contig	Motivo	Inicio	Fim	pb	Nº Repet	Score	Sequência do contig	Unidade	G/S	Cobertura	pb	Sequência Forward	T °C Fwd	Sequência Reverse	T °C Rev	% GC Fwd	% GC Rev	P/M
696	BrPe4218	Maracuja_NoIndex_L	4	471	482	12	3	8	AGCCTTCACTTATGAAGAATTCAAGAAAGCTGCGATTATCCAACAA ATTCCATGCTGGTGAAGCACTTCACTAGTACGCACCCAGAACGTGA AGCAAATGATATAGCATGTTGCAGCCCATCCAAATACTGCATCT GCAAAGTAACACTACGTACGTACGCCTGAGGATCCTGAAATAACTT CACATATGAGATCAATAAA	TACG	S	12,73	159	CAACAAATTCCATGC TGGTG	60,0	TGATCTCATATGTG AAGTTATTCAGG	59,8	45	33,3	
697	BrPe4219	Maracuja_NoIndex_L	4	1044	1055	12	3	8	GATTCTGAGTAAAATAAAGTTACATTATTCTATTAGAACACGCCGG CAACTTTTATGAATGTTAGGTATGATATCATTAGTCATATTAAATC GAGTTATCTATTGATTAATTGTTAGAAGTCAAAGTCATTTC AACCGACTGATTATTATTTCGTTATATAAGTCAAATAATTATA ATCAGGAACTTTACCGAAGTGGTTAATAGGAGTAGCTACCATTTG TATCATTAAAGCGGACTTATTTCATAAAGCATTATGCTTCAATC AGTGGCAGAGACGACAGGTCGGTACTTT	ATT	S	15,26	180	ATTTAGAACACGCCGG GCAAC	62,3	CCCACTTCGGTAAA GTTCGT	59,1	50	50	
698	BrPe4220	Maracuja_NoIndex_L	4	461	476	16	4	12	ATGTTCTTGCATCCCTTTACTGTGAAAACCACGTGGACCAGGAGA TGGAATACTCTGAATGGAGGATCATGCAAGAAGAAAATCACAGAG AATAAAAGACTGTCAAAGGGTTATTACATACAAAAACAAGTTCAT TAACTGCATTCTGTTGTTGTTGTTGTTATCTACTAGTACAAGAT ACTTGGTTTGTATATCCAGACTTGACCAATCTATAGCGTAGGAT TGGCTCCTAGCTGATTGTTGATTGTTGAGGCTTGTCAACT GAAC TG CAGG CCTT GATT CAATT TG TACAC	TGTT	S	16,67	237	TGGAGGATCATGCAA GAAGA	59,3	ATCAAGGCCTGCAG TTCACT	59,9	45	50	
699	BrPe4221	Maracuja_NoIndex_L	4	366	377	12	3	8	CTTAGAACGCTATAATTCCCTCTTAATTGGCAGTTAGGAGTGAC TGCATTCTCGAGCAGGTGTATGTTGTTGTTGCTTGC TTTTTATTATTGCTATTGCTGAAAGAGAACATAATGAGAAATA AGCAAGTGAGAAAGAAAGATGTTAAGAGAGTGAGCAGGAGGG TTCTATTAGCCAGAACAGTCATGGTTGGTTAACTTGACACT AATAATTCCAGATGAAAGAGTGTGTTAAGATTGTCATAC GACCAAGAGGCTTAACTAGTAGATAGATAGAT	AGAA	S	15,42	167	GAACAATAATGAGAA ATAAGCAAGTG	57,7	CCTCTGGTCGTATA GACACAATCT	60	30,8	44	
700	BrPe4222	Maracuja_NoIndex_L	4	3165	3176	12	3	8	TGCTATCAACCAAATTAAAGCATTGAAGACGGCTTTCTCAA TGACGTGTTCCAACACTAAAAAGATTATTGATTTCTCTGGAGC TCTGAATTCAAATTAACAGTCCTGACATCAATGGATTGATCAA CGGGGAGGATAATTAAATAAACAGGATAATCATCGATTAAAT ACTAATTCTATAGCACCTAAGGCCATGAACTAGTCCTTAATGAATTA ACGATTAACCTTATTCCCTCTTGTGCTGACGATGAGCTCA CTATAGTTGCTGCTTCAACCTATTAGTA	TAAT	S	17,92	250	AGACGGCTTTCTT CAATG	59,4	GCTCATCGTCGAGC ATAAAA	59	42,9	45	

G: genoma funcional

S: genoma estructural

P: polimórfico

M: monomórfico

APÉNDICE

Marcadores microssatélites desenhados a partir do sequenciamento parcial e da montagem *de novo* do genoma de *P. edulis*

Nº	Primer	Contig	Motivo	Inicio	Fim	pb	Nº Repet	Score	Sequência do contig	Unidade	G/S	Cobertura	pb	Sequência Forward	T °C Fwd	Sequência Reverse	T °C Rev	% GC Fwd	% GC Rev	P/M	
701	BrPe4223	Maracuja_NoIndex_L	4	2316	2327	12	3	8	CCTGAACAGGGCAAGACAATATGGATGGCAAGACACATACGTGTTCAAGAAGGGCATGGGGAAATGATGATAGATAAGATGAGAGGAAAC	TGGA	G	14,72	225	CCTGAACAGGGCAAGACAATATGGATGGCAAGACACATACGTGTTCAAGAAGGGCATGGGGAAATGATGATAGATAAGATGAGAGGAAAC	60,1	TTCAGGTTGGCAAAGATAAAAA	60	50	30,4		
		003_R1_00							ATACCGGTTGTCATAATCCGACCCAGTGTATTGAGAGCACTGCAA					ACAAT							
		1_contig_4							AGAACCGTTCTGGATGGAGGAAATAGGTAGGCGTATAAC												
		6356							ATTATAATACATATATCATTATCTTGCAAAACCTGAAATTATTAA												
									TTTATTATTTAAAGGGATGGTCAAGGATGATGGATCCAATA												
									GTTTTACTATGGCAAGGGCAGCTCACAGGA												
702	BrPe4224	Maracuja_NoIndex_L	4	1492	1503	12	3	8	TCTTCTTTCCTCTAGAGAAACTGGCTCTGAAAGCGGTGGAAC	TGTA	S	15,98	181	ACCTGCCAACTCAA	60,1	GCCGCTGAGACTTC	59,6	45	50		
		003_R1_00							TCCTGCACCTGACGTATTGATGAAACACCTAACCTGCCAACTCAAAT					ATTGC		TGTTT					
		1_contig_4							TGCAAATTAAGAACAAATACTGGAGGAAATTCAGATAACAGATT												
		6821							ATTTCTGGGTATGTATGTACATGTGCGGTGTTTCAACATGG												
									GCCTTCATTATATATGGCTAACATACATTACTTCCGCTAGCTACG												
									ACGAAAACAGAACAGTCTCAGCGGCTACTAGCAGTTCTTCTCGCT												
									TTATGGAAAAACTGATAAGACTGCTGCATA												
703	BrPe4225	Maracuja_NoIndex_L	4	204	215	20	5	16	TTGTTTGGATGGCGGTAAGAATTTCGAGGAAGAAATTCTAATTAGGAGGAGATGTGAAACCTACCTCCGAGTTGGAAGAAATTGACC	ATTT	S	191,65	155	AGGGGAGAGATGTGG	59,9	TCTCCATGCATATG	59,7	55	39,1		
		003_R1_00							CGAAACCCCCACCTTGTGACCGTAGTGTCTCATGCATTGAACATGCAT					AACCT		AAGACTCAA					
		1_contig_4							TCATAGATGAATTATTATTTATTTAATTATCATGCATTGAGTC												
		7372							TTCATATGCATGGAGAGTGTGAAAAAAATGAAAACATAAAAAA												
									ATTGCTTGAATGACATGTCATCCACCTTA												
704	BrPe4226	Maracuja_NoIndex_L	4	3215	3226	12	3	8	ACTATCTATGGCTATTGCCAAAAAGAAAAGTTATCGACGTCTGCTT	CTAG	S	14,62	219	TCGACGTCTGCTTGT	60,0	GCATCGATCGGCAT	60	50	45		
		003_R1_00							TGTTCACCTCTGCTGCAAATCTCCAGACAATAGGTCTTCTCAAG					TCAC		TATCTT					
		1_contig_4							ATTGTTAAATTGCAAAGAATGAATCTAATATTGGTGAGGAGAA												
		7585							TAGACCTTAACTAGCTAGCTAGGGAGGGACTCTCCAAGGAATATC												
									AACTAGGTAGAACAAATCTGATATAATTAGTAGACTTTCGTA												
									AAAGATAATGCCGATGATGCCATTATATGCGGAGTTGCAGCTT												
									AATTCTTATTATATTATTTGACGAAC												
705	BrPe4227	Maracuja_NoIndex_L	4	2614	2625	12	3	8	GGTGGCTTGGAGGTTGCTAATGACAGGATTTTAATGCAAAGGA	TGGT	G	17,84	204	GTGGCTTGGAGGTT	60,1	GCACCATCTGTGTT	60,1	50	45,5		
		003_R1_00							ACCATGGCCTGACGCTGTGCAAACCATAGAAATTATTGAGATATG					TCGTA		CAACTTGT					
		1_contig_4							GTTTTGCTCTCAGATCTGCTCTGACTCGTAAGAATCAGTCAGAA												
		7620							AAGAGTAAGGCTGGTTGGTCTCACACCACCAATAACTGGTAC												
									AAAGTTGAACACAGATGGTGCTTAAAGGAGATACATATATGTC												
									CAGGAGGCATTATCAGAGGCAACCAGTGTGAGTGGGGAGCTT												
									TACATGTAATCCATAGGAGCTTCTGCCTATCAGG												

G: genoma funcional

S: genoma estructural

P: polimórfico

M: monomórfico

APÉNDICE

Marcadores microssatélites desenhados a partir do sequenciamento parcial e da montagem *de novo* do genoma de *P. edulis*

Nº	Primer	Contig	Motivo	Inicio	Fim	pb	Nº Repet	Score	Sequência do contig	Unidade	G/S	Cobertura	pb	Sequência Forward	T °C Fwd	Sequência Reverse	T °C Rev	% GC Fwd	% GC Rev	P/M
706	BrPe4228	Maracuja_NoIndex_L	4	732	747	16	4	12	ATTTTGTGGCCGTGTATATAAATATGATATACTCAAATGCTC TTCAACATCGATCTGGACAATTACGGCCATATCCAGCCACCTTGCT TCCAGACTAACTCTCGTTTTCTTATTTAGCCAACAATAATATT TTTACAATTCTCCTCCTCCCAGACGATGAGTTAACGGTCAA GGGAAACAACACCCCTTGCTCATTTACGATTAAGAAATT CTTAGGATTTCTCTTTAGAAAACTTGGAATACATTATAA TATAAATTCAATTACATTACATTGAGAGTTA	TTCC	G	15,77	160	CATCGATCTGGACAA TTACGG	60,3	TGAGCACAAAGGGTG TTGTTTC	59,7	47,6	50	
		003_R1_00																		
		1_contig_4																		
		7778																		
707	BrPe4229	Maracuja_NoIndex_L	4	10651	10666	16	4	12	CGCAAACAATTAACAATTAGTAATGAGAGACTCGAAAAATGTAACC CAGACATGTAATGGTACCAAATAGAAAAAGCTTGTATGCTTCGC AATCAAGACAATATCCTCTAAAGAACACAGAACGCCCTCAGACAA TCACTGGCCTATCATTCATTATGATGCCGATGATAACACA AAACTGAGATGTCAGTGTACTGGAAAAATGCAAACCATC TTCTAAATAGCACATGATTGTACGACGACGATTCTGCCGA TCATAAACACAAATGTACATATTCTAAATCATGACAA	TCAT	S	16,82	154	CACAGAACAGCCCTC AGACA	60,0	AATCAATCGTCGT CGTACA	60,1	50	45	
		003_R1_00																		
		1_contig_4																		
		8060																		
708	BrPe4230	Maracuja_NoIndex_L	4	435	446	12	3	8	CTGGGCATCGATAACGTTCTCTTAATTCTGCAATGGAACACTA TTGATCCCCAGAAACTATCCATTAGCTCGGTGAAGTCATGAAAC CCGCTACTGAAATAAACATGGTCGCCCTGCATGAGACAGTGTGC AAACAGGCCACTTCCTCCTCAGGGCTCAATCACCGTGTGCG TTTTGCCAGCTCAGTTGCCGCAGCAAACTAGATGCCATACGTT CCAGGAAGAATAATCATAACACATTGTTATAATCAGAGGGAAATA TCAAAGGGAAATCAGTTATAATGGGATTGAC	CTTC	S	23,37	174	ATCCCATTAGCTTCG GTGAA	59,5	CTGGAAGCGTATGC CATCTA	58,9	45	50	
		003_R1_00																		
		1_contig_4																		
		8133																		
709	BrPe4231	Maracuja_NoIndex_L	4	350	361	12	3	8	TGTTTACGATTCTCGAGATTGATCCCCATGTGGTTAGGTAC AGGAGGATACGTTCTTCCCTACTTGCTCTGCTTGTCCAAG GAATCAAGATTGTGATCCAGGAACAGAAATTCTGCTTGTGAAACGC AAATTATATACTTTCTTGTCTGGCGAGTCTTGCTGGCTTATAA TTCGACTGTTGAGTTCCCTTATAAAGCATAAGTGCCTGGTGA GTGCAATCCTATCAAGTTGCTATTAAGCGTTGTCAAAGGCC GTGGCGAGGTAGAGTTCTCTAGGTCC	CTTT	G	15,25	160	CTGCTTGCTCCAAG GAATC	60,0	CCACTCACCACGCA CTTATG	60,2	50	55	
		003_R1_00																		
		1_contig_4																		
		8314																		
710	BrPe4232	Maracuja_NoIndex_L	4	2614	2625	12	3	8	GAAATTACTGGGCTTGTATGTGTTGGCATTTGGTAGGGTT CTATTCAGATGCAATTCTGCACATTGTTGGGTTCTTTTTC CTTCTCGCTGTTAGTATGTTAAAATACATAGGATAATGGGAGATT CTGGTATTATTTATCTATAAAAGACTGACCAATGACATTA TAGGCCCTTGATAATGCTTAGCCATTGAGTCCCTGCCGATGTT ATCTTCTATTGAGTGACCAATTGGTAAAGAACCTAGTAGGATGT TTTCTGACTTGAATTCAATGGATGAT	ATTT	S	13,73	175	CCTTCTGCGTTGTTAG TATGTTT	57,6	TCTTACCAATGTGG TCACTTCA	59,5	39,1	39,1	
		003_R1_00																		
		1_contig_4																		
		8385																		

G: genoma funcional

S: genoma estructural

P: polimórfico

M: monomórfico

APÉNDICE

Marcadores microssatélites desenhados a partir do sequenciamento parcial e da montagem *de novo* do genoma de *P. edulis*

Nº	Primer	Contig	Motivo	Inicio	Fim	pb	Nº Repet	Score	Sequência do contig	Unidade	G/S	Cobertura	pb	Sequência Forward	T °C Fwd	Sequência Reverse	T °C Rev	% GC Fwd	% GC Rev	P/M
711	BrPe4233	Maracuja_NoIndex_L	4	468	479	12	3	8	TTTTGTTTTTTGGCTTCAATTCAAGTGTCCTGTTGGTAATTA TGGAGGTGGTGGCCAGTGTGAGTTATGTGGAGAGGGCTTGTGGGT TTCCTCTTAATGAAACTATGGGGTGAGACTGTTGTGCTGCGG CAAAGTCTCTGCTGCTGTTGAGTTATGTTCTAAATTAGTGCTTTGTTGA CTTCTCCCTGGAGTTATGTTCTAAATTAGTGCTTTGTTGA TTGACTCGTGTATGTGGTTGTGGGGTTGTGAGATG GTGGATATTGCTCCTCTTCGTTG	CTTG	S	16,7	218	GTGGTGGCCAGTGTG AGTTA	59,6	AAACACCCACAAA CCACAT	60	55	45	
		003_R1_00																		
		1_contig_4																		
		8458																		
712	BrPe4234	Maracuja_NoIndex_L	4	392	403	12	3	8	CCTTCATCCACTGCTTAATAGACAAGACATTGATTCTGATGCTT GGTATTAGAGACTACAATGGAAGATAAAAGTGAAGAGATAAGAA ACAACCTCCAGATTATACAGTAAAGACTAAAGATTAATGC ATTCCATCACCTTTGTTGAAATCTTCCTCATAGATT TACAGTTCTGCTGACAATGGACGACACTGAACATTACGGA ATCGAAAAAAACTACTAACAGAGCTGAGATTATATCTCCTT AGATCTTTGCAACATCATGTTGGTCTA	TTTG	S	15,95	185	CATTGATTCTGATGC TTGG	59,1	GTCGTCCATTGTCA CAGCAG	60,3	45	55	
		003_R1_00																		
		1_contig_4																		
		9212																		
713	BrPe4235	Maracuja_NoIndex_L	4	731	742	12	3	8	TTTACTCAGGTCGCGTATGTCGGAGTAAAGTATAACTACTG CGGATGAGTATTTAAATCACGATATCGATTGGATCCATAACAGTA GCATCTGAACGCCACCGTAAAAGGGACAAACTATAGCAAAT GCTGCTACTACATTATTTACCCGGATATAAAATAAC TCCATAATTAAAAAGAGAGGAGAAGTGATGTGAGGCGCTGG GATTTTCATATGGATAGGTGATTAAATGATGCAAGAGACTG CCCGAATTATAATAACTTGTATTCCATGTGA	ATT	S	14,98	175	CCACGTAAAAAGGG ACAAA	59,8	GGGCAGTCTCTTGC ATCATT	60,2	45	50	
		003_R1_00																		
		1_contig_4																		
		9604																		
714	BrPe4236	Maracuja_NoIndex_L	4	568	579	12	3	8	TGCGTGATAACTGAGGCCATAATCAGTGGTCGTTTCCCACATGGC AGAGGACATTTCATGCCACCCAACATCTGAGGTTACCGAATCT TCTTCTTCATGCATTACAAAAGAAAACCTATCTTACTTAATGTG GCGGCAAATCCTCCCTGAGAAACTATAGGCTGAAGTCTATG CTGATACCCATAAGAGTTATGCTGATACCGACGCTCGACCTAGA GTTCGAGGTTGGGATATGGTTCTGAGAGTTGCTCATGGAGGG GAGTTACGGTCAGGCAGCGGGGTAAGCT	TCCT	S	260,09	173	TACTTAATGTGGCGG CAAAA	59,2	CGCTGCCTGAACCG TATAAC	60,7	40	55	
		003_R1_00																		
		1_contig_4																		
		9845																		
715	BrPe4237	Maracuja_NoIndex_L	4	854	865	12	3	8	TATTTACTGTTGGCGTTAGTAATTATAGTCAGGACTGGTTTACGTG CATGTCACAGGTAGGTGTTCCCATGTCATAATTCTCCCTCTG TACGTTGGTCTAATCTCTAAATCAAATGCAGACATACAGGG GCAAAACCTACCAACCACATGGCAGGTTATCTTGAACTCG AAAACGTCAACAAATGTAACACTACACTCCAATTGGCGTTGGC ATCAGCTGCCTCATGAAATCAAGGAAAAACTGAGATTGGT AGTGTACAGGTTGAGAAGACTTCGCAAAATGAA	ACCA	G	17,4	169	TCTCCCTCTGTACG TTCG	60,2	TTCAGATGAGGCAG CTGATG	60,1	55	50	
		003_R1_00																		
		1_contig_5																		
		0045																		

G: genoma funcional

S: genoma estructural

P: polimórfico

M: monomórfico

APÉNDICE

Marcadores microssatélites desenhados a partir do sequenciamento parcial e da montagem *de novo* do genoma de *P. edulis*

Nº	Primer	Contig	Motivo	Inicio	Fim	pb	Nº Repet	Score	Sequência do contig	Unidade	G/S	Cobertura	pb	Sequência Forward	T °C Fwd	Sequência Reverse	T °C Rev	% GC Fwd	% GC Rev	P/M
716	BrPe4238	Maracuja_NoIndex_L	4	1066	1077	12	3	8	AGTAGGTATGCTTAGTCACTGAGCACTAACCGTTCAAGTAAAT GTGATAGTAATGGCATTGCTTCACCTTTTGAGGTGAAAAGG CATCGCATGGCTCAAGCAATGGCTATAGAAAAGGTCACGGGA ATCTGAAGAACCATCCATCCATTAGAGGCACAAGTTCTCTAA CATAAAGAGCAATCCACCCTGATGTATGGCATATAGATGTGC TACCTACTAGTATGGTGCCTGCAAACAAAAACTATTATATAA CACTCAATCAGTTAATTGTTTTATATG	CCAT	G	17,03	158	GCTCAAGCAATGGCT CATAGA	60,5	GTTTGCACGCAAC CATACT	58,7	47,6	45	
		003_R1_00																		
		1_contig_5																		
		0065																		
717	BrPe4239	Maracuja_NoIndex_L	4	1872	1883	12	3	8	GCAATGAGCATTCTAGTGAACAGTATTACAAGATAACTCTAATA AGAACAGAGTAAATGTAAGGAAATTACTAGAAAAATAACC TACAGAGGGATTAACAGTCTCATATCAAAATCCATAGACTAA TAAAGAGAAATGTATCTATCTATGCCATATCTTACACTATAT GGTGTACCTGATGCTTCACATTCTTACAAGGTTATAG TTAGTCATTGCCATGCCAAAGCATCTGTATCCAATAACAAATTTC CTTCAAATGCCACTTCATTGTCGTCTGTC	TATC	S	16,2	159	CAGAGGGATTAACA GTCTTCA	58,3	TTGGCATGCCAAT GACTAA	60,1	45,5	40	
		003_R1_00																		
		1_contig_5																		
		0084																		
718	BrPe4240	Maracuja_NoIndex_L	4	1005	1016	12	3	8	AGGGCTTTACTTCAGTTAATTGAATGCCAAGTTAACATGTT ACGTAATCATAGGAGGGCATGCTGTCAGTCACGGCTGGAGATGC TTCAAGGTTAGTAGTCAACTTACTTTTCTTGTATTCATCAGTCT ATGGTTGATTTGTTGTTGATTTACACTGGTTGCTTAAAGGGG TTGCTTGCCTTATGAAGAGAACTCGGTAGGATAACTTCAC GTGTTATAAGGAATTCTCTGCTAATTATAAGATCGAAATTG AGTTGATTGCCATTAGTACCTGCTTAA	TTTG	S	13,81	158	CATAGGAGGGCATGC TTGTT	60,1	TCTCTCATAAGAC GCAAGCAA	60,2	50	40,9	
		003_R1_00																		
		1_contig_5																		
		0398																		
719	BrPe4241	Maracuja_NoIndex_L	4	182	193	12	3	8	AGGGCGAGAGTAGCCATGGGTGATGCAGGCCAGACTAGACAATC TCGATCGAGACAGACCTTGCCTCAGATTCTAGGAGCTAGCCAGAG GTTGTTGCACGAGTGCCTAGGATGAGCTGTTGATAGAGTTTAC AGGATGGAGATTGGATGGATGGAGAGACAGTCAGTTGCCAGCCAGT TACTGTAGGGCCATCTAGACCCAGACTCCGAGGCCAGG	TGGA	G	683,54	169	TGGTGTAGCAGCCAG ACTTA	60,4	AGTAACGGCTGGC CAACTG	60,3	50	55	
		003_R1_00																		
		1_contig_5																		
		0672																		
720	BrPe4242	Maracuja_NoIndex_L	4	568	579	20	5	16	AGAGCAAGTATACCGCAAGTTCTTTCAAGTCCCCACGTTCAATG CATCATTGGACACTGGTGTCTCATGCAAGCTGAGCTTCTTCG TCTGTGACAACAAGATTAGAAGCTAAAGAAAGGACTAAAGCGT TTAAGCCACCAACCAACCAGCGGTCAAGCGAATCTGAAACATA TCCAAGCAGCAGAAACTACACCTGCCGTGCCCTGGATTACATAA TTTGATCTGACAGCCAGAGATTCTCTGAATATCCAAAAAGTTAC CAATATCTGAAACATTITATGTAATAACTACA	ACCA	G	16,86	169	TGCATCATTGGACA CTGGT	60,0	ACCGCAGGTGAGT TTCTGC	60,3	45	55	
		003_R1_00																		
		1_contig_5																		
		0727																		

G: genoma funcional

S: genoma estructural

P: polimórfico

M: monomórfico

APÉNDICE

Marcadores microssatélites desenhados a partir do sequenciamento parcial e da montagem *de novo* do genoma de *P. edulis*

Nº	Primer	Contig	Motivo	Inicio	Fim	pb	Nº Repet	Score	Sequência do contig	Unidade	G/S	Cobertura	pb	Sequência Forward	T °C Fwd	Sequência Reverse	T °C Rev	% GC Fwd	% GC Rev	P/M
721	BrPe4243	Maracuja_NoIndex_L	4	962	973	12	3	8	TCCAATACCTAATATACTTGTATTATAAGATTACTTCCATGACC ACTGCAGCGATAATCTCGTTATCTTCAGCAAGATTCTTGAGGACT TGATTGAGGTGGTGCATTGGATATGCTCTGTACATTGTTCTTG TTGGTTATTGTTGTTGCATTAGTAGCTTTATGTCTTGGTTCTA CAAACAAAGCAAATCTCTCTCTTGAATTCTATTATCATCTC TTGAGTATGCTGGTTTATATGCCATGTTAAACTCTAAATAT AGAGTTAACATGTTAATTGATA	TTG	G	50,14	155	TGAGGTGGTTGCATT GGATA	59,9	CCAAGCATACTCAA GAGAGATGA	58,6	45	43,5	
		003_R1_00																		
		1_contig_5																		
		0785																		
722	BrPe4244	Maracuja_NoIndex_L	4	1190	1201	12	3	8	GACAAGTCCCATAATTCAATATTGCTGGATCAATTCTTAATGC ATTCGATAGCATTGATGGCCTCTCTATATTCTGTGACAGCGAT AAAGGAGACCATAAACATGCCAGCAAACATGACTTTAAGGTCA CTGCATGGCAAGAAAGAGAGCTCACATCAAGTTACAGAAAC ATGATATCAAAAAAAATTATACACATTAGAGAGAGCTC TTGACCTTAAGCCTAGCCTGACAAGTTGCTATGCTCAGATT GATAAAGTTCTGGTCAAGGGAGAAGAAAGAATT	AAGA	S	16,1	162	TTGCTGGATCAATT TTAATGC	58,3	TTGTTCTGTAACCT GATGTGAGC	58,5	34,8	37,5	
		003_R1_00																		
		1_contig_5																		
		0950																		
723	BrPe4245	Maracuja_NoIndex_L	4	744	755	12	3	8	AAGTTTAGTGTATTGTTGAATTCTTGAGGTCGGTATCAGTT GGTTTCTTAGAGTTGCTTGGGTTCCATAGGATGTCAGGGAGTGTCT GAAAGAGTTACTGAGGATTATTCTGTTGAATTATTAGGATA CTGATATCTTATTATTTAGTAAACATGACAGAT ATCGATGCATATCTCAATAGGACATTGACAACCTAGGTGAGTT CCTTATTAAATTGTTCAAGTATTTTAAATTCTATT TTTGAGATTATTAACATTGATATT	TTAT	S	23,52	169	GGGTCCATAGGATG TCAGG	59,2	TCCAACTCACCTAG GTTGTCA	58,2	55	47,6	
		003_R1_00																		
		1_contig_5																		
		1153																		
724	BrPe4246	Maracuja_NoIndex_L	4	2401	2412	12	3	8	TACAGTAAGGGAGAACACTGAGAACATTGAGGGTAAAGATCCGCAA AGAGGATACTTGAAACAGAGTGTATCCAGAAGCTATTCTACTCAA TCTATGGCTACAAATGGACCAACGTATCGATCTACAACTGGGG GTAGATATTATCTTATTAAATTGGTGTGGGGTTGGTGCCT TTAATATATTTGGCTAGCCTAACAGACTCACTTATCATG ATTCTTAAATATCGGAGCTGAAACTGGTGTACCTGGCAGAGT CTGTCCTGACTTGTGCGATGCGAACATCTACC	TTA	S	13,52	157	TAAAGATCCGCCAAA GAGGA	59,8	TAAAGGCAACCAAC CCACAC	60,8	45	50	
		003_R1_00																		
		1_contig_5																		
		1495																		
725	BrPe4247	Maracuja_NoIndex_L	4	717	728	12	3	8	TCACAGTCTCTGTGCAGACATTAGCCATTGCTGCCAGGGATGCA GTAGCATCGTAAACATCTATTCTAAAGAACATGATTCTCTATCA TCCATCACCTCAACATCTTTCTTCTCTGTAAATACTGTG GTTTCTACATGCATGCATGGAAAGAGAGGTGGCCAAGCTGGAA GTTCTACTCGGCAGGAAGGACTCTGAAAGCAAGCTTGATGGT CAAATCAGTTACCTGCTCCAATTCTCACTGGAGACTCTCATT GCCAATTCAAGCAACAGGGCTTGAATAG	CATG	S	15,34	180	TTCTCTGTAATAATC TGTGGTTTC	59,1	ACCCCTGTTGCTGA AATTGG	60	34,6	45	
		003_R1_00																		
		1_contig_5																		
		1618																		

G: genoma funcional

S: genoma estructural

P: polimórfico

M: monomórfico

APÉNDICE

Marcadores microssatélites desenhados a partir do sequenciamento parcial e da montagem *de novo* do genoma de *P. edulis*

Nº	Primer	Contig	Motivo	Inicio	Fim	pb	Nº Repet	Score	Sequência do contig	Unidade	G/S	Cobertura	pb	Sequência Forward	T °C Fwd	Sequência Reverse	T °C Rev	% GC Fwd	% GC Rev	P/M
726	BrPe4248	Maracuja_NoIndex_L	4	1207	1218	12	3	8	GAGGTCTTGTCCCTGCTCTCTGGGCTTGGCCTCACTGTCTAG GCTTTGGCAGAATTGGCTTGTCTATTAGGGCCATGGCAGTC TTGGGAGGGTCAACTTGGTGAATGGATTTCCTTATTTGCC GAAGAATCTGCTTGAGCTTCATAACAGTGTGGGTGA TTCTCCATCAAGACCAAATCAAGGATCTCAAACGGGATCTGATC CCCCAATTCACTCTGCCATTGTGTTCTTGGCTCTTGGCTTTG AACCCAGACCGAGTTGGACCGGT	CTTG	G	18,49	203	TTGCCTCCACTGTCT TAGG	60,2	AGATCCCCTTGG GATCCT	59,9	55	50	
		003_R1_00																		
		1_contig_5																		
		1737																		
727	BrPe4249	Maracuja_NoIndex_L	4	1169	1180	12	3	8	CTCCGTGCAAATTATTGAAAAGTGCACCGCGACA TCAATCAAATTCTCAATCAACCACCAACTGATATTAGTATCATGG CAGTTGGTCACTGATTAATGTTGGTTATATACAGCAGAGGG TCCCCGTTATGATCGATCGATCAGAAAAATCATATCTGTATGATTG TTTTCTTTCACTTCAAGGTTGATGTGACAGTAACAAAGACTTGT ACTCTATACACGATTGATATGCAGTTAAAATAATAGTAACCTGT TGAAAATTATAGTTGAAGGGAAGACAGTA	GATC	S	14,3	225	CCGCTGCAAATTAT TGAAA	60,1	TTGGTTACTGTACA ATCAAACCT	59,8	33,3	37,5	
		003_R1_00																		
		1_contig_5																		
		1778																		
728	BrPe4250	Maracuja_NoIndex_L	4	3833	3844	12	3	8	GCTTATGATGGTAACAATAATGCAATTGGCTCTGCTCTTGT AATCCGTTGACAAGAACGACCATAGAACAAACAAAGAACATA ACAAAAGATAAACGAAAAGCATTGGTCCATTGATATTGGAACT ACAGGTCTTAGTGGATGGACACACATCATGGATTGT CCTGATAACATATAACAAATTAAATTAAAGGAGAAACTCATT GGAAAGCTTCAAGGAAGTAATTCCCTTTTAACTCGGAA TTGTGAGATCCAAAACGAAAAAAACATA	TGGA	G	16,77	191	ACGAAAAGCATTGTT GTCCA	59,2	TTTTGGGATCTCAC AATTCC	58,9	40	38,1	
		003_R1_00																		
		1_contig_5																		
		2213																		
729	BrPe4251	Maracuja_NoIndex_L	4	2323	2334	12	3	8	ATGAGTCACGCATGAGTTAACGGGGAGGCTAACCTCAACTCTCA ACTCATATATTAGTATCTAATTGGAAATGAATGGATAAATTATTGT GTTTATGGGTTAGTTGGATTGAAGGAAACTGTAATTAGTCAACA GTCGTGGTCGATAGATAGATATTGCATCCATGACATTAGGTTGA ATGTCATAATTGCTCGGAATTTCGATATTGACATCTAAACTGCG AATATGTCGAGTGGACATAGATGTTGTAATGAACGTTA AATCCAACACCAATAGTCTTATCATTAAATC	GATA	S	17,61	158	TCTAATTGGGAAATG AATGGA	057	CAATATCGAAATTC CGAGCAA	60	33,3	38,1	
		003_R1_00																		
		1_contig_5																		
		2485																		
730	BrPe4252	Maracuja_NoIndex_L	4	2645	2656	12	3	8	TAATAGTTCAGGTAGAAAACAATCACATTACTATTCAATGCCACC TTTGAGTATGTTATTAAAGAATGTGGGTTTTAAAGGCTGAGGAG GAAGTAGCAGGTTCTTAAAATTGAGTGGATCATCACAAATGAC TTACCTTTGTATTATTCTATTCCCTTTCAAGAATATCCAA CATTGGCTTATTGCAGGTAAAAATTATTGCGCATAGATTG GAAGATTAAAAATGAGTGGATGTGGTTGATCCCATGGTTTGTACCA ATGTGAAGATTTGATATGCCATTGGT	TATT	S	20,36	155	AGGCTGAGGAGGAAG TAGCA	59,2	TTCCAATCTATGCC GCAAAT	60,4	55	40	
		003_R1_00																		
		1_contig_5																		
		2575																		

G: genoma funcional

S: genoma estructural

P: polimórfico

M: monomórfico

APÉNDICE

Marcadores microssatélites desenhados a partir do sequenciamento parcial e da montagem *de novo* do genoma de *P. edulis*

Nº	Primer	Contig	Motivo	Inicio	Fim	pb	Nº Repet	Score	Sequência do contig	Unidade	G/S	Cobertura	pb	Sequência Forward	T °C Fwd	Sequência Reverse	T °C Rev	% GC Fwd	% GC Rev	P/M
731	BrPe4253	Maracuja_NoIndex_L	4	1661	1672	12	3	8	TTTGTTAACAGTCCTAGGGCTGTTATTGTTCTTATTTACT ATAAGTATGGAGCTTGACCCGAGTTAGACCCAGTCGAAGACCTG GTTTGACATTTAGTGGTTACCCATCAAGACATGTAGTTGAGTA GTCGAGTCACATTCAATTGAGCATGATGTGAAGTCGTGCAT TTTTTATTTCAAATTGCGTGCACATGGATACGTGGAGTCGAAG GTTCAAATGGCAGTGTTTCCAAGTCCCAGTGAGACGAGGTG AGAGCACCTGAGTATTTGAGTGTGTTGG	CATT	S	25,4	202	ACCCCGAGTTAGACC CAGTC	60,4	CGGGACTTGGAAAA CACACT	60	60	50	
		003_R1_00																		
		1_contig_5																		
		2786																		
732	BrPe4254	Maracuja_NoIndex_L	4	203	214	12	3	8	TACTGACACAAACTGCTAGAGCGGCAACCACTTCAGTTGCTCTGTT TCTGCGAATGGCTACATCTCAAGAGCAGATCGCAACACATAC CAACCCAGAACGGGTTGTTGATTCTCATCGACAAGGCCTCATCGTG GAGGAGAGTTACAGACAGACAGTTGTTACAGGTCTACGAAGTCG GACCTGACAAAATGCTACCCCTCGAAAGCATCCTAAATCTTCAG GTAATAATAAACTTAAACTCTTGTATGGCTGCCCTGACATATA TAAGCATCGGCTTCGTGCCCTGCTGATATTAT	ACAG	G	15,4	179	TGCTTCTGTTCTGCG AATG	60,1	TGCTTCGAGGGTA GCAGTT	60	45	50	
		003_R1_00																		
		1_contig_5																		
		3021																		
733	BrPe4255	Maracuja_NoIndex_L	4	3129	3140	12	3	8	GGTATATCTGTATTCTTCAAACATTGCTGTTGTATGGCA AAGACACATGTGGTTAGGTTGGITTGAGAACATCGTACTCTTAT TCTGTCCTACGTACCCACCATTGTAAGCTGTGAACGAGACA AAATGCCACAAACAAAGCCACACCTCGAAAATGATGATGG GTTTGCCTCCCTAAAGTATTTAAACTAAGAAACGATTCTTA TCATGAATGATAACTAAGGACAAATGTCATGAATGTATGGTATT CGGTTTGTTCAGCATATTATT	ACAA	G	17,38	239	TGGGTTAGGTCGGT TTGAG	60,0	AAGAAACAAAAGCC GAATACCA	60	50	36,4	
		003_R1_00																		
		1_contig_5																		
		3162																		
734	BrPe4256	Maracuja_NoIndex_L	4	2114	2125	12	3	8	AACACTACTTCTCTTAAATAAAAATCAGGAGTTGATCATTACTT TTAGCTGGCAACTCTAAATAAAAGCATATCACTACATGTTCATATC TACCAAGAATTGCTTCAGGAATTCTTATCCTTCCCGCCTCAATTTC CATCTCTTTATTATTAATCTACTGAGAGGATATGATTACTTA ATCATTATTATTAATTCATGCAGAACATTAGTTAAATATGTGTCG TCATTGCAATCATTTGCATATTGTAAGAAAACAGACAAACT AATCAACTCGTAGGAGATTGTGTCGAC	TTTA	S	17,51	165	ACCAAGAATTGCTT CAGGA	57,4	TGCAAAATGATT GACAATG	59,6	40	33,3	
		003_R1_00																		
		1_contig_5																		
		3501																		
735	BrPe4257	Maracuja_NoIndex_L	4	342	353	12	3	8	TACTGATCCAGCAATCCAGTACAAAGCTTACACTGACTATGCATTG ATATGGGATTGATTAACAACTGAGCACGATCGGATCAACAGAT GGTCCGGTTGTGAATTGGCATAAAACTCTCGGGTATTGTGCCAA CTCTTAACTGTTCTTCTGCTGATGGTTCTAATCTTCCTGA CCTTCCATTACTTTAGGACATAATCTCATTACTTGGTATTGG CTGTTTCAGCGTCAATTAAATTGTCATGATGCTACAGTCT ATACTATTGGTATGTCATGCTTGCAGCT	TTCT	S	17,61	167	CAACAAGATGGTCC GGTTT	59,8	GAACGCTGAAAACA GCCAAT	60,3	45	45	
		003_R1_00																		
		1_contig_5																		
		3955																		

G: genoma funcional

S: genoma estructural

P: polimórfico

M: monomórfico

APÉNDICE

Marcadores microssatélites desenhados a partir do sequenciamento parcial e da montagem *de novo* do genoma de *P. edulis*

Nº	Primer	Contig	Motivo	Inicio	Fim	pb	Nº Repet	Score	Sequência do contig	Unidade	G/S	Cobertura	pb	Sequência Forward	T °C Fwd	Sequência Reverse	T °C Rev	% GC Fwd	% GC Rev	P/M
736	BrPe4258	Maracuja_NoIndex_L	4	402	413	12	3	8	CGACATGCAAGTACTGTAGAACTAGTTCACTGAAAAAGAGCAAACA ATGCAGGTTGAAAATGGACAACCTGGCTGTTGATTAGACTAATA AGCAAGTGTATTCGATGACTCACCATCTTGCCACTTGATGATATA TACCAAGTGTATCTTCTTCTCCCTCTGAGATCAAATATATTAT CCCCAATGCCAACCCACAGGCATGCCATCAAAGTGTCTGCAATA TGATGATTGAAAGGTCCGATGAAAGTTACACATGTTCACT GATCCATTCACTTCCCACGCAAATTCACTGA	TCTT	G	16,73	207	TGCAGGTTGAAAAT GGACA	60,1	TCGGAACCTTCGA ATCATC	60	40	45	
		003_R1_00																		
		1_contig_5																		
		4241																		
737	BrPe4259	Maracuja_NoIndex_L	4	1825	1836	12	3	8	AAAGGCTTACCTCTTGTACTGCTACTTGCTGCAAGTGAACACTT TTCTGAAAGCTGGCAGCCGTGATTTCCAGAAAACGACATTCTGG TTGTGCTTAAGGTTTCGAAACAACACCAGAACATCAGGCCAGAGA CTTCAATTCCGGCCGGGGACAGGGTCTCGTAAGAAACAG TGATCTGTGACGCTAACATCAGCAGTAATAACCTTGAGCAG AGATCTAAGACTAAATTATAGTTGTAGATATCATCAACTTAC AAATTAGTCATCTAGCCGTATATACCGAT	CCGG	G	15,4	168	CGGCCAGAGACTTC ATTTC	59,3	CGGCTAGATTGACT AATTGTAAAGTTG	60,7	45	37	
		003_R1_00																		
		1_contig_5																		
		4579																		
738	BrPe4260	Maracuja_NoIndex_L	4	374	385	12	3	8	GTCCTCACGAATGCGTAGGTCTCTGTAATTGTAAGAGATAATGTA ATATCAACAAAGGATAATTGTTGAATTAATAACCAAGGTAGAGG ATCCGGAGGAATGAAAGAGTATCCAGATAGTCTAAAGAATATGT GGAACCTAAAGGAAAGAAAGAAAAGGTTAGAGCTTATAGCCTAA TGATATATTATTAGAAAACCTAAAGAGAAAGTGGCAACAACTGAG GATCTAGAAACGAAGTATATACCTAAGGAAGAAATGAAAATA TGAAAGAAGATTGGATCAACTTAAGAGGCAATAA	GAAA	S	39,13	230	CCTCACGAATGCGTA GGTCT	60,3	TCCTCAGTTGTTGCC ACTTT	60,3	55	47,6	
		003_R1_00																		
		1_contig_5																		
		4613																		
739	BrPe4261	Maracuja_NoIndex_L	4	1415	1426	12	3	8	TTGTGTATTAAAATTGTCAAATATTAATAAAAAAAATAACCTG ATGGAATCTTAAACAAGTAGAACAGTTAGTGTCTCTTATCTTC ATTGTCATCGCTAAAGGTGAATGAGTAAGGACAATAGTTTA TATTTAGCTTCTTCTCTGCAAGTTCTATGTTAGACAG AACATACAGAAAAAGGAAAGCAAAAGTCAATCTACCTAGT ATCCCCACCTTTATTTCGGTTGAGTTCACTGGTTAATTGAAGA CCCTACTAGTGCTAGATTCTAATTCCATA	TTCT	S	16,43	164	TCATTGTCAATCGTC TAAAGG	60,1	CCGAAATAAAAGG TGGGAAT	59,2	40,9	38,1	
		003_R1_00																		
		1_contig_5																		
		5044																		
740	BrPe4262	Maracuja_NoIndex_L	4	375	386	12	3	8	TGCCAACAGTAAAGCTGAGCATCAGCGACGGCAGGCTGTTAC AGCCTTGCCTATCCAGTGGAAATGGGAGCACTTGACGATGGA CTTCGTCGTAGGACTGCCAAGGACACAATGTGGTCATGATGTT GGGTTATAGTGGACTGACTGACTAACGACACACTCTGGCTATC TGGGT	GACT	G	845,66	161	ACCGGCAGGCTTGT ACAG	61,2	CCCAGATAGCCAAG AAGTGTG	59,7	57,9	52,4	
		003_R1_00																		
		1_contig_5																		
		5048																		

G: genoma funcional

S: genoma estructural

P: polimórfico

M: monomórfico

APÉNDICE

Marcadores microssatélites desenhados a partir do sequenciamento parcial e da montagem *de novo* do genoma de *P. edulis*

Nº	Primer	Contig	Motivo	Inicio	Fim	pb	Nº Repet	Score	Sequência do contig	Unidade	G/S	Cobertura	pb	Sequência Forward	T °C Fwd	Sequência Reverse	T °C Rev	% GC Fwd	% GC Rev	P/M
741	BrPe4263	Maracuja_NoIndex_L	4	1090	1101	12	3	8	TTGTCTCCTGCTCAGGATATTACTTCAGGTATGAATCTGTCAAGTG CTTGGTAGCATCATCAAGTCATGGGTACTTGGATGGGCCAACAGC TGAAAGAAGGAGAGGTGATTGCCTAAGAGCTCGACATTGATAC TCCTACAGAGAATCAATCAATCCTGGTGGAGAGGATCCAAGTGCC TTTGAGAATGACTTCATTAGAAGTAAACCCAGAAATGTCACCTGC TGCTACGCTTGACACCGTCAGCTATAAAATGAACTCCTGGTTA GTTGTTGCCTACTCATTTGATATTCAATATT	AATC	G	16,51	184	GTCCATGGTACTTG GATGG	60,0	CTGTTCAAGCGTAG CAGCAG	60	55	55	
742	BrPe4264	Maracuja_NoIndex_L	4	1481	1492	12	3	8	CTCCATTCCATAGTATCTCATCGAAGAGGTAAATGATGCATTCTG ATCTTGAGTGGAGAAACTCAAGAACCTCTGTTAAGTCAACGTTTC CTCGATGAACCCCCACTTCAGCCTGTAGGTTTTGTAAGTC TCTTAATAGCCATCATCCATGGTTCTGGAAATTCTCATCAAAT GTATAATCTCTGCACAATAATAATTGTGAGTGATTGCTCTCCT TCACAAAATTGATTATGATCAGTCACCAATGATTCACTAGAGGT TTTAGCGGTGAGTAATAATTAGTG	CCAT	G	20,31	150	TGCATTCATGATCTT TGCAG	59,8	TGATGAGGAAAAAT TCCAGAAA	59,9	38,1	30,4	
743	BrPe4265	Maracuja_NoIndex_L	4	667	678	12	3	8	TAGCGGATTTGGATACGAGAGTGAGGTAGACTCTCCGACG ACGACGGATGACATGTTGTCAGTGGGCCATGTTGATCTCTTA CTCGCCCTTAATGTTCCATTCTCAAGCAGCCAAGGTTCCAGCAG TGAAGCCATGTAGCTAGCAGATAGGGCAAGCAACTAAAGCT CTACTGTCACTATGCAACTGAATCTAGAACACGGTGTGATT GTGTTGGCTAATAACTTTGTTGCGCTCTAAAGTACGAGTAAC TGTTATAAAATGGGTACTAGTGTGCAAATT	TAGC	S	12,27	151	AGTGCAGGCCATGTT GAT	60,1	CGTTCTAGATTCA TTGCTATAGTG	57,9	50	38,5	
744	BrPe4266	Maracuja_NoIndex_L	4	295	306	12	3	8	TCTGTCTCTAATCTCATCAATTGAGACTGACTCTACTAGCTTCC TTAGAAAGGAATTCTATTCTAGGAAACACCTCTAGAACAAAC ACTTTGTTGCTGTGGTGGTAGAATAATCCTTCTGTTCTTA GGATATCCAACAAACAAACACTCTAGACTGGATTGTAATTAC AAAGTGTACATCTCACGTATGCCTACAACCCAAATCTGAGAT ATGTGAGGTTGGACTCTCCATACCATATCTATA	AACA	G	868,32	165	CTTTGTTGCTTGTGG GTGGT	59,9	ATGGGAAGAGTCCC AACCTC	60,3	47,6	55	
745	BrPe4267	Maracuja_NoIndex_L	4	805	820	16	4	12	GAAAAAACAGAGCAGTAGACATAGTTGTACATGAAGCATTACCA TTACAATGCTAGAGAACACTGCTCCAGGTTACTGGCACAGACTAC GTATACCAACCTTAACCTCCATGTTGAGCTGATGAACACAGATAGT TCAAAACGATTGAAAGAAAGAAACAGAGGGTACTATGCTTTC ATTTTGACCAGTTGAAGTGTGCAATTCTGAACCTCTCGGGTTAA ATGCCAGAGAAATGAGCAAGGAATGAACAGTTGCTCTCACAGT GCATAACATGACTAACAGGAAATAAGCATGTTGTT	GAAA	S	16,09	185	CTCCAGGTTACTGGC ACAGAG	59,9	GCTCATTCGCTGG CATTT	60,4	57,1	45	

G: genoma funcional

S: genoma estructural

P: polimórfico

M: monomórfico

APÉNDICE

Marcadores microssatélites desenhados a partir do sequenciamento parcial e da montagem *de novo* do genoma de *P. edulis*

Nº	Primer	Contig	Motivo	Inicio	Fim	pb	Nº Repet	Score	Sequência do contig	Unidade	G/S	Cobertura	pb	Sequência Forward	T °C Fwd	Sequência Reverse	T °C Rev	% GC Fwd	% GC Rev	P/M
746	BrPe4268	Maracuja_NoIndex_L	4	2144	2155	12	3	8	TGTGCCACCTAATCGGTTAGAACCTGTTAAATCTATGTGTTATCA AAAAAAAATTATGCTCAACTAACGCTTAATCCATGGCTTCAATCCT CAAGACAGCACAACTGGGCAACAAGTCAAAACAAAGATTAGGGAC TTGGGTAGTAAAATAAATAAATTAACATCTATGCACTAGTTACAA CGAAATCCAAGACACTTATGGCAAAACATCAAGAATGGGCTGA AAGGTCCTAACATAGCTTAAATCATCATATTTCTCTTCCCCTTT TTTTAAGTGACGCACCTATCAGTTAACCTG	AAAT	S	20,38	156	ATCCATGGCTTCAAT CCTC	58,9	CAGCCCCATCTTG ATGTTT	59,9	45	45	
747	BrPe4269	Maracuja_NoIndex_L	4	422	433	12	3	8	AATCAAGAACATCAATTAACTTCTGCGCACATTACGAAGTGATA ATGCCAAAAGAACATCTGCGAACAGCTTCAGGTATATGAAGCA ACATGGAATTCTTCACCAATCATCTTGTTGATACGCCCTCAGA ATGGAGGTGGCAGAAAAGAAATAGACACCTCTTGAGACTACTCG TGCTTTGTTCCAAGTAAAAGTCTAAACAGATGCTATTCCAC TGCATGTTTTGATTAATCATATGCCATCTAGTACTTGATGGTGA CATCCCTTATAATACCTTTCCCTCGTAAG	AGAA	S	61,12	177	TGCGCACATTACGAA GTGAT	60,3	CTTGGAACACAAA GCACGA	59,9	45	45	
748	BrPe4270	Maracuja_NoIndex_L	4	346	357	12	3	8	GTTGAATTCTTACAGGTATTATTTGTTCTCTTATATGTT AATAATGCTACAACAATGTTCTGGATTTAACATACACATGGAA GCATAATAATACTCTGCCAGTACAAGCCGTACCGTAATTAAAC GTTTAATTAATAATAAAAAACGGTCTTAAATGCAAATC GAAACTAATACCAATTCAAGGATGCTAAAATCAGGCCGAAACTC GGTTGGAGTTGGAGGTCGGTCAGAAGGGAAAGTCAGCAAGACA TGTGAAAGGTTTCAGTACGAGTTGATGCCCTG	TAAT	S	15,04	199	TCTGCCAAGTACAAG CCGTA	59,5	GCCATGCAACTCGT ACTGAA	59,9	50	50	
749	BrPe4271	Maracuja_NoIndex_L	4	590	601	12	3	8	TTGCTATAGCGAGGAAGGTGGCTTGTCAACATGGAGTTAACCT GTGATGATATTCTGCAACCTGATCGCTCGGGGTTATCCGAGAG GTGACTTGCTGGAGTTGAATGGTTAGTAATAATTGATCCAGGCT TCATCCGAGAAGAAAAGAGTGGAAAAGATAGATATTGCAAT CCAATAATAAAATAACTGAAATAATGGTTGTCACAATCTTCATA TCAATTTCTTGCCAATGGAGCTGGTCTGTCATTGTT CATTGGTTGGTTGACTCTCACCAATT	AAGA	S	13,93	186	ATAGCGAGGAAGGTG GCTGT	61,2	TTGGATTGCATAAT ATCTATCTTTC	57,1	55	26,9	
750	BrPe4272	Maracuja_NoIndex_L	4	2048	2067	20	5	16	CGTTATGTTGGGTGCTAATCTGATGCAATTACACTGCAGCAGGA CGGCAAACCTTCATTGTTCTAACATCTACAGGTCTTCCACATCT GTAATGAAAATGGAGAGAACAAATGAGTCACAAGCTACCATATC TTCAGAACCTTTATTTATTTATGTTTAATAGTTAGCCAG GTAGCTTTTAGTTACTGCATGGGAAGTACCATGGAGTGTG GGGCATGATCCACTGAAAAGAACATTGAGGGCTCTGTACCGAA CAAGCTCTGCTCTAGCTTCTAGATGGGCTCAT	TATT	S	14,02	225	GGACGGCAAACCTCA TTGTT	60,0	AGCCCTGCAATTTC TTTCA	59,8	45	40	

G: genoma funcional

S: genoma estrutural

P: polimórfico

M: monomórfico

APÉNDICE

Marcadores microssatélites desenhados a partir do sequenciamento parcial e da montagem *de novo* do genoma de *P. edulis*

Nº	Primer	Contig	Motivo	Inicio	Fim	pb	Nº Repet	Score	Sequência do contig	Unidade	G/S	Cobertura	pb	Sequência Forward	T °C Fwd	Sequência Reverse	T °C Rev	% GC Fwd	% GC Rev	P/M
751	BrPe4273	Maracuja_NoIndex_L	4	907	918	12	3	8	GAATCAGTTAATAAAAGTATCTTGGCGATATAATTTCAGTGTGAA CTTGTACTGCACACGTCGGATAGCGTAAAGTCATAAACGCTCCTTC CCGTTCTGTCCTTCACTTCTCCCGTTTCAACTCAGAAAAG AAAGTATCTCCGCCGCCGTGGTTAGAAAAGCAGGGATTGACC AACGGCTCATCTGCCAACAAATGAGCTAATGCTTCTTAAGTCA TTTCAATATTCTTATGTTATCTTATACTAAGAAACTCTTC	CCCG	S	17,32	164	TACTGCACACGTCGG ATAGC	59,9	GCTCATTGTTGGCA GATGA	59,8	55	45	
		003_R1_00																		
		1_contig_5																		
		7329																		
752	BrPe4274	Maracuja_NoIndex_L	4	334	353	20	5	16	AAAGGAAAAGGCAAATTATCGAAGAAAAATAGGGTGGAAAGGAG CCGTTCGGTTAGTAATGGCATTTGATTGTAAATAGCTGGTTTC ACGTTAACTGAGAGAGAGATTGGTGTGGAGGTTAGGGGATTTCATT TTTGAAGCTAAGAAGGAAGGAAGGAAGAGCAAGTCATTAC CCATCACATAAGAAGGAGCAGTAATCATATGCTATTGTTAAAGA GAGTTGCTTATCTTCACAACATAAACACCTCCTTGGGTGTAT CGTCCCCAATCAAATCCAACGTACACAAAAGCATCAACT	GAAG	G	19,32	184	GTGTGGAGGTTAGGG GGATT	60,1	TTGGATTTGATTGG GGAAC	59,6	55	40	
		003_R1_00																		
		1_contig_5																		
		7865																		
753	BrPe4275	Maracuja_NoIndex_L	4	2861	2876	16	4	12	AAAATCCTACTGCTAACATGAGAATAAACAGCCATAAACTCGAA ATCCTGGACTTCAGCCACCTGCAGGTTAAATTGCTCATCTACCA TACATATAAGAGAAATGCCTGGCGATCATAAAATCAATAGAAAGTTG CCAAGTAGCCATTATTTTATTTGAAACTACTGCTTAGTCTT TCAACAAAAGACCAAGCTGCCTTCTACACATACAGTCATAGTTA GAATAATACAACATAGCTTCAATTCTATTAGACAATCAGTGTGCAGC TGTACTACTTCCCTTACAAGAGAACAACTATTAA	ATT	S	16,89	163	CCTGGACTTCAGCCT ACCTG	59,9	AAGGCAGCTGGTC TTTTG	59,5	60	45	
		003_R1_00																		
		1_contig_5																		
		7893																		
754	BrPe4276	Maracuja_NoIndex_L	4	493	504	12	3	8	GGTCATCGCAAAGCTTAGCTGATGAGTTACTGTTGCACATCA GAGTGGTACTGGAAAAAAATCAGGAGCTTGGTAAAGCTCTAGCTA AATATTCAATGGCCAATACGAAGAGTAGAGGGGACAGGGTCCCC CTGTCTCAACCCCTCCTCCTGGAAAAAACCTTCATGCTTCATT CAACATCAAGGTTAAAGTGTAGTTGGACACAAGTCATTGTCAC TGTATGACCTCGAGGGAAGCCAAGGCCAACAAACTTCTCTA AGAAATCCCATTAAATAGAACATATGCCTTCC	CCTT	G	25,63	159	TGTTGCACATCCAG AGTGG	60,7	TGTTGAATGGAAGC ATGGAA	60	50	40	
		003_R1_00																		
		1_contig_5																		
		7983																		
755	BrPe4277	Maracuja_NoIndex_L	4	509	520	12	3	8	TGACTGCCTCGACCAAAACATGTAATCTGTCAGAGAACCAATCA AATCAAATCGAATTGCTTGCAGTGACAGAACCAACAAATTG TAGGTCTAGCTTAGGCAAAGGCCACATCAGTTGGCTTATGAA CAAAAGAGCGGTGATTGATCGATTAGAGTATTCTGCTTCGA AGCAACTGGCTCTACCATTTATGAATTGAATCACTTGCAGCTTT CTTTCAAGAATAAAATTGTTGTCTTGAAGAAATAACAAACGAA GTTTACAGAATTCCAGTCTCGGATTGACACTG	TGAT	S	15,27	105	TAGGCAAAGGCCACA TCAGT	60,7	AAAATGGTAGAAGC CAGTTGC	58,4	50	42,9	
		003_R1_00																		
		1_contig_5																		
		8058																		

G: genoma funcional

S: genoma estructural

P: polimórfico

M: monomórfico

APÉNDICE

Marcadores microssatélites desenhados a partir do sequenciamento parcial e da montagem *de novo* do genoma de *P. edulis*

Nº	Primer	Contig	Motivo	Inicio	Fim	pb	Nº Repet	Score	Sequência do contig	Unidade	G/S	Cobertura	pb	Sequência Forward	T °C Fwd	Sequência Reverse	T °C Rev	% GC Fwd	% GC Rev	P/M
756	BrPe4278	Maracuja_NoIndex_L	4	692	703	12	3	8	TCGTGCTCTTCCCAGGAAATCCAGCATCGGAAAGTTGAAAATTAT CCGATCAAATTTTCATACCAAGGGCGAGTGGAACATTGGTTG CATCCACTCATGTATTATGACAGCTCCAACCTCTCAGAATTCC AAATTAACCTTGCTTGCTGTATTATAATCAGCTCATCTGATTGA TCGATAGCATTACATACAAAGAAAGACCAAAGATGGTAACCTCAG AAAATAAGTACTAAATCATCCATTACAGAGATTGCGCTCAAAAA GAAAGATTACATGTAGAAAAAAAAACATACA	CTTG	S	15,57	210	CCGAGTGGAACATT TGGTT	59,8	TCTTTTGAGGCAG ATCTCTG	59,6	45	42,9	
		003_R1_00																		
		1_contig_5																		
		8231																		
757	BrPe4279	Maracuja_NoIndex_L	4	672	683	12	3	8	TGAAAGGATTITGTCACATTACAAGATAACAATTCTGCTGGTTA AGGATACTACAAGCAACAGAAGTTCAACAAAACCATTACAGCA ATCACATAGGAAAAGAAGCATGAAAGTTCGGTGTGAACTGATT ATCTCTGAACATAAAATAAGATGCACTAACTAATGCACTCA GATTAATAGGAGAATTAACCAATAACTAATCGTAATGCACTCA AAAACAAAATAATTCCTGAATAATCAATTGTAATAGCACA GTAGAGTATCAGAATGTTGAAAAATTACTCGTCT	ATAA	S	16,6	169	TTCAACAAAACCATT TACAGCAA	59,6	TTTGTGTTGAGTG CATTACTGA	58,9	30,4	29,2	
		003_R1_00																		
		1_contig_5																		
		8300																		
758	BrPe4280	Maracuja_NoIndex_L	4	3371	3382	12	3	8	TCTTAAGTCTAGTTGCTAAAAGAATCTGGATAATGGTCAGTT CCGGTACATCAGAACAGCAGTAAGTTGCTTGCCTCTTCTTCTT CTTTTGCTTTAAAATTGCTTTAATTCTCTCATGATAGGAT CAATAATTAGATAGATAGAGGTTCTTCTAACATTGGTGTGATGGAT AAAGTGCCTACTGACTGTGCAGCCATGCTCAGTTACATTGATT TCATTGATTGTTGATAATTCACTCTATGACATCAAAGTCAT GGCAGGAAGGCATGGTGAATTATTGG	TAGA	S	19,06	193	TGCTCTTTAATTCTT CTCCATGA	59,4	AATTCAACCATGCC TTCCCTG	59,9	33,3	45	
		003_R1_00																		
		1_contig_5																		
		8439																		
759	BrPe4281	Maracuja_NoIndex_L	4	1235	1246	12	3	8	TACTGTTGAAGGTCAAGAAGGGACTCTGTTGGCATGCTCATAGC TCATGGCTTAGAGGCCACCGTTACGGTCTTGTATTACCATCAA GGAAGGATCCTCGTACCCCTTTGCTATACCGCATAGAGAACGCCT ATACTCTTGGTAATTAAATGATGATCAGTACCTTCCAGAAATT AACTACTCTGGTAATTAAATTGACATTCATGACTTGGTTATT GATCAGGAGAATGTTGGATGCGAAACCTGTTGAGTCTTGAAGGA AGCTATTAGAACAGGAGCTGCTCCAAACATAT	TAAT	S	29,87	174	CTGTGGTGGCATGCT CATAG	60,3	CCAAGAAGTGATTA ATTCTGGAAA	58,7	55	33,3	
		003_R1_00																		
		1_contig_5																		
		8569																		
760	BrPe4282	Maracuja_NoIndex_L	4	155	166	12	3	8	GTAGTTTCCGGACAAGCGATCCTGTAATAGATGTACTGGTT TGAGGTTTCTCCGAGCACGATTTCCGGATAAGCTTTCTGAG GATATTGTTACCGGATTGACGATGTTGAGCTCTGATT GATTCTGAGATTGATTGATTCTCGGTTAGGTTTGAGTGTGGCAGGT CGTGTGGTGGCTCTGTTCCCTTGATCTTGAGTGTGGCACGATT GCCTTCGTCTGAGGTTGCTTGAGCATGTTGACTACTTCTATATA TCATGGCTTACACAGAGTCGCTGGT	GATT	G	507,71	155	TTTGTACCCGATGTT TGGA	59,8	CATGCTCAAGCAA CCTCAA	60	45	45	
		003_R1_00																		
		1_contig_5																		
		8763																		

G: genoma funcional

S: genoma estructural

P: polimórfico

M: monomórfico

APÉNDICE

Marcadores microssatélites desenhados a partir do sequenciamento parcial e da montagem *de novo* do genoma de *P. edulis*

Nº	Primer	Contig	Motivo	Inicio	Fim	pb	Nº Repet	Score	Sequência do contig	Unidade	G/S	Cobertura	pb	Sequência Forward	T °C Fwd	Sequência Reverse	T °C Rev	% GC Fwd	% GC Rev	P/M
761	BrPe4283	Maracuja_NoIndex_L 003_R1_00 1_contig_5 8838	4	349	364	16	4	12	AAGGGGACGGGTAGAAGCAGAACAGTGAGCGTTGAAGGTGGATGT TATAATTATAGCTAAACCTAAAGCGAGGCACCAACTACAGCGGT CGGATTACAATGGACGGCTCAGTCACCCTCTATTATGGTATT CTTAGTGGAGGTTATTATTTAAAGTTATCTATTATGCTG AATTGTAAGACGACGAGATAGGAGAATTTTTGTAAAAATATAG AGAAATTAAATGACCTGTTAGTAGTGAACAAACATTAATATG GTAGAAAAATGAGGATTAACACTAGAACATCTAGAAG	TTTA	S	15,26	176	GAGCGTTGAAGGTGG ATGTT	60,1	TCGTCGTCTTACAAT TCAGCA	59,5	50	42,9	
762	BrPe4284	Maracuja_NoIndex_L 003_R1_00 1_contig_5 8962	4	487	498	12	3	8	AGAATTCTTACAGTCACATATTTGGAACCTTGTCCCTTCAA AGGGGATACCGAATAGGAAGCACCGTCACTCCACGTGCAATTGAAG TAATGAAAAGGCCCTCCACTTGCATGTGCCCTGTATAATACAAGAA CCCCATCAGTGTACGTACGTAACACCTGATTGAATAGTCTCAGAAA AGTTATAAATAATTATCCAATCTAACCATCTCCGAATATCTGT TAAATTTCAGATTAAGAATATGGTGGCCACTGTTTTACTGTTGG ACTCTGCTATTTGCTACTCCCCTAAACAGA	GTAC	S	32,48	177	GGGGATACCGAACATAG GAAGC	59,8	CGGAATGATGGCTT AGATTG	59,6	55	42,9	
763	BrPe4285	Maracuja_NoIndex_L 003_R1_00 1_contig_5 9244	4	959	974	16	4	12	TTTCATGCTTCTTCACCTACAGTAACATCAAATCTTCAGAGCT TCTACCCAAGTCTCAACTAGCCTCTGTGCTCTATGTCAGGAAT GTTTCCATCAAATTCTGATTGCTATTCTGAGCAGAACATCCAAATT ATATTGTTTATTATTTACTGTGTCGATGGAGATGTATCCGC ACTCTGGAGTGTCTTGATTGTCCTTAGATGTGTTATGCACCCG CACTGCATGCAATCAGAATGTACCTGAAATTAAAGTGGCCTGT ACATATTCTCGACAAAGATGTTGGAGTTGA	TTTA	S	17,92	224	TCAGGAAATGTTTC CATCAAA	59,4	TCCAAACATCTTGT CGAGGA	59,2	31,8	45	
764	BrPe4286	Maracuja_NoIndex_L 003_R1_00 1_contig_5 9261	4	798	809	12	3	8	TCCTTCTGCTTGAGAGTTAATGGCGTGCACAAATTTAGGC TAGAAGCAAGCAGTCATTCAAGGAGACAAGAGTAGAAATTCAA GTGATTCAATTGCAAGGGAGAATTGATACTGGAGCCAAGTGGAGAAA TTTCAAGCTGTAGAAAGAAGATCGACTGTTCAAGAGATAGG CAAAGGAATTGACTGATCTGTTCACGTAGAGCTAATGGACACA CAGGAAAATGCCGAGCTGAAAGTTGTTGCAAGGAAAGTCCCAA TGGTGCTAATCCACTTTGCTGGATAGAGACTACGA	AGAA	G	13,71	218	GCAGTCATTCAAGGA GCACA	60,0	GGGACCTTTGAC AACAAA	59,9	50	45	
765	BrPe4287	Maracuja_NoIndex_L 003_R1_00 1_contig_5 9380	4	457	468	12	3	8	ATTTTTTACTGATAGAACCCATCGACTTATTGTGCAATTGAA AAACCGATGGATTACACTTTGAGGGTGCACCAATTATCTCCTCA TCCATTAAACCCACTCTCCCTGATACCTAGACATACCCCTG GCATCTGAGGCCAGCCAGCACGACCAAAAGCCAAGTGGAGCACT TCCTTTGCTTTTGTATTGTCACCTGGAAGGAAATAAGA AAAGAGAGGTGGTAAGGAGAGGAAGAAGAGAGAAAGCTGAGG GAGAGTGAGCTGATTATGTTGAGGGCTGAGAG	GCCA	G	41,82	189	ACCCACTCTCCCTCC TGAT	59,9	CAGCTCACTCTCCCT CAAGC	60,3	55	60	

G: genoma funcional

S: genoma estructural

P: polimórfico

M: monomórfico

APÉNDICE

Marcadores microssatélites desenhados a partir do sequenciamento parcial e da montagem *de novo* do genoma de *P. edulis*

Nº	Primer	Contig	Motivo	Inicio	Fim	pb	Nº Repet	Score	Sequência do contig	Unidade	G/S	Cobertura	pb	Sequência Forward	T °C Fwd	Sequência Reverse	T °C Rev	% GC Fwd	% GC Rev	P/M
766	BrPe4288	Maracuja_NoIndex_L	4	2936	2947	12	3	8	TTTACGCTCCAAGTCACCAATTGTCAAATCTACACTCACACTGT AAACGGCATCAGAAAACTCAAAATACCCATCGAGAACAGCAGCAAT TTGAAACATTAGCGCTCAAAACTCAAGTGAATTCACTACAGGCA AACAAACGCACTGCTGCTTGCTATGAGTTTATGTTATGA ATGCCAAAGCGTCAGGAAGGTCCGCTAATGAATAGGAACAAG AAGAGACACAAAACCATAACAAGAAAAAGAAAGAGCAAATGAAT GTAACAAAAGATAAACACTAAACAGCAAAGAAATAAC	CTTG	S	19,19	197	TACGCTCCAAGTCA CCAAT	60,5	ACGCTTTGGCATT CATAAC	60	50	45	
		003_R1_00																		
		1_contig_5																		
		9445																		
767	BrPe4289	Maracuja_NoIndex_L	4	529	540	12	3	8	AAAAAAAATAAGGTGCTCAAAATTAGTCAAAATCAAGAAATTGA AACAAAAAAATGCTCATCGGACTGGAATCTGACGAGAAAAGTAGC AAGCTCAGTATGTAAGAATGATGATGTTGAGAAGGTTCAATGTT ATAAGAATTGCTTGTGATTGAGTGTGAGGAAATTGAGTGT TTTGTGTTAGGGCTCAAAGGATAAGAGATAAGGAGACAGAAA GAGAGAGGAAGCTGGGAAGAATGTCACAAAATAAAAATTGA AATTATGAAAAAAAGCTAAACAAAGCTAGTAAGT	TTGA	S	28,91	101	GGTTCCAATGTGATA AGAATTGC	59,7	TGTCTCCTTATCTCT TTATCCCTT	58	39,1	36	
		003_R1_00																		
		1_contig_6																		
		0263																		
768	BrPe4290	Maracuja_NoIndex_L	4	3333	3344	12	3	8	GCATAGTGTACAACCTCAAACATGTAAGAAGTAATTCTCTCTGA CTTAGCACAGTGGAAAAAGCTCGCTATAATGAAGCAAGGACTC AAATTACAAGAAGCTAACAGTCAGTCATCTCAATCCATGGG CCAAAGACCAAGCATGCATGCATTCTCAACTGATATTTCATTT CACATGATGCCAAATAACTAACACCTGACTAATTCTTTAGAT GTAACACATTTCATCCAAAATATGAAAGAAATTAACATCAAC AACAAAATTGTAATAGACAAAGAATGACTTT	GCAT	S	17,46	128	CAATCCATGGCCAA AGAC	61,3	TTTTGGGATGAAA ATGTGTT	57	52,6	28,6	
		003_R1_00																		
		1_contig_6																		
		0400																		
769	BrPe4291	Maracuja_NoIndex_L	4	4340	4351	12	3	8	ATAGTGAAGAACTCAATTGCTTACATGTTAAAATTCAAATTGCTGG CTGGTATACTCCATCATGATGTCATCTATTGCTCATAGGATAA GCTTCTAGATCTGTTAGAAAGGACAAGAGGAATTGAACAGGAATA AGGGAAATGATTGCTTGTGCCAGCCATGGAAATGACAACAA GTAATCAGAACCTAAAGTGGAGAGCAGTGGCCAAAATCCCTGAATA TGAGCACCAAATCTTCAATGTCCTGTTATGTACAAGCAGACTCAA TGCAGCATGACCAAAATCAGGAAACTGAGCTTC	TTGC	G	17,19	191	CCAATTGCTGGCTG GTAT	60,0	GGATTTGGCACT GCTCTC	59,8	45	50	
		003_R1_00																		
		1_contig_6																		
		0616																		
770	BrPe4292	Maracuja_NoIndex_L	4	261	272	12	3	8	GTACAACCGGTGAGTGGAGCGTGTGAGCTCATTATGCCCTTTCTC CTCCTCTATCTTGTCCATCCTTTGTGCCACTTGTACACATCCCTA GGGAGTATTCCTAGTCACCCCCATGACCAGAAATCACATTACACCT TTTAAAGCTTCCCTCCATCGAGAGAAAAACCAAATGGTGAATG TGTTCTGAAATTGGAGAGTGCAACCTTGCTCTGGTATTACCTTG TGGTCCAGGTGAGTTGTGGTGATGGTTATGCCAGAAAAGAGG GAGGAGGTGCCCCATGCATTTCTCTA	CTTC	G	172,22	150	TTCCTAGTCACCCCC ATGAC	59,8	AACTCACCTGGACC ACAAGG	60	55	55	
		003_R1_00																		
		1_contig_6																		
		0667																		

G: genoma funcional

S: genoma estructural

P: polimórfico

M: monomórfico

APÉNDICE

Marcadores microssatélites desenhados a partir do sequenciamento parcial e da montagem *de novo* do genoma de *P. edulis*

Nº	Primer	Contig	Motivo	Inicio	Fim	pb	Nº Repet	Score	Sequência do contig	Unidade	G/S	Cobertura	pb	Sequência Forward	T °C Fwd	Sequência Reverse	T °C Rev	% GC Fwd	% GC Rev	P/M
771	BrPe4293	Maracuja_NoIndex_L	4	175	186	12	3	8	ACTCCAAACTCATTAGAAGGCCCTACCTCAACACCAAACAAACTCCA GGAATCAAGAAAGCCAAGGGTAGGGCACAAATGCTCAATTCTCC AAAGTGAAGAAAATGGAATGAAGGGAAAAATGAGCAAAGTGG GGAGGAAGTGTGCTGGCTGGCTGGCCATAACCCAGGAGAAAAGTTC CAGGTGCAAGCCAGCATAGGAGCAGAAAGCAAGGGTGA TTCAGCCATGCATTATAAGCTCGACCGGTCGAA	TGGC	G	96,42	173	AGGGCACAAATGCTC TCAAT	59,7	TGCATGGCTGAATT TTTCAA	60,2	45	35	
772	BrPe4294	Maracuja_NoIndex_L	4	1127	1138	12	3	8	CACCAAAGAACACGTGGCAAATCTTTGGCATCCCAGTAGGTA GCTAGCTATCATCAATAATTATACAACTCTCATCATACAATTCTG TCATTTCTTCTACCTTGACCTGATCTCAATCCTAACAGCTTCA CGGATGGATGAAGGAAGGAAGCTGTGACGGAAATCCCTGCCTTC ACTGAAGTCTCAGTCGAAATCATCCAACAGACCATTGGA ATGCTTCAACCTTGA TG GGGATTCAAACGTTGCGCTGCGCTTGTAT	GAAG	G	15,71	150	CCTTGACCTGATCTC TAATCCTT	59,2	GTGGCGTCAAGAGG TTGAA	59,8	41,7	52,6	
773	BrPe4295	Maracuja_NoIndex_L	4	4109	4120	12	3	8	ATACAAATAAGAGTTGATCATGGCTGCGAGTTATGACCCTGTT GGTCAATTATGTTAGGAGTCAAAGTTAGATTAGTGGTAGGTT TATGTTGAGATGGATTTCTAACATTGTTGGCCAATTGTT TTCCACACAAAATAAAATGAATAAAACTTGATAATCGAT GATATCATATGATGAAATATTAAATTCTCTTACAGCACT CCACCGCTTGACTCCATTCTATATTTATTGTTGATGTTG TACTTATAAGTGTATTGACACTTAGGAC	AAAT	S	16,48	225	TGATCATGGTCGTG AGTTT	60,1	CGGTGGAGTGCTGT AGGTAAG	59,8	45	57,1	
774	BrPe4296	Maracuja_NoIndex_L	4	5738	5749	12	3	8	TGGTAAGCAGACCAGCATGGATGAAGAGTTTCTGCTCTCATC TAAACCTCCTCTGCTACAGACATCCAGTACAGAGCTTCT GATATGGTTAGTCACAAGTGAGTTCATGGATGGCTCATCTGC TGCATGATCAAGAAAGAAAGATCAGCAAAGACAATATAATCGAT TTCCTGGCATTCAAGATGAAACAGAAAAAGAGAAAAGAATT AAAGAAAAAAACTGA ACTTCTGACAAAGTGAGTTAACGATGATT GTCCAATCCAGGTATGTA AAAGCTCACATAT	AAGA	S	19,64	195	CAGACCAGCATGGAT GAAGA	59,8	TCTGAATGCCAGGA ATATACGA	59,6	50	40,9	
775	BrPe4297	Maracuja_NoIndex_L	4	1002	1013	12	3	8	TAAGATCTCGAAACATTCTTACAGAGCCTACGCTCGAACCG TAATCTCGCTCTCACACGGCACTCTAGGTGCCCTCAA CCTAAGATCTCGAAAATTGCGCAACTGACCCCTGAA ACCCTCCGATC ACCATAAACACATGCATGCATGACTCGAAA AACACATGCAGAAACTCGAA ATACCGA ACTAACCTCTATG TCAACATGGTC	CATG	S	17,15	167	CGAAACGCTAATCTC GCTCT	59,8	TTCGAGTTCTGCAT GTGTTG	59,9	50	42,9	

G: genoma funcional

S: genoma estructural

P: polimórfico

M: monomórfico

APÉNDICE

Marcadores microssatélites desenhados a partir do sequenciamento parcial e da montagem *de novo* do genoma de *P. edulis*

Nº	Primer	Contig	Motivo	Inicio	Fim	pb	Nº Repet	Score	Sequência do contig	Unidade	G/S	Cobertura	pb	Sequência Forward	T °C Fwd	Sequência Reverse	T °C Rev	% GC Fwd	% GC Rev	P/M
776	BrPe4298	Maracuja_NoIndex_L	4	1442	1453	12	3	8	CCTGTTATATCCCTACGGAGAAAACAAAATCTCCTGTGGACTTTT GCCTCATAGAAAGAATGCAACAGAGAAGGCAAAGATGTGCCCGT GACAAGATTGAGCAGCATAAAAGGAAAACATGCCAGGAGTC AAAAGAGGAGAAAAAGAAGAAAGGTATGGATATCTGCTGTG CCATTGTCTCTTGTCTTGATCTTAATCTGCAATTGTTACTC TTGGGGCATGTTCTGGATCGATTAAAGATGAAAAACTCTTC ACTGACAGCAGCTGTATTTGAATCTCCCGTC	AAAG	G	14,15	160	ATGTGCCGTGACAA AGATT	60,4	CATGACCCCCAAGAG TAAACGA	60	45	47,6	
		003_R1_00																		
		1_contig_6																		
		2931																		
777	BrPe4299	Maracuja_NoIndex_L	4	1103	1114	12	3	8	ATATTTACTCATCCTTAATAGTTAAGTAGCCAAGTTTTTAAGCATT TTTTTCTATTCTATAGGCCATACAGATATTGGATAATTTTTA ATCTCTTCGCCACTGTAAATTGAAACATTGAAATGTACC TCAGAATTAAATAAAACCAAAACATATAAAATGAGTTAAC CTATTGCCCCACATGTAAATCAAATATGTTAGAATACCACCAACGA GCCTGGTTCAATAGGTACCTCCTCAGGTTAAGATTGGGTGTT GGAGAAGTCTGAGTCTGAAATTGACTTA	TAAA	S	15,1	152	TTTTTAATCTCTTTTC GCCACTG	59,8	CAAGGCTCGTTGGT GGTATT	60	34,8	50	
		003_R1_00																		
		1_contig_6																		
		3256																		
778	BrPe4300	Maracuja_NoIndex_L	4	3132	3143	12	3	8	AGTTCAAAATTGATCTCAAATATGAAACAGGGCAAACTTAGG AAACACAGGGATAACCATGACACAAAATAAAATCTCAAAT GAAAAAAATAACCATAAAATTAAATTCTTACCAACCATATACAA AGTTCAAAAAAGAATGAATGAATCGCATGGTAAACAAATTGAA CTCAGGCAACTTGACATATGAAACAAACATTGAGGAAACTGGT AACTAAAAGAGTTAAAAATTAGAGAAGAGATGGCAACAAATC AAGCTAGAAAAACTCAGGATGAAAGGAGTGAAGAGT	GAAT	S	19,1	155	CCAACCATATACAAA GTTCCAAA	59,2	GCTTGATTGTTGCC ATCTC	60,6	33,3	50	
		003_R1_00																		
		1_contig_6																		
		3395																		
779	BrPe4301	Maracuja_NoIndex_L	4	1086	1097	12	3	8	AACAGGTCTTAGTTCTAAATTGGATGTGCCAAGTGTGGCG TCTGAATTGAGTAGATGGCGCGAGCTGTAAGGGATAAGTC CTAGTTGAGAATTCTAATTAGCCGCAACTCCCGAGCTGCAG ATTGGGCACTCGAAGGAAGAGATCATGTTCTGGTCCTTATA GGCCTCCAAACCTACAAATGAAAGAACATTGCTCCCTTAA AAAATCTCATGGAAATGCTCAGCATACAGAAACTACGGTG AAATGAACCAACTACATCTATTATGTCAAAATCT	GAAG	G	18,14	182	AAATTGGATGTGCC AAGTG	60,9	TGTAGGTTGGAGC GCCTAT	59,7	45	50	
		003_R1_00																		
		1_contig_6																		
		3733																		
780	BrPe4302	Maracuja_NoIndex_L	4	2968	2979	12	3	8	AAGATTGTTAGCTACTTCACAAGAAAATTGTCGTTATAAAA GTTCTATTGATTGAGATCTATAACCTAAATTCTTATATTAC TCTAGTTCAATTCTGAGATCTATAACCTAAATTCTTATATTAC AATTGAATTCTTCTTCTAGTCTATGTCATGTTG AGGAAAAAGCTTTCAAATGAATTGACACCTGCAAGCTTG CCCAATGAAACATGAAACATGATATTGGTAATTAAATTATGTT TAGACAGGAAAAAGAAGAAGAAGAAGAAA	TTCT	S	18,14	214	TTCACAAGAAA GTCGTCT	58,1	CAAAGCTTGCAGGT GTCAAT	58,9	34,8	45	
		003_R1_00																		
		1_contig_6																		
		3733																		

G: genoma funcional

S: genoma estructural

P: polimórfico

M: monomórfico

APÉNDICE

Marcadores microssatélites desenhados a partir do sequenciamento parcial e da montagem *de novo* do genoma de *P. edulis*

Nº	Primer	Contig	Motivo	Inicio	Fim	pb	Nº Repet	Score	Sequência do contig	Unidade	G/S	Cobertura	pb	Sequência Forward	T °C Fwd	Sequência Reverse	T °C Rev	% GC Fwd	% GC Rev	P/M
781	BrPe4303	Maracuja_NoIndex_L	4	368	379	12	3	8	GTCTTTGAAGAACATCAATCCTGATTATCTCGTGTGCCGGTCT TTGATTCTATGCAGGGTTGGAGTCGATTCCATAGCTCGGTGAA GCTACGGATCCAGACGCTGAAGGGTCGTTGAAGAACAAAAG CTTGTTTGAGGGAGGGAGTTGCAAGGAATGATTGCTTAA GGACTATGGTGTGATAACGGAAATGTTTACATTGTTCTTAAGC TCTCGATCTTGGTGTGATAACCGGAGGACACTTGAGGAAGGA ATTTGAGTTAAGGTGGACAGATAAGGAAT	GGAG	G	11,86	238	GTGTTGCCGGTCTTT GATT	60,0	CAAGTGGTCCTCGC GTTAAT	60,1	45	50	
		003_R1_00																		
		1_contig_6																		
		4349																		
782	BrPe4304	Maracuja_NoIndex_L	4	1451	1462	12	3	8	TGCTTCTGTATGGCAGGGTATCAAGCAATTCTCGTGCAGTGGAA AGAGAGGAGTGGAAATTGATACTCTGTGACCTTATGATACACT TACCATCACCCAAGCTTTCTGCAACACAAGCGGAAGGTA ATGCTTAACCTGTTGTTGAGTAGATGTATAATTGTTATT CTTGCTTAATTCTGCATGCGACTGAATTATTGATTACCAT TTCTCTAATATCTGACTTGGATGACACGAAGTGTCTTCTAAAT ATTGAAATATTGAGGTTGCCTCTAAAT	TTGT	G	19,19	211	TCTGTCATGGCAGGG TATCA	60,1	CAGTCGCATGGCAG AAATTA	59,8	50	45	
		003_R1_00																		
		1_contig_6																		
		4351																		
783	BrPe4305	Maracuja_NoIndex_L	4	879	890	12	3	8	GGCTCTCACCTCTTGCAGTCACAGATTTGCCAATGGAGGATT AGGATGGGTATTGCACTGTAGAATGTTGGAGATGAACCACTATT AATATCGACTCCATAACCAGATTCTGCTCATCTGTATAGGAAT ATTCTGTCCAGTCAGTCAGTTATGACATGATGAACTGCA TAAGTTAGATATGTTGATGGAAATTGGCAGGTAAGTTGT CTTCATTGGGCTGATTCATGGTCACTCTGTTCTTCAACAA ACTGGGAATGTAACCGCAGGCTTGTGTT	CAGT	S	12,95	198	CCATAACCAGATTCT TGCTTCA	59,2	CCTGCCTACATTCC CAGTT	60	40,9	50	
		003_R1_00																		
		1_contig_6																		
		4985																		
784	BrPe4306	Maracuja_NoIndex_L	4	2799	2810	12	3	8	TTTCGAAACAAGGCAAGAGATTAGTTATGGATATTGATATTCTAT ATTATAAGAAATTAAAGGTTAATTGGAAACACACTCCCAGCTTAG GAATTGGATGATAAAATGTCATTTAAGAAATTAAATTGAAAT CCGAAAGAAATTATTATTGTCATCTGGACATGCCATAAC AACAACTTGAGCAAGAGAGAAACTTGAATACAAATCTAGCAGT GTAATAAAACATAACCCAAACCATACATGACCCCTCTGTTCTA CCCATAAAACATCTTGGTATGAAGTGTGGC	ATTT	S	15,06	241	TGGAAACACACTCCC AGCTT	60,7	GCCGACACTTCATA CCAAAGA	60,1	50	47,6	
		003_R1_00																		
		1_contig_6																		
		5781																		
785	BrPe4307	Maracuja_NoIndex_L	4	183	194	12	3	8	CCTCGAATTCAAACAACTACTCCCTTCACTTGTCTCTCCTAA ACTCCAAAGTAATCCGGATCTGCCTTAAACACATTACCGAAA GAATCCCCATCGCAAGTCAGTAGTCACCTGAAATAGCGAAAAG ATTTCCGGCTGATCGATCGAATCCAATATCCACTAATGGACAGCT CGGATTCGCTACGCATCCGTCCCCGCCACCTCCGCTGGCTCT GTATCCCTCATTTCTCTCTATGCCGTTGTTGATAGGCTC TTAAATTATGTTGTTGTTGTTGTTGTTG	TCGA	S	17,87	178	TCCGGATCTGCCTT AAAA	59,8	ATACAGGAGCCAGC GGAAT	59,7	45	52,6	
		003_R1_00																		
		1_contig_6																		
		6012																		

G: genoma funcional

S: genoma estructural

P: polimórfico

M: monomórfico

APÉNDICE

Marcadores microssatélites desenhados a partir do sequenciamento parcial e da montagem *de novo* do genoma de *P. edulis*

Nº	Primer	Contig	Motivo	Inicio	Fim	pb	Nº Repet	Score	Sequência do contig	Unidade	G/S	Cobertura	pb	Sequência Forward	T °C Fwd	Sequência Reverse	T °C Rev	% GC Fwd	% GC Rev	P/M
786	BrPe4308	Maracuja_NoIndex_L	4	838	849	12	3	8	CTGTTCAGCAGCATGGCTCAATTACGTATCAGTTGGAGAGTGGC AAAGGGGGTGATCTACCCAGCTCGGCCAGGTCTTGTATTCCCTT TACCTTGATTCTAAATGGAACAGTAATTGCACTAGTAGTTGC GTTCTTTATTGTTGTTGCAATGCCGGAGCTTATTGTTGC TGCTGCAGTTTCAAACCTAGTAATAAACAGTGGACTTCACGT TTTTTAATAATTGTAATTCTGATCAAGAACTCAGGACTTGTT TCTGATTGCTTCTAGTGACCACATA	TTTG	S	15,68	177	AGCAGCATGGCTCA ATTTT	59,9	AAATAAGAGCTCCC GGCATT	60,1	40	45	
787	BrPe4309	Maracuja_NoIndex_L	4	456	475	20	5	16	TAAAGCGTTGATCGAAGGTATTATTCGCCCTCGATCTTGAC AACTCTATTACATGGCCATGAAACAACTACAATCATGGTGG TCTTCTCTGCATTGAGCAGGTACAATCTCACGGTCTTGGCTGT GCAATGCTCTTCTTCTTCTTAACTCCGTAGTCATAATA CAGTATAATTCAAGCATCTCCACCATGAACTTCAGACTTTCA ACTGTTAAAGAGATACTCAGTTAACACGGGTCCAGATCTAATT CGCGGGCCAGGGATCGAGATGCCACCTCAAGGTA	TCTT	G	17,16	177	TCTTGGTCCTGATGC AATG	59,6	TTAGATCTGGACCG CGTGTT	60,7	45	50	
788	BrPe4310	Maracuja_NoIndex_L	4	1473	1488	16	4	12	TGTTGTTAACCATTAACATTGATATCAGTTAGGTGGAGCATGCG AAACTACTTGTGATTGCCAAGGAGAGACAAGACGGCAGAGGT TGCACCTACGGAAGTTAGATGCTGAAATTGACATGTGAACCAATAT GTATGCTGAGATTATTATTTTCAAGTTGGATACTTTTC CTCAGTACCGCGGTTAAAGCTTATACTACCCATTAGAAACCTA AGCAAAAAAAAGTGGCATCTGGAGATTATAGTTGAGGTATT GCTCGCAGGCATGCCAATGGAGGAGATGTCAAC	ATTT	S	17,57	219	AGGAGAGACAAGAC GGCAGA	60,1	CCTCGAGCAATAC CTCAAC	60,8	55	55	
789	BrPe4311	Maracuja_NoIndex_L	4	268	279	12	3	8	AAAGCATTCTGACCTCCAGAACACTCGTAAACACAACCTCATAC CTAAAGGTACGAAACACCAACAAGACAACATCCACCTAAAAA ACATCTCAAATAGTCAGGGTCGGGATTACGCTCTATCCGAAC CTCTGAATCACCATGTATGTGCACGACGACTAAAAACTGAA AATACCGAGACTCAGCACATGCAATGTATGATCATGAATATGACTCG ACAAAATCTAAACATCGATGCAAGGGTTATTICATCAAAACTCG AACCAAGGTCTCGACCGGGTCAACTCGGGAGCAG	ATGT	S	64,4	186	CTCGTAAACACAAC CCTCA	59,7	ATTGCATGTGCTGA GTCTCG	60	50	50	
790	BrPe4312	Maracuja_NoIndex_L	4	156	167	12	3	8	GGTTAGAGATGTTTGAGAGTGTTCATGCCCTCGAGTACGAGGG ATGGTCGTATGGAAGTTGGAGGTGAAAGCGTGTTCGGAAAA ATTTCCAAGATGCAAGCCGACCAGTCGAACACCCGCTTCAACCA CCTCTGCTTTCTTCTTCCAGCTACCCACCCCTTCCCTGCCAC CTGGACATCATGGAAGGTAAGTGGACTCCTTCCATGTCCCCA AGCCACCAAG	TTTC	S	53,72	182	TCATGGAAGTTCGG AGGTC	60,0	TTTGGGACATGGAA AAGGAG	59,9	50	45	

G: genoma funcional

S: genoma estructural

P: polimórfico

M: monomórfico

APÉNDICE

Marcadores microssatélites desenhados a partir do sequenciamento parcial e da montagem *de novo* do genoma de *P. edulis*

Nº	Primer	Contig	Motivo	Inicio	Fim	pb	Nº Repet	Score	Sequência do contig	Unidade	G/S	Cobertura	pb	Sequência Forward	T °C Fwd	Sequência Reverse	T °C Rev	% GC Fwd	% GC Rev	P/M
791	BrPe4313	Maracuja_NoIndex_L	4	936	947	12	3	8	CTTATGTAGTCGGTAGCAAAGAACACTCAACACACTTTAATGCTTGT ACAGTTTAAAGACATCCTTCCTTCATCGAGCTCATGACTCTT ATCTTCTGGCTAATTACGATTCTACATTTCATGGCTTGA GCTGCAAAAAGAAAGAAAGCAGAGGCTAAATCATTCAAGAA GATGTACCGTTGAACATGAAATAAGGCAAATTCAACATT CCCAGATATAAGTAGAGATGTTGAAGACATGCGAGTTAGGAAAC GAGAAGATTCAGGTATCTTTGCAAA	AAAG	S	16,48	211	TCCTTCATCCGAGCT TCAT	59,8	CCTGAACTCGCATG TCTTCA	60	45	50	
		003_R1_00																		
		1_contig_6																		
		6945																		
792	BrPe4314	Maracuja_NoIndex_L	4	3615	3626	12	3	8	TGGGTGCTAAGAACAAAGTTGCAGTGCTTGCTATAACTACAAA GACCTAGGGCTATCCTGAGAACAGAGCCGCTTGTGATGAGG GAAACTCTGCGTAAGTGAATTGTAGACCAAACATGCCATTCTG GCTTGAGATCGGCCACCCACCCATATTGGCATTCCAAGATATATA GGGATTAGTTGCAGTCTACTATACATACACACACAGTATA TATAGCCGCAGAAATAAGTTGTCAGCACATACGCTCGTACACTA CACATGCATGGTACAGATAAGAAGGTAGCTGAA	CCCA	S	15,39	191	AGTTGCAGTGGCTTG CCTAT	59,9	AGTAGACTGCAAAG CTAATCCCTA	57,9	50	41,7	
		003_R1_00																		
		1_contig_6																		
		7127																		
793	BrPe4315	Maracuja_NoIndex_L	4	2497	2508	12	3	8	GGGAGAAGTCCAATCTGTTGGCTCAATTGATGTTAGGGCTTT TTGGGATCTGGTATTGACACCGCTAGAAAAGATTACAAGTTATGC CGTAAATGGCACCGAATTATAATAAAAAACACTGCATGCTCTG TGTTCAGCTACGTACGTACGGTGTAGGGAGATTCAAGCAGAGGT GGCTGCTGTATTGCGTTATTGCTATCCGATGAATAAGC TTCAATTTTGATAGAATAATTGACTATACATATCAATCGAT TTTATCAATTATAATACCGAATGCTT	TACG	S	20,73	189	GGGAGAAGTCCAATC TGTGG	59,5	CCACCTCTCGCTGA ATCTCT	59,6	55	55	
		003_R1_00																		
		1_contig_6																		
		7330																		
794	BrPe4316	Maracuja_NoIndex_L	4	1026	1037	12	3	8	CAAATATTGATGCCAACATTTGACCTACAATACATAGTAA TCAATGCTTCTACATTATCAATTCCATAAAAACAGCTCAGGATT GTAGAACCATGAATATCAGCTCTAAATTAGAGTACCAATATGGA AACATGTACCCAAACAAACAAATATTGCTACCGTATCCAATAAAT GCCACATCTCTACATTGAGAAAGCAACTCAAGCACCCCTTGAAT TGTCGGCTCTAACAGCACCCCTCTTATAGTATCCAGTCAAATAAAT TTGGCTTCAACACCCCTGTCCTCATTTT	CAAA	S	33,75	218	TGCCTAAGATCTTGC ACCT	57,6	TTCAAAGGGGTGCT TGAGTT	59,7	45	45	
		003_R1_00																		
		1_contig_6																		
		7794																		
795	BrPe4317	Maracuja_NoIndex_L	4	990	1001	12	3	8	CTTCCCTTCGAGAGTGGAGTAAATCCAAGAACATTCAAGAACAG GTGTCTTTGATATTGAAAAAAAAACAAAATAGAGACTCCA GTAGAATAAGAACCCCTGGTAAAGTTATGCGTTGTGAGGATT AACATAGCGAAAGAAAGAACATCCCTCAAACCTGTGGACAT CCAACATCTCGGACAAGATGGCAAAGATAACAAACATCACATAC TAATTAACCACTTAAACCAGTATGCACCCATTAAATTAAATT AAAGTGTATTCCCGGTCAAATTATATTATTT	GAAA	G	13,29	162	CCCTGGTAAAGTTAT GCGTTG	59,5	AAATGGGTGCATCA TGGTTT	60,1	47,6	40	
		003_R1_00																		
		1_contig_6																		
		8112																		

G: genoma funcional

S: genoma estructural

P: polimórfico

M: monomórfico

APÉNDICE

Marcadores microssatélites desenhados a partir do sequenciamento parcial e da montagem *de novo* do genoma de *P. edulis*

Nº	Primer	Contig	Motivo	Inicio	Fim	pb	Nº Repet	Score	Sequência do contig	Unidade	G/S	Cobertura	pb	Sequência Forward	T °C Fwd	Sequência Reverse	T °C Rev	% GC Fwd	% GC Rev	P/M
796	BrPe4318	Maracuja_NoIndex_L	4	1910	1921	12	3	8	CTATCACTGATAACATGGAGGAGAAATATCGAGCTTGAAGAAATTGT TGTAATTAGGGAGACGCCGAAAGGAACTGGAGCTTGGTACAGTGG AAAGGCTCTGCATTGAGCAACTTGCAGGCCGTTGAAGAACCT TGACAGCAATTCCATCCATCCACCGTTGAGGACAAGGTCACTCTTA GAATGACAGGGAATGATAGGCCCCAGATTAAGTTGTCTAGCGTAG AAGAGAGAGAAAGGAGTAATTGCTCTAGTTAATTACATGTCTCT GGACAATAAAGGAATGTTCTGACATGCCAGAT	TCCA	G	19,02	152	CGAAAGGAACTGGAG CTTTG	60,0	AATCTGGGGCTAT CATTC	60,1	50	50	
		003_R1_00																		
		1_contig_6																		
		8898																		
797	BrPe4319	Maracuja_NoIndex_L	4	3515	3530	16	4	12	ATTGATGTAATATACCTTGATTTGTCATCATAATAAGTTGA TTATTTCTATGTGTTAATTTCATACATGCCATGAGTATTCTATATT AATTATGTATATATGCTTTATATGATCTATGCAAATTATCTAACATC GTAACATAATTAAATTAAACTTTATGCAACTCAACATTGATA AAACAATTATGCTTGAAAATTACATAATTGATCATATAATAAAAATTTC ACATGCAATTAAATTAAACATGTGTAGTAGTTAGTGTGTGCTTA AAACCTAATCTGGTCTTAATTATGGATGG	TAAT	S	16,45	238	AATTCCATACATGC CATGAG	57,4	GGACCAGGATTAAG TTTAAGCA	58,7	38,1	39,1	
		003_R1_00																		
		1_contig_6																		
		9045																		
798	BrPe4320	Maracuja_NoIndex_L	4	609	620	12	3	8	GAGGATAGTTGTCAAGCCTCAGAGAGAACAGATATGAAGATG ATAAGAAGAGATAAGAAAGTGTCAAAGAAAAAGCAATGGATGAC ATTCAAAGCAGAAGGAATCTCCACTTTCTACAAAGGGCATCAATA ATTGTAATTCTGTAAAGAAGAAAGGGTAAATGTAATAGATATA TAAGGATCGAGCTAAAAAGAGGCATGAAGCCTAGAATGTAATCG AACTCATTTAGAAAATGAAAACCTTGTGATCAATCTGAGATG TCTCATTTAGTTCAATTACTTTAATATATCCAT	AAAG	G	20,58	155	TCAAAGAAAAAGCAA TGGATGA	59,7	CATTCTAGGCTTCAT GCCTCTT	59,9	31,8	45,5	
		003_R1_00																		
		1_contig_6																		
		9215																		
799	BrPe4321	Maracuja_NoIndex_L	4	3281	3292	12	3	8	CGGGGAGAACAAAAGGAAGGAACAATACCCATGTTGGATTCAT AAAATACTGGAAAGACATCGTTCATACCATAAAATCAATGATT ATCCTCGAATGGAGCATAGCAACTTCGGATTCCAGCACCGGA AAACAATAAACAGAAATGAATGAATTAGTCGACGTTACCGTC AGGGTGTTCATTTTTATTGTTTCGTTGAGAGGTTCTA CCGGATAATGTTACAGGGACATGAAATCTCAAAGAAACCGATC TCCGGCGATGCTGACTCCAGGTAGTTGGGAAAC	GAAT	S	15,8	187	GATTCCAGCACCGGA ACTAA	60,1	CCAAACCTACCTGGA GTCAGC	59,7	50	60	
		003_R1_00																		
		1_contig_6																		
		9267																		
800	BrPe4322	Maracuja_NoIndex_L	4	1871	1882	12	3	8	ATGAATCAAATTGGATCCAATTAAAAGATTATAGCTAACATT TTGGTTCATTTGCGACTTTCACCTCCTAGTAAGTTGGTGTAC ATAACCACTTCAGCAAAGAGGGCATCTGTTAGGTCCGCAAT AATGTGATTATAATTAACTGAAACTGCATTACTTCTGCGC AGCATTCTGAGCCGACAGGAATTGGTAAGACCTCGACGATATG CACCTAACTTACTCTGCTCATCAAGATAACAAACGTCGATGTC GATACTTCAGATTTAACACTCTGCCATT	ATTA	S	15,72	181	TTTGCAGTTTCACC TCCT	59,9	GGTGCATATCGTCG AGGTCT	60,1	45	55	
		003_R1_00																		
		1_contig_6																		
		9378																		

G: genoma funcional

S: genoma estrutural

P: polimórfico

M: monomórfico

APÉNDICE

Marcadores microssatélites desenhados a partir do sequenciamento parcial e da montagem *de novo* do genoma de *P. edulis*

Nº	Primer	Contig	Motivo	Inicio	Fim	pb	Nº Repet	Score	Sequência do contig	Unidade	G/S	Cobertura	pb	Sequência Forward	T °C Fwd	Sequência Reverse	T °C Rev	% GC Fwd	% GC Rev	P/M
801	BrPe4323	Maracuja_NoIndex_L	4	469	480	12	3	8	GAAAGAGAGGTACGATGAAAATCTTGTGGAGCACATGAGGGTAGA ATTGGACTGATAGAACGTTGGAGGCTGATGATGGTCGTTCCATTGAG GGGTTGAAGCATGAAATTGCTGGAGAACGGCCATTGCA AGTCATCACCTACCTAGCTAGCTAGACCTGTGCCACCAATCTAAAA CCTGTGGTGAACACTAGCTAGCTGGCATGCTATGCTTTAGGCAGAAGAA AAAGTGATAGAACGCCAGGAGTGGCAGAGTTAGTGAGAAGAAGC AATGGAGAGACCCAATATCACACACCACGGAGAAAA	CTAG	S	18,14	233	AAGTTGGAGGCTGAT GATGG	60,1	TTGGGTCTCTCCATT GCTTC	60,2	50	50	
802	BrPe4324	Maracuja_NoIndex_L	4	1618	1629	12	3	8	AAGAAAAGCATCTTAAATACCAAAATCTCAATAACAAAATCCGTA AAAACCTTAGCAACAACGATTTTCTCTAGAAATTGTAAGAGCGTG AAGATGAGGGAGGCAGCGGTTAAAGCTTAACCGAATGACACA GAGAAAATAGAAAAGAAAGAAGTGGTAAATCCCCACGGAGAA AACGCCACTTGAGAGTCTATAGAGACGGAAAATTAGCGGAAAT TCGAAAATAAAATCATATGCTCAACGCGCATATTCTGTCAA AAAGTGGGTTCCAGGAAAAAAATATGAAAGCATT	AAAG	G	17,92	167	CGCGAAATGACACAG AGAAA	60,0	CCTGGAAACCCACT TTTGAC	59,4	45	50	
803	BrPe4325	Maracuja_NoIndex_L	4	2923	2934	12	3	8	GGCAAACAAAACCAACAGCTGAATTTTCAGTTAACAACTCTA CGCCCGATCAACATAAACATCCAAAACACAGCAAACAGTTAAG AGTGAAGCTAGTTAGGAAGAAAGAACACGTCACACCAAATTGAT AAACATGCAAAGAACAAACAAACCGTAACAAATAACCCAGTTCA TTATGTTAACGAAACAACAACTCAGTAAACGGAGACTTACCAATT TATAAACGTGATTCTGATTAACAAAAGAACACAGAAGATCAAGAAG AAGAAGAAGAACCGTGAACAGCTGTGATATA	AAAC	S	18,22	150	CAACGTCCACACCAA ATTGA	60,4	TCTTCTGTTGCTTT TGTTAACAG	59,1	45	32	
804	BrPe4326	Maracuja_NoIndex_L	4	5368	5379	12	3	8	AAATATGCAGGAGGTGGGGAGGCAAATGACATCTCTAAATATTG CACTGATGAAAGAAGTCTGTTCTCAGTATCCATAAAGGACAGTT ACACTGAAATTAAACTATTATTCGACATCCCAGCTTCCCTGT ATCTTCACCTGCAAGCAAGCAAATGATTGCTTACCCCCACAAAC CCAATAATGATGATATCATAAATAGCTGCTAGAACAACTTAA CCGTCAACTAGAAATCACACTTCCAAATGTAAGAACACTTGTGA ATATCTCTCAATGAGATGATTGTCATTAATCTC	GCAA	S	16,61	176	GGGGAGGCAAAATGA CATC	60,3	TATTGGGTTTG GGGTAA	59,9	52,6	45	
805	BrPe4327	Maracuja_NoIndex_L	4	1681	1692	12	3	8	AGGCCCGGCCAGAAAGGGTTAATTGATGAGGTTCAGAGAGTGAG TAGTTAACAGACCTGACCATAAAGAGGTGTCGAATGAAGCTCTCA TCCACCAAGAAAGAATAATGGCGTGAAGGCAACTGATATAGAGAG GAGGGGGTACGATAAGGAAGGAAGGGCGGAGATTAACACTCAGA TGATATATGGCATTTATGGCAGTTCTGCTGTACAGTAATAATT TACAGACGATATTCAAACAAATATTATATTATAATA TTGTTATTAATTGACATACACATTCAAATACTG	AAGG	S	13,35	157	CCTGACCATAAAGAG GTGTG	59,6	CAAGCCAGAACTGC CATAAGA	60,4	52,4	47,6	

G: genoma funcional

S: genoma estructural

P: polimórfico

M: monomórfico

APÉNDICE

Marcadores microssatélites desenhados a partir do sequenciamento parcial e da montagem *de novo* do genoma de *P. edulis*

Nº	Primer	Contig	Motivo	Inicio	Fim	pb	Nº Repet	Score	Sequência do contig	Unidade	G/S	Cobertura	pb	Sequência Forward	T °C Fwd	Sequência Reverse	T °C Rev	% GC Fwd	% GC Rev	P/M
806	BrPe4328	Maracuja_NoIndex_L	4	460	471	12	3	8	CACTAAATTAGTCGCTCAAACGTATTACAAATTGACAGTAGGAG ACGTGTCATCGTATTCTAGTAGGAATTGGTCAACTATTAGAATC CGTCATTCAATCCATCCATGCCGTGCACCCATAAAGACGAGCACCA TCTATCCTTGACTTGCTGCTGTCAAATCCAACGGATGACATAACC TTCAAACCTATAAACCATGATTAACCAAGTTGTCGGCTATTTAAAG AAAAAGAACACATACTAAAGCTAGCAAATTAAAGCACAAGCATA ATTATCCAATATTAGAGAAAATGGAATTTGAT	CTTG	G	18,76	109	CCCATAAAGACGAGC ACCAT	60,0	AAATAGCCGAACAA CTTGGTTA	57,9	50	36,4	
		003_R1_00																		
		1_contig_7																		
		3740																		
807	BrPe4329	Maracuja_NoIndex_L	4	297	308	12	3	8	ATGAAACAATTGCACATTCTTCTGGAGAAGTAAACAATTCCGAC ATAAAATGTTACTCAACAATTATAACATTGTTGGTTCAAATCCC TGAAACATTAATATCGATGAGAAGGTCTTAATTATAAGATATC GAGGTGATGACATACATCATGCATCTTGATCACATCTGGATAC TGGTGACGAGATCTTATTCAACCTAACAAATCAAATCATGG GTAATTTTATTATAAAAGA	ACAT	S	18,54	188	TGCACATTCTTCTTG GGAGA	60,8	CTCGTCACCAGTAT CCAAGATG	59,6	42,9	50	
		003_R1_00																		
		1_contig_7																		
		3836																		
808	BrPe4330	Maracuja_NoIndex_L	4	1085	1112	28	7	24	CACTATACTATACGAATGATAATTCAAGTACACTGCATGAAACA AAAAAAAAATGCCTCTTCTCGAGTATTAAATTCCATTGACCCCC TCTCGAGACCTATTGTGTATTGAACCTTCAATTATCATTAAACAA GAAAAGGGAGAAGGAAGGAAGGAAGGAAGGAAGGTAGTATAGT GGTGTGTTAAGACAAATGCGAGTGAGAGACAAACATAGACAAAT AAATACGAATTCAAATAACCGAAATTCCACCTCATAAACAAA CAACAAGCAGAAGAGGACAAACAGAGAGCAGTAAAGAGAAA	GAAG	G	17,62	183	ATTGACCCCTCTCGA GACCT	60,1	GAGGTGGGAATTTC GGTTTA	58,9	55	45	
		003_R1_00																		
		1_contig_7																		
		4180																		
809	BrPe4331	Maracuja_NoIndex_L	4	793	804	12	3	8	TTGGCCGAGGTAACACCAAATGCACTGCACCTCTGCATACTAAC GTAAAGCTGGTTCTGCACTGAAACAAACTGGAGCAACCGGTCCAG CCTCCTACATTCCCCTTCAAACACTTACTCTTCAATTCTAGATCTCT CACATACTCCTCTTCTTCTGATCGCACGCCGCATCTTATT TCTCAACTGCTGAAATTAAACTCCATAATCATATGATATACAC TGAACCTGAATTATAAGGAACAGCATACTCCACCAAGTTGACTG TCTTCAGACACCTCAGATATTGCTAAACA	TTCT	G	18,75	182	AGCCTCCTACATTCC CCTTC	59,5	TGGTGGAGTATGCT GTTCTT	59,6	55	47,6	
		003_R1_00																		
		1_contig_8																		
		5906																		
810	BrPe4332	Maracuja_NoIndex_L	4	838	849	12	3	8	TTCGACACGGGAAGTTCTGATCTTGGTGCTTCATCTAAATGTTA TTTCTCGGTCACTGTTGCTAGCTTGGATCGTGTACTTGATTACTA TTGTTTGCTTGGATTGACGTGAGGTACATGCTCATGGTTTATGT GACCGCAGCTTGTGCTTCTTCCATCCAAGTATAAGTCCAGTGAA TCAAGCACCTACAAGAAGAATGGTGTGTTCTGGGGTGAAA GAATATAATTCTAGTGGATCATAACTCTTATAAAATAATAAA TAAACACTTCACAGACATCACTAGTT	GCTT	G	15,34	216	TCTGATCTTGGGTGC CTTC	60,2	CCCGAGAAAAACAA CACACC	60,4	50	50	
		003_R1_00																		
		1_contig_1																		
		42735																		

G: genoma funcional

S: genoma estructural

P: polimórfico

M: monomórfico

APÉNDICE

Marcadores microssatélites desenhados a partir do sequenciamento parcial e da montagem *de novo* do genoma de *P. edulis*

Nº	Primer	Contig	Motivo	Inicio	Fim	pb	Nº Repet	Score	Sequência do contig	Unidade	G/S	Cobertura	pb	Sequência Forward	T °C Fwd	Sequência Reverse	T °C Rev	% GC Fwd	% GC Rev	P/M
811	BrPe4333	Maracuja_NoIndex_L	4	2456	2467	12	3	8	TATAGCCTCACTCCCTCTCTGCAACCTTTCATGTGCATGTT CTGATTGTCATCGGGAAATATGTTGAGGCTGGAAGTCCTGTT CTCATATTTAATTTCCATCATAGTTGATCTAGATATTTAATCT GTTATTTTATTTACTTTCTAGCCCAGGAGGGTTTT TGTTGGTTTTTCCCGTGGTGTCAACGTTGTTCTCCGTTCTA TTGTTCTACTCTCTCAAATTTGTCATTCCTTTCTTCAG TGTTGTCTCAAGTTACCAGG	TTTA	G	18,98	161	TGCAACCTTTCTGTT GTGC	60,7	CCTCCTGGCTAGA AGGAAA	60,7	45	55	
		003_R1_00																		
		1_contig_1																		
		48706																		
812	BrPe4334	Maracuja_NoIndex_L	4	423	434	12	3	8	ATTCAAGTTATCTGTATTCTTATGGGATTCAACAGCATTATAA CTTAGGCTTATATTCTAACTTGCAAGTAAGACACCAAGTTAAT TGACACTATGGCTTCTGCTTCTATTAACTTGATTCAACAAAT TTGCTACTTATTATTTACTCTTCTATTGGCTGGATATTCT AATTGATGCGTAATGTTAGTAGGCAATCTTCATAAACACCTC CAAGTGGATCGAAGAAGTCCGAACGAGAGAGGACCGATGTTAC ATTGTCCTTGGGAACAAAATGACCC	TTAT	G	18,79	224	TGGGCATTCAACAGC ATTAA	60,1	CGATCCACTGGAG GTGTT	60	40	50	
		003_R1_00																		
		1_contig_1																		
		55236																		
813	BrPe4335	Maracuja_NoIndex_L	4	1859	1870	12	3	8	ACTTTGACTGATAAAACAGAACTGCACCTGTTCTGATAGATATA AAACCTTAATGTATACTTCCAGAACCTGTTGAACCTATGCAACAT GAAATAATGAAGAAAATTACGACCCAGCAAGATGAACAATCA AACCTTGGAGCAACCAACACCTCAGGATAGTCTAGTAAC TAAATACCTCACCTGAACTAGAAAAAAATCAGCAAATGCTAGG GAAAGTCTAGGAAAATTATGATTACCAATTAGTAAGGGACAGAG AAAAGAAGAACTATCCCAAATAAGAAAATGATACTGATA	CAAC	G	24,36	222	CAGAACTTGACCTG TTCTGAA	60,5	GGACTTCCCTAGC ATTTGCA	60,1	45,5	47,6	
		003_R1_00																		
		1_contig_6																		
		0202																		
814	BrPe4336	Maracuja_NoIndex_L	4	7900	7911	12	3	8	AGTCTTAAATCCCTAACAGAGAGTAGATGTTGAGGAATGAAGGG GAGAAGAGGAGGCCGCCACTTCTGGAAAGGGCTTGTCAAGAGC CTTCTCTCTCTCAAAGCTAGATGGAAAGAAGGATTGAGAACAGC TGCTAAGAACCAAGCAAGAACAGTAAGTCATTATGCAAG AAAGCTCGTCTCGATCTCACTGGACATAGGATCAAGGGACGA GAGAAGGTCGTAAGGTACCTACCCCAAGCAAAGAGAAAAGTAGAA AAGGTCTAGTCGAGCTCTAACGACGAATAAGG	CAAG	G	3,892,26	194	GGAATGAAGGGAG AAGAGG	60,0	CGTCCTTGATCCTA TGTCC	59,4	55	55	
		003_R1_00																		
		1_contig_1																		
		6																		
815	BrPe4337	Maracuja_NoIndex_L	4	200	219	20	5	16	GACCACGCCAACATCCGGCTCTCAAGTCATCACCATGGA GCCGTAAACAACTTGTAAATCCAAATCTCAGTCATGCAACAG ATGATGAGAGAAAAGAAAATGGACAAAAAGTAAACACACAAATG TATATGCTACGTATCTATCTATCTAGAGAATTTCTATCT TGAAAGAAAAGATCCCACGAGGAGAAGAGAATTGATGCT ACATTATTTACATACATGCTGTTAGTTGGAGAGACAGAT AAAAACGGAGATCTAACCATCAGATCATAGCAGCGCTCCC	TATC	S	14,67	205	TGGACAAAAGTAA CAACACAA	58,7	AGCGCTGCTATGAT CTGATG	59,2	29,2	50	
		003_R1_00																		
		1_contig_2																		
		6242																		

G: genoma funcional

S: genoma estructural

P: polimórfico

M: monomórfico

APÉNDICE

Marcadores microssatélites desenhados a partir do sequenciamento parcial e da montagem *de novo* do genoma de *P. edulis*

Nº	Primer	Contig	Motivo	Inicio	Fim	pb	Nº Repet	Score	Sequência do contig	Unidade	G/S	Cobertura	pb	Sequência Forward	T °C Fwd	Sequência Reverse	T °C Rev	% GC Fwd	% GC Rev	P/M
816	BrPe4338	Maracuja_NoIndex_L_003_R1_001_contig_1_4659		4	6182	6193	12	3	CTGTCATATCCAAGGCTGATAAGCAACACTTCTCCACAAACCTTCCCCAGGTATCCCATTGTCATTGATGGATAGTTATCTGCATAAGAGAGGTCTCCAACGAACAATACCGCCTGGCCTTTTGAGGTTCATTTGAGTGAGTGTGTTGATCAAACACTGACCAAGATCCCTGCAATCATACATACAATATGCACTCCCTACCAACAACTTCCAGAACACCACTACCAAATTGCTCAGAGAACTATGCAGAAATTAAAGCAAAACTGAAGTTCTGGCACAA	AGTG	G	17,16	154	CTTCCCCAGGTATCCCATCTGCATTGTCATTGATGGATAGTTATCTGCATCTCAGAGT	60,1	CAGGGGATCTTGGT	59,1	55	55	

G: genoma funcional

S: genoma estructural

P: polimórfico

M: monomórfico